



21世纪全国应用型本科计算机案例型规划教材



计算机图形技术

(第2版)

主 编 许承东
副主编 曹啸博 沈翠华



- 采用案例型的教学方法深入浅出地讲解复杂的理论知识
- 书中所涉及到的算法均给出经过调试的C++源代码程序
- 全面涉猎计算动画、虚拟现实、OpenGL环境等核心技术



北京大学出版社
PEKING UNIVERSITY PRESS

说 明

本书版权属于北京大学出版社有限公司。版权所有，侵权必究。

本书电子版仅提供给高校任课教师使用，如有任课教师需要本书课件或其他相关教学资料，请联系北京大学出版社客服，微信手机同号：15600139606，扫下面二维码可直接联系。

由于教材版权所限，仅限任课教师索取，谢谢！



21 世纪全国应用型本科计算机案例型规划教材

计算机图形技术 (第 2 版)

主 编 许承东
副主编 曹啸博 沈翠华
参 编 陈 童 刘海军



北京大学出版社
PEKING UNIVERSITY PRESS

内 容 简 介

本书是编者在第1版的基础上,为了适应新的发展情况,总结近五年来的教学和科研经验,对原书内容调整和补充修改而成的。其中,主要调整内容是与教学相关的程序和习题,增加了计算机动画的内容,提供了教学课件。

本书较全面系统地介绍了计算机图形技术的基本原理及应用,对计算机图形的生成及变换、图形裁剪、真实感图形生成和计算机动画等有关知识做了详细而系统的阐述;并结合具体实例,详细介绍了基于 OpenGL 环境和虚拟现实建模语言 VRML 的图形系统开发。本书从基本概念入手,理论与实践相结合,内容系统、完整,讲解深入浅出,每章配有习题及答案、教学课件、程序源代码,便于读者学习和编程实践。

本书可作为高等院校计算机、机械设计等相关专业的“计算机图形学”课程的教材或教学参考书,也可供相关领域有一定实际经验的科研人员、软件开发工程技术人员阅读参考。

图书在版编目(CIP)数据

计算机图形技术/许承东主编. —2版. —北京:北京大学出版社, 2011.9

(21世纪全国应用型本科计算机案例型规划教材)

ISBN 978-7-301-19386-0

I. ①计… II. ①许… III. ①计算机图形学—高等学校—教材 IV. ①TP391.41

中国版本图书馆 CIP 数据核字(2011)第 166006 号

书 名: 计算机图形技术(第2版)

著作责任者: 许承东 主编

策 划 编 辑: 郑 双

责 任 编 辑: 郑 双

标 准 书 号: ISBN 978-7-301-19386-0/TP · 1183

出 版 者: 北京大学出版社

地 址: 北京市海淀区成府路 205 号 100871

网 址: <http://www.pup.cn> <http://www.pup6.cn>

电 话: 邮购部 62752015 发行部 62750672 编辑部 62750667 出版部 62754962

电 子 邮 箱: pup_6@163.com

印 刷 者:

发 行 者: 北京大学出版社

经 销 者: 新华书店

787毫米×1092毫米 16开本 23.25印张 534千字

2006年9月第1版 2011年9月第2版 2011年9月第1次印刷

定 价: 44.00 元

未经许可,不得以任何方式复制或抄袭本书之部分或全部内容。

版权所有 侵权必究

举报电话: 010-62752024

电子邮箱: fd@pup.pku.edu.cn

21 世纪全国应用型本科计算机案例型规划教材

专家编审委员会

(按姓名拼音顺序)

主 任 刘瑞挺

副主任 陈 钟 蒋宗礼

委 员 陈代武 胡巧多 黄贤英

江 红 李 建 姜国焕

马秀峰 祁亨年 王联国

汪新民 谢安俊 解 凯

徐 苏 徐亚平 宣兆成

姚喜妍 于永彦 张荣梅

信息技术的案例型教材建设

(代丛书序)

刘瑞挺

北京大学出版社第六事业部在 2005 年组织编写了《21 世纪全国应用型本科计算机系列实用规划教材》，至今已出版了 50 多种。这些教材出版后，在全国高校引起热烈反响，可谓初战告捷。这使北京大学出版社的计算机教材市场规模迅速扩大，编辑队伍茁壮成长，经济效益明显增强，与各类高校师生的关系更加密切。

2008 年 1 月北京大学出版社第六事业部在北京召开了“21 世纪全国应用型本科计算机案例型教材建设和教学研讨会”。这次会议为编写案例型教材做了深入的探讨和具体的部署，制定了详细的编写目的、丛书特色、内容要求和风格规范。在内容上强调面向应用、能力驱动、精选案例、严把质量；在风格上力求文字精练、脉络清晰、图表明快、版式新颖。这次会议吹响了提高教材质量第二战役的进军号。

案例型教材真能提高教学的质量吗？

是的。著名法国哲学家、数学家勒内·笛卡儿(Rene Descartes, 1596—1650)说得好：“由一个例子的考察，我们可以抽出一条规律。(From the consideration of an example we can form a rule.)”事实上，他发明的直角坐标系，正是通过生活实例而得到的灵感。据说是在 1619 年夏天，笛卡儿因病住进医院。中午他躺在病床上，苦苦思索一个数学问题时，忽然看到天花板上有一只苍蝇飞来飞去。当时天花板是用木条做成正方形的格子。笛卡儿发现，要说出这只苍蝇在天花板上的位置，只需说出苍蝇在天花板上的第几行和第几列。当苍蝇落在第四行、第五列的那个正方形时，可以用(4, 5)来表示这个位置……由此他联想到可用类似的办法来描述一个点在平面上的位置。他高兴地跳下床，喊着“我找到了，找到了”，然而不小心把国际象棋撒了一地。当他的目光落到棋盘上时，又兴奋地一拍大腿：“对，对，就是这个图”。笛卡儿锲而不舍的毅力，苦思冥想的钻研，使他开创了解析几何的新纪元。千百年来，代数与几何，井水不犯河水。17 世纪后，数学突飞猛进的发展，在很大程度上归功于笛卡儿坐标系和解析几何学的创立。

这个故事，听起来与阿基米德在浴池洗澡而发现浮力原理，牛顿在苹果树下遇到苹果落到头上而发现万有引力定律，确有异曲同工之妙。这就证明，一个好的例子往往能激发灵感，由特殊到一般，联想出普遍的规律，即所谓的“一叶知秋”、“见微知著”的意思。

回顾计算机发明的历史，每一台机器、每一颗芯片、每一种操作系统、每一类编程语言、每一个算法、每一套软件、每一款外部设备，无不像闪光的珍珠串在一起。每个案例都闪烁着智慧的火花，是创新思想不竭的源泉。在计算机科学技术领域，这样的案例就像大海岸边的贝壳，俯拾皆是。

事实上，案例研究(Case Study)是现代科学广泛使用的一种方法。Case 包含的意义很广：包括 Example 例子，Instance 事例、示例，Actual State 实际状况，Circumstance 情况、事件、境遇，甚至 Project 项目、工程等。

我们知道在计算机的科学术语中，很多是直接来自日常生活的。例如 Computer 一词早

在 1646 年就出现于古代英文字典中,但当时它的意义不是“计算机”而是“计算工人”,即专门从事简单计算的工人。同理,Printer 当时也是“印刷工人”而不是“打印机”。正是由于这些“计算工人”和“印刷工人”常出现计算错误和印刷错误,才激发查尔斯·巴贝奇(Charles Babbage, 1791—1871)设计了差分机和分析机,这是最早的专用计算机和通用计算机。这位英国剑桥大学数学教授、机械设计专家、经济学家和哲学家是国际公认的“计算机之父”。

20 世纪 40 年代,人们还用 Calculator 表示计算机器。到电子计算机出现后,才用 Computer 表示计算机。此外,硬件(Hardware)和软件(Software)来自销售人员。总线(Bus)就是公共汽车或大巴,故障和排除故障源自格瑞斯·霍普(Grace Hopper, 1906—1992)发现的“飞蛾子”(Bug)和“抓蛾子”或“抓虫子”(Debug)。其他如鼠标、菜单……不胜枚举。至于哲学家进餐问题,理发师睡觉问题更是操作系统文化中脍炙人口的经典。

以计算机为核心的信息技术,从一开始就与应用紧密结合。例如,ENIAC 用于弹道曲线的计算,ARPANET 用于资源共享以及核战争时的可靠通信。即使是非常抽象的图灵机模型,也受到二战时图灵博士破译纳粹密码工作的影响。

在信息技术中,既有许多成功的案例,也有不少失败的案例;既有先成功而后失败的案例,也有先失败而后成功的案例。好好研究它们的成功经验和失败教训,对于编写案例型教材有重要的意义。

我国正在实现中华民族伟大复兴,教育是民族振兴的基石。改革开放 30 年来,我国高等教育在数量上、规模上已有相当的发展。当前的重要任务是提高培养人才的质量,必须从学科知识的灌输转变为素质与能力的培养。应当指出,大学课堂在高新技术的武装下,利用 PPT 进行的“高速灌输”、“翻页宣科”有愈演愈烈的趋势,我们不能容忍用“技术”绑架教学,而是让教学工作乘信息技术的东风自由地飞翔。

本系列教材的编写,以学生就业所需的专业知识和操作技能为着眼点,在适度的基础知识与理论体系覆盖下,突出应用型、技能型教学的实用性和可操作性,强化案例教学。本套教材将会有机融入大量最新的示例、实例以及操作性较强的案例,力求提高教材的趣味性和实用性,打破传统教材自身知识框架的封闭性,强化实际操作训练,使本系列教材做到“教师易教,学生乐学,技能实用”。有了广阔的应用背景,再造计算机案例型教材就有了基础。

我相信北京大学出版社在全国各地高校教师的积极支持下,精心设计,严格把关,一定能够建设出一批符合计算机应用型人才培养模式的、以案例型为创新点和兴奋点的精品教材,并且通过一体化设计、实现多种媒体有机结合的立体化教材,为各门计算机课程配齐电子教案、学习指导、习题解答、课程设计等辅导资料。让我们用锲而不舍的毅力,勤奋好学的钻研,向着共同的目标努力吧!

刘瑞挺教授 本系列教材编写指导委员会主任、全国高等院校计算机基础教育研究会副会长、中国计算机学会普及工作委员会顾问、教育部考试中心全国计算机应用技术证书考试委员会副主任、全国计算机等级考试顾问。曾任教育部理科计算机科学教学指导委员会委员、中国计算机学会教育培训委员会副主任。PC Magazine《个人电脑》总编辑、CHIP《新电脑》总顾问、清华大学《计算机教育》总策划。

第2版前言

本书第1版自2006年9月出版以来,受到读者的欢迎,不少高校把它作为“计算机图形学”课程的教材。然而第1版的内容主要取材于2005年以前出版的书籍、文献及其作者的理论与实践总结,近年来,计算机图形学科又有了不少新的进展。为了适应学科最新发展,更好地为广大读者服务,编者对第1版进行了认真的修订。

这次修订的指导思想是保持第1版系统性较强、内容比较全面、有丰富的实例,以及适应应用型本科教学的特点,增加了反映学科最新发展方向的新内容。同时,又适当压缩全书的篇幅,并配备教学课件和习题解答,以方便教师和学生使用。为此,在修订时对内容的取舍做了十分慎重的斟酌,删掉了前后重复的内容,去掉不必要的图表和文字,增加了近年来比较流行的计算机动画内容,强调计算机图形基础理论与计算机动画相结合、相互促进的发展趋势。

为了便于教学,此次修订还增加了教学课件,并对第1版每章后的习题做了适当的调整和更新,去掉了部分不必要的习题。

本书由北京理工大学许承东、曹啸博和中国农业大学沈翠华共同编写完成。其中,第1章至第10章的相关程序和习题的修改、编译,以及新增习题的编写、全部答案的提供工作由北京理工大学陈童、刘海军完成,新增的第11章由北京理工大学曹啸博编写,许承东负责对全书的统稿,曹啸博和沈翠华对全书进行了编辑和校核。

本书在修订过程中,得到了清华大学软件学院雍俊海教授的大力支持,北京理工大学胡春生、张弛、李光耀和马小强等对本书的编写提供了宝贵的建议和帮助,在此一并表示感谢!

由于编者水平有限,时间仓促,书中难免存在疏漏和不妥之处。敬请读者和大家批评指正,万分感谢!

编 者

2011年5月于北京

第 1 版前言

计算机图形学是一门发展迅速的新兴学科，是计算机应用学科的一个重要分支。随着计算机系统软件、硬件及其外部设备的发展，特别是光栅图形显示器的问世，计算机图形学的应用已渗透到各个工程技术领域，成为用户界面、数据可视化、电视广告、动画和其他应用中的公共成分。

本书系统、全面地介绍了计算机图形学的基本概念、二维和三维图形的生成及变换技术、图形的裁剪、真实感图形的显示技术以及有关知识，并结合具体实例，详细介绍了基于 OpenGL 和 VRML 环境的图形系统开发。

本书包括三部分，共 10 章内容。

第一部分主要为基本概念及二维图形学介绍。该部分在内容安排上与其他图形学教材类似，但在内容组织与编写上主要体现应用型院校特色，给出了大部分算法的程序代码，并增加了较多的应用实例。第 1 章为绪论，主要介绍计算机图形学的研究内容、计算机图形学的发展简史、计算机图形学的应用、计算机图形系统的软、硬件组成与相关概念以及计算机图形学的发展方向等。第 2 章为二维图形生成技术，主要介绍直线、圆、椭圆、自由曲线以及字符的生成等。第 3 章为二维实面积图形的生成，主要介绍矩形、区域、图案填充以及宽图元生成等。第 4 章为二维图形变换，主要介绍二维图形变换的数学基础、几种基本的二维变换以及组合变换，并给出了组合变换的实例。第 5 章为二维图形裁剪，主要介绍图形的开窗、线段、多边形、圆和文本裁剪算法等。

第二部分为三维图形学相关知识介绍。包括第 6~8 章。第 6 章为三维图形学基础，主要介绍三维图形的几何变换、三维图形的投影、三维裁剪、三维图形的输出流程等。第 7 章为三维物体的表示，主要介绍平面物体、二次曲面、孔斯曲面、贝塞尔(Bezier)曲面以及 B 样条曲面的表示等。第 8 章为真实感图形显示技术，主要介绍光色和光照模型、阴影的生成、纹理映射、透明性、隐藏线以及隐藏面的消除等。这部分重点要求学生在熟悉基本概念的基础上理解相关算法，从而为图形系统开发打下基础。因此，对较难理解的算法实现可以跳过。

第三部分主要结合当前流行的图形开发软件和环境，采用具体实例，介绍图形系统的开发与设计过程，并重点介绍基于 OpenGL 和 VRML 的图形系统设计。第 9 章为 OpenGL 环境下图形系统的设计，主要介绍 OpenGL 应用程序的工作过程、OpenGL 的功能、基本语法规则、基本图元绘制、图形的几何变换、交互操作、观察流程和函数、OpenGL 中自由曲线和曲面的绘制、多边形的消除与消隐及真实感图形绘制等，并给出了一个 OpenGL 图形演示系统的设计实例。第 10 章为 VRML 环境下图形系统的设计，在简要介绍虚拟现实及 VRML 的基础上，对 VRML 基本语法进行了介绍，并通过详细例子介绍利用 VRML 如何在场景中添加几何体以及如何实现几何体的变换和真实感场景创建等，还给出了一个完整的 VRML 虚拟漫游系统的设计实例。

本书从基本概念入手，理论与实践相结合，内容系统、完整，讲解深入浅出，可操作性强。对重点和难点算法给出了源程序，每章配有习题便于读者复习和实践。

本书由苏州大学龚声蓉教授和伏玉琛副教授、北京理工大学许承东教授、中国农业大学的沈翠华副教授和温州大学白宝钢副教授共同编写。苏州大学刘纯平副教授、刘全副教授以及浙江万里学院李继芳副教授也参与了部分编写或审稿工作。其中第1章、第9章由龚声蓉编写；第2章、第4章由伏玉琛编写；第7章、第8章由许承东编写；第3章、第10章由温州大学白宝钢编写；第5章以及第6章的6.3节和6.4节由沈翠华编写；第6章的6.1节和6.2节由刘纯平编写；第6章的6.5节由刘全编写；全书由龚声蓉统稿，陆梯亮、倪峰、曹杰等参与了源程序调试以及文字录入、校对工作。在本书的编写过程中，得到了苏州大学、北京理工大学、中国农业大学和浙江万里学院的计算机相关院系的大力支持，在此一并表示感谢。

由于编者水平有限，时间仓促，恳请读者在阅读本书时对书中存在的不足和错误给出批评指正。万分感谢！

编 者
2006年3月

北京大学出版社版权所有
禁止转载

目 录

第 1 章 绪论	1	2.6.1 字符形状表示	52
1.1 计算机图形学的研究内容	2	2.6.2 字符属性	52
1.2 计算机图形学的发展简史	3	本章小结	53
1.3 计算机图形技术的应用	5	习题	54
1.4 计算机图形系统	8	第 3 章 二维实面积图形的生成	56
1.4.1 计算机图形系统的组成	8	3.1 矩形填充	57
1.4.2 常用图形输入设备	11	3.2 区域填充	58
1.4.3 常用图形输出设备	13	3.2.1 多边形的扫描转换算法	58
1.4.4 计算机图形系统软件	24	3.2.2 边填充算法	70
1.5 计算机图形学的发展动向	25	3.2.3 种子填充算法	77
1.5.1 造型技术的发展	25	3.3 图案填充	84
1.5.2 真实图形生成技术的发展	26	3.3.1 使用扫描转换的图案填充	84
1.5.3 人-机交互技术的发展	26	3.3.2 不用扫描转换的图案填充	86
本章小结	26	本章小结	87
习题	28	习题	88
第 2 章 二维图形生成技术	29	第 4 章 二维图形变换	89
2.1 直线的生成	30	4.1 数学基础	91
2.1.1 直接生成法	30	4.1.1 向量及其性质	91
2.1.2 数值微分法	32	4.1.2 向量点积	92
2.1.3 中点画线法	34	4.1.3 矩阵	92
2.1.4 Bresenham 画线算法	36	4.1.4 矩阵乘法	93
2.1.5 双步画线算法	39	4.1.5 矩阵的转置	93
2.2 圆的生成	40	4.1.6 矩阵的逆	93
2.2.1 圆的八点对称	40	4.1.7 齐次坐标	94
2.2.2 Bresenham 画圆算法	41	4.2 基本变换	94
2.2.3 中点画圆算法	43	4.2.1 平移变换	94
2.2.4 正负法画圆	47	4.2.2 比例变换	95
2.3 椭圆的生成	48	4.2.3 旋转变换	96
2.4 自由曲线的生成	48	4.2.4 其他变换	97
2.5 输出图元的属性	49	4.3 组合变换	99
2.5.1 线宽控制	49	4.3.1 单一基本变换的组合变换	99
2.5.2 线型控制	50	4.3.2 多个基本变换的组合变换	100
2.6 字符的生成	51	4.3.3 组合变换举例	102

本章小结	103	6.4 坐标系	160
习题	104	6.5 三维图形的输出流程	162
第5章 二维图形的裁剪	106	本章小结	162
5.1 图形的开窗	107	习题	163
5.1.1 图形学中常用的坐标系	107	第7章 三维物体的表示	165
5.1.2 窗口与视区的坐标变换	108	7.1 平面物体的表示	166
5.2 线段裁剪算法	110	7.1.1 多边形表	167
5.2.1 裁剪端点	111	7.1.2 平面方程	168
5.2.2 利用求解联立方程组的 线段裁剪	111	7.1.3 多边形网格	170
5.2.3 Cohen-Sutherland 线段裁剪	113	7.2 二次曲面	170
5.2.4 参数化的线段裁剪	117	7.2.1 球面	170
5.3 多边形裁剪算法	118	7.2.2 椭球面	171
5.3.1 Sutherland-Hodgman 算法	118	7.2.3 环面	172
5.3.2 Weiler-Atherton 算法	122	7.3 孔斯(Coons)曲面	172
5.4 圆的裁剪	138	7.3.1 第一类 Coons 曲面	172
5.5 文本裁剪算法	138	7.3.2 第二类 Coons 曲面	173
5.5.1 字符串裁剪	138	7.4 贝塞尔(Bezier)曲线和曲面	175
5.5.2 字符裁剪	138	7.4.1 Bezier 曲线的定义	175
5.5.3 笔画裁剪	139	7.4.2 Bezier 曲线的性质	177
5.6 二维图形的输出流程	139	7.4.3 Bezier 曲面的定义	178
本章小结	139	7.4.4 Bezier 曲面的性质	180
习题	140	7.5 B 样条曲面	181
第6章 三维图形学基础	142	7.5.1 B 样条曲线的定义	181
6.1 三维图形的几何变换	143	7.5.2 B 样条曲线的性质	182
6.1.1 三维坐标系的建立	143	7.5.3 B 样条曲面	183
6.1.2 三维图形几何变换	144	本章小结	184
6.1.3 三维坐标系变换	149	习题	185
6.2 三维图形的投影	150	第8章 真实感图形显示技术	187
6.2.1 投影与投影变换的定义	151	8.1 颜色模型	188
6.2.2 平面几何投影的分类	151	8.1.1 RGB 颜色模型	189
6.2.3 透视投影	152	8.1.2 CMY 颜色模型	190
6.2.4 平行投影	153	8.1.3 HSV 颜色模型	190
6.3 三维裁剪	158	8.2 光照模型	191
6.3.1 用三维规范视见体 进行裁剪	158	8.2.1 环境光	193
6.3.2 在齐次坐标中裁剪	160	8.2.2 漫反射	193
		8.2.3 镜面反射	194
		8.2.4 点光源与柱光源(锥光源)	195
		8.3 阴影的生成	195

8.3.1 扫描线阴影生成算法	195	9.7.2 反馈	241
8.3.2 阴影体	197	9.8 OpenGL 观察流程和函数	242
8.4 纹理映射	197	9.8.1 常用的变换函数	243
8.4.1 颜色纹理	198	9.8.2 模视变换	243
8.4.2 几何纹理	200	9.8.3 投影变换	245
8.5 透明性	201	9.8.4 视区变换	247
8.5.1 无折射的透明	201	9.8.5 附加裁剪面	248
8.5.2 折射透明性	202	9.9 OpenGL 中自由曲线和曲面的 绘制	248
8.6 隐藏线的消除	204	9.9.1 Bezier 曲线的绘制	248
8.7 隐藏面的消除	213	9.9.2 Bezier 曲面的绘制	250
8.7.1 基本检测	213	9.9.3 NURBS 曲线的绘制	251
8.7.2 画家算法	215	9.9.4 NURBS 曲面的绘制	252
8.7.3 深度缓冲器算法 (Z 缓冲区算法)	217	9.10 OpenGL 中的多边形的 消除与消隐	253
8.7.4 扫描线算法	218	9.11 OpenGL 的真实感图形绘制	255
8.7.5 区域细分算法	219	9.11.1 OpenGL 颜色	255
本章小结	220	9.11.2 OpenGL 光照	256
习题	222	9.11.3 OpenGL 明暗处理	257
第 9 章 OpenGL 环境下图形系统的 设计	224	9.11.4 OpenGL 纹理映射	258
9.1 概述	225	9.12 一个 OpenGL 图形演示系统的 设计	261
9.2 OpenGL 应用程序的工作过程	227	9.12.1 位图数据的处理	261
9.3 OpenGL 的功能	228	9.12.2 模型的绘制	265
9.4 OpenGL 的基本语法规则	229	9.12.3 编程步骤	270
9.4.1 OpenGL 的数据类型	229	本章小结	272
9.4.2 OpenGL 的函数约定	230	习题	274
9.5 OpenGL 基本图元绘制	231	第 10 章 VRML 环境下图形系统的 设计	275
9.5.1 概述	231	10.1 虚拟现实简介	277
9.5.2 点	233	10.2 VRML 概述	277
9.5.3 线	233	10.3 VRML 基本语法	280
9.5.4 多边形	235	10.3.1 VRML 的通用语法结构	280
9.5.5 字符	236	10.3.2 VRML 的基本概念	280
9.6 OpenGL 图形的几何变换	236	10.3.3 VRML 空间计量单位	281
9.6.1 矩阵操作函数	237	10.3.4 VRML 的节点简介	282
9.6.2 几何变换	238	10.3.5 域	283
9.6.3 OpenGL 视区变换	239	10.4 在场景中添加几何体	285
9.7 OpenGL 的交互操作	239		
9.7.1 物体的选择	240		

10.4.1 Shape 节点对几何体的封装.....	285	本章小结.....	314
10.4.2 添加长方体.....	285	习题.....	314
10.4.3 添加球体.....	286	第 11 章 计算机动画	316
10.4.4 添加圆柱体.....	287	11.1 OpenGL 动画基本程序.....	317
10.4.5 添加圆锥体.....	288	11.1.1 基于 MFC 的基本 OpenGL 应用程序生成.....	317
10.4.6 添加文本.....	289	11.1.2 基于 OpenGL 的动画编程.....	328
10.5 几何体的几何变换.....	290	11.2 关键帧动画和变体技术.....	340
10.5.1 理解 VRML 空间.....	290	11.2.1 关键帧插值.....	341
10.5.2 Transform 节点的语法.....	291	11.2.2 基于网格的图像变体技术.....	343
10.5.3 平移几何体.....	292	11.2.3 Minkowski 和.....	343
10.5.4 旋转几何体.....	293	11.3 自由变形.....	345
10.5.5 缩放几何体.....	295	11.3.1 二维自由变形.....	345
10.6 真实感场景创建.....	297	11.3.2 三维自由变形.....	347
10.6.1 光照.....	297	11.3.3 自由变形的前景.....	349
10.6.2 纹理.....	302	本章小结.....	351
10.6.3 雾化.....	305	习题.....	352
10.7 一个 VRML 虚拟漫游系统的设计.....	307	参考文献	353
10.7.1 物体模型的设计.....	307		
10.7.2 漫游场景的最终生成.....	312		

第1章 绪 论

学习目标

- 掌握计算机图形学的基本概念;
- 掌握计算机图形技术的主要应用领域;
- 掌握计算机图形系统组成。

知识结构

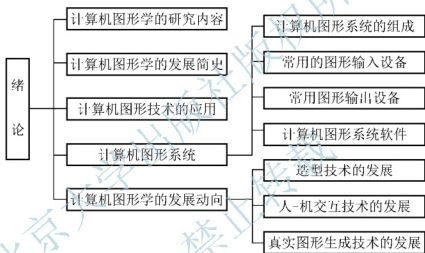


图 1.1 序论结构图



导入案例

同学们，欢迎进入计算机图形学的世界，我们通过计算机图形学的应用来了解计算机图形学的重要性。

计算机已经成为快速、经济的生成图片的强大工具。计算机图形学已经广泛应用于各个领域，如科学、工程、医药、工业、政府部门、艺术娱乐业、广告业、教学等。从高科技应用的卫星图像三维可视化，到工作中应用的计算机图形学建模软件如 AutoCAD、Pro/E、SolidWorks 等，到手机等数字产品中的三维场景游戏，计算机图形学与我们的工作、学习和生活息息相关。下面来具体介绍一下计算机图形学的应用。

计算机图形学主要用于设计过程，尤其是工业工程和建筑系统。现在几乎所有的产品都是计算机设计的。CAD 和 Pro/E 等计算机辅助设计方法目前已广泛应用于建筑、汽车、飞机、轮船、飞行器、航空航天等许多领域的产品设计中。对产品的设计通常以线框轮廓或实体模型等形式显示出来，从而进行进一步的外形及对象的特征设计。产品的外形参数及特征参数等通过图形显示的形式直观地表示出来，便于设计者对设计的结果进行反馈和调整，如图 1.2 所示为飞行器的实体模型图。

可视化技术广泛应用于流体力学、有限元分析、医学、天气预报、海洋和空间探测等领域，已成为一

种从海量的计算数据和测量数据中发掘其蕴含的自然、物理现象和规律的新的通用手段。可视化技术在航空航天等尖端领域的仿真设计中有着重要的应用。在进行大量数据的分析和处理时,传统的数据分析方法效率太低。可视化方法可以将海量数据进行实时的直观的图形显示。如图 1.3 所示为卫星轨道的可视化示意图。



图 1.2 飞行器的实体模型图

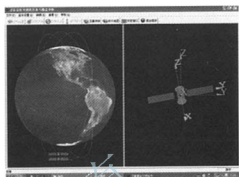


图 1.3 卫星轨道的可视化示意图

现在计算机图形方法常用于制作动画、音乐录像片、电视片和 3D 游戏等。图形场景有时单独显示,有时与实际场景等混合显示。许多电子游戏和动画片经常使用计算机图形方法,如著名的游戏“魔兽世界”和动画片“名侦探柯南”中的场景图片。

本书主要介绍计算机图形学的基础原理、算法和编程实现的知识。用心地学习这门课后,读者将会掌握精彩的计算机图形学的奥妙。

1.1 计算机图形学的研究内容

计算机图形学(Computer Graphics)是一门新兴学科。国际标准化组织(ISO)将其定义为:研究用计算机进行数据和图形之间相互转换的方法和技术。具体地讲,计算机图形学是研究怎样用计算机将数据转换为图形,并在专门显示设备上显示的原理、方法和技术的学科。它是建立在传统图形学理论、应用数学及计算机科学基础上的一门边缘学科。

计算机图形学的研究内容涉及用计算机对图形数据进行处理硬件和软件两个方面的技术,主要是围绕着计算机图形信息的输入、表达、存储、显示、变换以及表示物体的图形的准确性、真实性和实时性的基础算法进行研究,大致可分为以下几类:

- (1) 二维图形的数据结构及基本图形元素的生成,如用光栅图形显示器生成直线、圆弧、二次曲线、封闭边界内的图案填充等。
- (2) 图形元素的几何变换,即对图形的平移、放大和缩小、旋转、镜像等操作。
- (3) 自由曲线和曲面的插值、拟合、拼接、分解、过渡、光顺、整体和局部修改等。
- (4) 三维几何造型技术,包括对基本体素的定义及输入,规则曲面与自由曲面的造型技术,以及它们之间的布尔运算方法的研究。
- (5) 三维形体的实时显示,包括投影变换、窗口裁剪等。
- (6) 真实感图形的生成算法,包括三维图形的消隐算法,光照模型的建立,阴影层次及彩色浓淡图的生成算法。

(7) 山、水、花、草、烟云等模糊景物的模拟生成和虚拟现实环境的生成及其控制算法等。

(8) 科学计算可视化和三维或高维数据场的可视化, 包括将科学计算中大量难以理解的数据通过计算机图形显示出来, 从而使人们加深对其科学过程的理解。例如, 有限元分析的结果, 应力场、磁场的分布, 各种复杂的运动学和动力学问题的图形仿真等。

(9) 设计开发与实际应用相结合的计算机辅助设计应用系统。

计算机图形学具有广阔的发展前景, 是一个多学科交叉的新兴学科, 它不仅涉及与计算机相关的各个学科, 而且涉及计算几何、工程制图、机械设计、光学、线性代数、工业造型等多门学科。

1.2 计算机图形学的发展简史

计算机图形学的发展始于 20 世纪 50 年代, 先后经历了准备阶段(50 年代)、发展阶段(60 年代)、推广应用阶段(70 年代)、系统实用化阶段(80 年代)和标准化智能化阶段(90 年代)。

1. 准备阶段

计算机图形学的发展历史应追溯到 20 世纪 50 年代末期。当时的计算机主要用于科学计算, 使用尚不普及, 但已开始出现图形显示器、绘图仪和光笔等图形外部设备。同时, 各种设计、计算和显示图形的软件开始研发, 为计算机图形学的发展做好了硬件和软件的准备。1950 年, 美国麻省理工学院旋风 I 号(Whirlwind I)计算机就配置了由计算机驱动的阴极射线管式的图形显示器, 但不具备人-机交互功能。50 年代末期, 美国麻省理工学院林肯实验室研制的 SAGE 空中防御系统就已具有指挥和控制功能。这个系统能将雷达信号转换为显示器上的图形, 操作者可以借用光笔指向屏幕上的目标图形来获得所需要的信息, 这一功能的出现预示着交互式图形生成技术的诞生。

2. 发展阶段

1962 年, 美国麻省理工学院的 I.E. 萨瑟兰德(I.E. Sutherland)在他的博士论文中提出了一个名为“Sketchpad”的人-机交互式图形系统, 能在屏幕上进行图形设计和修改。他在论文中首次使用了“计算机图形学”这个术语, 证明了交互式计算机图形学是一个可行的有用的研究领域, 从而确定了计算机图形学作为一个崭新的科学分支的独立地位。他在论文中所提出的分层存储符号和图素的数据结构等概念和技术直至今日还在被广泛应用。因此, I.E. 萨瑟兰德的“Sketchpad”系统被公认为交互图形生成技术的发展奠定了基础。随后, 美国通用汽车公司、贝尔电话公司和洛克希德飞机制造公司等开展了计算机图形学和计算机辅助设计的大规模研究, 分别推出了 DAC-1 系统、Graphic-1 系统和 CADAM 系统, 使计算机图形学进入了迅速发展的新时期。这一时期使用的图形显示器是随机扫描的显示器, 它具有较高的分辨率和对比度, 具有良好的动态性能。为了避免图形闪烁, 它通常需要以 30Hz 以上的频率不断刷新屏幕上的图形。为此需要一个刷新缓冲存储器来存放计算机产生的显示图形的数据和指令, 还要有一个高速的处理器。由于这一时期使用的计算机图形硬

件(大型计算机和图形显示器)是相当昂贵的,因而成为影响交互式图形生成技术进一步普及的主要原因。因此,只有上述这些大公司才能投入大量资金研制开发出只供本公司产品设计使用的实验性系统。

3. 推广应用阶段

进入 20 世纪 70 年代以后,由于集成电路技术的发展,计算机硬件性能不断提高,体积缩小,价格降低,特别是廉价的图形输入、输出设备及大容量磁盘等的出现,以小型计算机及超级小型机为基础的图形生成系统开始进入市场并形成主流。由于这种系统比起大型计算机来价格相对便宜,维护使用也比较简单,因而,20 世纪 70 年代以来,计算机图形生成技术在计算机辅助设计、事务管理、过程控制等领域得到了比较广泛的应用,取得了较好的经济效益,出现了许多专门开发图形软件的公司及相应的商品化图形软件,如 Computer Vision, Intergraph, Colma 等公司推出了许多成套实用的商品化 CAD 系统,IBM 和波音公司应用 CAD/CAM 相结合技术取得了丰硕的成果,使得 CAD 成为工业设计部门不可缺少的工具和热门技术。

其中,基于电视技术的光栅扫描显示器的出现极大地推动了计算机图形学的发展。光栅扫描显示器将被显示的图像以点阵形式存储在刷新缓存中,由视频控制器将其读出并在屏幕上产生图像。光栅扫描显示器较之随机扫描显示器有许多优点:一是规则而重复的扫描比随机扫描容易实现,因而价格便宜;二是可以显示用颜色或各种模式填充的图形,这对于生成三维物体的真实感图形是非常重要的;三是刷新过程与图形的复杂程度无关,只要基本的刷新频率足够高,就不会因为图形复杂而出现闪烁现象。由于光栅扫描显示器具有许多优点,因而直至今日仍然成为图形显示的主要方式,工作站及微型计算机都采用这种光栅扫描显示器。

由于众多商品化软件的出现,在这一时期图形标准化问题也被提上议程。图形标准化要求图形软件内低层次的与设备有关的软件包转变为高层次的与设备无关的软件包。1974 年,美国计算机学会成立了一个图形标准化委员会——ACM SIGGRAPH,开始有关标准的制定和审批工作。1977 年该委员会提出了一个称为“核心图形系统 CGS”的规范。1979 年又公布了修改后的第二版,增加了包括光栅图形显示技术在内的许多其他功能,但仍作为进一步讨论的基础。

4. 系统实用化阶段

进入 20 世纪 80 年代以后,工作站的出现极大地促进了计算机图形学的发展。相对小型计算机来说,工作站在用于图形生成上具有显著的优点。首先,工作站是一个用户使用一台计算机,交互作用时,响应时间短;其次,工作站联网后可以共享资源,如大容量磁盘、高精度绘图仪等,而且它便于逐步投资、逐步发展、使用寿命较长。因而,工作站已经取代小型计算机成为图形生成的主要环境。20 世纪 80 年代后期,微型计算机的性能迅速提高,配以高分辨率显示器及窗口管理系统,并在网络环境下运行,使它成为计算机图形生成技术的重要环境。由于微机系统价格便宜,因而得到广泛的普及和推广,尤其是微型计算机上的图形软件和支持图形应用的操作系统及其应用程序(如 Windows、Office、AutoCAD、CorelDRAW、Freehand、3ds Max 等)的全面出现,使计算机图形技术的应用深度和广度得到了前所未有的发展。

5. 标准化智能化阶段

进入 20 世纪 90 年代, 计算机图形学的功能除了随着计算机图形设备的发展而提高外, 其自身也朝着标准化、集成化和智能化的方向发展。一方面, 国际标准化组织公布的有关计算机图形学方面的标准越来越多且更加成熟。目前, 由国际标准化组织发布的图形标准有计算机图形接口标准(Computer Graphics Interface, CGI)、计算机图形元文件标准(Computer Graphics Metafile, CGM)、图形核心系统(Graphics Kernel System, GKS)、三维图形核心系统(Graphical Kernel System for Three Dimensions, GKS 3D)和程序员层次交互式图形系统(Programmer's Hierarchical Interactive Graphics System, PHIGS); 另一方面, 多媒体技术、人工智能及专家系统技术和计算机图形学相结合使其应用效果越来越好, 使用方法越来越容易, 许多应用系统具有智能化的特点, 如智能 CAD 系统。科学计算的可视化、虚拟现实环境的应用又向计算机图形学提出了许多更新更高的要求, 使得三维乃至高维计算机图形学在真实性和实时性方面将有飞速发展。

1.3 计算机图形技术的应用

由于计算机图形系统的硬、软件性能日益提高, 而价格却逐步降低, 因此计算机图形生成技术的应用日益广泛, 并已应用于工业、科技、教育、管理、商业、艺术、娱乐等许多行业。目前, 其主要应用于以下领域。

1. 图形用户界面

软件的用户接口是人们使用计算机的第一观感。过去传统的软件中有 60% 以上的程序是用来处理与用户接口有关的问题和功能的, 因为用户接口的好坏直接影响着软件的质量和效率。如今在用户接口中广泛使用了图形用户界面(Graphical User Interface, GUI), 如菜单、对话框、图标和工具栏等, 大大提高了用户接口的直观性和友好性, 也提高了相应软件的执行速度。

2. 计算机辅助设计与制造(CAD/CAM)

计算机辅助设计(Computer Aided Design, CAD)和计算机辅助制造(Computer Aided Manufacturing, CAM)是计算机图形学最广泛、最活跃的应用领域, 国际上已利用计算机图形学的基本原理和方法开发出 CAD/CAM 集成的商品化软件系统, 广泛地应用于建筑设计、机械产品设计。大到飞机、汽车、船舶的外形设计, 小到传感器的结构设计, 同时对上述产品进行有限元分析、应力彩色云图输出、动态仿真和模具设计制造, 在产品阶段即可对其关键部件进行结构分析和优化设计, 并实现 CAD/CAM 一体化, 从而缩短产品设计周期, 节省原材料, 提高产品设计质量。此外计算机图形学还应用到集成电路、印制电路板、电子线路及网络分析上, 其效益十分明显。在产品设计和制造方面, CAD/CAM 技术被广泛应用于电动机、汽车、船舶、机电、轻工、服装的外形设计和制造。例如, 美国波音公司, 由于采用 CAD 技术, 使波音 727 的设计提前两年完成; 又如美国通用汽车公司, 利用 CAD 系统把产品设计、制造、模拟试验和检查测试结合起来, 组成一体化集成系统, 使汽车设计周期由 5 年缩短到 3~4 年。在电子工业中, CAD 技术应用到集成电路、印制

电路板、电子线路和网络分析等方面的优势是十分明显的。一个复杂的大规模或超大规模集成电路版图根本不可能用手工设计和绘制,而用 CAD 进行设计。因为使用 CAD 可以在较短的时间内完成,并把结果直接送至后续工艺进行加工处理。为了降低工程造价、提高设计效率,在建筑、石油、冶金、地质、电力、铁路、公路、化工等工程设计中也广泛采用 CAD 技术。例如,在应用 CAD 进行建筑设计时,不仅可以进行总体的外观效果图设计,还可以完成结构设计、给排水设计、电器设计和装饰设计等,对密集的楼群地段也可以进行光照分析。

目前, CAD/CAM 集成化软件系统可实现创成式加工(Generative Machining),在一个统一的环境中完成加工工艺计划、工具定义和编程任务。面向团队加工,基于 CAD/CAM 集成化软件提供的强大框架,可以设计和加工同步工程。可以在设计进行到一定阶段后开始加工工艺编程,保证零件的工艺性,缩短新产品的开发周期。创成式加工能够将成熟的加工工艺内存为加工规则和方法,并在同类加工中调用,从而实现标准化加工,实现三轴、五轴和多轴加工。标准化后的 CAD/CAM 集成化处理,极大地改变了机械制造业的面貌,从而走向先进制造技术之路。

3. 事务和商务数据的图形展示

应用图形技术较多的领域之一是绘制事务和商务数据的各种二维、三维图表,如直方图、柱形图、扇形图、折线图、工作进程图、仓库和生产的各种统计管理图表等,所有这些图表都用简明的方式提供形象化的数据和变化趋势,以增加对复杂对象的了解和对大量分散数据的规律分析,以便做出正确的决策。

4. 地形地貌和自然资源的图形显示

应用计算机图形生成技术产生高精度的地理图形或自然资源的图形是计算机图形学的另一个重要的应用领域,包括地理图、地形图、矿藏分布图、海洋地理图、气象气流图、植物分布图以及其他各类等值线、等位面图等。目前,建立在地理图形基础之上的地理信息管理系统(主要包括地理信息和地图)已经在许多国家得到广泛应用。地理信息系统是当前信息社会中政府部门对资源和环境进行科学管理和快速决策时不可缺少的工具,可广泛应用于农林、地质、旅游、交通、测绘、城市规划、土地管理、环境保护、资源开发和灾害监测以及各种与地理空间有关的行业部门。

5. 过程控制及系统环境模拟

各种实时过程可以用计算机来实现对实时过程的监控,准确地显示当前的运行状态。同时,可以对这些过程进行反馈控制,一旦有异常现象发生,系统可以采取各种相应的应急措施。例如,石油化工、金属冶炼、电网控制的有关人员可以根据设备关键部位的传感器送来的图像和数据,对设备运行过程进行有效监视和控制;机场的飞行控制人员和铁路的调度人员可通过计算机产生的运行状态信息来有效、迅速、准确地调度,调整空中交通和铁路运输。此外,大量的军事指挥系统等也可采用计算机图形处理技术进行监视与控制。

6. 电子出版及办公室自动化

图文并茂的电子排版、制版系统代替了传统的铅字排版,这是印刷史上的一次革命。随着图、声、文结合的多媒体技术的发展,配合迅速发展的计算机网络,可视电话、电视

会议、远程诊断以及文字、图表等的编辑和硬复制正在家庭、办公室中普及。伴随计算机和高清晰度电视结合产品的推出,这种普及率将会越来越高,进而会改变传统的办公、家庭生活方式。

7. 计算机动画及广告

传统的动画片都是手工绘制的。由于动画放映一秒钟需要 24 幅画面,仅 10min 的动画就需要 $10 \times 60 \times 24 = 1440$ 幅画面,可见手工绘制的工作量是相当大的。由于计算机图形系统硬件性能的提高,软件功能也增强了,因而利用图形工作站和高性能计算机来制作计算机动画、广告,甚至电视电影已经相当普遍,其中有的影片还获得了奥斯卡奖。计算机制作动画只需画出关键帧画面,中间画面可自动插入,从而大大节省了时间,提高了动画制作的效率。目前,国内外不少单位正在研制人体模拟系统,这使得在不久的将来把历史上早已去世的著名影视明星重新搬上新的影视片成为可能。利用计算机制作的动画不仅广泛用于电影、电视等领域,而且可以模拟各种试验,如核反应、化学反应、汽车碰撞、地震破坏等,使这些试验既安全可靠,又节省开支。

8. 计算机艺术

计算机图形技术被广泛地应用于美术和商用艺术中。将计算机图形学与人工智能技术结合起来,可构造出丰富多彩的艺术图像,如各种图案、花纹、工艺外形设计及传统的油画、中国国画和书法等,这是近年来计算机图形学的又一个重要的应用领域。利用专家系统中设定的规则,可以构造出形状各异的美术图案。此外还可以利用计算机图形学技术生成盆景和书法等。

9. 科学计算的可视化

随着科学技术的进步,人类面临着越来越多的数据需要进行处理,这些数据来自高速计算机、人造地球卫星、地震勘探、计算机层析成像和核磁共振等途径。可视化(Visualization)就是在这种背景下发展起来的,它把数据转换成易于被人接受和理解的形式——图形。可视化技术是在计算机图形学的基础上发展起来的,今天它已经发展成研究用户界面、数据表示、处理算法、显示方式等一系列问题的一个综合性领域,成为人们分析自然现象、研究社会经济发展规律和态势、认识客观事物的本质及变化规律的得力助手。

根据所研究对象的领域不同,可视化可分为科学可视化(Scientific Visualization)、数据可视化(Data Visualization)和信息可视化(Information Visualization)。科学计算可视化就是应用计算机图形生成技术将科学及工程计算的中间结果或最后结果以及测量数据等在计算机屏幕上以图像形式显示出来,使人们能观察到用常规手段难以观察到的自然现象和规律,实现科学计算环境和工具的进一步现代化。科学计算可视化可广泛应用于计算流体力学、有限元分析、气象科学、天体物理、分子生物学、医学图像处理等领域。数据可视化比科学可视化有更广泛的内涵,不仅包含工程技术领域数据的可视化,还包含其他领域,如经济、商业、金融、证券中数据的可视化。信息可视化一般是指 Internet 上的超文本、目录、文件等抽象信息的可视化。上述可视化技术的应用已迅速发展经济、商业、金融、医学、物理学、化学、地质学、显微影像学、工业检测、航空航天和科学计算等诸多领域。

10. 地理信息系统

在图形技术、信息管理技术以及数据库技术相结合的地理信息系统(Geographic Information System, GIS)中,图形起着核心和控制作用,利用计算机图形学可以绘制地理的、地质的,以及其他自然现象的高精度勘探,测量其图形(如地理图、地形库、矿产分布图、海洋地理图、气象气流图、人口分布图、电场及电流分布图以及各类等值线、等位面图)。目前,地理信息系统已在许多国家得到广泛的应用。

11. 工业模拟

这是一个十分大的应用领域,包含对各种机构的运动模拟和静态、动态装配模拟,在产品和工程的设计、数控加工等领域迫切需要。它要求的技术主要是计算机图形学中的产品造型、干涉检测和三维形体的动态显示。

12. 计算机辅助教学

计算机图形技术已广泛应用于计算机辅助教学(Computer Aided Instruction, CAI)系统中,它可以使教学过程形象、直观、生动,极大地提高学生的学习兴趣 and 教学效果。由于个人计算机的普及,计算机辅助教学系统将深入到家庭和幼儿教育。

计算机辅助教学还有许多其他的应用领域。例如,农业上利用计算机对农作物的生长情况进行综合分析、比较时,就可以借助计算机图形生成技术来保存和再现不同种类和不同生长时期的植物形态,模拟植物的生长过程,从而合理地进行选种、播种、田间管理以及收获等。在轻纺行业,除了用计算机图形技术来设计花色外,服装行业用它进行配料、排料、剪裁甚至三维的人体服装设计。在医学方面,可视化技术为准确的诊断和治疗提供了更为形象和直观的手段。近年来,利用计算机图形系统提供的人体三维模型,可供医学院学生进行人体解剖训练,既解决了实际人体解剖对象的短缺,又丰富了学生的解剖实践,学生可以在计算机上进行由皮肤表层到内部骨骼逐步深入的人体解剖动画实验。当然,目前这类软件还处在不断开发和逐渐走向成熟的阶段。在刑事侦破方面,计算机图形技术被用来根据所提供的线索和特征,再现当事人的图像及犯罪场景。CAI在数学、物理、化学、机械等学科的应用也极为广泛,相信在较短的时间内将取得突破性的进展。

总之,交互式计算机图形学的应用极大地提高了人们理解数据、分析趋势、观察现实或想象形体的能力。随着个人计算机和工作站的发展以及各种图形软件的不 断推出,计算机图形学的应用前景将会更加广阔。

1.4 计算机图形系统

计算机图形系统与一般的计算机系统是相同的,由硬件和软件两方面组成,硬件由主机和输入/输出设备组成,软件由系统软件和应用软件组成。本节主要介绍计算机图形系统的特别之处。

1.4.1 计算机图形系统的组成

计算机图形系统与一般计算机系统相比,要求主机性能更高,速度更快,存储容量更

大, 外设种类更齐全。硬件系统除了包含计算机主机、图形显示器、鼠标器、键盘、打印机等外, 通常还包括数字化仪(图形输入板)、扫描仪、绘图仪等。软件系统除了包括操作系统、高级语言外, 通常还包括图形软件, 如图 1.4 所示。

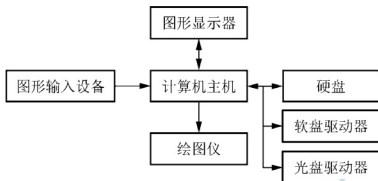


图 1.4 计算机图形系统

一个典型的计算机图形系统包括处理、存储、交互、输入和输出 5 个基本功能。

1) 处理功能

计算功能层包括形体设计、用于分析的方法程序和有关描述形体的图形数据库。在图形数据库中应具有图形坐标变换(如变比例、平移、旋转、投影等), 曲线和曲面的形成, 图形的交点、交线、交面的计算, 包含性检验等功能。

2) 存储功能

在计算机的内存、外存中能存放各种数据, 尤其是图形数据及图形数据间的相互关系。可根据用户的要求实现有关信息的实时检索, 图形的变更、增加、删除等各种图形数据编辑处理工作。

3) 交互功能

交互功能是通过图形显示器直接进行人机对话的功能。用户通过显示屏观察设计的结果, 用光笔或图形输入板等图形输入设备对不满意的部分进行修改。除了图形对话的功能外, 还可以由系统追溯到以前的工作步骤, 跟踪检索出错的地方, 对用户的操作错误给予必要的提示和跟踪。

4) 输入功能

输入功能允许用户把设计过程中图形的形状、尺寸和必要的数据及操作命令等输入到计算机中。

5) 输出功能

为了长期保存计算结果或显示需要的图形、信息等, 需要有输出功能。输出功能包括显示输出和硬拷贝输出两方面功能。显示输出主要是将图形的设计结果或先前已经设计好的图形在显示终端显示出来, 供用户查看或修改。硬复制输出是为了将那些需要长期保存或需要以印刷形式下载的图形或将非图形信息以图形、图像和非图形文件打印输出。这 5 种功能是一个图形系统所应具备的最基本的功能。计算机图形系统的基本功能框图如图 1.5 所示。

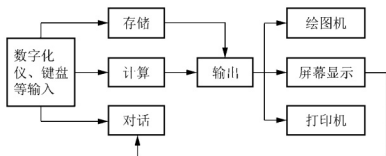


图 1.5 计算机图形系统基本功能框图

计算机图形系统与一般计算机系统的主要区别有以下几点。

(1) 图形运算要求 CPU 有强大的浮点运算能力，而一般计算机系统的应用仅侧重于整数运算，浮点运算较少，CPU 的浮点运算能力要求较低。

(2) 图形显示要求有功能强大的显示能力，包括要配备专业图形加速卡和大屏幕显示器。而一般计算机系统的应用主要侧重于字符显示，不需要专业图形加速卡和大屏幕显示器。图形加速卡目前发展很快，3D 显示卡已发展了四代，并已发展成为可与中央处理器(CPU)相提并论的图形处理器(GPU)，如 nVIDIA 公司的 GeForce 256 显示芯片。GPU 的出现使 CPU 的负担大大减轻，显示速度和质量明显提高。

(3) 输入设备除了常用的键盘和鼠标之外，一般还要配备数字化仪和扫描仪。数字化仪主要用于线条图形的输入，扫描仪主要用于面状图像的输入。目前，扫描仪的发展很快，功能更全面，配合某些矢量化软件，也可把线条图形扫描后自动识别输入计算机，大大提高了工作效率，有取代数字化仪之势。

(4) 输出设备除了针式打印机和激光打印机外，一般还要有面向图像的彩色打印机和面向线条的笔式绘图仪。彩色打印机一般可分为低档的彩色喷墨打印机、中档的热蜡式打印机和高档的热升华打印机。目前，由于喷墨打印机技术的不断进步以及价格低廉，而笔式绘图仪不易使用、容易损坏，热蜡式打印机和热升华打印机又过于昂贵，因此性能优良的彩色喷墨打印机逐渐成为图形输出设备的主流产品和用户的首选设备。它既能打印文字(质量比针式打印机好但比激光打印机差)，又能打印线条和图像。打印的线条比笔式绘图仪略差，但质量可以达到满意的程度，线条笔直，看不出锯齿状；打印的图像质量与所用纸张的质量有关，好的纸张可打印出照片级质量，与中高档打印机差距不大；差的纸张打印效果较差，与中高档打印机差距很大，但中高档打印机也要求纸张的质量要好。

计算机图形系统可分为四类：以大型机为基础的图形系统，以中型或小型机为基础的图形系统，以工作站为基础的图形系统和以微型计算机为基础的图形系统。其中后两类图形系统是最常用的，特别是以微型计算机为基础的图形系统具有投资小，见效快，操作简单，应用面广，发展迅速，硬件设备更新快，能迅速满足各种用户的需要等特点，因而受到各种用户的普遍欢迎。尽管以微型计算机为基础的图形系统在图形处理速度和存储空间方面都具有一定的局限性，但随着微型计算机技术的飞速发展，使微型计算机的功能大大提高，在部分的功能上可取代 CAD 工作站，价格却呈下降趋势。另一方面，还可以利用网络技术实现软硬件资源共享，从而部分地弥补它的不足。

个人计算机采用开放式体系，CPU 以 Intel、AMD 和 Cyrix 公司的产品为主，操作系统以 Microsoft 公司的 DOS 和 Windows 为主，厂商以 Compaq、IBM、Dell、Acer 和 Lenovo

为主, 价格便宜, 用户很多。其处理系统包括处理、存储、交互、输入、输出五个基本功能。

工作站采用封闭式体系, 不同的厂家采用的硬件和软件不尽相同, 不能相互兼容。主要厂家有 SUN、HP、IBM、DEC 和 SGI 等。工作站价格昂贵, 用户较少, 一般都是专业公司或专业人员才拥有。目前, 由于个人计算机发展很快, 个人计算机与工作站的性能差别逐步缩小, 高档的个人计算机的性能已经超过低档的工作站的性能, 所以高档的个人计算机图形系统逐步成为计算机图形系统的首选, 特别是对于广大的普通用户而言。

硬件系统包括计算机主机、图形显示器、鼠标器、键盘、数字化仪(图形输入板)、扫描仪、绘图仪、打印机等。软件系统包括操作系统、高级语言、图形软件和应用软件。操作这个系统的人也是系统的组成部分。在整个系统运行的过程中, 人始终处于主导地位。

1.4.2 常用图形输入设备

图形系统配置有许多图形输入设备, 用以输入数据或操作命令。常用的输入设备有键盘、鼠标、光笔、数字化仪(图形输入板)、图形扫描仪等。

1. 键盘

图形输入设备的键盘与电传打字机、微机键盘相似。除通常所用的以 ASCII 编码的键外, 还有一些功能键和命令控制键, 用以在进行图形操作时完成某一特定功能, 如指定图形几何变换方式等。

2. 鼠标器

鼠标器是一种控制显示屏幕上光标移动的小型手控设备。从它第一次问世到现在已经由最初的一个粗劣的带一个按钮的木制品发展成为一个复杂而精巧的输入设备, 它的作用已和键盘同样重要。鼠标器有机械式和光电式两种。机械式鼠标器用底面附带的小球在桌面上滚动来移动光标。光电式鼠标器则使用光点在特制的反射板上移动而使光标移动。鼠标器的按钮一般为两个(或三个), 最左边的为“拾取”按钮, 其余的按钮可由用户定义。

3. 数字化仪

数字化仪是专门用来读取图形信息的计算机输入设备, 有二维和三维的两种。小型的数字化仪也称图形输入板。

数字化仪一般由两部分组成, 如图 1.6 所示。第一部分是感应板, 第二部分是点设备, 又叫传送器或游标。感应板是数字化仪最重要的部分, 当点设备在上面移动时, 就得到相应的电信号。点设备有 4 键定标器、16 键定标器和接触开关笔等。这些点设备的使用方法很简单, 当把图纸放在感应板的有效面积上, 要将图形输入到计算机时, 只要将定标器的十字线对准要输入的点, 然后按一下键, 就可将坐标输入到计算机中。连续地移动游标, 就可完成图形上一系列点的坐标的输入。这种功能称为定位功能。除此以外, 数字化仪还具有拾取、选择、笔画等功能。

4. 图形扫描仪

图形扫描仪是直接吧图形如工程图纸和图像(如照片)扫描输入到计算机中, 以像素信息进行存储表示的设备。在文字识别、排版、图纸自动录入领域广泛应用。按所支持的颜

色分类,可分为单色扫描仪和彩色扫描仪。按扫描宽度和操作方式可分为大型扫描仪、台式扫描仪和手动式扫描仪。扫描仪最重要的参数是光学精度,即扫描精度(分辨率),其次是反映单色和彩色深度值的 bit(位)数。

手动式扫描仪价格低廉,但定位精度较差。台式扫描仪应用最广泛,其扫描范围一般为 A4 或 A3 幅面,扫描分辨率为 300DPI~1 200DPI(Dots Per Inch, 每英寸点数),可以生成二值图像、4 位或 8 位灰度图像,彩色扫描仪可生成 24 位(1 677 万种)或 36 位(687 亿种)RGB 真彩色图像。台式扫描仪多为彩色的,而且价格也越来越便宜。大型扫描仪(见图 1.7)输入的最大幅面可达 A0 的工程图纸,并且具有和台式扫描仪几乎同样的扫描精度,但价格昂贵。扫描仪的驱动软件可生成 BMP(Windows 位图文件)、PCX(PC 图片文件)、TGA(Targeted Graphics 影像文件)、TIF(TIF 影像文件)等十几种标准格式的图像文件。



图 1.6 数字化仪



图 1.7 图形扫描仪

5. 数码照相机

数码照相机是专门用来获取数字图像的照相机。数码照相机虽然从外观上看很像一架普通的光学照相机,它也有机身、镜头和闪光灯等部件,但数码照相机与光学相机的内部结构大不相同。数码照相机利用电耦合器件成像,图像存储在半导体器件上。

数码照相机作为计算机的输入设备,将存储在半导体器件上的图像输入到计算机中,并利用相应的软件(如 Photoshop)进行编辑处理,然后用彩色打印机打印输出,生成彩色“照片”。数码照相机的图像用软盘、硬盘或光盘保存,而且它的图像存储介质可以反复使用。

最早的数码照相机摄入的图像是存储在一个特殊的内存中。内存的容量限制了存储照片的数量,特别是存储高分辨率图像时,对内存空间的要求就更大。而内存是无法随时扩充和更换的,当内存已经被占满后,就必须将图像输入计算机或将它们删除,这在外出拍照时很不方便。为解决这个问题,目前数码照相机一般使用存储卡来存储图像。使用存储卡存储图像时,可以随时更换、插拔,而且存储容量大。

扫描仪和数码照相机是计算机的一类特殊的输入设备,它们所输入的是对象的图像,即将对象的颜色或浓淡量化成点阵的形式。例如,输入一张工程图纸,图纸上的图线变成了描绘这条图线的点集,而不再是定义该图线时的矢量。如果要修改图纸,点阵形式的数据使用起来就不方便了,必须要将它们矢量化,还原成矢量形式的图线,再进行修改。

6. 光笔

光笔可以作为一种选项设备。如果用它指向屏幕上的一项,它就能从由程序定义的这一项里得到信息。光笔的两个主要部件是光电管和一个能把光笔可见范围内的所有光聚在上面的光学系统中。光笔的外壳像支笔,人们可握住它并指向屏幕。在这个笔壳里还要有一个手动开关或一个允许光达到光电管的光闸。光电管的输出被放大,然后送到检测器里

面。当笔指向一个足够量的光源时，检测器被置位。

光笔还可以作为定位设备，即用光笔输入一个位置的坐标值。用光笔定位时，屏幕上没有显示对象，这时必须提供另一种光源给光笔用于采光，这个光源就是发自光笔的光标。因此，光笔有针对屏幕上已显示图像的采光系统和一个针对光笔本身所产生的光标的光采系统，这两个系统采的光分别控制不同的逻辑部件工作。光标的形式应是有有一个对称中心的任一方向的形状，通常采用“+”号、“米”字、“回”字等。图 1.8 所示是光笔的工作原理图。

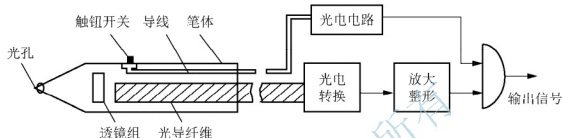


图 1.8 光笔工作原理

光笔的性能指标主要由它指向屏幕时的反应速度来决定。高速显示器就要求光笔有特别高的响应速度。快速响应光笔可用光电倍增管等高灵敏度光电管制造。

光笔的缺点是：如果屏幕调整不合适，可能检测到假目标，而检测不到预想的物体。另外，由于用户每次都要把笔拿起来，再指向屏幕，然后再放下，这会使用户感到很疲惫。现在，越来越多的系统都采用图形输入板或鼠标器来模拟光笔的选项功能，光笔的使用正在逐步减少。

1.4.3 常用图形输出设备

常用的图形输出设备一般可分为两大类：一类是用于交互作用的图形显示器；另一类为输出永久性图形的绘图设备。

1. 图形显示器

图形显示器是计算机图形系统中必不可少的一种图形输出设备。虽然已有各种各样的图形显示装置和许多新的显示技术及显示设备出现，但目前占统治地位的仍然是 LCD(液晶)。

CRT 是利用电子在偏转系统的控制之下轰击屏幕表面的荧光粉，致使荧光粉发光而产生可见图形。图 1.9 给出了 CRT 结构。

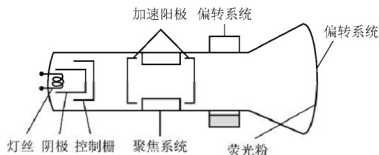


图 1.9 CRT 结构

其工作过程为:电子枪发出高速电子,聚焦成电子束,经偏转部件做偏转后打在荧光屏的某一预定位置上,当 x 、 y 方向的偏转系统所加电压为变量时,即可控制电子束在屏幕上来回运动。CRT显示器具有分辨率好、可靠性高、速度快和成本低等优点。

CRT显示器的主要性能指标有两个,一个是分辨率,另一个是显示速度。

(1) 分辨率(Resolution)是指在CRT显示器屏幕单位面积上所能显示的最大光点数,也称作物理分辨率(Physical Resolution)。当然,所能显示的光点数越多,每个光点的面积就越小,描绘图形的精细程度就越高,它的分辨率就越高。当前,人们往往把整个屏幕上的光点数看做是分辨率,这种分辨率被称作逻辑分辨率(Logical Resolution),例如,称某个显示器的分辨率为 1024×1024 像素。这种度量并不够严密,因为具有相同分辨率(如 1024×1024 像素)的显示器可具有不同的屏幕尺寸,而大屏幕的光点面积当然就大,其显示图形的精细程度就差。

还有一个衡量显示器显示图形精细程度的指标就是点间距,即两个相邻光点中心的距离。这个距离越小,就说明光点面积越小,分辨率越高。目前常用显示器的点间距为 $0.25 \sim 0.35\text{mm}$ 。

(2) 显示速度是指CRT显示器每秒钟可显示矢量线段的条数。显示速度与它的偏转系统的速度、矢量发生器的速度和计算机发送显示命令的速度等有关。如果CRT显示器的偏转系统为偏转电场式的,其满屏偏转只需 $3\mu\text{s}$,并且它的结构复杂,成本也较低,因而目前应用得较为普遍。

根据CRT显示器的工作方式,可将其分为3类:随机扫描存储管方式、随机扫描刷新方式和光栅扫描方式。前两类虽具有分辨率高、画线速度快且好等优点,但由于其难以生成具有多级灰度或颜色、色调连续变化的具有真实感的图形,而且价格昂贵,所以一直未能普及。而光栅扫描图形显示器却以能生成具有高度逼真感的图形和低廉的价格后来居上,成为显示器市场的主流。目前,光栅扫描图形显示器已成为个人计算机、工程工作站等各种类型计算机所普遍使用的一种最重要的信息显示设备。

1) 随机扫描显示系统

随机扫描显示系统的基本结构如图1.10所示。其中的显示处理器(Display Processor)承担图形的刷新操作。

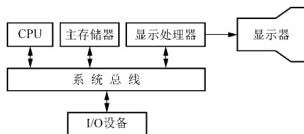


图 1.10 随机扫描显示系统基本结构

在图1.10所示的系统中,应用程序与图形软件包存放在主存储器中。应用程序中的图形命令由图形软件包翻译成显示文件并存在主存中。显示处理器访问这个显示文件,并将该图形文件描绘的图形显示在屏幕上。显示处理器每遍历一次显示文件中的所有命令就完成一个刷新周期,刷新周期的长短与显示文件的大小有关。随机扫描显示系统中的显示处理器有时还称作显示处理部件(Display Processing Unit)或图形控制器(Graphics Controller)。

在随机扫描显示系统中,电子束是按图形生成的轨迹产生偏转的。线段是由两个端点定义的,一个是起点(x_1, y_1),另一个为终点(x_2, y_2)。电子束从起点坐标移动到终点坐标,一条直线段就画成了。电子束的偏转过程受水平偏转电压和垂直偏转电压的控制。而水平偏转电压和垂直偏转电压与 Δx 和 Δy 成正比。其中,

$$\Delta x = x_2 - x_1$$

$$\Delta y = y_2 - y_1$$

这种显示器的工作原理图如图 1.11 所示。计算机把显示文件放到指令寄存器中,显示图形时,从指令寄存器中取出指令,包括画线、画圆等作图指令和方式指令,送到显示控制器和运算器中,由显示控制器控制电子束偏转和电子束的强弱,由运算器得到的 x, y 的坐标放入 x, y 坐标寄存器,然后通过数/模转换把数字信号变成模拟信号,产生图形,共同控制 CRT 的工作,使其可轰击荧光屏上的荧光粉,从而出现一条发亮的图形轨迹。这种显示器具有高度的动态性能、较高的分辨率、明显的对比度、线条质量好和易于修改等优点。但由于这种显示器需要至少 30Hz 的重复扫描,所以画线的长度受限制。一旦线段过长,图形将发生闪烁。

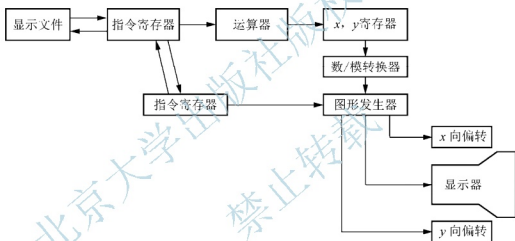


图 1.11 随机扫描显示器工作原理图

2) 光栅扫描显示系统

一个交互式光栅扫描显示系统的系统结构如图 1.12 所示。它是由 CPU、主存储器、帧缓冲器、视频控制器和显示器构成,并通过系统总线连接。

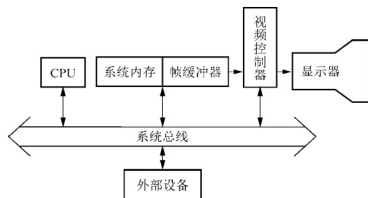


图 1.12 光栅扫描显示系统

(1) 帧缓冲器。帧缓冲器可以是主存储器中划出的一个固定区域,也可以是一个独立的随机存取存储器。它的主要功能是为显示装置提供刷新信息。

帧缓冲器中的存储单元与显示屏幕上的像素一一对应,单元中存有与之对应像素的强度值,如图 1.13 所示。屏幕上像素位置定义在笛卡尔坐标系中,通常将坐标原点定义在屏幕的左下角,屏幕表面处于该二维系统的第一象限,如图 1.14 所示。

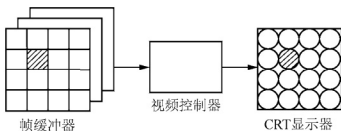


图 1.13 帧缓冲器中存储单元与像素的对应关系

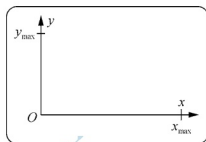


图 1.14 屏幕空间的笛卡尔坐标系

① 像素的颜色和灰度等级。光栅扫描显示系统根据系统的设计要求,可以为用户提供多种颜色和亮度等级的选择,它们用从 0 到某一正整数之间的整数值编码。对于 CRT 显示器,这些颜色编码被转换成电子束的强度值,而对于彩色打印机,它们将控制墨水的颜色或碳粉的颜色。

在彩色光栅扫描显示系统中,可选颜色的种类取决于帧缓冲器中为每个像素所对应存储单元的字长。如果存储像素强度值的单元字长为 n ,则它显示颜色的种类可达到 2^n 种。颜色信息可以用两种方式存放在帧缓冲器中,一种是将颜色编码直接存于帧缓冲器中,而另一种方式是采用查色表法,将颜色编码存放于查色表中,而帧缓冲器中存放的则是查色表的入门地址。

如果采用直接存储方式,帧缓冲器中相应的各个单元中存入的就是该像素的颜色二进制编码。如果每个单元的字长为 3 位,每一位控制 RGB 显示器中的一支电子枪的亮度等级(开或关)如图 1.15 所示,则该显示器就可具有 8 种不同的颜色,见表 1-1。

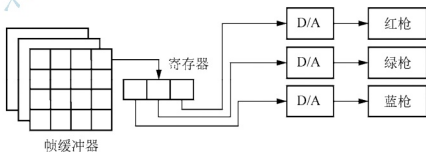


图 1.15 帧存字长为 3 位的彩色显示系统

表 1-1 3 位字长的 8 种颜色编码

颜色编码	红	绿	蓝	像素显示的颜色
0	0	0	0	黑
1	0	0	1	蓝
2	0	1	0	绿
3	0	1	1	青

续表

颜色编码	红	绿	蓝	像素显示的颜色
4	1	0	0	红
5	1	0	1	品红
6	1	1	0	黄
7	1	1	1	白

如果采用查色表(Lookup Table)方式,它的结构(只画出3支电子枪中的一支,其余两只也相同)如图1.16所示。

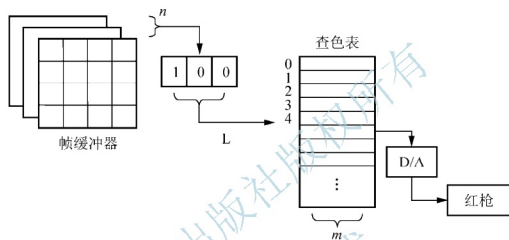


图 1.16 带查色表的像素颜色值存储结构(局部)

图1.16中只给出了该体系结构的一部分(红电子枪),控制绿电子枪和蓝电子枪的两部分与红电子枪部分的结构相似。在这个体系结构中,假设控制红、绿、蓝3支电子枪强度的编码各为 n (帧缓冲器的字长为 $3n$),则各个查色表的长度 $L=2^n$,即对于每一个帧缓冲器单元中的二进制编码,都有一个查色表的入口地址与之对应,即都可在查色表中找到相应的颜色编码。查色表的宽度 m 应大于 n 。从该系统的结构可以看出,查色表的加入并没有真正扩大同时可显示颜色的种类,但是它却为用户提供了一个更大的选择可同时显示颜色的范围。以图1.16为例,该系统允许用户从 2^{3m} 种颜色中选出 2^{3n} 种作为同时显示的颜色。由于查色表的内容由用户随时收变。从而使用户能够方便地试验和确定更适合于显示对象的颜色组合,而不必去修改图形文件中原有的数据。同时,在科学可视化和图像处理技术中,查色表是通过设置阈值从而使像素分类或分色的有用工具。可见,查色表的引入虽然没有增加同时可显示颜色的种类,但它却扩大了可选择颜色的范围,为用户确定优化的颜色组合带来了方便。

单色的CRT显示器虽然没有表示图形对象颜色的能力,但仍可以控制电子束的强度,使像素产生不同的浓淡效果,称作灰度等级(Gray Scale 或者 Gray Level)。对于字长为2的单色帧缓冲器,其灰度等级的编码就有4种,即具有4级灰度,见表1-2。如果字长为 n ,则其灰度等级为 2^n 种。

表 1-2 具有 4 级灰度的编码

帧缓冲器中的编码	显示的灰度
00	黑
01	暗灰
10	亮灰
11	白

显而易见, 帧缓冲器的字长越长, 其像素的灰度等级就越高, 所表现图形对象的层次感就越强。

② 帧缓冲器容量的计算。光栅扫描显示系统帧缓冲器的容量设计与显示器分辨率和可显示的种类有关。帧缓冲器的容量可表示为如下形式:

$$\text{帧缓冲器容量(位)} = \text{显示器分辨率} \times \text{位数/像素} \quad (1.1)$$

或

$$\text{帧缓冲器容量(位)} = \text{显示器像素个数} \times \text{位数/像素} \quad (1.2)$$

需要说明的是, 由于帧缓冲器的寻址系统地址数必须是 2 的整数次幂, 在计算帧缓冲器容量时, 也必须满足帧缓冲器的地址精度 P 大于或等于分辨率 R , 否则, 这个设计会出现不受控制的像素。

例如, 某彩色 CRT 光栅扫描系统可显示 16 777 216 种颜色, 其显示器的分辨率为 1 024×1 024 像素。那么该系统帧缓冲器的容量应做如下设计:

根据式(1.1), 有

$$\text{帧缓冲器容量} = \text{显示器分辨率} \times \text{位数/像素}$$

由于 $16\,777\,216 = (2^8)^3 = 2^{24}$, 所以, 每个像素应有 24 位字长, 即

$$\text{位数/像素} = 24 \text{ 位} \quad (1.3)$$

将式(1.3)代入式(1.1), 有

$$\begin{aligned} \text{帧缓冲器容量} &= 1\,024 \times 1\,024 \text{ 像素} \times 24 \text{ 位/像素} \\ &= 24\text{Mbit} \\ &= 3\text{MB} \end{aligned}$$

该帧缓冲器的容量应设计为 3MB。

假如该显示器的分辨率为 640×480 像素, 则帧缓冲器的容量应做如下计算。

根据设计规则, 地址精度 P 应大于或等于 R , 且帧存地址数应取 3 的整数次幂, 有 $2^{10} > 640$, $2^9 > 480$, 且

$$\begin{aligned} \text{帧缓冲器容量} &= 2^{10} \times 2^9 \times 24 \\ &= 2^{19} \times 24 \\ &= 0.5\text{M} \times 24 \\ &= 12\text{Mbit} \\ &= 1.5\text{MB} \end{aligned}$$

该帧缓冲器的容量应设计成 1.5MB。

③ 光栅寻址。在光栅扫描显示系统中, 屏幕上的每一个像素都有一个帧缓冲器的单元与之对应, 存放其强度值(颜色编码或灰度编码)。屏幕上的像素位置是定义在一个笛卡儿

坐标系的二维空间中,而帧缓冲器中的存储单元是一维编址。只有找出像素二维编址与帧存储单元一维编址间的映射关系,才能将像素位置 (x, y) 与帧缓冲器单元地址建立唯一的对应关系,实现对帧缓冲器的存取操作。

如果屏幕的极限坐标为 x_{\max} 、 x_{\min} 、 y_{\max} 和 y_{\min} ,如图1.17所示,帧缓冲器在主存中的起始地址为基地址(与主存共享一个存储器),像素坐标值为 (x, y) ,则有

$$\text{帧缓冲器地址} = (x_{\max} - x_{\min} + 1) \times (y - y_{\min}) + (x - x_{\min}) + \text{基地址} \quad (1.4)$$

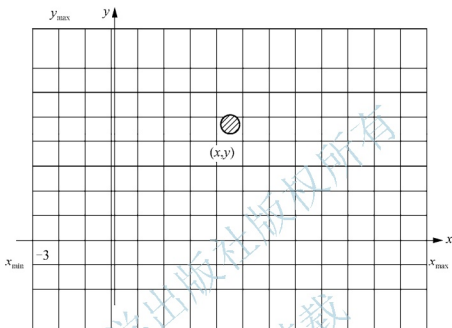


图 1.17 光栅寻址的屏幕坐标

在图1.17中, $x_{\max}=14$, $x_{\min}=-3$, $y_{\max}=10$, $y_{\min}=-2$ 。屏幕中的像素坐标值为 $x=5$, $y=-5$,基地址为100。根据式(1.4),可得

$$\begin{aligned} \text{帧缓冲器地址} &= (x_{\max} - x_{\min} + 1) \times (y - y_{\min}) + (x - x_{\min}) + \text{基地址} \\ &= [14 - (-3) + 1] \times [5 - (-2)] + [5 - (-3)] + 100 \\ &= 18 \times 7 + 8 + 100 \\ &= 234 \end{aligned}$$

假设屏幕坐标的原点位于屏幕左下角的第一个像素位置,则(1.4)式可简化为

$$\text{帧缓冲器地址} = (x_{\max} + 1) \times y + x + \text{基地址} \quad (1.5)$$

为将屏幕上 (x, y) 位置的像素指定的强度值装入帧缓冲器相关单元,需调用如下函数:

SetPixel(x, y , Intensity)

其中, x, y 为该像素在屏幕坐标中的位置。Intensity为所要存入帧缓冲器的强度值。

为从帧缓冲器中提取某个像素 (x, y) 的强度值(颜色编码或灰度编码)送去显示,需调用如下函数:

GetPixel(x, y)

④ 双缓冲技术。在一些高性能的光栅扫描显示系统中,为了解决不停顿的刷新和对图形修改或动态画面显示的矛盾,常常设置两个帧缓冲器,一个作为刷新缓冲器连在显示循环中,为显示器不间断地提供刷新信息,而另一个供动态画面显示或修改图形的新强度值

的填充。这两个帧缓冲器交替工作,当修改完毕后,或一幅新画面装填完毕后,则将该帧缓冲器切换成刷新帧缓冲器,再对另一个帧缓冲器存的画面进行修改或装填。设有两个交替工作的帧缓冲器的方法被称作双缓冲(Double Buffering)技术。双帧缓冲器交替工作的控制是由显示控制器来实现的。

(2) 显示控制器。显示控制器(Display Controller)位于帧缓冲器和 CRT 显示器之间,主要功能是执行刷新操作。在它的控制下,电子束依次从左到右扫过每一排像素,称作一条扫描线(Scan Line)。当依次从上至下扫完屏幕上的所有扫描线后,就形成一帧(Frame)图形。图 1.18 给出了显示控制器的基本刷新系统。

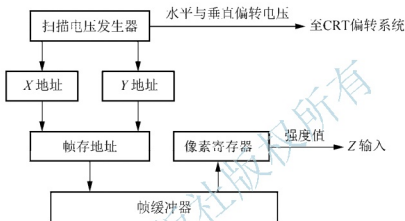


图 1.18 显示控制器的基本刷新系统

在这个系统中,扫描电压发生器按确定周期产生线性电压(锯齿波),分别控制其水平和垂直扫描操作。扫描电压发生器还同步地给出所扫描到像素的坐标位置,该坐标值以帧存地址方式到帧缓冲器中取出该单元的像素强度值,以控制电子束在该像素位置的强度。

除了基本的刷新操作之外,显示控制器还具有另外一些功能。

- ① 在双帧缓冲器显示系统中,控制帧缓冲器的交替工作。
- ② 完成将帧缓冲器输出的像素强度值(数字量)转换成控制电压(模拟量)的任务。
- ③ 实现帧缓冲器操作与 CRT 显示器间速度上的缓冲。
- ④ 配有字符库,提供字符显示功能。
- ⑤ 控制与使用查色表的功能,以方便用户快速改变像素的强度值。
- ⑥ 实现对屏幕上的图形进行缩放、旋转和平移等的基本变换功能。

还有的显示控制器被设计成具有从电视摄像机、数码照相机或其他输入设备中接收图像并与帧缓冲器中所存图形进行混合编辑的功能。

(3) 显示处理器。一些高性能的光栅扫描显示系统还具有一个专用的显示处理器(Display Processor),有时称之为图形控制器(Graphics)或显示协处理器(Display Coprocessor),如图 1.19 所示。显示处理器的功能是执行对图形的相关处理,以使 CPU 从繁杂的图形处理操作中解脱出来。在这个系统中,还为显示处理器配有专用的显示处理器存储器。显示处理器的主要任务是将应用程序中所定义的图形文件量化为图像的强度值,存放在帧缓冲器中,这个量化的过程称作扫描转换(Scan Conversion)。经过量化(Digitizing)处理,应用程序中给定的直线段或其他的几何对象的图形命令被转换成一组离散的强度值。在不带

显示处理器的系统中,这个扫描转换过程就要由CPU来承担,占用许多CPU的处理时间。显示处理器还设计有另外一些功能,包括生成各种线形(实线、虚线和点画线等),实区域显示,图形的变换与编辑等。显示处理器还常备有与图形交互设备的接口。

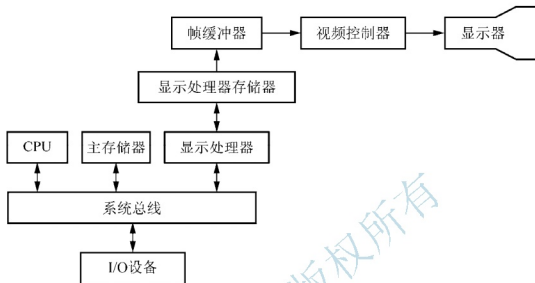


图 1.19 带显示处理器的光栅扫描显示系统

3) 光栅扫描显示系统与随机扫描显示系统的比较

光栅扫描显示系统与随机扫描显示系统由于其扫描方式上的差异而使两个系统的数据方式、显示方式及其用途等均有较大的差异。表 1-3 给出了这两个系统主要特性的比较。随机扫描显示系统中的显示文件只包含描绘直线段或字符的几何信息(矢量),而光栅扫描系统的帧缓冲器中则包含有显示屏幕上的所有像素信息,含其前景和背景的全部信息。所以光栅扫描显示系统可以描述只有真实感的图形对象和场景,而随机扫描显示系统却不行。为了节省存储空间和便于对图形的修改、编辑,光栅图形文件也往往以其几何描述的方式存储,当需要以光栅形式显示时,再通过扫描转换将几何描述变为像素阵列。

表 1-3 光栅扫描显示系统与随机扫描显示系统主要特性比较

系统	数据方式	扫描方式	显示特点	画面质量	主要用途
光栅扫描	像素阵列+ 像素强度值	确定方式 从上到下 从左到右	几何属性+ 视觉属性	有阶梯效应	具有连续色调图形显示; 真实感图形显示 虚拟现实
随机扫描	矢量数据	随机方式	几何属性为主	分辨率较高, 线条质量高	扫描图形显示, 军事 CAD

2. 个人计算机显示卡

个人计算机显示图形除了需要显示器外,还必须有一块图形显示适配器卡(以下简称显示卡,以区别专用的图形卡和图像卡)。它的发展大致经历了四代。

(1) 第一代显示标准 CGA(Color Graphics Adapter)是 1981 年 IBM 公司推出的,是具有 320×200×2 色和 640×200×2 色的彩色显示卡。显存容量为 16KB。

(2) 第二代显示标准 EGA(Enhanced Graphics Adapter)是 IBM 公司于 1984 年随 IBM PC/AT 机推出的。它既兼容了 CGA 的全部功能,又增强了彩色图形显示能力。彩色图形显示最高分辨率为 640×350 ,可同时显示 16 种颜色,颜色总数为 64 种。显存容量为 64KB。

(3) 第三代显示标准包括 MCGA、VGA 和 8514/A。MCGA(Multi-Color Graphics Adapter)是 IBM 公司 1987 年推出的 PS/2 的 25 和 30 两种机型配套的图形显示卡,它主要体现对 CGA 的高度兼容,但与 EGA 不兼容。扩展了 $640 \times 480 \times 2$ 色和 $320 \times 200 \times 256$ 色,颜色总数达 2^{18} 种。VGA(Video Graphics Array)也是 IBM 公司与 PS/2 一起推出的性能更好的图形显示卡,它与 CGA、EGA 等均保持兼容,同时还增加了若干新的显示模式: $640 \times 480 \times 16$ 色和 $320 \times 200 \times 256$ 色,颜色总数达 2^{18} 种。8514/A 是 IBM-PS/2 高档机型的显示系统,专为 CAD 等用户的需求而设计的,最高达 $1024 \times 768 \times 256$ 色,不同颜色总数为 2^{18} 种。

值得一提的是,许多兼容厂家随后又推出了形形色色的 VGA 卡,可以统称为 VGA+ 或 Super VGA(简称 SVGA),如 TVGA、PVGA 等。它们最高可达 $1024 \times 768 \times 256$ 色。

(4) 第四代显示标准为 XGA。XGA 是 IBM 公司 1990 年推出的,作为 PS/2 机型上的换代产品,最高分辨率可达 1280×1024 ,可同时显示 65 536(16 位彩色)种颜色。但因其价格昂贵以及上市不久,并未得到普及。

不同的 SVGA 之间存在着许多差别,由于缺乏统一的标准,用户在使用每一种 SVGA 卡时,都要详尽地研究具体的资料,为其编写驱动程序。这对 IBM 的推广造成了极大障碍,同时也增加了图形软件编写的难度。为了解决这些问题,一个新的工业标准化组织——视频电子标准协会(Video Electronics Standards Association, VESA)提出了一个针对 SVGA 的标准,即 VESA 标准。VESA 成员包括了主要的 SVGA 厂商,现在几乎所有的 VGA 卡上都配备了支持 VESA 标准的 BIOS,即 VESA BIOS。VESA 提供了一组附加在标准 VGA BIOS 上的功能调用,用户可以直接通过标准接口使用 SVGA 的功能,而不必研究每个具体的 SVGA,这就大大减轻了软件开发的工作量,增强了软件的可移植性。目前的 SVGA 最高分辨率可达 2500×1600 ,同一帧画面可显示的颜色数已经达到 2^{24} (24 位真彩色),甚至 2^{32} (32 位真彩色),显存 64MB。

3. 绘图仪

图形显示器只能在屏幕上显示图形,要把图形画在纸上时,需使用绘图仪或打印机。绘图仪分为笔式绘图仪和静电绘图仪两种。笔式绘图仪又分为平台式和滚筒式。

平台式绘图仪是在一块平台上画图,绘图笔分别由 x 、 y 两方向进行移动,图纸固定不动,如图 1.20(a)所示。而滚筒式绘图仪的图纸在一个方向(如 x 方向)的往复移动是靠绘图仪滚筒的转动来完成,绘图笔在另一个方向(如 y 方向)移动,如图 1.20(b)所示。

笔式绘图仪的主要性能指标包括最大绘图幅面(从 A3~A4)、绘图速度和精度、存放的绘图笔数等。其中,绘图仪速度是一个重要指标,它是指机械运动的速度。目前常用笔式绘图仪的画线速度在 1m/s 左右,加速度(用来衡量绘图仪达到最大速度所需时间的长短)在 $2\text{g} \sim 4\text{g}$ (g 是加速度的单位名称“伽”, $1\text{g} = 10^{-2}\text{m/s}^2$)。机械运动速度的提高必然受到机电零部件性能的限制,还要受到绘图笔性能的限制。



(a) 平台式



(b) 滚筒式

图 1.20 各种绘图仪

与绘图仪精度有关的指标有相对精度、重复精度、机械分辨率和可寻址分辨率。其中机械分辨率指的是机械装置可能移动的最小距离，它是一个电脉冲通过驱动电动机和传动机构使笔移动的距离，因此也称为步距。由此可知，绘图仪画图是用一小段一小段的直线逼近的(水平线和垂直线及 45° 的直线除外)。步距越小，画出的图形越精细。一般步距在 $0.001 \sim 0.1\text{mm}$ 。在实际应用中 0.1mm 的步距可满足一般图形的要求； 0.05mm 的步距肉眼就已察觉不出图形的阶梯状波动了。

目前还有一种彩色喷墨绘图仪，可以绘制大幅面(A0 以上)彩色图像，效果非常逼真，但价格昂贵。

由于绘图仪是一种慢速的机械运动设备，它的速度远远跟不上主机通信的速度，所以不可能在主机发送数据的同时，绘图仪就完成了绘制这些图形数据的任务，必须由绘图仪的缓冲器先把主机发送来的数据存下来一部分，然后由绘图仪“慢慢地”画。绘图仪的缓冲存储器越大，存储的数据就越多，访问主机的次数也就越少，相应的绘图速度也就越快。在主机向绘图仪发送数据的同时还要发送指挥绘图仪实现各种动作的命令，如抬笔、落笔，画直线、圆弧等。然后由绘图仪解释这些命令并执行，这些命令格式便称为绘图语言。每种绘图仪都固化有自己的绘图语言，其中，HP 公司的 HPGL 绘图语言应用最为广泛，有可能成为各种绘图仪未来移植的标准语言。

4. 激光打印机

激光打印机分为黑白和彩色两种。黑白激光打印机是一种既可打印字符又可打印图形、图像的廉价设备。其打印精度很高，可达 300DPI (每英寸点数)或 600DPI ，效果非针式打印机可比拟，因此应用非常广泛。但其打印的幅面较小，最大的幅面为 A4 或 A3。彩色激光打印机的打印色彩鲜艳，可达到真彩色效果，但价格昂贵。图 1.21 所示是 A4 幅面的彩色激光打印机。

5. 喷墨打印机

喷墨打印机也是一种既可打印字符又可打印图形图像的设备，也分为黑白和彩色两种，最大幅面为 A4 或 A3，其打印效果比激光打印机稍差，但价格也相对便宜。目前，针式打印机由于高噪声、打印字体欠精细等致命弱点已逐渐被喷墨打印机和激光打印机所取代。特别是喷墨打印机，它的打印效果虽不如激光打印机，但却比针式打印机强得多，而价格

又便宜。因此是打印机市场的主流产品。近几年,市场上还出现了大型彩色喷墨打印机,打印宽度可达1m,长度不限。图1.22所示是A4幅面的彩色喷墨打印机。



图 1.21 彩色激光打印机



图 1.22 彩色喷墨打印机

1.4.4 计算机图形系统软件

从目前的图形系统来看,软件大致可分为三类:一类是与设备有关的驱动模块程序;另一类是图形模块,这一模块涉及图形生成、图形编辑和图形变换的内容;还有一类是应用模块,这类模块主要涉及各种分析、应用问题,都是与各种专业有关的算法软件。

计算机图形软件是指那些指示计算机驱动各种显示设备和绘图设备做各种图形的命令解释、存储程序和控制各种图形输入输出的控制程序。一般来讲,对于各种设备有各种不同的软件。早期的图形软件对于各自的设备有着很强的依赖性;随着图形学的不断发展,人们逐渐意识到了研制独立于设备的计算机图形软件的重要性,并开始了对于软件可移植性的研究。能驱动各种不同类型的显示设备,能独立于具体设备的高级图形软件包被称之为具有可移植性的图形软件包。随着计算机的广泛使用,20世纪70年代中期开始的一个很有意义的进步是普遍认识到软件标准化的重要性。1974年美国国家标准化局召开了“与机器无关的图形技术”会议。会后,美国计算机协会(ACM)成立了一个图形标准规范化委员会。1977年该委员会提出了“核心图形系统(Core Graphics System)”的规范,1979年又做了第二次修改。该规范的范围是具有图形输出功能和具有交互功能的二维、三维直线图形,光栅扫描图形技术等。德国提出了GKS规范,虽只有二维图形功能,但它采用了虚拟设备接口、虚拟设备文件以及工作站等概念。预计在不久的将来,世界计算机协会将会推出更多功能的图形软件标准。要想让一个图形系统无修改地在任意两套设备上运行,使其具有绝对可移植性是很困难的,但如果要求只对源程序作少量修改即可运行还是可行的。

目前,在图形系统中,系统规范所涉及的主要内容包括二维和三维的直线、曲线、曲面、开窗、裁剪、隐蔽面、隐蔽线、阴影、浓淡等。

应用软件方面可以说是五花八门,一般是针对某一具体应用方面而言,有独立的图形应用软件,更多的是分散在各种应用软件中。独立的图形软件主要为面向各种产品设计和工程设计的计算机辅助设计(Computer Aided Design, CAD)以及面向艺术模拟和工艺美术的计算机美术(Computer Art, CA)。目前,图形应用软件代表性的产品有AutoCAD、CorelDRAW、Freehand、3D Studio、3DS MAX、MAYA等。

1.5 计算机图形学的发展动向

前面已经提到,计算机图形学是通过算法和程序在显示设备上构造出图形的一种技术。这与用照相机摄制一幅照片的过程比较类似。当用照相机摄制一个物体,比如说一幢建筑物时,首先在现实世界中必须有那样一幢建筑物存在,才能通过照相的原理拍摄一张照片。与此类似,要在计算机屏幕上构造出二维物体的一幅图像,首先必须在计算机中构造出该物体的模型。这一模型是由一批几何数据及数据之间的拓扑关系来表示的,这就是造型技术。有了三维物体的模型,在给定观察点和观察方向以后,就可以通过一系列的几何变换和投影变换在屏幕上显示出该三维体的二维图像。为了使二维图像具有立体感,或者尽可能逼真地显示出该物体在现实世界中所观察到的形象,就需要采用适当的光照模型,尽可能准确地模拟物体在现实世界中受到各种光源照射时的效果,这些就是计算机图形学中的画面绘制技术。三维物体的造型过程、绘制过程等都需要在一个操作方便、易学易用的用户界面下工作,这就是人-机交互技术。多年来,造型技术、绘制技术及人-机交互技术构成了计算机图形学的主要研究内容,当前仍然在这三个方向不断地向前发展。

1.5.1 造型技术的发展

计算机辅助造型技术以所构造的对象来划分,可以分为规则形体造型和不规则形体造型。规则形体指的是可以用欧氏几何进行描述的形体,如平面多面体、二次曲面体、自由曲面体等,统称为几何模型。构造几何模型的理论、方法和技术称为几何造型技术,它是计算机辅助设计的核心技术之一,因而早在20世纪70年代国际上就进行了广泛而深入地研究,目前已有商品化的几何造型系统提供给用户使用。近年来,由于非均匀有理B样条(Nonuniform Rational B Spline)具有可精确表示圆锥曲线的功能,以及对控制点进行旋转、比例、平移及透视变换后曲线形状不变的特点,因而为越来越多的曲面造型系统所采用。同时,将线框造型、曲面造型及实体造型结合在一起,并不断提高造型软件的可靠性,也是造型技术的重要研究方向。

虽然几何造型技术已得到广泛应用,但是它只是反映了对对象的几何模型,而不能全部反映产品的信息,如产品的形状、公差、材料等,从而使计算机辅助设计/制造的一体化难以实现。在这样的背景下,就出现了特征造型技术,它将特征作为产品描述的基本单元,并将产品描述成特征的集合。例如,它将一个机械产品用形状特征、公差特征、技术特征三部分来表示,而形状特征的实现又往往是建立在几何造型的基础之上的。

目前,特征造型技术在国内外均处于起步阶段。近几年来,主要是由于发展动画技术的需要,提出了基于物理的造型技术。在几何造型中,模型是由物体的几何数据和拓扑结构来表示的。但是,在复杂的动画技术中,模型及模型间的关系相当复杂,不仅是静态的,而且是动态的。这时,靠人来定义物体的几何数据和拓扑关系是非常繁杂的,有时甚至是不可能的。在这种情况下,模型就可以由物体的运动规律自动产生,这就是基于物理的造型技术的基本概念。显然,它是比几何造型层次更高的造型技术。目前,这种基于物理的造型技术不仅可用于刚体运动的实现,而且已经用于柔性物体。

与规则形体相反,不规则形体是不能用欧氏几何来定义的,如山、水、树、草、云、烟、火,以及自然界中丰富多彩的物体。如何在计算机内构造出表示它们的模型,是近年

来研究工作的另一个特点。与规则形体的造型技术不同,不规则形体的造型大多采用过程式模拟,即用一个简单的模型及少量的易于调节的参数来表示一大类物体,不断改变参数,递归调用这一模型就能一步一步地产生数据量很大的物体,因而这一技术也称为数据放大技术。近年来,国际上提出的关于分形理论的随机插值模型、基于文法的模型,以及粒子系统模型等都应用这一技术的不规则形体造型方法,并已取得了良好的效果。

1.5.2 真实图形生成技术的发展

真实图形生成技术是根据计算机中构造好的模型生成与现实世界一样的逼真图像。在现实世界中往往有多个不同的光源,在光源照射下,根据物体表现的不同性质产生反射和折射、阴影和高光,并相互影响,构造出丰富多彩的世界。早期的真实图形生成技术用简单的局部光照模型模拟漫反射和镜面反射,而将许多没有考虑到的因素用一个环境光来表示。20世纪90年代以后,陆续出现了以光线跟踪方法和辐射度方法为代表的全局光照模型,使得图像的逼真程度大为提高,但是却又带来了另一个问题,这就是计算时间很长。目前,在许多高档次的工作站上已经配备了由硬件实现光线跟踪及辐射度方法的功能,从而大大提高了逼真图形的生成速度。

1.5.3 人-机交互技术的发展

直至20世纪90年代初期,在设计计算机图形生成软件时,一直将如何节约硬件资源——计算时间和存储空间作为重点,以提高程序本身的效率作为首要目标。随着计算机硬件价格的降低和软件功能的增强,提高用户的使用效率逐渐被认为是首要目标。为此,如何设计一个高质量的用户接口成为计算机图形软件的关键问题。

一个高质量的用户接口的设计目标应该是:易于学习、易于使用、出错率低、易于回忆起如何重新使用这一系统并对用户有较强的吸引力。20世纪80年代中期以来,国际上出现了不少符合这一目标的人-机交互技术。例如,屏幕上不仅可以开启一个窗口而且可以开启多个窗口;从以键盘实现交互发展到以鼠标器实现交互;将菜单放在屏幕上而不是放在键盘之类的操作面板上;不仅有静态菜单而且有动态菜单;不仅用字符串作为菜单而且用图标作为菜单;图标可以表示一个对象,也可以表示一个动作,从而使菜单的含义一目了然。

如何在三维空间实现人-机交互一直是计算机图形技术的一个研究热点。近年来,虚拟现实技术的出现使三维人-机交互技术有了重要进展。所谓虚拟现实是指完全由计算机产生的环境,但却具有与真实物体同样的外表、行为和交互方式。目前,典型的方法是用头戴立体显示眼镜,头盔上装有一个传感器件,反映头部的位置及方向,并相应改变所观察到的图像;手戴数据手套实现三维交互,并有一个麦克风用来发出声音命令。

本章小结

本章介绍了计算机图形学的基本概念、发展史、应用领域、计算机图形系统等。主要讲述了以下内容:

(1) 计算机图形学的研究内容。研究内容涉及用计算机对图形数据进行处理的硬件和软件两个方面的技术,包括计算机图形信息的输入、表达、存储、显示、变换以及表示物

体的图形的准确性、真实性和实时性的基础算法等内容。这些内容又可以分为两大类：二维图形的数据结构和基本图形元素的生成、图形的几何变换、修改、整体与局部处理等；三维几何造型、实时显示、真实感图形生成算法、模糊景物生成及虚拟现实场景、科学计算可视化和三维或高维数据场的可视化以及计算机辅助设计系统的设计。

(2) 计算机图形学的发展历史。计算机图形学的发展主要分五个阶段：准备阶段、发展阶段、推广应用阶段、系统实用化阶段、标准化智能化阶段。

(3) 计算机图形学的应用。计算机图形学的硬件性能日益提升，应用的领域也不断拓宽。主要的应用领域如下：图形用户界面、计算机辅助设计与制造、事务和商务数据的图形展示、地形地貌和自然资源的图形显示、过程控制及系统环境模拟、电子出版及办公室自动化、计算机动画及广告和计算机艺术等领域。

(4) 计算机图形系统由硬件和软件两方面组成。硬件由主机和输入/输出设备组成，软件由系统软件和应用软件组成。常用的图形输入/输出设备有键盘、鼠标器、数字仪器图形扫描仪、数码相机、光笔、图形显示器、光栅扫描显示系统、个人计算机显卡、绘图仪、激光(喷墨)打印机等；系统软件大致可分三类：一类是驱动模块程序，另一类是图形模块，还有一类是应用模块。应用软件则针对具体的应用，代表性的软件有 Auto CAD、CorelDRAW、Freehand、3ds Max、MAYA 等。



阅读材料

为什么通过电视屏幕或者是显示器(见图 1.23)的平面显示就能感受到真实的立体视觉效果呢？首先要弄明白如何在显示器上显示一个图像。几个世纪以前，艺术家们就懂得通过角度透视加上艺术的渲染和修饰使画布上的场景和事物显的真实，具有立体的深度。人们通过荧幕看到的影像的立体视觉效果是二维图形通过透视法和图像处理的手段产生的视觉上的错觉。



图 1.23 液晶显示器图

计算机图形学已经成为计算机技术中发展最快的领域，计算机图形硬件和软件也相应地得到快速发展。计算机绘图显示有屏幕显示图样、打印机打印图样和绘图机输出图样等方式，其中用屏幕显示图样是计算机绘图的重要内容。如图 1.23 所示的液晶显示器的画面，液晶显示器(Liquid Crystal Display, LCD)是采用液晶控制透光度技术生成图形的显示器。LCD 本身并不发光，需要来自背后的光源，也就是荧光灯投射出的灯光。LCD 的主要部件是液晶板，液晶板是两块无钠玻璃，中间夹一层液晶，液晶的光电效应使得液晶分子就像一个个闸门，可以选择光线是否穿透。只要改变加在液晶上的电压值就可以控制屏幕光线的强度与色彩，从而显示出深浅不一、错落有致的图像。而要实现我们想要的场景也就是我们与计算机交互，在屏幕上显示所构思的图像。

计算机图形学(Computer Graphics, CG)利用计算机生成景物的数字模型,并将它显示在计算机屏幕上,或者绘制在纸张或胶片上。它是研究如何在计算机环境下生成、处理和显示图形的一门学科。

习 题

一、填空题

1. 一个典型的计算机图形系统包括_____、_____、_____、_____和_____五个基本功能。
2. 常用的输入设备有_____、_____、_____、_____等。
3. CRT 显示器的主要性能指标有两个,一个是_____,另一个是_____。

二、选择题

1. AutoCAD、CorelDRAW、3D Studio 等图形软件最初出现在以下哪个阶段?()
 - A. 发展阶段(20 世纪 60 年代)
 - B. 推广应用阶段(20 世纪 70 年代)
 - C. 系统实用化阶段(20 世纪 80 年代)
 - D. 标准化智能化阶段(20 世纪 90 年代)
2. 关于喷墨打印机和激光打印机的说法正确的是()。
 - A. 喷墨打印机的精度比激光打印机高
 - B. 喷墨打印机比激光打印机价格贵
 - C. 喷墨打印机只能打印黑白图像
 - D. 喷墨打印机比激光打印机价格便宜
3. 关于随机扫描显示器与光栅显示器的说法错误的是()。
 - A. 随机扫描显示器分辨率高、画线速度快
 - B. 随机扫描显示器难以生成真实感强的图像
 - C. 光栅扫描显示器价格更低廉
 - D. 光栅扫描显示器很好地解决了斜线的阶梯效应
4. SVGA 的最高分辨率可达()。
 - A. 640×480
 - B. 800×600
 - C. 1 024×768
 - D. 1 280×1 024

三、判断题

1. 显示器的分辨率越高,它显示的图像精细程度就越高。()
2. 随机显示器比光栅显示器分辨率高、画线速度快,故普及率更高。()
3. 第四代显示标准 XGA 的最高分辨率可达 1 280×1 024,可同时显示 65 536(16 位彩色),而且价格便宜,已得到广泛应用。()
4. 激光打印机的精度比喷墨打印机高。()

四、简答题

1. 简述计算机图形学的主要研究内容。
2. 计算机图形学主要有哪些应用?
3. 简述计算机图形学的发展动向。

第2章 二维图形生成技术

学习目标

- 了解图元的扫描转换算法;
- 掌握直线段、圆、椭圆的生成方式并能编程实现;
- 掌握图元和字符属性,了解自由曲线的生成过程。

知识结构

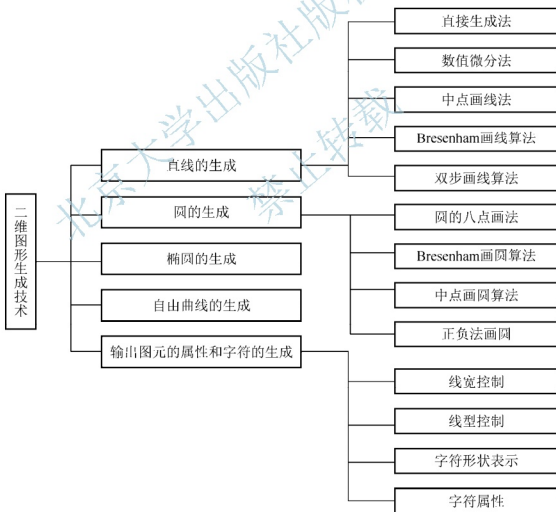


图 2.1 二维图形生成技术知识结构图



导入案例

计算机内部表示的矢量图形,必须呈现在显示设备上,才能被我们所认识。从图形定义的物空间到进行显示处理的图像空间的转换就是图形的生成过程,也称为扫描转换。二维图形是由一个个图形输出基元(简称为图元)构成的。图元的扫描转换就是计算出落在线段上或充分靠近它的一串像素,并以此像素集近似地替代连续直线段在屏幕上显示的过程。

理想的直线是由无数个点构成的集合,没有宽度。计算机绘制直线是在显示器所给定的有限个像素组成的矩阵中,确定最逼近该直线的一组像素,并且按扫描线顺序,对这些像素进行写操作,实现显示器绘制直线,即通常所说的直线的扫描转换,如图 2.2 所示。

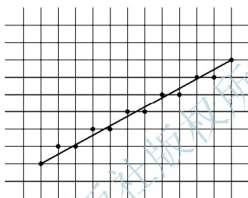


图 2.2 直线的算法示意图

本章介绍一些常用直线段、圆弧的扫描转换算法以及图元的属性和字符生成。

2.1 直线的生成

为了便于讨论问题,我们将像素的几何形状看作中心为网格点(x, y)的圆点,并且像素间的距离是均匀的,像素相互不重叠。图 2.3 中显示了一条宽度为 1 个像素的直线段,由像素表示的直线段为均匀填充的实心圆点。

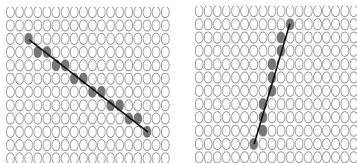


图 2.3 直线和近似表示它的像素集

2.1.1 直接生成法

直接生成法即直接由直线方程计算出(x, y)值,并生成直线。

图 2.4 所示直线的方程可表示为

$$y=mx+b \quad (2.1)$$

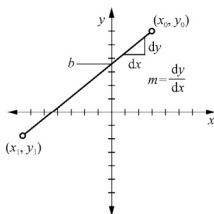


图 2.4 直线段的直接计算法

式(2.1)中, m 是直线的斜率; b 是 y 方向的截距。若一条直线的两个端点为 (x_0, y_0) 及 (x_1, y_1) , 则可用以下两式确定斜率 m 及截距 b :

$$m = \frac{y_1 - y_0}{x_1 - x_0} \quad (2.2)$$

$$b = y_1 - mx_1 \quad (2.3)$$

显示直线的算法即以式(2.1)~(2.3)为基础。

对于任一直线, 在 x 方向取间隔 dx , 则可由式(2.2)计算出 y 方向的间隔 dy :

$$dy = m \cdot dx \quad (2.4)$$

式(2.4)确定了直线生成的基本公式。其中水平增量为 dx , 垂直增量由式(2.4)计算出, 由此可以计算出落在线段上或充分靠近它的一串像素, 即在指定端点间斜率为 m 的一条直线。实际由式(2.4)计算垂直增量时, 会出现小数, 因此需要取整。直接生成法的源代码见

【程序 2.1】:

【程序 2.1】直接生成直线的 C++ 程序代码。

```
void CLineView::LineSimple()
{
    CClientDC dc(this);
    COLORREF color=RGB(255, 0, 0); //定义直线颜色为红色
    double dx = x1 - x0;
    double dy = y1 - y0;
    dc.SetPixel( ROUND(x0), ROUND(y0), color);
    if (dx != 0)
    {
        double m = (float) dy / (float) dx;
        double b = y0 - m*x0;
        dx = (x1 > x0) ? 1 : -1;
        while (x0 != x1)
        {
            x0 += dx;
```

```

y0 = m*x0+b;
dc.SetPixel( ROUND(x0), ROUND(y0), color);
    }
}
}

```

程序结果图如图 2.5 所示。

我们可以使用这种直接算法来生成直线，但这种方法涉及浮点数的乘法、加减法以及取整运算，其效率非常低，下面介绍几种常见的直线生成算法。

2.1.2 数值微分法

数值微分法即 DDA 法(Digital Differential Analyzer)，此方法对一个方向的坐标取单位步长的变化，然后计算另一方向坐标相应的变化值。

首先考虑一条斜率为正($m>0$)的直线。如果此直线的斜率 $m \leq 1$ ，则应取 x 坐标的改变量为 1，然后用下式计算各个相应的 y 坐标值，这时不能取 y 坐标的变化量为 1，因为当斜率 m 很小时， y 坐标的单位变化量有可能产生很大的 x 坐标变化量：

$$y_{i+1} = y_i + m \quad (2.5)$$

式(2.5)中，下标 i 取自 1 开始的整数，顺次加 1，直到最后的端点。因为 m 可能为任意实数，计算出的 y 值应取最接近的整数。

对于斜率大于 1 的直线，应将 x 与 y 进行交换，否则 x 坐标的单位变化量有可能产生很大的 y 坐标变化量，这时可把 y 改成 1 单位步长，然后用下式计算相应的 x 值：

$$x_{i+1} = x_i + \frac{1}{m} \quad (2.6)$$

式(2.5)和式(2.6)均假设点沿着一直线从左端点到右端点，如果端点顺次倒过来，即开始端点在右端点，终止端点在左端点，则有 $\Delta x = -1$ ，且

$$y_{i+1} = y_i - m \quad (2.7)$$

或(当斜率大于 1 时) $\Delta y = -1$ ，且

$$x_{i+1} = x_i - \frac{1}{m} \quad (2.8)$$

式(2.5)~式(2.8)还可用来计算负斜率时直线上的点。当 $m < 0$ ，且 $|m| \leq 1$ ，直线的开始端点在左端点时，则令 $\Delta x = 1$ 并用式(2.5)计算 y 值；当开始端点在右端点时，则令 $\Delta x = -1$ 并用式(2.7)计算 y 值。同样，当 $m < 0$ 且 $|m| > 1$ 时，若开始端点在左端点，则令 $\Delta y = 1$ 并用式(2.6)计算 x 值；若开始端点在右端点，则令 $\Delta y = -1$ 并用式(2.8)计算 x 值。

此算法可总结为以下过程：以直线的两个端点(x_0, y_0)及(x_1, y_1)作为此过程的输入，由两个方向输入坐标值的差可得参数 dx 及 dy ：

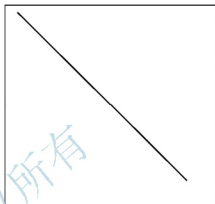


图 2.5 直接生成直线算法的程序结果图

$$\begin{aligned} dx &= x_1 - x_0 \\ dy &= y_1 - y_0 \end{aligned} \quad (2.9)$$

此两参数的绝对值哪一个大, 就作为步长参数(n), 此参数作为沿直线所画出的点的数目。由坐标(x_0, y_0)开始, 各坐标每加上一个增量就生成下一坐标位置, 这样一直重复 n 次。对此算法可总结出以下情况:

① 当 $|dx| > |dy|$ (即 $|m| < 1$) 时,

若 $x_0 < x_1$ (即直线从左到右), 则 $\Delta x = 1, \Delta y = m$;

若 $x_0 > x_1$ (即直线从右到左), 则 $\Delta x = -1, \Delta y = -m$ 。

② 当 $|dx| \leq |dy|$ (即 $|m| \geq 1$) 时,

若 $x_0 < x_1$ (即直线从左到右), 则 $\Delta y = 1, \Delta x = \frac{1}{m}$;

若 $x_0 > x_1$ (即直线从右到左), 则 $\Delta y = -1, \Delta x = -\frac{1}{m}$ 。

假设函数 $\text{round}(x)$ 返回的是最接近直线的(像素)浮点数 x 的整数(四舍五入), 函数 $\text{int}(x)$ 返回浮点数 x 的整数部分, 即 $\text{round}(x) = \text{int}(x + 0.5)$, 则有如【程序 2.2】所示的数值微分画线的程序描述, 运行结果如图 2.6 所示。

【程序 2.2】 用 DDA 算法生成直线的 C++ 程序代码。

```
void CDDALineView::DDA_Line()
{
    CClientDC dc(this);
    COLORREF color=RGB(0, 0, 255); //定义直线颜色为蓝色

    double dx, dy, n, k;
    double xinc, yinc, x, y;
    dx=x1-x0;
    dy=y1-y0;
    if (abs(dx)>abs(dy))
        n=abs(dx);
    else
        n=abs(dy);
    xinc=(double)dx/n;
    yinc=(double)dy/n;
    x=x0;
    y=y0;
    for (k=1; k<=n; k++)
    {
        dc.SetPixel (ROUND(x), ROUND(y), color);
        x+=xinc;
        y+=yinc;
    }
}
```

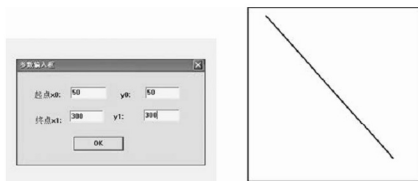


图 2.6 DDA 算法生成直线的对话框界面和运行结果图

用 DDA 算法确定像素位置比直接用式(2.1)算法要快, 因为 DDA 算法利用了光栅的特点而避免了式(2.1)中每次都要做乘法的缺点。但是, 此算法中要用到浮点数的加法运算和取整运算, 其速度仍受到影响, 故其运行效率低且不利于硬件实现。下面介绍的中点画线算法可以解决这个问题。

2.1.3 中点画线法

为了讨论方便, 假设要画的直线的斜率在 $0 \sim 1$ 之间。其他情况可参照下述讨论进行处理。

中点画线法的基本原理如图 2.7 所示, 在 x 方向上每次增加一个像素单位, 则在 y 方向上或者增加一个像素单位或者不增加。假定当前像素点为 (x_p, y_p) , 则下一个像素点有两种可选择的点: $P_1(x_p+1, y_p)$ 或 $P_2(x_p+1, y_p+1)$ 。把 P_1 与 P_2 的中点 $(x_p+1, y_p+0.5)$ 称为 M , Q 为理想直线与 $x=x_p+1$ 垂线的交点。当 M 在 Q 的下方时, 则取 P_2 为下一个像素点; 当 M 在 Q 的上方时, 则取 P_1 为下一个像素点。

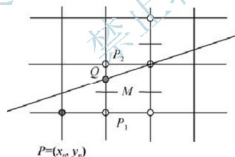


图 2.7 中点画线算法原理示意图

下面来讨论中点画线法的实现。假设直线的起点和终点分别为 (x_0, y_0) 和 (x_1, y_1) , 则直线方程为 $F(x, y) = ax + by + c = 0$, 其中, $a = y_0 - y_1$, $b = x_1 - x_0$, $c = x_0 y_1 - x_1 y_0$, 对于直线上的点满足 $F(x, y) = 0$; 对于直线上方的点满足 $F(x, y) > 0$; 对于直线下方的点满足 $F(x, y) < 0$ 。因此, 欲判断前述 Q 在 M 的上方还是下方, 只要把 M 的坐标代入 $F(x, y)$, 并判断它的符号即可。已知当前已经确定的点为 (x_p, y_p) , 构造判别式:

$$d = f(m) = f(x_p+1, y_p+0.5) = a(x_p+1) + b(y_p+0.5) + c \quad (2.10)$$

由 $d > 0$ 或 $d < 0$ 可判定下一个像素。由式(2.10)可看出, d 是 x, y 的线性函数, 可推导 d 的增量公式。

要判定再下一个像素, 分两种情形考虑:

- (1) 若 $d \geq 0$, 取正右方像素 P_1 , 再进行下一个像素的判定, 由

$$\begin{aligned} d_1 &= f(x_p+2, y_p+0.5) = a(x_p+2) + b(y_p+0.5) + c \\ &= a(x_p+1) + b(y_p+0.5) + c + a = d + a; \end{aligned} \quad (2.11)$$

可知 d 的增量为 a 。

- (2) 若 $d < 0$, 取右上方像素 P_2 , 再进行下一个像素的判定, 由:

$$d_2 = f(x_p+2, y_p+1.5) = a(x_p+2) + b(y_p+1.5) + c = d + a + b \quad (2.12)$$

可知 d 的增量为 $a+b$ 。

通过上面的推导, 我们已经知道了确定某一个点的判别规则, 以及判断下一个点的增量, 但我们还必须知道判别式的初始值, 这个算法才能完整描述。因此, 下面确定判别式的初始值。

由于已知的第一个确定的直线的扫描点为给定直线的起始点, 所以 d 的初始值可按下式计算:

$$\begin{aligned} d_0 &= f(x_0+1, y_0+0.5) = a(x_0+1) + b(y_0+0.5) + c \\ &= f(x_0, y_0) + a + 0.5b = a + 0.5b \end{aligned} \quad (2.13)$$

由于只用 d 的符号作判断, 为了只包含整数运算, 可取 $2d$ 代替 d , $2a$ 改写成 $a+a$ 。算法中只有整数变量, 不含乘除法, 可用硬件实现。这样可得如【程序 2.3】所示, 中点画线生成算法程序运行结果如图 2.8 所示。

【程序 2.3】 中点画线生成算法的 C++ 程序代码。

```
void CMyView::zhongdianfa()
{
    CClientDC dc(this);
    COLORREF color=RGB(0, 0, 255); //定义直线颜色为蓝色

    double a, b, d1, d2, d, x, y;
    a=y0-y1; b=x1-x0;
    d=a+a+b;
    d1=a+a;
    d2=a+b+a+b;
    x=x0; y=y0;
    dc.SetPixel(ROUND(x), ROUND(y), color);
    while(x<x1)
    {
        if(d<0)
        {
            x++; y++;
            d+=d2;
        }
        else
        {
            x++;
            d += d1;
        }
        dc.SetPixel(ROUND(x), ROUND(y), color);
    }
}
```

```

}/*while*/
}/*MiddlePointLine*/

```

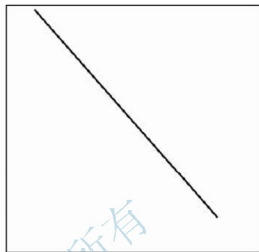


图 2.8 中点画线生成算法的对话框界面和运行结果图

2.1.4 Bresenham 画线算法

我们已经知道线段的起始点为 (x_0, y_0) , 终止点为 (x_1, y_1) , 直线方程为 $y = mx + b$, 令 $\Delta x = x_1 - x_0$, $\Delta y = y_1 - y_0$ 。首先考虑线段在第一象限, 即 $\Delta x > 0$, $\Delta y \geq 0$, 并且 $\Delta x \geq \Delta y$ 的情况, 由前面关于数字微分算法的分析可知, 此时 $x_{inc}=1$, $y_{inc}=m$ ($0 \leq m \leq 1$), 即每走一步, x 坐标增加 1, y 坐标增加 m 。

但是, 并非所有直线都能正好通过像素点, 如图 2.9 所示, 假设直线段 AB 的斜率为 0.7, 起点 A 正好在像素点 $A(x_i, y_i)$ 处, 现在要确定下一列 ($x = x_i + 1$ 列) 中最接近线段的像素是在 $P_1(x_i + 1, y_i + 1)$ 点还是 $P_2(x_i + 1, y_i)$ 点。

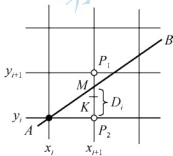


图 2.9 Bresenham 算法的几何图形

将直线段与 $x = x_i + 1$ 列的交点记为 M , P_1 与 P_2 的中点记为 K , 选择的标准是: 如果交点 M 在 K 的下方, 那么下一点取 P_2 ; 如果 M 在中点 K 的上方, 那么下一点取 P_1 ; 如果 M 恰好与 K 重合, 那么下一点可以取 P_1 , 也可以取 P_2 , 通常约定取 P_1 。

将 M 点到 $y=y_i$ 行的距离记为 Δ_i , 即 $\Delta_i = m(x_i + 1) + b - y_i$, 则选择的标准可以表达为: 如果 $\Delta_i < 0.5$, 说明 M 在 K 的下方, 那么下一点取 P_2 ; 如果 $\Delta_i \geq 0.5$, 说明 M 在 K 的上方或与 K 重合, 那么下一点取 P_1 。

由于 Bresenham 算法以 P_1 与 P_2 的中点 K 作为选择的标准, 因此也称为中点算法。

令判别式为

$$w_i = \Delta_i - 0.5 = m(x_i + 1) - 0.5 \quad (2.14)$$

则有:

(1) 如果 $w_i < 0$, 说明 $\Delta_i < 0.5$, 那么下一点取 $P_2(x_i + 1, y_i)$, 即 $x_{i+1} = x_i + 1, y_{i+1} = y_i$, 新的判别式为

$$\begin{aligned} w_{i+1} &= m(x_{i+1} + 1) + b - y_{i+1} - 0.5 \\ &= m(x_i + 1 + 1) + b - y_i - 0.5 \\ &= w_i + m \end{aligned} \quad (2.15)$$

(2) 如果 $w_i \geq 0$, 说明 $\Delta_i \geq 0.5$, 那么下一点取 $P_1(x_i + 1, y_i + 1)$, 即 $x_{i+1} = x_i + 1, y_{i+1} = y_i + 1$, 新的判别式为

$$\begin{aligned} w_{i+1} &= m(x_{i+1} + 1) + b - y_{i+1} - 0.5 \\ &= m(x_i + 1 + 1) + b - (y_i + 1) - 0.5 \\ &= w_i + m - 1 \end{aligned} \quad (2.16)$$

初始时, $x = x_1, y = y_1$, 则有

$$w_1 = m(x_1 + 1) + b - y_1 - 0.5 = (mx_1 + b - y_1) + m - 0.5$$

因为 (x_1, y_1) 为线段起点, 满足线段方程, 即 $y_1 = mx_1 + b$, 因此

$$w_1 = m - 0.5 \quad (2.17)$$

现在已经得到一个适用于第一象限的画线段的增量算法, 但这个算法中仍然有浮点运算。注意到斜率 $m = \frac{\Delta y}{\Delta x}$, 并且 $\Delta x > 0$, 引入 $d = 2\Delta x \cdot w$, 因为 d 与 w 的符号相同, 因此可以代替 w 作为判别式。

初始时, $x = x_0, y = y_0$, 判别式 $d_0 = 2\Delta y - \Delta x$ 。

假设已知当前列像素位置 (x_i, y_i) 和判别式 d_i , 则有:

如果 $d_i < 0$, 那么下一列像素位置为 $x_{i+1} = x_i + 1, y_{i+1} = y_i$, 新的判别式为 $d_{i+1} = d_i + 2\Delta y$;

如果 $d_i \geq 0$, 那么下一列像素位置为 $x_{i+1} = x_i + 1, y_{i+1} = y_i + 1$, 新的判别式为 $d_{i+1} = d_i + 2(\Delta y - \Delta x)$ 。

至此, 有如【程序 2.4】所示的适用于第一象限的 Bresenham 画线程序, 其对话框界面和运行结果图如图 2.10 所示。

【程序 2.4】 Bresenham 直线生成算法的 C++ 程序代码。

```
void CBresenhamView::OnLine() //直线函数
{
    // TODO: Add your command handler code here
    CDC *pDC = GetDC();
    int x1=100, y1=200, x2=350, y2=100, color=RGB(0, 0, 255); //定义参数和颜色
    int i, s1, s2, interchange;
    float x, y, dx, dy, f, temp;
    x=x1;
    y=y1;
    dx=abs(x2-x1);
    dy=abs(y2-y1);
```



```

        if (x2-x1>=0)
            s1=1;
        else s1=-1;
        if (y2-y1>=0) s2=1;
        else s2=-1;
        if (dy>dx)
        {
            temp=dx;
            dx=dy;
            dy=temp;
            interchange=1;
        }
        else interchange=0;
        f=2*dy-dx;
        pDC->SetPixel(x, y, color);
        for(i=1;i<=dx;i++)
        {
            if (f>=0)
            {
                if (interchange==1)
                    x+=s1;
                else y+=s2;
                pDC->SetPixel(x, y, color);
                f=f-2*dx;
            }
            else{
                if (interchange==1) y+=s2;
                else x+=s1;
                f=f+2*dy;
            }
        }
    }
}

```

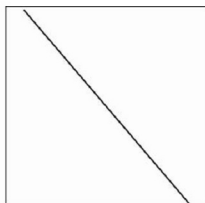


图 2.10 Bresenham 直线生成算法的对话框界面和运行结果图

可以看出, Bresenham 算法是根据直线段的斜率来确定或者选择变量 x 或 y 方向上每次递增一个单位, 而另一变量的增量为 0 或 1。这种计算只用到了整数的加法、减法和左移(乘

2)操作, 计算量小、效率高并适合硬件实现, 因而得到广泛应用。

适用于第一象限的 Bresenham 画线算法可以方便地推广到一般情况: 如果 $m > 1$, 只需将 x 和 y 的位置对调, 即以 y 方向为计数方向; 如果 $\Delta x < 0$ 或 $\Delta y < 0$, 则只需将 x 或 y 的增量变为负数即可。

2.1.5 双步画线算法

Bresenham 算法是每次决定一个像素的走法, 而双步画线算法是每次决定两个像素的走法, 因此效率比 Bresenham 算法提高了大约一倍。双步画线算法是对中点画线算法的改进。

假设线段的起始点为 (x_0, y_0) , 终止点为 (x_1, y_1) , 令 $dx = x_1 - x_0$, $dy = y_1 - y_0$ 。首先考虑线段在第一象限的情况, 此时 $dx > 0$, $dy \geq 0$, $0 \leq k \leq 1$ 。

如图 2.11 所示, 假设当前像素位于网格的左下角, 现在要确定右边像素的位置。当右边像素位于网格的右下角时, 中间像素一定位于底线上, 此时得到模式一; 当右边像素位于网格的右上角时, 中间像素一定位于中线上, 此时得到模式四; 当右边像素位于网格的中线时, 中间像素可能位于底线上, 也可能位于中线上, 分别对应于模式二和模式三, 需要进一步判断。但是, 对于一条线段来说, 模式一与模式四不可能同时出现。因为当 $0 \leq k \leq 1/2$ 时, 模式四不可能出现, 只可能出现模式一、二、三; 当 $1/2 \leq k \leq 1$ 时, 模式 1 不可能出现, 只可能出现模式二、三、四。

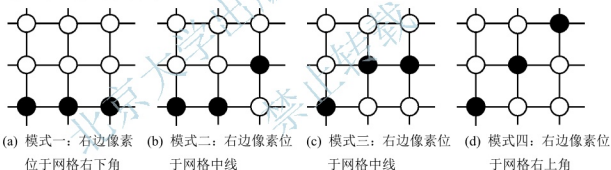


图 2.11 双步画线算法的四种模式

当 $0 \leq k \leq 1/2$ 时, 初始判别式为 $d_0 = 4dy - dx$, 增量算法为:

① 如果 $d_i < 0$, 那么采用模式一, 并且 $d_{i+1} = d_i + 4dy$;

② 如果 $d_i \geq 0$, 那么采用模式二或模式三, 并且 $d_{i+1} = d_i + 4dy - 2dx$ 。进一步的判断为: 如果 $d_i < 2dy$, 那么采用模式二; 否则采用模式三。

当 $1/2 \leq k \leq 1$ 时, 初始判别式为 $d_0 = 4dy - 3dx$, 增量算法为:

① 如果 $d_i \geq 0$, 那么采用模式四, 并且 $d_{i+1} = d_i + 4(dy - dx)$;

② 如果 $d_i < 0$, 那么采用模式二或模式三, 并且 $d_{i+1} = d_i + 4dy - 2dx$ 。进一步的判断为: 如果 $d_i < 2(dy - dx)$, 那么采用模式二; 否则采用模式三。【程序 2.5】给出 $0 \leq k \leq 1/2$ 时的双步画线程序。

【程序 2.5】双步直线生成算法的 C++ 程序代码。

```
void double_step_line(int x0, int y0, int x1, int y1)
```

```

{
    int dx, dy, x, y, h;
    dx=x1-x0; dy=y1-y0;
    h=4*dy-dx;
    x=x1;
    while (x<x2)
    {
        if (h<0)
        {
            draw_pixels(PATTERN1, x);
            h+=4*dy;
        }
        else
        {
            if (d<2*dy)
                draw_pixels(PATTERN2, x);
            else
            {
                draw_pixels(PATTERN3, x);
                h+=4*dy-2*dx;
            }
            x+=2;
        }
    }
}

```

过程 `draw_pixels(PATTERN, x)` 按照指定模式从位置 x 开始写两个像素,但到达线段的末端时,可能只写一个像素。

类似地,可以写出 $1/2 \leq k \leq 1$ 时的双步画线程序,并且可以方便地将适用于第一象限的双步算法推广到一般情况。

此外,还可以利用线段的对称性,从线段两端同时进行扫描转换,从而进一步提高画线的速度。

2.2 圆的生成

为了便于讨论,仅考虑圆心位于坐标原点的圆弧的扫描转换算法,对于圆心为任意点的圆弧,可以先将其平移到原点,然后进行扫描转换,再平移到原来的位置。

2.2.1 圆的八点对称

我们可以利用圆的对称性把圆周上的一个点映射为若干点,从而使计算简化。图 2.12 所示的是位于 $1/8$ 圆周上的一个点 (x, y) ,我们可把 x 、 y 值进行交换及改变 x 、 y 值的符号,从而可在圆周上映射出另外 7 个点。这种性质被称为八点对称。于是,为了求出表示整个圆弧的像素集,只需要扫描转换 $1/8$ 圆弧。下面的函数 `CirPot()` 用来显示圆心为 (x_0, y_0) 的圆

周上的点 (x, y) 及其 7 个对称点。

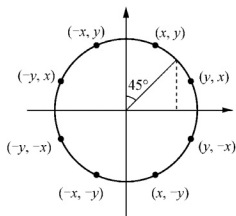


图 2.12 圆的对称性

【程序 2.6】圆的对称性的 C++ 程序代码。

```
Void CirPot(int x0, int y0, int x, int y, int color)
{
    Putpixel((x0+x), (y0+y), color);
    Putpixel((x0+y), (y0+x), color);
    Putpixel((x0+y), (y0-x), color);
    Putpixel((x0+x), (y0-y), color);
    Putpixel((x0-x), (y0-y), color);
    Putpixel((x0-y), (y0-x), color);
    Putpixel((x0-y), (y0+x), color);
    Putpixel((x0-x), (y0+y), color);
}
```

应该注意：在 $x=y$ 时，不应该调用函数 CirPot()，因为上面的程序将对称轴上的 4 个像素重绘两次，特别地，当采用异或方式绘图时，圆上会出现 4 个缺口，读者可以对上述代码稍加改变来处理这种情况。

2.2.2 Bresenham 画圆算法

Bresenham 圆弧算法是最有效的算法之一。一般来说，我们假设圆心 (x_c, y_c) 就在坐标原点，否则可把求到的圆上的点 (x, y) 作变换：

$$\begin{aligned} x' &= x + x_c \\ y' &= y + y_c \end{aligned}$$

便可得到圆心在任一点 (x_c, y_c) 的圆上的点 (x', y') 。

在这里我们只考虑位于第一象限 1/8 圆弧的画法，即 $(0, R) \sim (\frac{R}{\sqrt{2}}, \frac{R}{\sqrt{2}})$ 。

这个算法的思想是在每一步都选择一个距离理想圆周最近的点 $P(x_i, y_i)$ ，使其误差项

$$|D(P_i)| = |(x_i^2 + y_i^2) - R^2| \quad (2.18)$$

在每一步达到最小值。

如图 2.13 所示，假设 $P(x_i, y_i)$ 是第一象限 1/8 圆弧上已选中的一个像素点，根据圆弧

的走向,下一个像素点应从 $H_i(x_i+1, y_i)$ 或 $L_i(x_i+1, y_i-1)$ 中选择。显然应选择离圆弧最近的像素点作为显示圆弧的点,并应对以下误差项进行比较。

$$|D(H_i)| = |((x_i+1)^2 + y_i^2) - R^2| \quad (2.19)$$

$$|D(L_i)| = |((x_i+1)^2 + (y_i-1)^2) - R^2| \quad (2.20)$$

引入判别式

$$d_i = |D(L_i)| - |D(H_i)| \quad (2.21)$$

显然,如果 $d_i \geq 0$, 则选择 L_i , 且 $y_{i+1} = y_i - 1$; 如果 $d_i < 0$, 选择 H_i , 且 $y_{i+1} = y_i$ 。

由于式(2.21)中涉及绝对值运算,效率较低。通过对图 2.12 的分析,可以简化这种运算。

如图 2.12 所示,理想圆周穿过垂线 $x = x_i + 1$ 存在五种情况。

- (1) H_i 和 L_i 均在圆内, $D(H_i) < 0$, $D(L_i) < 0$ 。根据图形分析应该选择更靠近理想圆周的 H_i 。
- (2) H_i 在圆上, L_i 在圆内, $D(H_i) = 0$, $D(L_i) < 0$ 。根据图形分析应该选择理想圆周上的 H_i 。
- (3) H_i 在圆外, L_i 在圆内, $D(H_i) > 0$, $D(L_i) < 0$ 。根据图形分析应该选择理想圆周上的 H_i 。
- (4) H_i 在圆外, L_i 在圆上; $D(H_i) > 0$, $D(L_i) = 0$ 。根据图形分析应该选择理想圆周上的 L_i 。
- (5) H_i 和 L_i 均在圆外。 $D(H_i) > 0$, $D(L_i) > 0$ 。根据图形分析应该选择更靠近理想圆周的 L_i 。

对于情况(3), H_i 在圆外, 所以 $D(H_i) > 0$, L_i 均在圆内, 所以 $D(L_i) < 0$, 因此式(2.21)可改写为

$$d_i = D(H_i) + D(L_i) \quad (2.22)$$

可直接根据式(2.22)中的 d_i 来选择 H_i 或 L_i 。如果 $d_i \geq 0$, 选择 L_i ; 如果 $d_i < 0$, 选择 H_i 。

对于情况(1)和(2), 由于 $D(H_i) \leq 0$, $D(L_i) < 0$, 代入式(2.22), 得 $d_i < 0$, 按照判别条件, 应该选择 H_i , 这与我们从图上分析的结果是一致的, 因此也可以将式(2.22)作为判别式。

对于情况(4)和(5), 由于 $D(H_i) > 0$, $D(L_i) \geq 0$, 代入式(2.22), 得 $d_i > 0$, 按照判别条件, 应该选择 L_i , 这与我们从图上分析的结果是一致的, 因此同样可以将式(2.22)作为判别式。

所以可以用式(2.22)代替式(2.21)作为判别式。下面的工作是推导一个递推公式, 以简化 d_i 的计算:

$$\begin{aligned} d_i &= D(H_i) + D(L_i) \\ &= [(x_i+1)^2 + y_i^2] - R^2 + [(x_i+1)^2 + (y_i-1)^2] - R^2 \end{aligned} \quad (2.23)$$

用 $i+1$ 代替 i , 得

$$d_{i+1} = [(x_{i+1})^2 + y_{i+1}^2] - R^2 + [(x_{i+1})^2 + (y_{i+1}-1)^2] - R^2 \quad (2.24)$$

如果 $d_i < 0$, 选 H_i , $x_{i+1} = x_i + 1$, $y_{i+1} = y_i$, 得

$$d_{i+1} = d_i + 4x_i + 6 \quad (2.25)$$

如果 $d_i \geq 0$, 选 L_i , $x_{i+1} = x_i + 1$, $y_{i+1} = y_i - 1$, 得

$$d_{i+1} = d_i + 4(x_i - y_i) + 10 \quad (2.26)$$

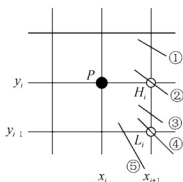


图 2.13 Bresenham 画圆算法示意图

对于 $i=0$, $x_0=0$, $y_0=R$, 则初值为

$$d_0 = 3 - 2R \quad (2.27)$$

显然, 在这个算法中, 式(2.25)、式(2.26)及式(2.27)的计算量是很小的, 因此算法效率很高。【程序 2.7】是该算法的程序代码, 运行结果如图 2.14 所示。

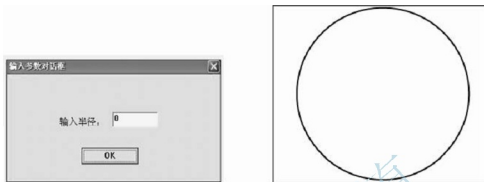


图 2.14 Bresenham 画圆算法的对话框界面和运行结果图

【程序 2.7】Bresenham 画圆算法的 C++ 程序代码。

```
void CBresenhamCircleView:: Bresenham_circle()    //Bresenham 算法
{
    double x, y, d;
    d=1.25-r;r=x=0;y=r;
    for(x=0;x<y;x++)
    {
        Circle(x, y);                                //调用对称画圆函数
        if(d<0)
            d+=2*x+3;
        else
        {
            d+=2*(x-y)+5;
            y--;
        }
    }
}
```

2.2.3 中点画圆算法

下面讨论中点画圆算法, 用来画一个圆心在原点、半径为整数 R 的圆。这种算法也是一种高效率的算法。

我们只画圆的 $1/8$, 即 $(0, R) \sim (\frac{R}{\sqrt{2}}, \frac{R}{\sqrt{2}})$ 的第二个八分圆。然后用 $\text{CirPot}()$ 函数来显示整个圆上的点。与中点画直线算法相似, 这个算法是用一个函数值来选择两个像素点中最逼近圆弧的像素点。

如图 2.15 所示, 假设 P 点是距离理想圆周最近的像素点, 在第二个八分圆中, 根据圆弧的走向, 下一个像素点必然是 NE 和 E 中的一个。我们应该选择哪一个像素点来表示理想圆周?

理想、简便的选择标准是：将 NE 与 E 的中点记为 M ， M 点坐标为 $(x_i+1, y_i-0.5)$ ，那么，如果 M 在圆内，说明 NE 距离理想圆周最近，则下一点取 NE ；如果 M 在圆外，则下一点取 E ；如果 M 在圆上，则下一点可以取 NE ，也可以取 E ，我们约定取 E 。

令函数 $F(x, y) = x^2 + y^2 - R^2$ ，对于圆上的点，有 $F(x, y) = 0$ ；对于圆内的点，有 $F(x, y) < 0$ ；对于圆外的点，有 $F(x, y) > 0$ 。

令判别式为

$$d_i = F(x_i+1, y_i-0.5) = (x_i+1)^2 + (y_i-0.5)^2 - R^2 \quad (2.28)$$

则有：

(1) 如果 $d_i < 0$ ，说明 M 在圆内，下一点取 $NE(x_i+1, y_i)$ ，即 $x_{i+1} = x_i+1, y_{i+1} = y_i$ ，新的判别式为

$$\begin{aligned} d_{i+1} &= F(x_i+1, y_i-0.5) \\ &= (x_i+1)^2 + (y_i-0.5)^2 - R^2 \\ &= d_i + 2x_i + 3 \end{aligned} \quad (2.29)$$

(2) 如果 $d_i \geq 0$ ，说明 M 在圆外或圆内，下一点取 $E(x_i+1, y_i-1)$ ，即 $x_{i+1} = x_i+1, y_{i+1} = y_i-1$ ，新的判别式为

$$\begin{aligned} d_{i+1} &= F(x_i+1, y_i-1-0.5) \\ &= (x_i+1)^2 + (y_i-1-0.5)^2 - R^2 \\ &= d_i + 2x_i - 2y_i + 5 \end{aligned} \quad (2.30)$$

初始时， $x_0=0, y_0=R$ ，

$$d_0 = F(x_0+1, y_0-0.5) = (0+1)^2 + (R-0.5)^2 - R^2 = 1.25 - R \quad (2.31)$$

现在我们已经得到一个画圆的增量算法，但是由于这个算法中仍然有浮点数运算，所以令 $h_i = d_i - 0.25$ ，则初始时， $x_0=0, y_0=R, h_0 = d_0 - 0.25 = 1 - R$ 。

假设已知当前列像素位置 (x_i, y_i) 和判别式 h_i ，则有：

(1) 如果 $h_i < -0.25$ ，则下一列像素位置为 $x_{i+1} = x_i+1, y_{i+1} = y_i, h_{i+1} = h_i + 2x_i + 3$ ；

(2) 如果 $h_i \geq -0.25$ ，则下一列像素位置为 $x_{i+1} = x_i+1, y_{i+1} = y_i-1, h_{i+1} = h_i + 2x_i - 2y_i + 5$ 。

注意到 h 的初始值 $1-R$ 为整数，每次迭代 h 的变化量也是整数，即 h 保持为整数，因此 $h < -0.25$ 等价于 $h < 0$ 。则判别条件如下：

(1) 如果 $h_i < 0$ ，则下一列像素位置为 $x_{i+1} = x_i+1, y_{i+1} = y_i, h_{i+1} = h_i + 2x_i + 3$ ；

(2) 如果 $h_i \geq 0$ ，则下一列像素位置为 $x_{i+1} = x_i+1, y_{i+1} = y_i-1, h_{i+1} = h_i + 2x_i - 2y_i + 5$ 。

【程序 2.8】是生成圆弧的中点算法 C++ 程序代码。

```
void CMidpointCircleView::Midpoint_Circle() // 圆弧中点画法
{
    int x, y, h;
    x=0;
    y=int(r);
    h=1-int(r);
```

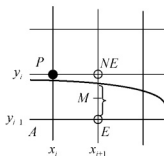


图 2.15 中点画圆算法示意图

```

        CirPot(x, y);
        while (x<y)
        {
            if (h<0)
                h+=2*x+2;
            else
            {
                h+=2*(x-y)+5;
                y--;
            }
            x++;
            CirPot(x, y);
        }
    }

void CMidpointCircleView::CirPot(double x, double y)    //对称画圆函数
{
    CClientDC dc(this);
    COLORREF color=RGB(0, 0, 255);                    //定义圆的颜色
    int xc=300, yc=300;
    dc.SetPixel((xc+x), (yc+y), color);
    dc.SetPixel((xc-x), (yc+y), color);
    dc.SetPixel((xc+x), (yc-y), color);
    dc.SetPixel((xc-x), (yc-y), color);
    dc.SetPixel((xc+y), (yc+x), color);
    dc.SetPixel((xc-y), (yc+x), color);
    dc.SetPixel((xc+y), (yc-x), color);
    dc.SetPixel((xc-y), (yc-x), color);
}

void CMidpointCircleView::OnMenuItem32771()
{
    // TODO: Add your command handler code here
    InputDlg dlg;
    if(dlg.DoModal()==IDOK)
    {
        r=dlg.m_r;
    }
    AfxGetMainWnd()->SetWindowText("圆: 中点圆");
    RedrawWindow();

    Midpoint_Circle();
}

```

中点画圆算法只用到整数的加法、减法和左移(乘2)运算,效率高并且适合硬件实现。

为了进一步提高算法的效率,还可以用增量计算的方法(h_i 的变化量)来消除上述算法中的乘法运算。

- (1) 当判别式 $h_i < 0$ 时, 下一点取 $NE(x_i+1, y_i)$, h_i 的变化量为

$$\varepsilon_{NE,i} = 2x_i + 3$$

则

$$\varepsilon_{NE,i} = 2x_i + 3 = 2(x_i+1) + 3 = \varepsilon_{NE,i} + 2 \quad (2.32)$$

- (2) 当判别式 $h_i \geq 0$ 时, 下一点取 $E(x_i+1, y_i-1)$, h_i 的变化量为

$$\varepsilon_{E,i} = 2x_i - 2y_i + 5$$

则当 $h_i < 0$ 时, 下一点取 $E(x_i+1, y_i)$,

$$\varepsilon_{E,i+1} = 2x_{i+1} - 2y_{i+1} + 5 = 2(x_i+1) - 2y_i + 5 = \varepsilon_{E,i} + 2 \quad (2.33)$$

如果判别式 $h_i \geq 0$, 那么下一点取 $E(x_i+1, y_i-1)$,

$$\varepsilon_{E,i+1} = 2x_{i+1} - 2y_{i+1} + 5 = 2(x_i+1) - (2y_i-1) + 5 = \varepsilon_{E,i} + 4 \quad (2.34)$$

初始时,

$$x_0 = 0, y_0 = 0, \varepsilon_{NE,0} = 3, \varepsilon_{E,0} = 2R + 5$$

【程序 2.9】 是生成圆弧的中点算法(消除了乘法的算法)的 C++ 程序代码。

```
void Midpoint_circle1(int x0, int y0, int radius, int color)
{
    int x, y, h, d, e;
    x=0;
    y=radius;
    h=1-radius;
    d=3;
    e=5-2*radius;
    CirPot(x0, y0, x, y, color);
    while (x<y)
    {
        if (h<0)
        {
            h+=d; d+=2; e+=2;
        }
        else
        {
            h+=1; d+=2; e+=4;
            y--;
        }
        x++;
        CirPot(x0, y0, x, y, color);
    }
}
```

2.2.4 正负法画圆

正负法是画圆的一种有效方法,假设圆心为 (x_c, y_c) ,半径为 R 的圆在第一象限内的1/4圆弧,它关于 x 是单调下降的。我们在该圆弧上任取一点 $P_i(x_i, y_i)$,并令函数

$$F(x, y) = (x - x_c)^2 + (y - y_c)^2 - R^2 \quad (2.35)$$

则圆的方程为

$$F(x, y) = 0$$

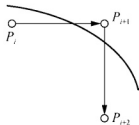
当点 (x, y) 在圆内时,有

$$F(x, y) < 0$$

当点 (x, y) 在圆外时,有

$$F(x, y) > 0$$

我们可以根据 $F(x_i, y_i)$ 的函数值来确定下一点 $P_{i+1}(x_{i+1}, y_{i+1})$ 的走向。



$$\textcircled{1} \text{ 如果 } F(x_i, y_i) \leq 0, \text{ 下一位置 } x_{i+1} = x_i + 1, y_{i+1} = y_i; \\ F(x_{i+1}, y_{i+1}) = (x_i + 1)^2 + y_i^2 - R^2 = F(x_i, y_i) + 2x_i + 1 \quad (2.36)$$

$$\textcircled{2} \text{ 如果 } F(x_i, y_i) > 0, \text{ 下一位置 } x_{i+1} = x_i, y_{i+1} = y_i - 1; \\ F(x_{i+1}, y_{i+1}) = x_i^2 + (y_i - 1)^2 - R^2 = F(x_i, y_i) - 2y_i + 1 \quad (2.37)$$

这样,用于表示圆弧的点均在圆弧附近,且使 $F(x_i, y_i)$ 时正时负,这就是正负法名称的来由。正负法不仅可以用于画圆,而且可以方便地用于画其他曲线,如图2.16所示。

图 2.16 正负法画圆示意图

【程序 2.10】正负法画圆算法的 C++ 程序代码。

```
void CMyView::OnPnCircle()
{
    // TODO: Add your command handler code here
    CClientDC dc(this);
    COLORREF color=RGB(0, 0, 255); //定义圆的颜色
    int x, y, d, r=15;
    x=0;y=r;d=0;
    dc.SetPixel(x, y, color);
    while (x<y)
    {
        if (d<=0)
        {
            d+=2*x+1;
            x++;
        }
        else
        {
            d+=-2*y+1;
            y++;
        }
        dc.SetPixel(x, y, color);
    }
}
```

2.3 椭圆的生成

我们可以把画圆算法扩展到既可画圆又可画椭圆,如图 2.17 所示,其长轴为 r_1 ,短轴为 r_2 的椭圆的标准方程为

$$\frac{(x-x_c)^2}{r_1^2} + \frac{(y-y_c)^2}{r_2^2} = 1 \quad (2.38)$$

用极坐标下的 r 及 θ ,可写出椭圆的参数方程为

$$\begin{aligned} x &= x_c + r_1 \cos t \\ y &= y_c + r_2 \sin t \end{aligned} \quad (2.39)$$

我们可以修改前面讲过的 Bresenham 画圆算法,使它也可生成椭圆。要画椭圆,只要在计算 d_t 时用式(2.38)代替圆的方程。即对于圆心在原点的椭圆,可以用下式表示 y 值:

$$3y^2 = r_2^2(1 - x^2/r_1^2) \quad (2.40)$$

画椭圆算法与画圆算法的唯一差别是参数 d 的形式不同。另外,像画圆一样,在输出的点上加上一个偏移量,也可在任意位置生成椭圆。

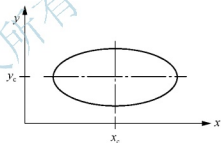


图 2.17 中心不在坐标原点的椭圆

2.4 自由曲线的生成

在图形软件中,除了要求能生成直线及圆等基本图形元素外,还要求能生成其他曲线图元、文字及符号等多种图元。

其他曲线图形的显示方法与显示圆及椭圆的方法相似。常用的其他曲线有正弦函数曲线、指数函数曲线、多项式函数曲线、概率分布曲线及样条函数曲线等。

如果函数曲线可以用 $y=f(x)$ 形式表示,则可指定 x 间隔计算出相应的 y 值,由各 x 、 y 值画出此曲线。计算出的坐标值也必须取最近的整数值,而曲线本身可由点或直线段填充。在很多情况下,用直线段近似表示曲线较为方便。若用点表示曲线,在曲线斜率大于 1 处同样会留有空隙。为了减小此空隙,可求得反函数 $x=f^{-1}(y)$,并在斜率值变大时,反过来按给定的 y 值计算出相应的 x 值。

考虑到对称性常可改进某些生成算法,而很多曲线具有对称性、重复性的特点,所以有可能通过一次计算得到若干个。例如,抛物线、正态概率分布曲线都有对称性;而正弦曲线有重复性,只要算出 90° 间隔内的点,就可得到全周期内的点。

由若干离散数据点所定义的曲线可用其他方法给出。一种方法是先画出各个数据点,然后用直线连接这些点,还有一种方法是曲线拟合技术平滑地逼近数据点所定义的曲线。目前已有多种曲线拟合方法,将在后面章节专门讨论这些方法。

2.5 输出图元的属性

在图元输出之前,可为其指定不同的属性,属性定义了图元在输出设备上的外部特征,例如,可用属性为输出图元定义线型、线宽、彩色等。这就需要对扫描转换算法做一些修改,甚至需要重新设计算法。本节将讨论如何在扫描转换的同时,控制输出图元的线宽和线型。

2.5.1 线宽控制

常用的线宽的控制方法有复制像素法、移动画笔法和区域填充法等。

1. 复制像素法

假设要输出的图元线宽为 n ,则最简单的控制方法是:在扫描转换图元时,同时显示 n 个像素。这样就将原来绘制单个像素的语句改写成以该像素为中心绘制水平或垂直排列的多个像素,因此可产生具有一定线宽的线条。对于线段来说,当斜率的绝对值小于1时,进行垂直方向上的像素复制;当斜率的绝对值大于1时,进行水平方向上的像素复制,如图2.18所示。

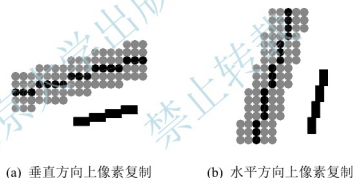


图 2.18 用复制像素法绘制线段

复制像素法具有算法简单、执行效率高的优点,适合于比较小的线宽。当线宽较大时,复制像素法有一些比较明显的缺点。

(1) 由于只在水平或垂直方向复制像素,线段的两端只有水平或垂直两种情况(见图2.18),因此,当线宽较大时,看起来不太自然。

(2) 对于曲线来说,要根据当前绘制像素的斜率来决定是在水平方向还是在垂直方向复制像素。例如,对于图2.19所示的位于第一象限的圆弧,其中部分在水平方向复制像素,部分在垂直方向复制像素。而图元的宽度是在其法线方向上衡量的,假设图元的宽度为 k ,在水平(0°)或垂直(90°)处宽度最大(为 k),而在斜率等于1时,宽度最小(为 $k/2$)。

(3) 对于折线来说,由于相邻两条线段的斜率不同,当一条线段在水平方向复制像素时,另一条线段可能在垂直方向复制线段,因此,在折线连接处由水平复制转为垂直复制时,就会产生缺口,如图2.20所示。

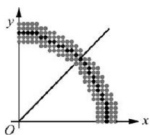


图 2.19 用复制像素法绘制圆弧



图 2.20 复制像素法产生的缺口

2. 移动画笔法

实现画笔移动的简单方法是：将原来绘制单个像素的语句改写成以该像素为中心绘制画笔位图的语句。也就是将设定宽度为 k 的画笔的中心沿线段移动，即可产生具有线宽为 k 的线条。画笔的形状有方形、圆形等不同形状，如图 2.21 所示为移动方形画笔绘制的线段和圆弧。与复制像素法作比较，可以看出：用方形画笔绘制的线段，两个端点总是方的，绘制圆弧时，与复制像素法正好相反，即当斜率接近 1 时，宽度最大(等于 k)。

3. 区域填充法

我们可以根据线条的宽度，计算出线条的外轮廓，然后调用填充图元的生成函数将其填充，产生具有一定线宽的线条。图 2.22 所示的为用区域填充法绘制的圆弧。

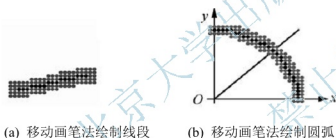


图 2.21 用移动画笔法绘制线段和圆弧



图 2.22 用区域填充法绘制圆弧

2.5.2 线型控制

在图形系统中经常使用具有不同线型的线条来表示不同的含义。例如，物体的可见轮廓线用实线表示，看不见的轮廓线用虚线表示，回转体的轴线和圆心线用点画线来表示，等等。图 2.23 所示为四种常用的线型。



图 2.23 四种常用的线型

在各种图形软件中，修改画线算法可实现不同的线型。在显示虚线时，把画线算法修改为沿一直线输出带有间隙的短实线。而点画线是每画一短实线加入一点。其他线型可通

过短画线的长短不同及间隙不同来重新组合得到。线型控制一般用一个位屏蔽器来实现。例如，可以用一个8位的二进制串来定义线型，用11 111 111表示实线，10 101 010表示虚线，11 110 000表示短划线，11 100 100表示点划线。这时线型必须从第一个点开始，以8个像素为周期进行复制。在程序实现时只要把扫描转换算法中的无条件写像素语句：

```
putpixel(x, y, color);
```

改为：

```
if (线型位串[i%8] ) putpixel(x, y, color);
```

即可。其中*i*为循环变量，初始值为0，用来指示当前像素的序号，每处理一个像素，它的值就增加1。“*i*%8”为*i*模8的余数，“线型位串[*i*%8]”为线型中的对应元素。if语句的功能是当当前像素对应的位为1时显示该像素，为0时不显示。

需要注意的是，当线段的斜率不同时，同样多的像素可能具有不同的长度。例如，45°线段的长度是水平线段的 $\sqrt{2}$ 倍。但上述线型的处理方法是像素为基本单位进行的，因此线型中笔画的长度与线段的斜率相关，最多可相差 $\sqrt{2}$ 倍，这种现象在精确制图中是不允许的。为了尽量使笔画的长度与线段的斜率无关，可以根据线段的斜率来调整构成笔画的像素的个数，从而得到与水平线段近似相同的周期性笔画长度。

2.6 字符的生成

在图形系统中，除了要显示各种几何元素之外，还要显示字符及各种标记符号。这是因为在工程绘图中，有很多面向各种应用的工程符号。例如：在水利、土木施工图中常用到的标高、剖切位置等符号；在电子线路图中常用到的电压、电阻、电容符号以及机械设计图中的加工精度、表面粗糙度符号等，它们都可以归结为字符。并且任何图形的标注、说明都离不开字符。所以字符在计算机图形处理技术中是必不可少的内容。目前常用的字符有两种：一种是ASCII码字符；另一种是汉字字符。

ASCII码是用7位二进制数进行编码的，所以只能表示128个字符，其中编码0~31表示控制字符(不可显示)，编码32~127表示英文字母、数字、标点符号等可显示字符。显然，每个ASCII码用1字节(实际上只需要7个二进制位)即可表示。

为了能够在计算机中处理汉字，我国制定了汉字编码的国家标准字符集——中华人民共和国国家标准信息交换编码，简称为国标码，代号为GB 2312—1980。该字符集共收入6763个汉字，图形符号682个，它规定所有汉字和图形符号组成一个94×94的矩阵，在此矩阵中，每一行称为“区”，因此该字符集分为94个区，用区码标志，每列称为“位”，用位码标志，一个符号由一个区码和一个位码共同标志。区码和位码分别需要7个二进制位来表示。

为了方便，一个字符的ASCII码占用1字节，而汉字(符号)国标占用2字节，那么怎样区分ASCII码和汉字呢？通常采用字符中冗余的最高位来标志，最高位为0时，表示ASCII码；最高位为1时，表示汉字编码的高位字节(区码)或低位字节(位码)。为了能在显示器等输出设备上输出字符，必须要有每个字符的图形信息，这些信息保存在系统的字库中。

在计算机中最常用的表示字符形状的方法有两种，即位图(Bitmap)表示和轮廓线(Outline)表示。

2.6.1 字符形状表示

图 2.24(a)所示为英文字母“P”的两种表示方法。其中图 2.24(b)所示为位图表示,即用 0、1 位图来描述字符的形状,这个 0、1 位图被称为点阵(Dot-Matri),因此,位图表示也称为点阵表示;图 2.24(c)所示为轮廓线表示,即用直线或曲线来描述字符的轮廓。目前最常用的轮廓线表示有 Apple 公司和 Microsoft 公司共同开发的 TrueType 以及 Adobe 公司开发的 PostScript 两种标准。

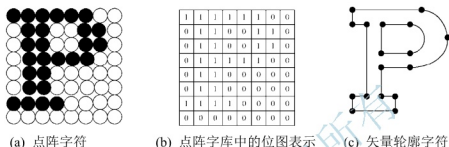


图 2.24 字符的种类

显示位图表示的字符的过程很简单,可用写位图的方法。写位图的方式有两种,即透明方式和不透明方式。而显示轮廓线表示字符的过程要复杂一些,需要用扫描转换算法对轮廓线的内部进行填充。

一般说来,英文字母、数字的位图表示的分辨率不应低于 5×7 ,而汉字的分辨率不应低于 16×16 。在中文系统中,一般将分辨率为 16×16 或 24×24 的位图表示汉字用作显示,而在打印时,如果还使用位图表示,需要有更高的分辨率。一个分辨率为 16×16 的位图表示的汉字,需要占用 $2 \text{ 字节} \times 16 = 32 \text{ 字节}$;而一个分辨率为 128×128 的位图表示的汉字则需要占用 $16 \text{ 字节} \times 128 = 2048 \text{ 字节}$,全部 6768 个分辨率为 128×128 的位图表示的汉字需要占用 $2048 \text{ 字节} \times 6768 = 13860864 \text{ 字节}$ 。

位图表示的主要缺点是需要占用大量的存储空间,尽管可以使用固定大小的字体来产生大小(放大、缩小)和字形(加粗、倾斜)等方面的各种变化,但是其效果往往不能令人满意,因此,系统通常需要为每种字体的每种变化存储一套位图表示。

由于可以方便地通过对字符的轮廓线的变换产生一种字体的各种变化,因此系统只要为一种字体存储一套轮廓线表示即可,这样可节省大量的存储空间。但是,显示轮廓线表示的字符需要先作扫描转换,因而需要更长的处理时间。

2.6.2 字符属性

在输出字符(或字符串)之前,往往需要指定一系列字符属性。字符属性包括字体、字形、字符大小、字符间距、字符颜色、字符串对齐方式等,如图 2.25 所示。

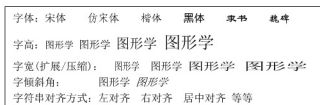


图 2.25 字符属性

在许多软件中,都有可选用的不同字体,以适应不同情况的要求。常用的汉字有宋体、仿宋体、黑体、楷体等,英文常用的字体有 Arial、Courier、Roman 等。常用的字形有直体、黑体、斜体、加粗斜体等。

字符的颜色种类与整个系统的颜色属性有关。用字符尺寸改变字体的大小时,可保持字符的高宽比不变,只要指定字符的高度,字符的宽度就会随之产生变化。字符间距值一般是大于零的,表示字符之间有一定的距离,如果该值小于零,则表示字符之间会重叠;如果该值等于零,则表示字符之间没有间隙。

一个字符串可沿着某一方向路径排列,如垂直路径(从上至下或从下至上排列)和水平路径(从左往右排列)。字符串的水平对齐方式有左对齐、中心对齐和右对齐三种,垂直对齐方式有顶对齐、帽对齐、半对齐、基对齐和底对齐五种,这些对齐方式的含义随着字符串路径的不同而有所不同。

本章小结

本章介绍了二维图形生成技术,主要包括基本图元的生成算法和编程实现、输出图元的属性和字符的生成。具体内容如下:

(1) 二维图形的基本图元包括直线、圆、椭圆和自由曲线。直线的生成算法包括直接生成法、数值微分法中点画线法、Bresenham 画线算法和双步画线算法;圆的生成考虑圆心位于坐标系的扫描转换算法可分为圆的八点对称算法、Bresenham 画圆算法、中点画圆算法、正负法画圆算法;椭圆的实现算法可以通过推广圆的生成算法实现;常用的自由曲线有正弦函数曲线、指数函数曲线、多项式函数曲线、概率分布曲线及样条函数曲线等。自由曲线的算法与圆及椭圆的显示算法近似。

(2) 可用的输出图元属性主要包括线图元定义线型、线宽和彩色。图形系统中不同线型可以表示不同的含义,常用的线型有实线、虚线、短划线和点划线;常用的线宽控制方法有复制像素法、移动画笔法和区域填充法等。

(3) 字符的生成。计算机中常用的字符包括 ASCII 码字符和汉字字符两种。ASCII 码是用 7 位二进制数编码,汉字采用国家标准的字符集——GB 2312—1980 国标码进行编码;常用的字符形状表示方法为位图表示和轮廓图表示;字符的属性包括字体、字形、字符大小、字符间距、字符颜色、字符串对齐方式等。



阅读材料

二维计算机图形(2D Computer Graphics),也简称为 2D CG,是基于计算机的数字图像的产生——主要是从二维模型(例如二维几何模型、文本、和数字图像)产生,并且使用只适用这些模型的技术。该词也用于指代这些模型本身。采用该技术的计算机科学的分支称为二维计算机图形学。

二维计算机图形主要应用于采用传统印刷和绘制技术等应用场合,例如,字体、地图、工程制图、广告等。在这些应用场合中,二维图像不仅是现实世界物体的一个表示,它本身还是带有附加含义的独立个体;因而二维模型在这些应用中更为实用,因为它们给出了比

三维计算机图形更为直接的控制(三维图形更像摄影而非打印)。

二维图形模型可以是以下这些的组合:几何模型(也称为向量图形),数字图像(也称为光栅图形),需要排版的文本(由内容、字体和大小、颜色和方向定义),数学函数和方程,等等。这些组件可以通过象平移、旋转、缩放这些二维几何变换来修改和操作。

复杂的模型可以通过将更简单的对象组合起来得到,也可以采用面向对象编程的范式。

习 题

一、填空题

1. 直线的属性包括_____、_____和颜色。
2. 字符的形状表示可以分为_____和_____两种形式。
3. 常见的直线生成算法有_____、_____、_____和_____等。
4. 在图形软件中,除了要求能生成_____、_____等基本图形元素外,还要求能生成其他曲线图元、_____及符号等多种图元。
5. 常用的线宽的控制方法有_____、_____和_____等。

二、选择题

1. 关于直线生成算法的叙述中,哪种说法是正确的?()
 - A. Bresenham 算法是每次决定一个像素的走法,而双步画线算法也是每次决定一个像素的走法
 - B. 双步画线算法是对中点画线算法的改进
 - C. DDA 算法是 Bresenham 算法的改进
 - D. 用 DDA 算法确定像素位置比直接生成算法要快,因为 DDA 算法利用了光栅的特点,故其运行效率高且便于硬件实现
2. 在中点画圆算法中,哪种说法是错误的?()
 - A. 为了减轻画圆的工作量,中点画圆利用了圆的四对称性性质
 - B. 中点画圆算法是一个增量算法
 - C. 中点画圆算法只用到整数的加减法和左移运算,故效率高且适合硬件实现
 - D. 中点画圆法与中点画线法类似,用一个函数值来选择两个像素点中最逼近圆弧的像素点
3. 下列描述中哪个是错误的?()
 - A. 二维图形的最简单的输出图元是点和直线,以及多边形、曲线和字符串等
 - B. 对于圆心为任意点的圆弧,可以先将其平移到原点,然后进行扫描转换,再平移到原来的位置
 - C. Bresenham 圆弧算法是最有效的算法之一
 - D. 正负法仅可以用于画圆,不能用于绘制其他曲线

三、判断题

1. 中点椭圆的扫描生成算法中,第一象限的上下部分分界点由 $2b^2x=2a^2y$ 决定。()
2. 采用正方刷子生成具有一定宽度的圆弧,在斜率为 ± 1 是最粗。()
3. 复制像素法执行效率高,适合于比较大的线宽。()
4. DDA(微分方程法)是 Bresenham 算法的改进。()

四、简答题

1. 请用伪代码程序描述使用 DDA 算法扫描转换一条斜率介于 -45° 和 45° (即 $|m| \leq 1$) 之间的直线所需的步骤。
2. 利用中点 Bresenham 画圆算法的原理推导第一象限从 $y = x$ 到 $x = 0$ 圆弧段的扫描转换算法。

五、操作题

1. 按本章的实例程序上机练习直线生成算法。
2. 按本章的实例程序上机练习圆生成算法。
3. 按本章的实例程序上机练习椭圆生成算法。
4. 已知圆心为 (x_0, y_0) , 半径为 r , 圆弧上起点为 (x_1, y_1) , 终点为 (x_2, y_2) , 用 DDA 算法编写画圆程序。

北京大学出版社版权所有
禁止转载

第3章 二维实面积图形的生成

学习目标

- 了解矩形填充概念与算法;
- 掌握区域填充概念与算法;
- 掌握图案填充的基本思想与基本方法。

知识结构

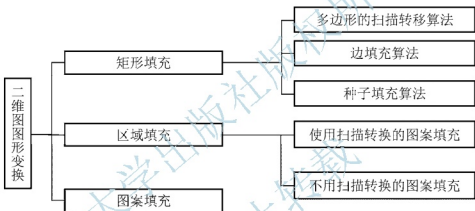


图 3.1 二维实面积图形的生成



导入案例

前一章讨论的直线段、圆和自由曲线等都属于线段图形。这类图形主要适用于表现现实世界中各种物体的几何轮廓形状,但是不能表现物体的表面色彩,这与人们观察物体的习惯不符合。因此为了便于人的视觉效果接受,进行实面积图形的生成是有必要的。同时实面积图形还是描述三维物体、展示三维真实感图形的基础。如图 3.2 所示给出了边填充算法的实现过程。

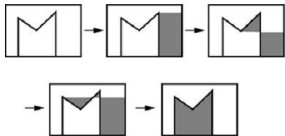


图 3.2 边填充算法示意图

上述算法的缺点是对于复杂的图形,一些像素可能被访问多次,其改进的办法之一是引入栅栏。通过多边形设一个栅栏,每次只对交点与栅栏之间的像素点取补,可使访问像素的次数减少。如图 3.3 所示展

出了这一算法的实现过程。

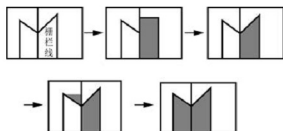


图 3.3 引入栅栏的填充算法示意图

区域填充的目的是要对指定区域内的所有像素涂上指定的图案或颜色。这种对图形的处理方法能充分体现点阵图形显示系统的优点之一,即能够很方便地存储和显示由各种颜色或者浓淡图案组成的区域,填充区域的图案也和颜色、亮度值一样被存放在帧缓冲区中。而在向量图形显示系统中要显示具有浓淡的区域是很困难的,因为区域填充要求在每一个刷新周期内在区域内部画出所有线段,而且这样的转换工作的复杂程度随着图形本身的复杂程度的提高而迅速增加。

3.1 矩形填充

矩形是多边形的一个特例,可以用多边形的扫描转换算法来进行填充,但多边形的扫描转换算法针对的是一般多边形,其中用到比较复杂的算法和数据结构,所以用它来填充简单的矩形时效率很低。而矩形在各种图形应用(特别是在窗口系统)中使用得较多,所以一般来说,图形软件包都将它单独作为一类图元来处理,利用矩形的简单性来提高绘图效率。

设矩形的两对角顶点的坐标分别为 (x_{\min}, y_{\min}) , (x_{\max}, y_{\max}) (见图 3.4),为了将它用指定的颜色均匀填充,只要将矩形内的每个点按指定颜色填充即可,如【程序 3.1】所示矩形填充的效果如图 3.5 所示。

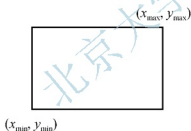


图 3.4 矩形由其两个对角顶点的坐标唯一确定

【程序 3.1】扫描转换矩形。

```
void FillRectangle(int xmin, int xmax, int ymin, int ymax, int color)
{int x, y;
  for(y=ymin; y<=ymax; y++)
    for(x=xmin; x<=xmax; x++)
      putpixel(x, y, color);
}/* 结束扫描转换矩形 */
```

当矩形具有较大的面积时,需要多次调用函数 `putpixel()`,降低了效率。实际上,【程序 3.1】中的内循环可以理解为:填充扫描线 y 上位于 x_{\min} 和 x_{\max} 之间的区间。这样为了减少函数的调用次数,每条扫描线上的区间 $[x_{\min}, x_{\max}]$ 可以用画线函数 `line()`填充,从而【程序 3.1】变为以下形式【程序 3.2】。

【程序 3.2】扫描转换矩形。

```

void FillRectangle(int xmin, int xmax, int ymin, int ymax, int color)
{int y;
  for(y=ymin; y<=ymax; y++)
    line(xmin, y, xmax, y, color);
}/* end of FillRectangle() */

```

注意：当两个矩形共享一条边时(见图 3.6)，存在该边属于谁的问题。事实上，对这个问题不存在完善的处理方法，即该边完全属于谁。对于这种情况，一般采用一个折中的处理方法：对于任一个矩形，处理它的四个边的原则是左闭右开，下闭上开。按照这个原则，图 3.6 中的共享边应属于右边的矩形。

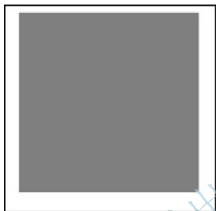


图 3.5 矩形填充示意图



图 3.6 具有共享边的两个矩形

3.2 区域填充

区域填充即给出一个区域的边界，要求对边界范围内的所有像素单元赋予指定的颜色代码。本节主要讨论如何用单一颜色填充多边形与图形区域。

3.2.1 多边形的扫描转换算法

1. 多边形的扫描转换

在计算机图形学中，多边形有两种重要的表示方法：顶点表示法和点阵表示法。

顶点表示法就是用多边形的顶点序列来刻画多边形。如图 3.7 所示的多边形可表示为 $P_0P_1P_2P_3P_0$ 。这种表示方法直观，几何意义强，占内存少，被广泛地应用于各种几何造型。但由于它没有明确指出哪些像素位于多边形内，因此不能直接用于面着色。

点阵表示是用位于多边形内的像素的集合来刻画多边形。图 3.7 所示的多边形可表示为图 3.8 所示的标为黑实点的像素的集合。点阵表示方法虽然失去了许多重要的几何信息，但它适合光栅显示系统的需要，是面着色所需要的图形表示形式。

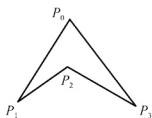


图 3.7 顶点表示的多边形

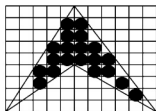


图 3.8 点阵表示的多边形

由于多边形的顶点表示既直观，又有很强的几何意义，所以大多数图形系统都采用顶点序列来表示多边形。但这种表示方法不能直接用于显示，需要将多边形的顶点表示转化为点阵表示，也就是从多边形的给定边界出发，求出位于其内部的各个像素，并给缓冲器内的各个对应元素设置相应的灰度和颜色值，因此这种转换通常被称为多边形的扫描转换。多边形的扫描转换过程实质上就是对多边形包围的区域着色的过程，因此是一种面着色方法。

实现多边形扫描转换的最简单方法是逐点判断法，即逐个判断绘图窗口内的像素，确定它是否位于多边形区域内部，从而求出在多边形区域内部的像素的集合。由于逐点判断法割断了各像素之间的联系，孤立地考察各个像素与多边形之间的内外关系，使得绘图窗口内的每一个像素都要一一判别，每次判别又需要大量的运算，所以逐点判断法虽然算法简单，但由于速度太慢，效率很低，很少有图形应用系统此方法来扫描转换多边形，因此本书对此方法不再叙述，有兴趣的读者可参考其他计算机图形学教材。

2. 扫描线的连贯性与边的连贯性

扫描线算法是扫描转换多边形的常用算法，它充分利用了像素之间的连贯性，避免了对像素的逐点判断，减少了计算量，提高了速度。

这里所讨论的多边形是非自交多边形(边与边之间除了顶点外无其他交点)，这种非自交多边形可以是凸的、凹的，还可以是带孔的。对于自交多边形的扫描转换，只需对本小节的算法稍加修改即可。

多边形的扫描线算法就是将扫描转换多边形的问题分解到一条条扫描线上，也就是按照扫描线的顺序，计算绘图窗口内每一条扫描线与多边形的相交区间，再用指定的颜色来填充这段区间，就完成了整个多边形的扫描转换工作。

如图 3.9 所示，求扫描线 $y = 4$ 与多边形 $P_0P_1P_2P_3P_4P_5P_0$ 的所有边 P_0P_1 、 P_1P_2 、 P_2P_3 、 P_3P_4 、 P_4P_5 、 P_5P_0 的交点，得到 4 个交点 D 、 C 、 A 、 B 。将交点 D 、 C 、 A 、 B 按 x 坐标的大小从小到大排序，得到交点序列 A 、 B 、 C 、 D 。该扫描线被这个交点序列分割成 5 个区间： $[0, 2]$ 、 $[2, 4]$ 、 $[4, \frac{19}{3}]$ 、 $[\frac{19}{3}, 10.5]$ 、 $[10.5, 13]$ (13 为绘图窗口的右边界)。其中，区间 $[2, 4]$ 和 $[\frac{19}{3}, 10.5]$ 落在多边形内，该区间内的像素被显示为多边形的颜色，其他区间内的像素取背景色。

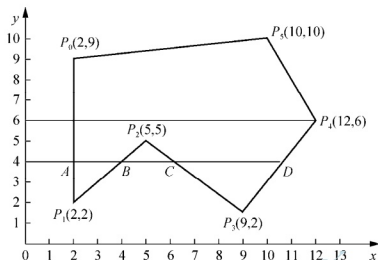


图 3.9 多边形与扫描线

综上所述, 每条扫描线与多边形的边有偶数个交点, 若将这些交点按横坐标递增的顺序排序, 第 1 个交点和第 2 个交点之间, 第 3 个交点和第 4 个交点之间……其内像素位于多边形内部, 这种性质被称为扫描线的连贯性。当用指定的多边形颜色填充了这些区间后, 该扫描线上的填充工作就完成了。因此一条扫描线上的填充过程可以分为以下四个步骤。

- (1) 求交: 计算扫描线与多边形各边的交点。
- (2) 排序: 将所有交点按横坐标从小到大的顺序排序。
- (3) 交点对对: 将交点按顺序两两配对, 每对交点构成扫描线与多边形的一个相交区间。
- (4) 区间填充: 将相交区间内的像素置为多边形颜色, 其他区间内的像素置为背景颜色。

从上面的讨论可以看出, 扫描转换多边形的关键是计算扫描线与多边形各边的交点。当多边形具有很多的边数时, 这种求交点的计算量是很大的。为了减少求交点的计算量, 可以利用边的连贯性。当一条扫描线 y_i 与多边形的某一边有交点时, 其相邻扫描线 y_{i+1} 一般也与该边相交(除非 y_{i+1} 的值不在由该边两端点的 y 坐标构成的区间), 而且扫描线 y_{i+1} 与该边的交点, 可以由扫描线 y_i 与该边的交点递推求得。如图 3.10 所示, 线段 P_1P_2 与扫描线 y_i 相交于点 $A(x_i, y_i)$, 与扫描线 y_{i+1} 相交于点 $B(x_{i+1}, y_{i+1})$, 假设线段 P_1P_2 所在的直线方程为

$$y = mx + b \quad (3.1)$$

将 A 、 B 两点的坐标分别代入式(3.1)得

$$y_i = mx_i + b \quad (3.2)$$

$$y_{i+1} = mx_{i+1} + b \quad (3.3)$$

又因为

$$y_{i+1} = y_i + 1 \quad (3.4)$$

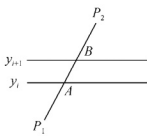


图 3.10 边的连贯性

所以由式(3.2)至式(3.4)可得

$$x_{i+1} = x_i + 1/m \quad (3.5)$$

综合式(3.4)和式(3.5)可知, 线段 P_1P_2 与扫描线 y_{i+1} 的交点 B 的坐标可由该线段与上一条扫描线(扫描线 y_i)的交点 A 的坐标得到。也就是说, 若已知线段 P_1P_2 与扫描线 y_i 的交点 A 的坐标, 则线段 P_1P_2 与扫描线 y_{i+1} 的交点 B 的坐标不需要计算, 直接通过式(3.4)和式(3.5)得到。

3. 交点取整和取舍问题

先讨论交点的取整问题。从上面的讨论可以看出, 利用边的连贯性, 不要求扫描线与多边形所有边的交点, 避免了盲目求交, 减少了计算量, 解决了求交点的问题。但由于得到的交点的横坐标有可能是小数, 而显示器是整数坐标系, 所以在交点两两配对确定填充区间之前, 需要对交点的横坐标取整。在交点取整时可能出现各种情况。

设多边形的非水平边与扫描线 $y=d$ 相交, 交点 (x, d) 的横坐标为 x , x 为小数, 即位于扫描线 $y=d$ 上的两个相邻像素之间, 如图 3.11 所示, 若采用线画图元扫描转换的四舍五入原则则对 x 取整, 会导致部分像素位于多边形之外。为了使生成的像素全部位于多边形之内, 采取的处理方法是: 若交点位于多边形的左边界上(见图 3.11(a)), 则取其右端的像素 $(\text{int}(x)+1, d)$; 若交点位于多边形的右边界上(见图 3.11(b)), 则取其左端的像素 $(\text{int}(x), d)$ 。

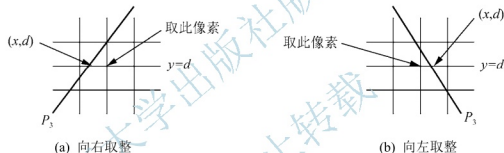
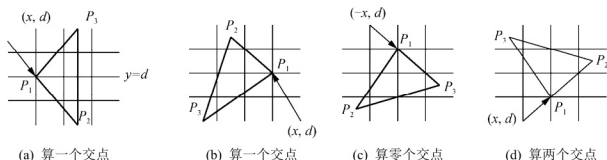


图 3.11 交点 (x, d) 的横坐标为 x 为小数

交点的取舍问题包括两个方面: 一是当扫描线与多边形相交于多边形的顶点时, 交点的取舍问题; 二是当交点落在某一像素点上时, 交点的取舍问题。前者保证交点正确配对, 后者避免填充区域扩大化。

我们先讨论第一个问题。如图 3.12 所示, 扫描线与多边形的交点 (x, d) 为多边形的顶点 P_1 , 这时 (x, d) 是算作一个交点还是算作两个交点? 若处理不当, 会影响交点的正确配对。如在图 3.12(a)和 3.12(b)中, 若将 (x, d) 算作两个交点, 则扫描线 $y=d$ 与多边形有三个交点, 无法进行正确配对, 所以 (x, d) 只能算作一个交点。但在图 3.12(c)中, 若将 (x, d) 算作两个交点, 则违背了多边形的“下闭上开”的原则。具体的处理方法是: 检查与扫描线相交的两条边的另外两个端点的 y 值, 由两个 y 值中大于交点 y 值的个数是 0, 1, 2, 来决定取 0, 1, 2 个交点。例如, 在图 3.12(a)和 3.12(b)中, 扫描线 $y=d$ 与多边形相交于顶点 P_1 , 而共享该顶点的两条边的另外两个顶点的 y 值中, 只有一个顶点的 y 值大于交点 y 值, 所以 (x, d) 算作一个交点。再例如, 在图 3.12(c)中, 扫描线 $y=d$ 与多边形相交于顶点 P_1 , 而共享该顶点的两条边的另外两个顶点的 y 值均小于交点 y 值, 所以 (x, d) 算作零个交点, 该点不被填充。在图 3.12(d)中, 扫描线 $y=d$ 与多边形相交于顶点 P_1 , 而共享该顶点的两条边的另外两个顶点的 y 值均大于交点 y 值, 所以 (x, d) 算做两个交点。

图 3.12 交点 (x, d) 为顶点的情况

在进行多边形的填充时, 还要考虑当交点落在像素上的情况。如果将落在像素上的所有交点都进行填充, 就会造成填充扩大化。例如, 在对左下角坐标为(1, 1)、右上角坐标为(3, 3)的正方形进行填充时, 若对落在像素上的所有交点进行填充, 则得到如图 3.13 所示的结果。正方形的实际面积为 4, 而填充的像素的覆盖面积为 9, 显然这个区域扩大化的问题是由对落在像素上的所有交点进行填充引起的。为了解决这个问题我们规定在填充时对多边形的边界采取“左闭右开”的原则。在具体实现时, 对落在多边形左边界上的像素进行填充, 如图 3.14(a)所示, 而对落在多边形右边界上的像素不填充, 如图 3.14(b)所示。

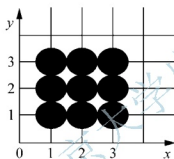
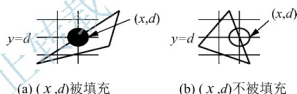


图 3.13 对多边形边界上全部像素填充的结果

图 3.14 (x, d) 落在像素上的情况

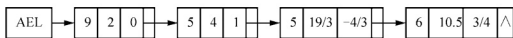
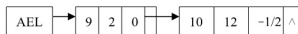
4. 扫描线算法

为了实现多边形的扫描转换, 可根据边的连贯性和扫描线的连贯性, 按从下到上的顺序求得各条扫描线与多边形的交点序列, 并将这些交点两两配对, 确定填充区间并填充。此算法就是对多边形扫描转换的扫描线算法。

为了实现扫描线算法, 引进了两个灵活的数据结构, 它们是活性边表 (Active Edge List, AEL) 和边的分类表 (Edge List, ET), 这两个表中的每个结点都是边结构。边结构包含边的以下四个信息。

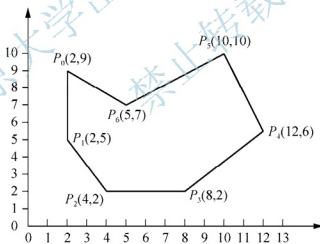
- (1) y_{\max} : 边的上端点的 y 坐标;
- (2) x : 在 AEL 中为当前扫描线与边的交点的 x 坐标, 在 ET 中为边的下端点的 x 坐标;
- (3) Δx : 边的斜率的倒数;
- (4) next: 指向下一条边的指针。

与当前扫描线相交的边被称为活性边, 并将这些活性边按与扫描线相交的交点 x 坐标递增的顺序存放在一个链表中, 此链表被称为活性边表。例如, 在图 3.9 中, 扫描线 $y=4$ 的活性边表如图 3.15 所示, 扫描线 $y=6$ 的活性边表如图 3.16 所示。

图 3.15 扫描线 $y=4$ 的活性边表图 3.16 扫描线 $y=6$ 的活性边表

通过活性边表, 可以充分利用边的连贯性和扫描线的连贯性, 减少求交计算量和提高排序效率。为了方便活性边表的建立和更新, 需要建立边的分类表 ET。ET 是按边的下端点的 y 坐标对非水平边进行分类的指针数组, 其包含的元素个数为多边形的所有顶点的 y 坐标的最大值加 1。下端点的 y 坐标等于 i 的边属于第 i 类, 绘图窗口中有多少扫描线, 就设多少类。同一类中, 各边按 x 值(x 值相等时, 按 Δx 的值)递增的顺序排列成行。

在图 3.17 中, 多边形 $P_0P_1P_2P_3P_4P_5P_6P_0$ 的边 P_0P_1 、 P_1P_2 、 P_2P_3 、 P_3P_4 、 P_4P_5 、 P_5P_6 、 P_6P_0 的下端点分别为 $P_1(2,5)$ 、 $P_2(4,2)$ 、 $P_3(8,2)$ 、 $P_4(12,6)$ 、 $P_5(10,10)$ 、 $P_6(5,7)$ 、 $P_0(2,9)$ 。由于多边形 $P_0P_1P_2P_3P_4P_5P_6P_0$ 的所有顶点的 y 坐标的最大值为 10, 故 ET 中有 11 个元素。按照上面叙述的分类表 ET 的建立方法, 则边 P_1P_2 和 P_3P_4 属于第 2 类, 边 P_0P_1 属于第 5 类, 边 P_4P_5 属于第 6 类, 边 P_5P_6 和 P_6P_0 属于第 7 类。因为多边形 $P_0P_1P_2P_3P_4P_5P_6P_0$ 中没有任何一个边的下端点的 y 坐标等于 0、1、3、4、8、9 和 10, 则指针数组 ET 的第 0 个元素、第 1 个元素、第 3 个元素、第 4 个元素、第 8 个元素、第 9 个元素和第 10 个元素都为空指针, 如图 3.18 所示。

图 3.17 多边形 $P_0P_1P_2P_3P_4P_5P_6P_0$

活性边表 AEL 是为了减少求交计算量和提高排序效率。而引进分类边表是为了避免盲目求交。当处理某一条扫描线时, 为了求得它和多边形的所有交点, 必须将它和多边形的所有边进行求交计算。而实际上, 该扫描线只和某几条边相交。边的分类边表正是用来避免和不相交的边也要进行求交计算的。如在图 3.17 中, 假设当前的扫描线为 $y=4$, 由于边 P_1P_2 、 P_3P_4 、 P_5P_6 和 P_6P_0 所属的类序号都大于 4(这些边的下端点的 y 坐标都大于 4), 所以它们与扫描线不相交, 不用再进行求交计算。只有边 P_0P_1 和 P_2P_3 与该扫描线相交, 并且求交过程利用活性边表 AEL 很容易实现。

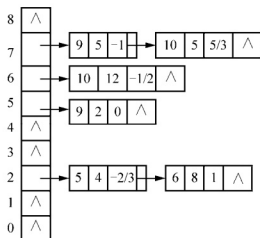


图 3.18 图 3.17 中多边形的分类边表

引进了活性边表 AEL 和分类边表 ET 后,扫描转换多边形的扫描线算法可以描述如下:

【算法 3.1】 扫描转换多边形的扫描线算法。

步骤 1 建立 ET;

步骤 2 将扫描线纵坐标 y 的初始值取为 ET 中非空元素的最小序号;

步骤 3 将 AEL 设置为空;

步骤 4 执行下列步骤直至 ET 和 AEL 均为空。

(1) 如果 ET 中的第 y 类非空, 则将其中的所有边取出并插入到 AEL 中;

(2) 如果有新的边插入 AEL, 则对 AEL 中各边进行排序;

(3) 对 AEL 中的边两两配对(1 和 2 为一对, 3 和 4 为一对, ……), 并将每对边中的 x 按规则取整, 获得有效的填充区间, 再填充;

(4) 将当前扫描线纵坐标 y 值递增 1, 即 $y = y + 1$;

(5) 将 AEL 中满足 $y_{\max} = y$ 的边删去(因为每条边被看做是下闭上开的);

(6) 对 AEL 中剩下的每条边的 x 递增 Δx , 即 $x = x + \Delta x$ 。

上述的扫描转换多边形的扫描线算法可以用下面的 Visual C(以下简称 VC)程序【程序 3.3】实现, 该程序已经在 VC 环境下运行通过。程序运行后, 单击鼠标左键输入顶点, 然后单击鼠标右键填充。

【程序 3.3】 扫描转换多边形的扫描线算法的 C++语言描述。

```
#include <stdio.h>
#include <malloc.h>
// #include <math.h>
#include <GL/glut.h>
#pragma comment (linker, "/entry: \"mainCRTStartup\"")
#define MAX_VERTICES 20 //最多顶点数
#define WINDOWHEIGHT 300
#define ACCURACY 0.1
typedef struct Edge {
    int ymax;
    float x, deltax;
```

```

    struct Edge *nextEdge;
} Edge;
GLint vertexes[MAX VERTECES][2];
GLint pointn = 0; //vertexes index
GLint windowwidth = 400, windowheight = WINDOWHEIGHT;
Edge *et[WINDOWHEIGHT] = { NULL };
GLint finish_picking_points = GL_FALSE;
GLint begin_to_draw = GL_FALSE;
void makeET(void)
{
    int p1 = 0, p2 = 1;
    int smally, bigy, smallx, bigx;
    Edge *ep1, *ep2;
    for (; p1 < pointn; p1++, p2 = (++p2) % pointn) {
        if (vertexes[p1][1] == vertexes[p2][1]) //水平线
            continue;
        else if (vertexes[p1][1] < vertexes[p2][1]) {
            smally = vertexes[p1][1];
            bigy = vertexes[p2][1];
            smallx = vertexes[p1][0]; //smally 对应的 x
            bigx = vertexes[p2][0];
        } else {
            smally = vertexes[p2][1];
            bigy = vertexes[p1][1];
            smallx = vertexes[p2][0];
            bigx = vertexes[p1][0];
        }
        ep1 = (Edge *) malloc(sizeof(Edge));
        ep1->ymin = bigy;
        ep1->x = (float) smallx;
        ep1->deltax = (float) (smallx - bigx) / (smally - bigy);
        ep1->nextEdge = NULL;
        if (et[smally] == NULL) {
            et[smally] = ep1;
        } else {
            ep2 = et[smally];
            if (ep1->x < ep2->x) {
                et[smally] = ep1;
                ep1->nextEdge = ep2;
            } else if ((int) (ep1->x) == (int) (ep2->x)) {
                if (ep1->deltax < ep2->deltax) {
                    et[smally] = ep1;
                    ep1->nextEdge = ep2;
                } else {
                    ep1->nextEdge = ep2->nextEdge;

```

```

        ep2->nextEdge = ep1;
    }
    } else {
    if (ep2->nextEdge == NULL) {
        ep2->nextEdge = ep1;
    } else {
        for (; ep2->nextEdge; ep2 = ep2->nextEdge) {
            if (ep1->x < ep2->nextEdge->x) {
                ep1->nextEdge = ep2->nextEdge;
                ep2->nextEdge = ep1;
            } else if ((int) (ep1->x) ==
                (int) (ep2->nextEdge->x)) {
                if (ep1->deltax < ep2->nextEdge->deltax) {
                    ep1->nextEdge = ep2->nextEdge;
                    ep2->nextEdge = ep1;
                } else {
                    ep1->nextEdge = ep2->nextEdge->nextEdge;
                    ep2->nextEdge->nextEdge = ep1;
                }
            }
        }
    }
}

}
}

}
}

}
}

void draw(void)
{
    int scany = -1, x1, x2;
    Edge aelhead, *etp, *aelp1, *aelp2;
    aelhead.nextEdge = NULL;
    makeET();
    while (et[++scany] == NULL);
    while (scany < WINDOWHEIGHT) {
        if (et[scany] != NULL) {
            etp = et[scany];
            aelp1 = &aelhead;
            if (aelp1->nextEdge == NULL) {                //ET 插入 AEL
                aelp1->nextEdge = etp;
            } else {
                aelp2 = aelp1->nextEdge;
                while (etp && aelp2) {                    //插入时排序
                    if (etp->x < aelp2->x) {
                        aelp1->nextEdge = etp;
                        etp = etp->nextEdge;
                    }
                }
            }
        }
    }
}

```

```

        aelp1->nextEdge->nextEdge = aelp2;
        aelp1 = aelp1->nextEdge;
    } else {
        aelp1 = aelp2;
        aelp2 = aelp2->nextEdge;
    }
}
if (etp != NULL)
    aelp1->nextEdge = etp;
}
et[scany] = NULL;
}
aelp1 = aelhead.nextEdge;           //对 x 按规则取整并画线
while (aelp1) {
    aelp2 = aelp1->nextEdge;
    x1 = (int)aelp1->x;
    if (aelp1->x - x1 > ACCURACY) {
        x1++;
    }
    x2 = (int)aelp2->x;
    if (aelp2->x - x2 < ACCURACY) {
        x2--;
    }
    if (x2 <= x1) {                  //处理向下突出的顶点
        glBegin(GL_POINTS);
        glVertex2i(x1, scany);
        glEnd();
    } else {
        glBegin(GL_POINTS);
        for (;x1 <= x2; x1++)
            glVertex2i(x1, scany);
        glEnd();
    }
    aelp1 = aelp2->nextEdge;
}
scany++;                           //去除 y==ymax 的边, x 加 delta x
aelp1 = &aelhead;
aelp2 = aelhead.nextEdge;
while (aelp2) {
    if (aelp2->ymax == scany) {
        aelp2 = aelp2->nextEdge;
        free(aelp1->nextEdge);
        aelp1->nextEdge = aelp2;
    } else {
        aelp1 = aelp2;
    }
}

```

```

        aelp2 = aelp2->nextEdge;
        aelp1->x += aelp1->deltax;
    }
}
if (aelhead.nextEdge == NULL)
    break;
}
}
void init(void)
{
    glClearColor(0.0, 0.0, 0.0, 0.0);
    glShadeModel(GL_FLAT);
}
void display(void)
{
    int k;
    glClear(GL_COLOR_BUFFER_BIT);
    glColor3f(0.0, 1.0, 0.0);
    glBegin(GL_POINTS);
    //glBegin(GL_LINE_STRIP);
    for (k = 0; k < pointn; k++)
        glVertex2i(vertices[k][0], vertices[k][1]);
    glEnd();
    if (begin_to_draw == GL_TRUE) {
        glColor3f(1.0, 1.0, 1.0);
        draw();
    }
    glutSwapBuffers();
}
void keyboard (unsigned char key, int x, int y)
{
    switch(key) {
        case 'r':
        case 'R':
            pointn = 0;
            finish_picking_points = GL_FALSE;
            begin_to_draw = GL_FALSE;
            break;
        case 'b':
        case 'B':
            begin_to_draw = GL_FALSE;
            break;
        case 'n':
        case 'N':
            begin_to_draw = GL_TRUE;
    }
}

```

```

        break;
    }
    glutPostRedisplay();
}

void mouse(int button, int state, int x, int y)
{
    if (button == GLUT_LEFT_BUTTON && state == GLUT_DOWN) {
        if (finish_picking_points == GL_FALSE) {
            verteces[pointn][0] = x;
            verteces[pointn][1] = windowheight - y;
            pointn++;
        }
    } else if (button == GLUT_RIGHT_BUTTON && state == GLUT_DOWN) {
        finish_picking_points = GL_TRUE;
        begin_to_draw = GL_TRUE;
    }
    glutPostRedisplay();
}

void reshape(int w, int h)
{
    windowwidth = w;
    windowheight = h;
    glViewport(0, 0, (GLsizei) w, (GLsizei) h);
    glMatrixMode(GL_PROJECTION);
    glLoadIdentity();
    gluOrtho2D(0.0, (GLdouble) w, 0.0, (GLdouble) h);
}

int main(int argc, char **argv)
{
    glutInit(&argc, argv);
    glutInitDisplayMode(GLUT_DOUBLE | GLUT_RGB); /* 声明初始化显示模式(单
缓存和 RGBA 色彩模式) */
    glutInitWindowSize(windowwidth, windowheight); /*声明初始化窗口尺寸*/
    glutInitWindowPosition(300, 300); /*声明初始窗口坐标. */
    glutCreateWindow("扫描线算法"); /*打开窗口时在标题工具栏中显示
形成“扫描线算法”*/
    init(); /*运行初始化的启动程序 */
    glutDisplayFunc(display); /*注册图象显示的回放功能.*/
    glutMouseFunc(mouse);
    //glutSpecialFunc (special);
    glutKeyboardFunc(keyboard);
    glutReshapeFunc(reshape);
}

```



```

//glutMotionFunc (motion);
//glutPassiveMotionFunc (motion);
glutMainLoop(); /*输入主循环过程事件*/
return 0; /*返回 0 值 */
}

```

3.2.2 边填充算法

在扫描转换多边形的扫描线算法中,为了获得有效的填充区间,需要对活性边表 AEL 中的边进行排序。如果填充扫描线位于多边形内的区间段,不是采用两两配对后得到有效填充区间的方法,而是采用求余运算,就可免去排序的工作量,进一步提高效率。

假设 A 是一个给定的正整数, M 为任一正整数,则 M 的余定义为 $A-M$, 记为 \overline{M} 。显然 $A \geq M$ 。当计算机中用 n 个二进制位来表示 M 时,可取 $A = 2^n - 1$ 。从求余运算的定义容易发现求余运算具有 $\overline{\overline{M}} = M$ 的性质,即对 M 做偶数次求余运算,其结果仍为 M ;而对 M 做奇数次求余运算结果为 \overline{M} 。

在光栅图形中,如某区域已着上值为 M 的某种颜色,则该上述求余运算的性质反映出来的现象是:对该区域的颜色值做偶数次求余运算后,该区域的颜色值不变;而做奇数次求余运算后,该区域的颜色则变为值为 \overline{M} 的颜色。这一现象可用于多边形的扫描转换中,称为边填充算法。此时求余运算可用位异或显示模式实现,下面的等式说明了这一点:

$$\begin{aligned}\overline{M} &= A - M = M \text{ XOR } A \\ \overline{\overline{M}} &= (M \text{ XOR } A) \text{ XOR } A = M\end{aligned}$$

边填充算法有两种形式:一种是以扫描线为中心的边填充算法;另一种是以边为中心的边填充算法。

扫描转换多边形的扫描线算法的步骤 4 中的第(2)和第(3)步骤的功能是完成当前扫描线位于多边形内的区段的填充工作。以扫描线为中心的边填充算法就是对扫描转换多边形的扫描线算法的步骤 4 中的第(2)和第(3)步骤进行修改,其基本原理、方法、交点的取整和取舍原则等都与扫描算法相同,所以这里不再叙述,只给出与扫描线算法不同的部分。以扫描线为中心的边填充算法可简述如下。

【算法 3.2】 以扫描线为中心的边填充算法。

设 x_1, x_2, \dots, x_m 是当前扫描线与多边形边的交点的 x 坐标的数列(没有排序),填充该扫描线上位于多边形内的区间由下面的步骤完成。

步骤 1 将当前扫描线上的所有像素着上值为 \overline{M} 的颜色;

步骤 2 求余:

```

for(i=1; i<=m; i++)
    {在当前扫描线从横坐标为  $x_i$  的交点向右求余};

```

完成上面两个步骤后,扫描线上位于多边形内部的像素被奇数次求余,故被着上值为 M 的颜色;位于多边形外部的像素被偶数次求余,故被着上值为 \overline{M} 的颜色。以扫描线为中心的边填充算法的执行过程如图 3.19 所示。

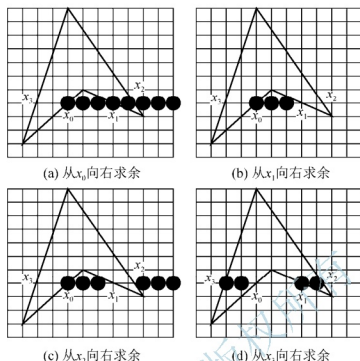


图 3.19 以扫描线为中心的填充过程

这样，当对绘图窗口内的每条扫描线都实施了上述两个步骤后，位于多边形内部的像素都着上值为 M 的颜色；而位于多边形外部的像素都着上值为 \overline{M} 的颜色。从而完成了多边形的扫描转换工作。

上述的以扫描线为中心的边填充算法可以用【程序 3.4】实现，该程序已经在 VC 环境下运行通过。

【程序 3.4】以扫描线为中心的边填充算法的 C++ 程序代码。

```
//为初始数据添加绘制代码
}

//////////////////////////////////////
//打印代码

BOOL CSzView::OnPreparePrinting(CPrintInfo* pInfo)
{
    //默认的准备语句
    return DoPreparePrinting(pInfo);
}

void CSzView::OnBeginPrinting(CDC* /*pDC*/, CPrintInfo* /*pInfo*/)
{
    //在打印之前增加额外的初始化代码
}

void CSzView::OnEndPrinting(CDC* /*pDC*/, CPrintInfo* /*pInfo*/)
```

```

{
    //增加打印后的清除代码
}

////////////////////////////////////
//错误诊断

#ifdef _DEBUG
void CSczView::AssertValid() const
{
    CView::AssertValid();
}

void CSczView::Dump(CDumpContext& dc) const
{
    CView::Dump(dc);
}

CSczDoc* CSczView::GetDocument() // non-debug version is inline
{
    ASSERT(m_pDocument->IsKindOf(RUNTIME_CLASS(CSczDoc)));
    return (CSczDoc*)m_pDocument;
}
#endif // _DEBUG

////////////////////////////////////
//消息处理句柄

void CSczView::OnLButtonDown(UINT nFlags, CPoint point)
{
    //在这里增加消息句柄代码或者选择默认模式
    p[pnum]=point;
    pnum++;
    CDC *pDC;
    pDC=GetDC();
    pDC->MoveTo (p[0]);
    for(int i=0;i<pnum;i++)
        pDC->LineTo (p[i]);

    CView::OnLButtonDown(nFlags, point);
}

void CSczView::Onppp()
{
    //在这里添加命令句柄代码
    p[pnum]=p[0];
    pnum++;

```

```

CDC *pDC;
pDC=GetDC();
pDC->MoveTo (p[0]);
for(int i=0;i<pnum;i++)
    pDC->LineTo (p[i]);
}

```

以边为中心的边填充算法就是对多边形逐边进行求余运算，即对多边形的每一非水平边上的像素向右求余。以边为中心的边填充算法可叙述如下。

【算法 3.3】 以边为中心的边填充算法。

步骤 1 将绘图窗口内的每个像素的颜色值为 \overline{M} (如图 3.20 中置为白色)；

步骤 2 逐边求余。对多边形的每一条非水平边上所有像素向右求余。

需要注意的是，在步骤 2 的逐边求余之前，需要对多边形的每一条非水平所在的线段进行扫描转换，得到该边上的所有像素，然后再进行求余运算。

以边为中心的边填充算法的执行过程如图 3.20 所示。

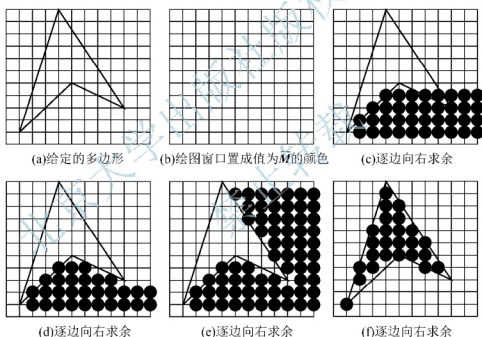


图 3.20 以边为中心的填充过程

上述的以扫描线为中心的边填充算法可以用【程序 3.5】实现，该程序已经在 VC 环境下运行通过。

【程序 3.5】 以边为中心的边填充算法的 C++ 程序代码。

```

// 2dcadView.cpp : CMY2dcadView 类的实现
#include "stdafx.h"
#include "2dcad.h"
#include "2dcadDoc.h"
#include "2dcadView.h"
#ifdef _DEBUG
#define new DEBUG_NEW

```

```

#undef THIS_FILE
static char THIS_FILE[] = __FILE__;
#endif
/////////////////////////////////////////////////////////////////
CMy2dcadView
IMPLEMENT_DYNCREATE(CMy2dcadView, CView)
BEGIN_MESSAGE_MAP(CMy2dcadView, CView)
    ON_WM_RBUTTONDOWN()
    ON_WM_LBUTTONDOWN()
    //标准的填充命令代码
    ON_COMMAND(ID_FILE_PRINT, CView::OnFilePrint)
    ON_COMMAND(ID_FILE_PRINT_DIRECT, CView::OnFilePrint)
    ON_COMMAND(ID_FILE_PRINT_PREVIEW, CView::OnFilePrintPreview)
END_MESSAGE_MAP()
CMy2dcadView::CMy2dcadView()
{
    // TODO: add construction code here
    int i;
    npoint=0;
    for(i=0;i<20;i++){
        lhpoint[i][0]=0;
        lhpoint[i][1]=0;
    }
    for(i=0;i<600;i++) et[i]=NULL;
}
CMy2dcadView::~CMy2dcadView()
{
}
BOOL CMy2dcadView::PreCreateWindow(CREATESTRUCT& cs)
{
    // TODO: Modify the Window class or styles here by modifying
    // the CREATESTRUCT cs
    return CView::PreCreateWindow(cs);
}
/////////////////////////////////////////////////////////////////
//绘画代码
void CMy2dcadView::OnDraw(CDC* pDC)
{
    CMy2dcadDoc* pDoc = GetDocument();
    ASSERT_VALID(pDoc);
    CRect rectClient;
    CBrush brushBkColor;
    //设置背景颜色

```

```

        GetClientRect(rectClient);
        brushBkColor.CreateSolidBrush(RGB(0,0,0));
        pDC->DPtoLP(rectClient);
        pDC->FillRect(rectClient,&brushBkColor);
    }
    //////////////////////////////////////
//打印代码
    BOOL CMY2dcadView::OnPreparePrinting(CPrintInfo* pInfo)
    {
        // 默认的准备代码
        return DoPreparePrinting(pInfo);
    }
    void CMY2dcadView::OnBeginPrinting(CDC* /*pDC*/, CPrintInfo* /*pInfo*/)
    {
        //在打印之前添加额外的初始化代码
    }
    void CMY2dcadView::OnEndPrinting(CDC* /*pDC*/, CPrintInfo* /*pInfo*/)
    {
        //在打印后添加清除代码
    }
    //////////////////////////////////////
//错误诊断
    #ifdef DEBUG
    void CMY2dcadView::AssertValid() const
    {
        CView::AssertValid();
    }
    void CMY2dcadView::Dump(CDumpContext& dc) const
    {
        CView::Dump(dc);
    }
    CMY2dcadDoc* CMY2dcadView::GetDocument() // non-debug version is inline
    {
        ASSERT(m_pDocument->IsKindOf(RUNTIME_CLASS(CMY2dcadDoc)));
        return (CMY2dcadDoc*)m_pDocument;
    }
    #endif // _DEBUG
    //////////////////////////////////////
//消息句柄
    void CMY2dcadView::makeet()
    {
        int p1 = 0, p2 = 1;
        int smally, bigy, smallx, bigx;
        Edge *ep1;
        for (; p1 < npoint; p1++, p2 = (++p2) % npoint) {
            if (lhpoint[p1][1] == lhpoint[p2][1]) //水平线
                continue;

```

```

else if (lhpoint[p1][1] < lhpoint[p2][1]) {
    smally = lhpoint[p1][1];
    bigy = lhpoint[p2][1];
    smallx = lhpoint[p1][0];           //smally 对应的 x
    bigx = lhpoint[p2][0];
} else {
    smally = lhpoint[p2][1];
    bigy = lhpoint[p1][1];
    smallx = lhpoint[p2][0];
    bigx = lhpoint[p1][0];
}
ep1 = new Edge;
ep1->ymax = bigy;
ep1->x = (float) smallx;
ep1->deltax = (float)(smallx - bigx) / (smally - bigy);
ep1->nextEdge = et[smally];
et[smally]=ep1;
}
}

void CMy2dcadView::OnRButtonDown(UINT nFlags, CPoint point)
{
    //在这里增加消息句柄代码或者选择默认模式
    CView::OnRButtonDown(nFlags, point);
    CClientDC dc(this);
    COLORREF Color;
    int scany = -1;
    int i=0,j=0;
    int k;
    int r,g,b;
    Edge *etp;
    makeet();
    while (et[++scany] == NULL);
    while (scany < 600) {               //每条边的每个像素开始向右求余
        if (et[scany] != NULL) {
            etp = et[scany];
            while(etp){
                i=scany;
                while(i<etp->ymax){
                    j=(int)etp->x;
                    j++;
                    while(j<600) {
                        Color=dc.GetPixel(j,i); //对每个像素取反
                        r=255-GetRValue(Color);
                        g=255-GetGValue(Color);
                        b=255-GetBValue(Color);
                        dc.SetPixel(j,i,RGB(r,g,b));
                        j++;}
                }
            }
        }
    }
}

```

```

        etp->x+=etp->deltax;
        i++;
    }
    etp=etp->nextEdge;
}
et[scany] = NULL;
}
scany++;
}
npoint=20;
}
void CMy2dcadView::OnLButtonDown(UINT nFlags, CPoint point)
{
    //在这里增加消息句柄代码或者选择默认模式
    CClientDC dc(this);
    if(npoint<20){
        lhpoint[npoint][0]=point.x;           //记录鼠标左键单击的点的坐标
        lhpoint[npoint][1]=point.y;
        dc.SetPixel(point.x,point.y,RGB(255,255,255));
        //画出鼠标左键单击的点
        npoint++;
    }
    CView::OnLButtonDown(nFlags, point);
}

```

以边为中心的边填充算法也被称为边缘填充算法。此算法之所以被称为边缘填充算法，是因为它一边画多边形的边界，一边向右求余，当多边形的所有边界画完后，多边形的扫描转换也随之完成。

与扫描线算法相比，边填充算法的数据结构和程序结构都简单得多，但该算法执行时需要对待缓冲器中的大批像素反复赋值，故速度不如扫描线算法快。

3.2.3 种子填充算法

多边形的扫描转换算法是按扫描线的顺序进行的。而种子填充算法则采用不同的思想：先将区域内的一像素(称为种子点)赋予指定的颜色，然后将该像素的颜色值扩展到整个区域内其他的像素。

这里所说的区域是指已经表示成点阵形式的填充图形，是像素的集合。在光栅图形中，区域可采用内点表示和边界表示两种形式。内点表示是指枚举出区域内所有像素的表示方法。在内点表示中，区域内的所有像素着同一颜色，而区域边界上的像素着不同的颜色。边界表示是指枚举出区域边界上所有像素的表示方法。在边界表示中，区域边界上的所有像素着同一颜色，而区域内的像素着不同的颜色。在图 3.21 中，○表示边界点，●表示内点，区域的内点表示就是所有●的集合；边界表示是所有○的集合。

种子填充算法要求区域是连通的。区域的连通情况分为四连通区域和八连通区域两种。

四连通区域 任取区域内两个像素，若在该区域内，通过上、下、左、右四个方向的运动(见图 3.22)，这两个像素可以相互到达，则称该区域为四连通的。图 3.23(a)所示的区域为内点表示的四连通区域，图 3.23(b)所示的区域为边界表示的四连通区域。

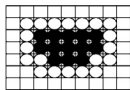


图 3.21 区域的内点表示和边界表示

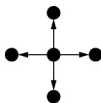
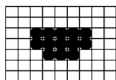
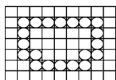


图 3.22 四个运动方向



(a) 内点表示的四连通区域



(b) 边界表示的四连通区域

图 3.23 四连通区域

八连通区域 任取区域内两个像素,若在该区域内,通过水平、垂直、四个对角线八个方向的运动(见图 3.24),这两个像素可以相互到达,则称该区域为八连通的。图 3.25(a)所示的区域为内点表示的八连通区域,图 3.25(b)所示的区域为边界表示的八连通区域。

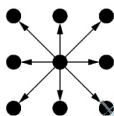
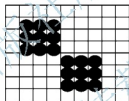
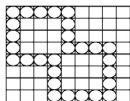


图 3.24 八个运动方向



(a) 内点表示的八连通区域



(b) 边界表示的八连通区域

图 3.25 八连通区域

从四连通区域和八连通区域的定义可知,四连通区域也一定是八连通区域。如图 3.24 中的区域既是四连通区域也是八连通区域。但八连通区域不一定是四连通区域,如图 3.25 中的区域仅是八连通区域。

需要指出的是,四连通区域可以看做是八连通区域,但它看作为四连通区域或看做是八连通区域时,边界是不同的。看做是四连通区域时,边界只需要是八连通;而作为八连通区域,边界必须是四连通的。在图 3.26 中,若把●表示的像素组成的集合看做是四连通的,则它的边界由标有○的像素组成;若将它看做八连通区域,则它的边界由标有○和◇像素组成。

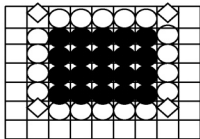


图 3.26 四连通区域和八连通区域的不同边界

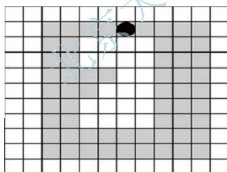
1. 递归填充算法

设 $oldcolor$ 为内点表示的四连通区域原来的颜色值(简称原色), 任取区域内一点 (x, y) 为种子点, 要将区域重新着色为 $newcolor$ 的新颜色。递归填充算法如下: 先判断像素 (x, y) 的颜色, 若它的值不等于 $oldcolor$, 说明该像素要么位于区域之外, 要么它的颜色值已被置成 $newcolor$, 不需要再填充, 算法停止; 否则置该像素的颜色值为 $newcolor$, 然后再对它的上下左右四个相邻像素做同样处理。递归填充算法可用下面的递归【程序 3.6】实现。

【程序 3.6】 内点表示的四连通区域的递归填充算法的 C++ 程序代码。

```
void FloodFill4(int x,int y,int oldcolor,int newcolor)
{ if(getpixel(x,y)==oldcolor)
{ putpixel(x,y,newcolor);
FloodFill4(x,y+1,oldcolor,newcolor);
FloodFill4(x,y-1,oldcolor,newcolor);
FloodFill4(x-1,y,oldcolor,newcolor);
FloodFill4(x+1,y,oldcolor,newcolor);
}
}/* end of FloodFill4 */
```

图 3.27 为运行【程序 3.6】的一个例子。图 3.27(a)中, 标有■的像素组成了一个四连通内点表示区域, 标有●的像素为种子点。图 3.27(b)表示上述递归填充算法的填充过程, 方格内的数字表示各像素着上新颜色的先后顺序。



(a) 四连通内点表示区域

		21	4	8	2	1	39	38	40
		20	5					37	41
		19	6					36	42
		18	7	59	50			35	43
		17	8	58				34	44
		16	9					33	45
		15	10					32	46
		14	11	28	24	27	28	31	47
		13	12	22	25	26	29	30	48

(b) 递归填充算法的填充过程

图 3.27 内点表示的四连通区域的递归填充过程

当区域是用边界表示时, 四连通区域就不能用【程序 3.6】来实现。这时四连通区域的递归填充算法可以描述为: 设 (x, y) 为边界表示的四连通区域内的一点(种子点), 区域边界上像素的颜色值为 $boundarycolor$, 种子填充的目的是要将整个区域填充值为 $newcolor$ 的新颜色。递归的填充过程如下: 先判断像素 (x, y) 的颜色, 若它的值不等于 $boundarycolor$ 或 $newcolor$, 说明该像素要么位于区域之内并且还没有置成 $newcolor$, 置像素 (x, y) 的颜色值为 $newcolor$, 然后再对它的上下左右四个相邻像素作同样处理。边界表示的四连通区域的递归填充算法可用下面的递归程序【程序 3.7】实现。

【程序 3.7】 边界表示的四连通区域的递归填充算法的 C++ 程序代码。

```
void FloodFill4(int x,int y,int oldcolor,int newcolor)
{ if(getpixel(x,y)==oldcolor)
{ putpixel(x,y,newcolor);
  FloodFill4(x,y+1,oldcolor,newcolor);
  FloodFill4(x,y-1,oldcolor,newcolor);
  FloodFill4(x-1,y,oldcolor,newcolor);
  FloodFill4(x+1,y,oldcolor,newcolor);
}
}/* end of FloodFill4 */
```

对于内点表示和边界表示的八连通区域，只要将【程序 3.6】和【程序 3.7】中的递归填充相邻的四个像素扩增至相邻的八个像素，即可得到内点表示和边界表示的八连通区域递归填充程序【程序 3.8】和【程序 3.9】。

【程序 3.8】 内点表示的八连通区域的递归填充算法的 C++ 程序代码。

```
void FloodFill8(int x,int y,int oldcolor,int newcolor)
{ if(getpixel(x,y)==oldcolor)
{ putpixel(x,y,newcolor);
  FloodFill8(x,y+1,oldcolor,newcolor);
  FloodFill8(x,y-1,oldcolor,newcolor);
  FloodFill8(x-1,y,oldcolor,newcolor);
  FloodFill8(x+1,y,oldcolor,newcolor);
  FloodFill8(x+1,y+1,oldcolor,newcolor);
  FloodFill8(x-1,y+1,oldcolor,newcolor);
  FloodFill8(x+1,y-1,oldcolor,newcolor);
  FloodFill8(x-1,y-1,oldcolor,newcolor);
}
}/* end of FloodFill8 */
```

其中，(x, y)为种子点，oldcolor 为内点表示的四连通区域的原色，newcolor 是区域要重新着上的新颜色值。

【程序 3.9】 边界表示的八连通区域的递归填充算法的 C++ 程序代码。

```
void BoundaryFill8(int x,int y,int boundarycolor,int newcolor)
{ int color;
  color=getpixel(x,y);
  if( (color!=boundarycolor)&&(color!=newcolor) )
  { putpixel(x,y,newcolor);
    BoundaryFill8(x,y+1,boundarycolor,newcolor);
    BoundaryFill8(x,y-1,boundarycolor,newcolor);
    BoundaryFill8(x-1,y,boundarycolor,newcolor);
    BoundaryFill8(x+1,y+1,boundarycolor,newcolor);
    BoundaryFill8(x-1,y+1,boundarycolor,newcolor);
    BoundaryFill8(x+1,y-1,boundarycolor,newcolor);
  }
```

```

BoundaryFill8(x-1,y-1,boundarycolor,newcolor);
BoundaryFill8(x+1,y,boundarycolor,newcolor);
}
}/* end of BoundaryFill8 */

```

种子填充的递归填充算法原理和程序都比较简单,但由于多层递归,系统堆栈反复进出,费时又占用内存,故效率不高。为了减少递归,提高效率,许多改进的算法相继出现,其中扫描线算法具有很好的代表性。

2. 扫描线算法

扫描线填充算法的基本思想是:当给定种子点 (x,y) 时,首先填充 (x,y) 所在扫描线上的位于给定区域内的区间段,然后确定与这一区间段相连通的上、下两条扫描线上位于给定区域内的区段,并依次保存下来。重复这个过程,直到填充结束。

种子填充的扫描线算法的具体过程如下。

【算法 3.4】 种子填充的扫描线填充算法。

步骤1 初始化。将算法设置的堆栈置空,种子点 (x,y) 压入堆栈。

步骤2 出栈。若堆栈为空,则算法结束;否则取栈顶元素 (x,y) ,并以 y 的值为当前扫描线号。

步骤3 填充并确定种子点所在的区段。从种子点 (x,y) 出发,沿着当前扫描线向左、右两个方向逐个像素进行填色,其值置为 `newcolor`,直到到达边界。以 x_{left} 和 x_{right} 分别表示填充的区段两端点的横坐标。

步骤4 确定新的种子点。分别在与当前扫描线上相邻的上、下两条扫描线上确定位于区间 $[x_{\text{left}}, x_{\text{right}}]$ 内的给定区域内的区段;如果这些区段内不存在非边界且未被填充的像素,则转到步骤2,否则取区段内的最右像素作为种子点压入堆栈,再转到步骤2继续执行。

内点表示的种子填充扫描线算法可用【程序 3.10】实现。

【程序 3.10】 内点表示的种子填充扫描线算法的 C++ 程序代码。

```

void CFillView::scanline_seed_fill(POINT Seedpoint, COLORREF newcolor)
{ /* 种子填充程序, Seedpoint 为种子点, newcolor 为填充颜色, oldcolor 为区域原来的颜色 */
    CDC* dc=GetDC();
    POINT pixelpoint;
    COLORREF oldcolor;
    int x0,x,y,xr,xl,flag,xnextspan;
    InitStack_L();
    x=Seedpoint.x;
    y=Seedpoint.y;
    oldcolor=dc->GetPixel(Seedpoint); // 取种子点处的颜色为 oldcolor
    Push(Seedpoint); // 种子点入栈
    while(!Empty()) // 如果栈不为空
    {
        Pop(&pixelpoint); // 像素点出栈
    }
}

```

```

x=pixelpoint.x;           //像素点 x 值
y=pixelpoint.y;           //像素点 y 值
dc->SetPixel(pixelpoint,newcolor); //把像素点置为填充色
x0=x+1;                   //将像素向右移一位
while(dc->GetPixel(x0,y)==oldcolor) //填充右方的像素
{
    dc->SetPixel(x0,y,newcolor);
    x0=x0+1; }
xr=x0-1;                   //最右的像素
x0=x-1;
while(dc->GetPixel(x0,y)==oldcolor) //填充左方的像素
{
    dc->SetPixel(x0,y,newcolor);
    x0=x0-1; }
x1=x0+1;                   //最左的像素
/*检查上一条扫描线,若存在非边界未
填充的像素,则选取代表连续区间的
种子像素入栈*/

x0=x1;
y=y-1;
while(x0<=xr)
{flag=0;
    while((dc->GetPixel(x0,y)==oldcolor)&&(x0<xr))
    {if(flag==0) flag=1;
        x0++;
    }
    if(flag==1)
    {
        if((x0==xr)&&(dc->GetPixel(x0,y)==oldcolor))
        {
            pixelpoint.x=x0;
            pixelpoint.y=y;
            Push(pixelpoint); }
        else
        {
            pixelpoint.x=x0-1;
            pixelpoint.y=y;
            Push(pixelpoint); }
        flag=0;
    }
    xnextspan=x0;
    /*此种情况是当前扫描线上 x1、xr 之间
    存在大于一个未填充的情况*/

    while((dc->GetPixel(x0,y)!=oldcolor)&&(x0<=xr))
        x0++;
}

```

```

    if(xnextspan==x0)
        x0++;
}

/*检查上一条扫描线,若存在非边界未
填充的像素,则选取代表连续区间的
种子像素入栈*/

x0=x1;
y=y+2;
while(x0<=xr)
{flag=0;
    while((dc->GetPixel(x0,y)==oldcolor)&&(x0<xr))
    {if(flag==0)flag=1;
        x0++;
    }
    if(flag==1)
    {
        if((x0==xr)&&(dc->GetPixel(x0,y)==oldcolor))
        {
            pixelpoint.x=x0;
            pixelpoint.y=y;
            Push(pixelpoint);}
        else
        {
            pixelpoint.x=x0-1;
            pixelpoint.y=y;
            Push(pixelpoint);}
        flag=0;
    }
    xnextspan=x0;

    /*此种情况是当前扫描线上x1、xr之间
    存在大于一个为填充的情况*/

    while((dc->GetPixel(x0,y)!=oldcolor)&&(x0<=xr))
        x0++;
    if(xnextspan==x0)
        x0++;
}
}
}

```

上述算法对每一个待填充区段,只需压栈一次;而在递归填充算法中,每个像素都需要压栈和出栈。因此扫描线算法的效率提高了很多。

图 3.28 为运行【程序 3.10】的一个例子。图 3.28 中,标有○的像素是边界点,已被置成边界颜色。标有●的像素为种子点。灰色的方格表示区域内已被填上新颜色的像素。方格内的数字表示相应像素作为种子点进入堆栈的先后顺序。图 3.28(a)表示对种子点所在当前扫描线区段进行填充的结果和堆栈状态。图 3.28(b)表示对下一扫描区段填充的情况和堆栈状态。图 3.28(c)与(d)类似。本例中堆栈的最大深度为 4。

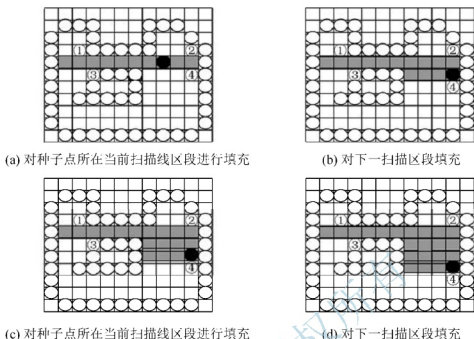


图 3.28 边界表示的种子填充扫描线算法的执行过程

3.3 图案填充

前面介绍的区域填充算法都是把区域内的全部像素置成同一种颜色。但在实际应用中，人们往往不是要求在区域内部填充单一的颜色，而是用一种图案来填充区域，如阴影线等。本节先介绍使用扫描转换的图案填充，然后再叙述不用扫描转换的图案填充。

3.3.1 使用扫描转换的图案填充

使用扫描转换的图案填充就是在进行扫描转换的同时填充图案。具体的实现方法是：把图案看作是由 m 行 n 列的点阵组成的区域上的图案，然后根据图案的类型进行填充。图案根据点阵中像素的类型可以分为像素图案和位图图案两类。在像素图案中，每个像素包含颜色信息，需用多个二进制位来表示；而在位图图案中，每个像素只占一个二进制位，其值为 0 或 1，不包含具体颜色的信息。

1. 像素图案填充

图案填充实际上就是在区域填充时，将一个尺寸较小的单独图案像铺地板一样重复被使用以填满整个区域。区域边界附近可能需要根据区域的大小对图案进行适当的裁剪。因此，要填充图案，只需将区域填充的扫描转换算法进行一些修改，将其中指定的像素颜色用图案中对应位置的像素颜色来代替即可。

图案填充的步骤如下所述：

步骤 1 设计图案模型。

区域内部的图案通常是由一个较小的单独图案在水平和垂直方向上周期性排列而构成

的。因此,在图案填充之前要首先设计这个较小的单独图案模型,不妨设其大小为 $m \times n$ 的点阵,一个图案模型的设计实例如图 3.29(a)所示。

$$\begin{cases} u = x \bmod m \\ v = y \bmod n \end{cases}$$

步骤2 建立图案模型和区域之间的映射关系。

开始在区域内部填充图案之前,必须确定图案的参考点,以确定图案的左下角与区域的哪个位置对齐,并由此确定图案中的像素点与区域中的像素点的对应关系。

在窗口系统中,通常将窗口的坐标原点作为图案的参考点,图案的矩形边框指定在坐标轴上。这样一来,指定区域中的像素点 (x, y) 在图案中的对应像素点为 $(x \bmod m, y \bmod n)$,如图 3.29(b)所示,图案模型和区域之间的映射关系为

$$\begin{cases} u = x \bmod m \\ v = y \bmod n \end{cases} \quad (3.6)$$

其中, \bmod 为取模运算。

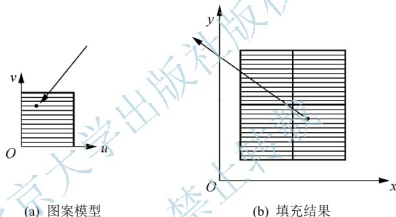


图 3.29 图案模型的设计实例

步骤3 填充像素图案。

在填充像素图案时,只需将扫描转换算法中的像素点 (x, y) 赋值为图案中的对应像素 $(x \bmod m, y \bmod n)$ 的颜色即可,如图 3.29(b)所示。

在式(3.6)的映射方式下,当区域运动时,填充其内部的图案并不跟着运动,如图 3.30所示。这种效果适合动画中漫游图像的情况,如透过车窗看外面的景物。

当区域移动时,要使其内部的图案也跟着移动,需要在区域上建立局部坐标系 $x'O'y'$,如图 3.31(a)区域中的像素点 (x', y') 在图案中的对应像素点为 $(x' \bmod m, y' \bmod n)$,建立 $x'O'y'$ 和图案空间 uOv 之间的映射关系如下:

$$\begin{cases} u = x' \bmod m \\ v = y' \bmod n \end{cases} \quad (3.7)$$

在式(3.7)的映射方式下,当区域运动时,填充其内部的图案也跟着运动,如图 3.31所示。这种效果适用于图案作为区域表面属性的情况,如桌面与其上的木纹等。

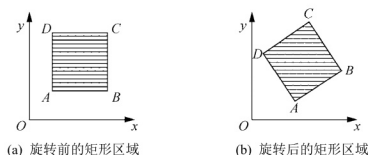


图 3.30 矩形区域旋转, 其内部的图案保持不动

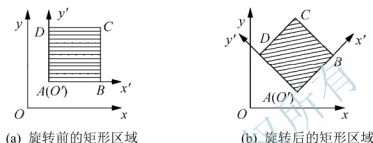


图 3.31 矩形区域旋转, 其内部的图案跟着旋转

2. 位图图案填充

位图图案填充有两种填充模式(见图 3.22): 透明模式(Transparent Mode)和不透明模式(Opaque Mode)。使用不透明模式来填充位图图案时, 如果图案中的对应像素为 1, 则区域中对应的像素颜色为前景色; 否则, 区域中对应的像素颜色为背景色, 如图 3.32(c)所示。如果用透明模式来填充位图图案时, 如果图案中的对应像素为 1, 则区域中对应的像素颜色为前景色; 否则, 区域中对应的像素颜色不变。这种填充方式类似于透过纱窗看景物, 景物的一部分被遮挡, 而另一部分仍然可见, 如图 3.32(d)所示。

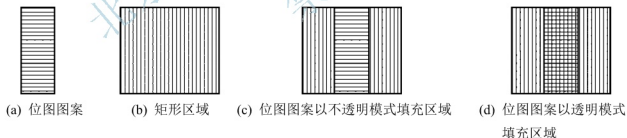


图 3.32 用位图图案填充区域

3.3.2 不用扫描转换的图案填充

前面讲的是在扫描转换的同时填充图案的方法。实际上对于那些采用位图描述的字符、图符和特殊符号来说, 不存在扫描转换问题, 直接可以使用写位图的方法。

假设位图的点阵大小为 $m \times n$, 要写入的位置为 (x, y) , 此位置就是图案参考点, 则图案填充过程中像素点的对应关系是: 对所有的 $0 \leq i \leq m, 0 \leq j \leq n$, 图案中的像素点 (i, j) 对应于填充区域中的像素点 $(x+i, y+j)$, 其颜色的替换关系与使用扫描转换的图案填充的方法相同。

本章小结

本章主要介绍了区域填充概念和算法、图案填充的基本思想与基本方法。内容概述如下：

(1) 区域填充。区域填充主要是用单一颜色填充多边形与图形区域。主要的算法包括多边形的扫描转换算法和种子填充算法。扫描转换包括多边形的扫描转换、扫描线的连贯性与边的连贯性、交点取整和取舍、扫描线算法等问题；种子填充算法要求的区域必须是连通的，分为四联通区域和八连通区域。其主要的算法有递归填充算法和扫描线算法。

(2) 图案填充。图案填充是用一种图案来填充区域。图案填充的方法分为使用扫描转换的图案填充和不使用扫描转换的图案填充。使用扫描转换的图案填充方法有像素图案填充和位图图案填充；不使用扫描转换的图案填充主要适用于字符、图符和特殊符号，直接使用写位图的方法。



阅读材料

欧特克(Autodesk)

讲到计算机图形学的应用，就不得不提欧特克(Autodesk)，欧特克现在是全球最大的二维、三维设计工程软件公司，为制造业、工程建设行业、基础设施业以及传媒娱乐业提供了卓越的数字化设计及工程软件服务和解决方案。1982年4月，John Walker 创立了欧特克公司，它是CAD发展史上的一个经典。公司最初只有16个人，他们的目标是开发出售价在1 000美元、能够运行在PC上的CAD程序。而在欧特克公司的众多的优秀软件里最著名的是AutoCAD。它于1982年首次推出。当时是用于IBM-PC/XT，AT机上，版本为1.0。随后的时间里，各种版本先后推出。现在它已成为全球微机装机量最大的图形包。2009年，欧特克的全球收入达到了23.15亿美元。在全球111个国家和地区建立了分公司和办事处。在全球范围内，欧特克已经向超过900万以上的正版用户提供了优秀的、针对其行业特点的软件产品和技术咨询服务，同时向超过3 300个全球软件开发商提供了技术支持。《财富》排行榜名列前1 000位的公司普遍借助欧特克的软件解决方案进行设计、可视化和仿真分析，并对产品和项目在真实世界中的性能表现进行仿真分析，从而提高生产效率、有效地简化项目并实现利润最大化，把创意转变为竞争优势。

AutoCAD具有良好的用户界面，通过交互菜单或命令行方式便可以进行各种操作。它的多文档设计环境，让非计算机专业人员也能很快地学会使用，并使他们在不断实践的过程中更好地掌握其各种应用和开发技巧，从而不断提高工作效率。

AutoCAD同时具有广泛的适应性，它可以在各种操作系统支持的微型计算机和工作站上运行，并支持分辨率由320×200到2 048×1 024的各种图形显示设备40多种，以及数字仪和鼠标器30多种，绘图仪和打印机数十种，这些都为AutoCAD的普及创造了条件。现在它应用于各行各业：土木建筑、装饰装潢、城市规划、园林设计、电子电路、机械设计、服装鞋帽、航空航天、轻工化工等。

习 题

一、填空题

1. 多边形有两种重要的表示方法：_____和_____。
2. 扫描线算法充分利用了_____，避免了_____，从而减少了计算量，提高了速度。
3. 一条扫描线上的填充过程可以分为_____、_____、_____和_____四个步骤。
4. 边填充算法有两种形式：一种是以_____；另一种是_____。
5. 种子填充算法要求区域是连通的，区域的连通情况分为_____和_____两种。
6. 扫描的连贯性是多边形区域连贯性在_____的反映；边的连贯性是多边形区域连贯性在_____的反映。

二、选择题

多边形填充时，下述论述错误的是()。

- A. 多边形被两条扫描线分割成许多梯形，梯形的底边在扫描线上，腰在多边形的边上，并且相间排列
- B. 多边形与某扫描线相交得到偶数个交点，这些交点间构成的线段分别在多边形内、外，并且相间排列
- C. 在判断点是否在多边形内时，一般通过在外边找一点，然后根据该线段与多边形的交点数目为偶数即可认为在多边形内部，若为奇数则在多边形外部，而且不需考虑任何特殊情况
- D. 边的连贯性告诉我们，多边形的某条边与当前扫描线相交时，很可能与下一条扫描线相交

三、判断题

1. 在种子填充算法中所提到的八连通区域算法同时可填充四连通区域。 ()
2. 边填充算法中是将扫描线与多边形交点左方的所有像素取补。 ()
3. 四连通区域可以看作八连通区域，但它作为四连通区域或八连通区域时，边界是不同的。 ()
4. 区域填充算法不仅改变了区域的填充颜色，还改变了区域的表示方法。 ()

四、简答题

1. 简述种子填充的扫描线填充算法的步骤。
2. 什么是多边形的扫描转换？有哪些方法？逐点判断算法的基本思想如何？优缺点如何？

五、上机操作题

1. 修改扫描线填充算法，使它能填充任意自交多边形。
2. 自行设计一个图案，并把其填充到一个圆内。

第4章 二维图形变换

学习目标

- 了解二维图形变换的基础知识和变换方法;
- 掌握二维图形基本变换;
- 掌握二维图形的单一基本组合变换以及多个基本变换的组合变换。

知识结构

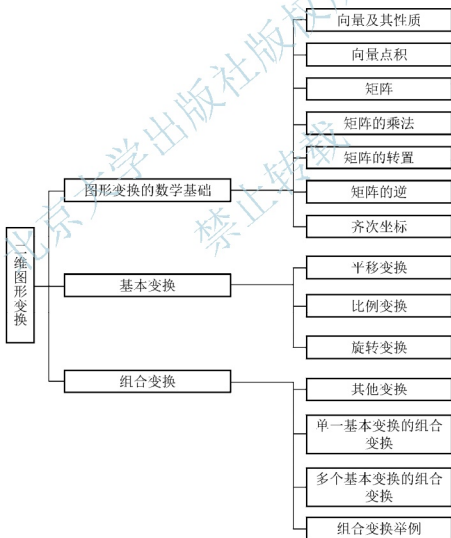


图 4.1 二维图形变换知识结构图



导入案例

利用计算机绘制的图形与我们日常见到的图片、照片是有相似之处的。除图片、照片等自拍摄的图形外,自然界中还存在丰富多彩的有形物体。一般,根据图形所在空间的不同,可将图形分为二维图形和三维图形。图片、照片属于二维图形,自然界中形形色色的物体属于三维图形。在计算机绘图的过程中,二维图形的绘制是绘制三维图形的基础,研究计算机图形的生成必须从研究二维图形开始。计算机绘制图形时,无论图形多么复杂,都是利用一些相应图形单元经过图形变换组成的。在计算机绘图中,经常用到图形变换,图形变换是指图形信息经过几何变换后产生新的图形。基本的几何变换研究物体坐标在直角坐标系内的平移、旋转和比例变换等规则。下面介绍二维图形的这些基本变换规则。

图形变换是计算机图形学的基础内容之一。通过图形变换,可将简单的图形变换成较为复杂的图形,如可用二维图形表示三维形体。通过对静态图形进行快速变换还可以得到图形的动态显示效果。本章内容分为以下几个部分:图形变换的数学基础知识,二维图形基本变换,单一基本组合变换以及多个基本变换的组合变换。

二维图形变换是指将点、线、面在屏幕上进行平移(见图4.2)、比例(见图4.3)、旋转(见图4.4)、反射以及错切等有关几何位置、尺寸和形状的改变(见图4.5)。一般情况下,图形是一个点集,因此,点的几何变换是图形变换的基础。当然,我们并不是直接对构成图形的所有点直接进行变换。一个二维图形可以看作是由直线段连接而成,也可以看作是由许多直线段拟合而成,一条直线则由其始末两点相连接而成。所以,直线的变换可以归结为其始末点的变换。在对直角坐标系中定义的图形实施几何变换时,既可以看作坐标系不动而图形变动,也可以看作坐标系变动而图形不动。前者表现为图形变动引起图形坐标值变化,后者表现为图形没有任何变动,但在新坐标系中具有新的坐标位置,二者本质上相同。两种方式虽然本质相同,但由于后者表现为图形没有变化,因此在实际的变换分析过程中更容易理解。无论哪种方式,最后的变换公式要表示的切总是同一点变化前后坐标的关系,所以在实际分析求解时要注意变换的参数施加于图形中的点与施加于坐标系对最终变换公式的影响的不同。

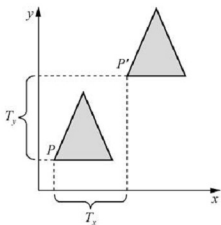


图 4.2 平移变换

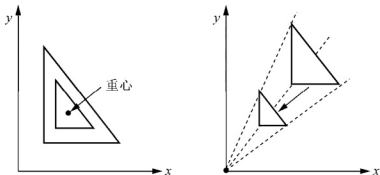


图 4.3 比例变换(scale)

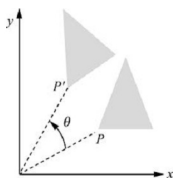


图 4.4 旋转变换

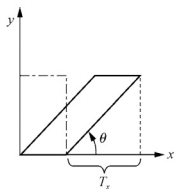


图 4.5 其他变换

通过基本的图形变换的有序组合可以实现二维图形的组合变换。根据不同的变换需求可以通过不同方式的组合变换实现。本章将会详细介绍具体的基本变换方法和算法。

4.1 数学基础

在图形变换过程中需要大量使用矢量、矩阵表示及其运算，本节首先对其有关内容进行简要回顾。

4.1.1 向量及其性质

向量的运算有：向量的加减法运算(对一般向量规定加法运算)和向量数乘运算。用 u , v , w 表示一个向量空间 V 中的任意 3 个向量。向量的加法运算具有下列性质。

- (1) 封闭性: $u+v \in V, \forall u, v \in V$ 。
- (2) 交换性: $u+v = v+u$ 。
- (3) 结合性: $(u+v)+w = u+(v+w)$ 。

对于零向量这个特殊向量，它满足以下条件：对于 $\forall u \in V$ ，有： $u+0=u$ 。

另外对于每个向量 u 都有一个负向量，用 $-u$ 表示，它满足： $u+(-u)=0$ 。

向量的加法运算可以用平行四边形法则或者三角形法则来表示。已知两向量 A 和 B ， C 为 A 和 B 向量之和，其平行四边形法则如图 4.6(a)所示，三角形法则如图 4.6(b)所示。

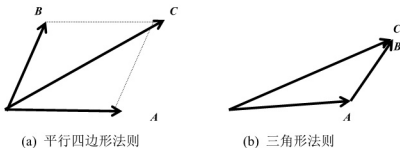


图 4.6 向量的加法运算

向量数乘法运算的定义如下：对于任意数 α 和向量 u ， αu 必然是向量空间 V 中的一

个向量。数乘向量的运算满足分配律。因此有:

$$\alpha(u+v) = \alpha u + \alpha v$$

$$(\alpha + \beta)u = \alpha u + \beta u$$

如果 α 是实数, 则数乘向量运算所得的新向量的大小由该实数的绝对值与向量的模相乘得到, 方向则与实数的正负有关。如实数为正, 不改变向量的方向; 否则与原向量的方向相反。其计算如下:

$$\lambda b = c \begin{cases} \text{大小} & \|c\| = |\lambda| \cdot \|b\| \\ \text{方向} & \begin{cases} \lambda > 0 & c \text{ 同向于 } b \\ \lambda < 0 & c \text{ 反向于 } b \end{cases} \end{cases}$$

λ 为实数 b 、 c 为向量

4.1.2 向量点积

设有向量 $v_1(x_1, y_1, z_1), v_2(x_2, y_2, z_2)$, 有关它们的运算如下所述:

- (1) 两个向量之和: $v_1 + v_2 = (x_1 + x_2, y_1 + y_2, z_1 + z_2)$ 。
- (2) 两个向量的点积: $v_1 \cdot v_2 = (x_1 \cdot x_2 + y_1 \cdot y_2 + z_1 \cdot z_2)$ 。
- (3) 向量的长度: $|v_1| = (v_1 \cdot v_1)^{1/2} = (x_1^2 + y_1^2 + z_1^2)^{1/2}$ 。
- (4) 两个向量的叉积:

$$v_1 \times v_2 = \begin{vmatrix} i & j & k \\ x_1 & y_1 & z_1 \\ x_2 & y_2 & z_2 \end{vmatrix} = (y_1 z_2 - y_2 z_1, z_1 x_2 - z_2 x_1, x_1 y_2 - x_2 y_1)$$

(i, j, k 分别为空间中相互垂直的三条标轴的单位向量)

4.1.3 矩阵

设有一个 m 行 n 列矩阵 A :

$$A = \begin{bmatrix} a_{11} & a_{12} & \cdots & a_{1n} \\ \vdots & \cdots & \vdots & \\ a_{m1} & a_{m2} & \cdots & a_{mn} \end{bmatrix}$$

这个 m 行 n 列的矩阵是 $m \times n$ 个数按一定位置排列的一个整体, 简称 $m \times n$ 矩阵。其中 $a_{11}, a_{12}, \cdots, a_{1n}$ 叫做矩阵的行; $a_{11}, a_{21}, \cdots, a_{m1}$ 叫做矩阵的列; a_{ij} 为矩阵的第 i 行第 j 列元素。通常用大写字母 A, B, \cdots 等表示矩阵。上面这个矩阵可简记为 A 或 $A_{m \times n}$ 或 $(a_{ij})_{m \times n}$ 。如果 $m = n$, 则 A 可简称为方阵或 n 阶矩阵。

当 $m = 1$ 时, $(a_{11}, a_{12}, a_{13}, \cdots, a_{1n})$ 可简称为 n 元行矩阵, 亦称为行向量。

当 $n = 1$ 时, $\begin{bmatrix} a_{11} \\ a_{21} \\ \vdots \\ a_{m1} \end{bmatrix}$ 可简称为一个 m 元列矩阵, 亦称为列向量。

必须指出, 两个矩阵只有在其行数、列数都相同且所有对应位置的元素都相等时, 才

是相等的。

4.1.4 矩阵乘法

设矩阵 $A = (a_{ij})_{2 \times 3}$ ，矩阵 $B = (b_{ij})_{3 \times 2}$ ，则两矩阵的乘积为：

$$\begin{aligned} C = A \cdot B &= \begin{bmatrix} a_{11} & a_{12} & a_{13} \\ a_{21} & a_{22} & a_{23} \end{bmatrix} \begin{bmatrix} b_{11} & b_{12} \\ b_{21} & b_{22} \\ b_{31} & b_{32} \end{bmatrix} \\ &= \begin{bmatrix} a_{11}b_{11} + a_{12}b_{21} + a_{13}b_{31} & a_{11}b_{12} + a_{12}b_{22} + a_{13}b_{32} \\ a_{21}b_{11} + a_{22}b_{21} + a_{23}b_{31} & a_{21}b_{12} + a_{22}b_{22} + a_{23}b_{32} \end{bmatrix} \end{aligned}$$

注意，任意两个矩阵，只有在前一矩阵的列数等于后一矩阵的行数时才能相乘，即

$$C = (C_{ij})_{m \times p} = A_{m \times n} \cdot B_{n \times p}$$

4.1.5 矩阵的转置

把矩阵 $A = (a_{ij})_{m \times n}$ 的行、列互换而得到的 $n \times m$ 矩阵叫做 A 的转置矩阵，记为 A^T ：

$$A^T = \begin{bmatrix} a_{11} & a_{12} & \cdots & a_{m1} \\ a_{12} & a_{22} & \cdots & a_{m2} \\ \vdots & \vdots & \ddots & \vdots \\ a_{1n} & a_{2n} & \cdots & a_{mn} \end{bmatrix}$$

矩阵的转置具有如下几点基本性质：

$$(1) (A^T)^T = A.$$

$$(2) (A+B)^T = A^T + B^T.$$

$$(3) (\alpha A)^T = \alpha A^T.$$

$$(4) (A \cdot B)^T = B^T \cdot A^T.$$

当 A 是一个 n 阶方阵，而且有 $A = A^T$ 时，则称 A 是一个对称矩阵。

4.1.6 矩阵的逆

对于矩阵 A ，若存在 A^{-1} ，使得 $A \cdot A^{-1} = A^{-1} \cdot A = I$ ，则称 A^{-1} 为 A 的逆矩阵。

设 A 是一个 n 阶矩阵，如果有 n 阶矩阵 B 存在，使得 $A \cdot B = B \cdot A = I$ ，则称 A 是一个非奇异矩阵，并称 B 是 A 的逆。否则，便称 A 是一个奇异矩阵。由于 A, B 处于对称地位，故当 A 非奇异时，其逆 B 也非奇异，而且 A 也就是 B 的逆，即 A, B 互为逆。

例如：

$$\begin{bmatrix} 2 & 2 & 3 \\ 1 & -1 & 0 \\ -1 & 2 & 1 \end{bmatrix} \begin{bmatrix} 1 & -4 & -3 \\ 1 & -5 & -3 \\ -1 & 6 & 4 \end{bmatrix} = \begin{bmatrix} 1 & 0 & 0 \\ 0 & 1 & 0 \\ 0 & 0 & 1 \end{bmatrix}$$

$$\begin{bmatrix} 1 & -4 & -3 \\ 1 & -5 & -3 \\ -1 & 6 & 4 \end{bmatrix} \begin{bmatrix} 2 & 2 & 3 \\ 1 & -1 & 0 \\ -1 & 2 & 1 \end{bmatrix} = \begin{bmatrix} 1 & 0 & 0 \\ 0 & 1 & 0 \\ 0 & 0 & 1 \end{bmatrix}$$

任何非奇异矩阵 A 都只能有一个逆矩阵。

4.1.7 齐次坐标

齐次坐标是 Maxwell. E. A. 在 1946 年从几何的角度提出来的, 20 世纪 60 年代被应用到计算机图形学中。其基本思想是把一个 n 维空间的几何问题转换到 $n+1$ 维空间中去解决。从形式上来说, 用一个有 $n+1$ 个分量的向量去表示一个有 n 个分量的向量的方法称为齐次坐标表示。如二维平面上的点 (x, y) 的齐次坐标表示为 (hx, hy, h) , h 是任一不为 0 的比例系数。于是, 只要给定一个点的齐次坐标表示 (x, y, h) , 就能得到这个点的二维笛卡儿直角坐标 $(x/h, y/h)$ 。齐次坐标表示不是唯一的, 通常当 $h=1$ 时, 称为规格化齐次坐标。在计算机图形学里面, 常用的是规格化齐次坐标。

为什么要用齐次坐标表示, 其优越性主要有以下两点。

(1) 提供了用矩阵运算把二维、三维甚至高维空间中的一个点集从一个坐标系变换到另一个坐标系的有效方法。例如:

二维齐次坐标变换矩阵的形式为:

$$T_{2D} = \begin{bmatrix} a & d & g \\ b & e & h \\ c & f & i \end{bmatrix}$$

三维齐次坐标变换矩阵的形式为:

$$T_{3D} = \begin{bmatrix} a_{11} & a_{12} & a_{13} & a_{14} \\ a_{21} & a_{22} & a_{23} & a_{24} \\ a_{31} & a_{32} & a_{33} & a_{34} \\ a_{41} & a_{42} & a_{43} & a_{44} \end{bmatrix}$$

(2) 可以表示无穷远点。例如 $n+1$ 维中, $h=0$ 的齐次坐标实际上表示了一个 n 维的无穷远点。对二维的齐次坐标 (a, b, h) , 当 $h \rightarrow 0$, 表示了 $ax+by=0$ 的直线, 即在 $y=-(a/b)x$ 上的连续点 (x, y) 逐渐趋近于无穷远, 但其斜率不变。在三维情况下, 利用齐次坐标表示视点在原点时的投影变换, 其几何意义会更加清晰。

4.2 基本变换

二维图形变换的基本变换包括平移、比例和旋转三种变换。

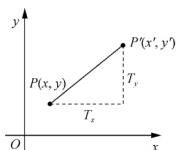


图 4.7 平移变换

4.2.1 平移变换

平移是一物体从一个位置到另一位置所做的直线移动。如果要把一个位于 $P(x, y)$ 的点移到新位置 $P'(x', y')$ 时, 只要在原坐标上加上平移距离 T_x 及 T_y 即可(见图 4.7), 即

$$\begin{cases} x' = x + T_x \\ y' = y + T_y \end{cases} \quad (4.1)$$

式(4.1)中的平移距离 (T_x, T_y) 称为平移向量或位移向量。如

果用向量形式来表示位移前后的两个点:

$$P = \begin{bmatrix} x \\ y \end{bmatrix}, \quad P' = \begin{bmatrix} x' \\ y' \end{bmatrix}$$

而平移向量为:

$$T = \begin{bmatrix} T_x \\ T_y \end{bmatrix}$$

那么, 可以用矩阵相加来表示 P 点的位移:

$$\begin{bmatrix} x' \\ y' \end{bmatrix} = \begin{bmatrix} x \\ y \end{bmatrix} + \begin{bmatrix} T_x \\ T_y \end{bmatrix} \quad (4.2)$$

记为:

$$P' = P + T \quad (4.3)$$

采用齐次坐标技术, 对于平移变换, 式(4.2)可写为:

$$\begin{bmatrix} x' \\ y' \\ 1 \end{bmatrix} = \begin{bmatrix} 1 & 0 & T_x \\ 0 & 1 & T_y \\ 0 & 0 & 1 \end{bmatrix} \begin{bmatrix} x \\ y \\ 1 \end{bmatrix} \quad (4.4)$$

对于含有平移距离 T_x 及 T_y 的 3×3 的变换矩阵, 可引入以下缩写符号:

$$T(T_x, T_y) = \begin{bmatrix} 1 & 0 & T_x \\ 0 & 1 & T_y \\ 0 & 0 & 1 \end{bmatrix} \quad (4.5)$$

用上述符号可写出平移变换的矩阵形式缩写:

$$P' = T(T_x, T_y) \cdot P \quad (4.6)$$

式(4.6)中 $P' = [x' \ y' \ 1]^T$, $P = [x \ y \ 1]^T$, 它们均为 3×1 的矩阵, 在做矩阵运算时是一个三元列向量。

4.2.2 比例变换

用来改变一个物体大小的变换称为比例变换(缩放变换)。如果要对一个多边形进行比例变换, 那么可把各顶点的坐标 (x, y) 均乘以比例因子 S_x, S_y , 以产生变换后的坐标 (x', y') 。

$$\begin{cases} x' = S_x \cdot x \\ y' = S_y \cdot y \end{cases} \quad (4.7)$$

其中, S_x 及 S_y 可以是任意正数, S_x, S_y 可以相等或不等。如果比例因子数值小于 1, 则物体尺寸减小; 大于 1, 则使物体放大; S_x 及 S_y 都等于 1, 则物体大小形状不变。

需要注意的是, 式(4.7)表示的比例变换是针对坐标原点的, 如图 4.8(a)所示。可以以坐标平面内的任意一点作为基准点, 对二维图形施加比例变换, 如图 4.8(b)所示。

如果令

$$S = \begin{bmatrix} S_x & 0 \\ 0 & S_y \end{bmatrix}$$

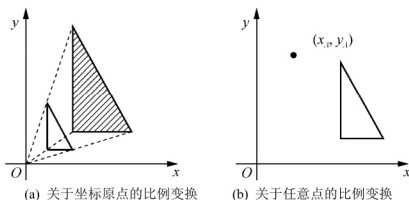


图 4.8 比例变换

则比例变换可以表示成以下的矩阵形式:

$$\begin{bmatrix} x' \\ y' \end{bmatrix} = \begin{bmatrix} S_x & 0 \\ 0 & S_y \end{bmatrix} \begin{bmatrix} x \\ y \end{bmatrix} \quad (4.8)$$

记为:

$$P' = S \cdot P \quad (4.9)$$

采用齐次坐标技术,可由式(4.4)写出比例变换的矩阵形式:

$$\begin{bmatrix} x' \\ y' \\ 1 \end{bmatrix} = \begin{bmatrix} S_x & 0 & 0 \\ 0 & S_y & 0 \\ 0 & 0 & 1 \end{bmatrix} \begin{bmatrix} x \\ y \\ 1 \end{bmatrix} \quad (4.10)$$

缩写为:

$$P' = S(S_x, S_y) \cdot P \quad (4.11)$$

式(4.11)中:

$$S(S_x, S_y) = \begin{bmatrix} S_x & 0 & 0 \\ 0 & S_y & 0 \\ 0 & 0 & 1 \end{bmatrix} \quad (4.12)$$

S 是用参数 S_x 及 S_y 表示的 3×3 的比例变换矩阵。

4.2.3 旋转变换

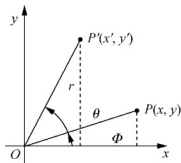


图 4.9 旋转变换

物体上的各点绕一固定点沿圆周路径做转动称为旋转变换。我们可用旋转角表示旋转量的大小。

一个点由位置 (x, y) 旋转到 (x', y') 的角度为自水平轴算起的角度, θ 为旋转角(见图 4.9)。可由三角关系得

$$\begin{aligned} x' &= r \cos(\theta + \phi) = r \cos \theta \cos \phi - r \sin \theta \sin \phi \\ &= x \cos \theta - y \sin \theta \\ y' &= r \sin(\theta + \phi) = r \cos \theta \sin \phi + r \sin \theta \cos \phi \\ &= x \sin \theta + y \cos \theta \end{aligned}$$

相对于坐标原点的旋转变换公式如下:

$$\begin{cases} x' = x \cos \theta - y \sin \theta \\ y' = y \cos \theta + x \sin \theta \end{cases} \quad (4.13)$$

如果令:

$$R = \begin{bmatrix} \cos \theta & -\sin \theta \\ \sin \theta & \cos \theta \end{bmatrix}$$

则有:

$$\begin{bmatrix} x' \\ y' \end{bmatrix} = \begin{bmatrix} \cos \theta & -\sin \theta \\ \sin \theta & \cos \theta \end{bmatrix} \begin{bmatrix} x \\ y \end{bmatrix} \quad (4.14)$$

记为:

$$P' = R \cdot P \quad (4.15)$$

需要注意的是, 这里讨论的是绕坐标原点所做的旋转变换, 实际上可以绕坐标平面中任意点进行图形的旋转变换。

式(4.14)的旋转变换方程可写为以下矩阵形式:

$$\begin{bmatrix} x' \\ y' \\ 1 \end{bmatrix} = \begin{bmatrix} \cos \theta & -\sin \theta & 0 \\ \sin \theta & \cos \theta & 0 \\ 0 & 0 & 1 \end{bmatrix} \begin{bmatrix} x \\ y \\ 1 \end{bmatrix} \quad (4.16)$$

或写为:

$$P' = R(\theta) \cdot P \quad (4.17)$$

式(4.17)中:

$$R(\theta) = \begin{bmatrix} \cos \theta & -\sin \theta & 0 \\ \sin \theta & \cos \theta & 0 \\ 0 & 0 & 1 \end{bmatrix} \quad (4.18)$$

$R(\theta)$ 为一个含有参数 θ 的 3×3 的旋转变换矩阵。

4.2.4 其他变换

在大多数图形系统中, 都包含有平移、比例及旋转等基本变换。有的还提供另外几种很有用的变换, 如反射变换及错切变换等。

1. 反射变换

反射是用来产生物体的镜像的一种变换。物体的镜像一般是相对于一个对称轴生成的。

1) 关于 x 轴对称变换

关于 x 轴的对称变换是一种特殊形式的缩放变换, 其中, $S_x=1$, $S_y=-1$, 如图 4.10 所示, 其变换矩阵为:

$$RF_x = \begin{bmatrix} 1 & 0 & 0 \\ 0 & -1 & 0 \\ 0 & 0 & 1 \end{bmatrix} \quad (4.19)$$

2) 关于 y 轴对称变换

关于 y 轴的对称变换是一种特殊形式的缩放变换, 其中, $S_x=-1$, $S_y=1$, 如图 4.11 所示,

其变换矩阵为:

$$RF_y = \begin{bmatrix} -1 & 0 & 0 \\ 0 & 1 & 0 \\ 0 & 0 & 1 \end{bmatrix} \quad (4.20)$$

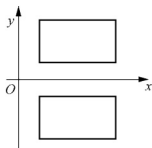


图 4.10 关于 x 轴对称变换

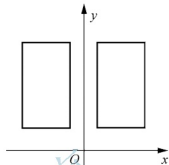


图 4.11 关于 y 轴对称变换

3) 关于坐标原点的对称变换

关于坐标原点的对称变换, 是一种特殊形式的缩放变换, 其中, $S_x=-1$, $S_y=-1$, 如图 4.12 所示, 其变换矩阵为:

$$RF_o = \begin{bmatrix} -1 & 0 & 0 \\ 0 & -1 & 0 \\ 0 & 0 & 1 \end{bmatrix} \quad (4.21)$$

2. 错切变换

错切变换可使物体产生变形, 即物体产生扭转或称为错切。常用的两种错切变换是沿 x 方向或沿 y 方向错切变换。

1) 沿 x 方向关于 y 轴的错切

在图 4.13 中, 对矩形 $ABCD$ 沿 x 轴方向进行错切变换, 得到菱形 $A'B'CD$ 。错切的角度为 θ , 令 $sh_x = \tan \theta$, 假定点 (x, y) 经错切变换后变为 (x', y') , 由图 4.13 可知:

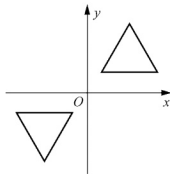


图 4.12 关于坐标原点的对称变换

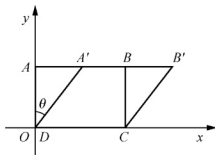


图 4.13 沿 x 方向的错切

$$\begin{cases} x' = x + y \cdot sh_x \\ y' = y \end{cases} \quad (4.22)$$

从而沿 x 方向关于 y 轴的错切的变换矩阵为:

$$SH_y(sh_x) = \begin{bmatrix} 1 & sh_x & 0 \\ 0 & 1 & 0 \\ 0 & 0 & 1 \end{bmatrix} \quad (4.23)$$

式(4.23)中 sh_x 可取任意实数。此变换只影响 x 坐标, y 坐标保持不变。变换时物体上的各点水平偏移一段距离, 偏移量正比于 y 值。

2) 沿 y 方向关于 x 轴的错切

在图 4.9 中, 对矩形 $ABCD$ 沿 y 轴方向进行错切变换, 得到菱形 $AB'C'D$ 。错切的角度为 θ , 令 $sh_y = \cot \theta$, 假定点 (x, y) 经错切变换后变为 (x', y') , 由图 4.14 可知,

$$\begin{cases} x' = x \\ y' = y + x \cdot sh_y \end{cases} \quad (4.24)$$

从而沿 x 方向关于 y 轴的错切的变换矩阵为:

$$SH_x(sh_y) = \begin{bmatrix} 1 & 0 & 0 \\ sh_y & 1 & 0 \\ 0 & 0 & 1 \end{bmatrix} \quad (4.25)$$

式(4.25)中, sh_y 可取任意实数, 此变换只影响 y 坐标, x 坐标保持不变。变换时物体上的各点向垂直方向偏移一段距离, 偏移量正比于 x 值。

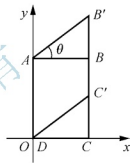


图 4.14 沿 y 方向的错切

4.3 组合变换

任意一个变换序列均可表示为一个组合变换矩阵。组合变换矩阵可由基本变换矩阵的乘积求得。由若干基本变换矩阵相乘得组合变换矩阵的方法称为矩阵的级联。

4.3.1 单一基本变换的组合变换

1. 组合平移变换

要对一物体连续平移两次, 假定两次平移的距离为 (T_{x1}, T_{y1}) 及 (T_{x2}, T_{y2}) , 则

$$\begin{aligned} P' &= T(T_{x2}, T_{y2}) \cdot \{T(T_{x1}, T_{y1}) \cdot P\} \\ &= \{T(T_{x2}, T_{y2}) \cdot T(T_{x1}, T_{y1})\} \cdot P \end{aligned} \quad (4.26)$$

相当于把两个平移矩阵级联起来, 然后把此组合矩阵作用到各坐标点上。由此可计算出组合矩阵为:

$$\begin{bmatrix} 1 & 0 & T_{x2} \\ 0 & 1 & T_{y2} \\ 0 & 0 & 1 \end{bmatrix} \begin{bmatrix} 1 & 0 & T_{x1} \\ 0 & 1 & T_{y1} \\ 0 & 0 & 1 \end{bmatrix} = \begin{bmatrix} 1 & 0 & T_{x1} + T_{x2} \\ 0 & 1 & T_{y1} + T_{y2} \\ 0 & 0 & 1 \end{bmatrix} \quad (4.27)$$

式(4.27)表明, 进行连续两次平移, 实际上是把平移距离相加, 即:

$$T(T_{x2}, T_{y2}) \cdot T(T_{x1}, T_{y1}) = T(T_{x1} + T_{x2}, T_{y1} + T_{y2}) \quad (4.28)$$

坐标点进行组合平移变换时, 可用以下矩阵形式表示:

$$P' = T(T_{x1} + T_{x2}, T_{y1} + T_{y2}) \cdot P \quad (4.29)$$

2. 组合比例变换

作用于点 P 的两次连续的比例变换的变换矩阵为:

$$\begin{bmatrix} S_{x_2} & 0 & 0 \\ 0 & S_{y_2} & 0 \\ 0 & 0 & 1 \end{bmatrix} \begin{bmatrix} S_{x_1} & 0 & 0 \\ 0 & S_{y_1} & 0 \\ 0 & 0 & 1 \end{bmatrix} = \begin{bmatrix} S_{x_1} \cdot S_{x_2} & 0 & 0 \\ 0 & S_{y_1} \cdot S_{y_2} & 0 \\ 0 & 0 & 1 \end{bmatrix} \quad (4.30)$$

即:

$$S(S_{x_2}, S_{y_2}) \cdot S(S_{x_1}, S_{y_1}) = S(S_{x_1} \cdot S_{x_2}, S_{y_1} \cdot S_{y_2}) \quad (4.31)$$

由式(4.31)可见,连续进行两次比例变换,实际上是把相应的比例因子相乘。例如,若要连续两次把物体的尺寸放大3倍,则物体的最后尺寸放大到原来的9倍。

3. 组合旋转变换

连续两次旋转的组合变换矩阵可用下式表示:

$$R(\theta_2) \cdot R(\theta_1) = R(\theta_1 + \theta_2) \quad (4.32)$$

与组合平移的情况相似,连续旋转实际上是把旋转角相加。

4.3.2 多个基本变换的组合变换

1. 相对于任一固定点的比例变换

由基本平移变换矩阵及比例变换矩阵,可得到相对于任一固定点 $A(x_A, y_A)$ 的比例运算的组合矩阵。此时实际上是进行由三个基本变换形成的一个变换序列。此变换序列如图4.15所示。首先把图形及固定点一起平移,使固定点移到坐标原点上;然后把图形相对于原点进行比例变换;最后把图形及固定点一起平移,使固定点又回到原来位置。

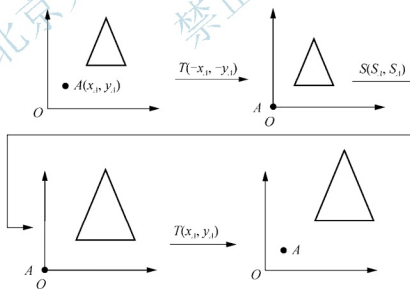


图 4.15 相对于任一固定点的比例变换

此变换序列可表示为:

$$P' = S_A(S_x, S_y) \cdot P$$

其中变换矩阵 $S_A(S_x, S_y)$ 为:

$$\begin{aligned}
 S_A(S_x, S_y) &= T(x_A, y_A) \cdot S(S_x, S_y) \cdot T(-x_A, -y_A) \\
 &= \begin{bmatrix} 1 & 0 & x_A \\ 0 & 1 & y_A \\ 0 & 0 & 1 \end{bmatrix} \begin{bmatrix} S_x & 0 & 0 \\ 0 & S_y & 0 \\ 0 & 0 & 1 \end{bmatrix} \begin{bmatrix} 1 & 0 & -x_A \\ 0 & 1 & -y_A \\ 0 & 0 & 1 \end{bmatrix} \\
 &= \begin{bmatrix} S_x & 0 & x_A(1-S_x) \\ 0 & S_y & y_A(1-S_y) \\ 0 & 0 & 1 \end{bmatrix}
 \end{aligned} \quad (4.33)$$

2. 围绕任一基准点的旋转变换

图 4.16 所示为围绕任一基准点 $A(x_A, y_A)$ 旋转时, 由一个变换序列得到一个组合矩阵的过程。首先, 把物体平移, 使基准点与坐标原点重合, 然后, 把物体绕原点旋转, 最后, 把物体平移, 使基准点回到原来位置。

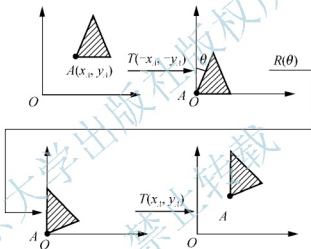


图 4.16 围绕任一基准点的旋转变换

此变换序列可以用以下矩阵的乘积表示:

$$\begin{aligned}
 R_A(\theta) &= T(x_A, y_A) \cdot R(\theta) \cdot T(-x_A, -y_A) \\
 &= \begin{bmatrix} 1 & 0 & x_A \\ 0 & 1 & y_A \\ 0 & 0 & 1 \end{bmatrix} \begin{bmatrix} \cos \theta & -\sin \theta & 0 \\ \sin \theta & \cos \theta & 0 \\ 0 & 0 & 1 \end{bmatrix} \begin{bmatrix} 1 & 0 & -x_A \\ 0 & 1 & -y_A \\ 0 & 0 & 1 \end{bmatrix} \\
 &= \begin{bmatrix} \cos \theta & -\sin \theta & x_A(1-\cos \theta) + y_A \sin \theta \\ \sin \theta & \cos \theta & y_A(1-\cos \theta) - x_A \sin \theta \\ 0 & 0 & 1 \end{bmatrix}
 \end{aligned} \quad (4.34)$$

3. 关于任意轴的对称变换

以任一直线 l 为对称轴的对称变换可以用变换合成的方法按如下步骤完成(见图 4.17)。

- (1) 平移使 l 过坐标原点, 记变换为 T_1 , 图形 A 被变换到 A_1 。
- (2) 旋转 θ 角, 使 l 和 OX 轴重合, 记变换为 R_1 , 图形 A_1 被变换到 A_2 。

(3) 求图形 A_2 关于 X 轴的对称图形 A_3 , 记变换为 RF_x 。

(4) 旋转 $-\theta$ 角, 记变换为 R_2 , 图形 A_3 被变换到 A_4 。

(5) 平移使 l 回到其原先的位置, 记变换为 T_2 , 图形 A_4 被变换到 A_5 。 A_5 即为 A 关于 l 的对称图形。总的变换为:

$$T_2 \cdot R_2 \cdot RF_x \cdot R_1 \cdot T_1 \quad (4.35)$$

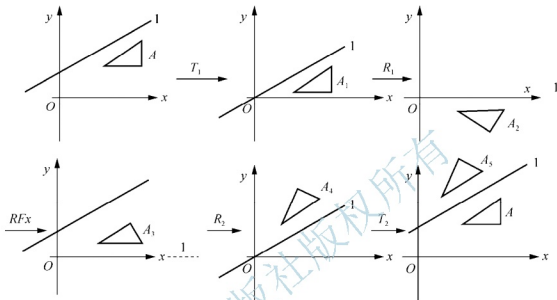


图 4.17 关于任意轴的对称变换

4.3.3 组合变换举例

已知图 4.18 中所示三角形 ABC 各顶点的坐标 $A(2, 4)$ 、 $B(4, 4)$ 、 $C(4, 1)$, 相对 A 点逆时针旋转 60° , 各顶点分别到达 A' 、 B' 、 C' 。试计算 A' 、 B' 、 C' 的坐标值。(要求用齐次坐标进行变换, 列出变换矩阵)

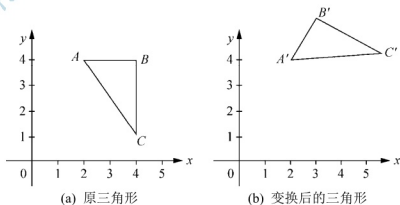


图 4.18 三角形的组合变换

将坐标系原点平移到 A 点:

$$T_A = \begin{bmatrix} 1 & 0 & 0 \\ 0 & 1 & 0 \\ -2 & -4 & 1 \end{bmatrix}$$

$\triangle ABC$ 绕新坐标系原点逆时针旋转 60° ，则：

$$T_S = \begin{bmatrix} \cos 60^\circ & \sin 60^\circ & 0 \\ -\sin 60^\circ & \cos 60^\circ & 0 \\ 0 & 0 & 1 \end{bmatrix}$$

坐标平移回原处 $T_A^{-1} = \begin{bmatrix} 1 & 0 & 0 \\ 0 & 1 & 0 \\ 2 & 4 & 1 \end{bmatrix}$ 变换矩阵为：

$$T = T_A T_S T_{A1}^{-1} = \begin{bmatrix} \frac{1}{2} & \frac{\sqrt{3}}{2} & 0 \\ -\frac{\sqrt{3}}{2} & \frac{1}{2} & 0 \\ 2\sqrt{3}+1 & 2-\sqrt{3} & 1 \end{bmatrix}$$

$$\begin{bmatrix} X'_A & Y'_A & 1 \end{bmatrix} = \begin{bmatrix} 2 & 4 & 1 \end{bmatrix} T = \begin{bmatrix} 2 & 4 & 1 \end{bmatrix}$$

$$X'_A = 2, Y'_A = 4$$

$$\begin{bmatrix} X'_B & Y'_B & 1 \end{bmatrix} = \begin{bmatrix} 4 & 4 & 1 \end{bmatrix} T = \begin{bmatrix} 3 & 5.732 & 1 \end{bmatrix}$$

$$X'_B = 3, Y'_B = 5.732$$

$$\begin{bmatrix} X'_C & Y'_C & 1 \end{bmatrix} = \begin{bmatrix} 4 & 1 & 1 \end{bmatrix} T = \begin{bmatrix} 5.598 & 4.232 & 1 \end{bmatrix}$$

$$X'_C = 5.598, Y'_C = 4.232$$

本章小结

图形变换是计算机图形学的基础内容之一。本章介绍了二维图形的数学基础知识和原理，着重阐述了二维图形基本变换、单一基本组合变换以及多个基本变换的组合变换的方法。具体内容如下：

(1) 首先介绍了计算机图形学中二维图形变换的数学基础知识和原理。图形变换需要用到向量及向量的性质、向量点积、矩阵、矩阵的转置、矩阵的逆、齐次坐标等基础知识。

(2) 其次介绍了二维图形的基本变换，主要包括平移、旋转和比例三种基本变换。除此之外还有反射变换和错切变换。

(3) 最后介绍了二维图形的组合变换。任意一个变换序列均可表示为一个组合变换矩阵。组合变换矩阵可以由基本变换矩阵的乘积获得。组合变换又包括单一基本变换的组合变换和多个基本变换的组合变换。

单一基本组合变换包括组合平移变换和组合比例变换；多个基本变换的组合变换包括相对于任一固定点的比例变换、围绕任一基准点的旋转变换和关于任意轴的对称变换。书中给出了详细的组合变换的实例，对其进行了详细的推导。



阅读材料

利用计算机对图形进行处理是应用计算机图形学的最基本的任务。这其中大量的任务是控制和修改所显示的图形。这门学科在工业自动化生产的 CAD/CAM 系统中, 可以显示和输出基本图形和图形的属性, 对设计的产品几何模型进行修改或重新设计, 由零件、构件装配成产品, 在屏幕上显示一幅接一幅连续的动画画面, 对设计和制造过程进行动态模拟分析和仿真。这些图形在计算机显示器上处理的过程很多情况下就表现为同一幅图形显示在显示器的不同的位置上。另外, 图形表示的现实物体的几何图形本身可能有一个坐标系, 当它被计算机处理时, 就要转换到计算机的设备上去, 计算机设备本身也有一个坐标系。两个坐标系之间的关系也表现为图形变换的关系。所有这些变换都是通过坐标点的几何变换实现的。

习 题

一、填空题

1. 二维图形基本变换包括_____、_____、_____和_____五个基本变换。
2. 齐次坐标表示是用_____维向量表示 n 维向量的一种表示方法。
3. 由若干基本变换矩阵相乘求得组合变换矩阵的方法称为_____。
4. 用来改变一物体大小的变换称为_____。
5. 以任一直线 l 为对称轴的对称变换可以用变换合成的方法按_____、_____、_____和_____五步来实现。

二、选择题

1. 使用下列二维图形变换矩阵,

$$T = \begin{vmatrix} 2 & 0 & 0 \\ 0 & 1 & 0 \\ 0 & 0 & 1 \end{vmatrix}$$

将产生变换的结果为()。

- A. 图形沿 x 坐标轴方向放大 2 倍
 - B. 图形放大 2 倍, 同时沿 x 、 y 坐标轴方向各移动 1 个绘图单位
 - C. 沿 x 坐标轴方向移动 2 个绘图单位
 - D. 沿 x 坐标轴方向放大 2 倍, 同时沿 x 、 y 坐标轴方向各移动 1 个绘图单位
2. 下述绕坐标原点逆时针方向旋转 α 角的坐标变换矩阵中哪一项是错误的? ()
 - A. $\cos \alpha$
 - B. $-\sin \alpha$
 - C. $-\cos \alpha$
 - D. $\sin \alpha$
 3. 以下关于图形变换的论述哪些是错误的? ()
 - A. 错切变换虽然可引起图形角度的改变, 但不会发生图形畸变
 - B. 平移变换不改变图形大小和形状, 只改变图形位置

C. 任意一个变换序列均可表示为一个组合变换矩阵, 该组合变换矩阵是基本变换矩阵的和

D. 旋转变换后各图形部分间的线性关系和角度关系不变, 变换后直线的长度不变

三、判断题

1. 若要对某点进行比例、旋转变换, 首先需要将坐标原点平移到该点, 在新的坐标系下做比例或者旋转变换, 然后再将原点平移回去。 ()

2. 齐次坐标系不能表达图形中的无穷远点。 ()

3. 错切变换虽然可以引起图形角度的改变, 但不会发生图形的畸变。 ()

4. 一个定义为先平移再绕 y 轴旋转的变换和一个定义为先绕 y 轴旋转再平移的变换(平移量和旋转的角度大小和方向都一样), 其变换的结果是一样的。 ()

四、简答题

1. 分别写出平移、旋转、缩放及其组合的变换矩阵。

2. 证明两个二维旋转变换 $R(\theta_1)$ 、 $R(\theta_2)$ 具有下式: $R(\theta_1) \cdot R(\theta_2) = R(\theta_1 + \theta_2)$ 。

3. 将三角形 $A(0, 0)$ 、 $B(1, 1)$ 、 $C(5, 2)$ 在以下两种情况下旋转 45° 后的坐标(a)绕原点; (b)绕点 $(-1, -1)$ 。

4. 写出一个变换矩阵, 它将正方形 $ABCD A(0, 0)$ 、 $B(1, 0)$ 、 $C(1, 1)$ 、 $D(0, 1)$, 变换为长宽各为原来一半大小的正方形, 并且中心在 $(-1, -1)$, 如图 4.19 所示。

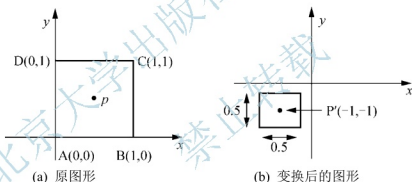


图 4.19 组合变换

五、上机操作题

假定汽车在一平直公路上的匀速运动(见图 4.20), 观察者在汽车出发点 A 点处, 并设该点坐标为 $(0, 0)$, 已知车厢体的高和宽分别为 1m , 2m ; 轮胎的直径为 0.5m ; B 点的汽车背影为 A 点的一半, C 点的汽车背影为 B 点的一半。编程模拟该汽车的运动过程。

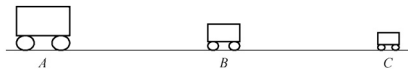


图 4.20 组合变换

第5章 二维图形的裁剪

学习目标

- 掌握窗口和视区间的变换等基本概念;
- 掌握线段、多边形和文本的裁剪算法;
- 了解圆的裁剪算法。

知识结构

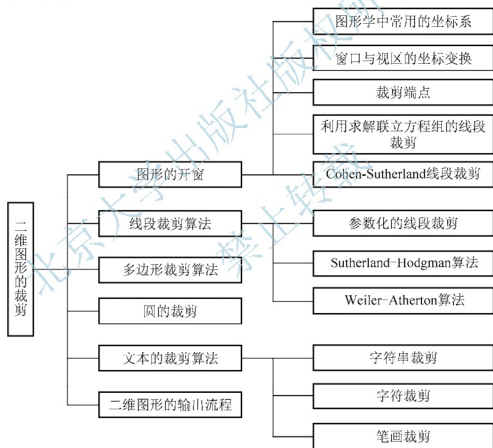


图 5.1 二维图形裁剪的知识结构图



导入案例

图形的开窗与裁剪是计算机图形中图形运算的基础。有了开窗与裁剪的概念后，在图形系统中，用户定义的各种复杂的图形不仅不再受显示设备中显示范围的限制，而且还能非常方便地观察各种图形的输出显示，使用户可以把图形的输入输出两个不同的过程联系在一起。

二维图形的裁剪主要包括线段的裁剪和多边形的裁剪。下面所示就是线段的裁剪和多边形裁剪问题。

线段裁剪的基本类型如图 5.2 所示:

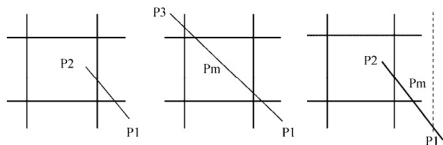


图 5.2 三种不同的裁剪方式

多边形裁剪的几种类型如图 5.3 和图 5.4 所示:

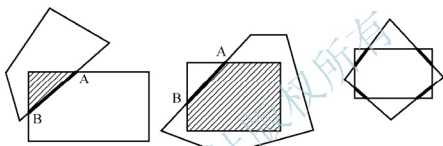


图 5.3 因丢失顶点信息而无法确定裁剪区域

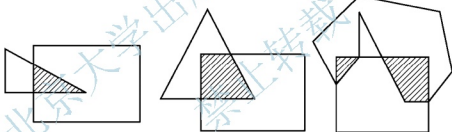


图 5.4 裁剪后多边形顶点形成的几种情况

本章将详细的介绍与开窗、裁剪有关的基本概念,包括图形学常用的坐标系窗口和视区间的变换,以及线段的裁剪算法、多边形的裁剪算法、圆的裁剪算法和文本的裁剪算法等。

5.1 图形的开窗

用计算机处理图形,离不开各种坐标系,这些坐标系决定了计算机处理图形的原始数据来源与图形的最终显示位置,建立了图形与数之间的联系。因此在介绍开窗和裁剪之前,先介绍计算机图形学中常用的坐标系。

5.1.1 图形学中常用的坐标系

计算机图形学中最常用的坐标系有世界坐标系、局部坐标系、屏幕坐标系等,下面分别给予介绍。

1. 世界坐标系

计算机本身只能处理数字,图形在计算机内部也是以数字的形式进行存储和处理的。坐标系用于建立数与图形之间的联系。为了使被显示的图形数字化,用户需要在图形对象所在的空间定义一个坐标系,这个坐标系称为世界坐标系(World Coordinate)。由于用户通常选用自己熟悉的方式建立世界坐标系,所以世界坐标系也称为用户坐标系(User Coordinate)。用户常用的坐标系有极坐标系、对数坐标系、球面坐标系、直角坐标系等。在实际应用中,具体坐标系的选择要使该坐标系的长度和坐标轴的方向便于对显示对象的描述。

2. 局部坐标系

为了简化图形对象的描述,用户有时采用相对于物体的坐标系,这个坐标系称为局部坐标系(Local Coordinate)。局部坐标系建立在物体之上,它和物体之间的相对位置保持不变。当一个对象的局部坐标系和世界坐标系之间的关系确定之后,该对象在世界坐标系中的位置也就被确定了。

3. 屏幕坐标系

当计算机对图形做了必要的处理后,要将其在图形显示器或绘图纸上绘制出来,这就需要在二维的图形显示器或绘图纸上定义一个坐标系,这个坐标系就称为屏幕坐标系(Screen Coordinate)或设备坐标系(Device Coordinate)。该坐标系通常取为直角坐标系,其坐标轴平行于屏幕或绘图纸边缘,长度单位取为一个像素的长度或绘图机的步长,坐标为整数,坐标系的原点和坐标轴的方向随显示设备的不同而不同。通常的微机显示器的屏幕坐标系采取图 5.5 所示的方式。



图 5.5 屏幕坐标系

5.1.2 窗口与视区的坐标变换

1. 窗口与视区

在世界坐标系中描述的图形往往是复杂和庞大的。但在实际的应用中,我们可能只对某一局部区域感兴趣,只将这一局部区域内的图形显示在屏幕上,这一局部区域需要用户在世界坐标系中指定。考虑到处理的方便性,通常指定为矩形区域,这个矩形区域称为窗口(window)。指定或选取这样的一个矩形区域称为开窗口或开窗。

当用户在世界坐标系中开窗后,需要将窗口内的图形显示在屏幕上。一般来说,并不是将窗口内的图形显示在整个屏幕上,而是在屏幕上指定一个小于屏幕的矩形区域来显示窗口内的图形,屏幕上的这个矩形区域称为视区(viewport)。由于窗口和视区不在同一个坐标系中,并且它们所用的长度单位、大小和位置都不相同,所以在将窗口内的图形在视区内显示出来之前,需要做窗口到视区的变换。

2. 窗口到视区的变换

给定世界坐标系中的一个窗口和屏幕坐标系中的一个视区,可以用变换合成的方法来实现窗口到视区的变换。设世界坐标系 xOy 中,窗口的左下角坐标为 (x_{\min}, y_{\min}) ,两边的

宽度分别为 W_x, W_y 。屏幕坐标系 uOv 中, 窗口的左下角坐标为 (u_{\min}, v_{\min}) , 两边的宽度分别为 W_u, W_v (见图 5.6)。

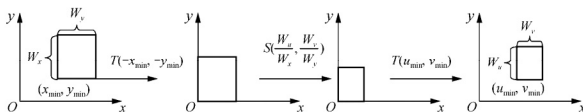


图 5.6 窗口到视区的变换

窗口到视区的变换可按下列步骤进行。

- (1) 平移变换。在世界坐标系 xOy 中, 使用平移将 (x_{\min}, y_{\min}) 移到坐标原点, 变换为 $T(-x_{\min}, -y_{\min})$ 。
 - (2) 缩放变换。在世界坐标系 xOy 中, 使用缩放使窗口的大小和视区的大小相同, 变换为 $S(\frac{W_u}{W_x}, \frac{W_v}{W_y})$ 。
 - (3) 平移变换。在屏幕坐标系 uOv 中, 平移使窗口和视区重合, 变换为 $T(u_{\min}, v_{\min})$ 。
- 则窗口到视区变换的变换矩阵为:

$$\begin{aligned}
 M &= T(u_{\min}, v_{\min}) \cdot S(\frac{W_u}{W_x}, \frac{W_v}{W_y}) \cdot T(-x_{\min}, -y_{\min}) \\
 &= \begin{bmatrix} 1 & 0 & u_{\min} \\ 0 & 1 & v_{\min} \\ 0 & 0 & 1 \end{bmatrix} \begin{bmatrix} \frac{W_u}{W_x} & 0 & 0 \\ 0 & \frac{W_v}{W_y} & 0 \\ 0 & 0 & 1 \end{bmatrix} \begin{bmatrix} 1 & 0 & -x_{\min} \\ 0 & 1 & -y_{\min} \\ 0 & 0 & 1 \end{bmatrix} \\
 &= \begin{bmatrix} \frac{W_u}{W_x} & 0 & -x_{\min} \frac{W_u}{W_x} + u_{\min} \\ 0 & \frac{W_v}{W_y} & -y_{\min} \frac{W_v}{W_y} + v_{\min} \\ 0 & 0 & 1 \end{bmatrix} \quad (5.1)
 \end{aligned}$$

当窗口的边不与坐标轴平行, 而是有一个倾斜角时(见图 5.7), 窗口到视区的变换步骤可描述如下:

- (1) 平移变换。在世界坐标系 xOy 中, 使用平移将 (x_{\min}, y_{\min}) 移到坐标原点, 变换为 $T(-x_{\min}, -y_{\min})$ 。
- (2) 旋转变换。在世界坐标系 xOy 中, 旋转使窗口边与坐标轴重合, 变换为 $R(-\alpha)$ 。
- (3) 缩放变换。在世界坐标系 xOy 中, 缩放使窗口的大小和视区的大小相同, 变换为 $S(\frac{W_u}{W_x}, \frac{W_v}{W_y})$ 。

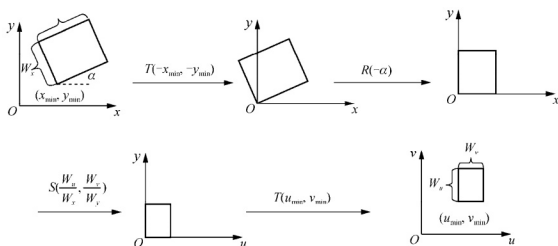


图 5.7 窗口的边与坐标轴不平时, 窗口到视区的变换

(4) 平移变换。在屏幕坐标系 uOv 中, 平移使窗口和视区重合, 变换为 $T(u_{\min}, v_{\min})$ 。则窗口到视区变换的变换矩阵为:

$$\begin{aligned}
 M &= T(u_{\min}, v_{\min}) \cdot S\left(\frac{W_u}{W_x}, \frac{W_v}{W_y}\right) \cdot R(-\alpha) \cdot T(-x_{\min}, -y_{\min}) \\
 &= \begin{bmatrix} 1 & 0 & u_{\min} \\ 0 & 1 & v_{\min} \\ 0 & 0 & 1 \end{bmatrix} \begin{bmatrix} \frac{W_u}{W_x} & 0 & 0 \\ 0 & \frac{W_v}{W_y} & 0 \\ 0 & 0 & 1 \end{bmatrix} \begin{bmatrix} \cos \alpha & \sin \alpha & 0 \\ -\sin \alpha & \cos \alpha & 0 \\ 0 & 0 & 1 \end{bmatrix} \begin{bmatrix} 1 & 0 & -x_{\min} \\ 0 & 1 & -y_{\min} \\ 0 & 0 & 1 \end{bmatrix} \\
 &= \begin{bmatrix} \frac{W_u}{W_x} \cos \alpha & \frac{W_u}{W_x} \sin \alpha & -\frac{W_u}{W_x} (x_{\min} \cdot \cos \alpha + y_{\min} \cdot \sin \alpha) + u_{\min} \\ -\frac{W_v}{W_y} \sin \alpha & \frac{W_v}{W_y} \cos \alpha & \frac{W_v}{W_y} (x_{\min} \cdot \sin \alpha - y_{\min} \cdot \cos \alpha) + v_{\min} \\ 0 & 0 & 1 \end{bmatrix} \quad (5.2)
 \end{aligned}$$

5.2 线段裁剪算法

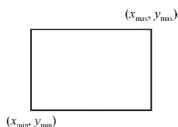


图 5.8 矩形裁剪窗口

线段的裁剪算法虽然比较简单, 但它比较重要。因为复杂的高次曲线都是用折线段来逼近的, 从而其裁剪问题可以转化为直线段的裁剪问题。在本节中, 我们假设裁剪窗口为矩形窗口, 其左下角顶点和右上角顶点的坐标分别为 (x_{\min}, y_{\min}) 和 (x_{\max}, y_{\max}) , 如图 5.8 所示。

5.2.1 裁剪端点

直线段端点的裁剪比较简单。点 (x, y) 在窗口内的充分必要条件是:

$$x_{\min} \leq x \leq x_{\max}, \quad y_{\min} \leq y \leq y_{\max} \quad (5.3)$$

其中, 当等号成立时, 点位于窗口的边界上, 也认为是可见的。

5.2.2 利用求解联立方程组的线段裁剪

待裁剪的线段与裁剪窗口的位置关系有下面三种。

(1) 完全可见, 即线段的两个端点都在窗口内, 如图 5.9 中的线段 AB , 这时显示该线段。

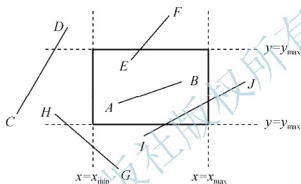


图 5.9 待裁剪的线段与裁剪窗口的位置关系

(2) 显然不可见, 即线段的两个端点都在窗口某条边所在的直线的同一侧, 如图 5.9 的线段 CD , 这时不显示该线段。

(3) 线段至少有一个端点在窗口之外, 但非显然不可见。如图 5.9 中的线段 EF , IJ , 此时需要进一步确定线段是否有可见部分, 如果有可见部分, 则求出可见部分。

可见, 对直线段的裁剪, 就是输出显示它在裁剪窗口内的可见部分。如果线段的两个端点都在裁剪窗口内, 则输出其已知的两个端点坐标并显示这条直线段; 如果线段的一个端点在裁剪窗口内, 一个端点在裁剪窗口外, 则线段与窗口有一个交点, 交点与窗口内的端点之间的连线是该线段的可见部分; 如果线段的两个端点都在窗口的外面, 线段与窗口有可能相交, 也有可能不相交, 需要进一步计算以确定它们是否相交。

根据上述分析可知, 为了确定线段的可见性, 需要先求出线段与窗口的交点, 然后对交点的性质做分析。

先求直线段与窗口的交点。设直线段的两个端点坐标分别为 $P_0 = (x_0, y_0)$, $P_1 = (x_1, y_1)$, 则直线段的点斜式方程为:

$$y = m(x - x_0) + y_0 \quad (5.4)$$

其中, $m = \frac{\Delta y}{\Delta x} = \frac{y_1 - y_0}{x_1 - x_0}$ 为斜率。

则该直线段与窗口下边交点的坐标满足方程组:

$$\begin{cases} y = m(x - x_0) + y_0 \\ y = y_{\min} \end{cases} \quad (5.5)$$

该直线段与窗口上边交点的坐标满足方程组:

$$\begin{cases} y = m(x - x_0) + y_0 \\ y = y_{\max} \end{cases} \quad (5.6)$$

则该直线段与窗口左边交点的坐标满足方程组:

$$\begin{cases} y = m(x - x_0) + y_0 \\ x = x_{\min} \end{cases} \quad (5.7)$$

该直线段与窗口右边交点的坐标满足方程组:

$$\begin{cases} y = m(x - x_0) + y_0 \\ x = x_{\max} \end{cases} \quad (5.8)$$

求解方程组(5.5)~(5.8), 得到该线段与窗口上、下、左、右四个边所在直线的交点 P_U 、 P_D 、 P_L 、 P_R 的坐标分别为:

$$\begin{cases} x = x_0 + \frac{1}{m}(y_{\max} - y_0), y = y_{\max} \\ x = x_0 + \frac{1}{m}(y_{\min} - y_0), y = y_{\min} \\ x = x_{\min}, y = m(x_{\min} - x_0) + y_0 \\ x = x_{\max}, y = m(x_{\max} - x_0) + y_0 \end{cases} \quad (5.9)$$

然后判断这些交点是在窗口的边框上还是在边的延长线上。如果在延长线上, 则删除该交点(见图 5.10 中的 P_U 和 P_D), 最后剩下两个交点(见图 5.10 中的 P_L 和 P_R), 这两个交点之间的连线给出了直线在窗口内的可见直线段。这一直线段和线段 P_0P_1 的公共部分(见图 5.10 中的 P_0P_R)就是线段 P_0P_1 在窗口内的可见部分。

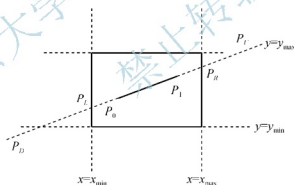


图 5.10 直线的裁剪

上面在求解直线段与窗口的交点时用的是直线的非参数表示形式。事实上, 我们也可以用直线的参数表示形式来进行。下面就将直线写成参数形式来求解直线段与窗口的交点。

我们仍然假设直线段的两个端点坐标分别为 $P_0 = (x_0, y_0)$, $P_1 = (x_1, y_1)$, 则直线段的参数方程为:

$$\begin{cases} x = x_0 + t_l(x_1 - x_0), \\ y = y_0 + t_l(y_1 - y_0), \end{cases} \quad t_l \in [0, 1] \quad (5.10)$$

裁剪窗口的下边所在直线的参数方程为:

$$\begin{cases} x = x_{\min} + t_e(x_{\max} - x_{\min}), \\ y = y_{\min} + t_e(y_{\max} - y_{\min}), \end{cases} \quad t_e \in [0, 1] \quad (5.11)$$

则线段 P_0P_1 所在的直线与窗口下边所在的直线的交点满足方程组:

$$\begin{cases} x_{\min} + t_e(x_{\max} - x_{\min}) = x_0 + t_l(x_1 - x_0) \\ y_{\min} = y_0 + t_l(y_1 - y_0) \end{cases} \quad (5.12)$$

求解方程组(5.12)得到交点所对应的参数对 (t_l, t_e) , 当且仅当 $t_l \in [0, 1]$ 并且 $t_e \in [0, 1]$ 时, (t_l, t_e) 所对应的交点才是有效交点(如图 5.6 中的 P_L 和 P_R), 即真正落在窗口的边框上, 而不是它们的延长线上。

通过求解联立方程组的线段裁剪方法可以清楚地解释线段二维裁剪的含义, 原理非常简单, 但由于需要求解方程组, 速度很慢, 不是一个有效的直线段裁剪方法。下面介绍一种有效的也是最常用的直线段裁剪算法。

5.2.3 Cohen-Sutherland 线段裁剪

Cohen-Sutherland 算法是由 Dan Cohen 和 Ivan Sutherland 在 1974 年提出的, 它的大概步骤如下所述。

步骤 1 判断线段的两个端点是否都在窗口内, 如果是, 则线段完全可见, 显示该线段, 裁剪结束; 否则进入步骤 2。

步骤 2 判断线段是否为显然不可见, 即线段的两个端点均落在窗口某边所在直线的外侧, 如果是, 删除该线段, 裁剪结束; 否则进入步骤 3。

步骤 3 求线段与窗口边所在直线的交点, 这个交点将待裁剪的线段分成两部分, 其中一部分显然不可见, 删除之; 对余下的另一部分线段重复步骤 1、2, 直至结束。整个裁剪过程是一个重复的过程。

为了实现对完全可见线段和显然不可见线段的快速判断, Dan Cohen 和 Ivan Sutherland 提出用编码方法的思想来实现直线段的裁剪, 因此 Cohen-Sutherland 算法也叫编码算法。其编码原则是用窗口的四条边所在的直线将二维平面分成 9 个区域(见图 5.11), 每个区域赋予一个四位编码, 从左到右依此为上、下、右、左。当某一区域位于窗口某边所在直线的外侧时, 则该区域编码中所对应的相应位置 1, 否则为 0。如某区域的编码为 1010, 左起的第一位的 1 表示该区域位于窗口的上边所在直线的上方, 左起的第三位的 1 表示该区域位于窗口的右边所在直线的右方。

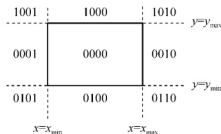


图 5.11 区域编码

当要裁剪一条线段时, 首先根据线段的两个端点所在的区域, 确定这两个端点的编码。如果两个端点的编码均为 0000, 说明这两个端点都落在窗口内, 那么整个线段也就落在窗口内, 应显示该线段。如图 5.10 中的线段 AB , 端点 A 和端点 B 的编码都为 0000, 则线段 AB 完全可见。如果两个端点的编码与结果不为 0000, 则该线段显然不可见, 删除之。如图 5.5 中的线段 CD , 端点 C 和端点 B 的编码分别为 0001, 1001, 0001 和 1001 做逻辑与运算, 结果为 0001, 非零, 所以线段 CD 显然不可见。

如果线段既不是完全可见,也非显然不可见,需要求交。在求交之前,先确定与窗口的哪一条边相交,这可根据线段两个端点的编码的值来判断。如图 5.12 中的线段 P_0P_1 , P_0 的编码为 0101, P_1 的编码为 1010, P_0 编码中左起第二位为 1,而 P_1 编码中左起第二位为 0,说明线段 P_0P_1 与窗口的下边所在的直线有交点,计算交点 H ,则 P_0H 必在窗口外,删除之。对余下的线段 HP_1 重复上述过程。由于 H 的编码为 0001,编码中左起第四位为 1,而 P_1 编码中左起第四位为 0,说明线段 HP_1 与窗口的左边所在的直线有交点,计算交点 I ,则 HI 必在窗口外,删除之。对余下的线段 IP_1 重复上述过程。由于 I 的编码为 0000,编码中左起第一位为 0,而 P_1 编码中左起第一位 1,说明线段 IP_1 与窗口的上边所在的直线有交点,计算交点 K ,则 KP_1 必在窗口外,删除之。对余下的线段 IK 重复上述过程。由于 K 的编码为 0010,编码中左起第三位为 1,而 I 编码中左起第三位 0,说明线段 IK 与窗口的右边所在的直线有交点,计算交点 J ,则 JK 必在窗口外,删除之。由于 I 和 J 的编码为 0000,说明余下的线段 IJ 完全落在窗口内,裁剪结束。

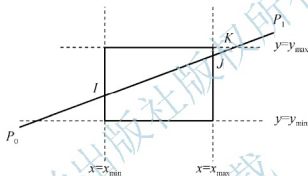


图 5.12 直线的裁剪

在具体编程实现时,可将求交测试的顺序固定。如左、上、右、下,当然也可以上、右、下、左。只有当相应的位不相同,才对线段与窗口所对应的边求交。

Cohen-Sutherland 裁剪算法的 VC 程序见【程序 5.1】:

【程序 5.1】线段的 Cohen-Sutherland 裁剪算法的 C++ 程序代码。

```
void CohenSutherland::CohenSutherlandLineClip(CDC*pDC, float x0, float y0,
float x1, float y1, RECT*rect)
//对以(x0,y0)(x1,y1)为端点的直线进行裁剪
{
    BOOL accept,done;
    OutCode outCode0,outCode1;
    OutCode*outCodeOut;
    float x,y;
    accept = FALSE;
    done = FALSE;
    CompOutCode(x0, y0, rect, &outCode0);
    CompOutCode(x1, y1, rect, &outCode1);
    do{
        if(outCode0.all == 0&&outCode1.all==0)//完全可见
        {
            accept = TRUE;
```

```

done = TRUE;
}
else if((outCode0.bottom&&outCode1.bottom!=0)||\
(outCode0.right&&outCode1.right!=0)||\
(outCode0.left&&outCode1.left!=0)||\
(outCode0.top&&outCode1.top!=0)) //显然不可见
done = TRUE;
else //求交测试
{
    if(outCode0.all!=0) //判断哪一点位于窗口之外
        outCodeOut = &outCode0;
    else
        outCodeOut = &outCode1;
    if(outCodeOut->left) //线段与窗口的左边相交
    {
        y = y0+(y1-y0)*(rect->left-x0)/(x1-x0);
        x = rect->left;
    }
    else if(outCodeOut->right) //线段与窗口的右边求交
    {
        y = y0+(y1-y0)*(rect->right-x0)/(x1-x0);
        x = rect->right;
    }
    else if(outCodeOut->top) //线段与窗口的上边求交
    {
        x = x0+(x1-x0)*(rect->top-y0)/(y1-y0);
        y = rect->top;
    }
    else if(outCodeOut->bottom) //线段与窗口的下边求交
    {
        x = x0+(x1-x0)*(rect->bottom-y0)/(y1-y0);
        y = rect->bottom;
    }
    //以交点为界,将线段位于窗口边所在的直线的外侧部分丢弃,对剩余部分继续裁剪
    if(outCodeOut->all == outCode0.all)
    {
        x0 = x;
        y0 = y;
        CompOutCode(x0, y0, rect, &outCode0);
    }
    else
    {
        x1 = x;
        y1 = y;
        CompOutCode(x1, y1, rect, &outCode1);
    }
}
}

```

```

}while(!done);

if(accept)
{
    CPen newPen( PS SOLID, 3, RGB(255, 0, 0) );
    CPen* pOldPen = pDC->SelectObject( &newPen );
    pDC->MoveTo((int)x0, (int)y0);           //画裁剪后的直线
    pDC->LineTo((int)x1, (int)y1);
    pDC->SelectObject( pOldPen );
}
}

void ChoenSutherland::CompOutCode(float x, float y, RECT*rect,
OutCode*outCode)
//计算端点的编码, x,y 为端点, rect 为裁剪矩形, outCode 为编码
{
    outCode->all = 0;
    outCode->left = outCode->right = 0;
    if(x>(float)rect->right)
    {
        outCode->right = 1;
        outCode->all+= 1;
    }
    else if(x<(float)rect->left)
    {
        outCode->left = 1;
        outCode->all+= 1;
    }
    outCode->bottom = outCode->top = 0;
    if(y>(float)rect->bottom)
    {
        outCode->bottom = 1;
        outCode->all+= 1;
    }
    else if(y<(float)rect->top)
    {
        outCode->top = 1;
        outCode->all+= 1;
    }
}
}/*end of CompOutCode()*/

ChoenSutherland::~ChoenSutherland()
{
}

```

5.2.4 参数化的线段裁剪

设裁剪窗口为矩形窗口, 待裁剪线段为 P_0P_1 , 如图 5.13(a) 所示。设 M 为窗口边界上的任一点, N 是窗口边界在 M 点的内法向量, 则线段 P_0P_1 用参数方程表示如下:

$$P(t) = (P_1 - P_0)t + P_0 \quad (0 \leq t \leq 1) \quad (5.13)$$

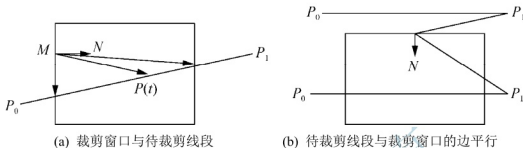


图 5.13 线段裁剪

对线段 P_0P_1 上的任一点 $P(t)$, 有下面三种可能性:

- (1) $N \cdot (P(t) - M) < 0$, 这时 $P(t)$ 一定在窗口的外侧;
- (2) $N \cdot (P(t) - M) = 0$, 这时 $P(t)$ 一定在窗口的边界或其延长线上;
- (3) $N \cdot (P(t) - M) > 0$, 这时 $P(t)$ 一定在窗口的内侧。

因此, 对线段 P_0P_1 上的任一点 $P(t)$ 在窗口内部的充分必要条件是, 对于窗口边界上的任一点 M 和该点处的内法向量 N , 都有 $N \cdot (P(t) - M) > 0$ 。

如果在窗口的每一条边上都取一点 M_i 和该点处的内法向量 $N_i (i=1, 2, 3, 4)$, 则线段 P_0P_1 在窗口内的可见部分所对应的参数区间为下列不等式的解:

$$N_i \cdot (P(t) - M_i) \geq 0 \quad (i=1, 2, 3, 4) \quad (0 \leq t \leq 1) \quad (5.14)$$

实际上, 我们只关心该解的最小值 t_{\min} 和最大值 t_{\max} , 它们分别对应线段 P_0P_1 在窗口内的可见部分的两个端点。

将式(5.13)代入式(5.14)得

$$N_i \cdot ((P_1 - P_0)t + P_0 - M_i) \geq 0 \quad (i=1, 2, 3, 4) \quad (0 \leq t \leq 1) \quad (5.15)$$

即

$$N_i \cdot (P_0 - M_i) + N_i \cdot (P_1 - P_0)t \geq 0 \quad (i=1, 2, 3, 4) \quad (0 \leq t \leq 1) \quad (5.16)$$

如果线段 P_0P_1 和窗口的某条边 i 平行, 如图 5.9(b) 所示, 则有 $N_i \cdot (P_1 - P_0) = 0$ 。这时有两种情况: 一种情况是线段 P_0P_1 在窗口的外侧, 有 $N_i \cdot (P_0 - M_i) < 0$; 另一种情况是线段 P_0P_1 在窗口的内侧, 有 $N_i \cdot (P_0 - M_i) > 0$ 。对于第一种情况, 可直接判断线段 P_0P_1 在窗口的外侧; 如果是第二种情况, 需要继续处理窗口的其他边。因此式(5.16)可以改写为:

$$\begin{aligned} t &\geq -t_i, & \text{当 } N_i \cdot (P_1 - P_0) > 0 \\ t &\leq -t_i, & \text{当 } N_i \cdot (P_1 - P_0) < 0 \\ 0 &\leq t \leq 1 \end{aligned} \quad (5.17)$$

其中, $t_i = \frac{N_i \cdot (P_0 - M_i)}{N_i \cdot (P_1 - P_0)}$ 是线段 P_0P_1 和窗口的第 i 条边(或其延长线)的交点参数。

式(5.17)的解的区间为 $[t_{\min}, t_{\max}]$, 其中

$$t_{\min} = \max\{0, \max\{-t_i : N_i \cdot (P_1 - P_0) > 0\}\}$$

$$t_{\max} = \min\{1, \min\{-t_i : N_i \cdot (P_1 - P_0) < 0\}\}$$

若 $t_{\min} \leq t_{\max}$, 则 t_{\min} 和 t_{\max} 分别是线段 P_0P_1 在窗口内的可见部分的两个端点所对应的参数; 否则, 即 $t_{\min} > t_{\max}$, 则整条线段 P_0P_1 落在窗口外。

5.3 多边形裁剪算法

学习了直线的裁剪后, 对于多边形的裁剪, 人们容易产生一种错觉: 认为多边形的裁剪就是对其各个边裁剪的组合。如果这样做的话, 原来封闭的多边形, 经裁剪后变为不封闭, 如图 5.14 所示。为了使封闭的多边形经裁剪后仍是封闭的多边形, 本节介绍最常用的两个多边形裁剪算法 Sutherland-Hodgman 算法和 Werler-Atherton 算法。

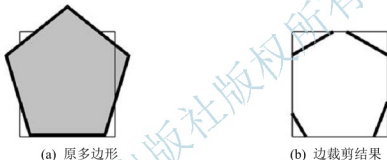


图 5.14 多边形裁剪

5.3.1 Sutherland-Hodgman 算法

Sutherland-Hodgman 算法的基本思想是用窗口的四条边所在的直线依次来裁剪多边形。裁剪窗口的每条边所在的直线将二维平面分成两部分, 包含裁剪窗口的一部分为内侧, 另一部分不包含窗口, 称为外侧。多边形的每条边与裁剪线的位置关系有四种情况, 如图 5.15 所示。

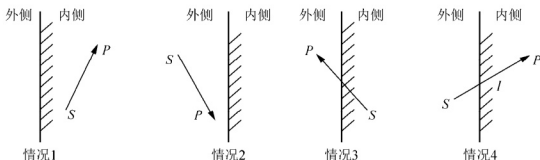


图 5.15 多边形的每条边与裁剪线的位置关系

假设当前处理的多边形的边为 SP , 顶点 S 已在上一轮处理过了。在图 5.15 所示的情况 1 中, 端点 S 和 P 都在内侧, 输出 P 到结果多边形顶点表中; 在情况 2 中, 端点 S 和 P 都在外侧, 无输出; 在情况 3 中, 端点 S 在内侧, 而 P 在外侧, 输出交点 I 到结果多边形顶点表中; 在情况 4 中, 端点 S 在外侧, P 在内侧, 则按顺序将交点 I 和 P 都输出到结果

多边形顶点表中。

上述算法仅是用窗口的一条裁剪边对多边形进行裁剪得到的一个结果多边形顶点序列，这个顶点序列作为下一条裁剪线的输入。裁剪过程是一个流水线过程。如图 5.16(a)所示，假设待裁剪的多边形为 $P_0P_1P_2P_3P_4P_0$ ，窗口的裁剪顺序为左边、上边、右边、下边。经窗口的左边裁剪后，得到多边形 $P_0P_1P_2P_3P_4P_0$ ，如图 5.16(b)所示；经窗口的上边裁剪后，得到多边形 $P_0P_1P_2P_3P_4P_0$ ，如图 5.16(c)所示；经窗口的右边裁剪后，得到多边形 $P_0P_1P_2P_3P_4P_0$ ，如图 5.16(d)所示；经窗口的下边裁剪后，得到最终的结果多边形 $P_0P_1P_2P_3P_4P_0$ ，如图 5.16(e)所示。

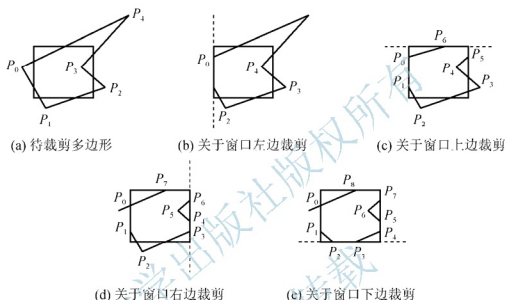


图 5.16 多边形的逐边裁剪

从图 5.16 可以看出，裁剪后的结果多边形的顶点是由两部分组成，一部分是落在窗口内的原多边形的顶点，另一部分是多边形的边与裁剪边的交点。只要将这两部分顶点按照一定的顺序连接起来就得到裁剪结果多边形。

Sutherland-Hodgman 多边形裁剪算法的 VC 程序见【程序 5.2】(裁剪窗口为矩形，被裁剪多边形为任意多边形)。

【程序 5.2】Sutherland-Hodgman 多边形裁剪算法的 C++ 程序代码。

```
void CCutView::Intersect(Vertex *s, Vertex *p, Edge clipBoundary, Vertex *I)
{
    //求交点用 I 返回，s、p 为被裁剪的边的顶点，clipBoundary 为裁剪边

    if(clipBoundary[0].y==clipBoundary[1].y)
        //水平裁剪边
    {
        I->y=clipBoundary[0].y;
        I->x=s->x+(clipBoundary[0].y-s->y)*(p->x-s->x)/(p->y-s->y);
    }
    else
        //竖直裁剪边
    {

```

```

I->x=clipBoundary[0].x;
I->y=s->y+(clipBoundary[0].x-s->x)*(p->y-s->y)/(p->x-s->x);
}
}

```

```

boolean CCutView::Inside(Vertex *testVertex, Edge clipBoundary)
{
//判断是哪一条裁剪边, testVertex 为被裁剪线段的顶点, 裁剪边 clipBoundary
if(clipBoundary[1].x>clipBoundary[0].x)
//裁剪边为窗口的上边
{if(testVertex->y>=clipBoundary[0].y)
return TRUE;
}
else if(clipBoundary[1].x<clipBoundary[0].x)
//裁剪边为窗口的下边
{if(testVertex->y<=clipBoundary[0].y)
return TRUE;
}
else if(clipBoundary[1].y>clipBoundary[0].y)
//裁剪边为窗口的右边
{if(testVertex->x<=clipBoundary[0].x)
return TRUE;
}
else if(clipBoundary[1].y<clipBoundary[0].y)
//裁剪边为窗口的左边
{if(testVertex->x>=clipBoundary[0].x)
return TRUE;
}
return FALSE;
}

```

```

void CCutView::Output(Vertex *newVertex, int *outLength, VertexArray
outVertexArray)
{
//将新的结点 newVertex 加入到一次裁剪后的多边形顶点表 outVertexArray
outVertexArray[*outLength].x=newVertex->x;
outVertexArray[*outLength].y=newVertex->y;
(*outLength)++;
}

```

```

void CSutherlandHodgmanView::Intersect(CVertex *s, CVertex *p, Edge
clipBoundary, CVertex *I)
{
if(clipBoundary[0].y==clipBoundary[1].y)//水平裁剪边
{

```

```

        I->y=clipBoundary[0].y;
        I->x=s->x+(clipBoundary[0].y-s->y)*(p->x-s->x)/(p->y-s->y);
    }
    else//竖直线裁剪边
    {
        I->x=clipBoundary[0].x;
        I->y=s->y+(clipBoundary[0].x-s->x)*(p->y-s->y)/(p->x-s->x);
    }
}

BOOL CSutherlandHodgmanView::Inside(CVertex *testVertex, Edge
clipBoundary)
{
    if(clipBoundary[1].x>clipBoundary[0].x) //裁剪边为窗口的下边
    {
        if(testVertex->y<=clipBoundary[0].y)
            return true;
    }
    else if(clipBoundary[1].x<clipBoundary[0].x)//裁剪边为窗口的上边
    {
        if(testVertex->y>=clipBoundary[0].y)
            return true;
    }
    else if(clipBoundary[1].y<clipBoundary[0].y)//裁剪边为窗口的右边
    {
        if(testVertex->x<=clipBoundary[0].x)
            return true;
    }
    else if(clipBoundary[1].y>clipBoundary[0].y)//裁剪边为窗口的左边
    {
        if(testVertex->x>=clipBoundary[0].x)
            return true;
    }
    return false;
}

//将 new Vertex 加入到结果多边形定点表 outVertexArray 中
void CSutherlandHodgmanView::Output(CVertex *newVertex, int *outLength,
VertexArray outVertexArray)
{
    outVertexArray[*outLength].x=newVertex->x;
    outVertexArray[*outLength].y=newVertex->y;
    (*outLength)++;
}

/*inVertexArray 为输入多边形定点数数组,outVertexArray,为裁剪结果多边形定点数
数组,clipBoundary 为裁剪边*/

```

```

void CSutherlandHodgmanView::SutherlandHodgmanPolygonClip(int inLength,
VertexArray inVertexArray, int *outLength, VertexArray outVertexArray, Edge
clipBoundary)
{
    CVertex *s,*p,I;
    int j;
    *outLength=0;
    s=&(inVertexArray[inLength-1]);
    for(j=0;j<inLength;j++)
    {
        p=&(inVertexArray[j]);
        if(this->Inside(p,clipBoundary))
        {
            if(this->Inside(s,clipBoundary))
                this->Output(p,outLength,outVertexArray); //情况 1 都在内侧
            else
            {
                this->Intersect(s,p,clipBoundary,&I); //情况 4, p 内侧
                this->Output(&I,outLength,outVertexArray);
                this->Output(p,outLength,outVertexArray);
            }
        }
        else if(this->Inside(s,clipBoundary))
        {
            this->Intersect(s,p,clipBoundary,&I); //情况 2, p 在外侧
            this->Output(&I,outLength,outVertexArray);
        } //情况 3, 没有输出都在外侧
        s=p;
    }
}

void CSutherlandHodgmanView::OnVertex()
{
    // TODO: Add your command handler code here
    this->type=true;
    Invalidate();
}

```

5.3.2 Weiler-Atherton 算法

在 Sutherland-Hodgman 多边形裁剪算法中,待裁剪多边形是任意的,既可以是凸的,也可以是凹的,甚至可以是带内环的,但裁剪窗口是矩形的(可以推广到任意凸多边形,详情参看其他参考书)。而在实际应用中,不仅待裁剪多边形是任意的,而且要求裁剪窗口也需要是任意的,如图 5.17 所示。在这种情况下,我们可以用 Weiler-Atherton 裁剪算法,此算法是在 1977 年由韦勒(Weiler)和阿瑟顿(Atherton)提出的。

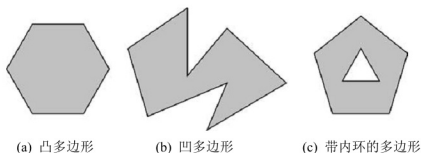


图 5.17 裁剪窗口和被裁剪多边形均为任意多边形

设被裁剪多边形为主多边形 PS , 裁剪窗口为裁剪多边形 PW , 并且约定多边形外部边界的顶点顺序取顺时针方向, 内环的顶点顺序取逆时针方向。因此, 沿多边形的一条边走动, 其右边为多边形的内部。

Weiler-Atherton 裁剪算法从 PS 的任一顶点出发, 跟踪检测 PS 的每一条边, 当 PS 与 PW 的有效边相交时(实交点), 按如下规则处理:

① 若 PS 的边进入 PW (由不可见侧进入可见侧), 则输出该边的可见直线段, 同时继续沿着 PS 的边往下处理;

② 若 PS 的边是从 PW 内出来(由可见侧进入不可见侧), 则 PS 的边与 PW 一定有实交点(称为前交点), 求出前交点, 输出该边的可见直线段, 并从前交点开始, 沿窗口边界顺时针检测 PW 的边, 即用窗口的有效边界去裁剪 PS 的边, 找到 PS 与 PW 最靠近前交点的新交点, 同时输出由前交点到此新交点之间窗口边上的线段;

③ 返回到前交点, 再沿着 PS 处理各条边, 直到处理完 PS 的每一条边, 回到起点为止。

图 5.18 说明了 Weiler-Atherton 裁剪算法的执行过程。【程序 5.3】为 Weiler-Atherton 多边形裁剪算法的源代码。

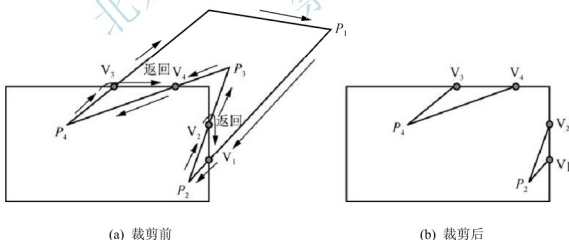


图 5.18 Weiler-Atherton 裁剪算法的执行过程

【程序 5.3】Weiler-Atherton 多边形裁剪算法的 C++ 程序代码。

```
//裁剪窗口和被裁剪多边形均为任意凸凹多边形
//polygoncutView.cpp : CPolygoncutView 类的实现代码
```

```

#include "stdafx.h"
#include "polygoncut.h"
#include "polygoncutDoc.h"
#include "polygoncutView.h"
#ifdef _DEBUG
#define new DEBUG_NEW
#undef THIS_FILE
static char THIS_FILE[] = __FILE__;
#endif

//多边形裁剪视图
IMPLEMENT_DYNCREATE(CPolygoncutView, CView)
BEGIN_MESSAGE_MAP(CPolygoncutView, CView)
    ON_WM_LBUTTONDOWN()
    ON_WM_MOUSEMOVE()
    ON_COMMAND(ID_POLYGON, OnPolygon)
    ON_COMMAND(ID_CUTPOLYGON, OnCutpolygon)
    ON_COMMAND(ID_CUT, OnCut)
    //标准打印代码
    ON_COMMAND(ID_FILE_PRINT, CView::OnFilePrint)
    ON_COMMAND(ID_FILE_PRINT_DIRECT, CView::OnFilePrint)
    ON_COMMAND(ID_FILE_PRINT_PREVIEW, CView::OnFilePrintPreview)
END_MESSAGE_MAP()

//多边形裁剪视图的构造
CPolygoncutView::CPolygoncutView()
{
    inLength=0;
    cutinLength=0;
    finalLength=0;
    DrawType=new BYTE;
    * DrawType=SELECT;
    DrawStep=0;
    pointstart.x=0;
    pointstart.y=0;
}

CPolygoncutView::~CPolygoncutView()
{
}

BOOL CPolygoncutView::PreCreateWindow(CREATESTRUCT& cs)
{
    //修改窗口类和格式
    return CView::PreCreateWindow(cs);
}

```

```

////////////////////////////////////
//绘制代码
void CPolygoncutView::OnDraw(CDC* pDC)
{
    CPolygoncutDoc* pDoc = GetDocument();
    ASSERT_VALID(pDoc);
    // 为初始化数据添加绘制代码
}
////////////////////////////////////
//打印代码
BOOL CPolygoncutView::OnPreparePrinting(CPrintInfo* pInfo)
{
    //默认的准备代码
    return DoPreparePrinting(pInfo);
}
void CPolygoncutView::OnBeginPrinting(CDC* /*pDC*/, CPrintInfo* /*pInfo*/)
{
    //在打印之前添加额外的初始化代码
}
void CPolygoncutView::OnEndPrinting(CDC* /*pDC*/, CPrintInfo* /*pInfo*/)
{
    //在打印后添加清除代码
}
////////////////////////////////////
//错误诊断
#ifdef _DEBUG
void CPolygoncutView::AssertValid() const
{
    CView::AssertValid();
}
void CPolygoncutView::Dump(CDumpContext& dc) const
{
    CView::Dump(dc);
}
CPolygoncutDoc* CPolygoncutView::GetDocument() // non-debug version is
//inline
{
    ASSERT(m_pDocument->IsKindOf(RUNTIME_CLASS(CPolygoncutDoc)));
    return (CPolygoncutDoc*)m_pDocument;
}
#endif // _DEBUG
////////////////////////////////////
//消息处理句柄
void CPolygoncutView::OnLButtonDown(UINT nFlags, CPoint point)
{
    CDC* dc=GetDC();
    PrePoint=point;
}

```



```

switch(*DrawType)
{
case POLYGON: //当前状态为画主多边形
if (DrawStep)
{if (((point.x-pointstart.x)<3&&(point.x-pointstart.x)>-3)&&((point.y-p-
ointstart.y)<3&&(point.y-pointstart.y)>-3))
{DrawStep=0;
*DrawType=0;
MessageBox(" 被裁剪多边形画完");
}
else{
linenode->Start=point;
InitailPolygon[inLength].x=(int)point.x;
InitailPolygon[inLength].y=(int)point.y;
inLength++;
}
}
if (!DrawStep&&(*DrawType)!=0)
{
linenode=new LINENODE;
linenode->Start=point;
pointstart=point;
InitailPolygon[inLength].x=(int)point.x;
InitailPolygon[inLength].y=(int)point.y;
inLength++;
DrawStep=1;
}
break;
case CUTPOLYGON: //当前状态为画裁剪多边形
if (DrawStep)
{if (((point.x-pointstart.x)<3&&(point.x-pointstart.x)>-3)&&((point.y-p-o
intstart.y)<3&&(point.y-pointstart.y)>-3))
{DrawStep=0;
*DrawType=0;
MessageBox(" 裁剪多边形画完");
}
else{
linenode->Start=point;
IniCutPolygon[cutinLength].x=(int)point.x;
IniCutPolygon[cutinLength].y=(int)point.y;
cutinLength++;
}
}
if (!DrawStep&&(*DrawType)!=0)
{
linenode=new LINENODE;
linenode->Start=point;

```

```

pointstart=point;
IniCutPolygon[cutinLength].x=(int)point.x;
IniCutPolygon[cutinLength].y=(int)point.y;
cutinLength++;
DrawStep=1;
}
break;
}

CView::OnLButtonDown(nFlags, point);
}

void CPolygoncutView::OnMouseMove(UINT nFlags, CPoint point)
{
    CDC * dc=GetDC();
    int iR;
    if (DrawStep==0)
        return;
    switch(*DrawType)
    {
        case POLYGON:
            //当前状态为画裁剪多边形, 实现橡皮筋技术
            if (DrawStep)
            {
                iR=dc->SetROP2(R2_NOTXORPEN);
                dc->MoveTo(linenode->Start);
                dc->LineTo(PrePoint);
                dc->MoveTo(linenode->Start);
                dc->LineTo(point);
                PrePoint=point;
                dc->SetROP2(iR);
            }
            break;
        case CUTPOLYGON:
            //当前状态为画主多边形, 实现橡皮筋技术
            if (DrawStep)
            {
                iR=dc->SetROP2(R2_NOTXORPEN);
                dc->MoveTo(linenode->Start);
                dc->LineTo(PrePoint);
                dc->MoveTo(linenode->Start);
                dc->LineTo(point);
                PrePoint=point;
                dc->SetROP2(iR);
            }
            break;
    }

    CView::OnMouseMove(nFlags, point);
}

void CPolygoncutView::OnPolygon()
{
    DrawType=new BYTE;
    *DrawType=POLYGON;
}

```

```

    inLength=0;
    MessageBox(" 画裁剪多边形和主多边形的方向要相同");
}
void CPolygoncutView::OnCutpolygon()
{
    DrawType=new BYTE;
    *DrawType=CUTPOLYGON;
    cutinLength=0;
    MessageBox(" 画裁剪多边形和主多边形的方向要相同");
}

int Max(int x,int y)
{
    if(x>=y)
        return x;
    return y;
}

int Min(int x ,int y)
{
    if(x<=y)
        return x;
    return y;
}

void CPolygoncutView::InitailLink( VertexNode *LinkPolygon, VertexNode
*CutLinkPolygon)
//初始化链表,把鼠标所画的裁剪多边形和主多边形从数组存储转化为用链表存储。
//LinkPolygon, 主多边形顶点链表头指针 CutLinkPolygon 裁剪多边形顶点链表头指针
{
    int i,j;
    VertexNode *q,*s;
    q=CutLinkPolygon;
    for( j=0;j<cutinLength;j++)
    {
        q->next=new VertexNode;
        q->Vertexpoint.x=IniCutPolygon[j].x;
        q->Vertexpoint.y=IniCutPolygon[j].y;
        q->flag=2;
        q->neiandnum.number=j;
        s=q;
        q=q->next;
    }
    s->next=CutLinkPolygon; //此链表是个环形的链表,最后一个结点指向头结点
    VertexNode *p;
    p=LinkPolygon;
    for(i=0;i<inLength;i++)
    {
        p->next=new VertexNode;
        p->Vertexpoint.x=InitailPolygon[i].x;
        p->Vertexpoint.y=InitailPolygon[i].y;
        p->flag=2;
        p->neiandnum.number=i;
    }
}

```

```

s=p;
p=p->next;
}
s->next=LinkPolygon;           //此链表是个环形的链表，最后一个结点指向头结点
}
int CPolygoncutView::TestInside(Edge Edgel)
//检测有向边 Edgel 的 尾结点是否在主多边形内 InitailPolygon 主多边形顶点数组
//如果在主多边形内，则返回 1，否则返回 0
{
    int count=0;
    for(int i=0;i<inLength;i++)
    {if (Edgel[0].y>Min(InitailPolygon[i%inLength].y,InitailPolygon[(i+1)%inLength].y)&&Max(InitailPolygon[i%inLength].y,InitailPolygon[(i+1)%inLength].y)>=Edgel[0].y)
        {float
a1=(float)(InitailPolygon[i%inLength].y-InitailPolygon[(i+1)%inLength].y);
        float
b1=(float)(InitailPolygon[(i+1)%inLength].x-InitailPolygon[i%inLength].x);
        float
c1=(float)(InitailPolygon[i%inLength].x*InitailPolygon[(i+1)%inLength].y-InitailPolygon[(i+1)%inLength].x*InitailPolygon[i%inLength].y);
        float x=- (b1*Edgel[0].y+c1)/a1;
        if (Edgel[0].x<x)
            count++;
        })
    if(count%2==1)
        return 1;
    return 0;
}
int CPolygoncutView::GetConnection(Edge Edgel, Edge Edge2, Vertex *I)
//边 Edgel, Edge2 所在直线的交点，没考虑两直线有重合部分的情况
{
    float a1=(float)(Edgel[0].y-Edgel[1].y);
    float b1=(float)(Edgel[1].x-Edgel[0].x);
    float c1=(float)(Edgel[0].x*Edgel[1].y-Edgel[1].x*Edgel[0].y);
    float a2=(float)(Edge2[0].y-Edge2[1].y);
    float b2=(float)(Edge2[1].x-Edge2[0].x);
    float c2=(float)(Edge2[0].x*Edge2[1].y-Edge2[1].x*Edge2[0].y);
    if( Edgel[0].x==Edgel[1].x&&Edge2[0].x!=Edge2[1].x)    //边 Edgel 为垂直线
    {
        float y=- (a2*Edgel[0].x+c2)/b2;
        if (y>Min(Edgel[0].y,Edgel[1].y)&&y<=Max(Edgel[0].y,Edgel[1].y))
        { (*I).x=(int)Edgel[0].x;
          (*I).y=(int)y;
          return 1;}
        return 0;
    }
}

```

```

else if( Edge1[0].x!=Edge1[1].x&&Edge2[0].x==Edge2[1].x) //边 Edge2 为垂直线
{
    float y=-(a1*Edge2[0].x+c1)/b1;
    if(y>=Min(Edge2[0].y,Edge2[1].y)&&y<=Max(Edge2[0].y,Edge2[1].y))
    {
        (*I).x=(int)Edge2[0].x;
        (*I).y=(int)y;
        return 1;
    }
    return 0;
}
else if( Edge1[0].y==Edge1[1].y&&Edge2[0].y!=Edge2[1].y) //边 Edge1 为水平线
{
    float x=-(b2*Edge1[0].y+c2)/a2;
    if(x>=Min(Edge1[0].x,Edge1[1].x)&&x<=Max(Edge1[0].x,Edge1[1].x))
    {
        (*I).x=(int)x;
        (*I).y=(int)Edge1[0].y;
        return 1;
    }
    return 0;
}
else if( Edge1[0].y!=Edge1[1].y&&Edge2[0].y==Edge2[1].y) //边 Edge2 为水平线
{
    float x=-(b1*Edge2[0].y+c1)/a1;
    if(x>=Min(Edge2[0].x,Edge2[1].x)&&x<=Max(Edge2[0].x,Edge2[1].x))
    {
        (*I).x=(int)x;
        (*I).y=(int)Edge2[0].y;
        return 1;
    }
    return 0;
}
else if( Edge1[0].y==Edge1[1].y&&Edge2[0].y==Edge2[1].y) //都为水平线
    return 0;
else if( Edge1[0].x==Edge1[1].x&&Edge2[0].x==Edge2[1].x) //都为垂直线
    return 0;
else if(b1/a1==b2/a2) //两边平行
    return 0;
else
{
    (*I).y=(int)((c2*a1-c1*a2)/(b1*a2-b2*a1)); //非水平线和垂直线的情况
    (*I).x=(int)((c2*b1-c1*b2)/(a1*b2-a2*b1));
    return 1;
}
}

void CPolygoncutView::SaveConnection(Vertex *I, int addressi, int
addressj,VertexNode *LinkPolygon,VertexNode *CutLinkPolygon)
//把求得的有效交点按在边上的顺序插入到链表(裁剪和被裁剪的多边形定点链表)中,I 交点的结、
//点的指针
//结点在裁剪多边形第 addressi+1 个顶点和 addressi+2 定点之间的边上
//结点在主多边形第 addressj+1 个顶点和 addressj+2 定点之间的边上

```

```

//LinkPolygon 主多边形顶点表的第1个顶点指针
//CutLinkPolygon 裁剪多边形顶点表的第1个顶点指针
{int flag=0;
VertexNode *q;
q=new VertexNode;
VertexNode *p;
p=new VertexNode;
VertexNode *s,*t;
s= CutLinkPolygon;
do
{if ((s->flag==2) && (s->neiandnum.number==addressi))
flag=1;
t=s;
s=s->next;
}
while (s!=CutLinkPolygon&&flag==0);
if (s->flag== -1)
{if (t->Vertexpoint.x!=(*I).x)
{if (t->Vertexpoint.x<(*I).x)
{while (t->next->Vertexpoint.x<(*I).x)
t=t->next;
}
else
{while (t->next->Vertexpoint.x>(*I).x)
t=t->next;
}
}
else
{if (t->Vertexpoint.y<(*I).y)
{while (t->next->Vertexpoint.y<(*I).y)
t=t->next;
}
else
{while (t->next->Vertexpoint.y>(*I).y)
t=t->next;
}
}
}
p->Vertexpoint.x=(*I).x;
p->Vertexpoint.y=(*I).y;
p->flag=-1;
p->neiandnum.neighbor=q; //插入到裁剪多边形的交点同时指向插入到主多边形交点
p->next=t->next;
t->next=p;
s= LinkPolygon;
flag=0;
do

```

```

    {if ((s->flag==2) && (s->neiandnum.number==addressj))
        flag=1;
        t=s;
        s=s->next;
    }
    while (s!=LinkPolygon&&flag==0);
    if (s->flag==1)
    {if (t->Vertexpoint.x!=(*I).x)
        {if (t->Vertexpoint.x<(*I).x)
            {while (t->next->Vertexpoint.x<(*I).x)
                t=t->next;
            }
        }
        else
        {while (t->next->Vertexpoint.x>(*I).x)
            t=t->next;
        }
    }
    else
    {if (t->Vertexpoint.y<(*I).y)
        {while (t->next->Vertexpoint.y<(*I).y)
            t=t->next;
        }
        else
        {while (t->next->Vertexpoint.y>(*I).y)
            t=t->next;
        }
    }
    q->Vertexpoint.x=(*I).x;
    q->Vertexpoint.y=(*I).y;
    q->flag=-1;
    q->neiandnum.neighbor=p;    //插入到主多边形的交点同时指向插入到裁剪多边形交点
    q->next=t->next;
    t->next=q;
}

void CPolygoncutView::LableConnection(VertexNode *CutLinkPolygon, int
firstflag)
// 为每个交点标记出入点, firstflag为裁剪多边形上从第一个顶点开始遇到的第一个交点的
// 出入点标记
//firstflag 为 1, 表示为出点, 为 0 表示为入点
{
    VertexNode * q,*p;
    int flag,k=1;
    q=CutLinkPolygon->next;
    while (q!=CutLinkPolygon&&k==1)
    {if (q->flag==1)
        k=0;
    }
}

```

```

p=q;
q=q->next;
}
q=p;
if (firstflag==1)
flag=-1;
else
flag =-2;
while (q!=CutLinkPolygon)
{if (q->flag==1)
{if (flag==1)
{flag=-2;
q->neiandnum.neighbor->flag=-2;}}
else
{q->flag=-2;
flag=-1;
}
}
q=q->next;
}
}

void CPolygoncutView::PutoutVertex(VertexNode
*CutLinkPolygon,VertexNode *LinkPolygon)
// 把裁剪后多边形的顶点保存到 FinalPolygon 数组中, finalLength 表示顶点的个数并输出
{CDC* dc=GetDC();
VertexNode * q,*p,*s;
int flag=1,k=1;
q=CutLinkPolygon->next;
while (q!=CutLinkPolygon&&k==1)
{if (q->flag<0)
k=0;
p=q;
q=q->next;
}
q=p;
while (q!=CutLinkPolygon)
{
while (q->flag!=1&&q->flag!=-2&q!=CutLinkPolygon)
q=q->next;
if (q==CutLinkPolygon)
break;
s=q;
do
{if (s->flag==2)
{FinalPolygon[finalLength].x=s->Vertexpoint.x;
FinalPolygon[finalLength].y=s->Vertexpoint.y;

```



```

    finalLength++;
    s->flag=-3;
    s=s->next;
}
else if(s->flag== -1)
{
    s->flag=-3;
    s=s->neiandnum.neighbor;
}
else
if (s->flag>0)
{
    FinalPolygon[finalLength].x=s->Vertexpoint.x;
    FinalPolygon[finalLength].y=s->Vertexpoint.y;
    finalLength++;
    s=s->next;
}
}while (s!=q);
for (int k=0;k<finalLength;k++) //画裁剪后的多边形
    {dc->MoveTo((int)FinalPolygon[k].x,(int)FinalPolygon[k].y);
    dc->LineTo((int)FinalPolygon[(k+1)%finalLength].x,(int)FinalPolygon[(k+1)%finalLength].y);
    }
finalLength=0;
q=q->next;
}
q=CutLinkPolygon;
do
{
    p=q->next;
    delete q;
    q=p;
}while (q!=CutLinkPolygon);
q=LinkPolygon;
do
{
    p=q->next;
    delete q;
    q=p;
}while (q!=LinkPolygon);
}

int CPolygoncutView::TestConnection(Edge Edge1, Edge Edge2, Vertex *I)
//检测边 Edge1 和 Edge2 是否有交点, 如果有则调用 GetConnection 求交点函数
/*然后进一步判断是否为有效交点, 如果存在有效交点 用 I 返回, 并返回 1; 如不存在有效交点,
返回 0*/
{
    int minx,maxx,miny,maxy;
    int maxx1=Max(Edge1[0].x,Edge1[1].x);
    int maxx2=Max(Edge2[0].x,Edge2[1].x);
    int minx1=Min(Edge1[0].x,Edge1[1].x);
    int minx2=Min(Edge2[0].x,Edge2[1].x);

```

```

minx=Max(minx1,minx2);
maxx=Min(maxx1,maxx2);
if(minx<=maxx)
{
    int maxy1=Max(Edge1[0].y,Edge1[1].y);
    int maxy2=Max(Edge2[0].y,Edge2[1].y);
    int miny1=Min(Edge1[0].y,Edge1[1].y);
    int miny2=Min(Edge2[0].y,Edge2[1].y);
    miny=Max(miny1,miny2);
    maxy=Min(maxy1,maxy2);
    if(miny<=maxy)
    {if(GetConnection(Edge1,Edge2,)&&((*I).x<=maxx&&(*I).x>=minx&&(*I).y>=mi
ny&&(*I).y<=maxy))
        return 1;
    }
}
return 0;
}

void CPolygoncutView::OnCut() //当单击菜单的裁剪项时执行此函数
{
    HPEN hPen,hOldPen;
    CDC* dc=GetDC();
    Edge Edge1,Edge2;
    Vertex *I;
    I=new Vertex;
    int firstflag,first=1;
    finalLength=0;
    VertexNode *LinkPolygon,*CutLinkPolygon;
    LinkPolygon=new VertexNode; //LinkPolygon 为主多边形定链表
    的头指针*/
    CutLinkPolygon=new VertexNode; //CutLinkPolygon 为裁剪多边形定
    点链表的头指针*/
    InitailLink(LinkPolygon,CutLinkPolygon); //初始化链表
    for(int i=0;i<cutinLength;i++) //求裁剪多边形与主多边形各条边的交点
    {
        Edge1[0].x=IniCutPolygon[i].x;
        Edge1[0].y=IniCutPolygon[i].y;
        Edge1[1].x=IniCutPolygon[(i+1)%cutinLength].x;
        Edge1[1].y=IniCutPolygon[(i+1)%cutinLength].y;
        for(int j=0;j<inLength;j++)
        {
            Edge2[0].x=InitailPolygon[j].x;
            Edge2[0].y=InitailPolygon[j].y;
            Edge2[1].x=InitailPolygon[(j+1)%inLength].x;
            Edge2[1].y=InitailPolygon[(j+1)%inLength].y;
            if(TestConnection(Edge1,Edge2,I))
            //判断 Edge1,Edge2 是否有交点,有交点返回1,并把交点用I返回
            { SaveConnection(I,i,j,LinkPolygon,CutLinkPolygon);/*如果有交点,
            则把交点插入链表*/
                if(first==1) //first 为1表示还没找到第一个有交点的裁剪边

```

```

        {firstflag=TestInside(Edgel);
// 判断第一个有交点的裁剪边的点在主多边形内部还是外部,如果在内返回1,在外返回0
        first=0;} //找到第一个有交点的裁剪边
    }
}
LableConnection(CutLinkPolygon, firstflag); /*标记出入点
hPen=CreatePen(0,10,RGB(255,255,255)); //用白色的笔画裁剪多边形和主多
边形 */
hOldPen=(HPEN) SelectObject(dc->m_hDC,hPen);
for( i=0;i<inLength;i++)
{dc->MoveTo((int) InitailPolygon[i].x,(int) InitailPolygon[i].y);

dc->LineTo((int) InitailPolygon[(i+1)%inLength].x,(int) InitailPolygon[(i+1)%i
nLength].y);
}
for(int j=0;j< cutinLength;j++)
{dc->MoveTo((int) IniCutPolygon[j].x,(int) IniCutPolygon[j].y);

dc->LineTo((int) IniCutPolygon[(j+1)%cutinLength].x,(int) IniCutPolygon[(j+1)%
cutinLength].y);
}
dc->SelectObject(hOldPen);
DeleteObject(SelectObject(dc->m_hDC,hOldPen));
PutoutVertex(CutLinkPolygon,LinkPolygon); //输出裁剪后的多边形
delete I;
}

```

下面对【程序 5.3】作一些说明。【程序 5.3】的具体思路如下所述。

- (1) 用鼠标画裁剪多边形、主多边形,将顶点存在 IniCutPolygon、InitailPolygon 中。
- (2) 将裁剪多边形,主多边形的顶点用链表储存。链表的结点结构如下:

```

typedef struct //顶点的坐标结构
{
    int x,y;
} Vertex;
struct VertexNode
{
    Vertex Vertexpoint ; //顶点的坐标
    int flag; //标志位,当此结点存储顶点时为2
    //当此结点存储交点时,表示是出点还是入点,出点为-1,入点为-2
    union //共用体
    {
        VertexNode * neighbor;
    }
    //当此结点存储交点时,指向存储在另一个链表中的此交点
    int number; //当此结点存储顶点时,表示第几个顶点(从0开始)
    }neiandnum;
    VertexNode * next; //指向下一个结点
};

```

(3) 求各边的交点,按顺序分别插入到裁剪多边形和主多边形的顶点用链表,并使它们互相指向另一链表中的此交点。同时求得裁剪边的第一个有交点的边的尾是在主多边形内或外,如在内说明此边尾部顶点指向的交点是出点,并用 firstflag 记下(0 或 1)。

(4) 为交点做出点、入点的标记(flag 为 0 或 1)。从裁剪多边形的第一个交点开始,出点和入点依次交替。根据 firstflag 可以判断第一个交点是出点还是入点(裁剪多边形的出点是主多边形的入点)。

(5) 将裁剪后的多边形定点输入到 FinalPolygon 数组中,从裁剪多边形的第一个交点开始,如为出点跟踪主多边形,如为入点跟踪裁剪多边形,直到回到起点。当所有的交点都被跟踪过结束。

(6) 画裁剪后的多边形。没有考虑交点的奇异情况,以及自交的多边形和带有孤岛的多边形的情况,画裁剪多边形和主多边形时必须按相同的顺序(即都为顺时针或都为逆时针)。主要的程序在 polygoncutView.cpp 中。

所有实现裁减的函数都在 void CPolygoncutView::OnCut() 中被调用,这些函数包括:

(1) void CPolygoncutView::InitialLink(VertexNode *LinkPolygon, VertexNode *CutLinkPolygon)

```
//初始化链表,把鼠标所画的裁减多边形和主多边形从数组存储转化为用链表存储,
//LinkPolygon 为主多边形顶点链表头指针,CutLinkPolygon 为裁剪多边形顶点链表头指针
```

(2) int CPolygoncutView::TestInside(Edge Edge1)

```
//检测有向边 Edge1 的尾结点是否在主多边形内,InitialPolygon 为多边形顶点数组
//如果在主多边形内,则返回 1,否则返回 0
```

(3) void CPolygoncutView::SaveConnection(Vertex *I, int addressi, int addressj,VertexNode *LinkPolygon,VertexNode *CutLinkPolygon)

```
/*把求得的有效交点按其边上的顺序插入到链表(裁剪和被裁剪的多边形定点链表)中,I 交点的结点的指针*/
//节点在裁剪多边形第 addressi+1 个顶点和 addressi+2 定点之间的边上
//节点在主多边形第 addressj+1 个顶点和 addressj+2 定点之间的边上
//LinkPolygon 为主多边形顶点表的第 1 个顶点指针
//CutLinkPolygon 为裁剪多边形顶点表的第 1 个顶点指针
```

(4) void CPolygoncutView::LableConnection(VertexNode *CutLinkPolygon, int firstflag)

```
/*为每个交点标记出入点,firstflag 为裁剪多边形上从第一个顶点开始遇到的第一个交点的出入点标记*/
//firstflag 为 1,表示为出点,为 0 表示为入点。
```

(5) void CPolygoncutView::PutoutVertex(VertexNode *CutLinkPolygon,VertexNode *LinkPolygon)

```
/*把裁剪后的多边形的顶点保存到 FinalPolygon 数组中,finalLength 表示顶点的个数,并输出*/
```

(6) int CPolygoncutView::TestConnection(Edge Edge1, Edge Edge2, Vertex *I)

```
/*检测边 Edge1 和 Edge2 是否有交点,如果有则调用求交点函数 GetConnection
```

```
//然后进一步判断是否为有效交点, 如果存在有效交点, 用 1 返回, 并返回 1, 如不存在有效交点返回 0*/
```

```
(7) int CPolygoncutView::GetConnection(Edge Edge1, Edge Edge2, Vertex *I)
```

```
//边 Edge1, Edge2 所在直线的交点, 没考虑两直线有重合部分的情况
```

其中, `int CPolygoncutView::TestConnection(Edge Edge1, Edge Edge2, Vertex *I)` 在 `int CPolygoncutView::GetConnection(Edge Edge1, Edge Edge2, Vertex *I)` 中被调用。

5.4 圆的裁剪

对于圆的裁剪可采用“先裁剪, 后生成”的方法, 即利用公式, 先求出窗口各边与圆的交点, 只有位于窗口内的有效圆弧才被显示出来, 位于窗口外的圆弧不被送往显示器视区显示。为了减少盲目求窗口边框与圆的交点的次数, 可先判断窗口与圆的最小的外接矩形是否相交, 若窗口与圆的最小的外接矩形不相交, 说明圆在窗口内或窗口外, 进而可直接显示或舍弃(如果圆心在窗口, 说明圆在窗口内, 可直接显示, 否则舍弃)。只有不满足此条件的圆, 才去具体求其与窗口的有效交点。

5.5 文本裁剪算法

当文本和字符的某些部分出现在窗口内, 某些部分出现在窗口外时, 就出现了字符的裁剪问题。根据裁剪精度的不同, 字符的裁剪可分为三种情况: 字符串裁剪、字符裁剪和笔画裁剪。下面分别给予介绍。

5.5.1 字符串裁剪

字符串裁剪就是当整个字符串都落在窗口内时, 才显示该字符串, 否则不显示。具体实现时, 可先求出包含待裁剪字符串的矩形包围盒, 当该包围盒完全落在窗口内时, 才显示该字符串, 否则不显示, 如图 5.19 所示。



图 5.19 字符串裁剪

5.5.2 字符裁剪

字符裁剪就是当整个字符都落在窗口内时, 才显示该字符, 若字符在窗口外或字符边界与窗口有重叠, 则不显示。具体实现时, 也类似字符串裁剪, 先求出包含待裁剪字符的矩形包围盒, 当该包围盒完全落在窗口内时, 才显示该字符, 否则不显示, 如图 5.20 所示。



图 5.20 字符裁剪

5.5.3 笔画裁剪

对于点阵字符来说,构成字符的最小元素为像素,此时笔画裁剪转化为点裁剪,就是当构成字符的像素点落在窗口内时,才显示该点,否则不显示。对于矢量字符来说,构成字符的最小元素为直线段或曲线段,此时笔画裁剪转化为直线段裁剪或曲线段的裁剪,如图 5.21 所示。



图 5.21 笔画裁剪

5.6 二维图形的输出流程

在前面讲过,世界坐标系中的图形最终要在屏幕坐标系的视区中显示出来,由于这是两个不同的坐标系,窗口和视区的大小也不相同,并且我们往往感兴趣的只是图形的某个局部,所以世界坐标系中的图形不能直接在屏幕坐标系中显示出来,这之间要经过窗口到视区的变换,裁剪和扫描转换等。二维图形的输出流程如图 5.22 所示。



图 5.22 二维图形的输出流程图

需要说明的是,图 5.22 中的每一步的处理顺序并不是固定不变的,不同的图形软件包采用不同的处理顺序。

本章小结

图形的开窗与裁剪是计算机图形中图形运算的基础。本章主要介绍了开窗、裁剪的基本概念,包括常用的坐标系窗口和视区间的变换,以及线段的裁剪算法、多边形的裁剪算

法、圆的裁剪算法和文本的裁剪算法。具体内容如下:

(1) 首先介绍了二维图形的裁剪的基础知识和图形的开窗。计算机图形学中常用的坐标系有世界坐标系、局部坐标系、屏幕坐标系等;窗口与视区的变换包括平移变换和缩放变换。

(2) 其次介绍了线段裁剪的算法。线段裁剪的算法比较简单,但比较重要。复杂的高次曲线都是用折线段来逼近的,其裁剪问题可以转换为直线条的裁剪问题。线段的裁剪有端点裁剪、利用求解联立方程组的线段裁剪、Cohen-Sutherland 线段裁剪和参数化的线段裁剪。

(3) 多边形裁剪算法主要包括 Sutherland-Hodgman 算法、Weiler-Atherton 算法。

(4) 圆的裁剪采用“先裁剪,后生成”的方法。

(5) 文本裁剪算法分为字符串裁剪、字符裁剪和笔画裁剪。

(6) 本章构架了二维图形的输出流程。



阅读材料

线段裁剪是计算机图形学的基本问题之一,裁剪的原理虽然比较简单,但是对裁剪的速度有非常高的要求。例如,对一条线段的裁剪需要 5 毫秒,那么裁剪 10 条线段所需要的时间总和,就超过了人眼的容忍度,因此在复杂的图形显示中,人眼就会察觉到扭曲变形的问题。因此,无论是在时间复杂度、还是空间复杂度的角度上来说,提高裁剪算法的效率都极为重要。裁剪算法的效率关键在于:尽量有效地识别裁剪线段是否与窗口边界相交,以减少求交运算。

多年以来国内外许多专家学者对此进行了深入的研究,在二维线段裁剪方面,已经出现了很多经典算法,如基于编码技术的 Cohen-Sutherland 算法,便于硬件实现的中点分割算法,通过法向量判别别的 Cyrus-Berk 裁剪算法, Liang-Barsky 算法, Nicholl 等提出的基于几何变换技术的 NLN 算法,以及在 NLN 算法基础上发展的 ELC 算法等。M.Dorr 综合了 Cohen-Sutherland 的编码方法和直线的参数表示方法提出了一种只用整数运算来计算整数交点的线段裁剪算法,提高了裁剪速度。

习 题

一、填空题

1. 假定在自然坐标系中定义的窗口为 $(-20, -20) \sim (60, 60)$ 。现考虑一条线段,它的两个端点为 $(-70, -30)$ 和 $(200, 80)$ 。

(a) 用直线的编码裁剪算法裁剪该线段,该线段与窗口的所有交点为_____。

(b) 假定视区定义为 $(10, 30) \sim (200, 130)$,则这些交点在视区中的坐标为_____。

2. 在线段 AB 的区域编码裁剪算法中,如 A 、 B 两点的码_____,则该线段位于窗口内;如 A 、 B 两点的码_____,则该线段在窗口外。

3. 字符可按_____、_____和_____三种精度裁剪。

二、选择题

1. 在多边形的逐边裁剪法中, 对于某条多边形的边(方向为从端点 S 到端点 P)与某条裁剪线(窗口的某一边)的比较结果共有以下四种情况, 分别需输出一些顶点。请问哪种情况下输出的顶点是错误的? ()

- A. S 和 P 均在可见的一侧, 则输出 S 和 P
- B. S 和 P 均在不可见的一侧, 则输出 0 个顶点
- C. S 在可见一侧, P 在不可见的一侧, 则输出线段 SP 与裁剪线的交点
- D. S 在不可见的一侧, P 在可见的一侧, 则输出线段 SP 与裁剪线的交点和 P

2. 用编码裁剪法裁剪二维线段时, 判断下列直线段采用哪种处理方法。假设直线段两个端点 M 、 N 的编码为 1000 和 1001(按 TBRL 顺序) ()。

- A. 直接舍弃
- B. 直接保留
- C. 对 MN 再分割求交
- D. 不能判断

三、判断题

- 1. 编码裁剪算法要求线段与窗口边界的交点, 中点分割算法则不需要求交点。()
- 2. 多边形裁剪与直线裁剪本质上是一个问题, 没有本质区别。()
- 3. 多边形的 Weiler-Atherton 裁剪算法可以实现对任意多边形的裁剪。()

四、简答题

1. 已知线段 $P_1(-5,10)$ 和 $P_2(10,-5)$, 裁剪窗口为 $(0,0) \sim (10,10)$, 请使用 P_1P_2 的两个端点坐标为 Cohen-Sutherland 线段裁剪算法计算出裁剪以后剩余的线段。

2. 已知: $A(0, 0)$, $B(1,1)$, $C(2,0)$, $D(1,2)$, 裁剪窗口为 $(0,1) \sim (3,3)$, 请使用 Sutherland-Hodgeman 多边形裁剪算法算出多边形 $ABCD$ 被裁剪以后剩余的部分, 多边形如图 5.23 所示。

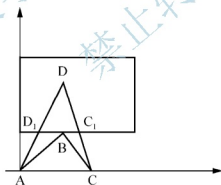


图 5.23 多边形 $ABCD$

3. 求垂直线 x 和水平线 y 与 P_1P_2 两边平行坐标轴的矩形裁剪窗口的交点。写出线段(从 $P_1(x_1, y_1)$ 到 $P_2(x_2, y_2)$)与(1)垂直线 $x = a$; (2)水平线 $y = b$ 的交点。

五、上机操作题

- 1. 推广 Sutherland-Hodgeman 算法, 使它能处理裁剪窗口为任意凸多边形的情况。
- 2. 编写一则程序实现 Weiler-Atherton 多边形裁剪算法。

第6章 三维图形学基础

学习目标

- 了解三维图形学的基础知识;
- 掌握三维图形几何变换、投影变换以及三维裁剪的基本原理;
- 通过编程实现三维几何变换。

知识结构

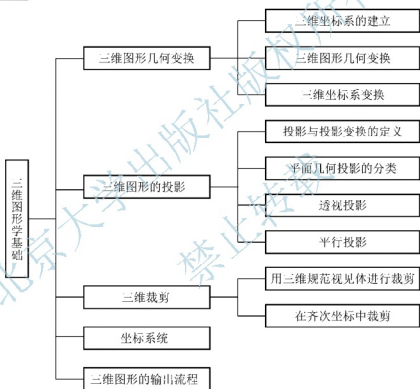


图 6.1 三维图形学知识基础结构图



导入案例

二维图形变换的基本变换可以很直观地推广为三维图形，即立体空间图形的图形变换。利用齐次坐标表示后，三维图形的基本变换可以用 4 阶矩阵表示出来。复杂的变换也可以用一系列基本变换矩阵乘积给出的复合矩阵表示出来。但三维变换由于立体图形的复杂性，要比平面图形的变换复杂得多。

下面分别介绍各种三维图形的基本变换。本章重点介绍三维图形的几何变换以及投影变换的基本原理和方法，同时还介绍三维裁剪算法的基本原理，这些都是真实感图形显示的基础。通过几何变换，可以将场景中的物体放置到恰当的位置后再予以显示，通过投影变换可以将三维图形在二维的显示屏幕上上进行显示，三维裁剪保证在屏幕的视图区内只显示用户感兴趣的图形，对于视图区以外的图形不予以显示。

平面图形的旋转变换总是绕某一点旋转,空间图形的旋转变换就稍稍复杂一些。我们首先要确定一条直线作为旋转轴;然后再指定一个旋转角度。为了确定指定角度的旋转方向,我们需要指定旋转轴一个方向。角度的正向规定如下:用右手握住旋转轴,大拇指指向旋转轴的方向,则四指旋转握住旋转轴的方向就是角度的正向。

类似于平面图形的变换,对于复杂的立体图形变换,也可以通过逐步分解的方法把它表示为多个简单的三维变换的复合变换。考虑使图形绕选定的任意轴旋转的三维旋转变换,其复合矩阵由平移矩阵和绕坐标轴旋转的变换矩阵 $R_x(\mu)$, $R_y(\mu)$ 和 $R_z(\mu)$ 构成。正确的连续变换过程是:平移坐标系原点到旋转轴上,旋转坐标系到与三个坐标轴之一重合,然后将图形绕该坐标轴旋转。最后用反向变换矩阵使该旋转轴返回原始位置。

只有经过几何变换、投影和裁剪之后,才能把一个三维图形转变成二维图形并送到显示设备上输出显示。

6.1 三维图形的几何变换

三维图形的平移、比例及旋转变换是对二维变换的扩展,即三维情况下应附加考虑 Z 坐标的变换。三维平移是由一个三维平移向量规定平移距离;三维比例变换用来指定三个比例因子。而三维旋转一般不能直接由二维变换扩展得到,因为三维旋转可围绕空间任何方位的轴进行。像二维变换情况一样,三维几何变换方程也可以用变换矩阵表示。任何一个变换序列均可用一个矩阵表示,此矩阵是把序列中的各个矩阵级联到一起而得到的。

在二维图形变换的讨论中已经提出了齐次坐标表示法,即 n 维空间的点用 $n+1$ 维向量表示。因此,对于三维空间的点需要用 4 维向量表示,而相应的变换矩阵是 4×4 阶矩阵。

6.1.1 三维坐标系的建立

三维空间比二维平面复杂。讨论三维空间,首先遇到的是两种坐标系,即右手坐标系和左手坐标系。图 6.2(a)是右手坐标系,而图 6.2(b)是左手坐标系。所谓右手坐标系是这样确定三根正交的坐标轴:伸出右手,当用大拇指指向 x 轴的正方向,食指指向 y 轴的正方向,则与手心垂直的中指方向就是 z 轴正向。左手坐标系用左手类似确定。

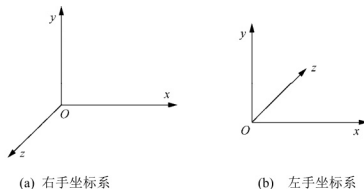


图 6.2 三维空间坐标系

在计算机图形学中,两种坐标系都可以使用。右手坐标系为大多数人所熟悉,因此在讨论图形的数学问题时常使用右手坐标系。但是左手坐标系却有一个很自然的解释:把左手坐标系中的 xy 坐标平面看成显示器的显示平面或称为观察平面,这样物体就位于观察平面的后边,当 z 值较大时,物体离观察者比较远。因此,也有的图形系统采用左手坐标系,如图形系统 CORE 标准就采用两种坐标系,以用于不同的应用场合。本书没有指明时,均指右手坐标系。

6.1.2 三维图形几何变换

二维几何变换引入齐次坐标后,变换可以用一个 3×3 的变换矩阵来表示。同样,三维几何变换也可利用齐次坐标的概念,变换可以用一个 4×4 的变换矩阵来表示。设三维空间中的点 $P(x, y, z)$,其规格化齐次坐标为 $(x, y, z, 1)$,若变换矩阵为 T , T 为 4×4 的矩阵,则变换后的点 $P'=T \cdot P$ 。下面分别讨论平移、比例、旋转等变换。

1. 平移变换

在用三维齐次坐标表示时,把一个点由位置 (x, y, z) 平移至位置 (x', y', z') 可用以下矩阵运算实现:

$$\begin{bmatrix} x' \\ y' \\ z' \\ 1 \end{bmatrix} = \begin{bmatrix} 1 & 0 & 0 & T_x \\ 0 & 1 & 0 & T_y \\ 0 & 0 & 1 & T_z \\ 0 & 0 & 0 & 1 \end{bmatrix} \begin{bmatrix} x \\ y \\ z \\ 1 \end{bmatrix} \quad (6.1)$$

其中,参数 T_x 、 T_y 、 T_z 规定了坐标平移距离,它们可取任意实数值。式(6.1)所示的矩阵表达式与式(6.2)和式(6.3)等效。

$$\begin{cases} x' = x + T_x \\ y' = y + T_y \\ z' = z + T_z \end{cases} \quad (6.2)$$

即平移变换的变换矩阵为:

$$T(T_x, T_y, T_z) = \begin{bmatrix} 1 & 0 & 0 & T_x \\ 0 & 1 & 0 & T_y \\ 0 & 0 & 1 & T_z \\ 0 & 0 & 0 & 1 \end{bmatrix} \quad (6.3)$$

2. 比例变换

设空间一点 $P(x, y, z)$ 以原点为中心,在三根轴上分别放大或缩小 S_x 、 S_y 、 S_z 倍,变换矩阵为:

$$S(S_x, S_y, S_z) = \begin{bmatrix} S_x & 0 & 0 & 0 \\ 0 & S_y & 0 & 0 \\ 0 & 0 & S_z & 0 \\ 0 & 0 & 0 & 1 \end{bmatrix} \quad (6.4)$$

3. 旋转变换

三维空间的旋转可以有绕 x 、 y 、 z 轴的旋转以及绕空间一条任意轴的旋转等, 在此先讨论前面三种, 绕空间一条任意轴的旋转在后面章节讨论。

1) 绕 x 轴的旋转

当点 $P(x, y, z)$ 绕 x 轴做角度为 α 的旋转到 $P'(x', y', z')$ 时, 点的 x 坐标值不变, 如图 6.3 所示, 即

$$\begin{cases} x' = x \\ y' = y \cdot \cos \alpha - z \cdot \sin \alpha \\ z' = y \cdot \sin \alpha + z \cdot \cos \alpha \end{cases} \quad (6.5)$$

变换矩阵为:

$$R_x(\alpha) = \begin{bmatrix} 1 & 0 & 0 & 0 \\ 0 & \cos \alpha & -\sin \alpha & 0 \\ 0 & \sin \alpha & \cos \alpha & 0 \\ 0 & 0 & 0 & 1 \end{bmatrix} \quad (6.6)$$

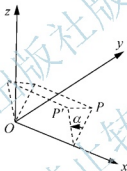


图 6.3 绕 x 轴的旋转变换

2) 绕 y 轴的旋转

当点 $P(x, y, z)$ 绕 y 轴做角度为 β 的旋转到 $P'(x', y', z')$ 时, 点的 y 坐标值不变, 如图 6.4 所示, 即

$$\begin{cases} x' = x \cdot \cos \beta + z \cdot \sin \beta \\ y' = y \\ z' = -x \cdot \sin \beta + z \cdot \cos \beta \end{cases} \quad (6.7)$$

变换矩阵为:

$$R_y(\beta) = \begin{bmatrix} \cos \beta & 0 & \sin \beta & 0 \\ 0 & 1 & 0 & 0 \\ -\sin \beta & 0 & \cos \beta & 0 \\ 0 & 0 & 0 & 1 \end{bmatrix} \quad (6.8)$$

3) 绕 z 轴的旋转

当点 $P(x, y, z)$ 绕 z 轴做角度为 γ 的旋转到 $P'(x', y', z')$ 时, 点的 z 坐标值不变, 如图 6.5 所示, 即

$$\begin{cases} x' = x \cdot \cos \gamma - y \cdot \sin \gamma \\ y' = x \cdot \sin \gamma + y \cdot \cos \gamma \\ z' = z \end{cases} \quad (6.9)$$

变换矩阵为:

$$R_z(\gamma) = \begin{bmatrix} \cos \gamma & -\sin \gamma & 0 & 0 \\ \sin \gamma & \cos \gamma & 0 & 0 \\ 0 & 0 & 1 & 0 \\ 0 & 0 & 0 & 1 \end{bmatrix} \quad (6.10)$$

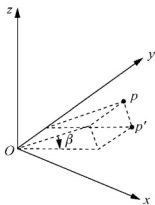


图 6.4 绕 y 轴的旋转变换

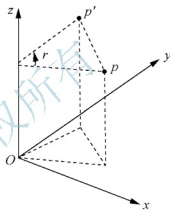


图 6.5 绕 z 轴的旋转变换

4. 反射变换

如果要对于 $x y$ 平面进行变换, 此变换实际上是改变 z 坐标的符号而保持 x 、 y 坐标不变, 一点相对于 $x y$ 平面反射变换矩阵为:

$$RF_{xy} = \begin{bmatrix} 1 & 0 & 0 & 0 \\ 0 & 1 & 0 & 0 \\ 0 & 0 & -1 & 0 \\ 0 & 0 & 0 & 1 \end{bmatrix} \quad (6.11)$$

同样可定义相对于 $y z$ 平面或 $x z$ 平面进行变换的矩阵。

$$RF_{yz} = \begin{bmatrix} -1 & 0 & 0 & 0 \\ 0 & 1 & 0 & 0 \\ 0 & 0 & 1 & 0 \\ 0 & 0 & 0 & 1 \end{bmatrix} \quad (6.12)$$

$$RF_{zx} = \begin{bmatrix} 1 & 0 & 0 & 0 \\ 0 & -1 & 0 & 0 \\ 0 & 0 & 1 & 0 \\ 0 & 0 & 0 & 1 \end{bmatrix} \quad (6.13)$$

如果要对其他平面的反射, 可把上述对于坐标平面的反射与旋转组合起来建立变换矩阵, 这就与二维情况下绕任意直线反射的情况一样。

5. 错切变换

三维错切变换是指对定义一个点的三个坐标值中的两个进行变换,使三维形体发生错切变形的变换。

下面是以 z 轴为依赖轴(z 值不变)产生三维错切的变换矩阵:

$$SH_z(sh_x, sh_y) = \begin{bmatrix} 1 & 0 & sh_x & 0 \\ 0 & 1 & sh_y & 0 \\ 0 & 0 & 1 & 0 \\ 0 & 0 & 0 & 1 \end{bmatrix} \quad (6.14)$$

其中,参数 sh_x 及 sh_y 可取任意实数。上述变换矩阵的效果是把 x 及 y 坐标改变成一个与 z 坐标成正比的量,而 z 坐标值不变。这样就使垂直于 z 轴的平面边界偏移一个与 z 成正比的量。对 x 轴及 y 轴进行错切变换的矩阵可相似地定义。

6. 围绕任意轴的旋转变换

在给定旋转轴的特征及旋转角之后,可用以下五步完成对任意轴的旋转。

- (1) 平移物体使旋转轴通过坐标原点。
- (2) 旋转物体使旋转轴与某一坐标轴重合。
- (3) 进行规定的旋转。
- (4) 进行反旋转使旋转轴回到原来的方位。
- (5) 进行反平移使旋转轴回到原来的位置。

在进行上述变换时,可使旋转轴与三个坐标轴的任一个重合。我们一般选取 z 轴,下面由此出发建立变换矩阵。

首先,假定旋转轴用两点定义 $P_1(x_1, y_1, z_1)$ 和 $P_2(x_2, y_2, z_2)$, 由此两点定义一个向量:

$$V = (x_2 - x_1, y_2 - y_1, z_2 - z_1) \quad (6.15)$$

用此向量可求得沿旋转轴的单位向量:

$$u = \frac{V}{|V|} = (a, b, c) \quad (6.16)$$

式中向量 u 的各分量 a 、 b 、 c 为向量 V 的方向余弦:

$$a = \frac{x}{|V|}, \quad b = \frac{y}{|V|}, \quad c = \frac{z}{|V|} \quad (6.17)$$

用以下平移矩阵可把物体平移使旋转轴通过坐标原点:

$$T(-x_1, -y_1, -z_1) = \begin{bmatrix} 1 & 0 & 0 & -x_1 \\ 0 & 1 & 0 & -y_1 \\ 0 & 0 & 1 & -z_1 \\ 0 & 0 & 0 & 1 \end{bmatrix} \quad (6.18)$$

用上述变换可把 P_1 置于原点。

要使旋转轴与 z 轴重合,可通过以下两步实现,首先,围绕 x 轴旋转使向量 u 转到 xy 平面中;然后围绕 y 轴旋转使 u 与 z 轴重合。

为了建立绕 x 轴旋转的变换矩阵,首先应确定使 u 转到 xz 平面所需的旋转角的正弦及

余弦值。此旋转角是 \mathbf{u} 在 yz 平面上的投影与正 z 轴之间的夹角 α ，如果我们指定 \mathbf{u} 在 yz 平面上的投影为向量 $\mathbf{u}'=(0, b, c)$ ，则旋转角 α 的正弦值可由 \mathbf{u}' 与沿 z 轴的单位向量 \mathbf{u}_z 的数量积确定，即

$$\cos \alpha = \frac{\mathbf{u}' \cdot \mathbf{u}_z}{|\mathbf{u}'| |\mathbf{u}_z|} = \frac{c}{d} \quad (6.19)$$

此处 d 为 \mathbf{u}' 的模：

$$d = \sqrt{b^2 + c^2} \quad (6.20)$$

α 的正弦值可由 \mathbf{u}' 及 \mathbf{u}_z 的向量积用相似的方法确定。由向量积定义可得

$$\mathbf{u}' \times \mathbf{u}_z = \mathbf{u}_x |\mathbf{u}'| |\mathbf{u}_z| \sin \alpha \quad (6.21)$$

用直角坐标表示，可得

$$\mathbf{u}' \times \mathbf{u}_z = \mathbf{u}_x \cdot b \quad (6.22)$$

由此可得到 α 的正弦值：

$$\sin \alpha = \frac{b}{d} \quad (6.23)$$

上面已由 \mathbf{u} 的各个分量确定了 $\cos \alpha$ 及 $\sin \alpha$ 的值，由此可得到绕 x 轴的旋转矩阵为

$$R_x(\alpha) = \begin{bmatrix} 1 & 0 & 0 & 0 \\ 0 & c/d & -b/d & 0 \\ 0 & b/d & c/d & 0 \\ 0 & 0 & 0 & 1 \end{bmatrix} \quad (6.24)$$

用此矩阵可把单位向量 \mathbf{u} 绕 x 轴旋转到 xz 平面。

下面确定把 xz 平面中的单位向量围绕 y 轴旋转到正 z 轴的变换矩阵。单位向量在绕 x 轴旋转至 xz 平面后，此向量记为 \mathbf{u}'' 。由于绕 x 轴旋转时 x 方向的分量不变，所以 \mathbf{u}'' 在 x 方向的分量仍为 a ；又因为向量 \mathbf{u}' 已旋转到 z 轴，所以 \mathbf{u}'' 的 z 分量为 d ；再者，因为 \mathbf{u}'' 已位于 xz 平面，所以其 y 分量为 0。下面可由单位向量 \mathbf{u}'' 和 \mathbf{u}_z 之间的数量积决定旋转角 β 的正弦值及余弦值。由数量积的定义得

$$\cos \beta = \frac{\mathbf{u}'' \cdot \mathbf{u}_z}{|\mathbf{u}''| |\mathbf{u}_z|} = d \quad (6.25)$$

因为 $|\mathbf{u}_z| = |\mathbf{u}''| = 1$ ，由向量积的两个方程可写为：

$$\mathbf{u}'' \times \mathbf{u}_z = \mathbf{u}_y |\mathbf{u}''| |\mathbf{u}_z| \sin \beta \quad (6.26)$$

及

$$\mathbf{u}'' \times \mathbf{u}_z = \mathbf{u}_y \cdot (-a) \quad (6.27)$$

可得

$$\sin \beta = -a \quad (6.28)$$

且围绕 y 轴旋转的变换矩阵为：

$$R_y(\beta) = \begin{bmatrix} d & 0 & -a & 0 \\ 0 & 1 & 0 & 0 \\ a & 0 & d & 0 \\ 0 & 0 & 0 & 1 \end{bmatrix} \quad (6.29)$$

用上述变换矩阵式(6.18)、式(6.24)及式(6.29), 可使旋转轴与 z 轴重合。然后, 按给定的旋转角 θ 绕 z 轴旋转, 此旋转矩阵为:

$$R_z(\theta) = \begin{bmatrix} \cos \theta & -\sin \theta & 0 & 0 \\ \sin \theta & \cos \theta & 0 & 0 \\ 0 & 0 & 1 & 0 \\ 0 & 0 & 0 & 1 \end{bmatrix} \quad (6.30)$$

为完成绕任意轴的旋转, 最后要把旋转轴变换回原来位置。这样, 围绕任意轴旋转的变换矩阵可表示为以下 7 个独立变换矩阵的组合:

$$R(\theta) = T(x_1, y_1, z_1) \cdot R_x(-\alpha) \cdot R_y(-\beta) \cdot R_z(\theta) \cdot R_y(\beta) \cdot R_x(\alpha) \cdot T(-x_1, -y_1, -z_1) \quad (6.31)$$

7. 三维几何变换的一般形式

设图形上一点的坐标为 $P(x, y, z)$, 经过三维几何变换后的坐标为 $P'(x', y', z')$, 变换矩阵一般可写为:

$$\begin{bmatrix} x' \\ y' \\ z' \\ 1 \end{bmatrix} = \begin{bmatrix} a & b & c & d \\ e & f & g & h \\ i & j & k & l \\ 0 & 0 & 0 & 1 \end{bmatrix} \begin{bmatrix} x \\ y \\ z \\ 1 \end{bmatrix} \quad (6.32)$$

即

$$\begin{cases} x' = ax + by + cz + d \\ y' = ex + fy + gz + h \\ z' = ix + jy + kz + l \end{cases} \quad (6.33)$$

我们可以得到以下结论。

$$(1) \begin{bmatrix} a & b & c \\ e & f & g \\ i & j & k \end{bmatrix} \text{ 的作用是对点的坐标进行比例、旋转等变换。}$$

$$(2) \begin{bmatrix} d \\ h \\ l \end{bmatrix} \text{ 的作用是对点进行平移变换。}$$

6.1.3 三维坐标系变换

实现图形变换可采用两种思想, 第一种就是在同一个坐标系中实现图形的平移、旋转等变换, 变换后的图形与变换前的图形在同一个坐标系中; 另一种等效的方法是把变换看成是坐标系的变动, 变换前和变换后的图形在不同的坐标系中。

假定有两个坐标系 $Oxyz$ 和 $\bar{O}u\bar{v}\bar{n}$, 在坐标系 $Oxyz$ 中, \bar{O} 的坐标为 $(\bar{O}_x, \bar{O}_y, \bar{O}_z)$, \bar{O}_u 、 \bar{O}_v 和 \bar{O}_n 分别为三个单位向量 (u_x, u_y, u_z) , (v_x, v_y, v_z) 和 (n_x, n_y, n_z) , 现在用变换合成的方法将坐标系 $Oxyz$ 中的图形变换到坐标系 $\bar{O}u\bar{v}\bar{n}$ 中去(见图 6.6), 步骤如下:

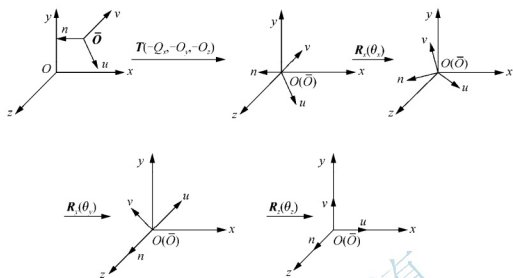


图 6.6 用变换合成的方法建立坐标系之间的变换

- (1) 平移使 \bar{O} 落于原点 O , 变换为 $T(-\bar{O}_x, -\bar{O}_y, -\bar{O}_z)$;
 - (2) 绕 x 轴旋转角度 θ_x , 使 n 轴落于 xOz 平面, 变换为 $R_x(\theta_x)$;
 - (3) 绕 y 轴旋转角度 θ_y , 使 n 轴与 z 轴同向且重合, 变换为 $R_y(\theta_y)$;
 - (4) 绕 z 轴旋转角度 θ_z , 使 u 轴和 x 轴同向且重合, 变换为 $R_z(\theta_z)$ 。
- 则变换矩阵为:

$$M_{xyz \rightarrow uvn} = R_z(\theta_z) \cdot R_y(\theta_y) \cdot R_x(\theta_x) \cdot T(-\bar{O}_x, -\bar{O}_y, -\bar{O}_z) \quad (6.34)$$

其实, 由线性代数知识可知, 从坐标系 $Oxyz$ 到 $\bar{O}uvn$ 的正交变换为:

$$R = \begin{bmatrix} u_x & u_y & u_z & 0 \\ v_x & v_y & v_z & 0 \\ n_x & n_y & n_z & 0 \\ 0 & 0 & 0 & 1 \end{bmatrix} \quad (6.35)$$

但该变换不包含两坐标系间的位置关系。如果将 $Oxyz$ 中的图形变换到 $\bar{O}uvn$ 中去, 则必须首先进行一个平移变换 $T(-\bar{O}_x, -\bar{O}_y, -\bar{O}_z)$, 从而

$$M_{xyz \rightarrow uvn} = \begin{bmatrix} u_x & u_y & u_z & 0 \\ v_x & v_y & v_z & 0 \\ n_x & n_y & n_z & 0 \\ 0 & 0 & 0 & 1 \end{bmatrix} \cdot T(-\bar{O}_x, -\bar{O}_y, -\bar{O}_z) \quad (6.36)$$

式(6.34)和式(6.36)的结果是一致的, 读者可以自行验证一下。

6.2 三维图形的投影

下面我们讨论投影变换。由于人们用来显示图形的介质绝大多数是平面, 如纸张、显示屏等, 如何将现实世界中的三维物体表现在这些二维介质上, 并且具有三维的视觉感受正是投影变换要做的。

6.2.1 投影与投影变换的定义

投影是将 n 维的点变成小于 n 维的点。投影变换就是把三维立体(或物体)投射到投影面上得到二维平面图形。

在三维空间中,选择一个点,记这个点为投影中心;不经过该点再定义一个平面,记这个平面为投影面;从投影中心向投影面引任意多条射线,记这些射线为投影线。穿过物体的投影线将于投影面相交,在投影面上形成物体的像,这个像记为三维物体在二维投影面上的投影。图 6.7 表示了同一直线段 AB 的两种不同的投影。由于直线的平面投影本身仍是一条直线,所以对直线 AB 作投影变换时,只需对线段的两个端点 A 和 B 作投影变换,连接两个端点在投影面上的投影 A' 和 B' 就可以得到整个直线段的投影 $A'B'$ 。

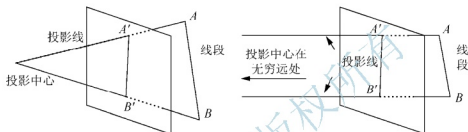


图 6.7 线段 AB 及其投影

6.2.2 平面几何投影的分类

根据投影中心和投影面的距离远近,平面几何投影可以分为两大类,即平行投影和透视投影。在平行投影中,投影中心到投影面的距离是无限的;而在透视投影中,投影中心到投影面的距离是有限的,如图 6.7 所示。当投影中心在无限远时,投影线互相平行,所以定义平行投影时,只需给出投影线的方向,而定义透视投影时,需要明确给出投影中心的位置。

图 6.8 给出了各类投影之间的逻辑关系,它们共同的特点是有一个投影面和一个投影中心或者投影方向。分类是根据投影中心到投影面的距离、投影线方向与投影面的夹角、投影面与坐标轴的夹角来进行的。下面将详细介绍各种投影的定义、特性和数学计算方法。

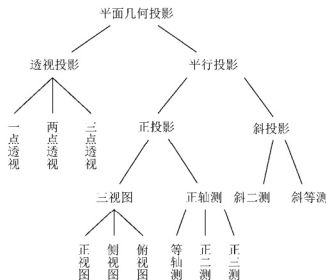


图 6.8 平面几何投影的分类

6.2.3 透视投影

透视投影和我们用眼睛观看现实世界所得到的景象很相近。同样的物体,离视点近则看起来比较大,离视点远则看起来比较小,即物体透视投影的大小与物体到投影中心的距离成反比,这就是所谓的透视缩小效应。因此透视投影更具有立体感和真实感,但透视投影不能真实地反映物体的精确尺寸和形状。

三维物体进行透视变换时,物体中不平行与投影面的任意一组平行线的投影汇聚成一点,这个点称为灭点,坐标轴上的灭点称为主灭点。灭点可以看做是无限远处的一点在投影面上的投影。透视投影的灭点有无限多个,不同方向的平行线在投影面上就能形成不同的灭点。由于有 x 、 y 和 z 三个坐标轴,所以主灭点最多有三个。根据主灭点的个数,也即按投影面与坐标轴的夹角来分,透视投影可以分为一点透视、二点透视和三点透视。一点透视有一个主灭点,即投影面与一个坐标轴正交,与另外两个坐标轴平行。二点透视有两个主灭点,即投影面与两个坐标轴相交,与另一个坐标轴平行。三点透视有三个主灭点,即投影面与三个坐标轴都相交。

为了讨论方便,假设视点在 z 轴的负方向上,投影平面是 v 平面,如图 6.9 所示。

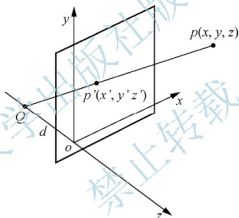


图 6.9 透视投影

根据图 6.9, 直线 PQ 的参数方程可以表示为:

$$\begin{aligned} x' &= x - xt \\ y' &= y - yt \\ z' &= z - (z + d)t \end{aligned} \quad 0 \leq t \leq 1 \quad (6.37)$$

由于在投影面 $z'=0$, 所以 $t = \frac{z}{z+d}$, 故有:

$$\begin{cases} x' = x \left(1 - \frac{z}{z+d} \right) \\ y' = y \left(1 - \frac{z}{z+d} \right) \\ z' = 0 \end{cases} \quad (6.38)$$

即

$$\begin{cases} \left(1 + \frac{z}{d}\right)x' = x \\ \left(1 + \frac{z}{d}\right)y' = y \end{cases} \quad (6.39)$$

令 $\left(1 + \frac{z}{d}\right) = h$, 则得到 P' 的齐次坐标表示:

$$\begin{aligned} hx' &= x \\ hy' &= y \\ hz' &= 0 \\ h &= 1 + z/d \end{aligned} \quad (6.40)$$

表示为矩阵形式如式(6.41)所示:

$$\begin{pmatrix} hx' \\ hy' \\ hz' \\ h \end{pmatrix} = \begin{pmatrix} 1 & 0 & 0 & 0 \\ 0 & 1 & 0 & 0 \\ 0 & 0 & 0 & 0 \\ 0 & 0 & 1/d & 1 \end{pmatrix} \begin{pmatrix} x \\ y \\ z \\ 1 \end{pmatrix} \quad (6.41)$$

根据灭点的定义, 通过调整投影平面与二维物体的位置, 可以得到一点透视、二点远视和三点透视, 如图 6.10 所示。

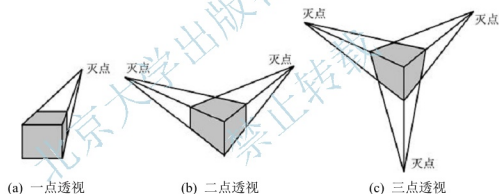


图 6.10 透视投影的类型

6.2.4 平行投影

平行投影可根据投影方向与投影面的夹角分成两类: 正投影和斜投影。当投影方向与投影面的夹角为 90° 时, 得到的投影为正投影, 否则为斜投影(见图 6.11)。平行投影变换具有较好的性质: 能精确地反映物体的实际尺寸, 即不具有透视缩小性, 另外平行线经过平行投影变换后仍保持平行。

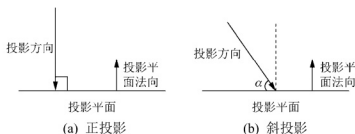


图 6.11 平行投影

1. 正投影

正投影根据投影面与坐标轴的夹角又可分为两类：三视图和正轴测图。当投影面与某一坐标轴垂直时，得到的投影为三视图，这时投影方向与这个坐标轴的方向一致；否则，得到的投影为正轴测图，如图 6.12 所示。

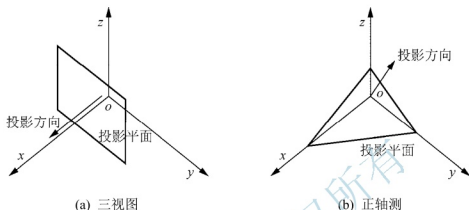


图 6.12 正投影

通常说的三视图包括主视图、侧视图和俯视图三种，投影面分别与 x 轴、 y 轴和 z 轴垂直。图 6.13 显示了一个三维形体及其三视图。三视图的特点是物体的一个坐标面平行于投影面，其投影能反映形体的实际尺寸。工程制图中常用三视图来测量形体间的距离、角度以及相互位置关系。不足之处是一种三视图上只有物体一个面的投影，所以单独从某一个方向的三视图难以形象地表示出形体的三维性质，只有将主、侧、俯三个视图放在一起，才能综合出物体的空间形状。

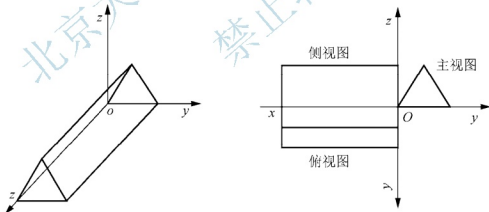


图 6.13 三维形体及其三视图

正轴测测有等轴测、正二测和正三测三种。当投影面与三个坐标轴之间的夹角都相等时为等轴测；当投影面与两个坐标轴之间的夹角相等时为正二测；当投影面与三个坐标轴之间的夹角都不相等时为正三测，如图 6.14 所示。

下面我们来推导正轴测的投影变换矩阵，如图 6.15 所示。投影面分别与三个坐标轴相交于 A 、 B 和 C ，投影方向与投影面垂直。首先将三维形体及其投影面绕 y 轴顺时针旋转 α 角；再绕 x 轴逆时针旋转 β 角；将三维形体向 xoy 平面作正投影，最后得到正轴测图的投影变换矩阵：

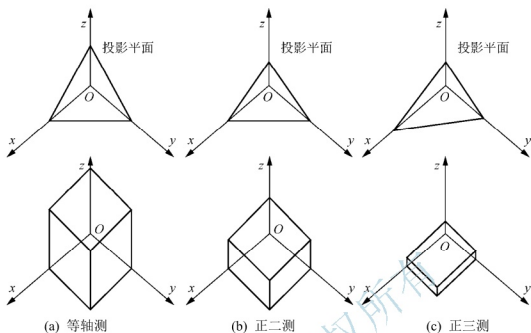


图 6.14 正轴测投影以及一个体的正轴测投影图

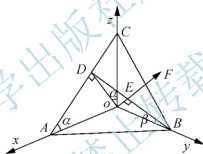


图 6.15 正轴测图的形成

$$T = T_{Ry} \cdot T_{Rx} \cdot T = \begin{bmatrix} \cos \alpha & -\sin \alpha \cdot \cos \beta & 0 & 0 \\ 0 & \cos \beta & 0 & 0 \\ -\sin \alpha & -\cos \alpha \cdot \sin \beta & 0 & 0 \\ 0 & 0 & 0 & 1 \end{bmatrix} \quad (6.42)$$

根据前面的定义, 我们知道等轴测的条件是投影面与三个坐标轴的夹角都相等, 于是在图 6.15 上有:

$$OA = OB = OC$$

$$\alpha = 45^\circ, \quad \sin \alpha = \cos \alpha = \sqrt{2}/2$$

$$BD = \sqrt{OD^2 + OB^2} = \frac{\sqrt{6}}{2} OB$$

$$\sin \beta = \frac{OD}{BD} = \frac{\frac{\sqrt{2}}{2} OA}{\frac{\sqrt{6}}{2} OB} = \frac{\sqrt{3}}{3}$$

$$\cos \beta = \frac{OB}{BD} = \frac{\sqrt{6}}{3}$$

将 α 和 β 的值代入式(6.42)得到等轴测的投影变换矩阵:

$$T = \begin{bmatrix} \frac{\sqrt{2}}{2} & -\frac{\sqrt{6}}{6} & 0 & 0 \\ 0 & \frac{\sqrt{6}}{3} & 0 & 0 \\ -\frac{\sqrt{2}}{2} & -\frac{\sqrt{6}}{6} & 0 & 0 \\ 0 & 0 & 0 & 1 \end{bmatrix} = \begin{bmatrix} 0.7071 & -0.4082 & 0 & 0 \\ 0 & 0.8165 & 0 & 0 \\ -0.7071 & -0.4082 & 0 & 0 \\ 0 & 0 & 0 & 1 \end{bmatrix} \quad (6.43)$$

正二侧的条件是投影面与两个坐标轴之间的夹角相等。假设投影面与 x 和 z 轴之间的夹角相等, 则图 6.15 上有:

$$OA = OC$$

$$\alpha = 45^\circ, \quad \sin \alpha = \cos \alpha = \frac{\sqrt{2}}{2}$$

将 α 值代入得到正二测的投影变换矩阵:

$$T = \begin{bmatrix} \frac{\sqrt{2}}{2} & -\frac{\sqrt{2}}{2} \sin \beta & 0 & 0 \\ 0 & \cos \beta & 0 & 0 \\ -\frac{\sqrt{2}}{2} & -\frac{\sqrt{2}}{2} \sin \beta & 0 & 0 \\ 0 & 0 & 0 & 1 \end{bmatrix} \quad (6.44)$$

正三侧的投影变换矩阵就是式(6.42)。

由于正轴测的投影面不与任何坐标轴垂直, 所以正轴测能同时反映物体的多个面, 具有一定的立体效果, 而且平行线仍保持平行, 沿三个主轴方向都可测量距离。但值得注意的是, 等轴测在三个主轴方向的距离因子相等, 而正二测只在两个主轴方向的距离因子相等, 正三测在三个主轴方向的距离因子都不相等。

2. 斜投影

斜投影是第二类平行投影, 与正投影的区别在于投影方向与投影面不垂直。斜投影将正投影的三视图和正轴测的特性结合起来, 既能像三视图那样在主平面上进行距离和角度的测量, 又能像正轴测那样同时反映物体的多个面, 具有立体效果。通常选择投影面垂直于某个主轴, 这样, 对于平行于投影面的物体表面可进行距离和角度的测量, 而对物体的其他面, 可沿这根主轴测量距离。

常用的两种斜投影是斜等测和斜二测。当投影方向与投影面成 45° 夹角时, 得到的是斜等测(见图 6.16(a)), 这时, 和投影面垂直的任何直线段, 其投影长度不变, 即图 6.16(a)中, $op=op'$ 。当投影方向与投影面成 $\arctan(2)$ 的角度时, 得到的是斜二测(如图 6.16(b)所示), 这时, 和投影面垂直的任何直线, 其投影的长度为原来的一半, 即图 6.16(b)中, $OP = \frac{1}{2}OP'$ 。

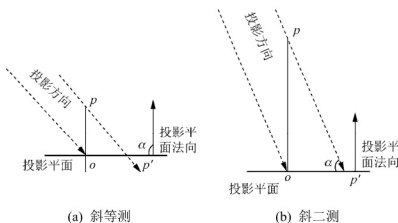


图 6.16 斜投影

下面我们给出斜投影的投影变换矩阵。如图 6.17(a)所示, 设投影面为 xoy 平面, 投影方向与投影面的夹角为 α , 投影线和 z 轴所组成的平面与 xoz 平面的两面角为 β 。点 $P'(x'_p, y'_p, 0)$ 是点 $p(0, 0, z)$ 在投影面上的斜投影。于是有:

$$\begin{aligned} m &= z \cos \alpha \\ x'_p &= m \cos \beta \\ y'_p &= m \sin \beta \end{aligned} \quad (6.45)$$

对于空间中任意一点 $q(x_q, y_q, z_q)$, 在投影面上的斜投影的坐标可以从图 6.17(b)直接得出

$$\begin{aligned} x'_q &= x'_p + x_q = z \cos \alpha \cos \beta + x_q \\ y'_q &= y'_p + y_q = z \cos \alpha \sin \beta + y_q \end{aligned} \quad (6.46)$$

于是, 斜投影的投影变换矩阵为:

$$T = \begin{bmatrix} 1 & 0 & 0 & 0 \\ 0 & 1 & 0 & 0 \\ \cos \alpha \cos \beta & \cos \alpha \sin \beta & 0 & 0 \\ 0 & 0 & 0 & 1 \end{bmatrix} \quad (6.47)$$

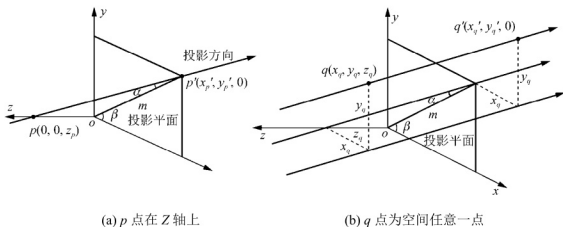


图 6.17 斜平行投影的形成

对于斜等测图有 $\alpha = 45^\circ$, $\cos \alpha = 1$; 对于斜二测图则有 $\alpha = \arctan(2)$, $\cos \alpha = 1/2$ 。

图 6.18 表示的是一个单位立方体在 xoy 平面上的几种斜投影。那些倾斜线是与 xoy 平

面垂直的立方体棱边的投影, 它们与水平轴 x 的夹角就是图 6.17(a) 中的两面角 β 。 β 一般取 45° 和 $\pm 30^\circ$ 。

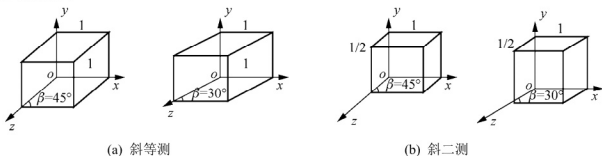


图 6.18 单位立方体的斜平行投影

6.3 三维裁剪

在三维空间中, 在对图形进行裁剪之前的变换都是在齐次坐标系中进行的, 所以在对图形裁剪时, 图形的各个顶点都是用四维的齐次坐标来表示的。对这些由齐次坐标表示的图形进行裁剪有两种方法: 一种方法是将齐次坐标转化为三维坐标, 在三维空间中关于于视见体裁剪; 另一种方法是直接在齐次坐标空间中裁剪。

6.3.1 用三维规范视见体进行裁剪

视见体就是三维裁剪窗口, 规范视见体就是三维空间中的一个固定位置和大小裁剪窗口。

图 6.7 中线段 AB 及其投影规范视见体就是由下面六个面组成的一个长方体:

$$\begin{cases} u = 1, u = -1, \\ v = 1, v = -1, \\ n = 0, n = -1. \end{cases} \quad (6.48)$$

对于透视投影来说, 其规范视见体的六个面为:

$$\begin{cases} u = n, u = -n, \\ v = n, v = -n, \\ n = -n_{\min}, n = -1. \end{cases} \quad (6.49)$$

三维裁剪主要就是关于由式(6.48)或式(6.49)定义的规范视见体进行裁剪。事实上, 第 5 章中讲的二维图形的裁剪算法可以直接推广到三维中。例如, 裁剪多边形的 Sutherland-Hodgman 算法中的逐边裁剪思想可以推广到三维, 只不过是在三维中不再是逐边裁剪, 而是逐面裁剪。这种推广并没有太多地增加算法的复杂度, 只不过是求交的计算量稍有增加。二维裁剪中计算的是直线与直线的交点, 而在三维裁剪中要计算的是直线与平面的交点。下面就以一般三维空间平面和直线的求交来说明这一点。

一般情况下, 我们假设空间中任一平面的方程为:

$$au + bv + cn + d = 0 \quad (6.50)$$

直线段 $P_0(u_0, v_0, n_0)P_1(u_1, v_1, n_1)$ 的参数方程为:

$$\begin{cases} u = u_0 + t(u_1 - u_0), \\ v = v_0 + t(v_1 - v_0), \\ n = n_0 + t(n_1 - n_0). \end{cases} \quad t \in [0, 1] \quad (6.51)$$

由式(6.50)所定义的平面和由式(6.51)定义的直线的交点对应的参数为

$$t = \frac{au_0 + bv_0 + cn_0 + d}{a(u_1 - u_0) + b(v_1 - v_0) + c(n_1 - n_0)} \quad (6.52)$$

只有当 $t \in [0, 1]$ 时, 直线与平面才有有效的交点, 这时将 t 代入式(6.51), 就能得到交点的坐标。若 $t \notin [0, 1]$, 则说明直线与平面的交点在直线 P_0P_1 的延长线上, 所以此交点为无效交点, 舍弃。若 $a(u_1 - u_0) + b(v_1 - v_0) + c(n_1 - n_0) = 0$, 则说明直线与平面平行, 这时平面与直线无交点。

由式(6.48)和式(6.49)可以看出, 无论是平行投影还是透视投影, 它们的规范视见体的边界面都十分简单, 所以在具体实现时, 式(6.52)得以大大简化, 计算量不会太大。

下面就以 Cohen-Sutherland(编码法)裁剪算法推广到三维, 并对三维空间中的直线段进行裁剪为例, 来说明三维空间中的裁剪问题。

对平行投影来说, 其规范视见体(见式(6.48))的六个平面将三维空间划分为 27 个区域, 类似二维的 Cohen-Sutherland 算法, 在三维空间中我们也将这 27 个区域赋予一个 6 位的编码 $C_1C_2C_3C_4C_5C_6$, 每一位的含义如下:

$$\begin{aligned} C_1 &= \begin{cases} 1, & v > 1, \\ 0, & \text{the others,} \end{cases} & C_2 &= \begin{cases} 1, & v < -1, \\ 0, & \text{the others,} \end{cases} \\ C_3 &= \begin{cases} 1, & u < -1, \\ 0, & \text{the others,} \end{cases} & C_4 &= \begin{cases} 1, & u > 1, \\ 0, & \text{the others,} \end{cases} \\ C_5 &= \begin{cases} 1, & n > 0, \\ 0, & \text{the others,} \end{cases} & C_6 &= \begin{cases} 1, & n < -1, \\ 0, & \text{the others.} \end{cases} \end{aligned}$$

对透视投影来说, 6 位编码 $C_1C_2C_3C_4C_5C_6$ 中的每一位的含义如下:

$$\begin{aligned} C_1 &= \begin{cases} 1, & v > -n, \\ 0, & \text{the others,} \end{cases} & C_2 &= \begin{cases} 1, & v < n, \\ 0, & \text{the others,} \end{cases} \\ C_3 &= \begin{cases} 1, & u < n, \\ 0, & \text{the others,} \end{cases} & C_4 &= \begin{cases} 1, & u > -n, \\ 0, & \text{the others,} \end{cases} \\ C_5 &= \begin{cases} 1, & n > -n_{\min}, \\ 0, & \text{the others,} \end{cases} & C_6 &= \begin{cases} 1, & n < -1, \\ 0, & \text{the others.} \end{cases} \end{aligned}$$

有了 27 个区域的编码后, 就可以得到三维直线段裁剪的编码算法, 具体步骤如下所述。

步骤 1 取线段两端点的编码为其所在区域的编码。

步骤 2 如果线段两个端点的编码都为零, 则该线段完全落在视见体内, 显示该线段, 裁剪结束; 否则进入步骤 3。

步骤 3 如果线段两个端点的编码按位逻辑与为非零, 则该线段完全落在视见体外侧, 该线段显然不可见, 舍弃, 裁剪结束; 否则进入步骤 4。

步骤 4 线段必然和视见体的某个面相交, 求出该交点, 该交点将线段分成两段。丢弃落在视见体外侧的一段, 对另一段线段重复步骤 1 到步骤 4, 直到裁剪结束。和二维逐

边裁剪一样,求交测试需要对视见体的六个面按一定的顺序进行。

6.3.2 在齐次坐标中裁剪

我们以平行投影来说明齐次坐标空间中的投影。式(6.48)定义的规范视见体的六个平面可以写成:

$$-1 \leq u \leq 1, -1 \leq v \leq 1, -1 \leq n \leq 0 \quad (6.53)$$

设空间点 (u, v, n) 所对应的齐次坐标为 (u_h, v_h, n_h, h) , 其中

$$u = u_h / h, \quad v = v_h / h, \quad n = n_h / h. \quad (6.54)$$

将它们代入式(6.53)得

$$-h \leq u_h \leq h, \quad -h \leq v_h \leq h, \quad -h \leq n_h \leq 0 \quad (6.55)$$

式(6.55)表明,在齐次坐标空间中,裁剪窗口的六个面为:

$$\begin{cases} u_h = h, & u_h = -h, \\ v_h = h, & v_h = -h, \\ n_h = 0, & n_h = -h \end{cases} \quad (6.56)$$

有了齐次坐标系中的裁剪窗口,就可以将许多二维图形的裁剪推广过来,不过此时的裁剪是在四维空间内进行的。

6.4 坐标系

在三维空间中,最常用的坐标系有世界坐标系、模型坐标系、观察坐标系和屏幕坐标系,由于屏幕坐标系也就是二维中的屏幕坐标系,所以下面只对前三个坐标系给予简单介绍。

1. 世界坐标系

世界坐标系就是物体所在的坐标系,常常采用右手坐标系,如图 6.19 所示。

2. 模型坐标系

由于物体在世界坐标系中表示得比较复杂,如图 6.19 所示,为了简化这种表示,人们又经常在物体之上定义一个坐标系,这个坐标系叫局部坐标系,又叫模型坐标系(Modeling Coordinate),如图 6.20 所示。由于模型坐标系是建立在物体的上面,所以物体表示起来比较简单,易于描述。

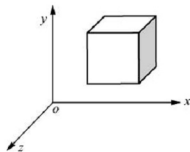


图 6.19 世界坐标系

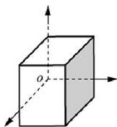


图 6.20 模型坐标系

3. 观察坐标系

在对物体进行投影时, 需要在世界坐标系定义投影平面和投影中心, 由于投影的角度是任意的, 有时得到的投影平面和投影中心很复杂, 导致投影变换也很复杂。这时候我们可以以投影平面作为一个坐标面来建立一个三维坐标系 uvn , 称为观察坐标系(View Reference Coordinate, VRC)。观察坐标系可以这样来建立: 任取投影平面上的一点(称为参考点, View Reference Point, VRP 这时投影平面也叫观察平面, View Plane)作为坐标原点, 观察平面的法方向(View Plane Normal, VPN)为 n 轴建立观察坐标系 uvn , 如图 6.21(a)所示。其中, v 轴是观察正向(VUP, 物体朝上的方向)在投影平面上的投影, 而 $u = v \times n$ 。在观察坐标系中, 投影平面的方程为 $n = 0$ 。建立观察坐标系后, 投影平面和投影中心的表示简单了, 使得投影变换也得以简化, 但带来的负作用是, 在作投影之前, 需要将物体从世界坐标系转换到观察坐标系中。世界坐标系到观察坐标系的转换可以用式(6.57)的变换矩阵来实现。

$$M = \begin{bmatrix} u_x & u_y & u_z & 0 \\ v_x & v_y & v_z & 0 \\ n_x & n_y & n_z & 0 \\ 0 & 0 & 0 & 1 \end{bmatrix} \begin{bmatrix} 1 & 0 & 0 & -VRP_x \\ 0 & 1 & 0 & -VRP_y \\ 0 & 0 & 1 & -VRP_z \\ 0 & 0 & 0 & 1 \end{bmatrix} = \begin{bmatrix} u_x & u_y & u_z & -(u_x \cdot VRP_x + u_y \cdot VRP_y + u_z \cdot VRP_z) \\ v_x & v_y & v_z & -(v_x \cdot VRP_x + v_y \cdot VRP_y + v_z \cdot VRP_z) \\ n_x & n_y & n_z & -(n_x \cdot VRP_x + n_y \cdot VRP_y + n_z \cdot VRP_z) \\ 0 & 0 & 0 & 1 \end{bmatrix} \quad (6.57)$$

其中, (VRP_x, VRP_y, VRP_z) 为参考点在世界坐标系中的坐标, (u_x, u_y, u_z) 、 (v_x, v_y, v_z) 、 (n_x, n_y, n_z) 分别为观察坐标系 uvn 的三个坐标轴 u 、 v 、 n 方向上的单位矢量, 如图 6.21(b)所示。

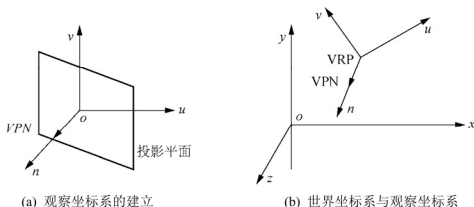


图 6.21 观察坐标系

6.5 三维图形的输出流程

物体首先是定义在自己的模型坐标系中,经过模型变换,得到在世界坐标系中的表示方式,再经过世界坐标系到观察坐标系的观察变换,进一步得到在观察坐标系中的描述。观察坐标系中的视见体(三维裁剪窗口)规定了物体的可见范围,裁剪后得到的物体被投影到投影平面上的窗口内,再由窗口到视区的变换变换到屏幕坐标系中,扫描转换后显示出来。综上所述,得到三维图形的输出流程,如图 6.22 所示。

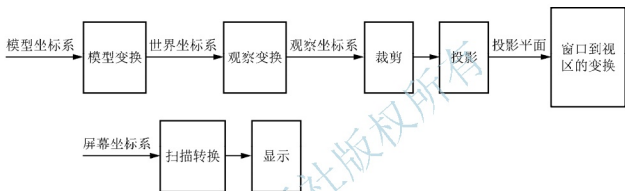


图 6.22 三维图形的输出流程

本章小结

本章重点介绍了三维图形的几何变换、投影变换的基本原理和方法 and 三维裁剪算法的基本原理。具体内容如下:

(1) 三维图形的几何变换。三维图形的几何变换是二维图形变换的扩展。坐标系的建立是三维几何变换的基础;本章介绍了三维图形的平移变换、比例变换、旋转变换、反射变换、错切变换和围绕任意轴的旋转变换和三维几何变换的一般形式;实现图形变化的三维坐标系变换有两种思想,一种是在同一个坐标系中实现图形的平移、旋转等变换,一种是把变换看成坐标系的变动,变换前和变换后的图形在不同的坐标系中。

(2) 三维图形的投影。主要介绍了投影与投影变换的定义、平面几何投影的分类、透视投影和平行投影。

(3) 三维裁剪。三维图形的裁剪需要先在齐次坐标系中进行变换。对齐次坐标表示的图形进行裁剪有两种方法:一种是将齐次坐标系转化为三维坐标,在三维空间中关于视见体裁剪,采用三维规范视见体进行裁剪;另一种方法是直接在齐次坐标空间中裁剪,在齐次坐标中裁剪的方法。

(4) 坐标系。三维空间中,常用的坐标系有世界坐标系、模型坐标系、观察坐标系和屏幕坐标系。

(5) 本章给出了三维图形的输出流程。



阅读材料

AutoCAD

AutoCAD(Auto Computer Aided Design)是用于自动计算机辅助设计的软件,用于二维绘图、详细绘制、设计文档和基本三维设计,现已经成为国际上广为流行的绘图工具。.dwg文件格式是其二维绘图的标准格式。

AutoCAD 软件具有以下特点:

- (1) 具有完善的图形绘制功能。
- (2) 有强大的图形编辑功能。
- (3) 可以采用多种方式进行二次开发或用户定制。
- (4) 可以进行多种图形格式的转换,具有较强的数据交换能力。
- (5) 支持多种硬件设备。
- (6) 支持多种操作平台。
- (7) 具有通用性、易用性,适用于各类用户。

此外,从 AutoCAD2000 开始,该系统又增添了许多强大的功能,如 AutoCAD 设计中心(ADC)、多文档设计环境(MDE)、Internet 驱动、新的对象捕捉功能、增强的标注功能以及局部打开和局部加载的功能,从而使 AutoCAD 系统更加完善。

习 题

一、填空题

1. 在三维空间中,最常用的坐标系有_____、_____、_____和_____。
2. 投影变换中,透视投影的投影中心到投影面之间的距离是_____,平行投影的投影中心到投影面之间的距离是_____。
3. 斜平行的斜等测投影时,和投影平面垂直的任何线段,其投影长度为_____;斜二测时,和投影平面垂直的任何线段,其投影长度为_____。

二、选择题

1. 下列有关透视投影的叙述错误的是()。
 - A. 投影线从视点出发
 - B. 投影线是平行的
 - C. 任何一束不平行于投影面的平行线的透视投影将汇成一点
 - D. 主灭点最多有 3 个
2. 下列有关平面几何投影的叙述错误的是()。
 - A. 透视投影又可分为一点透视、二点透视、三点透视
 - B. 斜投影又可分为斜等测、斜二测
 - C. 正视图又可分为主视图、侧视图、俯视图
 - D. 正轴测又可分为正一测、正二测、正三测

3. 下列有关平面几何投影的叙述语句中, 正确的论述为()。
- A. 在平面几何投影中, 若投影中心移到距离投影面无穷远处, 则成为平行投影
- B. 透视投影与平行投影相比, 视觉效果更有真实感, 而且能真实地反映物体精确的尺寸和形状
- C. 透视投影变换中, 一组平行线投影在与之平行的投影面上不产生灭点
- D. 在三维空间中的物体进行透视投影变换, 可能产生三个或者更多的主灭点
4. 透视投影中主灭点最多可以有几个? ()
- A. 0 B. 1 C. 2 D. 3

三、判断题

1. 所谓的视区就是一块矩形区域。 ()
2. 在三维空间中, 多边体的裁剪可以看做是面裁剪的组合。 ()
3. 主灭点的个数正好等于与投影面相交的坐标轴的个数, 显然最多有四个主灭点。 ()
4. 在透视投影中, 不平行于投影平面的平行线经过透视投影后交汇到一个点, 该点称为灭点。 ()

四、简答题

1. 写出三维图形几何变换矩阵的一般表达形式, 并说明其中各个子矩阵的变换功能。
2. 什么是平面几何投影? 平面几何投影如何分类?
3. 分别写出三维几何变换中的平移、旋转、比例变换矩阵。

五、上机操作题

编写程序, 将第5章 Sutherland-Hodgman 多边形裁剪算法推广到三维空间中处理多边形平行(透视)投影视体的裁剪。

第7章 三维物体的表示

学习目标

- 掌握平面物体的表示;
- 掌握二次曲面的表示;
- 掌握孔斯曲面、贝塞尔曲面和B样条曲面这三个特殊曲面的表示。

知识结构

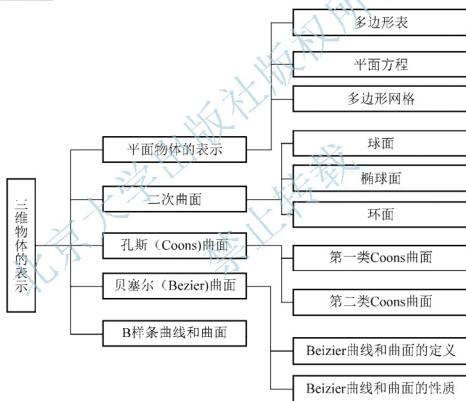


图 7.1 三维物体的表示结构示意图



导入案例

要在计算机屏幕上产生一个三维物体的图像，首先必须在计算机内构造并表示出该三维物体的模型，然后再用本书中其他章节讨论的投影变换及其真实感图形生成技术等屏幕上产生图像。

下面介绍两种简单的模型表示——线框模型和表面模型。

1. 线框模型

线框模型是用形体表示成一组轮廓线的集合，只需建立三维线段表。该三维物体表示方法具有数据结构简单、处理速度快的特点。但所构成的图形含义不确切，与形体之间不存在一一对应关系，有二义性(见

图 7.2), 不便进行光照或消隐处理, 不适合真实感显示和数控加工。

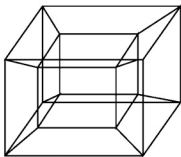


图 7.2 用线框模型表示的有二义性的物体

2. 表面模型

表面模型中物体的边界与物体一一对应, 如图 7.3 所示。实体的边界是表面的并集, 表面的边界是边的并集。

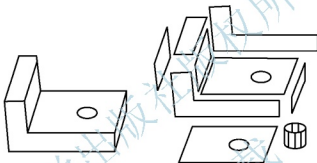


图 7.3 表面模型中物体的边界与物体一一对应示意图

本章主要介绍三维空间中平面物体的表示、曲面的表示以及孔斯曲面、贝塞尔曲面和 B 样条曲面。

7.1 平面物体的表示

三维图形物体中运用边界表示的最普遍的方式是使用一组包围物体内部的表面多边形。很多图形系统以一组表面多边形来存储物体的描述。由于所有表面以线性方程形式加以描述, 因此会简化并加速物体的表面绘制和显示。由于这个原因, 通常将多边形描述为“标准图形物体”。某些情况下, 多边形表示是唯一可用的, 但很多图形软件包也允许以其他方法对物体加以描述, 如样条曲面, 将其转换为多边形表示后再加以处理。

多面体的多边形表示精确地定义了物体的表面特征。但对于其他物体, 表面将嵌入(平铺)到物体中以生成多边形网格逼近。图 7.4 所示为以多边形网格表示的圆柱体表面。由于可以快速地显示线框轮廓, 从而概要地说明表面结构, 因此, 这种表示在设计和实体模型应用中被普遍采用。通过沿多边形表面进行明暗处理来消除或减少多边形边界, 从而实现真实性绘制。曲面上采用的多边形网格逼近, 可以通过将曲面分解成更小的多边形平面加以改进。

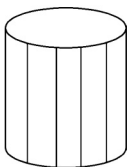


图 7.4 去除背面(隐藏)线的圆柱体的线框表示

7.1.1 多边形表

使用顶点坐标集和相应属性参数可以给定一个多边形表面。输入每个多边形的信息后，将这些信息存放在多边形数据表中，以便以后用于对场景中物体的处理、显示和管理。多边形数据表可分为两个表来组织：几何表和属性表。几何表包括顶点坐标和用来标识多边形表面空间方向的参数；属性表包括指明物体透明度及表面反射度的参数和纹理特征。

存储几何数据的一个方便的方法是建立三个表：顶点表、边表和多边形表面表。物体中的每个顶点坐标存储在顶点表中；边表的边指向顶点表中的顶点，为每条边标识顶点；多边形表面表含有指向边表的指针，为每个多边形表面标识边。如图 7.5 所示，该方法阐述了一个物体表面的两个相邻多边形。另外，为了便于引用，可以为单个物体及其组成中的多边形小平面赋以物体和小平面标识符。

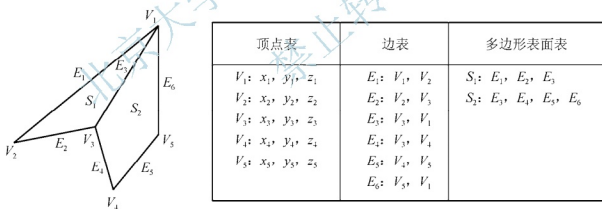


图 7.5 两个相邻多边形小平面的几何数据表表示

另一种方法是仅用两张表：顶点表和多边形表。但这种方法不方便，某些边可能要画两次。还有一种方法是只用一张边表，但由于每个多边形中的每个顶点的坐标值都需要列出，因此坐标信息有重复，而且边信息也肯定由多边形表中的顶点重复地构造。

为了加快信息的存取，可将边表扩充成包括指向多边形表面表的指针，这样两个多边形的公共边可以很快地标识，如图 7.6 所示。这对于需要在明暗处理时，需要跨越一边的两个多边形之间平滑过渡的绘制程序特别有利。类似地，可扩充顶点表以可从顶点指引到相应的边。

$E_1:$	$V_1,$	$V_2,$	S_1
$E_2:$	$V_2,$	$V_3,$	S_1
$E_3:$	$V_3,$	$V_1,$	S_2
$E_4:$	$V_3,$	$V_4,$	S_2
$E_5:$	$V_4,$	$V_6,$	S_2
$E_6:$	$V_5,$	$V_1,$	S_2

图 7.6 图 7.5 表面的边表扩充成包含指向多边形表的指针

通常存储在数据表中的附加几何信息包括边的斜率和每个多边形的坐标内容。一旦顶点输入后,可以很快计算出斜率,通过扫描坐标值可以很快计算出每个多边形 x,y,z 的最小值和最大值。多边形的边斜率和边界框在以后的处理中 useful, 如面的绘制。坐标内容也用于一些可见面的判别算法中。

由于几何数据表中可以包含复杂物体中顶点和边的扩充列表,因此数据的一致性检查和完整性检查是非常必要的。当顶点、边及多边形被指定后,某些输入错误有可能导致物体显示失真。包含在数据表中的信息越多,就越容易检查错误。使用三张表(顶点表、边表和多边形表)的方案因提供了更多信息,而使错误检查更方便。可以由图形软件包完成的测试有:①每个顶点至少是两条边的端点;②每条边至少是一个多边形的一部分;③每个多边形是封闭的;④每个多边形至少有一条公共边;⑤如果边表包含对多边形的指针,每一个被多边形指针引用的边有一个逆指针指回到多边形。

7.1.2 平面方程

为了产生三维物体显示,必须通过几个程序对输入的数据表加以处理。这些处理步骤包括从建模坐标和世界坐标到观察坐标的变换,然后到设备坐标的变换,可见面识别、绘制程序的应用。对上述处理步骤来说,需要有关物体上单个表面部分的空间方向的信息。这一信息来源于顶点坐标值和多边形所在的平面方程。

平面方程可以表示如下:

$$Ax + By + Cz + D = 0 \quad (7.1)$$

其中, (x,y,z) 是平面的任意点,系数 A 、 B 、 C 和 D 是描述平面和空间特征的常数。从平面中三个不共线点的坐标值得到三个方程可求出系数 A 、 B 、 C 和 D 。因此,我们选择三个顺序多边形顶点 (x_1,y_1,z_1) , (x_2,y_2,z_2) , (x_3,y_3,z_3) , 解下列有关 A/D 、 B/D 、 C/D 的线性平面方程:

$$(A/D)x_k + (B/D)y_k + (C/D)z_k = -1, k=1,2,3 \quad (7.2)$$

运用 Cramer 规则,可解出系数 A 、 B 、 C 和 D , 用行列式表示如下:

$$A = \begin{vmatrix} 1 & y_1 & z_1 \\ 1 & y_2 & z_2 \\ 1 & y_3 & z_3 \end{vmatrix} \quad B = \begin{vmatrix} x_1 & 1 & z_1 \\ x_2 & 1 & z_2 \\ x_3 & 1 & z_3 \end{vmatrix}$$

$$C = \begin{vmatrix} x_1 & y_1 & 1 \\ x_2 & y_2 & 1 \\ x_3 & y_3 & 1 \end{vmatrix} \quad D = - \begin{vmatrix} x_1 & y_1 & z_1 \\ x_2 & y_2 & z_2 \\ x_3 & y_3 & z_3 \end{vmatrix} \quad (7.3)$$

展开行列式, 平面方程中的系数为:

$$\begin{aligned} A &= y_1(z_2 - z_3) + y_2(z_3 - z_1) + y_3(z_1 - z_2) \\ B &= z_1(x_2 - x_3) + z_2(x_3 - x_1) + z_3(x_1 - x_2) \\ C &= x_1(y_2 - y_3) + x_2(y_3 - y_1) + x_3(y_1 - y_2) \end{aligned} \quad (7.4)$$

因此, 一旦顶点值和其他信息输入到多边形数据结构中, 系数 A 、 B 、 C 和 D 的值就可算出并同其他多边形数据一起存储。

平面的空间方向用平面的法向量来表示, 如图 7.7 所示。平面法向量的笛卡儿分量为 (A, B, C) , 其中 A 、 B 、 C 是方程(7.4)中所计算的平面方程系数。

因为我们通常讨论的是包含物体内部的多边形平面, 因此需要区分平面的两个侧面。面向物体内部的一面为“内侧”面, 向外的面为“外侧”面。如果多边形顶点指定为逆时针方向, 则在右手系统中观察平面的外侧时, 法向量方向由里向外。如图 7.8 所示为一个单位立方体中的一个平面。(阴影多边形表面的平面方程为 $x-1=0$, 法向量为 $N=(1,0,0)$)

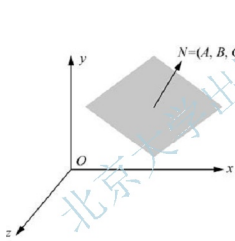


图 7.7 向量 N 垂直于以方程 $Ax+By+Cz+D=0$ 表示的平面, 分量为 (A,B,C)

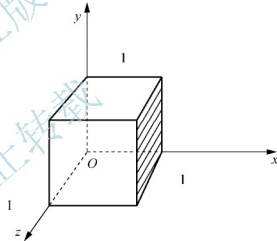


图 7.8 单位立方体中的一个平面

为了决定图中阴影面的法向量分量, 我们选择多边形边界中四个顶点中的三个。沿从立方体里面向外面的方向以逆时针方向排列三点。对这些有序的顶点坐标, 运用方程(7.4)计算平面系数: $A=1$, $B=0$, $C=0$, $D=-1$ 。这样, 该平面的法向量指向 x 轴的正向。

平面法向量也可以通过向量叉积得到。选三个顶点 V_1, V_2 和 V_3 , 同样地从里向外以右手系逆时针方向, 形成两个向量, 一个从 V_1 到 V_2 , 另一个从 V_1 到 V_3 , 以叉积计算 N :

$$N = (V_2 - V_1) \times (V_3 - V_1) \quad (7.5)$$

可得出平面参数 A , B 和 C 。只要将多边形顶点之一的坐标值代入方程(7.1), 即可求出参数 D 。给出平面的法向量 N 和平面上任一点 P , 平面方程可以以向量形式表示:

$$NP = -D \quad (7.6)$$

平面方程也可用来鉴定空间上的点与物体平面的位置关系, 对不在平面上的点 (x,y,z) 有:

$$Ax+By+Cz+D \neq 0$$

我们根据 $Ax+By+Cz+D$ 的符号来判定点在面的内部或外部: 如 $Ax+By+Cz+D<0$, 则点在面的内部; 如 $Ax+By+Cz+D>0$, 则点在面的外部。

利用以逆时针顺序选择的顶点, 一旦参数 A 、 B 、 C 和 D 算出, 这种不等式测试是十分有效的。

7.1.3 多边形网格

一些图形包(如 PHIGS)提供了对物体建模的几个多边形函数。一个单独的平面可以由诸如填充区域函数来指定, 但当物体表面是拼接而成时, 用网格函数来给出表面片会更方便一些。多边形网格的一个类型是三角形带, 给出 n 个顶点值时产生 $n-2$ 个三角形带。该函数在给出 n 个顶点坐标时产生 $n-2$ 个连接的三角形, 如图 7.9 所示。一个类似的函数是四边形网格, 给出 n 行 m 列顶点, 产生一个 $(n-1) \times (m-1)$ 个四边形网格。图 7.10 表示了 20 个顶点形成 12 个四边形的网格。



图 7.9 三角形带由 11 个三角形和 13 个顶点相连而成



图 7.10 一个四边形网格含有 12 个四边形由 5×4 个顶点组成

如果多边形的顶点数多于三个, 它们就有可能不在一个平面上。原因可能是由于数字错误或顶点的坐标位置选错。处理这一情况的一种方法是简单地将多边形分成三角形。另一个可选方法是估算平面参数 A 、 B 和 C 。我们可以采用平均方法或将多边形投影到坐标平面上。运用投影方法时, 我们让 A 正比于 yz 平面上的多边形投影区域, B 正比于 xz 平面上的多边形投影区域, C 正比于 xy 平面上的多边形投影区域。

高性能的图形系统一般使用多边形网格, 并且建立几何及属性信息数据库以方便处理多边形面片来对物体建模。这些系统中结合了快速硬件实现的多边形绘制器, 可以在一秒钟时间内有能力显示成千上万甚至上百万个阴影多边形(通常是三角形), 以及包括表面纹理和特殊光照效果的应用。

7.2 二次曲面

二次曲面是一类常用的物体, 这类表面使用二次方程进行描述。其中包括球面、椭球面、环面、抛物面和双曲面。二次曲面, 尤其是球面和椭球面, 是最基本的图形场景, 经常作为图元而用于图形软件包中, 由此可以构造更复杂的物体。

7.2.1 球面

在笛卡儿坐标系中, 中心在原点、半径为 r 的球面定义为满足下列方程的点集 (x, y, z) :

$$x^2 + y^2 + z^2 = r^2 \quad (7.7)$$

我们也可以使用参数形式来描述球面,即使用纬度和经度(见图 7.11):

$$\begin{aligned} x &= r \cos \varphi \cos \theta & -\frac{\pi}{2} \leq \varphi \leq \frac{\pi}{2} \\ y &= r \cos \varphi \sin \theta & -\pi \leq \theta \leq \pi \\ z &= r \sin \varphi \end{aligned} \quad (7.8)$$

方程(7.8)的参数表达式中,角度参数 θ 和 φ 的范围是对称的。另外,可以利用标准球面坐标来写出参数方程,这里的角度 φ 指定为余纬度(见图 7.12)。这样, φ 在 $0 \leq \varphi \leq \pi$ 之间, θ 的取值范围是 $0 \leq \theta \leq 2\pi$ 。也可以使用取值范围在 0 和 1 之间的参数 u, v 来代替 φ, θ , 即 $\varphi = \pi u, \theta = 2\pi v$ 。

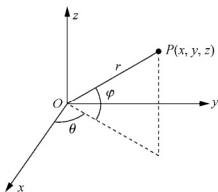


图 7.11 参数坐标位置 (r, θ, φ) 在半径为 r 的球面上

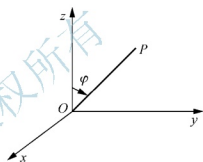


图 7.12 球面坐标参数 (r, θ, φ)

7.2.2 椭球面

椭球面可以被看成是球面的扩展,其中三条相互垂直的半径具有不同的值(见图 7.13)。椭球面中心在原点的笛卡儿表达式为

$$\left(\frac{x}{r_x}\right)^2 + \left(\frac{y}{r_y}\right)^2 + \left(\frac{z}{r_z}\right)^2 = 1 \quad (7.9)$$

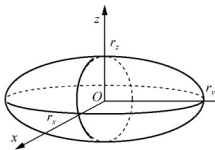


图 7.13 中心在原点、半径为 r_x, r_y, r_z 的椭球面

图 7.13 中,使用纬度角 φ 和经度角 θ 所表示的参数方程为

$$\begin{aligned} x &= r_x \cos \varphi \cos \theta & -\frac{\pi}{2} \leq \varphi \leq \frac{\pi}{2} \\ y &= r_y \cos \varphi \sin \theta & -\pi \leq \theta \leq \pi \\ z &= r_z \sin \varphi \end{aligned} \quad (7.10)$$

7.2.3 环面

环面是轮胎状的物体,如图 7.14 所示。将圆或其他二次曲面绕指定轴旋转,可以形成环面。环面上点的笛卡尔表达式可写成下列形式:

$$\left[r - \sqrt{\left(\frac{x}{r_x}\right)^2 + \left(\frac{y}{r_y}\right)^2} \right]^2 + \left(\frac{z}{r_z}\right)^2 = 1 \quad (7.11)$$

其中, r 是一给定的偏移值。

环面的参数表示类似于椭球面,但角度 φ 的范围扩展到 360° 。通过使用经度角 θ 和纬度角 φ ,可以将环面看成是满足下列方程的解集:

$$\begin{aligned} x &= r_x(r + \cos \varphi) \cos \theta & -\pi \leq \varphi \leq \pi \\ y &= r_y(r + \cos \varphi) \sin \theta & -\pi \leq \theta \leq \pi \\ z &= r_z \sin \varphi \end{aligned} \quad (7.12)$$

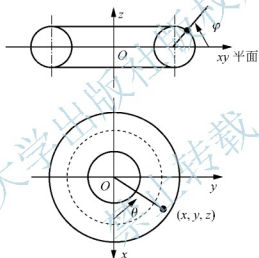


图 7.14 环面,其圆剖面中心在坐标原点处

7.3 孔斯(Coons)曲面

1964 年 S.A.Coons 将 Hermite 多项式所描述的处理曲线的方法推广用以处理曲面,提出一种曲面分片、拼合造型的思想。他用四条边界构造曲面片,并通过叠加修正曲面片,产生满足用户需要的曲面。

7.3.1 第一类 Coons 曲面

第一类 Coons 曲面又称为双线性 Coons 曲面或简单曲面,是通过四条边界曲线构成的曲面。

若给定四条边界曲线 $P(u,0)$, $P(u,1)$, $P(0,w)$, $P(1,w)$, 且 $u, w \in [0, 1]$, 则对这四条边界曲线进行插值,便可构造出双线性 Coons 曲面。具体步骤如下:

(1) 对 $P(0,w)$ 、 $P(1,w)$ 在 u 向进行线性插值, 得到如图 7.15 所示的直纹面。

$$P_1(u,w) = (1-u)P(0,w) + uP(1,w) = \begin{bmatrix} P(0,w) \\ P(1,w) \end{bmatrix} \begin{bmatrix} 1-u \\ u \end{bmatrix} \quad u, w \in [0, 1] \quad (7.13)$$

(2) 对 $P(u,0)$ 、 $P(u,1)$ 在 w 向进行线性插值, 得到如图 7.16 所示的直纹面。

$$P_2(u,w) = (1-w)P(u,0) + wP(u,1) = \begin{bmatrix} P(u,0) \\ P(u,1) \end{bmatrix} \begin{bmatrix} 1-w \\ w \end{bmatrix} \quad u, w \in [0, 1] \quad (7.14)$$

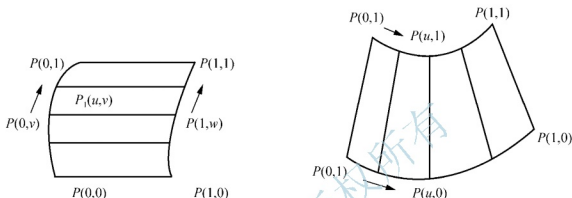


图 7.15 对 $P(0,w)$ 、 $P(1,w)$ 在 u 向进行线性插值的直纹面 图 7.16 对 $P(u,0)$ 、 $P(u,1)$ 在 w 向进行线性插值的直纹面

(3) 将以上两张直纹面叠加, 即对 $P_1(u,0)$ 、 $P_1(u,1)$ 进行 w 向的线性插值, 或对 $P_2(0,w)$ 、 $P_2(1,w)$ 进行 u 向的线性插值, 即可得到一张新曲面 $P_3(u,w)$ 。易知该曲面是过 $P(0,0)$ 、 $P(0,1)$ 、 $P(1,0)$ 、 $P(1,1)$ 的直纹面。

现以对 $P_1(u,0)$ 、 $P_1(u,1)$ 进行 w 向的线性插值为例来构造 $P_3(u,w)$ 的公式:

$$\begin{aligned} P_3(u,w) &= (1-w)[(1-u)P(0,0) + uP(1,0)] + w[(1-u)P(0,1) + uP(1,1)] \\ &= (1-u)(1-w)P(0,0) + u(1-w)P(1,0) + (1-u)wP(0,1) + uwP(1,1) \\ &= [(1-u), u] \begin{bmatrix} P(0,0) & P(0,1) \\ P(1,0) & P(1,1) \end{bmatrix} \begin{bmatrix} 1-w \\ w \end{bmatrix} \\ &\quad u, w \in [0, 1] \end{aligned} \quad (7.15)$$

则用四条边界曲线构造的曲面 $P(u,w) = P_1(u,w) + P_2(u,w) - P_3(u,w)$, 可写成:

$$P(u,w) = -[1, u, (1-u)] \begin{bmatrix} 0 & P(u,0) & P(u,1) \\ P(0,0) & P(0,0) & P(0,1) \\ P(1,0) & P(1,0) & P(1,1) \end{bmatrix} \begin{bmatrix} -1 \\ w \\ (1-w) \end{bmatrix} \quad u, w \in [0, 1] \quad (7.16)$$

容易验证, 它满足插值条件, 即为所求的双线性 Coons 曲面。若记上式中间的矩阵为 C_1 , 它的各个元素的几何意义如下:

$$C_1 = \begin{bmatrix} 0 & u \text{ 向边界线} \\ w \text{ 向边界线} & \text{四个角点} \end{bmatrix}_{3 \times 3}$$

7.3.2 第二类 Coons 曲面

第二类 Coons 曲面又称为双三次 Coons 曲面, 是较为常用的 Coons 曲面。与第一类 Coons 曲面一样, 第二类 Coons 曲面也可看做是三张面的组合, 即 $P_1(u,w) + P_2(u,w) - P_3(u,w)$ 。

区别在于第二类 Coons 曲面不仅插值于曲面的四条边界, 而且插值于给定边界的斜率。

若已知该曲面的四条边界 $P(u, 0)$ 、 $P(u, 1)$ 、 $P(0, w)$ 、 $P(1, w)$ 及边界上的切矢量 $P_u(u, 0)$ 、 $P_u(u, 1)$ 、 $P_w(0, w)$ 、 $P_w(1, w)$, 则利用 Hermite 插值即可构造双三次 Coons 曲面 $P(u, w)$, $u, w \in [0, 1]$, 步骤如下:

(1) 对 $P(0, w)$ 、 $P(1, w)$ 、 $P_u(0, w)$ 、 $P_u(1, w)$ 进行 u 向 Hermite 插值, 得到曲面片 $P_1(u, w)$:

$$\begin{aligned} P_1(u, w) &= G_0(u)P(0, w) + G_1(u)P(1, w) + H_0(u)P_u(0, w) + H_1(u)P_u(1, w) \\ &= [G_0(u), G_1(u), H_0(u), H_1(u)] [P(0, w), P(1, w), P_u(0, w), P_u(1, w)]^T \\ u, w &\in [0, 1] \end{aligned} \quad (7.17)$$

(2) 对 $P(u, 0)$ 、 $P(u, 1)$ 、 $P_w(u, 0)$ 、 $P_w(u, 1)$ 进行 w 向 Hermite 插值, 得到曲面片 $P_2(u, w)$:

$$\begin{aligned} P_2(u, w) &= P(u, 0)G_0(w) + P(u, 1)G_1(w) + P_w(u, 0)H_0(w) + P_w(u, 1)H_1(w) \\ &= [P(u, 0), P(u, 1), P_w(u, 0), P_w(u, 1)] [G_0(w), G_1(w), H_0(w), H_1(w)]^T \\ u, w &\in [0, 1] \end{aligned} \quad (7.18)$$

(3) 将 $P_1(u, w)$ 、 $P_2(u, w)$ 叠加, 即对 $P_1(u, 0)$ 、 $P_1(u, 1)$ 、 $\left. \frac{dP_1(u, w)}{dw} \right|_{w=0}$ 、 $\left. \frac{dP_1(u, w)}{dw} \right|_{w=1}$ 进行 w 向 Hermite 插值, 或对 $P_2(0, w)$ 、 $P_2(1, w)$ 、 $\left. \frac{dP_2(u, w)}{du} \right|_{u=0}$ 、 $\left. \frac{dP_2(u, w)}{du} \right|_{u=1}$ 进行 u 向的 Hermite 插值, 得到曲面片 $P_3(u, w)$ 。

现以对 $P_1(u, 0)$ 、 $P_1(u, 1)$ 、 $\left. \frac{dP_1(u, w)}{dw} \right|_{w=0}$ 、 $\left. \frac{dP_1(u, w)}{dw} \right|_{w=1}$ 进行 w 向 Hermite 插值为例来构造曲面片 $P_3(u, w)$:

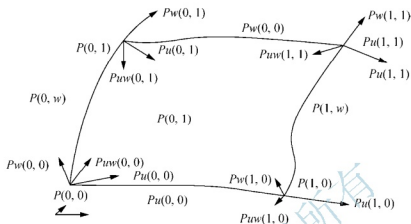
$$\begin{aligned} P_3(u, w) &= G_0(w)P_1(u, 0) + G_1(w)P_1(u, 1) + H_0(w)\left. \frac{dP_1(u, w)}{dw} \right|_{w=0} + H_1(w)\left. \frac{dP_1(u, w)}{dw} \right|_{w=1} \\ &= [G_0(w), G_1(w), H_0(w), H_1(w)] \begin{bmatrix} P(0, 0) & P(0, 1) & P_w(0, 0) & P_w(0, 1) \\ P(1, 0) & P(1, 1) & P_w(1, 0) & P_w(1, 1) \\ P_u(0, 0) & P_u(0, 1) & P_{uw}(0, 0) & P_{uw}(0, 1) \\ P_u(1, 0) & P_u(1, 1) & P_{uw}(1, 0) & P_{uw}(1, 1) \end{bmatrix} \begin{bmatrix} G_0(u) \\ G_1(u) \\ H_0(u) \\ H_1(u) \end{bmatrix} \\ u, w &\in [0, 1] \end{aligned} \quad (7.19)$$

则满足已知边界和边界切矢的曲面: $P(u, w) = P_1(u, w) + P_2(u, w) - P_3(u, w)$, 其矩阵形式为

$$\begin{aligned} P(u, w) &= [-1, G_0(u), G_1(u), H_0(u), H_1(u)] \times \\ &\begin{bmatrix} 0 & P(u, 0) & P(u, 1) & P_w(u, 0) & P_w(u, 1) \\ P(0, w) & P(0, 0) & P(0, 1) & P_w(0, 0) & P_w(0, 1) \\ P(1, w) & P(1, 0) & P(1, 1) & P_w(1, 0) & P_w(1, 1) \\ P_u(0, w) & P_u(0, 0) & P_u(0, 1) & P_{uw}(0, 0) & P_{uw}(0, 1) \\ P_u(1, w) & P_u(1, 0) & P_u(1, 1) & P_{uw}(1, 0) & P_{uw}(1, 1) \end{bmatrix} \times \begin{bmatrix} -1 \\ G_0(w) \\ G_1(w) \\ H_0(w) \\ H_1(w) \end{bmatrix} \\ u, w &\in [0, 1] \end{aligned} \quad (7.20)$$

容易验证, $P(u, w)$ 满足插值条件。记上式中间的 5×5 矩阵为 C_5 , 它的各个元素的几何意义如下(见图 7.17):

$$C_5 = \begin{bmatrix} 0 & u \text{ 向边界线} & u \text{ 向边界线上的} w \text{ 向切矢量} \\ w \text{ 向边界线} & \text{角点位置矢量} & \text{角点} w \text{ 向切矢量} \\ w \text{ 向边界线上的} u \text{ 向切矢量} & \text{角点} u \text{ 向切矢量} & \text{角点的扭矢量} \end{bmatrix}_{5 \times 5}$$

图 7.17 双三次 Coons 曲面 $P(u, w)$

其中 $P_{uw}(u, w)$ 为混合切矢量度量了曲面 $P(u, w)$ 在 u 向的切矢量沿 w 向的变化率, 是曲面扭曲程度的一种度量, 也称之为扭矢量。

7.4 贝塞尔(Bezier)曲线和曲面

7.4.1 Bezier 曲线的定义

Bezier 曲线是一段 n 次多项式曲线, 是构造自由曲线曲面的重要方法。它具有很多特性, 如保凸性、凸包性、曲线形状不依赖于坐标系的选择、人-机交互手段灵活。

Bezier 曲线是通过一组多边形的定点来定义的。如果多边形的定点固定不变, 则 Bezier 曲线的定义式唯一的。在多变形的各定点中, 只有第一点和最后一点用于控制曲线的形状及阶次。曲线的形状取决于多边形的形状, 只需要修改多边形的各个顶点就可以修改曲线。

1. Bezier 曲线的定义

Bezier 曲线本质上是由调和函数根据控制点插值生成的。在空间给定 $n+1$ 个点 $P_0, P_1, P_2, \dots, P_n$, 则下列参数多项式曲线定义为 n 次 Bezier 曲线:

$$P(t) = \sum_{i=0}^n P_i Q_{i,n}(t), t \in [0, 1] \quad (7.21)$$

其中 $Q_{i,n}(t)$ 是 Bernstein 基函数或混合函数, 即

$$Q_{i,n}(t) = \frac{n!}{i!(n-i)!} t^i (1-t)^{n-i}, (i = 0, 1, 2, \dots, n) \quad (7.22)$$

Bernstein 基函数的性质如下:

$$(1) \text{ 非负性: } Q_{i,n}(t) > 0; \quad (7.23)$$

$$(2) \text{ 权性: } \sum_{i=0}^n Q_{i,n}(t) \equiv 1; \quad (7.24)$$

$$(3) \text{ 对称性: } Q_{i,n}(t) = Q_{n-i,n}(1-t), i=0,1,2,\cdots,n \quad (7.25)$$

(4) 导函数: 若 $Q_{-1,n-1}(t)=0, Q_{n,n-1}(t)=0$, 则 $Q_{i,n}(t)$ 的导函数为

$$Q'_{i,n}(t) = n((Q_{i-1,n-1}(t) - Q_{i,n-1}(t))), i=0,1,2,\cdots,n; \quad (7.26)$$

(5) 最大值: 对 $0 < i < n, Q_{i,n}(t)$ 在参数 $t = \frac{i}{n}$ 时达到最大值。

$$(6) \text{ 递推公式: } Q_{i,n}(t) = (1-t)Q_{i,n-1}(t) + tQ_{i-1,n-1}(t), i=0,1,2,\cdots,n \quad (7.27)$$

$$(7) \text{ 升阶: } Q_{i,n}(t) = (1 - \frac{i}{n+1})Q_{i,n+1}(t) + \frac{i+1}{n+1}Q_{i+1,n+1}(t), i=0,1,2,\cdots,n \quad (7.28)$$

$$(8) \text{ 分割性: } Q_{i,n}(kt) = \sum_{j=0}^n Q_{i,j}(k)Q_{j,n}(t) \quad (7.29)$$

$$(9) \text{ 积分性: } \int_0^1 Q_{i,n}(t)dt = \frac{1}{n+1} \quad (7.30)$$

在图 7.18 所示的 Bezier 曲线 $P(t)$ 中, 折线 $P_0 P_1 P_2 \cdots P_n$ 所形成图形为控制多边形, 控制多边形是对 Bezier 曲线 $P(t)$ 的大致勾画, $P(t)$ 是对控制多边形的逼近。由上式可以推导出一次、二次、三次 Bezier 曲线的数学表达式。

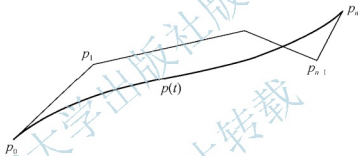


图 7.18 Bezier 曲线 $P(t)$ 示意图

(1) 一次 Bezier 曲线的数学表达式($n=1$)。

一次多项式有两个控制点, 其数学表达式及矩阵形式为:

$$\begin{aligned} Q(t) &= \sum_i P_i Q_{i,1}(t) = P_0 Q_{0,1}(t) + P_1 Q_{1,1}(t) \quad t \in [0,1] \\ &= (1-t)P_0 + tP_1 \\ &= [t \quad 1] \begin{pmatrix} -1 & 1 \\ 1 & 0 \end{pmatrix} \begin{pmatrix} P_0 \\ P_1 \end{pmatrix} \end{aligned} \quad (7.31)$$

(2) 二次 Bezier 曲线($n=2$)

二次多项式有三个控制点, 其数学表达式如下:

$$\begin{aligned} Q(t) &= \sum_i P_i Q_{i,2}(t) \\ &= P_0 Q_{0,2}(t) + P_1 Q_{1,2}(t) + P_2 Q_{2,2}(t) \quad t \in [0,1] \\ &= (1-t)^2 P_0 + 2t(1-t)P_1 + t^2 P_2 \\ &= (P_2 - 2P_1 + P_0)t^2 + 2(P_1 - P_0)t + P_0 \end{aligned} \quad (7.32)$$

二次 Bezier 曲线是抛物线。矩阵形式如公式 7.33 所示, 曲线如图 7.19 所示。

$$Q(t) = \begin{pmatrix} t^2 & t & 1 \end{pmatrix} \begin{pmatrix} 1 & -2 & 1 \\ -2 & 2 & 0 \\ 1 & 0 & 0 \end{pmatrix} \begin{pmatrix} P_0 \\ P_1 \\ P_2 \end{pmatrix} \quad t \in [0,1] \quad (7.33)$$



图 7.19 二次 Bezier 曲线

(3) 三次 Bezier 曲线($n=3$)

三次多项式有四个控制点, 如图 7.20 所示, 数学表达式如下:

$$\begin{aligned} Q(t) &= \sum_i P_i Q_{i,3}(t) \\ &= P_0 Q_{0,3}(t) + P_1 Q_{1,3}(t) + P_2 Q_{2,3}(t) + P_3 Q_{3,3}(t) \quad t \in [0,1] \quad (7.34) \\ &= (1-t)^3 P_0 + 3t(1-t)^2 P_1 + 3t^2(1-t) P_2 + t^3 P_3 \end{aligned}$$

其矩阵形式如下:

$$Q(t) = \begin{pmatrix} t^3 & t^2 & t & 1 \end{pmatrix} \begin{pmatrix} -1 & 3 & -3 & 1 \\ 3 & -6 & 3 & 0 \\ -3 & 3 & 0 & 0 \\ 1 & 0 & 0 & 0 \end{pmatrix} \begin{pmatrix} P_0 \\ P_1 \\ P_2 \\ P_3 \end{pmatrix} \quad t \in [0,1] \quad (7.35)$$

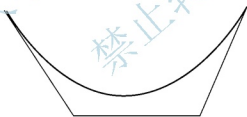


图 7.20 三次 Bezier 曲线

7.4.2 Bezier 曲线的性质

Bezier 曲线的性质有以下几点。

(1) 端点的位置。

Bezier 曲线的起点和终点为 P_0 和 P_n 则:

$$P(0) = P_0, P(1) = P_n \quad (7.36)$$

(2) 端点的切线。

Bezier 曲线 $P(t)$ 在起点 P_0 处与边 $\overline{P_0 P_1}$ 相切, 在终点 P_n 点处与边 $\overline{P_{n-1} P_n}$ 相切, 则:

$$P'(0) = n(P_1 - P_0), P'(1) = n(P_n - P_{n-1}) \quad (7.37)$$

(3) 端点的曲率。

Bezier 曲线 $P(t)$ 在点 P_0 处和 P_n 处的曲率分别为:

$$K(0) = \frac{n-1}{n} \frac{|\overrightarrow{P_0 P_1} \times \overrightarrow{P_1 P_2}|}{|\overrightarrow{P_0 P_1}|^3} \quad K(1) = \frac{n-1}{n} \frac{|\overrightarrow{P_{n-2} P_{n-1}} \times \overrightarrow{P_{n-1} P_n}|}{|\overrightarrow{P_{n-1} P_n}|^3} \quad (7.38)$$

(4) 仿射不变性。

Bezier 曲线具有仿射不变性。其定义如下: 给定 $n+1$ 个点 $P_0, P_1, P_2, \dots, P_n$, 设 $P(t)$ 是由这 $n+1$ 个点构造的 n 次 Bezier 曲线。把 $P(t)$ 经仿射变换后在新的坐标系 $Ox'y'$ 中的曲线记为 $\overline{P}(t)$ 。设 $n+1$ 个数据点经仿射变换后在新坐标系 $Ox'y'$ 中分别为 $\overline{P}_0, \overline{P}_1, \overline{P}_2, \dots, \overline{P}_n$, 由它们构成的 n 次 Bezier 曲线记为 $\overline{P}(t)$, 则根据仿射不变性的含义有 $\overline{P}(t) = \overline{P}(t)$ 。

(5) 凸包性。

点集 $\{P_i | i=0, 1, 2, \dots, n\}$ 的凸包是指包含这些点的最小凸集。由于:

$$\sum_{i=0}^n Q_{i,n}(t) = 1, 0 < Q_{i,n}(t) \leq 1, t \in [0, 1] \quad (7.39)$$

对于某个 t 值 $P(t)$ 是各个控制顶点 P_i 的加权平均, 权因子依次是 $Q_{i,n}(t) (i=0, 1, 2, \dots, n)$, 则 Bezier 曲线 $P(t)$ 位于其控制顶点 $P_0, P_1, P_2, \dots, P_n$ 的凸包之内, 如图 7.21 所示。

(6) 交互能力。

控制多边形 $P_0, P_1, P_2, \dots, P_n$ 大致勾画了 Bezier 曲线 $P(t)$ 的形状, 可以通过改变控制多边形的形状来改变 $P(t)$ 的形状。如图 7.22 所示改变一个点 P_i 后 $P(t)$ 的形状就发生了改变。

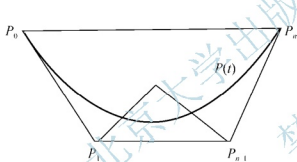


图 7.21 凸包性示意图

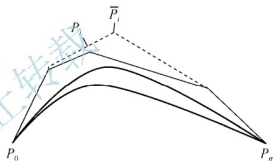


图 7.22 交互性示意图

(7) 变差缩减性。

对于平面 Bezier 曲线 $P(t)$, 平面内任意一条直线与其交点的个数不多于该直线与其控制多边形的交点个数。

7.4.3 Bezier 曲面的定义

给定空间的 $(m+1) \times (n+1)$ 个点 $P_{ij} (i=0, 1, \dots, m; j=0, 1, \dots, n)$, 称以下形式的张量积参数曲面为 $m \times n$ 次的 Bezier 曲面:

$$P(u, w) = \sum_{i=0}^m \sum_{j=0}^n P_{ij} B_{i,m}(u) B_{j,n}(w) \quad u, w \in [0, 1] \quad (7.40)$$

其中, $B_{i,m}(u) = C_m^i u^i (1-u)^{m-i}$, $B_{j,n}(w) = C_n^j w^j (1-w)^{n-j}$ 是 Bernstein 基函数。 P_{ij} 称为控制点, 依次用线段连接各个控制点 $P_{ij} (i=0, 1, \dots, m; j=0, 1, \dots, n)$ 中相邻两点所形成的空间网络称为控制网格, 如图 7.23 所示。

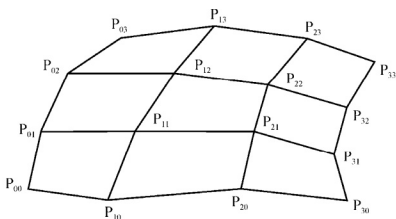


图 7.23 3×3 次 Bezier 曲面的控制网格与控制点

Bezier 曲面的矩阵表达式为

$$P(u, w) = [B_{0,m}(u), B_{1,m}(u), \dots, B_{n,m}(u)] \begin{bmatrix} P_{00} & P_{01} & \dots & P_{0m} \\ P_{10} & P_{11} & \dots & P_{1m} \\ \vdots & \vdots & \ddots & \vdots \\ P_{n0} & P_{n1} & \dots & P_{nm} \end{bmatrix} \begin{bmatrix} B_{0,n}(w) \\ B_{1,n}(w) \\ \vdots \\ B_{m,n}(w) \end{bmatrix} \quad (7.41)$$

当 $m = n = 3$ 时, 上述曲面片称为双三次 Bezier 曲面, 即

$$\begin{aligned} P(u, w) &= \sum_{i=0}^3 \sum_{j=0}^3 P_{ij} B_{i,3}(u) B_{j,3}(w) \\ &= [B_{0,3}(u), B_{1,3}(u), B_{2,3}(u), B_{3,3}(u)] \begin{bmatrix} P_{00} & P_{01} & P_{02} & P_{03} \\ P_{10} & P_{11} & P_{12} & P_{13} \\ P_{20} & P_{21} & P_{22} & P_{23} \\ P_{30} & P_{31} & P_{32} & P_{33} \end{bmatrix} \begin{bmatrix} B_{0,3}(w) \\ B_{1,3}(w) \\ B_{2,3}(w) \\ B_{3,3}(w) \end{bmatrix} \end{aligned} \quad (7.42)$$

其矩阵表示为:

$$P(u, w) = U M_z B_z^T W^T \quad (7.43)$$

其中

$$\begin{aligned} U &= [u^3 \quad u^2 \quad u \quad 1] \\ W &= [w^3 \quad w^2 \quad w \quad 1] \\ M_z &= \begin{bmatrix} 1 & 3 & -3 & 1 \\ 3 & -6 & 3 & 0 \\ -3 & 0 & 3 & 0 \\ 1 & 4 & 1 & 0 \end{bmatrix} \end{aligned}$$

B_z 阵是该曲面特征网格 16 个控制顶点的几何位置矩阵, 其中, P_{00} , P_{03} , P_{30} , P_{33} 在曲面片的角点处, B_z 阵四周的 12 个控制顶点定义了四条 Bezier 曲线, 即为曲面片的边界曲线, B_z 阵中央的四个控制点 P_{11} , P_{12} , P_{21} , P_{22} 与边界曲线无关, 但也影响曲面的形状。

7.4.4 Bezier 曲面的性质

(1) 角点位置。

Bezier 曲面的四个角点分别是其控制网格的四个角点, 即

$$P(0,0) = P_{00}, \quad P(0,1) = P_{0n}, \quad P(1,0) = P_{m0}, \quad P(1,1) = P_{mn}$$

(2) 边界线。

$P(u,w)$ 的四条边界线是 Bezier 曲线, 其表达式分别为

$$\begin{aligned} P(u,0) &= \sum_{i=0}^m P_{i0} B_{i,m}(u) \quad u \in [0,1] \\ P(u,1) &= \sum_{i=0}^m P_{in} B_{i,m}(u) \quad u \in [0,1] \\ P(0,w) &= \sum_{j=0}^n P_{0j} B_{j,n}(w) \quad w \in [0,1] \\ P(1,w) &= \sum_{j=0}^n P_{mj} B_{j,n}(w) \quad w \in [0,1] \end{aligned} \quad (7.44)$$

(3) 角点切平面。

在角点 P_{00} 处, 曲面的 u 向切矢量和 w 向切矢量分别为 $m(P_{10} - P_{00})$ 和 $n(P_{01} - P_{00})$, 从而曲面在该点的切平面即为 P_{00}, P_{10}, P_{01} 三个控制顶点确定的平面。同理, 曲面在另外三个角点处的切平面分别由 $P_{m0}, P_{(m-1)0}, P_{m1}, P_{0n}, P_{1n}, P_{(n-1)n}, P_{mn}, P_{(m-1)n}, P_{m(n-1)}$ 确定。

(4) 角点法矢量。

类似于角点切平面的讨论, 得到曲面在四个角点处的法矢量分别为

$$\begin{aligned} &mn(P_{10} - P_{00}) \times (P_{01} - P_{00}), \quad mn(P_{m0} - P_{(m-1)0}) \times (P_{m1} - P_{m0}), \quad mn(P_{1n} - P_{0n}) \times (P_{0n} - P_{0(n-1)}) \text{ 和} \\ &mn(P_{mn} - P_{(m-1)n}) \times (P_{mn} - P_{m(n-1)}) \end{aligned}$$

(5) 凸包性。

曲面 $P(u,w)$ 包含于其控制顶点 $P_{ij}(i=0,1,\dots,m; j=0,1,\dots,n)$ 的凸包之内。

(6) 平面再生性。

当所有的控制顶点落于一张平面内时, 由凸包性, Bezier 曲面也落于该平面内。

(7) 仿射不变性。

曲面的某些几何性质不随坐标变换而变化, 并且对任一仿射变换, 对曲面作变换等价于对其控制顶点作变换。

(8) 拟局部性。

当修改一个控制顶点时, 曲面上距离它近的点受影响大, 距离它远的点受影响小。

控制网格大致勾画了 Bezier 曲面的形状, 而如上性质确定了控制顶点与曲面的大致关系, 所以要改变曲面的形状, 只需交互调节其控制顶点。

7.5 B 样条曲面

7.5.1 B 样条曲线的定义

1972 年, Gordon、Rie-field 等人拓展了 Bezier 曲线, 用 B 样条基函数代替 Bernstein 基函数, 即形成了 B 样条曲线、曲面。

B 样条曲线的定义如下: 设 $P_0, P_1, P_2, \dots, P_n$ 为给定的 $n+1$ 个空间点, 称公式 7.45 参数曲线为 k 阶($k-1$ 次)B 样条曲线, 点集 $\{P_0, P_1, P_2, \dots, P_n\}$ 称为 $P(t)$ 的控制顶点, 折线 $P_0P_1P_2 \dots P_n$ 为 $P(t)$ 的控制多边形, 如图 7.24 所示。

$$P(t) = \sum_{i=0}^n P_i B_{i,k}(t), \quad t_{k-1} \leq t \leq t_{n+1} \quad (7.45)$$

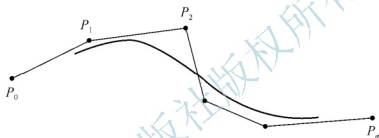


图 7.24 B 样条曲线和控制多边形图

B 样条基函数定义如下: 给定参数 t 轴上的一个分割 $t_i, t_i \leq t_{i+1}, i=0, \pm 1, \pm 2, \dots$, 定义递推关系:

$$B_{i,1}(t) = \begin{cases} 1, & t_i \leq t < t_{i+1} \\ 0, & \text{其他} \end{cases} \quad (7.46)$$

$$B_{i,k}(t) = \frac{t - t_i}{t_{i+k-1} - t_i} B_{i,k-1}(t) + \frac{t_{i+k} - t}{t_{i+k} - t_{i+1}} B_{i+1,k-1}(t), \quad -\infty < t < \infty \quad (7.47)$$

则上述递推关系所定义的 $B_{i,k}(t)$ 为 T 的 k 阶(或 $k-1$ 次)B 样条基函数, 并约定 $0/0=0$ 。此处 $T = \{t_i\}_{i=-\infty}^{+\infty}$ 称为结点向量, t_i 称为结点。当满足

$$t_{j-1} < t_j = t_{j+1} = \dots = t_{j+l-1} < t_{j+l} \quad (7.48)$$

时, 则称上式中除 t_{j-1} 和 t_{j+l} 以外的每一结点为 T 的 l 重结点。

B 样条基函数 $B_{i,k}(t)$ 具有以下性质:

(1) 局部性:

$$B_{i,k}(t) = \begin{cases} > 0, & t_i < t < t_{i+k} \\ = 0, & \text{其他} \end{cases} \quad (7.49)$$

即 $B_{i,k}(t)$ 只在区间 (t_i, t_{i+k}) 中为正, 在其他地方 $B_{i,k}(t)$ 的值均为零($k>1$)。

(2) 权性:

$$\sum_{i=-\infty}^{+\infty} B_{i,k}(t) \equiv 1, \quad -\infty < t < +\infty \quad (7.50)$$

(3) 连续性: 结点每重数增加一次, $B_{i,k}(t)$ 的连续阶就减少一次, 因此, $B_{i,k}(t)$ 在 l 重

结点处的连续阶不低于 $k-l-1$ 阶。

(4) 可微分性:

$$B'_{i,k}(t) = (k-1) \left[\frac{B_{i,k-1}(t)}{t_{i+k-1} - t_i} - \frac{B_{i+1,k-1}(t)}{t_{i+k} - t_{i+1}} \right] \quad (7.51)$$

7.5.2 B 样条曲线的性质

根据 B 样条基函数 $B_{i,k}(t)$ 的性质可以推知 B 样条曲线 $P(t)$ 的以下性质:

(1) 局部调整性。

基函数 $B_{i,k}(t)$ 只在区间 (t_i, t_{i+k}) 上不为零, 所以曲线 $P(t)$ 在区间 (t_i, t_{i+1}) ($k-1 \leq i \leq n$) 上的部分只与控制顶点 $P_{i-k+1}, P_{i-k+2}, \dots, P_i$ 有关。反过来, 如果只变动某一个控制顶点 P_i ($0 \leq i \leq n$), 曲线 $P(t)$ 上只有局部形状发生变化(对应于 $t_i \leq t \leq t_{i+k}$ 的那一段曲线), $P(t)$ 的其他部分均不发生变动。这就为设计曲线时修改某一局部形状的操作带来了很大方便。

(2) 仿射不变性。

B 样条曲线和 Bezier 曲线一样, 也具有仿射不变性, 即曲线 $P(t)$ 的形状和位置与坐标系的选择无关。分段参数多项式 $P(t)$ 在每一区间 $[t_i, t_{i+1}]$ ($k-1 \leq i \leq n$) 上都是次数不高于 $k-1$ 次的参数 t 的多项式曲线, 所以 $P(t)$ 在 $[t_{k-1}, t_{n+1}]$ 上是关于参数 t 的分段多项式曲线。

(3) 连续性。

$P(t)$ 在 l 重结点 t_i ($k \leq i \leq n$) 处的连续阶不低于 $k-l-1$ 。整条曲线 $P(t)$ 的连续阶不低于 $k-l_{\max}-1$, 其中 l_{\max} 表示位于区间 $[t_{k-1}, t_{n+1}]$ 内结点的最大重数。

(4) 凸包性。

曲线 $P(t)$ 在区间 $[t_i, t_{i+1}]$ ($k-1 \leq i \leq n$) 上的部分位于 k 个控制顶点 $P_{i-k+1}, P_{i-k+2}, \dots, P_i$ 的凸包在 C_i 内。整条曲线 $P(t)$ 则位于各凸包 C_i 的并集 $\bigcup_{i=k-1}^n C_i$ 之内。

(5) 保凸性。

当连接 $P_n P_0$ 后, 如果 $P_0 P_1 P_2 \dots P_n$ 形成一个平面凸的比多边形, 则 $P(t)$ 是一条平面凸曲线。B 样条曲线和 Bezier 曲线一样, 也具有保凸性。

(6) 变差缩减性。

设 $P(t)$ 的控制多边形 $P_0 P_1 P_2 \dots P_n$ 是一平面多边形, 则该平面内的任意直线与 $P(t)$ 的交点个数不多于该直线与其控制多边形的交点个数。

(7) 造型的灵活性。

设计曲线时, 有时希望在曲线某一点处形成角点, 或将某一段变成一条直线段, 或要求曲线与某一直线相切。B 样条曲线提供了实现这些要求的手段。它可以灵活地选择控制点的位置和结点 t_i 的重数, 形成许多特殊形状, 以满足设计的要求。例如 B 样条曲线 $P(t)$ 一般不经过 P_0 和 P_n 两点, 如果要使曲线经过 P_0 和 P_n 两点, 只需定义 $t_0 = t_1 = t_2 = \dots = t_{k-1}$ 和 $t_{n+1} = t_{n+2} = \dots = t_{n+k}$ 即可。

(8) 导数曲线。

由 B 样条基函数的导数公式得到 B 样条曲线的导数曲线为一条 $k-1$ 阶(或 $k-2$ 次)B 样条曲线, 如式(7.52)。

$$P(t) = (k-1) \sum_{j=1}^n \frac{P_j - P_{j-1}}{t_{j+k-1} - t_j} B_{j,k-1}(t), \quad t_{k-1} \leq t \leq t_{n+1} \quad (7.52)$$

和 Bezier 曲线一样, 从交互设计的角度看, 可用控制多边形大致勾画 B 样条曲线的形状, 再通过局部修改调节曲线, 使曲线的形状满足设计要求, 因此 B 样条曲线是很适合作为人-机图形交互的一种曲线。

7.5.3 B 样条曲面

基于均匀 B 样条曲线的定义和性质, 可以得到 B 样条曲面的定义: 给定空间 $(m+1) \times (n+1)$ 个点 $P_{ij} (i=0,1,\dots,m; j=0,1,\dots,n)$ 和 u, w 参数轴上的节点向量 $U_{m,k} = \{u_i\}_{i=0}^{m+k}$, $W_{n,h} = \{w_j\}_{j=0}^{n+h}$, 称下面张量积参数曲面为 $k \times h$ 阶 B 样条曲面。

$$P(u, w) = \sum_{i=0}^m \sum_{j=0}^n P_{ij} B_{i,k}(u) B_{j,h}(w), \quad (u, w) \in [u_{k-1}, u_{m+1}] [w_{h-1}, w_{n+1}] \quad (7.53)$$

$B_{i,k}(u) (i=0,1,\dots,m)$ 为定义于 $U_{m,k}$ 上的 k 阶 B 样条基函数; $B_{j,h}(w) (j=0,1,\dots,n)$ 为定义于 $W_{n,h}$ 上的 h 阶 B 样条基函数; P_{ij} 为控制顶点, 所有 P_{ij} 组成的空间网格为控制网格。

当 $U_{m,k}$, $W_{n,h}$ 为均匀节点向量时, 称 $P(u, w)$ 为均匀 B 样条曲面, 否则称其为非均匀 B 样条曲面。

B 样条曲面公式也可写成如下矩阵形式:

$$P_{yz}(u, w) = U_k M_k P_{kh} M_h^T W_h^T, \quad y \in [1, m+2-k], \quad z \in [1, n+2-h], \quad u, w \in [0, 1] \quad (7.54)$$

式(7.46)中 y, z 分别表示在 u, w 参数方向上曲面片的个数。

$$U_k = [u^{k-1}, u^{k-2}, \dots, u, 1], \quad W_h = [w^{h-2}, w^{h-1}, \dots, w, 1]$$

$$P_{kh} = P_{ij}, \quad i \in [y-1, y+k-2], \quad j \in [z-1, z+h-2]$$

P_{kh} 是某一个 B 样条曲面的控制点编号。

B 样条曲面具有局部性、凸凹性、仿射不变性等性质。

下面介绍常用的三次均匀 B 样条曲面的构造。已知曲面的控制点 $P_{ij} (i=0,1,2,3; j=0,1,2,3)$, 参数 u, w 且 $u, w \in [0, 1]$, 则构造双三次 B 样条曲面的步骤如下:

(1) 沿 w (或 u) 向构造 $P_i(w)$ 均匀三次 B 样条曲线 ($i=0,1,2,3$):

$$P_0(w) = [P_{00} \ P_{01} \ P_{02} \ P_{03}] M_B^T W^T, \quad P_1(w) = [P_{10} \ P_{11} \ P_{12} \ P_{13}] M_B^T W^T$$

$$P_2(w) = [P_{20} \ P_{21} \ P_{22} \ P_{23}] M_B^T W^T, \quad P_3(w) = [P_{30} \ P_{31} \ P_{32} \ P_{33}] M_B^T W^T$$

(2) 再沿 u (或 w) 向构造均匀三次 B 样条曲线, 此时可认为顶点沿 $P_i(w)$ 滑动, 每组顶点对应相同的 w , 当 w 值由 0 到 1 连续变化时, 即形成 B 样条曲面, 此时表达式为

$$P(u, w) = U M_B \begin{bmatrix} P_0(w) \\ P_1(w) \\ P_2(w) \\ P_3(w) \end{bmatrix} = U M_B P M_B^T W^T \quad (7.55)$$

$$P = \begin{bmatrix} P_{00} & P_{01} & P_{02} & P_{03} \\ P_{10} & P_{11} & P_{12} & P_{13} \\ P_{20} & P_{21} & P_{22} & P_{23} \\ P_{30} & P_{31} & P_{32} & P_{33} \end{bmatrix}, M_B = \begin{bmatrix} 1 & 3 & -3 & 1 \\ 3 & -6 & 3 & 0 \\ -3 & 0 & 3 & 0 \\ 1 & 4 & 1 & 0 \end{bmatrix} \quad (7.56)$$

双三次 B 样条曲面如图 7.25 所示。

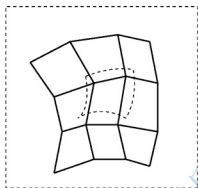


图 7.25 双三次 B 样条曲面

本章小结

本章主要介绍了三维空间中平面物体的表示, 曲面的表示, 孔斯曲面、贝塞尔曲面和 B 样条曲面等。具体内容如下:

- (1) 平面物体的表示, 主要包括多边形表、平面方程、多边形网格。
- (2) 二次曲面是一类常用的表面, 这类表面使用二次方程进行描述, 包括球面、椭球面、环面、抛物面和双曲面。孔斯曲面包括第一类 Coons 曲面和第二类 Coons 曲面。



阅读材料

新华社美国圣何塞 8 月 25 日电。综述: 三维显示技术改变人们生活。

“我们正在迎来一场‘显示革命’”, 首届全球视觉计算展会的举办方——美国英伟达公司的首席执行官黄仁勋 25 日在美国圣何塞举行的展会开幕式上说, 三维显示技术将给社会生活的诸多方面带来深远影响。

黄仁勋在讲演中以谷歌公司的软件“谷歌地球”为例, 这款三维地图软件推出后迅速流行, 随后软件又增添三维街景等功能, 使人们足不出户就能看遍天下。

“谷歌地球”等软件之所以能实现三维显示, 其背后离不开三维图形处理器。近几年迅速兴起的三维图形处理计算技术又被称作视觉计算技术、可视化计算技术。高性能的三维图形处理器目前在很多领域大显身手。

黄仁勋当天还邀请数位嘉宾与他一起演示如何使用三维图形处理技术。德国(RTT)公司首席运营官彼得·史蒂文森说, 该公司的数字原型软件结合了三维图形处理器。他现场展示了在兰博基尼旗下新一代超级跑车 Reventon 的设计过程中, 设计者如何利用这种软件从

三维视角实时掌握跑车结构的每一个细节。

史蒂文森说,这款跑车在全球限量销售,对于大多数人来说,三维模型是体验超级跑车的一条捷径。对于普通汽车的销售使用三维模型也是个好主意,将来人们购车的第一步可以从自家计算机上开始,对不同车型先进行三维体验,缩小选择范围后,再去实地考察。

韩国著名网络游戏公司 Nuri 的有关人士则展示了该公司最新款的在线三维社交平台。在这个平台上,玩家可以拥有体现自己个性的虚拟三维形象和虚拟个人空间,甚至还能给自己扮演的角色搭配服饰,给自己的虚拟空间购置物品,不同玩家之间还能联网相互“串门”,一起活动。

在媒体领域尤其是体育节目制作中,三维图形处理是视觉特效制作的重要工具。美国 Sportvision 公司的首席技术负责人马弗·怀特介绍说,借助三维图形处理器,该公司技术人员可以把球类项目中球的飞行轨迹、落点等叠加到画面上,在赛车比赛转播中,还能通过图形处理器计算出车身四周空气的流体动力学数据,在电视画面中添加赛车快速前进中的空气特效,提高观赏性。

习 题

一、填空题

1. 场景中的三维物体的表示方法通常分为_____和_____两大类。
2. 孔斯曲面是用_____构造曲面片,并通过叠加修正曲面片,产生满足用户需要的曲面。
3. N 次 B 样条曲线具有_____阶参数连续性。
4. B 样条曲线基函数的多项式表示为_____。

二、选择题

1. 下列有关 Bezier 曲线性质的叙述语句中,错误的结论为()。
 - A. Bezier 曲线可用其特征多边形来定义
 - B. Bezier 曲线不一定通过其特征多边形的各个顶点
 - C. Bezier 曲线两端点处的切线方向必须与其特征折线集(多边形)的相应两端线段走向一致
 - D. n 次 Bezier 曲线在端点处的 r 阶导数只与 r 个相邻点有关
2. 下列有关 B 样条曲线性质的叙述语句中,正确的结论为()。
 - A. B 样条曲线具有几何不变性,其形状与坐标系无关
 - B. B 样条曲线具有造型的灵活性,可构造直线段和切线等特殊曲线
 - C. 当移动 B 样条曲线的一个顶点时,必定会对整条 B 样条曲线产生影响
 - D. 一条直线与 n 个顶点控制的 B 样条曲线可有 n 个或更多个交点
3. 在三次 B 样条曲线中,一个控制点至多可以影响几段曲线?()
 - A. 2
 - B. 3
 - C. 4
 - D. 5
4. 下列不属于 Bezier 曲线性质的是()。
 - A. 变差缩减性
 - B. 仿射不变性
 - C. 对称性
 - D. 凸包性

三、判断题

1. Bezier 曲线可做局部调整。 ()
2. B 样条曲线具有变差缩减性。 ()
3. 插值得到的函数严格经过所给定的数据点;逼近是在某种意义上的最佳近似。 ()
4. 显式方程和参数曲线均可以表示封闭曲线或多值曲线。 ()

四、简答题

1. Bezier 曲面的性质有哪些?
2. 用参数方程描述曲线曲面有什么优点?
3. 给定 4 点 $P_0(0,0,0)$ 、 $P_1(1,1,1)$ 、 $P_2(2,-1,-1)$ 和 $P_3(3,0,0)$,用线段连接相邻的 P_i ,并以其为特征多边形构造一条 Beizer 曲线,写出该曲线的参数表达式,并计算参数为 0、1/3、2/3 和 1 的值。

五、上机操作题

1. 对任一确定物体的三维平面集,写一个计算参数 A 、 B 、 C 和 D 的程序。
2. 给定在三维坐标系下的一组控制点的输入,编写一个生成贝塞尔曲面的程序。
3. 给定在三维坐标系下的一组控制点的输入,编写一个生成孔斯曲面的程序。

第8章 真实感图形显示技术

学习目标

- 了解常用的颜色模型、阴影生成的基本原理、颜色纹理和几何纹理等纹理细节的模拟方法;
- 掌握几种常见的颜色模型、光照模型以及阴影的生成技术;
- 掌握线消隐和面消隐的常见算法以及纹理映射的一些基本知识。

知识结构

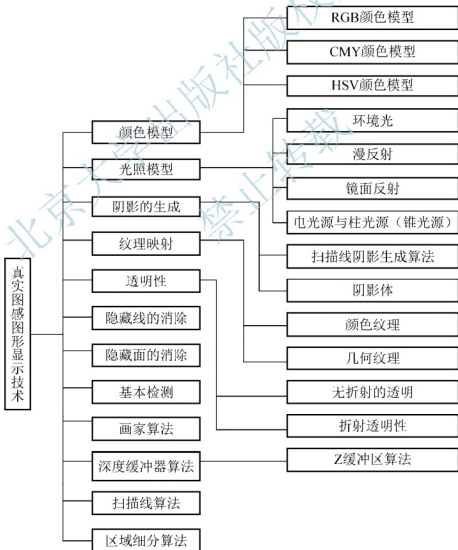


图 8.1 真实感图形技术知识结构图



导入案例

前面章节介绍了表示三维图形的线框图方式, 图上的线条为形体的棱边; 虽然能表现出物体的轮廓, 但是容易产生物体图形显示的多义性。本章将介绍真实感三维图形的表示方式。人眼感觉到的真实感图形既有物体的轮廓形状、表面有明暗色彩的变化, 同时又又可以感觉到物体反射或发射、投射到入眼的光线效果, 从而呈现出一定的质感和纹理效果的物体图形, 如图 8.2 所示。

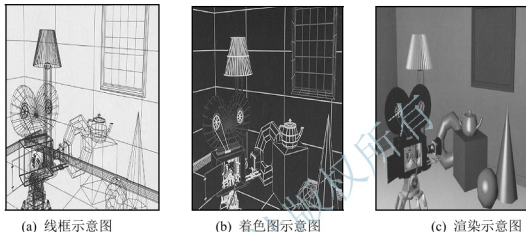


图 8.2 真实感图形处理示意图

本章计算机图形学中真实感绘制包括两部分内容: 物体的精确表示和场景中光照效果的逼真物理描述。实现真实感的图形显示首先要建立精确的物体表示模型, 然后对物体模型进行添加颜色模型、光照模型、阴影生成、颜色纹理和几何纹理等细节的处理, 最后利用消隐图的方式保留形体上看得见的部分, 看不见或被遮挡掉的部分不画出来或用虚线表示来消除物体图形显示的多义性, 从而达到真实感图形的显示效果。

一般说来, 用计算机在图形设备上生成真实感图形必须完成以下四个步骤: 一是建模, 即用一定的数学方法建立所需三维场景的几何描述, 场景的几何描述直接影响图形的复杂性和图形绘制的计算耗费; 二是将三维几何模型经过一定变换转换为二维平面透视投影图; 三是确定场景中所有可见面, 运用隐藏面消隐算法将视域外或被遮挡住的不可见面消去; 四是计算场景中可见面的颜色, 即根据基于光学物理的光照模型计算可见面投射到观察者眼中的光亮度大小和颜色分量, 并将它转换成适合图形设备的颜色值, 从而确定投影画面上每一像素的颜色, 最终生成图形。

8.1 颜色模型

颜色是外来的光刺激作用于人的视觉器官而产生的主观感觉。物体的颜色不仅取决于物体本身, 还与光源、周围环境的颜色, 以及观察者的视觉系统有关。

从心理学和视觉的角度出发, 颜色有如下三个特性: 色调(Hue)、饱和度(Saturation)和亮度(Lightness)。所谓色调, 是一种颜色区别于其他颜色的因素, 也就是我们平常所说的红、

绿、蓝、紫等；饱和度是指颜色的纯度，鲜红色的饱和度高，而粉红色的饱和度低；亮度就是光的强度，是光给人的刺激的强度。与之相对应，从光学和物理学的角度出发，颜色的三个特性分别为主波长(Dominant Wavelength)、纯度(Purity)和明度(Luminance)。主波长是产生颜色光的波长，对应于视觉感知的色调；光的纯度对应于饱和度，而明度就是光的亮度。这是从两个不同方面来描述颜色的特性。

光是人的视觉系统能够感知到的电磁波，它的波长为 $400\sim 700\text{nm}$ ，正是这些电磁波使人产生了红、橙、黄、绿、蓝、紫等的颜色感觉。某种光可以由它的光谱能量分布 $p(\lambda)$ 来表示，其中 λ 是波长，当一束光的各种波长的能量大致相等时，我们称其为白光；若其中各波长的能量分布不均匀，则它是彩色光；若一束光只包含一种波长的能量，而其他波长都为零时，它是单色光。

所谓颜色模型就是指某个三维颜色空间中的一个可见光子集，它包含某个颜色域的所有颜色。例如，RGB 颜色模型就是三维直角坐标颜色系统的一个单位正方体。颜色模型的用途是在某个颜色域内方便的指定颜色，由于每一个颜色域都是可见光的子集，所以任何一个颜色模型都无法包含所有的可见光。大多数的彩色图形显示设备一般都是使用红、绿、蓝三原色，我们的真实感图形学中的主要的颜色模型也是 RGB 模型，但是红、绿、蓝颜色模型用起来不太方便，它与直观的颜色概念如色调、饱和度和亮度等没有直接的联系。因此，在本节中，除了讨论 RGB 颜色模型外，还要介绍常见的 CMY、HSV 等颜色模型。

8.1.1 RGB 颜色模型

RGB 颜色模型通常使用于彩色阴极射线等彩色光栅图形显示设备中，它是我们使用最多最熟悉的颜色模型。它采用三维直角坐标系。红、绿、蓝原色是加性原色，各个原色混合在一起可以产生复合色，如图 8.3 所示。RGB 颜色模型通常采用图 8.4 所示的单位立方体来表示。在正方体的主对角线上，各原色的强度相等，产生由暗到明的白色，也就是不同的灰度值。(0, 0, 0)为黑色，(1, 1, 1)为白色。正方体的其他六个角点分别为红、黄、绿、青、蓝和品红，需要注意的是，RGB 颜色模型所覆盖的颜色域取决于显示设备荧光点的颜色特性，是与硬件相关的。

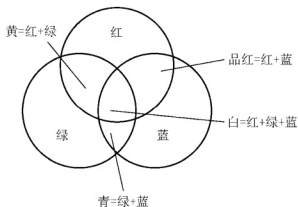


图 8.3 RGB 三原色混合效果

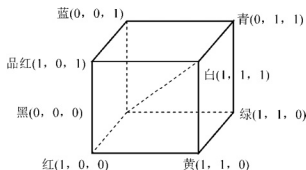


图 8.4 RGB 立方体

8.1.2 CMY 颜色模型

以红、绿、蓝的补色青(Cyan)、品红(Magenta)、黄(Yellow)为原色构成的是 CMY 颜色模型,常用于从白光中滤去某种颜色,又被称为减性原色系统。CMY 颜色模型对应的直角坐标系的子空间与 RGB 颜色模型所对应的子空间几乎完全相同,差别仅仅在于前者的原点为白,而後者的原点为黑。前者是在白色中减去某种颜色来定义一种颜色,而后者是通过从黑色中加入颜色来定义一种颜色。

了解 CMY 颜色模型对于我们认识某些印刷硬拷贝设备的颜色处理很有帮助,因为在印刷行业中,基本上都是使用这种颜色模型。我们简单地介绍一下颜色是如何画到纸张上的。当我们在纸面上涂青色颜料时,该纸面就不反射红光,青色颜料从白光中滤去红光。也就是说,青色使白色减去红色。品红颜色吸收绿色,黄色颜色吸收蓝色。现在假如我们在纸面上涂了黄色和品红色,那么纸面上将呈现红色,因为白光被吸收了蓝光和绿光,只能反射红光了。如果在纸面上涂了黄色,品红和青色,那么所有的红、绿、蓝光都被吸收,表面将呈黑色。有关的结果如图 8.5 所示。

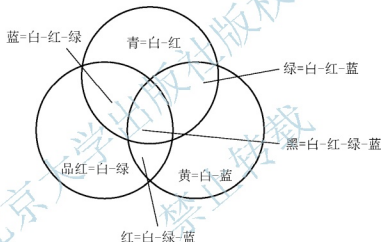


图 8.5 CMY 原色

8.1.3 HSV 颜色模型

RGB 和 CMY 颜色模型都是面向硬件的,相比较而言,HSV(Hue, Saturation, Value)颜色模型是面向用户的。该模型对应于圆柱坐标系的一个圆锥形子集(见图 8.6)。圆锥的顶面对应于 $V=1$,它包含 RGB 模型中的 $R=1$ 、 $G=1$ 、 $B=1$ 三个面,因而代表的颜色较亮。色彩 H 由绕 V 轴的旋转角给定,红色对应于角度 0° ,绿色对应于角度 120° ,蓝色对应于角度 240° 。在 HSV 颜色模型中,每一种颜色和它的补色相差 180° 。饱和度 S 取值从 0 到 1,由圆心向圆周过渡。由于 HSV 颜色模型所代表的颜色域是 CIE 色度图的一个子集,它的最大饱和度的颜色的纯度值并不是 100%。在圆锥的顶点处, $V=0$, H 和 S 无定义,代表黑色,圆锥顶面中心处 $S=0$, $V=1$, H 无定义,代表白色,从该点到原点代表亮度渐暗的白色,即不同灰度的白色。任何 $V=1$ 、 $S=1$ 的颜色都是纯色。

HSV 颜色模型对应于画家配色的方法。画家用改变色浓和色深的方法从某种纯色获得不同色调的颜色。其做法是:在一种纯色中加入白色以改变色浓,加入黑色以改变色深,

同时加入不同比例的白色、黑色即可得到不同色调的颜色。如图 8.7 所示为具有某个固定色彩的颜色三角形表示。

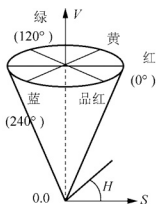


图 8.6 HSV 颜色模型

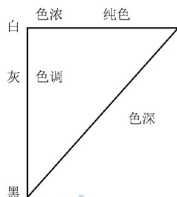


图 8.7 颜色三角形

从 RGB 立方体的白色顶点出发，沿着主对角线向原点方向投影，可以得到一个正六边形，如图 8.8 所示。容易发现，该六边形是 HSV 圆锥顶面的一个真子集。RGB 立方体中所有的顶点在原点，侧面平行于坐标平面的子立方体往上述方向投影，必定为 HSV 圆锥中某个与 V 轴垂直的截面的真子集。因此，可以认为 RGB 空间的主对角线对应于 HSV 空间的 V 轴。这是两个颜色模型之间的一个联系关系。

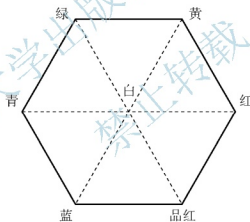


图 8.8 RGB 正六边形

8.2 光照模型

当光照射到一个物体表面上时，会出现三种情形：首先，光可以通过物体表面向空间反射，产生反射光；其次，对于透明体，光可以穿透该物体并从另一端射出，产生透射光；最后，部分光将被物体表面吸收而转换成热。在上述三部分光中，只有透射光和反射光能够进入人眼产生视觉效果。为模拟这一现象，我们建立一些数学模型来替代复杂的物理模型。这些模型就称为明暗效应模型或者光照模型。

物体所表现的颜色与光源有密切的关系。光照模型的作用就是计算物体可见表面上每

个点的颜色与光源的关系,因此它是决定图形真实感的一项重要内容。物体表面发出的光是极其复杂的,它既与环境中光源的数目、形状、位置、光谱组成和光强分布有关,也与物体本身的反射特性和物体表面的朝向有关,甚至还与人眼对光线的生理和心理视觉因素有关。把这一切都通过计算机精确地计算出来是不现实的,我们只能用尽可能精确的数学模型——光照模型来模拟光和物体的相互作用,从而近似地计算物体可见表面每一点的亮度和颜色。

为了使读者对于光照模型有一个感性认识,我们先介绍一下光照模型的早期发展情况。

1967年,Wylie等人第一次在显示物体时加进光照效果。Wylie认为:物体表面上一点的光强与该点到光源的距离成反比。

1970年,Bouknight在Comm. ACM上发表论文,提出了第一个光反射模型,指出物体表面的朝向是确定该物体表面上一点光强的主要因素,用Lambert漫反射定律计算物体表面上各多边形的光强,对光照射不到的地方,用环境光代替。

1971年,Gourand在IEEE Trans. Computers上发表论文,提出了漫反射模型加插值的思想。对多面体模型,用漫反射模型计算多边形顶点的光亮度,再用增量法插值计算。

1975年,Phong在Comm. ACM上发表论文,提出了图形学中第一个有影响的光照模型。Phong模型虽然只是一个经验模型,但是其真实度已达到可以接受的程度。它首次使光源和视点的位置可以任意选定。Phong模型表达式如下:

$$I = I_a K_a + I_i \times K_d \times (N \cdot L) / (r+k) + I_s \times K_s \times (N \cdot H)^n / (r+k) \quad (8.1)$$

其中: $I_a K_a$ 为环境光参数;

I_i 为入射光强;

K_d 为物体表面的漫反射系数;

K_s 为物体表面的镜面反射系数;

N 为物体表面的法向;

L 从物体表面指向光源的向量;

r 光源到物体表面的距离;

H 视线与 L 的平分向量。

Phong模型假设反射光线集中在反射方向(反射角等于入射角的方向)附近,并随着与反射方向夹角的增大,反射光急剧减弱。用Phong模型计算所得的物体像塑料,镜面反射光是光源的颜色,不能反映物体表面的材料特性,而且镜面反射在入射角很大时有失真。这个模型模拟的反射效果不理想,用它生成的图形缺乏质感。后来Blinn、Cook、Torrance等人相继对Phong模型进行了一些修改,使图形的真实感有明显的提高。1982年Cook和Torrance提出了一个基于物理光学的表面反射模型——Cook-Torrance模型,使得模型中反射光的位置和分布与实际情况非常接近,因而用它绘制的图形具有很好的质感。Cook-Torrance模型的表达式如下:

$$I = I_a K_a f + (K_d \times F_0 \times (N \cdot L) + K_s \times D \times F \times G \times (N \cdot V) / C_k) \quad (8.2)$$

其中: $I_a K_a f$ 为环境光参数;

K_d, K_s 为漫反射与镜面反射的比例, $K_s + K_d = 1$;

D 为物体表面的分布函数;

F 是菲涅耳函数, 表示入射角和材料折射率的不同引起的镜面反射率不同;

G 为几何衰减因子, 由微平面相互遮挡。

Cook-Torrance 模型运用了光学中的菲涅耳方程, 此方程在入射光为非偏振光时是非常精确的。利用上述光照模型, 可以计算出场景中各物体每一点的颜色。该颜色只与直接光源、物体的材料及该点的法向量有关, 与它周围的物体还没有建立联系, 这样的光照模型被称为局部光照(Local Illumination)模型。但现实世界里的大多数物体都具有明显的反光特性(因此我们的眼睛才能感觉到它们的存在), 有些物体还具有透明特性, 一个物体的反射光和透射光也会对其他物体产生明显的影响。光线跟踪算法和辐射度算法较好地解决了这方面的问题, 它们被称为全局光照(Global Illumination)模型。其中光线跟踪算法解决了物体之间的镜面反射和透射的影响, 能产生镜像、透明和阴影等效果, 但对漫反射处理不足, 辐射度算法正好解决了这一不足, 它从能量的角度出发, 很好地模拟了物体之间的漫反射。

8.2.1 环境光

环境光是这样一种光线: 它不来自任何特殊方向; 它有光源, 但是被周围的房间或场景多次反射, 最终达到平衡, 以致于变得没有方向, 又称为背景光。被环境光照射的物体表面的各个方向都均等受光, 如图 8.9 所示。



图 8.9 环境光照射下的物体

三维空间中任意一点对环境光的反射光强度可以用公式定量地表示为

$$I_c = K_a I_a \quad (8.3)$$

其中, K_a 是物体对环境光的反射系数, 与物体表面性质有关;

I_a 是入射的环境光的光强, 与环境的明暗度有关。

8.2.2 漫反射

漫反射光是由物体表面的粗糙不平引起的, 它均匀地向各个方向传播, 与视点无关, 如图 8.10 所示。漫反射光在空间均匀分布, 反射光强 I 与入射光的入射角 θ 的余弦成正比, 即

$$I_d = K_d I_p \cos \theta, \quad 0 \leq \theta \leq \frac{\pi}{2} \quad (8.4)$$

其中: K_d 是漫反射系数($0 \sim 1$ 的常数), 与物体表面性质有关;

I_p 是入射光(光源)的光强; θ 是入射光的入射角, 即入射光与物体表面法向量之间的夹角。

设物体表面在照射点 P 处的单位法向量为 N , P 到点光源的单位向量为 L , 则上式可表达为如下的向量形式:

$$I_d = K_d I_p (N \cdot L) \quad (8.5)$$

如果有多个光源, 则可以把各个光源的漫反射光照效果进行叠加, 即

$$I_d = K_d \sum_{i=1}^m I_{pi} (N \cdot L_i) \quad (8.6)$$

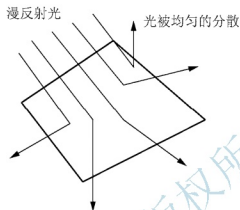


图 8.10 纯散射光源的光照射在物体上

8.2.3 镜面反射

镜面反射跟散射光一样有方向性, 但被强制地反射到另一个特定的方向。高亮度的镜面光往往能在被照射的物体表面上产生称之为亮斑的亮点。图 8.11 显示了物体被纯镜面光源照射的情景。

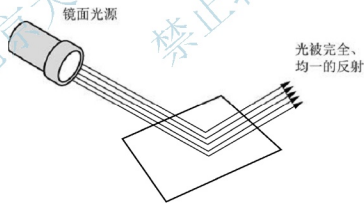


图 8.11 物体被纯镜面光源照射

Phong 提出了一个计算镜面反射光亮度的经验模型, 其计算公式为

$$I_s = I_p K_s \cos^n \alpha \quad (8.7)$$

其中: K_s 是物体表面镜面反射系数, 它与入射角和波长有关;

α 是视线与反射方向的夹角; n 为镜面高光系数, 用来模拟镜面反射光在空间中的汇聚程度, 它是一个反映物体表面光泽度的常数;

$\cos^n \alpha$ 近似地描述了镜面反射光的分布。

V 和 R 分别是观察方向和镜面反射方向的单位矢量, 则可以用点积 $V \cdot R$ 来代替:

$$I_s = I_p K_s (V \cdot R) \quad (8.8)$$

在多个点光源照射下, Phong 镜面反射模型可以写成:

$$I_s = K_s \sum_{i=1}^m I_{pi} (V \cdot R_i)^n \quad (8.9)$$

引入矢量 L 和 V 的半角矢量 H , 得到简化的 Phong 模型:

$$I_s = I_p K_s (N \cdot H)^n \quad (8.10)$$

在多个点光源照射下, 简化的 Phong 模型为:

$$I_s = K_s \sum_{i=1}^m I_{pi} (N \cdot H_i)^n \quad (8.11)$$

8.2.4 点光源与柱光源(锥光源)

点光源是发光体的最简单的模型, 光线从一点出发, 均匀地向四周发散。它是对场景中比物体小得多的光源的合理的近似。离场景足够远的光源, 如太阳, 也可以用点光源来较好地模拟。

柱光源或锥光源是发出的光线有一定方向的光发体, 像手电筒、探照灯等。

8.3 阴影的生成

阴影是现实生活中一种很常见的光照现象, 它是由于光源被物体遮挡而在此物体后面产生的较暗的区域。在真实感图形学中, 通过阴影可以反映出物体之间的相互关系, 增加图形的立体效果和真实感, 如图 8.12 所示。

我们知道, 阴影的区域和形态与光源及物体的形状有很大的关系, 我们只考虑由点光源产生的阴影, 即阴影的本影部分。从原理上讲, 计算阴影的本影部分是十分清楚、简捷的。从阴影的产生原因上看, 有阴影区域的物体表面都无法看见光源, 我们只要把光源作为观察点, 那么就可以很简单地生成阴影区域。下面就来简单地介绍一种阴影生成算法。

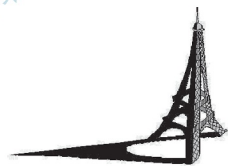


图 8.12 阴影示意

8.3.1 扫描线阴影生成算法

首先, 我们来介绍一下扫描线消隐算法。

观察图 8.13 发现, 多边形 P_1 、 P_2 的边界在投影平面上的投影将一条扫描线划分成若干个区间: $[O, u_1]$, $[u_1, u_2]$, $[u_2, u_3]$, $[u_3, u_4]$, $[u_4, u_{\max}]$, 覆盖每个区间的有 0 个、1 个或多个多边形, 但仅有一个可见。在区间上任取一个像素, 计算该像素处各多边形(投影包含了该像素的多边形)的深度值, 深度值最大者即为可见多边形, 用它的颜色显示整个区间。这就是扫描线消隐算法的基本思想。该算法要求多边形不能相互贯穿, 否则在同一区间上, 多边形深度值的次序会发生变化。如图 8.14 所示, 在区间 $[u_1, u_2]$ 上, 多边形 P_1 的深度值大,

在区间 $[u_3, u_4]$ 上, 多边形 P_2 的深度值大, 而在区间 $[u_2, u_3]$ 上, 两个多边形深度值的次序发生交替。

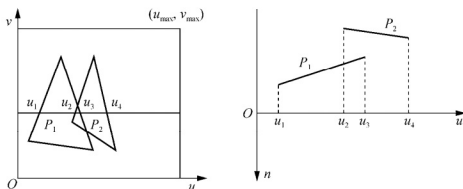


图 8.13 在扫描线的每一个区间上只有一个多边形可见

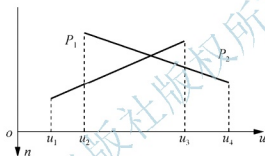


图 8.14 P_1 与 P_2 相互贯穿

本算法的简单描述如下:

for(绘图窗口内的每一条扫描线)

{ 求投影与当前扫描线相交的所有多边形;

求上述多边形中投影与当前扫描线相交的所有边, 将它们记录在活化边表 AEL 中;

求 AEL 中每条边的投影与扫描线的交点;

按交点的 u 坐标将 AEL 中各边从左到右排序, 两两配对组成一个区间;

for(AEL 中每个区间)

{求覆盖该区间的所有多边形, 将它们记入活化多边形表 APL 中;

在区间上任取一点, 计算 APL 中各多边形在该点的深度值, 记深度值最大者为 P ; 用多边形 P 的颜色填充该区间;

}

}

现在, 我们根据自身阴影的产生原理, 归纳出它在图形处理中生成的过程如下:

① 首先将视点置于光源的位置, 以光线照射的方向为观察方向, 对在光照模型下的物体实施扫描线消隐算法, 判别出在光照模型下的物体的“隐藏面”, 并在数据文件中加以标识。

② 然后按实际的视点位置和观察方向, 对物体进行消隐, 生成消隐后的立体图形。

③ 检索数据文件, 核查消隐后的图形中是否包含有光照模型下的“隐藏面”。若有, 则加以阴影符号标识这些面。

8.3.2 阴影体

在物体空间中,按照阴影的定义,若光源照射到的物体表面是不透明的,那么在该表面后面就会形成一个三维的多面体阴影区域,该区域被称为阴影体(Shadow Volume)。实际上,阴影体是一个以被光照面为顶面,表面的边界与光源所照的平面系列为侧面的一个半开三维区域,任何包含于阴影域内的物体表面必然是阴影区域。在我们的透视变换生成图像的过程中,屏幕视域空间常常是一个四棱锥,用这个四棱锥对物体的阴影域进行裁剪,那么裁剪后得到的三维阴影域就会变成封闭多面体,我们称其为阴影域多面体。通过这种方法得到物体的阴影域多面体后,就可以利用它们来确定场景中的阴影区域,对于场景中的物体,只要与这些阴影域多面体进行三维布尔交运算,计算出的交集就可以被定为物体表面的阴影区域。

该算法中涉及大量的复杂三维布尔运算,对于场景中的每一个光源可见面的阴影域多面体都要进行求交运算,算法的计算复杂度是相当可观的。因而这个算法关键是如何有效地判定一个物体表面是否包含在阴影域多面体之内。Crow 于 1977 年提出了这样的算法来生成阴影。他的算法是基于扫描线隐藏面消除算法的。显示的时候,阴影域多面体和普通的物体多边形一起参加扫描和排序,对于每一条扫描线,可以计算出扫描水平面和阴影域多面体及普通的物体多边形的交线,其中阴影域多边形的交线是封闭多边形,而普通物体多边形是一条直线,利用该直线和封闭多边形在光源视线下的相互遮挡关系,可以很方便地确定在该扫描线上物体表面是否是阴影区域。这个阴影生成算法只要在传统的扫描线隐藏面消除算法基础上对扫描线内循环部分稍加改进即可实现,获得了广泛的应用。

8.4 纹理映射

纹理映射(Texture Mapping)的方法运用得很广,尤其在描述具有真实感的物体方面。比如绘制一面砖墙,就可以用一幅真实的砖墙图像或照片作为纹理贴到一个矩形上,这样,一面逼真的砖墙就画好了。如果不用纹理映射的方法,则墙上的每一块砖都必须作为一个独立的多边形来画。另外,纹理映射能够保证在变换多边形时,多边形上的纹理图案也随之变化。例如,以透视投影方式观察墙面时,离视点远的砖块的尺寸就会缩小,而离视点较近的就会大些。此外,纹理映射也常常运用在其他一些领域,如飞行仿真中常把一大片植被的图像映射到一些大多边形上用以表示地面,或用大理石、木材、布匹等自然物质的图像作为纹理映射到多边形上表示相应的物体。

纹理映射有许多种情况。例如,任意一块纹理可以映射到平面或曲面上,且对光亮的物体进行纹理映射,其表面可以映射到周围环境的景象;纹理还可按不同的方式映射到曲面上,一是可以直接画上去(或称移画印花法),二是可以调整曲面颜色或把纹理颜色与曲面颜色混合;纹理不仅可以是二维的,也可以是一维或其他维的。

在本节中,我们将介绍纹理的类型、纹理的定义方法以及纹理映射的一些原理。

考察简单光照模型,我们需要了解,当物体上的一些属性被改变时就可产生纹理的效果。我们先给出简单光照明模型的式子:

$$I = I_a K_a + K_d I_0 (N \cdot L) + K_s I_s (N \cdot H)^n \quad (8.12)$$

通过分析上面的式子及结合前面的介绍,我们可以改变的物体属性有:改变漫反射系数来改变物体的颜色,或者改变物体表面的法向量。通过这些变化,就可以得到纹理的效果。

在真实感图形学中,可以用如下的两种方法来定义纹理。

图像纹理:将二维纹理图案映射到三维物体表面,绘制物体表面上一点时,采用相应的纹理图案中相应点的颜色值。

函数纹理:用数学函数定义简单的二维纹理图案,如方格地毯。或用数学函数定义随机高度场,生成表面粗糙纹理即几何纹理。

在定义了纹理以后,还要处理如何对纹理进行映射的问题。对于二维图像纹理,就是如何建立纹理与三维物体之间的对应关系;而对于几何纹理,就是如何扰动法向量。

纹理一般定义在单位正方形区域($0 \leq u \leq 1, 0 \leq v \leq 1$)之上,称为纹理空间。理论上,定义在此空间上的任何函数都可以作为纹理函数,而在实际上,往往采用一些特殊的函数来模拟生活中常见的纹理。对于纹理空间的定义方法有许多种,下面是常用的几种:

- (1) 用参数曲面的参数域作为纹理空间(二维);
- (2) 用辅助平面、圆柱、球定义纹理空间(二维);
- (3) 用三维直角坐标作为纹理空间(三维)。

8.4.1 颜色纹理

采用纹理映射技术可模拟物体表面精致的不规则的颜色纹理。这种技术是将任意的平面图形或图像覆盖到物体的表面,在物体的表面上形成真实的彩色纹理。计算机图形学中的颜色纹理,可定义为一个光亮度函数。最常用的纹理函数是二维光亮度函数。纹理函数可由一个数学模型定义,也可用一幅平面图像表示。

1. 长峰波纹理函数

常用的纹理模型是长峰波(Long Create Wave)纹理模型。设纹理函数为 $F(u,v)$ 背景光亮度为 I_G , 则长峰波模型定义为一列正弦或余弦函数的和,即

$$\begin{cases} F(u,v) = I_G + \sum A_i \cos(f_i u + g_i v + \theta_i) \\ \theta \leq \theta_i \leq 2\pi \end{cases} \quad (8.13)$$

式中 A_i 为幅值, u 和 v 分别为纹理空间的两个坐标; f_i 和 g_i 分别为 u 和 v 的频率系数; θ_i 为相位角。

如果取 $F(u,v)$ 为两个余弦函数的和,则:

$$F(u,v) = I_G + A_1 \cos(f_1 u + g_1 v + \theta_1) + A_2 \cos(f_2 u + g_2 v + \theta_2) \quad (8.14)$$

在此,若令 $f_1 = g_2 = 1, f_2 = g_1 = 0, \theta_1 = \theta_2 = 0$, 则:

$$f(u,v) = I_G + A_1 \cos(u) + A_2 \cos(v) \quad (8.15)$$

再令 $A_1 = A_2$, 则可得到两个正交余弦波产生的正四边形纹理,如图 8.15 所示。

图中粗实线表示波峰,细实线表示零值,虚线表示波谷。实心点表示局部最大,空心点表示局部最小。

在式(8.13)中,如果取 $i=3$,则 $F(u,v)$ 由三个余弦函数的和组成,产生的纹理为三角形。长峰波模型中的 A_i 是随机变量,用这种模型可产生逼真的自然纹理。

在纹理映射技术中,最常见的纹理是二维纹理。映射将这种纹理变换到三维物体的表面,形成最终的图像。我们给出一个二维纹理的函数表示:

$$g(u, v) = \begin{cases} 0 & [u \times 8] + [v \times 8] \text{ 为奇数} \\ 1 & [u \times 8] + [v \times 8] \text{ 为偶数} \end{cases} \quad (8.16)$$

它的纹理图像模拟国际象棋上黑白相间的方格,如图 8.16 所示。

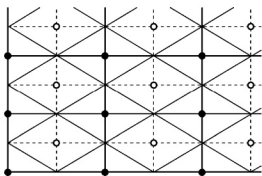


图 8.15 两个正交余弦波产生的正四边形纹理

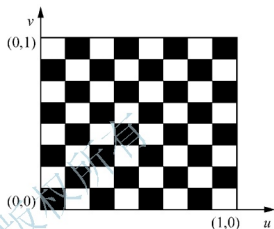


图 8.16 二维纹理示意图

二维纹理还可以用图像来表示,用一个 $m \times n$ 的二维数组存放一幅数字化的图像,用插值法构造纹理函数,然后把该二维图像映射到三维的物体表面上。为了实现这个映射,就要建立物体空间坐标 (x, y, z) 和纹理空间坐标 (u, v) 之间的对应关系,这相当于对物体表面进行参数化,反求出物体表面的参数后,就可以根据 (u, v) 得到该处的纹理值,并用此值取代光照模型中的相应项。

两个经常使用的映射方法是圆柱面映射和球面映射。对于圆柱面纹理映射,由圆柱面的参数方程定义,可以得到纹理映射函数。如果参数方程如式(8.17)所示:

$$\begin{cases} x = \cos(2\pi u) & 0 \leq u \leq 1 \\ y = \sin(2\pi u) & \\ z = v & 0 \leq v \leq 1 \end{cases} \quad (8.17)$$

那么,对给定圆柱面上一点 (x, y, z) , 可以用式(8.18)反求参数:

$$(u, v) = \begin{cases} (y, z) & \text{如果 } x = 0 \\ (x, z) & \text{如果 } y = 0 \\ \left(\frac{\sqrt{x^2 + y^2} - |y|}{x}, z \right) & \text{其他} \end{cases} \quad (8.18)$$

同样地,对于球面纹理映射,由球面参数方程:

$$\begin{cases} x = \cos(2\pi u) \cos(2\pi v) & 0 \leq u \leq 1 \\ y = \sin(2\pi u) \cos(2\pi v) & 0 \leq v \leq 1 \\ z = \sin(2\pi v) & \end{cases} \quad (8.19)$$

对给定球面上一点 (x, y, z) , 可以用下式反求参数:

$$(u, v) \begin{cases} (0, 0) & \text{如果 } (x, y) = (0, 0) \\ \left(\frac{1 - \sqrt{1 - (x^2 + y^2)}}{x^2 + y^2} x, \frac{1 - \sqrt{1 - (x^2 + y^2)}}{x^2 + y^2} y \right) & \text{其他} \end{cases} \quad (8.20)$$

前面介绍的二维纹理域映射对于提高图形的真实感有很大的作用,但是,由于纹理域是二维的,图形场景物体一般是三维的,这样在纹理映射的时候是一种非线性映射,在曲率变化很大的曲面区域就会产生纹理变形,极大地降低了图像的真实感,而且对于二维纹理映射,对于一些非正规拓扑表面,纹理连续性不能保证。假如在三维物体空间中,物体中每一个点 (x, y, z) 均有一个纹理值 $t(x, y, z)$,其值由纹理函数 $t(x, y, z)$ 唯一确定,那么对于物体上的空间点,就可以映射到一个纹理空间上了,而且是三维的纹理函数,这是三维纹理提出来的基本思想。三维纹理映射的纹理空间定义在三维空间上,与物体空间是同维的,在纹理映射的时候,只需把场景中的物体变换到纹理空间的局部坐标系中去即可。

我们以木纹的纹理函数为例来说明三维纹理函数的映射,它是通过空间坐标 (x, y, z) 来计算纹理坐标 (u, v, w) :首先求木材表面上的点到木材中心的半径 $R = \sqrt{u^2 + v^2}$,对半径进行小的扰动,有 $R = R + 2\sin(20\alpha)$,然后对 z 轴进行小弯曲处理, $R = R + 2\sin(20\alpha + w/150)$,最后根据半径 R 用下面的伪码来计算 color 值作为木材表面上点的颜色,就可以得到较真实的木纹纹理。

```
{
    grain = R MOD 60 ; /* 每隔 60 一个木纹 */
    if ( grain < 40 )
        color = 淡色 ;
    else
        color = 深色 ;
}
```

8.4.2 几何纹理

为了给物体表面图像加上一个粗糙的外观,可以对物体的表面几何性质做微小的扰动,来产生凹凸不平的细节效果,就是几何纹理的方法。定义一个纹理函数 $F(u, v)$,对理想光滑表面 $P(u, v)$ 作不规则的位移,具体是:在物体表面上的每一个点 $P(u, v)$,都沿该点处的法向量方向位移 $F(u, v)$ 个单位长度,这样新的表面位置变为

$$\tilde{P}(u, v) = P(u, v) + F(u, v) * N(u, v) \quad (8.21)$$

因此,新表面的法向量可通过对两个偏导数求叉积得到。

$$\begin{aligned} \tilde{N} &= \tilde{P}_u \times \tilde{P}_v \\ \tilde{P}_u &= \frac{d(P + FN)}{du} = P_u + F_u N + F N_u \\ \tilde{P}_v &= \frac{d(P + FN)}{dv} = P_v + F_v N + F N_v \end{aligned} \quad (8.22)$$

由于 F 的值相对于式(8.22)中其他的量很小,可以忽略不计,有

$$\begin{aligned} \tilde{N} &= (P_u + F_u N) \times (P_v + F_v N) \\ &= P_u \times P_v + F_u (N \times P_v) + F_v (P_u \times N) + F_u F_v (N \times N) \end{aligned} \quad (8.23)$$

扰动后的向量单位化用于计算曲面的明暗度,可以产生貌似凹凸不平的几何纹理。 F

的偏导数的计算,可以用中心差分实现。而且几何纹理函数的定义与颜色纹理的定义方法相同,可以用统一的图案纹理记录,图案中较暗的颜色对应于较小的 F 值,较亮的颜色对应于较大的 F 值,把各像素的值用一个二维数组记录下来,用二维纹理映射的方法映射到物体表面上,就可以成为一个几何纹理映射。

8.5 透 明 性

对于透明或半透明的物体,在光线与物体表面相交时,一般会产生反射与折射,经折射后的光线将穿过物体而在该物体的另一个面射出,形成透射光。如果视点在折射光线的方向上,就可以看到透射光。

1980年 Whitted 提出了一个光透射模型: Whitted 模型,并第一次给出光线跟踪算法的范例,实现了 Whitted 模型。1983年, Hall 在此基础上进一步给出 Hall 光透射模型,考虑了漫透射和规则透射光。

8.5.1 无折射的透明

由于透明物体可以透射光,因而可以透过这种材料看到后面的物体,由于光的折射通常会改变光的方向,要在真实感图形学中模拟折射,需要较大的计算量,在 Whitted 和 Hall 提出光透射模型之前,为了能够看到一个透明物体后面的东西,就有一些透明效果模拟的简单方法。

在这类方法中主要的是颜色调和法,该方法不考虑透明体对光的折射以及透明物体本身的厚度,光通过物体表面是不会改变方向的,故可以模拟平面玻璃,隐藏面消除算法可以用于实现模拟这种情况。

设 t 是物体的透明度, $t=0$ 表示物体是不透明体; $t=1$ 表示物体是完全透体。我们可以看到物体后面的背景和其他物体,这些物体的前后位置可以通过隐藏面消除算法计算出来。实际上,我们最终所看到的颜色是物体表面的颜色和透过物体的背景颜色的叠加。如图 8.17 所示,设过像素点 (x,y) 的视线与物体相交处的颜色(或光强)为 I_a , 视线穿过物体与另一物体相交处的颜色(或光强)为 I_b , 则像素点 (x,y) 的颜色(或光强)可由以下颜色调和公式计算:

$$I = tI_b + (1-t)I_a \quad (8.24)$$

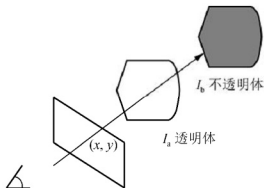


图 8.17 无折射透明

其中, I_a 和 I_b 可由简单光照模型计算。由于未考虑透射光的折射以及透明物体的厚度, 颜色调和法只能模拟玻璃的透明或半透明效果。而在后面介绍的两个光透射模型中, 都从光的折射角度来计算透射光强, 可以很好地模拟光的透射。

8.5.2 折射透明性

1. Whitted 光透射模型

在简单光照模型的基础上, 加上透射光一项, 就得到 Whitted 光透射模型:

$$I = I_a K_a + I_p K_d (L \cdot N) + I_p K_s (H \cdot N)^n + I_t K_t' \quad (8.25)$$

其中, I_t 为折射方向的和射光强度; K_t' 为透射系数, 为 0~1 之间的一个常数, 其大小取决于物体的材料。

如果该透明体又是一个镜面反射体, 应再加上反射光一项, 以模拟镜面反射效果。于是得到 Whitted 整体光照模型:

$$I = I_a K_a + I_p K_d (L \cdot N) + I_p K_s (H \cdot N)^n + I_t K_t' + I_s K_s' \quad (8.26)$$

这里, I_s 为镜面反射方向的入射光强度; K_s' 为镜面反射系数, 为 0~1 之间的一个常数; 其大小同样取决于物体的材料。

需要说明的是, 所谓的折射方向和镜面反射方向都是相对于视线而言的, 它们实际上是视线在折射方向和反射方向的入射光的方向, 但方向与光传播的方向相反。如图 8.18 所示, S 是视线 V 的镜面反射方向, T 是 V 的折射方向。在简单光照模型的情况下, 折射光强和镜面反射光强可以认为是折射方向上和反射方向上的环境光的光强。

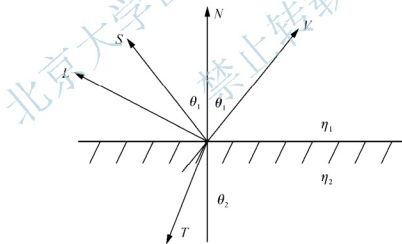


图 8.18 Whitted 光透射模型的几何量

用 Whitted 模型计算光照效果, 剩下的关键问题就是计算反射与折射方向, 即已知视线方向 V , 求其反射方向 S 与折射方向 T 。然后可求出反射与折射方向上与另一物体的交点。关于上面的问题可以用几何光学的原理来解决。

给定视线方向 V 与法线方向 N , 视线方向 V 的反射方向 S 可以由式(8.27)计算:

$$S = 2N(N \cdot V) - V \quad (8.27)$$

那么在给定视线方向 V 与法线方向 N 以后, 如何求 V 的折射方向 T 呢? 首先我们令 V, N, T 均为单位向量, η_1 是视点所在的介质折射率, η_2 为物体的折射率。根据折射定律,

入射角 θ_1 和折射角 θ_2 有如下关系:

$$\frac{\sin \theta_1}{\sin \theta_2} = \frac{\eta_1}{\eta_2} = \eta \quad (8.28)$$

而且 V, N, T 共面。

Whitted 的折射方向计算公式为:

$$T = K_r(N - V) - N \quad (8.29)$$

其中, $K_r = 1/\sqrt{\eta^2|V'|^2 - |N - V'|^2}$; $V' = \frac{V}{N \cdot V}$, 计算所得的 T 为非单位向量。

Heckbert 给出了一个更为简单的计算公式:

$$T = -\frac{1}{\eta}V - \left(\cos \theta_2 - \frac{1}{\eta} \cos \theta_1\right)N \quad (8.30)$$

其中, $\cos \theta_2 = \sqrt{1 - \frac{1}{\eta^2}(1 - \cos^2 \theta_1)}$; $\cos \theta_1 = N \cdot V$ 。

计算所得的 V 为单位向量。

2. Hall 光透射模型

Hall 光透射模型是在 Whitted 光透射模型的基础上推广而来的, 它能够模拟透射高光的效果。实际上, 就是在 Whitted 模型的光强计算中加入光源引起的规则透射分量, 同时还可以处理理想的漫透射。

下面首先介绍该模型是如何处理理想漫透射的。透明体的粗糙表面对透射光的作用表现为漫透射。如毛玻璃表面即为漫透射面。当光线透过这样的表面射出时, 光线将向各个方向散射。对理想漫透射面, 透射光的光强在各个方向均相等。

用 Lambert 余弦定律描述点 P 处的漫透射光的光强为:

$$I_{dt} = I_p \cdot K_{dt} \cdot (-N \cdot L) \quad (8.31)$$

其中, I_p 为入射光的强度, 即点光源的强度; K_{dt} 为物体的漫透射系数, 在 0 与 1 之间; L 为光源方向; N 为面法向。

在上面的基础上, 该模型还处理了规则透射高光现象。对于理想的透明介质, 只有在光线的折射方向才能见到透射光, 其他方向均见不到。对半透明的物体, 视点在透射方向附近也能见到部分透射光, 但强度随视线 V 与光线的折射方向 T 的夹角的增大而急剧减小 (见图 8.19)。这种规则透射光的光强比漫透射光强度高出好多倍, 在折射方向周围形成高光域, 这个高光域的光强要比其周围区域大得多。

Hall 用下面的公式模拟透射高光现象:

$$I_t = I_p \cdot K_t \cdot (T \cdot V)^n \quad (8.32)$$

其中, I_t 规则透射光在视线方向的强度; I_p 为点光源的强度; K_t 为物体的透明系数; n 为反映物体表面光泽的常数。

为减少计算量, 可以和简单光照明模型一样, 作如下假设:

- ① 假定光源在无穷远处, 光线方向 L 为常量;
- ② 视点在无穷远处, 视线方向 V 为常量;
- ③ 用 $(H_t \cdot N)$ 代替 $(T \cdot V)$, 这里 H_t 可以视为一个虚拟的理想透射面的法向, 使视线恰

好为光线的折射方向(见图 8.20)。

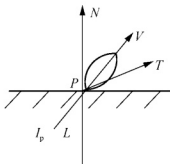


图 8.19 规则透射高光示意图

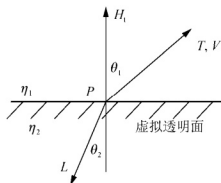


图 8.20 虚拟法向量计算的几何量

在使用 Hall 光透射模型的时候，还需要注意如下几点：

- ① 只有视点与光源在透明物体的两侧时，才能透过透明体看到透射高光。
- ② 光线射入和射出透明体时均会产生折射，我们通常不考虑第一次折射。
- ③ 折射的临界角现象，当光线从高密度介质射向低密度介质，而且入射角大于临界角时，不再发生折射，而产生内部反射，这时的临界角为

$$\theta_c = \arcsin \frac{\eta_2}{\eta_1} = \arcsin \eta \quad (8.33)$$

在处理完了上面的问题以后，剩下的就是 H_1 的求解。

H_1 是当视线为光线的折射方向时的面法向。由折射方向的计算公式，我们可以得到：

$$L = -\frac{1}{\eta}V - \left(\cos \theta_2 - \frac{1}{\eta} \cos \theta_1 \right) H_1 \quad (8.34)$$

这样就有

$$H_1 = \frac{L + \frac{1}{\eta}V}{\cos \theta_2 - \frac{1}{\eta} \cos \theta_1} \quad (8.35)$$

简化并单位化，得

$$H_1 = n(\eta_1 - \eta_2) \frac{\eta_2 L + \eta_1 V}{|\eta_2 L + \eta_1 V|} \quad (8.36)$$

上式的符号由折射率确定， $\eta_1 > \eta_2$ 时， $\theta_1 < \theta_2$ 取正号，否则取负号。

8.6 隐藏线的消除

任何一个空间物体，无论是简单还是复杂，无论是平面还是立体，在空间的任一方向上，都只能看见其中的一部分表面和轮廓线。其中有一部分表面和轮廓线背向观察者，不可见，在计算机图形学中称为隐藏面和隐藏线。因此，在计算机屏幕上显示或绘制三维物体时，不能将其所组成的面和线都画出来，否则难于确定物体的形状和位置，同时也给看图者带来许多困难，只能画出其中可见的部分，消去隐藏线和隐藏面，或者用虚线画出。

为了消去隐藏线,只要把表示三维物体的每一条线(如边界线、轮廓线、交线)与每一个组成物体的不透明面进行遮蔽判断,即是否全部、部分或没有被遮蔽。把不可见线段或部分不可见线段与可见线段或部分可见线段区分开来。最后画出可见线段和线段的可见部分,不画或用虚线画不可见线段和线段的不可见部分,就得到经过消隐处理的线条图。

为了消去隐藏面,则要把每一个组成物体的面(平面或曲面)与每一个不透明面进行遮蔽判断,把可见的或部分可见的与不可见的或部分不可见的区别开来。最后绘出那些可见面或面的可见部分,就得到经过消隐处理的立体图。

消隐处理是计算机绘图中一个引人注意的问题,目前已提出了多种算法。基本上可以分为两大类:一类是隐藏线消除算法,称为隐线算法;另一类是隐藏面消除算法,称为隐面算法。不管是隐线算法还是隐面算法,它们执行的空间分为如下情况:一是算法在描述物体的坐标系空间中进行,这样的算法又叫做物体空间算法或用户空间算法;二是算法在图像空间中进行,这样的算法叫做图像空间算法或屏幕空间算法;三是算法同时在物体空间和图像空间中实现,如 8.7 节将要介绍的画家算法。物体空间算法,顾名思义,是指物体在其所在空间进行消隐计算。它着重分析物体之间在空间的几何关系,确定哪些部分可见,哪些部分不可见。这需运用多种几何计算以达到尽可能高的精度。图像空间算法是指在形体成像空间(即显示形体画面的屏幕空间)进行消隐计算。它集中于从最后形成的图像来确定每个光栅像素的可见性,因此算法的精度与光栅显示屏幕的分辨率有关。

平面体是由多个平面多边形构成的立体,一般分为凸多面体和凹多面体。凸多面体具备这样一个性质:连接形体上不同表面的任意两点的线段完全位于形体的内部。凸多面体由多个平面凸多边形组成,它的多边形表面要么完全可见,要么完全不可见。无论从哪一个方向去观察凸多面体,都不会发生表面上一部分可见而另一部分不可见的情形,即各朝前表面多边形的投影不发生互相重叠现象。而凹多面体不具备这种性质,其上有些表面存在着部分可见而部分不可见。因此凹多面体的消隐要比凸多面体的消隐复杂得多,要做大量的比较判断和求交工作。

在消隐问题中,凸多面体是最简单和最基本的情况,其消隐算法的关键是测试其上哪些表面是可见的,哪些表面是不可见的。

利用表面外法线方向可测试物体表面的可见性。平面立体各表面多边形所在平面均有其法线。在此规定法线的方向由物体表面指向外部空间,将其称为外法线。多边形平面的外法线矢量可由其上任意相交且不重合的两线段矢量的乘积计算得出。在计算外法线矢量时,要注意线段端点的顺序,例如,在图 8.21 所示的三棱柱中,其上各表面的外法线矢量的计算公式为:

- ① 面 $ABED$ 的外法线矢量 $N=AB \times BE$ 或 $N=AB \times AD$;
- ② 面 $BCFE$ 的外法线矢量 $N=BC \times CF$;
- ③ 面 $ADFC$ 的外法线矢量 $N=AD \times DF$;
- ④ 面 $\triangle DEF$ 的外法线矢量 $N=DE \times EF$;
- ⑤ 面 $\triangle ACB$ 的外法线矢量 $N=AC \times CB$ 。

其中,面 $\triangle DEF$,与面 $\triangle ACB$ 的外法线方向刚好相反。

当已知各顶点的三维坐标时,则可求出各表面的外法线矢量。如表面 $ABED$ 的外法线矢量的计算公式为:

$$N = AB \times BE = \begin{vmatrix} i & j & k \\ x_B - x_A & y_B - y_A & z_B - z_A \\ x_E - x_B & y_E - y_B & z_E - z_B \end{vmatrix} \quad (8.37)$$

根据式(8.37)可求出表面外法线矢量 N 的分量:

$$N = N_x i + N_y j + N_z k \quad (8.38)$$

表面上任一点到视点所形成的向量用 S 来表示, 即视线向量:

$$S = S_x i + S_y j + S_z k \quad (8.39)$$

同一个表面各点的视线向量是有差异的。在实际过程中, 可假设观察者处于很远的位置, 此时, 视线向量相互平行, 即表面各点的视线向量均具有同一方向。

例如, 在图 8.21 所示的空间坐标系中, 设定视线向量 S 平行于 y 轴, 此时有: $S = \{0, 1, 0\}$ 。

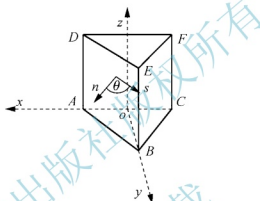


图 8.21 三棱柱

表面的外法线向量 N 和视线向量 S 之间的夹角 θ 的大小可反映该法线所在表面的方位情况, 由此可判断该表面的可见性。下面以图 8.21 中所示的三棱柱为例来说明 θ 角的大小和表面可见性的关系。

① 当 $0 \leq \theta \leq 90^\circ$ 时, 即 $\cos \theta > 0$, 表面面向观察者, 这样的面称为朝前面, 即为可见表面, 如图 8.21 中的面 $DABED$ 和面 $BCFE$ 。

② 当 $\theta = 90^\circ$ 时, 即 $\cos \theta = 0$, 表面法向量与视线垂直, 表面与视线(或投影线)平行, 即表面垂直于画面(投影面), 在画面上的投影积聚成一条直线段, 也即表面处于可见与不可见的临界状态, 如图 8.21 中的 $\triangle ACB$ 和 $\triangle DEF$ 。

③ 当 $90^\circ \leq \theta \leq 180^\circ$ 时, 则 $\cos \theta < 0$, 表面背向观察者, 这样的面称为背后面, 观察者看不见此表面, 即为不可见表面, 如图 8.21 中的面 $ADFC$ 。

已知表面的外法线矢量 N 和观察者的视线向量(或投影方向) S , 利用下式可求出 $\cos \theta$ 值或 θ 角的大小:

$$NS = |N| \cdot |S| \cos \theta \quad (8.40)$$

即有

$$\cos \theta = \frac{N \cdot S}{|N| \cdot |S|} \quad (8.41)$$

显然, θ 角的确切数值并不重要, 关键是要知道 θ 角是否大于或小于或等于 90° , 即

$\cos \theta$ 的值是否大于或小于或等于 0。也就是说, 根据 $\cos \theta$ 的正负号可判定 θ 角的大小范围, 若 $\cos \theta$ 大于 0, 则知 $\theta < 90^\circ$, 否则 $\theta > 90^\circ$ 。

$\cos \theta$ 大于 0, 表示表面可见; $\cos \theta$ 小于 0, 则表示表面不可见; 而 $\cos \theta = 0$, 表面处于可见区与不可见的临界状态, 可以将其视为可见面, 也可视为不可见面。

由于 $|N|$ 和 $|S|$ 恒为正值, 故 $\cos \theta$ 的正负由计算式 $N \cdot S$ 的值的符号来决定, 将式(8.40)和式(8.41)代入: $N \cdot S = N_x \cdot S_x + N_y \cdot S_y + N_z \cdot S_z$, 有:

$$N \cdot S = N_x \cdot S_x + N_y \cdot S_y + N_z \cdot S_z \quad (8.42)$$

特别地, 当 $S = \{0, 1, 0\}$ 时, 有:

$$N \cdot S = N_y \quad (8.43)$$

也就是说, 当视线(或投影方向)平行于 y 轴(深度方向)时, 表面法向量在深度坐标轴 y 上的投影决定表面的可见性。如在图 8.21 中, $ABED$ 表面的外法线在 y 轴上的投影和 y 轴的正方向是一致的, 即其 $N_y > 0$, 所以 $ABED$ 表面可见; 而表面 $ADFC$ 的外法线在 y 轴上的投影指向 y 轴的负方向, 即其 $N_y < 0$, 显然表面 $ADFC$ 不可见。

利用立体表面外法线的方向可判断物体表面的可见性, 从而对物体作消隐处理, 这种方法对凸多面体的消隐处理特别简单有效, 对某些处在一定方向及角度范围内的形体也适用, 但其应用范围受到限制。根据外法线方向对物体进行消隐处理的一般步骤为:

- ① 求表面的外法线向量 N ;
- ② 计算外法线向量 N 与视线向量 S 的夹角 θ 的余弦值 $\cos \theta$ 或其符号;
- ③ 根据 $\cos \theta$ 值的符号判断表面的可见性;
- ④ 表面可见时, 画出其平面多边形; 不可见时, 不画出, 处理下一个表面, 直至最后一个表面。

下面以一个具体的凸多面体为例, 介绍凸多面体消隐处理的方法和算法程序。

如图 8.22 所示, 建立该凸多面体的数据结构, 用一个顶点表(见表 8-1)和一个按逆时针方向排序的面表(见表 8-2), 这两个表在程序中均可用二维数组来存储。

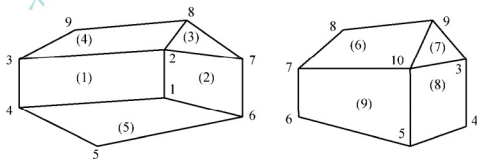


图 8.22 一个凸多面体

消隐处理的 C++ 语言算法程序如下:

```
#include<graphics.h>
#include<math.h>
#define Scale 1.35
#define MaxSt 50
#define MaxFc 30
```

```
#define MaxAt 10
enum {Perspective, Parallel} Projection;//选择投影类型
enum {False, True} Dot;
```

float Rol, Theta, Phi, DE; //视点在用户坐标系中的球坐标变量, DE为视距 float Aux1, Aux2, Aux3, Aux4, Aux5, Aux6, Aux7, Aux8; //存储正余弦值全局变量 float XObs, YObs, ZObs, XProj, YProj, S。

表 8-1 顶点表

	1	2	3	4	5	6	7	8	9	10
x	2	2	2	2	-2	-2	0	0	0	-2
y	2.7	2.7	-2.7	-2.7	-2.7	2.7	2.7	1.7	-1.7	-27
z	-2	0	0	-2	-2	-2	0	2	2	0

表 8-2 面表

表面号	1	2	3	4	5	6	7	8	9
边数	4	4	3	4	4	4	3	4	4
顶点号	1	1	2	2	1	7	3	10	5
	2	4	7	8	4	10	9	5	10
	3	7	8	9	5	9	10	4	7
	4	2		3	6	8		3	6

```
float O1, O2, O3; //存放视点位置
float v1, v2, v3, n1, n2, n3; //存放表面法向量和观察方向矢量
float St[MaxSt][3]; //存放顶点坐标
int Fc[MaxFc][MaxAt+1]; //存放面表数据
int XScreen, YScreen, MaxX, MaxY, F, NF;
void InitProject() //投影变换矩阵中的正弦, 余弦值及其乘积的计算
{
    float Th, Ph;
    Th=3.1415926*Theta //80
    Ph=3.1415926*Phi/180;
    Aux1=sin(Th);
    Aux2=sin(Ph);
    Aux3=cos(Th);
    Aux4=cos(Ph);
    Aux5=Aux3*Aux2;
    Aux6=Aux1*Aux2;
    Aux7=Aux3*Aux4;
    Aux8=Aux1*Aux4;
}
Void Project(float X, float Y, float Z) //求点的投影坐标值
{
    XObs= -X*Aux1+Y*Aux3;
```

```

YObs= -X*Aux5-Y*Aux6+Z*Aux4;
if (Projection==Perspective)
{
    ZObs=-X*Aux7-Y*Aux8-Z*Aux2+R01;
    XProj=DE*XObs/ZObs;
    YProj=DE*YObs/ZObs;
}
else
{
    XProj=S*XObs;    /*SZoom*/
    YProj=S*YObs;
}
}

void WLineTo(float X, float Y, float Z)    //用三维点坐标值从当前点画线到指定点
{
    Project(X, Y, Z);
    XScreen=floor(0.5+XProj*Scale+MaxX/2);
    YScreen=floor(0.5+MaxY/2-YProj);
    lineto(XScreen, YScreen);
}

void WMoveTo(float X, float Y, float Z)    //三维坐标下把当前点移动到指定点
{
    Project(X, Y, Z);
    XScreen=floor(0.5+XProj*Scale+MaxX/2);
    YScreen=floor(0.5+MaxY/2-YProj);
    moveto(XScreen, YScreen);
}

void NormalVector(int St0, int St2, int St3)//用面表面的三个顶点求该点的法矢
/* St-i is the i-th point of a face.* /
{
    float P1, P2, P3, Q1, Q2, Q3;
    P1=St[St2][1]-St[St1][1];
    P2=St[St2][2]-St[St1][2];
    P3=St[St2][3]-St[St1][3];
    Q1=St[St3][1]-St[St1][1];
    Q2=St[St3][2]-St[St1][2];
    Q3=St[St3][3]-St[St1][3];
    n1=P2*Q3-Q2*P3;
    n2=P3*Q1-Q3*P1;
    n3=P1*Q2-Q1 *P2;
}

float ScaleProduct(float v1, float v2, float v3, float n1, float n2, float
n3)
//求观察方向矢量与表面法矢的数量积
{
    float SProduct;

```

```

    SProduct=v1*n1+v2*n2+v3*n3;
    return (S Product);
}

void DrawFace()                                     //画出立体上的平面
{
    int S, NS, No;
    float X, Y, Z, X0, Y0, Z0;
    NS=Fc[F][0];
    for(S=1 ;S<=NS;S++)
    {
        No=Fc[F][S];
        X=St[No][1];
        Y=St[No][2];
        Z=St[No][3];
        if(S==1)
        {
            WMoveTo(X, Y, Z);
            X0=X;
            Y0=Y;
            Z0=Z;
        }
        else WLineTo(X, Y, Z);
    }
    WLineTo(X0, Y0, Z0);
}

void DrawObject()                                   //绘出消隐立体图
{
    int St1, St2, St3;
    for(F=1;F<=NF; F++)
    {
        St1=Fc[F][1];St2=Fc[F][2]; St3=Fc[F][3];
        v1=O1-St[St1][1];
        v2=O2-St[St1][2];
        v2=O3-St[St1][3];
        Normal Vector(St1, St2, St3);
        if(ScaleProduct(v1, v2, v3, n1, n2, n3)>0)
        {
            setlinestyle(SOLID_LINE, 0, NORM__ WIDTH);
            DrawFaceQ;
        }
        else if(Dot==True)
        {
            setlinestyle(DOTTED__LINE, 0, NORM__ WIDTH);
            DrawFace();
        }
        else;
    }
}

```

```

}
void main()
{
    int ErrorCode, GraphDriver, GraphMode;
    GraphDriver=0;
    initgraph(&GraphDriver, &GraphMode, "");
    MaxX=getmaxx();
    MaxY=getmaxy();
    setcolor(15);
    setviewport(0, 0, MaxX, MaxY, 1);
    St[1][1]=40;St[1][2]=54;St[1][3]=-40;
    St[2][1]=40;St[2][2]=54;St[2][3]=0;
    St[3][1]=40;St[3][2]=-54;St[3][3]=0;
    St[4][1]=40;St[4][2]=-54;St[4][3]=-40;
    St[5][1]=-40;St[5][2]=-54;St[5][3]=-40;
    St[6][1]=-40;St[6][2]=54;St[6][3]=-40;
    St[7][1]=-40;St[7][2]=54;St[7][3]=0;
    St[8][1]=0;St[8][2]=34;St[8][3]=40;
    St[9][1]=0;St[9][2]=-34;St[9][3]=40;
    St[10][1]=-40;St[10][2]=-54;St[10][3]=0;
    NF=9;
    Fc[1][0]=4;Fc[1][1]=1;Fc[1][2]=2;Fc[1][3]=3;Fc[1][4]=4;
    Fc[2][0]=4;Fc[2][1]=1;Fc[2][2]=6;Fc[2][3]=7;Fc[2][4]=2;
    Fc[3][0]=3;Fc[3][1]=2;Fc[3][2]=7;Fc[3][3]=8;
    Fc[4][0]=4;Fc[4][1]=2;Fc[4][2]=8;Fc[4][3]=9;Fc[4][4]=3;
    Fc[5][0]=4;Fc[5][1]=1;Fc[5][2]=4;Fc[5][3]=5;Fc[5][4]=6;
    Fc[6][0]=4;Fc[6][1]=7;Fc[6][2]=10;Fc[6][3]=9;Fc[6][4]=8;
    Fc[7][0]=3;Fc[7][1]=3;Fc[7][2]=9;Fc[7][3]=10;
    Fc[8][0]=4;Fc[8][1]=10;Fc[8][2]=5;Fc[8][3]=4;Fc[8][4]=3;
    Fc[9][0]=4;Fc[9][1]=5;Fc[9][2]=10;Fc[9][3]=7;Fc[9][4]=6;
    Projection=Perspective;
    S=1;
    Rot=800.0;
    Theta=-215;
    Phi=30;
    DE=1000;
    Dot=True;
    InitProject();
    O1=Rot*Aux7
    O2=Rot*Aux8;
    O3=Rot*Aux2;
    DrawObject();
    getch();
    closegraph();
}

```

程序运行后所输出的图形如图 8.23 所示, 未作消隐处理的输出图形如图 8.24 所示。上

述程序特别适合于凸多面体的消隐处理,无论凸多面体多么复杂,只需按规定的数据结构形式正确输入数据,均能作消隐处理,是凸多面体消隐处理的通用程序。

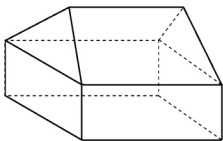


图 8.23 消隐图

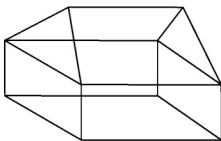


图 8.24 未消隐的线框图

此外还有凹多面体的消隐处理。凹多面体的消隐比凸多面体的消隐复杂,因为凹多面体的朝前面并不是完全可见的,存在着相互遮挡问题。如果一个朝前面被另一个朝前面完全遮挡,则这个朝面显然不可见,如果被遮挡住一部分,则遮挡处不可见,未遮住的另一部分还要继续与其他朝前面比较,以确定其最终可见的部分。因此,凹多面体表面的可见性分为如下三种:①完全可见;②完全不可见;③部分可见部分不可见。第②种情形较为简单,①和③情形要做大量的测试、比较等复杂的数学运算工作。其消隐过程一般分为如下三步:

(1) 首先求出平面体各表面的外法线方向,即 $\cos \theta$ 值,将其所有的构成表面分为潜在可见面即朝前面($\cos \theta > 0$)和不可见面($\cos \theta < 0$)两类。为方便起见,在此将 $\cos \theta = 0$ 的表面,即在投影面上有积聚性投影的表面划入到不可见面之列,以减轻计算工作量。保留潜在可见面,排除不可见面,此后只有潜在可见面才参与隐藏关系的计算。

(2) 对潜在的可见面进行深度测试和遮挡关系的判定计算,其过程可简述为:依次提取当前潜在可见面的每一条边框线段,检查其是否被其他的潜在可见面挡住了或挡住了线段上的哪些部位——子段。在这一检查过程中,要进行大量的包含性检验工作,检验边框线段的投影是否位于其余潜在可见面的投影区域内。此后还需进行深度测试,考察线段和表面的前后深度关系。有时还要进行求交运算,精确计算投影线段与投影区域边界线的交点,确定可见子段和不可见子段。同一条边框线段可能被多个潜在的可见表面所遮挡,从而使同一条线段具有多个可见子段和不可见子段。

(3) 绘制可见线段及潜在可见线段的最终可见子段,输出图形。经过包含性检验和深度测试后,潜在可见面的每一条边框线段的可见性情况分为三种情形:

- ① 完全可见,没有被潜在可见面遮挡;
- ② 部分可见,即具有可见子段,经过与其他潜在可见面逐一检查后,当前线段上只有所有表面都未挡住的部位才是最终的可见子段,最终输出的是最终被确定为可见的子段;
- ③ 完全不可见,即线段被可见表面完全遮挡住了。以面为单位,逐一调出各表面各条边框线段,与其他潜在可见面进行逐个比较和隐藏关系的计算,确定其可见部分,画出可见线段及可见子段,从而实现凹面体的消隐处理。

由以上消隐过程可知,凹面体的消隐方法是一种逐线消除方法,其消除过程也将凸面体的消隐处理方法包含其内,因此,对任意平面体都适用,是一个通用的平面体消隐算法。其程序代码较长,在此省略。

8.7 隐藏面的消除

用线框图来表达形体,显得过于原始和单调。人们希望能得到色彩丰富和逼真的图形,这就首先要从线框图发展到面图,即用不同的颜色或灰度来表示立体的各表面。于是也就引出了对隐藏面消去算法的研究。

任何消隐算法绘图都要进行可见性检测,检测中还要用到各种几何计算。在本节中讨论画家算法及相关内容。

8.7.1 基本检测

1. 深度检测

在物体的元素到视点的距离深度上,如果平面多边形元素 P 的最近顶点离视点的距离 $Z_{\min}(P)$ 比平面多边形元素 Q 的最远顶点离视点的距离 $Z_{\max}(Q)$ 还远,即 $Z_{\max}(Q) < Z_{\min}(P)$,则 P 不遮挡 Q 。深度检测主要判断平面与平面(或直线段)之间的前后关系。它是物体上后面元素不遮挡前面元素的算法表示。

2. 包围盒检测

对一个平面多边形分别找出其 x, y 方向上的最大值和最小值,用它们作为顶点画出一个矩形,此矩形叫做该平面多边形的包围盒。设平面多边形 P 在 x 方向上的最小值为 p_1 ,最大值为 p_2 。平面多边形 Q 在 x 方向上的最小值为 q_1 ,最大值为 q_2 。如果 $p_2 > q_2$ 且 $p_1 > q_1$,那么 P 和 Q 的包围盒在 x 方向分离;或者若 $q_2 > p_2$ 且 $q_1 > p_1$,则 P 和 Q 的包围盒在 y 方向分离,否则相互重叠。同样,只要将 x 改成 y ,就可得到 P 和 Q 的包围盒在 y 方向分离的判断条件。

3. 平面多边形位置检测

已知一平面,其方程为:

$$Ax + By + Cz + D = 0 \quad (A, B, C, D \text{ 为常数}) \quad (8.44)$$

设有一平面:

$$Ax + By + Cz + D = F \quad (8.45)$$

显然这两个平面平行,因为变量的系数相同,即两平面的法向量相同,所以两平面平行。

当 $F > 0$ 时,式(8.45)平面位于式(8.44)平面的三个坐标轴正向一侧;

当 $F < 0$ 时,式(8.45)平面位于式(8.44)平面的三个坐标轴负向一侧。

于是得到: $Ax + By + Cz > 0$ 位于 $Ax + By + Cz = 0$ 的坐标轴正向一侧;而 $Ax + By + Cz < 0$ 位于 $Ax + By + Cz = 0$ 的坐标轴负向一侧。

设视点位于 z 轴负向的无穷远处,平面多边形 P 的方程为:

$$Ax + By + Cz = 0 \quad (8.46)$$

若对于平面多边形 Q 的任一顶点 (x_q, y_q, z_q) 均有: $Ax_q + By_q + Cz_q < 0$,则 Q 全部位于 P 所在平面的靠近视点的一侧。反之 $Ax_q + By_q + Cz_q + D > 0$,则 Q 全部位于 P 所在平面的背离视点的一侧。设平面多边形 Q 的方程为:

$$Ax + By + Cz + D = 0 \quad (8.47)$$

则 P 全部位于 Q 所在平面的背离视点的一侧。

若有: $Ax_q + By_q + Cz_q + D < 0$, 则 P 全部位于 Q 所在平面的靠近视点的一侧。

4. 几何计算

1) 多边形所在平面方程

一个多边形至少有三个顶点, 因此对一多边形可任取它的三个顶点, 设其坐标分别为 (x_1, y_1, z_1) 、 (x_2, y_2, z_2) 和 (x_3, y_3, z_3) 。由平面方程三点式可得

$$\begin{vmatrix} x & y & z & 1 \\ x_1 & y_1 & z_1 & 1 \\ x_2 & y_2 & z_2 & 1 \\ x_3 & y_3 & z_3 & 1 \end{vmatrix} = 0 \quad (8.48)$$

即:

$$x \begin{vmatrix} y_1 & z_1 & 1 \\ y_2 & z_2 & 1 \\ y_3 & z_3 & 1 \end{vmatrix} - y \begin{vmatrix} x_1 & z_1 & 1 \\ x_2 & z_2 & 1 \\ x_3 & z_3 & 1 \end{vmatrix} + z \begin{vmatrix} x_1 & y_1 & 1 \\ x_2 & y_2 & 1 \\ x_3 & y_3 & 1 \end{vmatrix} - \begin{vmatrix} x_1 & y_1 & z_1 \\ x_2 & y_2 & z_2 \\ x_3 & y_3 & z_3 \end{vmatrix} = 0 \quad (8.49)$$

$$\begin{aligned} & x[y_1(z_2 - z_3) - y_2(z_1 - z_3) + y_3(z_1 - z_2)] - \\ & y[x_1(z_2 - z_3) - x_2(z_1 - z_3) + x_3(z_1 - z_2)] + \\ & z[x_1(y_2 - y_3) - x_2(y_1 - y_3) + x_3(y_1 - y_2)] - x_1(y_2 \cdot z_3 - y_3 \cdot z_2) + \\ & x_2(y_1 \cdot z_3 - y_3 \cdot z_1) - x_3(y_1 \cdot z_2 - y_2 \cdot z_1) = 0 \end{aligned} \quad (8.50)$$

此式(8.50)就是多边形所在平面的方程。

设该平面方程为: $Ax + By + Cz + D = 0$, 则有:

$$\begin{aligned} A &= y_1(z_2 - z_3) - y_2(z_1 - z_3) + y_3(z_1 - z_2) \\ B &= -x_1(z_2 - z_3) + x_2(z_1 - z_3) - x_3(z_1 - z_2) \\ C &= x_1(y_2 - y_3) - x_2(y_1 - y_3) + x_3(y_1 - y_2) \\ D &= x_1(y_2 z_3 - y_3 z_2) - x_2(y_1 z_3 - y_3 z_1) + x_3(y_1 z_2 - y_2 z_1) \end{aligned} \quad (8.51)$$

这样求多边形所在平面方程就很方便, 只要将多边形任意三顶点的坐标值代入方程系数 A 、 B 、 C 、 D 的计算公式, 求出其值, 从而即得多边形所在平面的方程。

2) 平面多边形与直线段交点

设直线段两端点坐标为 (x_1, y_1, z_1) 和 (x_2, y_2, z_2) , 由直线方程两点式得:

$$\frac{x - x_1}{x_2 - x_1} = \frac{y - y_1}{y_2 - y_1} = \frac{z - z_1}{z_2 - z_1}$$

令:

$$\frac{x - x_1}{x_2 - x_1} = \frac{y - y_1}{y_2 - y_1} = \frac{z - z_1}{z_2 - z_1} = v$$

于是有:

$$\begin{aligned}x &= x_1 + v(x_2 - x_1) \\y &= y_1 + v(y_2 - y_1) \\z &= z_1 + v(z_2 - z_1)\end{aligned}$$

这就是直线的参数方程, 参数变量 $v \in [0, 1]$, 或由端点的顺序决定。

已知平面多边形的平面方程为:

$$Ax + By + Cz + D = 0 \quad (A, B, C, D \text{ 均为常数})$$

将直线方程式代入平面方程得到:

$$A[x_1 + v(x_2 - x_1)] + B[y_1 + v(y_2 - y_1)] + C[z_1 + v(z_2 - z_1)] + D = 0$$

解出:

$$v = \frac{-A \cdot x_1 - B \cdot y_1 - C \cdot z_1 - D}{A(x_2 - x_1) + B(y_2 - y_1) + C(z_2 - z_1)} = v_0$$

若 v_0 满足 $v \in [-1, 0]$ 的要求, 则再将 v_0 代入直线段参数方程式得到

$$\begin{aligned}x_0 &= x_1 + v_0(x_2 - x_1) \\y_0 &= y_1 + v_0(y_2 - y_1) \\z_0 &= z_1 + v_0(z_2 - z_1)\end{aligned}$$

此点 (x_0, y_0, z_0) 就是平面多边形与直线的交点。

8.7.2 画家算法

本算法过程与画家创作一幅油画的过程类似, 因此而得名。画家画油画时, 先画背景, 然后画中间景物, 最后才画近景。画家通过这种顺序构造画面, 从而解决隐藏面或可见性问题。用计算机绘制图形, 也可以建立类似的深度顺序——按照图形中各元素(如平面多边形)到视点的距离确定一个深度优先级表, 从而使图形中任意两个元素在深度上均不重叠。算法执行时, 先从表中离视点最远的图形元素开始, 依次将每个元素写入帧缓冲器。表中离视点较近的元素覆盖帧缓冲器中原有的内容, 于是隐藏面自然消除, 最后得到物体的图形, 实际上是物体可见部分的图形。

1. 画家算法

画家算法也可称为表优先级算法。开始, 观察方向经变换后与 z 轴负向重合(即视点位于 z 轴负向的无穷远处), 以变换后平面多边形顶点的最大 Z 值 Z_{\max} 作为排序关键词, 建立初步的深度优先级表。算法处理每一平面多边形时, 动态地计算和产生一个新的深度优先级表。表中第一个平面多边形是具有最大 Z 值的多边形, 即到位于 Z 轴负向无穷远处视点的距离最远的平面多边形, 记为 P_0 , 表中第二个平面多边形记为 Q_0 , 检查表上每个平面多边形与 P 的关系。

(1) 若 P 的最近顶点离视点的距离 $Z_{\min}(P)$ 比 Q 的最远顶点离视点的距离 $Z_{\max}(Q)$ 还远, 即 $Z_{\max}(Q) < Z_{\min}(P)$, 则 P 不遮挡 Q 。将 P 写入帧缓冲器, Q 成为表上第一个平面多边形。

(2) 若 $Z_{\max}(Q) > Z_{\min}(P)$, 则 P 不仅可能部分遮挡 Q , 而且还可能部分地遮挡表上任何具有 $Z_{\max}(Q') > Z_{\min}(P)$ 的平面多边形 Q' 。所有这样的平面多边形的集合记为 $\{Q'\}$, 如果 P 不遮挡 $\{Q'\}$ 中任何多边形的任何部分, 即对下面所有检测问题的回答是肯定的, 那么 P

写入帧缓冲器。

对 $\{Q'\}$ 中每一 Q' ，第一步，检测 P 和 Q 的包围盒是否在 x 方向分离。第二步，检测 P 和 Q 的包围盒是否在 y 方向分离。第三步，检测 P 是否全部位于 Q' 所在平面的背离视点的一侧。第四步，检测 Q' 是否全部位于 P 所在平面的靠近视点的一侧。

若经过上面(1)与(2)的检测， P 不能写入帧缓冲器，则 P 可能遮挡 Q (表中第二个多边形)。交换 P 和 Q 在表中的位置，对重新排列的表重复进行上述的检测。若 Q 的位置需再次交换，则表明存在交叉覆盖情形(见图 8.25)。这时，可将 P 沿 Q 所在平面分割成两个以上部分(见图 8.26)。从表中删去原多边形 P 而将 P 的这两个以上部分排序置入表内，对新表重复上述检测。采用这一步骤可防止算法陷入无限循环。

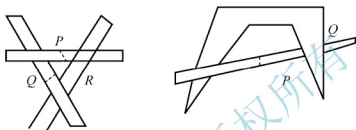


图 8.25 交叉覆盖平面多边形

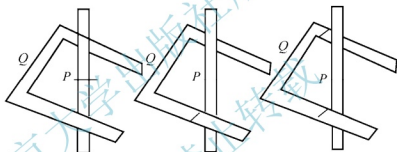


图 8.26 多边形 P 与 Q 相交的三种情况

在(2)中的前两步检测 P 是否遮挡 Q' ，显然已包括 Q 即为通常的包围盒检测。由于许多平面多边形并非正方形，所以多边形包围盒在某一方向出现重叠的可能性很大。当多边形基本上呈水平形状或垂直形状时，采用单向检测方法更为有效。因为单向检测出已重叠，下面的检测无需进行，可跳到交换 P 和 Q 的位置这步。这里的两步检测实际上是假定多边形宽大于高，故其基本上呈水平形状。若多边形高大于宽，则宜交换这两步检测的执行顺序；若多边形为正方形或其他同态结构，则检测顺序无关紧要。

在(2)中的第三和第四步检测为前面讨论过的平面多边形位置检测。求出多边形的平面方程，然后用代入法检查既简单又方便。例如，要检测多边形 Q 对多边形 P 的关系，只要将 Q 各顶点坐标值代入 P 的平面方程，若所得结果同号，则 Q 位于 P 的一侧。在必要时，还可算出平面的法向量，先进行背面消除。

2. 要注意几点

1) 深度优先级矛盾

画家算法首先要按物体各元素到观察点的距离建立一个深度优先级表。有的物体可直接建立一个确定的深度优先级表，但有的物体无法直接建立确定的深度优先级表。例如，

图 8.25 给出一种平面多边形交叉覆盖的情况：左图中， P 在 Q 的前面， Q 在 R 前面， R 反过来又在 P 的前面。右图中， P 在 Q 的前面，而 Q 又在 P 的前面。这样直接建立深度优先级表就困难些，谁在谁前边，不好确定。解决的办法是：沿平面多边形所在平面之间的交线循环地分割这些多边形，直至最终可以建立确定的深度优先级表，如图 8.25 所示的虚线。

2) 新增棱边后平面多边形顶点顺序

由上面交叉覆盖平面多边形的情况得到，有时一个平面多边形会被分成为两个平面多边形。这时，一个平面多边形上新增加一条棱边成为两个平面多边形；那么这两个平面多边形的顶点及顺序如何选取呢？

设一个平面多边形顶点为 1, 2, 3 和 4，多边形中间新增加一条棱边，端点为 21 和 22，这样得到两个平面多边形。那么这两个平面多边形的顶点及其顺序可以如下解决：因为这两个平面多边形顶点都要按逆时针顺序，所以可在新棱边两端点中任取一点为起点，逆时针顺序进行选取此两平面多边形的顶点，新棱边两端点处分别重复一次，即可得到两平面多边形顶点及顺序，如(21, 4, 1, 22)和(22, 2, 3, 21)。

显然，按上面所述操作多次可以解决一个平面多边形被分为数个平面多边形的顶点及顺序问题。

8.7.3 深度缓冲器算法 (Z 缓冲区算法)

这种隐面算法是比较简单的一种。它的基本思路是：对于显示屏上的每一个像素，记录下位于该像素内最靠近观察者的那个景物面的深度坐标，同时相应记录下用来显示该景物面的颜色(或灰度)，那么所有记录下的这些像素所对应的颜色就可以形成最后要输出的图形。

为了记录下深度和颜色这两个参数，就需要定义两个数组：一个是深度数组 $\text{depth}[m][n]$ ；另一个是颜色数组 $\text{color}[m][n]$ 。这里的 m 和 n 分别表示显示屏上沿 x 轴方向和沿 y 轴方向上分布的像素数目，所以 $m \times n$ 即为整个显示屏所包含的全部像素数。每个数组中存储的内容均以像素的坐标(x, y)作为地址索引。

深度缓冲器算法的基本步骤如下：

- (1) 为深度数组和颜色数组赋初值，即对于显示屏上的全部像素，置 $\text{depth}[i][j] = \max$ ；置 $\text{color}[i][j] = \text{bkcolor}$ (背景色)。
- (2) 对于景物中的每个多边形平面，计算出该多边形平面的投影所包含的全部像素的位置，然后对所包含的全部像素逐一做如下两步工作。
 - ① 计算出该多边形在对应像素(i, j)处的深度坐标值 z 。
 - ② 比较此 z 值和原先深度数组所记录的值 $\text{depth}[i][j]$ 的大小。若 $z < \text{depth}[i][j]$ ，则说明当前该多边形所处的位置比原先已经记录的多边形更靠近观察者，所以应该用当前的 z 值去替换原先在 $\text{depth}[i][j]$ 中记录的值，即重置 $\text{depth}[i][j] = z$ ；然后置 $\text{color}[i][j]$ 为当前该多边形所表现的颜色值。反之，若 $z > \text{depth}[i][j]$ ，则说明当前的多边形比原先已经记录的多边形更远离观察者，所以两个数组存储的深度值和颜色值均不需改变。

依次处理完所有的多边形，则颜色数组中所存储的内容即为最终应该显示在屏幕上的图形内容，可以输出。

深度缓冲器算法的主要问题是需要定义两个巨大的数组,它们要占用较大的存储量。例如对于一个 640×480 分辨率的显示器来说,每个数组就需要占用 307 200 个存储单元。如果显示器的屏幕再大一些,分辨率更高一些,那么两个数组所占用的存储量将更大。

为了减少所需的存储量,可以采用分区的办法,把原先的整幅图形细分为许多较小的子图,然后把深度缓冲器算法依次地应用于每幅子图。例如,原先把整个显示屏幕作为一个区,它由 640×480 个像素点组成。现在可以把整个显示屏幕分割成 100 个区,那么每个区就只由 64×48 个像素点所组成,这样处理每个子区所需的一个数组就只需要 3 072 个存储单元。

采用分区的方法来实施深度缓冲器算法,可以大大减少所需的存储量,并且对最终生成图形的质量没有丝毫影响。

如果可以考虑适当降低一些图形的质量,例如降低图形的分辨率,那么就可以采用另外一种简化方法:扩大“像素点”的面积。例如,把原来的一个像素为单位扩大成 5×5 像素的单位作为一个大“像素”,这样就使得整个屏幕只有 128×96 像素,在这种情况下实施深度缓冲器算法,就可使得所需的存储量和计算工作量两者同时都大幅度下降,但生成的图形将会因此而变得比较粗糙。

8.7.4 扫描线算法

扫描线算法实质上可以说是深度缓冲器算法的一种延伸。假如在屏幕的分区中采用仅在 y 方向(高的方向)细分,而在 x 方向不分,那么整个显示屏幕将分成许多狭长的子区。如果在 y 方向是以像素为单位细分,那么这样得到的每个子区就是一条线,我们称之为“扫描线”。

扫描线算法的基本思路是:当包含一条扫描线的水平平面(称为扫描线平面)与景物中的立体相交时,组成立体的诸表面就会与该扫描线平面相交而形成若干条截交线段,如图 8.27(a)所示,这些截交线段把整条扫描线分割成一些间隔,如图 8.27(b)所示。

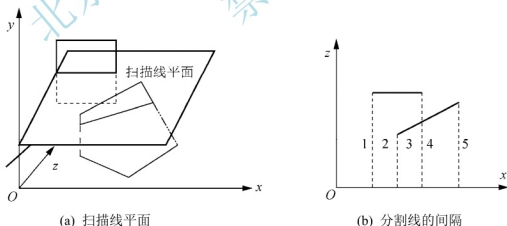


图 8.27 扫描线算法

在扫描线平面 xz 内,按间隔比较各线段距离视点的远近,距离视点近的线段部分或全部地遮挡住距离视点远的线段。用这样的方法确定线段的可见部分,也就是确定了立体表面的可见部分。

在扫描线上形成的间隔可以分为三类。

(1) 不包含任何截交线段的间隔,如图 8.27(b)中的间隔 1 和 5。对于这类间隔,就以背

景色来显示该区域。

(2) 其中只包含有一条线段的间隔,如图 8.27(b)中的间隔 2 和 4。很明显,由于位于这类间隔内的线段是唯一的,因此必然是可见的,于是在这类间隔内的区域就应显示该线段所在表面的颜色。

(3) 同时存在多条线段的间隔,如图 8.27(b)中的间隔 3。在这种情况下,需要经过计算和比较,在众多的线段中找出距离视点最近的那条线段,也就是 z 值最小的线段。然后在这类间隔的区域内,显示这条处于最前面的线段所在表面的颜色。算法从上至下地逐条处理扫描线,判别完所有扫描线平面内线段的可见部分,并显示它们,则立体的隐藏面也就得到了处理。

综上所述,实施扫描线算法的基本步骤如下:

(1) 定义两个数组:深度数组 $\text{depth}[m]$ 和颜色数组 $\text{color}[m]$,用以保存单条扫描线上的数据值。

(2) 算法开始执行时,先对深度数组和颜色数组赋初值。即置 $\text{depth}[i]=\max$; $\text{color}[i]=\text{bkcolor}$ 。

(3) 在 y 方向上排序。在逐条处理扫描线的过程中,扫描线平面的位置是不断变化的。在这个变化的过程中,有些立体表面要开始进入扫描线平面,有些则要退出扫描线平面,还有一些则仍然留在扫描线平面中,这是一个动态的过程。所以要判别出哪些表面与当前的扫描线平面相交,从而可以求出当前扫描线平面与表面的截交线段。

(4) 在 x 方向上排序。按照落在当前扫描线平面内各线段两端 x 坐标值的大小,顺序将扫描线划分为若干个间隔。

(5) 按照上面介绍的对不同间隔的处理办法,确定不同类别的间隔所在区域的颜色值,并置入颜色数组。

(6) 当一条扫描线处理完毕后,就把颜色数组中的内容复制到帧缓冲器中(或直接输出到屏幕上)。然后从步骤(2)开始继续处理下一条扫描线。

扫描线算法的突出特点是把原来要处理的三维问题降级为二维问题,这就大大简化了计算和判别工作。但是当处在当前扫描线平面内的截交线段数量较多时,间隔的划分还是比较费事的。所以,为了提高效率,可以想办法改进间隔的划分办法,只要立体的面是不相关的,那么就可以将某些间隔合并。例如图 8.27(b)所示的间隔 3 和 4 就可以作为一个间隔处理。

另外,如果对图形的质量要求可以放宽,那么为了加快图形的处理速度,可以采用隔行扫描(或隔多行扫描)的办法,以减少处理扫描线的数量,从而获得较快的速度。

8.7.5 区域细分算法

区域细分算法的基本思路是:对图形显示屏幕采取递归细分的办法,以产生大小不等的窗口,使得落在该窗口内的图形变得相当简单,以至于能够容易地决定其显示情况。

当窗口内只包含一个多边形表面或者根本就不包含任何多边形表面的时候,决定该窗口内显示的颜色值是相当简单的。但是当窗口内同时包含几个相互交叉重叠的多边形表面时,输出情况的决定就变得相对复杂。此时,就必须对这样的窗口进行再分割,使其细分为四个大小相等的子窗口。然后根据同样的原则判断这些子窗口内的图形情况,以决定哪

些子窗口内的图形可以显示,哪些子窗口还必须进一步地细分,如此不断地进行下去。

如果在某个区域内图形的情况很复杂,那么这个窗口再分的过程会一直进行下去,窗口将越分越小。但整个过程总能圆满结束,因为不断再分的结果总会使得落在窗口内的图形变成简单的情况。极限情况是分到最后把窗口分成只有一个像素点那么大,此时只需要显示该像素点所包含的图形的颜色,如图 8.28(a)所示。

在算法的执行过程中,窗口和图形中多边形之间的关系可以归纳为以下三种情况:

- (1) 窗口和多边形分离,如图 8.28(b)中的 a 和 b 。
- (2) 窗口和多边形相交,指多边形部分地或全部地落入到窗口内的一个区域,如图 8.28(b)中的 c 和 d 。
- (3) 窗口被多边形所包含,如图 8.28(b)中的 e 。

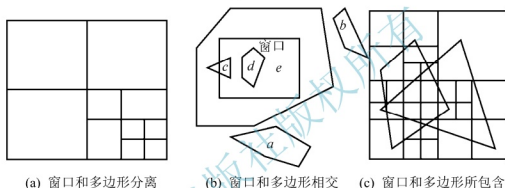


图 8.28 区域细分算法

对这三种情况的处理方法如下:

- (1) 因为多边形不会影响窗口内的图形输出情况,所以可以把这种无关的多边形舍去。
- (2) 如果仅有一个多边形和窗口相交,或者虽有几个多边形和窗口相交,但这几个多边形落入窗口内的部分并不相互重叠;那么输出情况是容易决定的,只需要在多边形占据的窗口内部分显示该多边形表面的颜色。如果不是属于这种情况,则是在窗口内同时存在几个相互交叉重叠的多边形,那么就要进一步细分窗口。

(3) 如果窗口被一个多边形或者是被几个多边形所包含,那么就要找出距离视点最近的那个多边形,并且要判断其他凡是与该窗口有关(不管是相交还是包含)的多边形是否全部位于该包含着窗口的多边形之后。如果是,则该窗口内全部显示该多边形表面的颜色;如果不是,则要再进一步细分窗口。

不断判断和细分窗口的过程如图 8.28(c)所示。

本章小结

真实感图形显示技术是计算机图形学的一个重要组成部分,它综合利用数学、物理学、计算机科学和其他科学知识在计算机图形设备上生成像彩色照片那样的具有真实感的图形。本文介绍了颜色模型、光照模型、阴影生成的基本原理、颜色纹理和几何纹理等纹理细节的模型方法的基本原理和消隐技术。具体内容如下:

- (1) 本章介绍了颜色模型中的 RGB 颜色模型、CMY 颜色模型和 HSV 颜色模型。
- (2) 光照模型。其主要包括环境光、漫反射、镜面反射和电光源与柱光源等模型。
- (3) 阴影的生成。阴影的生成包括扫描线阴影生成算法和阴影体。
- (4) 纹理映射包括颜色纹理和几何纹理。纹理空间的定义方法包括：用参数曲面的参数域作为纹理空间(二维)，用辅助平面、圆柱、球定义纹理空间，用三维直角坐标系作为纹理空间(三维)；颜色纹理常用的函数模型是长峰波纹理函数；常用的映射方法是圆柱面映射和球面映射。
- (5) 透明性的透明模型包括无折射的透明和折射透明性。
- (6) 隐藏线的消隐技术。
- (7) 隐藏面的消除。相关隐藏面的消除涉及基本检测、画家算法、深度缓冲器算法(Z 缓冲区算法)、扫描线算法和区域细分算法。



阅读材料

为了使图形显示达到真实的颜色效果，必须建立类似人眼视觉观察所需要的颜色模型和光照模型，模拟整体的光照明效果，生成各种逼真的视觉图形。为可见物体的颜色和光照效果建立模型是一个非常复杂的过程，因为光照模型包含许多因素，如物体类型，物体相对于光源和其他物体的位置以及场景中所设置的光源属性等。一旦这些因素确定了，就可以通过光照模型来计算物体表面向空间给定方向辐射的光亮度。经过色彩模型和光照模型处理的物体图片效果如图 8.29 所示。

不同物体的表面是不一样的，在简单光照模型中，我们假定所考虑的大部分物体表面是不透明的。但实际上有很多物体都是透明的，例如玻璃、花瓶、车窗等。透明体后的景物发出的光可穿过透明体到达观察者，但没有一种材料可以透过全部入射光，总有一部分会被反射出去。因此，透明既是物理现象，也是一种视觉现象。因此必须要建立物体的透明模型，模拟光线透过物体的程度，反映光线的反射和投射程度。经过透明模型处理过的图形效果如图 8.30 所示。

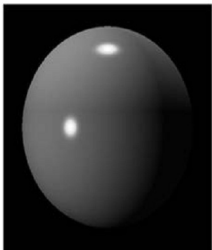


图 8.29 光线效果



图 8.30 透明效果

当光源照射物体时，景物中那些没有被光源直接照射到的暗区就产生了阴影。当观察

方向与光源方向重合时,观察者看不到任何阴影。但当两者不一致时,就会出现阴影。阴影可以衬托出画面上景物的远近和相对方位,增强图形的立体感和场景层次感,从而极大的增强画面的真实感。通过阴影处理的图形效果图如图 8.31 所示。

纹理可看成是一个或多个变量的函数,因此根据纹理定义域的不同,纹理可分为二维纹理、三维纹理和高维纹理。基于纹理的表现形式,纹理又可分为颜色纹理、几何纹理、过程纹理三大类。颜色纹理指的是呈现在物体表面上的各种花纹、图案和文字等,即通过颜色色彩或明暗度的变化体现出来的细节,如大理石墙面、墙上贴的字画、器皿上的图案等都可用颜色纹理来模拟。几何纹理(又称为凹凸纹理)是指基于景物表面微观几何形状的表面纹理,如桔子、树干、岩石、山脉等表面呈现的凸凹不平的纹理细节。而过程纹理则表现了各种规则或不规则的动态变化的自然景象,如水波、云、火、烟雾等。经过几何纹理处理的图片如图 8.32 所示。

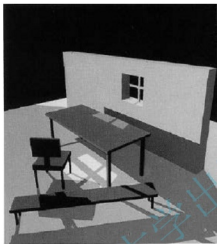


图 8.31 阴影效果

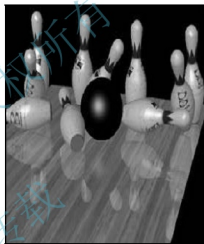


图 8.32 纹理

习 题

一、填空题

1. 颜色通常用_____、_____和_____三原色的含量来表示。
2. 物体表面发出的光既与环境中光源的_____、_____、_____、_____组成和_____分布有关,也与物体本身的_____特性和物体表面的_____有关,甚至还与人眼对光线的生理和心理视觉因素有关。
3. 在真实感图形学中,可以用_____和_____两种方法来定义纹理。
4. Whitted 模型第一次给出_____的范例, Hall 光透射模型考虑_____和_____。

二、选择题

1. 在多边形面片的数量非常大的情况下哪一个消隐算法速度最快? ()
 - A. 深度缓冲器算法(Z-Buffer)
 - B. 光线跟踪算法
 - C. 画家算法
 - D. 不确定
2. 计算机绘图设备一般使用什么颜色模型? ()
 - A. RGB
 - B. CMY
 - C. HSV
 - D. HLS

3. 计算机图形显示器一般使用什么颜色模型? ()

A. RGB B. CMY C. HSV D. HLS

三、判断题

1. 找出并消除物体中的不可见部分, 称为消隐。 ()

2. RGB、CMY 和 HSV 颜色模型都是面向硬件的。 ()

3. Phong 模型中光源和视点的位置可以任意选定。 ()

四、简答题

1. 颜色纹理、几何纹理都适合于描述哪类物体的纹理特征?

2. 深度缓冲器(Z-buffer)算法包括哪些步骤?

3. 有哪几种常见的面消隐算法? 简述 Z-Buffer 算法的基本思想及其优缺点。

五、上机操作题

1. 编写一段程序以实现纹理映射: 球面; 凸多面体。

2. 编写一段程序, 显示包含一个球面和一个多面体的场景, 使用两个光源进行光照: 一个是局部红色光源而另一个是远距离白色光源。

3. 编写一段程序, 实现漫反射和镜面发射。

4. 利用画家算法, 编写实现凸多面体的可见面显示的程序, 即将面片按深度顺序由远及近地画到屏幕上。

北京大学出版社版权所有
禁止转载

第9章 OpenGL 环境下图形系统的设计

学习目标

- 了解 OpenGL 的基础知识以及 OpenGL 实用程序工具包;
- 掌握 OpenGL 的基本运用;
- 初步具备三维图形系统的开发能力。

知识结构

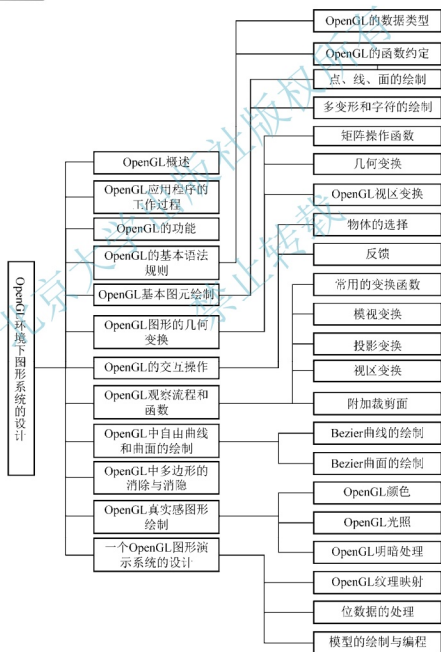


图 9.1 OpenGL 环境下图形系统的设计知识结构图



导入案例

OpenGL(Open Graphics Library)是一个优秀的三维图形硬件的软件接口,实际上是一个三维图形和模型库。使用 OpenGL 可以绘制出真实感很强的三维图形(见图 9.2),并且越来越多的图形显示卡支持 OpenGL,所以 OpenGL 已被广泛地用于可视化技术、实体造型、CAD/CAM、模拟仿真等诸多领域。事实上它已成为高性能的图形和交互视景处理的工业标准。OpenGL 的优点是能够独立于硬件设备、窗口系统和操作系统,用它编写的软件可以在各种不同的系统间移植。

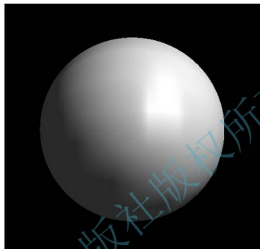


图 9.2 利用 OpenGL 实现球的实例

交互式图形程序库是图形用户接口(GUI)中应用最普遍的一种,ISO 发布的各种图形标准中其用户界面都是以程序库的形式给出的,如 CGI、GKS、GKS3D、PHIGS、PHIGS+等。在三维图形显示上颇有特色且应用也很广泛的 OpenGL 也是图形程序库,OpenGL 是近年发展起来的一个性能优越的三维图形标准,它是图形硬件与应用程序之间的抽象界面,它支持诸如点、线、多边形及图像等多种基本图元,以及图形变换、光照计算等基本绘制操作,也支持纹理映射、反走样等高级绘制功能。在 CAD/CAM、娱乐、医学图像、虚拟现实等领域中得到了广泛应用。该程序库不仅可以作为开发交互式图形系统、CAD/CAM 系统等的支撑环境,而且也可用于计算机图形学的教学及其实验。

本章将介绍 OpenGL 的基础知识以及 GLUT——OpenGL 实用程序工具包的使用。

9.1 概 述

在计算机发展初期,人们就开始从事计算机图形的开发。直到计算机硬件、软件和计算机图形技术高度发达的 20 世纪 90 年代,人们才发现复杂的数据以视觉的形式表现是最容易理解的,因而三维图形得以迅猛发展,各种三维图形工具软件包相继推出,如 PHIGS、PEX、RenderMan 等。这些三维图形工具软件包有些侧重于使用方便,有些侧重于渲染效果或与应用软件的连接,但没有一种三维工具软件包在交互式三维图形建模能力、外部设备管理以及编程方便程度上能够与 OpenGL 相比拟。OpenGL 经过对 GL 的进一步发展,实现二维和三维的高级图形技术,在性能上表现得异常优越。它的功能包括建模、变换、光

线处理、色彩处理、动画以及更先进的能力,如纹理影射、物体运动模糊等。OpenGL 的这些能力为实现逼真的三维渲染效果、建立交互的三维景观等提供了条件。

由于 OpenGL 高度可重用性的特点,已经有几十家大公司表示接受 OpenGL 作为标准图形软件接口。目前加入 OpenGL ARB(OpenGL Architecture Review Board, OpenGL 体系结构审查委员会)的成员有 SGI 公司、Microsoft 公司、Intel 公司、IBM 公司、SUN 公司、DEC 公司(已由 Compaq 公司兼并)、HP 公司、AT&T 公司的 UNIX 软件实验室等。在 OpenGL ARB 的努力下,OpenGL 已经成为高性能图形和交互式视图处理的工业标准,能够在 Windows 95/98、Windows NT、Mac OS、BeOS、OS/2 及 UNIX 上应用。

作为图形硬件的软件接口,OpenGL 由几百个指令或函数组成。对程序员而言,OpenGL 是一些指令或函数的集合。这些指令允许用户对二维几何对象或三维几何对象进行说明,允许用户对对象实时操作,以便把这些对象着色(Render)到帧存(Frame Buffer)上。OpenGL 的大部分指令提供立即接口操作方式,以便使说明的对象能够马上被画到帧存上。一个使用 OpenGL 的典型描绘程序首先在帧存中定义一个窗口,然后在此窗口中进行各种操作。在所有的指令中,有些调用用于绘制简单的几何对象,另外一些调用将影响这些几何对象的描绘,包括如何光照、如何着色以及如何从用户的二维或三维模型空间映射到二维屏幕等。

对于 OpenGL 的实现者而言,OpenGL 是影响图形硬件操作的指令集合。如果硬件仅仅包括一个可以寻址的帧存,那么 OpenGL 就不得不几乎完全在 CPU 上实现对象的描绘,图形硬件可以包括不同级别的图形加速器,从能够画二维的直线到多边形的网栅系统,再到包含能够转换和计算几何数据的浮点处理器。OpenGL 可以保持数量较大的状态信息。这些状态信息可以用来指示 OpenGL 如何往帧存中画物体,有一些状态用户可以直接使用,通过调用即可获得状态值;而另外一些状态只能根据它作用在所画物体上产生的影响才可见。

OpenGL 是网络透明的,在客户机/服务器(Client/Server)体系结构中,OpenGL 允许本地和远程绘图,可以通过网络发送图形消息至远程机,也可以发送图形信息至多个显示屏幕,或者与其他系统共享处理任务。

经 OpenGL 1.0 及 OpenGL 1.1 之后,OpenGL 1.2 已经面市。事实上,OpenGL 是一个优秀的专业化 3D 的 API。OpenGL 已经发展成为因不同应用目的而经二次开发后的多种版本,且因不同的公司而不同。TGS 公司开发出基于 OpenGL 核心函数和面向对象的编程技术可以运行于 Windows NT 的 OpenGL Inventor 产品。OpenGL Inventor 提供了预建的对象和可交互的内置事件模型,可创建高级的三维场景、转换不同格式的数据文件及打印信息。SUN 公司发布了面向 SolarisTM 的新版 OpenGL 图形基础库。OpenGL 适用于下一代医学成像、地理信息、石油勘探、气候模型模拟及娱乐动画等领域。新版 OpenGL 提供增强的绘图性能,以及运行主流图形应用所必需的可靠性。

OpenGL 作为一个性能优越的图形应用程序设计界面(API)能适应广泛的计算环境,从个人计算机到工作站和超级计算机,OpenGL 都能实现高性能的三维图形功能。由于许多在计算机界具有领导地位的计算机公司纷纷采用 OpenGL 作为三维图形应用程序设计界面,OpenGL 应用程序具有广泛的移植性。因此,OpenGL 已成为目前的三维图形开发标准,是从事三维图形开发工作的技术人员所必须掌握的开发工具。

9.2 OpenGL 应用程序的工作过程

作为图形硬件的软件接口, OpenGL 最主要的工作就是将二维及三维物体描绘至帧缓存中。这些物体由一系列的描述物体几何性质的顶点(Vertex)或描述图像的像素(Pixel)组成。OpenGL 执行一系列的操作后把这些数据最终转化成像素数据,并在帧缓存中形成最后的结果。下面对 OpenGL 的工作作概要性介绍。

1) 图元操作

OpenGL 提供多种模式绘制图元(Primitive),而且一种模式的设置一般不会影响其他模式的设置。无论发生什么情况,指令总是被顺序处理的,也就是说,一个图元必须完全画完之后,后继图元才能影响帧存。

图元由一组顶点定义。该组顶点既可以只包含一个顶点,也可以包含多个顶点。顶点的说明由位置坐标、颜色值、法向量和纹理坐标组成。每个顶点可以被顺序或以相同的方式独立地处理。每个顶点根据其是二维或三维顶点而可以分别使用 2 个坐标、3 个坐标或 4 个坐标表示。此外,当前法线、当前纹理坐标以及当前颜色值可以在处理每个顶点的过程中被使用或改变。当前法线是一个三维向量,用于光照计算。纹理坐标决定如何把纹理图像映射到图元。颜色与每个顶点有关,相关的颜色或者是当前颜色或者是由光照产生的颜色,这取决于是否允许光照。类似地,纹理坐标也与每个顶点坐标有关。

在 OpenGL 中,几何对象是根据 `glBegin()/glEnd()` 函数对之间所包含的一系列指定顶点的位置坐标、颜色值、法向量值和纹理坐标画出的。这样的几何对象有:点线段、循环线段、分离线段、多边形、三角形、三角形扇、分离的三角形、四边形及分离的四边形。

2) 图形控制

OpenGL 提供诸如变换矩阵、光照、反走样方法、像素操作等来控制二维和三维图形的绘制。然而,它并不提供一个描述或建立复杂几何物体的手段。OpenGL 提供的是怎样画复杂物体的机制而非描绘复杂物体本身的面面俱到的工具,它是一个绘制系统而非造型系统。

3) OpenGL 指令解释模型

OpenGL 的指令解释模型是客户机/服务器模式。

4) OpenGL 基本操作

OpenGL 可以在具有不同图形能力和性能的图形工作站平台及计算机上运行。图 9.3 给出了 OpenGL 的绘制原理图。

用户指令从左侧进入 OpenGL。指令分为两部分,一部分画指定的几何物体,另一部分则指示在不同的阶段怎样处理几何物体。许多指令很可能被排列在显示列表(Display List)中,在后续时间里对其进行处理。通过求值器(Evaluator)计算输入值的多项式函数来为画近似曲线和曲面等几何物体提供有效手段,然后由顶点描述的几何图元进行操作。在此阶段,对顶点进行转换、光照,并把图元剪切到观察体(Frustum)中,为下一步光栅化(Rasterization)做准备。光栅化产生一系列图像的帧缓存地址和图元的二维描述值,其生成结果称为基片(Fragment),每个基片适合于在最后改变帧存之前对单个的基片进行操作。这些操作包括根据先前存储的深度值进行有条件地更新帧缓存,进行各种测试以及融合,即将处理的基片颜色与已经存储的颜色进行屏蔽,对基片进行逻辑操作和淡化(Dithering)。

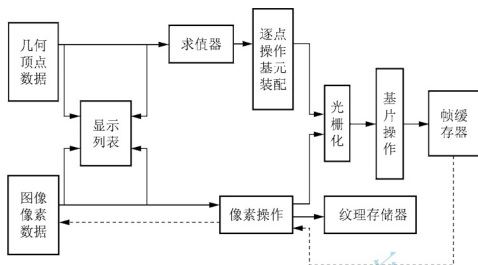


图 9.3 OpenGL 的绘制原理图

图像像素数据的处理包括像素、位图、影像等，它们经过像素操作之后直接进入光栅化阶段。

由于 OpenGL 的几何图元是由顶点描述的，这样可以便于逐点操作并按其数据装配成基元，然后经光栅化形成基片。对于像素数据，其结果还可以存储在纹理用的内存中，然后从纹理内存中取出像素信息进行光栅化。

OpenGL 显示列表事实上是一组函数，它们被存储起来，以便使 OpenGL 在后继时间内能够进行处理。

OpenGL 求值器也是许多特殊的函数。这些函数允许用户采用一个或两个变量的多项式映射来产生顶点坐标、法线坐标、纹理坐标及颜色，生成结果传送给执行管道(Pipeline)。求值器接口提供了在 OpenGL 之上建立更一般的曲线和曲面包的基础。在 OpenGL 中提供求值器而不是更复杂的 NURBS 接口的优点在于：在表示非 NURBS 曲线和曲面以及利用特殊的表面性质时，仍然能对多项式求值器进行有效地利用，而不必将其转换为 NURBS 表示。

光栅化包含几何和物理映射两部分。几何操作是将图元转化成二维图像；物理操作是计算图像每个点的颜色和深度等信息。因此，光栅化一个图元由两部分操作组成。第一部分是决定窗口坐标(Window Coordinates)中一个整数栅格的哪些方块由图元占有；第二部分是每个这样的方块计算它们的颜色值和深度值。计算的结果被传递到 OpenGL 的下一过程，并用此信息更新帧存中的适当单元。在 OpenGL 中，栅格方块不一定是方形的，光栅化的规则不受实际的栅格方块的宽高比的限制。当然，非方形栅格的显示必然会使光栅化的点和线段在一个方向比在另一个方向显得宽些。方形的基片可以降低反混淆和纹理的难度。

9.3 OpenGL 的功能

OpenGL 能够对整个三维模型进行渲染着色，从而能绘制出与客观世界十分相似的三维影像。另外，OpenGL 还可以进行三维交互、动作模拟等。具体的功能主要有以下内容。

1) 模型绘制

OpenGL 能够绘制点、线和多边形。应用这些基本的形体，可以构造出几乎所有的三维模型。OpenGL 通常用模型的多边形的顶点来描述三维模型。

2) 模型观察

在建立了三维景物模型后，就需要用 OpenGL 描述如何观察所建立的三维模型。观察三维模型是通过一系列的坐标变换进行的。模型的坐标变换使观察者能够在视点位置观察与视点相适应的三维模型景观。在整个三维模型的观察过程中，投影变换的类型决定观察三维模型的观察方式，不同的投影变换得到的三维模型的景象是不同的。最后的视窗变换则对模型的影像进行裁剪缩放，即决定整个三维模型在屏幕上的图像。

3) 颜色模式的指定

OpenGL 应用了一些专门的函数来指定三维模型的颜色。程序开发者可以选择两个颜色模式，即 RGBA 模式和颜色表模式。在 RGBA 模式中，颜色直接由 RGB 值来指定；在颜色表模式中，颜色值则由颜色表中的一个颜色索引值来指定。开发者还可以选择平面着色和光滑着色两种着色方式对整个三维景观进行着色。

4) 光照应用

用 OpenGL 绘制的三维模型必须加上光照才能更加与客观物体相似。OpenGL 提供了管理四种光(辐射光、环境光、镜面光和漫反射光)的方法，另外还可以指定模型表面的反射特性。

5) 图像效果增强

OpenGL 提供了一系列增强三维景观图像效果的函数，这些函数通过反走样、混合和雾化来增强图像的效果。反走样用于改善图像中线段图形的锯齿使其更平滑；混合用于处理模型的半透明效果；雾化使得影像从视点到远处逐渐褪色，更接近于真实。

6) 位图和图像处理

OpenGL 提供了专门对位图(单色)和图像(彩色)进行操作的函数。

7) 纹理映射

三维景物因缺少景物的具体细节而显得不够真实，为了更加逼真地表现三维景物，OpenGL 提供了纹理映射的功能。OpenGL 提供的一系列纹理映射函数使得开发者可以十分方便地把真实图像贴到景物的多边形上，从而可以在视窗内绘制逼真的三维景观。

8) 实时动画

为了获得平滑的动画效果，需要先在内存中生成下一幅图像，然后把已经生成的图像从内存中复制到屏幕上，这就是 OpenGL 的双缓存技术(Double Buffer)。OpenGL 提供了双缓存技术的一系列函数。

9) 交互技术

目前有许多图形应用需要人-机交互，OpenGL 提供了方便的三维图形人-机交互接口，用户可以选择修改三维景观中的物体。

9.4 OpenGL 的基本语法规则

9.4.1 OpenGL 的数据类型

为了更容易地将 OpenGL 代码从一个平台移植到另一个平台，OpenGL 定义了它自己的数据类型，这些数据类型被映射为常规的 C 数据类型，当然也可以使用这些 C 数据类型。

不过,不同的编译器和环境对各种 C 变量的大小和内存安排的规则也不一样,使用 OpenGL 定义的数据类型时,可以将代码与这些类型变更相隔离。

表 9-1 列出了 OpenGL 数据类型在 32 位 Windows 环境下相应的 C 数据类型以及字面值所用的前缀。在本书中,所有字面值都使用这些前缀。

表 9-1 命令前缀和参数数据类型

前 缀	数 据 类 型	相应 C 语言类型	OpenGL 类型
b	8 位整数	signed char	GLbyte
s	16 位整数	short	GLshort
i	32 位整数	long	GLint, GLsizei
f	32 位浮点数	float	GLfloat, GLclampf
d	64 位浮点数	double	GLdouble, GLclampd
Ub	8 位无符号整数	unsigned char	GLubyte, GLboolean
Us	16 位无符号整数	unsigned short	GLushort
Ui	32 位无符号整数	unsigned long	GLuint, GLenum, GLbitfield

9.4.2 OpenGL 的函数约定

OpenGL 函数都遵循一个命名约定,该约定告诉用户,函数来自于哪一个库,并且常常还会告诉用户该函数需要多少个参数以及各个参数的类型。所有函数都有一个根段,代表该函数相应的 OpenGL 命令。如图 9.4 所示,glColor3f 函数的根段是 Color, gl 前缀代表 gl 库, 3f 后缀表示该函数使用 3 个浮点参数。所有的 OpenGL 函数都采用以下格式:

<库前缀><根命令><可选的参数个数><可选的参数类型>



图 9.4 OpenGL 函数说明

图 9.4 说明了 OpenGL 函数的各个部分。这个带有后缀 3f 的函数采用了三个浮点参数。其他变种有采用三个整数的,三个双精度数的等。这种把参数个数和类型添加到 OpenGL 函数结尾的约定使人更容易记住参数列表而无需查找它。某些版本的 glColor 还采用四个参数来指定 Alpha 成分(透明度)。

有些 OpenGL 函数最后带一个字母 v,表示函数参数可用一个指针指向一个向量(或数组)来替代一系列单个参数值。下面两种格式都表示设置当前颜色为红色,二者等价。

```
glColor3f(1.0,0.0,0.0);

float color_array[]={1.0,0.0,0.0};
glColor3fv(color_array);
```

除了以上基本命名方式外,还有一种带“*”的表示方法,如 glColor*(),它表示可以用函数的各种方式来设置当前颜色。同理, glVertex*v()表示用一个指针指向所有类型的向量来定义一系列顶点坐标值。

9.5 OpenGL 基本图元绘制

无论 OpenGL 绘制的 3D 画面多么复杂和优美,实质上它们都是由许许多多的点、线、多边形等基本几何对象构成的,而这也是 OpenGL 可以提供的最基本的绘制功能。如果用户有足够的时间和耐心,可以使用 OpenGL 的这些基本对象去构造绚丽多彩的 3D 画面。因此,学习 OpenGL 的简单 3D 建模方法是步入 OpenGL 程序设计领域的第一步,也是不可或缺的一步。

9.5.1 概述

“点动成线,线动成面,面动成体”。在 OpenGL 中,最基本的图元就是点,每个几何实体都是由一个顶点集和绘制图元的类型描述的。顶点间是否连接或怎样连接是由几何图元的类型决定的。OpenGL 中所有的实体最终都可采用一系列有序的顶点描述。

OpenGL 虽然分别提供了二维和三维顶点的绘制方法,但二维图形不过是三维图形的特殊情况(z 分量为 0),在三维顶点绘制指令中,如果用户设定二维坐标(x, y),OpenGL 就会自动令 $z=0$ 。因此,这里将三维基本图元和二维基本图元放在一起介绍。

OpenGL 提供的描述点、线、多边形的绘制机制必须通过 glBegin()和 glEnd()函数配对来完成,下面对这两个函数作简要说明。

```
void glBegin(GLenum mode)
```

功能: 描述一个几何图元顶点序列的开始。

参数说明:

mode 指出图元的类型。类型可以是表 9-2 中的任一值。

表 9-2 几何图元类型和说明

类 型	说 明
GL_POINTS	单个顶点集
GL_LINES	多组双顶点线段
GL_POLYGON	单个简单填充凸多边形
GL_TRIANGLES	多组独立填充三角形
GL_QUADS	多组独立填充四边形
GL_LINE_STRIP	不闭合折线

续表

类 型	说 明
GL_LINE_LOOP	闭合折线
GL_TRIANGLE_STRIP	线型连续填充三角形串
GL_TRIANGLE_FAN	扇形连续填充三角形串
GL_QUAD_STRIP	连续填充四边形串

```
void glEnd (void)
```

功能: 标记顶点表的结束。

在 OpenGL 中,所有的图元绘制都是在这对函数中完成的。

例如: 绘制一个多边形边界(Polygon)。

```
glBegin(GL_POLYGON)
glVertex2f(0.0,0.0); // Vertex 0
glVertex2f(0.0,3.0); // Vertex 1
glVertex2f(3.0,3.0); // Vertex 2
glVertex2f(4.0,1.5); // Vertex 3
glVertex2f(3.0,0.0); // Vertex 4
glVertex2f(0.0,0.0); // Vertex 0
glEnd();
```

值得注意的是: 声明顶点的顺序是非常重要的。另外,如果顶点的数目不正确,一些图元将忽略多余的顶点。例如,假设 GL_TRIANGLES 根据顶点 1、2 和 3 绘制三角形,那么顶点 4、5 就会被忽略。

现在可以根据 OpenGL 命令来画出图 9.5 所示的基本图元的实体。

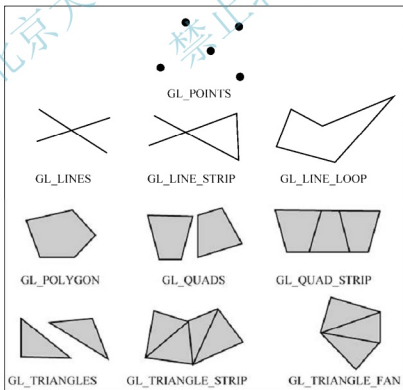


图 9.5 几何图元类型

9.5.2 点

1. 点的绘制

OpenGL 中的点定义为一个方块, 默认状态下, 一般的绘制点就是绘制显示屏幕的一个像素。在 OpenGL 中一个点是当作一个 n 维($n=2, 3, 4$)向量来处理的。如果调用函数用 `glVertex2f(2.0, 1.0)` 指定一个顶点的坐标(2.0, 1.0), 则在实际计算中 OpenGL 是处理点(2.0, 1.0, 0.0), 即 OpenGL 中用二维向量表示的点自动地将这个点的 z 值赋以 0.0。

用函数 `glVertex()` 可定义一个点, 下面具体介绍这个函数。

```
glVertex{2,3,4}{sifd}(V) (TYPE coords)
```

参数说明:

coords: 用一个数组或用齐次坐标(x, y, z, w)赋顶点坐标, 对于用四维齐次坐标定义的顶点(x, y, z, w), 实际上相当于三维坐标的($x/w, y/w, z/w$)。齐次坐标的含义参见第 7 章。

下面是 `glVertex()` 应用的一些例子。

```
glVertex2f(1.5, 2.6);
glVertex2i(1, 2);
glVertex3d(2.12, 3.48, 6.57);
glVertex3f(50.0, 50.0, 0.0);
glVertex4f(1.3, 2.0, -4.2, 1.0);
glVertex3sv(const GLshort *v);
```

所有的 `glVertex *` ()调用都应该在 `glBegin()` 和 `glEnd()` 之间进行。除了显示列表, 程序执行到 `glBegin()` 和 `glEnd()` 时, 就开始绘图操作。请看下面的例子:

```
glBegin(GL_POINTS);
glVertex3f(0.0, 0.0, 0.0)
glVertex3f(50.0, 50.0, 50.0)
glEnd();
```

`glBegin()` 的参数 `GL_POINTS` 告诉 OpenGL, 下面的顶点应被解释并绘制为点, 它们将转换为两个具体的点, 并被绘制出来, 其颜色为默认值指明的颜色。

2. 点的大小

OpenGL 提供了可以控制点的大小的函数。点大小的默认值是一个像素。可以用函数 `glPointSize()` 修改这个值, 以设定点的大小:

```
void glPointSize(GLfloat size)
```

是否启动反走样, 对绘制点操作有一定影响。如果没有启动反走样, 所绘制的点是一个正方形块, 浮点数四舍五入为整数宽度; 如果启动反走样, 则画一个圆形像素集, 边界像素用低的颜色强度绘制, 用浮点数不进行四舍五入, 从而使所画的点看上去很光滑。

9.5.3 线

1. 直线的绘制

我们知道, 两个点可以确定一条直线, 下面的代码在两个点(0, 0, 0)和(50, 50, 50)之间

画一根直线。

```
glBegin(GL_LINES);
glVertex3f(0.0,0.0,0.0)
glVertex3f(50.0,50.0,50.0)
glEnd();
```

注意:在 OpenGL 中,参数 GL_LINES 对每两个指定的顶点画一根直线。如果 GL_LINES 指定奇数个顶点,那么最后一个顶点将会被忽略。

2. 折线和封闭折线的绘制

用以下的指令可以绘制折线和封闭折线。在指定 GL_LINES_STRIP 时,可从一个顶点到另一个顶点用连续的线段画线。例如,在 xy 平面上画两条由三个顶点指定的线,如图 9.6 所示,其代码如下:

```
glBegin (GL_LINE_STRIP);
glVertex3f(0.0,0.0,0.0);
glVertex3f(50.0,50.0,0.0);
glVertex3f(50.0,100.0,0.0);
glEnd( );
```

GL_LINES_LOOP 与 GL_LINES_STRIP 类似,但会在指定的最后一个顶点和第一个顶点之间画一条线。我们用这种方法很容易画一个封闭图形,如图 9.7 所示。

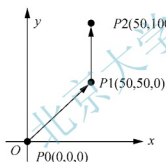


图 9.6 GL_LINES_STRIP 示例

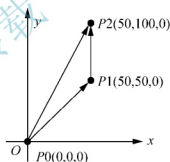


图 9.7 GL_LINES_LOOP 示例

3. 线型

用线型属性可以绘制虚线或点线,在 OpenGL 中统称为点画线。为了使用点画线,必须用以下指令先启动点画线模式。

```
void glLineStipple (GLint factor, GLushort pattern);
```

此命令有以下参数:

factor 是一个 1~255 的值,它表示 **pattern** 参数中所规定的像素的重复次数,即 **pattern** 参数中每一位能影响的像素数。

pattern 是画线操作时的一个样板。它是二进制的 0 和 1 的序列,在这个序列中 0 表示不画点,1 表示画点。

如果启动点画线操作,线上的点由 **pattern** 决定是否绘制,即从 **pattern** 的最低位开始,

逐个绘制线段上的点，如果式样用完后，线段还没有画完，则需重新装入样板。以下例子说明此函数的应用。

```
glLineStipple (1, 0x3F07)
```

此命令执行时，0x3F07 转化为二进制为 0011 1111 0000 0111。在画线操作时，首先绘制开始的 3 个像素点，接下来 5 个点不绘制，6 个点绘制，2 个点不绘制。如果点画线的样板用完，则将从头开始。

上例中，若 factor=2，那么 pattern 实际上就成为：00001111 11111111 00000000 00111111，结果为，6 个像素点画，10 个像素点不画，12 个像素点画，4 个像素点不画。

启动点画线用 glEnable(GL_LINE_STIPPLE)。

关闭点画线用 glDisable(GL_LINE_STIPPLE)。

4. 线宽

可以在画线时使用 glLineWidth (GLfloat width) 来控制线的宽度。glLineWidth() 函数用一个参数来指定要画的线以像素计的近似宽度，函数形式如下：

```
glLineWidth(GLfloat width)
```

此函数中，width>0.0，默认值 width=1.0。

线宽和点的大小一样，不是所有线宽都支持，我们要确保指定的线宽是可用的。下面的代码可以获得线宽的范围和它们之间的最小间隔。

```
GLfloat sizes [2];
GLfloat step;
glGetFloatv (GL_LINE_WIDTH_RANGE,sizes);
glGetFloatv (GL_LINE_WIDTH_GRANULARITY,&step);
```

sizes 数组包含两个元素，即为 glLineWidth 的最小有效值和最大有效值。另外，变量 step 用来保存线宽之间允许的最小增量。

9.5.4 多边形

1. 多边形的绘制

多边形是指由封闭线段围成的区域。但 OpenGL 中的多边形有两点限制：

- (1) 多边形的边不能自相交，即边和边除了多边形的顶点外不可以相交；
- (2) 多边形必须是凸多边形。

这些限制是为特别需要设置的。首先所有的多边形都可以分割为多个凸多边形。限制多边形的类型容易实现硬件加速。

在 OpenGL 中，多边形的绘制也是由函数 glBegin() 和 glEnd() 来完成的。

最简单的多边形是三角形，它只有三条边。GL_TRIANGLES 图元通过把三个顶点连接到一起而画出三角形。下面的代码可画出一个三角形，如图 9.8 所示。

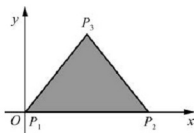


图 9.8 GL_TRIANGLES 示例

```
glBegin (GL_TRIANGLES);
    glVertex3f(0.0,0.0,0.0);
    glVertex3f(25.0,25.0,0.0);
    glVertex3f(50.0,0.0,0.0);
glEnd( );
```

注意：三角形被当前选定的颜色填充。如果我们尚未指定绘图颜色，则结果将是不确定的。

其他不同形式多边形的代码同上述模式相似，只需改变相应的参数即可。

2. 图案填充

多边形可以是以多种方式填充的多边形，OpenGL 提供了定义多边形的点画样式的函数 `glPolygonStipple()`，下面为具体介绍。

```
glPolygonStipple(glubyte *mask)
```

参数说明：

`mask` 指向一个 32×32 位图的指针。

另外还有两个相关函数。

`glEnable(GL_POLYGON_STIPPLE)`：启动多边形点画式样。

`glDisable(GL_POLYGON_STIPPLE)`：关闭多边形点画式样。

9.5.5 字符

OpenGL 本身没有附带字体的支持，而 OpenGL 体系结构评审委员会也很少涉及这方面的讨论。OpenGL 参考协议(OpenGL Specification)也没有关于字体的讨论信息。但字体是必不可少的，在 OpenGL 中可以使用其他方法来渲染字体，这里有两种方法：位图、画轮廓(多边形)。每种方法有其优点与缺点。

对于处理场景中独立旋转及缩放的标题而言，选择位图字体是比较理想的。从本质上来说，它是预先光栅化的，所以渲染速度比较快，使用它们对提高程序执行速度是显而易见的。

轮廓字体主要用于描述带控制点及曲线集合的字符特征。具体操作与 OpenGL 处理多边形是一致的。

更详细的内容，请读者参考其他有关 OpenGL 编程的书籍。

9.6 OpenGL 图形的几何变换

OpenGL 对图形的二维、三维的几何变换采用统一的变换函数，用参数调用来控制。在学习 OpenGL 几何变换之前，必须先掌握 OpenGL 矩阵操作函数，矩阵操作函数可以帮助用户自己定义变换。下面先介绍这些矩阵操作函数。

9.6.1 矩阵操作函数

```
void glLoadIdentity(void)
```

功能：设置当前操作矩阵为单位矩阵(当前矩阵即为以后图形变换所要使用的矩阵)。

```
void glLoadMatrix(fd)(const TYPE *m)
```

功能：设置任意的矩阵为当前的操作矩阵。

参数说明：

m 是一个单精度或双精度浮点数指针，指向一个按列存储的 4×4 矩阵。

例如：

```
GLfloat *m={ {m0,m1,m2,m3}, {m4,m5,m6,m7},
             {m8,m9,m10,m11}, {m12,m13,m14,m15} };
glLoadMatrixf(*m);
```

以上程序段执行的结果是把矩阵

$$M = \begin{bmatrix} m_0 & m_4 & m_8 & m_{12} \\ m_1 & m_5 & m_9 & m_{13} \\ m_2 & m_6 & m_{10} & m_{14} \\ m_3 & m_7 & m_{11} & m_{15} \end{bmatrix}$$

设为当前操作矩阵。

```
void glMultMatrix(fd)(const TYPE *m)
```

功能：用当前矩阵乘以这个函数所提供的矩阵，并且把结果置为当前矩阵。

参数说明：

m 是一个单精度或双精度浮点数指针，指向一个按列存储的 4×4 矩阵。

```
void glPushMatrix()
```

功能：将当前矩阵压入矩阵堆栈。

```
void glPopMatrix()
```

功能：将当前矩阵弹出矩阵堆栈。

运用以上的函数，如果有特殊的需要，用户就可以定义自己的变换。

OpenGL 定义了三种类型的矩阵，所以，在变换以前，必须指定当前的操作矩阵类型，这个操作是由函数 `glMatrixMode()` 来完成的，下面具体介绍这个函数。

```
void glMatrixMode (GLenum mode)
```

功能：指定当前的操作矩阵类型。

参数说明：

mode: 指定操作矩阵堆栈的具体类型，见表 9-3，具体含义见以后各章。

表 9-3 对 glMatrixModel 有效的矩阵模式标示符

Model	功 能
GL_MODELVIEW	指定随后的矩阵操作是模式矩阵堆栈
GL_PROJECTION	指定随后的矩阵操作是投影矩阵堆栈
GL_TEXTURE	指定随后的矩阵操作是纹理矩阵堆栈

9.6.2 几何变换

OpenGL 提供了三个基本几何变换矩阵函数: `glTranslate*()`、`glRotate*()`和 `glScale*()`, 以实现平移、旋转和缩放。用 OpenGL 中的矩阵操作函数也可以实现几何变换, 但是直接调用这三个函数程序来进行会运行得快一些。OpenGL 调用这三个变换函数, 实质上产生了一个被平移、旋转和缩放矩阵, 然后调用 `glMultMatrix()`与当前矩阵相乘。

1. 平移变换

平移变换函数如下:

```
void glTranslate(fd)(TYPE x,TYPE y,TYPE z)
```

三个函数参数 x 、 y 和 z 就是几何物体分别沿三个轴向平移的偏移量。这个函数表示用这三个偏移量生成的矩阵乘以当前矩阵。当参数是(0.0,0.0,0.0)时, 表示对函数 `glTranslate*()` 的操作是单位矩阵, 也就是对物体没有影响。

2. 旋转变换

旋转变换函数如下:

```
void glRotate(fd)(TYPE angle,TYPE x,TYPE y,TYPE z)
```

参数 `angle` 表示对象沿从坐标点(x,y,z)到原点的方向以逆时针旋转的角度(以度为单位, 范围是 $0.0 \sim 360.0$)。该命令用四个参数所构成的矩阵 R 乘以当前矩阵。如果参数 `angle` 为零, 该命令不起作用。

3. 比例变换

比例变换函数如下:

```
void glScale(fd)(TYPE x,TYPE y,TYPE z)
```

参数表示变换对象分别沿三个坐标轴缩放的比例因子。该命令把三个比例因子形成的矩阵 S 乘以当前矩阵。变换对象中的每个点的在 x 、 y 和 z 轴上的坐标都要乘上相应的参数 x 、 y 、 z 。

当参数是(1.0, 1.0, 1.0)时, 表示对函数 `glScale*()`操作是单位矩阵, 也就是对物体没有影响。当其中某个参数为负值时, 表示将对目标进行相应轴的反射变换, 且这个参数不为 1.0, 则还要进行相应轴的比例变换。最好不要令三个参数值都为零, 这将导致物体沿三轴都缩为零。

9.6.3 OpenGL 视区变换

本节主要介绍 OpenGL 图形软件包的视区变换, 由于 OpenGL 是一个三维图形软件包, 虽然其提供了二维观察变换的一些指令, 但仍然会涉及许多三维图形的知识, 因此, 把大量其他的知识放在三维图形的观察变换这一章中介绍, 有兴趣的读者可以先参考本章第八节中 OpenGL 观察流程这一部分。

视区变换就是把裁剪后的图形映射到屏幕窗口的过程。视区(ViewPort)相当于屏幕窗口中的一块区域, 默认的视区和屏幕窗口一样大。可以用函数 `glViewport()` 来设置绘图区域, 例如, 可以在同一个屏幕窗口里划分多个子窗口, 为多个视图创造分屏效果。

```
Void glViewport (Glint x,Glint y,Glsizei width, Glsizei height);
```

功能: 定义一个视区。

参数说明:

`x, y`: 指定视区矩形在屏幕窗口中的左下角位置;

`width, height`: 指定视区的矩形的宽和高。

默认情况下, 视区的初始值为 `(0, 0, winWidth, winHeight)`, 其中, `winWidth` 和 `winHeight` 是当前屏幕窗口尺寸。

通常, 视区的长宽比应与裁剪空间的长宽比相等。如果这两个比值不同, 则当投影的图形被映射到视区时将发生扭曲。注意, 在这之后改变窗口尺寸的操作, 并不直接影响视区, 因此, 应用程序应能够检测窗口尺寸改变这一事件, 并且对视区进行适当的修改。如果要创建两个并排的视区, 可调有下列函数:

```
glviewport (0, 0, sizeX/2, sizeY);
glviewport (sizeX/2, 0, sizeX/2, sizeY);
```

9.7 OpenGL 的交互操作

OpenGL 并不直接支持任何输入设备。我们一般使用 `glut` 来处理数据输入和用户的交互式动作。但 OpenGL 提供了对二维及三维对象拾取的功能。OpenGL 中的主要交互命令为选择和拾取命令以及反馈命令。

OpenGL 中的选择(Select)模式可以从绘制的一系列图元中选中与用户指定的观察体相交的图元。用户观察体在二维空间是指由用户定义的矩形或多边形等。在三维空间则是三维的矩形包围盒或其他三维形体。在选择模式下, 与观察体相交的每一图元都要产生一个选中信息, 以确定操作是否被选中。OpenGL 中还包含一个拾取(Pick)命令。用此命令可以拾取图元。用上述选择及拾取命令, 用户可以方便地进行若干交互操作, 如选择一个图元项, 选择一组图元项, 在当前选择中增加一个或多个图元项, 从一组重叠的图元中选中一个图元等。OpenGL 下的反馈命令与选择命令有相似之处, 即在此模式下不产生任何画面, 要绘制的图元将被送回应用程序。

用上述 OpenGL 中的各种交互操作命令, 可以方便地选中一个或多个图元, 然后使用

应用程序完成定位、拖移、橡皮带等多种交互功能。OpenGL 中的交互操作可在二维空间及三维空间进行,在三维空间下定义三维观察体后,可选择落入此观察体中的三维图元,但三维情况下的选择比较困难,因为屏幕上的光标常常没有深度指示。

9.7.1 物体的选择

选择物体事实上是响应 OpenGL 应用程序的一个拾取事件,该事件通常是由鼠标来触发的。为此,应用程序必须建立物体的名称集合,并将名称加以适当组织。然后当发生拾取事件时,就对其进行响应。当拾取一个物体后,就以记录的形式组织相关信息并返回给应用程序。

物体的选择集合是用物体的名称堆栈来管理的,建立名称堆栈的步骤如下:

- (1) 用 `glSelectBuffer()` 指定用于返回命令中记录的数组。

```
void glSelectBuffer(GLsizei size, GLuint *buffer);
```

指定用于返回选择数据的数组。参数 `buffer` 是指向无符号整数(unsigned integer)数组的指针,数据就存在这个数组中, `size` 参数说明数组中最多能够保存的值的个数。要在进入选择模式之前调用 `glSelectBuffer()`。

- (2) 以 `glRenderMode(GL_SELECT)` 函数进入选择模式。

```
GLint glRenderMode(GLenum mode);
```

控制应用程序是否进入渲染、选择或反馈模式。`mode` 参数可以是 `GL_RENDER`(默认)、`GL_SELECT` 或 `GL_FEEDBACK` 之一。应用程序将保持处于给定模式,直到再次以不同的参数调用 `glRenderMode()` 为止。在进入选择模式之前必须调用 `glSelectBuffer()` 指定选择数组。类似地,进入反馈模式之前要调用 `glFeedbackBuffer()`,指定反馈数组。如果当前模式是 `GL_SELECT` 或 `GL_FEEDBACK` 之一,那么 `glRenderMode()` 的返回值有意义。返回值是当前退出当前模式时,选择命中数或放在反馈数组中的值的个数。负值意味着选择或反馈数组溢出。可以用 `GL_RENDER_MODE` 调用 `glGetIntegerv()` 获取当前模式。

- (3) 用 `glInitName()` 和 `glPushName()` 初始化名称堆栈。

```
void glInitNames(void);
```

清空名称堆栈。

```
void glPushName(GLuint name);
```

将 `name` 压入名称堆栈。压入名称超过栈容量时将生成一个 `GL_STACK_OVERFLOW` 错误。名称堆栈深度因 OpenGL 实现不同而不同,但最少要能容纳 64 个名字。可以用参数 `GL_NAME_STACK_DEPTH` 调用 `glGetIntegerv()` 以获取名称堆栈深度。

- (4) 定义用于选择的视见体,并用 `glPickMatrix()` 设定选择区域的范围。

```
void gluPickMatrix(GLdouble x, GLdouble y,
GLdouble width, GLdouble height, GLint viewport[4]);
```

建立一个投影矩阵用于将绘制限制在视口的一个小区域里,并将这个矩阵乘到当前矩阵栈上。拾取区域的中心是窗口坐标(x,y)处,通常是光标位置。`width` 和 `height` 定义选取区

域大小,用屏幕坐标。`viewport[]`表明当前视口边界,这可以用调用 `glGetIntegerv(GL_VIEWPORT, GLint *viewport)`获得。

(5) 依照绘图模式下场景的绘制步骤原样绘制场景。一般可以与绘图模式共用绘制场景的函数。在绘制过程中,为每一个待选物体设定一个名字,并将该名称压入堆栈。

(6) 用 `glRenderMode(GL_RENDER)`函数退出选择模式。记录该函数的返回值,该值应为选中的数目。在选中物体名称缓存中记录有选中物体的名称及其他有用的信息。

必须指出的是,尽管选择模式给程序提供了一个重要的交互手段,但要正确地选中物体却有许多问题需要解决,比如,当有效拾取区有许多物体时怎样从中选择一个或多个物体;当多个物体具有同一名称时又怎样处理;如果在有效区中不能选中物体又怎样来解决等。这些问题均属于技术问题,可以基于 OpenGL 的选择模式来解决,也可以构造自己的图形学算法来解决它们。

9.7.2 反馈

信息反馈为程序设计提供了重要的运行资料。在反馈模式下,每个被光栅化的基元均产生一组数据,并由 OpenGL 把它们存放入反馈数组中,每组数据均有一个标记,该标记说明了基元的类型,接着是描述基元的顶点坐标值、其他如颜色和纹理等相关数据。在退出反馈模式之后,这些数据就被写入反馈数组中。在应用反馈模式时,还可以插入一个标记,通过标记可以把一组数据与另一组数据区分开来,以便于识别和处理。

与选择模式相同的是,反馈模式不对像素进行任何光栅化操作,也不向帧缓存写入任何绘图信息,因而在应用反馈模式之前,必须绘制一次需要反馈信息的物体。与选择模式不同的是,反馈模式根据基元被处理的情况决定返回已经被处理的几何顶点的相关数据,应用时要比选择模式简单得多,也不存在较大的技术问题。遗憾的是,OpenGL 直接返回的都是顶点的已经被光栅化后的窗口坐标(当然,可通过一系列线性变换获得该顶点的世界坐标)。反馈模式不像选择模式那样需要外设来触发,可以通过函数调用来实现。

应用反馈模式的基本步骤如下:

(1) 确定反馈信息的信息类别和反馈数组。反馈数组应是一个存储浮点值的数组,由 `glFeedbackBuffer()`函数来完成,其原型为:

```
void glFeedbackBuffer(GLsizei size, GLenum type, GLfloat * buffer);
```

其中, `size` 参数表示能够写进反馈数组的数据的最大个数; `type` 参数为一个标记常数,它表明 OpenGL 应该返回顶点的那些数据,可以取的值如下: `GL-2D`、`GL-3D`、`GL-3D-COLOR`、`GL-3D-COLOR-TEXTURE` 及 `GL-4D-COLOR-TEXTURE`,其含义说明如下:

- ① `GL-2D` 只返回顶点的几何坐标(x, y)。
- ② `GL-3D` 只返回顶点的几何坐标(x, y, z)。
- ③ `GL-3D-COLOR` 返回顶点的几何坐标(x, y, z)及顶点的颜色。若颜色为 `RGBA` 模式,则颜色分量的个数为 4,这样该组数据的个数为 7。
- ④ `GL-3D-COLOR-TEXTURE` 返回顶点的几何坐标(x, y, z)、顶点的颜色与纹理值。纹理由 4 个量组成。这样在 `RGBA` 模式下,该组数据的个数为 11 个。
- ⑤ `GL-4D-COLOR-TEXTURE` 返回顶点的被剪切后的几何坐标(x, y, z, w)、顶点的

颜色和纹理值。这样在 RGBA 模式下,该组数据的个数为 12 个。

(2) 将 `glRenderMode()` 函数的参数设为 GL-FEEDBACK, 使 OpenGL 进入反馈模式。

(3) 重新绘制物体, 并按要求插入标记。重新绘制物体时, 并不向帧缓存写入绘图信息。在反馈数组中, 每组数据均有一个标记, 这个标记说明了这组反馈信息描述的是基本几何对象还是像素数据。这个标记可以是表 9-4 的一些常数。

表 9-4 标记说明

标 记	处理的几何对象
GL_POINT_TOKEN	顶点
GL_LINE_TOKEN	线
GL_LINE_RESET_TOKEN	线
GL_POLYGON_TOKEN	多边形
GL_BITMAP_TOKEN	位图
GL_DRAW_PIXEL_TOKEN	像素
GL_COPY_PIXEL_TOKEN	像素
GL_PASS_THROUGH_TOKEN	通过

反馈模式下, 每次调用 `glDrawPixels()` 或 `glCopyPixels()` 函数都会向反馈数组中写入相关数据。但是, 插入标记却是另一个概念, 它在一组数据与另一组数据间插入一个标记数组。由 `glPassThrough()` 函数来完成, 并由其所在位置决定插在何处。比如, `glPassThrough(2.0)` 表示生成一个标记组, 该组由两项组成, 第一项也为一个标记, 即 `GL_PASS_THROUGH_TOKEN`, 第二项为一个浮点数, 此时即为 2.0。

(4) 退出反馈模式, 处理反馈数据。

9.8 OpenGL 观察流程和函数

在 OpenGL 中, 世界坐标系和建模坐标系是统一的, 在这个坐标系中, 三维图形的表示是通过物体的顶点坐标来描述的, 所以在 OpenGL 中被称为物体坐标系(Object Coordinates)。物体坐标系符合右手规则, 是一个右手坐标系, 而观察坐标系则是左手坐标系。

如果将观察坐标系的原点放在显示屏幕的左下角, 则 uv 平面的第一象限就直接映射到屏幕上, 而 n 轴的正向则指向显示屏的纵深位置, 观察坐标在 OpenGL 中通常称为眼坐标(Eye Coordinates)。OpenGL 观察流程如图 9.9 所示。

OpenGL 中使用模视图矩阵表示从物体坐标到观察坐标(由默认的观察坐标系确定)的变换, 因此世界坐标和观察坐标统一为一体。由于物体坐标最终都要变换到观察坐标, 因此这样的流程提高了效率, 尽管省略世界坐标会有概念上的不完整。但如果需要, 世界坐标等于默认的观察坐标。需要注意的是由于缺建模变换, 模视图矩阵变换的是坐标系, 而不是物体的变换。

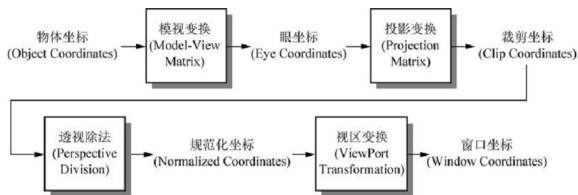


图 9.9 OpenGL 观察流程

9.8.1 常用的变换函数

在上述坐标变换的四个步骤中，经常用到一些变换函数，并且这些变换是和矩阵相关的。所以，在这里先对这些函数做一下说明：

```
void glMatrixMode(Glenum mode);
```

功能：该函数指定哪一种矩阵为当前矩阵。

参数说明：mode 指定当前矩阵的类型。可以有下面三种类型：

① GL_MODELVIEW 后继的操作均在模视(modelview)变换范围内。

② GL_PROJECTION 后继的操作均在投影变换范围内。

③ GL_TEXTURE 后继的操作在纹理映射范围内。

某一时刻只能处于其中的一种状态。默认时，处于 GL_MODELVIEW 状态。

```
void glLoadIdentity(void);
```

功能：该函数设置单位矩阵为当前矩阵。

```
void glLoadMatrix(fd)(const TYPE* m);
```

功能：该函数用任意 4×4 矩阵替代当前矩阵。

参数说明：m 指定任意矩阵的 16 个元素

```
void glMultMatrix(fd)(const TYPE* m);
```

功能：该函数用任意 4×4 矩阵乘当前矩阵。

参数说明：m 指定任意矩阵的 16 个元素

参数 m 为指定矩阵 M ， M 由 16 个值的向量 $(m_0, m_2, \dots, m_{15})$ 组成：

$$M = \begin{bmatrix} m_0 & m_4 & m_8 & m_{12} \\ m_1 & m_5 & m_9 & m_{13} \\ m_2 & m_6 & m_{10} & m_{14} \\ m_3 & m_7 & m_{11} & m_{15} \end{bmatrix}$$

9.8.2 模视变换

模视变换过程就是一个将顶点坐标从物体坐标变换到观察坐标的过程。OpenGL 中的观察坐标系，是一个左手坐标系，该坐标系是可以活动的。

1. 变换的顺序

当执行变换 A 和 B 时, 如果按不同顺序执行, 则结果往往会大不相同。例如变换 A 为旋转 45° 角, 变换 B 为向 x 轴方向移动一个距离, 不同的执行顺序产生不同的结果, 如图 9.10 所示。

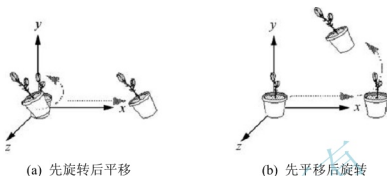


图 9.10 几何变换的顺序

考察下面利用三个变换绘制顶点的代码:

```
glMatrixMode(GL_MODELVIEW);
glLoadIdentity();
glMultMatrixf(N); /*变换 N 个单位*/
glMultMatrixf(M); /*变换 M 个单位*/
glMultMatrixf(L); /*变换 L 个单位*/
glBegin(GL_POINTS);
glVertex3f(v); /*画偏移顶点 v */
glEnd();
```

在这个过程中, 在 $GL_MODELVIEW$ 状态下, 相继引入了 I (单位阵)、 N 、 M 、 L 矩阵。变换后的顶点为 $NMLv$ 。因此, 顶点的变换为 $N(M(Lv))$ 。

2. 模型变换

模型变换有三个基本的 OpenGL 命令:

`glTranslate*()` 平移;

`glRotate*()` 旋转;

`glScale*()` 缩放。

OpenGL 自动计算这三个命令的平移、旋转和缩放矩阵, 这些命令的作用等价于调用 `glMultMatrix*()`, 参数设置为相应的矩阵。但前者比后者计算要快, 这三条命令详见 9.6.2 节。

3. 观察变换

观察变换改变视点的位置和方向, 也就是改变观察坐标系(眼坐标系)。在世界坐标系中, 视点和物体的位置是一个相对的关系, 对物体做一些平移、旋转变换, 必定可以通过对视点作相应的平移、旋转变换来达到相同的视觉效果。完成视图变换可以有以下几种方法:

① 利用一个或几个模型变换命令(即 `glTranslate*()` 和 `glRotate*()`)。由于这些命令也是在 $GL_MODELVIEW$ 状态下执行的, 所以较难与那些模型变换命令区分开来, 移动视点的

变换和移动物体的变换很容易混淆。为了便于建立清晰的物体和场景模型,可以认为只有其中一个变换在起作用,比如认为只有模型变换的话,那么 `glTranslate*()` 和 `glRotate*()` 将统一被视为对物体的变换。

② 利用实用库函数 `gluLookAt()` 设置观察坐标系。在实际的编程应用中,用户在完成场景的建模后,往往需要选择一个合适的视角或者不停地变换视角,以对场景作观察。实用库函数 `gluLookAt()` 就提供了这样的一个功能。

```
void gluLookAt(GLdouble eyex, GLdouble eyey,
               GLdouble eyez, GLdouble centerx,
               GLdouble centery, GLdouble centerz,
               GLdouble upx, GLdouble upy, GLdouble upz);
```

功能: 该函数定义一个视图矩阵, 并与当前矩阵相乘。

参数说明:

`eyex, eyey, eyez` 指定视点的位置;

`centerx, centery, centerz` 指定参考点的位置;

`upx, upy, upz` 指定视点向上的方向。

如图 9.11 所示, 视点 E 、参考点 C 、视点向上的方向 U 实际上就是设定了一个观察坐标系。这个观察坐标系的原点是 E , 视线的方向(即 z 轴)是 $C-E$ 、 y 轴方向就是视点向上的方向 U 、剩下的 x 轴方向就是向量 $((C-E) \times U)$ 。由于 y 轴和 x 轴是垂直的, 所以也要求向量 $(C-E)$ 和 U 互相垂直。这点在设置该函数参数时是必须注意的。

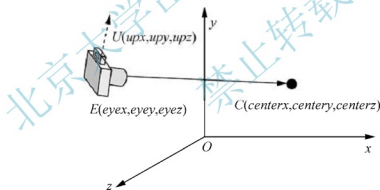


图 9.11 函数 `gluLookAt()` 的设置

③ 创建封装旋转和平移命令的实用函数。有些应用需要用简便方法指定视图变换的定制函数。例如, 在飞机飞行中指定滚动、俯仰和航向旋转角, 或对环绕对象运动的照相机指定一种利用极坐标的变换。

9.8.3 投影变换

投影变换就是要确定一个取景体积, 其作用有两个:

- (1) 确定物体投影到屏幕的方式, 即是透视投影还是平行(正交)投影。
- (2) 确定从图像上裁剪掉哪些物体或物体的某些部分。

投影变换包括透视投影和平行投影(正交投影)。

1. 透视投影

透视投影的示意图如图 9.12 所示, 其取景体积是一个截头锥体, 在这个体积内的物体投影到锥的顶点, 用 `glFrustum()` 函数定义这个截头锥体, 这个取景体积可以是不对称的, 计算透视投影矩阵 M , 并乘以当前矩阵 C , 使 $C = C \cdot M$ 。

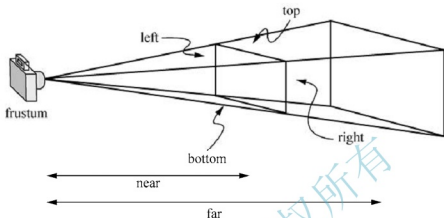


图 9.12 透视投影示意图

```
void glFrustum(GLdouble left, GLdouble right,
               GLdouble bottom, GLdouble top,
               GLdouble near, GLdouble far);
```

功能: 该函数以透视矩阵乘以当前矩阵。

参数说明:

`left, right` 指定左右垂直裁剪面的坐标;

`bottom, top` 指定底和顶水平裁剪面的坐标;

`near, far` 指定近和远深度裁剪面的距离。两个距离一定是正的。

2. 平行(正交)投影

平行(正交)投影的示意图如图 9.13 所示, 其取景体积是一个各面均为矩形的六面体, 用 `glOrtho()` 函数创建正交平行的取景体积, 计算正交平行取景体积矩阵 M , 并乘以当前矩阵 C , 使 $C = C \cdot M$ 。

```
void glOrtho(GLdouble left, GLdouble right,
             GLdouble bottom, GLdouble top,
             GLdouble near, GLdouble far);
```

功能: 该函数以正交投影矩阵乘当前矩阵。

对于二维情况, `glu` 库函数提供 `glOrtho2D` 命令用于二维图像的投影:

```
void gluOrtho2D(GLdouble left, GLdouble right,
                GLdouble bottom, GLdouble top);
```

功能: 该函数创建一个二维投影矩阵 M , 裁剪平面是左下角坐标为(`left, bottom`)、右上角坐标为(`right, top`)的矩形。

在通过视图造型矩阵和投影矩阵变换场景中对象的顶点后,任何位于取景体积外的顶点都被裁剪掉。除此之外,还可指定附加的任意位置的裁剪面,对场景中的物体作进一步的裁剪选择。

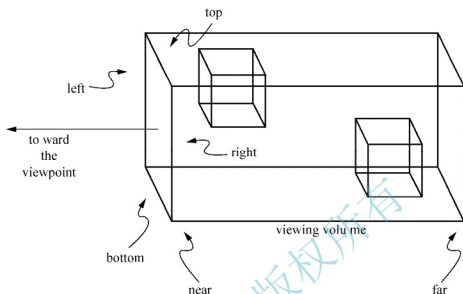


图 9.13 平行(正交)投影示意图

9.8.4 视区变换

视区就是窗口中矩形绘图区。用窗口管理器在屏幕上打开一个窗口时,已经自动地把视区设为整个窗口的大小,可以用 `glViewport` 命令设定一个较小的绘图区,利用这个命令还可以在同一窗口上同时显示多个视图,达到分屏显示的目的。

```
void glViewport(GLint x, GLint y, GLsizei width, GLsizei height);
```

功能: 该函数设置视区的大小。

参数说明:

`x, y` 指定视区矩形的左下角坐标(以像素为单位)。默认值为(0,0);

`width, height` 分别指定视区的宽和高。

默认时,初始视区为(0,0,cx,cy),其中 `cx, cy` 分别为窗口的宽和高。应该使视区的长宽比与取景体积的长宽比相等,否则会使显示的图像变形,另外在程序中应该及时接收窗口变化的事件,正确调整视区。

在经过裁剪和透视除法(即除以 `w`)之后, `z` 坐标变为规格化的设备坐标,其值在-1.0 和 1.0 之间变化,分别对应于近、远裁剪面。函数 `glDepthRange()` 指定在这个范围内的规格化 `z` 坐标线性映射为窗口 `z` 坐标。不管实际深度缓存是如何实现的,窗口坐标深度值被处理为在 0.0~1.0 变化。

```
void glDepthRange(GLclampd near, GLclampd far);
```

功能: 该函数指定从规格化设备坐标到窗口的 `z` 值(深度值)映射。

参数说明:

`near` 指定映射到窗口坐标的近裁剪面,默认值为 0;

far 指定映射到窗口坐标的远裁剪面, 默认值为 1。

near 和 far 值表示可存储在深度缓存中的最小和最大值的配置。默认值依次为 0.0 和 1.0, 大多数应用可利用默认值。

9.8.5 附加裁剪面

除了视见体的六个裁剪面(左、右、底、顶、近和远)外, OpenGL 还能定义最多 6 个附加的裁剪面来进一步限制视见体, 如图 9.14 所示。

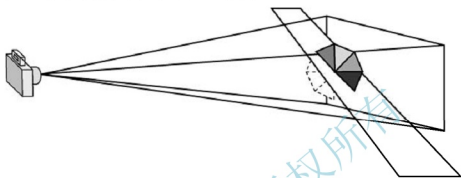


图 9.14 附加裁剪面视图

附加裁剪面可用于显示物体的剖面图。每个裁剪面通过指定方程 $Ax+By+Cz+D=0$ 中的系数来确定的。裁剪面通过造型和视图变换自动进行相应的变换。最后的裁剪体成为视见体和附加裁剪面所定义的全部半空间的相交的立体空间。

```
void glClipPlane(GLenum plane, const GLdouble *equation);
```

功能: 该函数定义附加裁剪面。

参数说明:

plane 用符号名 GL_CLIP_PLANE i 指定裁剪面, 其中 i 为 0 和 5 之间的整数, 指定 6 个裁剪面中的一个; equation 指定 4 个值的数值, 存放平面方程的 4 个参数。

在定义每个附加裁剪面之前, 必须发出激活命令:

```
glEnable(GL_CLIP_PLANEi);
```

用以下命令可激活一个平面:

```
glDisable(GL_CLIP_PLANEi);
```

有些 OpenGL 允许设置多于 6 个的裁剪面, 可利用下面命令来查询支持裁剪面的数目。

```
glGetIntegerv(GL_MAX_CLIP_PLANES, GLint * p);
```

该函数返回后, 参数指针 p 所指向的整数值即为该系统所支持裁剪面的数目。

9.9 OpenGL 中自由曲线和曲面的绘制

9.9.1 Bezier 曲线的绘制

Bezier 曲线是一种以逼近为基础的参数曲线, 它是由一组 Bezier 特征多边形来定义的。

曲线的起点和终点与该多边形的起点和终点重合，且多边形的第一条边和最后一条边分别表示了曲线在起点和终点处的切向矢量方向。曲线的形状则趋于多边形的形状。多边形可由其顶点来定义。这些顶点则被称为控制点。只要给出控制点，就可生成一条 Bezier 曲线。

1. 曲线的定义与激活

在 OpenGL 中，曲线和曲面的构造是借助于 OpenGL 求值器来完成的。要生成一条曲线，首先，要创建一个求值器。求值器是基于 OpenGL 而建立的一个生成更一般曲线和曲面包的工具。利用求值器可自动生成顶点坐标、法线坐标和纹理坐标。其次，要激活求值器，使其进行曲线映射。最后，要将求值器生成的各顶点连接起来则可以生成一条完整的曲线。

创建一维评价器的函数为 `glMap1d()` 或 `glMap1f()`，由它们生成所需坐标值。`glMap1d()` 函数原型为：

```
void glMap1d( GLenum target, GLdouble u1, GLdouble u2,
             GLint stride, GLint order, const GLdouble *points );
```

其中，`target` 参数是一个标识参数，它表示控制点应该组织成什么样的数据形式，以及当求值器被成功调用后输出数据的形式。它可以取表 9-5 中的任意一个值。

表 9-5 target 参数

常 量	含 义
<code>GL_Map1_VERTEX_3</code>	用(x,y,z)描述一个控制点
<code>GL_Map1_VERTEX_4</code>	用(x,y,z,w)描述一个控制点
<code>GL_Map1_INDEX</code>	控制点表示一个颜色索引值
<code>GL_Map1_COLOR_4</code>	控制点是 RGBA 颜色值
<code>GL_Map1_NORMAL</code>	控制点是一个法线向量
<code>GL_Map1_TEXTURE_COORD_1</code>	控制点是一个纹理坐标的 s 分量
<code>GL_Map1_TEXTURE_COORD_2</code>	控制点是一个(s,t)纹理坐标
<code>GL_Map1_TEXTURE_COORD_3</code>	控制点是一个(s,t,r)纹理坐标
<code>GL_Map1_TEXTURE_COORD_4</code>	控制点是一个(s,t,r,q)纹理坐标

`u1` 和 `u2` 参数表示调和函数的变量 u 的取值范围；`stride` 参数表示控制点向量的维数，可以与 `target` 参数表示的含义不一致；`order` 参数为控制点的个数；`points` 参数为控制点地址指针。

创建一个一维曲线求值器之后，就应该激活求值器使其进入工作状态。由下述语句完成：

```
glEnable(GL_MAP1_VERTEX_3);
```

注意：`glEnable()` 函数的参数应该与 `glMap1d()` 函数的第一个参数一致。当不再需要映射之后，就应该挂起求值器，使用的语句为：

```
glDisable(GL_MAP1_VERTEX_3);
```

2. 曲线坐标的计算

为了能生成一条曲线,还要进行曲线坐标的计算和连接。该函数为 `glEvalcoord1d()` 或 `glEvalCoord1f()`。以 `glEvalcoord1d()` 为例,其原型为:

```
void glEvalcoord1d(GLdouble u);
```

其中, u 参数表示参数空间 UVW 中 u 参数的取值。给定一个 u 值,就会产生一个曲线坐标。当用 `glEvalcoord1d()` 函数生成曲线坐标之后,还要将这些坐标连接起来构成一条曲线。这可以通过 `glBegin()` / `glEnd()` 函数对来完成。

3. 定义均匀间隔曲线坐标值

OpenGL 允许对 u 参数区间进行自动等分,以获得等间距的曲线上的点。该函数为 `glMapGrid1d()` 或 `glMapGrid1f()`。以 `glMapGrid1d()` 函数为例,其原型为:

```
void glMapGrid1d(GLint un, GLdouble u1, GLdouble u2);
```

其中, un 参数表示参数区间等分数; $u1, u2$ 参数表示参数区间 $[u1, u2]$, 必须均为非负值。当对参数区间进行自动等分之后,还需要用 `glEvalMesh1()` 函数产生一系列的点,并利用这些顶点坐标最终绘制成一条曲线。

9.9.2 Bezier 曲面的绘制

计算机图形学中的所有光滑曲面都采用多边形逼近来绘制,而且许多有用的曲面在数学上也只用少数几个参数(如控制点或网等)来描述。通常,用 16 个控制点描述一个曲面要比用 1000 多个三角形和每个顶点的法向信息要节省很多内存。而且,1000 个三角形仅仅只逼近曲面,而控制点可以精确地描述实际曲面,且可自动计算法向。下面简要地介绍 OpenGL 中 Bezier 曲面的绘制方法,所有相关的函数都与曲线的情况类似,只是二维空间而已。

曲面定义函数为:

```
void glMap2{fd}(GLenum target, TYPE u1, TYPE u2, GLint
ustride, GLint uorder, TYPE v1, TYPE v2, GLint vstride, GLint
vorder, TYPE points);
```

参数 `target` 可以是表 9-5 中的任意值,不过需将 MAP1 改为 MAP2。同样,启动曲面的函数仍是 `glEnable()`, 关闭是 `glDisable()`。 $u1, u2$ 为 u 的最大值和最小值; $v1, v2$ 为 v 的最大值和最小值。参数 `ustride` 和 `vstride` 指出在控制点数组中 u 和 v 向相邻点的跨度,即可从一个非常大的数组中选择一块控制点长方形。例如,若数据定义成如下形式:

```
GLfloat ctlpoints[100][100][3];
```

并且,要用从 `ctlpoints[20][30]` 开始的 4×4 子集,选择 `ustride` 为 100×3 , `vstride` 为 3,初始点设置为 `ctlpoints[20][30][0]`。最后的参数都是阶数: `uorder` 和 `vorder`, 二者可以不同。曲面坐标计算函数为:

```
void glEvalCoord2{fd}[v](TYPE u, TYPE v);
```

使用该函数产生曲面坐标并绘制。参数 u 和 v 是定义域内的值。

9.9.3 NURBS 曲线的绘制

在 OpenGL 中, GLU 函数库提供了一个 NURBS 接口, 该接口连接 OpenGL 求值器, 并通过求值器连接 OpenGL 的核, 最终实现用户交互。用户需要提供的重要数据包括控制点、节点和纹理等数据。控制点说明曲线的大致走向, 而节点则控制 B 样条函数的形状, 从而最终控制曲线的形状。绘制一个 NURBS 曲线至少要完成如下步骤:

- ① 提供控制点序列和节点序列;
- ② 创建一个 NURBS 对象, 设置 NURBS 对象属性;
- ③ 绘制曲线。

要创建一个 NURBS 对象, 首先应定义一个 NURBS 对象指针, 然后用 `gluNewNurbsRender()` 函数来创建。函数形式为:

```
GLUnurbsObj * theNurb;
TheNurb = gluNewNurbsRender();
```

在此之后, 应设置 NURBS 对象的属性, 通过 `gluNurbsPropety()` 函数来完成。该函数的原型为:

```
void gluNurbsPropety(GLUnurbsObj * nobj, GLenum property, GLfloat value);
```

其中, `nobj` 参数为一个 NURBS 对象指针, 由 `gluNewNurbsRender()` 函数创建。`property` 参数可取表 9-6 的值。

`value` 参数说明属性的值。其取值较复杂, 它可以为一个浮点数, 也可以为一个常量, 主要由 `property` 参数来决定。当 `property` 参数为 `GLU_DISPLAY_MODE` 时, `value` 可以取如下三者之一: `GLU_FILL`、`GLU_OUTLINE_POLYGON` 或 `GLU_OUTLINE_PATCH`。其含义见表 9-7。若 `property` 参数为 `GLU_SAMPLING_METHOD`, `value` 的取值可参见表 9-8。

表 9-6 `property` 参数

常 量	含 义
<code>GLU_SAMPLING_TOLERANCE</code>	边缘的最大像素长度
<code>GLU_DISPLAY_MODE</code>	绘制曲线曲面的模式
<code>GLU_CULLING</code>	细化时如何处理 NURBS 曲线
<code>GLU_AUTO_LOAD_MATRIX</code>	自动下载变换矩阵
<code>GLU_PARAMETRIC_TOLERANCE</code>	最大绘制步长
<code>GLU_SAMPLING_METHOD</code>	怎样细化一个 NURBS 曲面
<code>GLU_U_STEP</code>	参数 <i>u</i> 单位长度的取样步长
<code>GLU_V_STEP</code>	参数 <i>v</i> 单位长度的取样步长

表 9-7 当 `property` 参数为 `GLU_DISPLAY_MODE` 时 `value` 参数的取值

常 量	含 义
<code>GLU_FILL</code>	绘制一张填充曲面

续表

常 量	含 义
GLU_OUTLINE_POLYGON	只绘制细化多边形的轮廓
GLU_OUTLINE_PATCH	绘制用户定义的曲面小片和修剪回路

表 9-8 当 property 参数为 GLU_SAMPLING_METHOD 时 vlue 参数的取值

常 量	含 义
GLU_PATH_LENGTH	细化多边形的边缘长度不超过由 GLU_SAMPLING_TOLERANCE 指定的值
GLU_PARAMETRIC_ERROR	说明细化多边形与曲面间的误差参考由 GLU_PARAMETRIC_TOLERANCE 指定的值
GLU_DOMAIN_DISTANCE	参数空间的取样距离

最后,应根据所提供的外部数据(如控制点列、节点序列、法线矢量数据、纹理数据等)绘制曲线。与二维形状的绘制过程一样,曲线的绘制是在 `gluBeginCurve()/gluEndCurve()` 函数对中完成的。这两个函数的参数都是一个 NURBS 对象。绘制曲线的函数为: `gluNurbsCurve()`, 其原型为:

```
void gluNurbsCurve(GLUnurbsobj * nobj, GLint nknots, GLint * knot, GLint stride, GLfloat * ctrlarray, GLint order, GLenum type);
```

其中, `nobj` 参数是一个 NURBS 对象; `nknots` 参数表示 u 参数区间的节点数目, 它等于控制点个数加上 NURBS 曲线的阶数; `knot` 参数表示节点序列的指针; `stride` 参数表示一个控制点的分量个数; `ctrlarray` 参数表示控制点序列的指针; `order` 参数表示 NURBS 曲线的阶数; `type` 参数表示曲线的类型, 可以取 `GL_MAP1_VERTEX_3`、`GL_MAP1_COLOR_4`、`GL_MAP1_TEXTURE_COORD_2`、`GL_MAP1_NORMAL` 等值。

9.9.4 NURBS 曲面的绘制

下面介绍如何绘制 NURBS 曲面。NURBS 曲面的绘制与 NURBS 曲线的绘制过程是一致的。但是在绘制 NURBS 曲面时, 由于 NURBS 曲面是二维参数曲面, 因此需要在非均匀参数轴上定义两个节点控制序列。绘制一个 NURBS 曲面的步骤如下:

- (1) 生成几何控制点序列及节点序列。
- (2) 生成纹理控制点序列及节点序列。
- (3) 生成法线控制点序列及节点序列(也可自动生成)。
- (4) 创建 NURBS 对象并确定该对象的属性。
- (5) 进行纹理映射。
- (6) 进行光照。
- (7) 激活各种所需特定功能。
- (8) 绘制曲面。
- (9) 挂起各种已用特定功能。

绘制 NURBS 曲面的重要函数是: `gluNurbsSurface()`, 其原型为:

```
void gluNurbsSurface( GLUnurbsObj * nobj, GLint sknot_count,
GLfloat * sknot, GLint tknot_count, GLfloat * tknot, GLint
s_stride, GLint t_stride, GLfloat * ctrlarray, GLint sorder,
GLint torder, GLenum type );
```

其中, `nobj` 参数为一个 NURBS 对象; `sknot_count` 参数表示 u 参数方向的节点数目, `sknot` 参数则为其地址, 对应序列是一个递增序列; `tknot_count` 参数表示 v 参数方向的节点数目, `tknot` 参数则为其地址, 对应序列也是一个递增序列; `s_stride`, `t_stride` 参数分别表示 u 和 v 方向上数据偏移量; `ctrlarray` 参数表示控制点序列, 它可以表示几何控制点、纹理控制点或法线控制点等; `sorder`、`torder` 参数分别表示 u 和 v 参数轴 NURBS 曲线的阶; `type` 参数则表示与控制点序列相对应的输出数据类型。

与绘制 NURBS 曲线一样, `gluNurbsSurface()` 函数必须在 `gluBeginSurface()/gluEndSurface()` 函数对被调用。

9.10 OpenGL 中的多边形的消除与消隐

在 OpenGL 中, 多边形分为正面和反面, 在使用多边形的过程中可以对多边形的两个面分别进行操作。例如, 现实生活中的一根钢管, 一般情况下, 其内外质地是不一样的。OpenGL 中提供多边形两面操作的命令就可以解决这个问题。默认状态下 OpenGL 对多边形正反面是以相同的方式绘制的, 要改变多边形的绘制状态, 必须调用函数 `glPolygonMode()`, 函数说明如下:

```
glPolygonMode(GLenum face, GLenum mode)
```

功能: 该函数控制多边形反面或正面的绘图模式。

参数说明:

`face`: 指定多边形的面。`face` 可能的值是 `GL_FRONT`、`GL_BACK` 和 `GL_FRONT_AND_BACK`。其中 `GL_FRONT` 指定多边形的正面, `GL_BACK` 指定多边形的反面, `GL_FRONT_AND_BACK` 指定多边形的正面和反面。

`mode`: 指定面的模式。表 9-9 说明了 `mode` 的可能值及其功能。

表 9-9 mode 的可能值及其功能

mode	功 能
GL_POINT	用顶点描述多边形
GL_LINE	生成多边形的轮廓
GL_FULL	生成填充的多边形

当一个场景是由封闭的对象(看不到内部的对象)组成时, 对象内部的上色和光照运算没有必要进行。`glCullFace()` 函数可以把多边形正面或背面上的这一类运算关闭。`glFrontFace()` 则用来定义多边形的哪一面被视为正面:


```
glFrontFace(GLenum mode)
```

功能: 指定多边形的正面。

参数说明:

Mode: 可以为 GL_CCW 或 GL_CW。GL_CCW 是 OpenGL 的默认状态, 相当于投影到窗口坐标系的多边形的有序顶点, 按逆时针方向出现的为多边形的正面。GL_CW 指定所绘制的多边形的顶点按顺时针方向排列的面是多边形的正面。

在实际工作中, 复杂的模型往往是由很多多个多边形组成的。如果不能确定所绘制的多边形方向, 则有时会因为多边形两面的绘制属性不同而影响最终的绘图质量, 所以要求面内部的反向多边形永远不可见——它们总是被正向多边形遮挡, 以避免实际工作中不必要的麻烦。OpenGL 提供消去多边形的函数 `glCullFace()`。

```
glCullFace(GLenum mode)
```

功能: 指出在转换成屏幕坐标之前, 哪些多边形应该被消除。

参数说明:

mode: 可以是 GL_FRONT、GL_BACK 和 GL_FRONT_AND_BACK, 用来指定正向、反向或所有的多边形。默认状态是 GL_BACK。

用 `glEnable(GL_CULL_FACE)` 启动消除多边形, 用 `glDisable(GL_CULL_FACE)` 关闭消除多边形。

OpenGL 中消隐操作是由深度缓冲器(Z-Buffer)来实现的, 深度缓冲器为窗口的每个点保留一个深度值, 这个深度值记录了视点到占有该像素的目标的垂直距离, 然后根据组成物体像素点的不同深度值, 决定该点是否需要显示到屏幕上。下面介绍关于深度测试的一些函数。

```
void glClearDepth(GLclampd depth)
```

功能: 指定在刷新深度缓冲器时所用的深度值。也就是刷新深度缓冲器后, 深度缓冲器为窗口中的每一个像素点设置的深度值。

参数说明:

depth: 指定刷新深度缓冲器时所用的深度值。

在实际操作中, 使用消隐要先启动深度测试, 即调用函数:

```
glEnable(GL_Depth_Test)
```

这样才可以自动实现三维场景的消隐。取消自动实现三维场景的消隐要调用函数:

```
glDisable(GL_Depth_Test)
```

如果启动深度测试, 也就是说要实现三维场景的消隐, 在默认情况下, 如果将要写入颜色缓存的像素点的深度值小于像素的深度值, 则像素的颜色值和深度值被新像素的值取代, 这非常符合人们日常生活中观察物体的习惯, 即离人眼近的物体会遮挡住离人眼远的物体。这样, 图形制作会更真实更自然。

在特殊的环境中, 对深度的比较会有特殊的要求, OpenGL 中提供了深度比较的控制函数。

```
void glDepthFunc(GLenum Func)
```

功能：在消隐操作中设置比较函数。

参数说明：

Func：指定比较规则，详细说明见表 9-10。

表 9-10 Func 的可能值及其含义

Func	含 义
GL_NEVER	新值不取代旧值
GL_LESS	if depthnew < depthold, 新值取代旧值
GL_EQUAL	if depthnew == depthold, 新值取代旧值
GL_LEQUAL	if depthnew ≤ depthold, 新值取代旧值
GL_GREATER	if depthnew > depthold, 新值取代旧值
GL_NOTEQUAL	if depthnew ≠ depthold, 新值取代旧值
GL_GEQUAL	if depthnew ≥ depthold, 新值取代旧值
GL_ALWAYS	新值取代旧值

注：在表 9-10 中，depthnew 表示将要写入颜色缓存区像素的深度值，depthold 表示将在颜色缓存区像素的深度值。

9.11 OpenGL 的真实感图形绘制

9.11.1 OpenGL 颜色

几乎所有 OpenGL 应用的目的都是在屏幕窗口内绘制彩色图形，所以颜色在 OpenGL 编程中占有很重要的地位，OpenGL 采用 RGB 颜色模型。屏幕窗口坐标是以像素为单位的，因此组成图形的每个像素都有自己的颜色，而这种颜色值是通过一系列 OpenGL 函数命令的处理最终计算出来的。在这一部分将讲述 OpenGL 的颜色模式、颜色定义和两种模式应用场合等内容。

OpenGL 颜色模式有两种：RGB(RGBA)模式和颜色表模式。在 RGB 模式下，所有的颜色定义全用 R、G、B 三个值来表示，有时也加上 Alpha 值(与透明度有关)，即 RGBA 模式。在颜色表模式下，每一个像素的颜色是用颜色表中的某个颜色索引值表示的，而这个索引值指向了相应的 R、G、B 值。这样的一个表称为颜色映射(Color Map)。

1. RGBA 模式

在 RGBA 模式下，可以用 glColor*()来定义当前颜色。其函数形式为：

```
void glColor3(b s i f d ub us ui)(TYPE r,TYPE g, TYPE b);
void glColor4(b s i f d ub us ui)(TYPE r,TYPE g, TYPE b,TYPE a);
void glColor3(b s i f d ub us ui)v(TYPE *v);
void glColor4(b s i f d ub us ui)v(TYPE *v);
```

这个函数有 `glColor3` 和 `glColor4` 两种方式,在前一种方式下,Alpha 值默认为 1.0,后一种 Alpha 值由用户自己设定,范围从 0.0~1.0。同样,它也可用指针传递参数。另外,函数的第二个后缀的不同使用,其相应的参数值及范围不同,见表 9-11。虽然这些参数值不同,但实际上 OpenGL 已自动将它们映射在 0.0~1.0 或 -1.0~0.0 之内。因此,灵活使用这些后缀,会给编程带来很大的方便。

表 9-11 整型颜色值到浮点数的转换

后缀	数据类型	最小值	最小值映射	最大值	最大值映射
B	1 字节整型数	-128	-1.0	127	1.0
S	2 字节整型数	-32 768	-1.0	32 767	1.0
I	4 字节整型数	-2 147 483 648	-1.0	2 147 483 647	1.0
ub	1 字节无符号整型数	0	0.0	255	1.0
us	2 字节无符号整型数	0	0.0	65 535	1.0
ui	4 字节无符号整型数	0	0.0	4 294 967 295	1.0

在前面的章节中,已经多次利用到了 RGBA 颜色模式,在此就不再给出示例程序。

2. 颜色表模式

在颜色表模式下,可以调用 `glIndex*()` 函数从颜色表中选取当前颜色。其函数形式为:

```
void glIndex(sifd)(TYPE c);
void glIndex(sifd)v(TYPE *c);
```

此函数用于设置当前颜色索引值,即调色板号。若值大于颜色位面数,则取模。

9.11.2 OpenGL 光照

1. OpenGL 光组成

在 OpenGL 简单光照模型中的几种光分别为:辐射光(Emitted Light)、环境光(Ambient Light)、漫射光(Diffuse Light)、镜面光(Specular Light)。

辐射光是最简单的一种光,它直接从物体发出并且不受任何光源影响。

环境光是由光源发出经环境多次散射而无法确定其方向的光,即似乎来自所有方向。一般说来,房间里的环境光成分要多些,相反户外的要少得多,因为大部分光按相同方向照射,而且在户外很少有其他物体反射的光。当环境光照到曲面上时,它在各个方向上均等地发散(类似于无影灯光)。

漫射光来自一个方向,它垂直照射于物体时比倾斜时更明亮。一旦它照射到物体上,则在各个方向上均匀地发散出去。于是,无论视点在哪里它都一样亮。来自特定位置和特定方向的任何光都可能散射成分。

镜面光来自特定方向并沿另一方向反射出去,一个平行激光束在高质量的镜面上产生 100% 的镜面反射。光亮的金属和塑料具有很高反射成分,而像粉笔和地毯等几乎没有反射成分。因此,从某种意义上讲,物体的反射程度等同于其上的光强(或光亮度)。

2. 创建光源

光源有许多特性,如颜色、位置、方向等。选择不同的特性值,则对应的光源作用在

物体上的效果也不一样，这在以后的章节中会逐步介绍的。下面详细讲述有关光源特性的函数。

1) 创建光源

OpenGL 中定义光源是由函数 `glLight*()` 实现的，下面具体说明这个函数。

```
void glLight{f,i}[v](GLenum light , GLenum pname,
                    GLfloat * param)
```

参数说明:

light: 指定所创建的光源号, 可用的值是 `GL_LIGHTi`, 如 `GL_LIGHT0`、`GL_LIGHT1`、...、`GL_LIGHT7`, 在这里, $0 \leq i < \text{GL_MAX_LIGHT}$, `GL_MAX_LIGHT` 可由函数 `glGet*()` 得到。

pname: 指定光源参数, 这个参数的辅助信息见表 9-12。最后一个参数设置相应的光源特性值。

表 9-12 函数 `glLight*()` 参数 `pname` 说明

pname 参数名	默 认 值	说 明
<code>GL_AMBIENT</code>	(0.0, 0.0, 0.0, 1.0)	RGBA 模式下的环境光
<code>GL_DIFFUSE</code>	(1.0, 1.0, 1.0, 1.0)	RGBA 模式下的漫反射光
<code>GL_SPECULAR</code>	(1.0, 1.0, 1.0, 1.0)	RGBA 模式下的镜面光
<code>GL_POSITION</code>	(0.0, 0.0, 1.0, 0.0)	光源位置齐次坐标(x,y,z,w)
<code>GL_SPOT_DIRECTION</code>	(0.0, 0.0, -1.0)	点光源聚光方向矢量(x,y,z)
<code>GL_SPOT_EXPONENT</code>	0.0	点光源聚光指数
<code>GL_SPOT_CUTOFF</code>	180.0	点光源聚光截止角
<code>GL_CONSTANT_ATTENUATION</code>	1.0	常数衰减因子
<code>GL_LINEAR_ATTENUATION</code>	0.0	线性衰减因子
<code>GL_QUADRATIC_ATTENUATION</code>	0.0	平方衰减因子

注意: 以上列出的 `GL_DIFFUSE` 和 `GL_SPECULAR` 的默认值只能用于 `GL_LIGHT0`, 其他几个光源的 `GL_DIFFUSE` 和 `GL_SPECULAR` 默认值为(0.0,0.0,0.0,1.0)。

2) 启动/关闭光照

在 OpenGL 中, 必须明确指出光照是否有效或无效。如果光照无效, 则只是简单地将当前颜色映射到当前顶点上去, 不进行法向、光源、材质等复杂计算, 那么显示的图形就没有真实感。要使光照有效, 首先得启动光照, 即调用:

```
glEnable(GL_LIGHTINGi);
```

若使光照无效, 则调用:

```
glDisable(GL_LIGHTINGi);
```

关闭当前光照。

9.11.3 OpenGL 明暗处理

在 OpenGL 中, 用单一颜色处理的称为平面明暗处理(Flat Shading), 用许多不同颜色

处理的称为光滑明暗处理(Smooth Shading),也就是 Gourand 明暗处理(Gourand Shading)。设置明暗处理模式的函数为:

```
void glShadeModel(GLenum mode);
```

函数参数为 GL_FLAT 或 GL_SMOOTH, 分别表示平面明暗处理和光滑明暗处理。

9.11.4 OpenGL 纹理映射

OpenGL 中纹理映射是一个相当复杂的过程, 这里只简单地叙述一下最基本的执行纹理映射所需的步骤。基本步骤如下:

- (1) 定义纹理。
- (2) 控制滤波。
- (3) 说明映射方式。
- (4) 绘制场景, 给出顶点的纹理坐标和几何坐标。

注意: 纹理映射只能在 RGBA 方式下执行, 不能运用于颜色表方式。

1. 纹理定义

1) 一维纹理定义函数

一维纹理定义函数形式为:

```
void glTexImage1D(GLenum target, GLint level, GLint components, GLsizei width, GLint border, GLenum format, GLenum type, const GLvoid *pixels);
```

除了第一个参数 target 应设置为 GL_TEXTURE_1D 外, 其余所有的参数与二维纹理定义函数 TexImage2D() 的参数一致, 不过一维纹理没有高度。其宽度值必须是 2^n , n 为整数。

2) 二维纹理定义的函数

二维纹理定义的函数形式为:

```
void glTexImage2D(GLenum target, GLint level, GLint components, GLsizei width, GLsizei height, GLint border, GLenum format, GLenum type, const GLvoid *pixels);
```

其中, 参数 target 是常数 GL_TEXTURE_2D。参数 level 表示多级分辨率的纹理图像的级数, 若只有一种分辨率, 则 level 设为 0。参数 components 是一个从 1 到 4 的整数, 指出了选择了 R、G、B、A 中的哪些分量用于调整和混合, 1 表示选择了 R 分量, 2 表示选择了 R 和 A 两个分量, 3 表示选择了 R、G、B 三个分量, 4 表示选择了 R、G、B、A 四个分量。

参数 width 和 height 给出了纹理图像的长度和宽度, 参数 border 为纹理边界宽度, 它通常为 0, width 和 height 必须是 $2m+2b$, 这里 m 是整数, 长和宽可以有不同的值, b 是 border 的值。纹理映射的最大尺寸依赖于 OpenGL, 但它至少必须使用 64×64 (若带边界为 66×66), 若 width 和 height 设置为 0, 则纹理映射有效地关闭。

参数 format 和 type 描述了纹理映射的格式和数据类型, 它们在这里的含义与在函数 glDrawPixels() 中的含义相同。事实上, 纹理数据与 glDrawPixels() 所用的数据有同样的格式。参数 format 可以是 GL_COLOR_INDEX、GL_RGB、GL_RGBA、GL_RED、GL_GREEN、GL_BLUE、GL_ALPHA、GL_LUMINANCE 或 GL_LUMINANCE_ALPHA (注意, 不能用

GL_STENCIL_INDEX 和 GL_DEPTH_COMPONENT)。类似地, 参数 type 可以是 GL_BYTE、GL_UNSIGNED_BYTE、GL_SHORT、GL_UNSIGNED_SHORT、GL_INT、GL_UNSIGNED_INT、GL_FLOAT 或 GL_BITMAP。

参数 pixels 包含了纹理图像数据, 这个数据描述了纹理图像本身和它的边界。

2. 纹理控制

OpenGL 中的纹理控制函数是:

```
void glTexParameter{if}[v](GLenum target, GLenum pname, TYPE param);
```

第一个参数 target 可以是 GL_TEXTURE_1D 或 GL_TEXTURE_2D, 它是一维或二维纹理的说明参数; 后两个参数的可能值见表 9-13。

表 9-13 放大和缩小滤波方式

参 数	值
GL_TEXTURE_WRAP_S	GL_CLAMP
	GL_REPEAT
GL_TEXTURE_WRAP_T	GL_CLAMP
	GL_REPEAT
GL_TEXTURE_MAG_FILTER	GL_NEAREST
	GL_LINEAR
GL_TEXTURE_MIN_FILTER	GL_NEAREST
	GL_LINEAR
	GL_NEAREST_MIPMAP_NEAREST
	GL_NEAREST_MIPMAP_LINEAR
	GL_LINEAR_MIPMAP_NEAREST
	GL_LINEAR_MIPMAP_LINEAR

1) 滤波

一般来说, 纹理图像为正方形或长方形。但当它映射到一个多边形或曲面上并变换到屏幕坐标时, 纹理的单个纹素很少对应于屏幕图像上的像素。根据所用变换和所用纹理映射, 屏幕上单个像素可以对应于一个纹素的一小部分(即放大)或一大批纹素(即缩小)。下面用函数 glTexParameter*() 说明放大和缩小的方法:

```
glTexParameter*(GL_TEXTURE_2D, GL_TEXTURE_MAG_FILTER, GL_NEAREST);
glTexParameter*(GL_TEXTURE_2D, GL_TEXTURE_MIN_FILTER, GL_NEAREST);
```

实际上, 第一个参数可以是 GL_TEXTURE_1D 或 GL_TEXTURE_2D, 即表明所用的纹理是一维的还是二维的; 第二个参数指定滤波方法, 其中参 GL_TEXTURE_MAG_FILTER 指定为放大滤波方法, GL_TEXTURE_MIN_FILTER 指定为缩小滤波方法; 第三个参数说明滤波方式, 其值如表 9-13 所示。

若选择 GL_NEAREST, 则采用坐标最靠近像素中心的纹素, 这有可能使图像走样; 若选择 GL_LINEAR, 则采用最靠近像素中心的 4 个像素的加权平均值。GL_NEAREST 所需

计算比 GL_LINEAR 要少,因而执行得更快,但 GL_LINEAR 提供了比较光滑的效果。

2) 重复与约简

纹理坐标可以超出(0,1)范围,并且在纹理映射过程中可以重复映射或约简映射。在重复映射的情况下,纹理可以在 s , t 方向上重复,即:

```
glTexParameterfv(GL_TEXTURE_2D, GL_TEXTURE_WRAP_S, GL_REPEAT);
glTexParameterfv(GL_TEXTURE_2D, GL_TEXTURE_WRAP_T, GL_REPEAT);
```

若将参数 GL_REPEAT 改为 GL_CLAMP,则所有大于 1 的纹素值都置为 1,所有小于 0 的值都置为 0。参数设置参见表 9-13。

3. 映射方式

在实际编程中,纹理图像经常是直接作为画到多边形上的颜色来处理。实际上,可以用纹理中的值来调整多边形(曲面)原来的颜色,或用纹理图像中的颜色与多边形(曲面)原来的颜色进行混合。因此,OpenGL 提供了 3 种纹理映射的方式,这个函数是:

```
void glTexEnv{if}[v](GLenum target, GLenum pname, TYPE param);
```

其中,参数 target 必须是 GL_TEXTURE_ENV;若参数 pname 是 GL_TEXTURE_ENV_MODE,则参数 param 可以是 GL_DECAL、GL_MODULATE 或 GL_BLEND,以说明纹理值怎样与原来表面颜色处理;若参数 pname 是 GL_TEXTURE_ENV_COLOR,则参数 param 是包含四个浮点数(分别是 R、G、B、A 分量)的数组,这些值只在采用 GL_BLEND 纹理函数时才有用。

4. 纹理坐标

1) 坐标定义

在绘制纹理映射场景时,不仅要给每个顶点定义几何坐标,而且也要定义纹理坐标。经过多种变换后,几何坐标决定顶点在屏幕上绘制的位置,而纹理坐标决定将纹理图像中的哪一个纹素赋予该顶点,并且顶点之间的纹理坐标插值方法与前面所讲的平滑着色插值方法相同。

纹理图像是方形数组,纹理坐标通常可定义成一维、二维、三维或四维形式,称为 s , t , r 和 q 坐标,以区别于物体坐标(x, y, z, w)和其他坐标。一维纹理常用 s 坐标表示,二维纹理常用(s, t)坐标表示,目前忽略 r 坐标, q 坐标像 w 一样,一半值为 1,主要用于建立齐次坐标。OpenGL 的坐标定义函数是:

```
void glTexCoord{1234}{sifd}[v](TYPE coords);
```

此函数设置当前纹理坐标,此后调用 glVertex*()所产生的顶点都赋予当前的纹理坐标。对于 glTexCoord1*(), s 坐标被设置成给定值, t 和 r 设置为 0, q 设置为 1;用 glTexCoord2*()可以设置 s 和 t 坐标值, r 设置为 0, q 设置为 1;对于 glTexCoord3*(), q 设置为 1,其他坐标按给定值设置;用 glTexCoord4*()可以给定所有的坐标。使用适当的后缀(s , i , f 或 d)和 TYPE 的相应值(GLshort、GLint、GLfloat 或 GLdouble)来说明坐标的类型。注意,整型纹理坐标可以直接应用,而不是像普通坐标那样被映射到 $[-1, 1]$ 之间。

2) 坐标自动产生

在某些场合(环境映射等)下,为获得特殊效果需要自动产生纹理坐标,并不要求使函数 `glTexCoord*()` 而为每个物体顶点赋予纹理坐标值。OpenGL 提供了如下自动产生纹理坐标的函数:

```
void glTexGen{if}[v](GLenum coord, GLenum pname, TYPE param);
```

第一个参数必须是 `GL_S`、`GL_T`、`GL_R` 或 `GL_Q`,它指出纹理坐标 s 、 t 、 r 、 q 中的哪一个要自动产生;第二个参数值为 `GL_TEXTURE_GEN_MODE`、`GL_OBJECT_PLANE` 或 `GL_EYE_PLANE`;第三个参数 `param` 是一个定义纹理产生参数的指针,其值取决于第二个参数 `pname` 的设置,当 `pname` 为 `GL_TEXTURE_GEN_MODE` 时, `param` 是一个常量,即 `GL_OBJECT_LINEAR`、`GL_EYE_LINEAR` 或 `GL_SPHERE_MAP`,它们决定用哪一个函数来产生纹理坐标。对于 `pname` 的其他可能值, `param` 是一个指向参数数组的指针。

9.12 一个 OpenGL 图形演示系统的设计

本节将通过一个小例子来介绍 OpenGL 程序编写的过程,希望通过这个例子让大家对前面学习的 OpenGL 知识能够融会贯通,能够对 OpenGL 编程有一个感性的认识。本例使用 VC++ 6.0 作为开发平台。需要注意的是,如果读者在自己的计算机上编译本例时,需要在 VC++ 6.0 的 Project 菜单下选择 Setting 选项,在弹出的对话框中单击 Link 标签,在 Object/Library modules 下将 `opengl32.lib` `glut32.lib` `glu32.lib` 等静态链接库文件添加进去。这样才能确保程序能顺利编译。此外,如果程序运行时提示“没有找到 `OPENGL32.DLL`”,则还需要将 `opengl32.dll` 等动态链接库文件复制到 `windows\system32` 文件夹下。

在这个小例子中将创建一个可乐瓶的模型,并通过光照、纹理映射等渲染方法使其更加逼真。

9.12.1 位图数据的处理

由于本例中将使用纹理映射将一张可乐的图片映射到建立的模型表面,所以这里要先让大家了解一下这个过程。

由于在程序中要使用的 Windows BMP 图像文件作为纹理贴图的对象,所以这里要首先向大家介绍一下 Windows BMP 图像文件的一些相关知识。

1. BMP 位图的数据结构

BMP 是标准的 Windows 图像格式,一个 BMP 文件分为 4 个部分,其文件结构包括 `BITMAPFILEHEADER`(位图文件头)、`BITMAPINFOHEADER`(位图信息头)、`Palette`(调色板)、`DIB Pixels`(图像数据)。

第一部分为位图文件头 `BITMAPFILEHEADER`,它是一个结构体,其长度为 14 字节,定义如下:

```
typedef struct                /**** 位图文件头 ****/
{
```



```

unsigned short bfType;      /* 文件类型, 必须是“BMP” */
unsigned int  bfSize;       /* 文件大小, 表示整个文件的字节数 */
unsigned short bfReserved1; /* 保留字, 必须为 0 */
unsigned short bfReserved2; /* 保留字, 必须为 0 */
unsigned int  bfOffBits;    /* 位图数据起始位置, 以相对于位图文件头的偏移 */
                          /* 移量表示, 以字节为单位 */

} BITMAPFILEHEADER;

```

第二部分为位图信息头 **BITMAPINFOHEADER**, 它用于说明位图的尺寸等信息, 也是一个结构体, 其长度为 40 个字节。定义如下:

```

typedef struct                /* 位图文件信息头 */
{
    unsigned int  biSize;      /* 本结构所占字节数 */
    int           biWidth;     /* 位图宽度 */
    int           biHeight;    /* 位图高度 */
    unsigned short biPlanes;   /* 目标设定的级别 (必须是 1) */
    unsigned short biBitCount; /* 每个像素所需的位数, 必须是 1(双色)、*/
                          /* 4(2 的 4 次方=16 色)、8(2 的 8 次方=256 色)、24(真彩色)中的一种 */
    unsigned int  biCompression; /* 位图压缩类型, 必须是 0(不压缩) */
                          /* 1(BI_RLE8 压缩类型) 或 2(BI_RLE4 压缩类型) */
    unsigned int  biSizeImage; /* 位图大小 */
    int           biXPelsPerMeter; /* 位图水平分辨率 */
    int           biYPelsPerMeter; /* 位图垂直分辨率 */
    unsigned int  biClrUsed;     /* 位图实际使用的颜色表中的颜色数 */
    unsigned int  biClrImportant; /* 位图显示过程中 */

} BITMAPINFOHEADER;

```

第三部分为调色板(Palette)。用于说明位图中的颜色, 它有若干个表项, 每一个表项是一个 **RGBQUAD** 类型的结构, 占 4 个字节, 定义一种颜色。**RGBQUAD** 结构的定义如下:

```

typedef struct                /* 调色板 */
{
    unsigned char rgbBlue;     /* 蓝色的亮度, 范围为 0~255 */
    unsigned char rgbGreen;    /* 绿色的亮度, 范围为 0~255 */
    unsigned char rgbRed;      /* 红色的亮度, 范围为 0~255 */
    unsigned char rgbReserved; /* 保留字, 必须为 0 */

} RGBQUAD;

```

第四部分为实际的图像数据, 图像数据保存的不一定是颜色值, 如果位图有调色板, 如 256 色位图, 则图像数据保存的是调色板的索引; 如果位图没有调色板, 如 24 位真彩色位图, 则保存的是每个像素的红、绿、蓝的颜色值。图像数据记录的顺序是: 在扫描行内是从左到右, 扫描行之间是从下到上。对于不同的位图, 其一个像素值所占的字节数不同。分别介绍如下:

- ① 2 色位图($biBitCount=1$), 8 个像素占 1 字节。
- ② 16 色位图($biBitCount=4$), 2 个像素占 1 字节。
- ③ 256 色位图($biBitCount=8$), 1 个像素占 1 字节。

④ 24 位真彩色位图(biBitCount=24), 1 个像素占 3 字节。

具体的定义可以参照源程序中的 bitmap.h 文件。

2. BMP 位图文件的读取与保存

定义好位图文件的数据结构以后, 需要定义位图文件的读取和保存函数。在程序中我们通过 LoadDIBitmap 和 SaveDIBitmap 这两个函数来实现位图文件的读取和保存。

1) 读取 BMP 文件

由于 BMP 文件的格式不是很复杂, 因此, 读取 BMP 文件也很简单。通过二进制方式打开文件就可以读取 BITMAPFILEHEADER 结构。

```
if ((fp = fopen(filename, "rb")) == NULL) /*通过 rb 模式读取数据*/
    return (NULL);
if (fread(&header, sizeof(BITMAPFILEHEADER), 1, fp) < 1)
{
    fclose(fp);
    return (NULL);
}
if (header.bfType != 'MB')
{
    fclose(fp);
    return (NULL);
}
```

如果文件头看上去一切正常, 则可以使用任何调色板信息读取 BITMAPINFO 结构:

```
infosize = header.bfOffBits - sizeof(BITMAPFILEHEADER);
if ((*info = (BITMAPINFO *)malloc(infosize)) == NULL)
{
    fclose(fp);
    return (NULL);
}
if (fread(*info, 1, infosize, fp) < infosize)
{
    free(*info);
    fclose(fp);
    return (NULL);
}
```

计算出图像数据的大小:

```
if ((bitsize = (*info)->bmiHeader.biSizeImage) == 0) /*如果 bitsize 为
0, 则需要自己计算位图大小*/
    bitsize = ((*info)->bmiHeader.biWidth *
                (*info)->bmiHeader.biBitCount + 7) / 8 *
                abs((*info)->bmiHeader.biHeight);
```

最后就可以读取位图数据并关闭文件:

```
fclose(fp);
return (bits);
```

其具体的函数定义和实现可以查阅 bitmap.c 中的 LoadDIBitmap 函数的具体代码实现。

2) 保存位图数据

同上面一样, 首先读取 BITMAPFILEHEADER 结构, 然后利用调色板信息读取 BITMAPINFO 结构, 并通过二进制模式写入数据。

读取 BITMAPINFO 结构的代码和前面 LoadDIBitmap 函数类似, 不同的地方在于这里采用的是写入模式, 而不是读取模式。

根据 info->bmiHeader.biCompression 的值, 选择不同的处理方式, 关于 biCompression 的含义可以参看前面 BITMAPINFOHEADER 结构的定义。

```
switch (info->bmiHeader.biCompression)
{
case BI_BITFIELDS :
    infosize += 12;
    if (info->bmiHeader.biClrUsed == 0)
        break;
case BI_RGB :
    if (info->bmiHeader.biBitCount > 8 &&
        info->bmiHeader.biClrUsed == 0)
        break;
case BI_RLE8 :
case BI_RLE4 :
    if (info->bmiHeader.biClrUsed == 0)
        infosize += (1 << info->bmiHeader.biBitCount) * 4;
    else
        infosize += info->bmiHeader.biClrUsed * 4;
    break;
}
```

写入位图文件头、位图信息、图像数据等值, 具体代码为:

```
header.bfType='MB';
header.bfSize= size;
header.bfReserved1=0;
header.bfReserved2=0;
header.bfOffBits=sizeof(BITMAPFILEHEADER) + infosize;
if(fwrite(&header,1,sizeof(BITMAPFILEHEADER),fp)<
sizeof(BITMAPFILEHEADER))
{
    fclose(fp);
    return (-1); /*如果不能写入位图文件头, 则返回-1, 退出*/
}
if (fwrite(info, 1, infosize, fp) < infosize)
{
    fclose(fp);
```

```

        return (-1); /*如果不能写入位图信息头, 则返回-1, 退出*/
    }
    if (fwrite(bits, 1, bitsize, fp) < bitsize)
    {
        fclose(fp);
        return (-1); /*如果不能写入位图数据, 则返回-1, 退出*/
    }
    /*如果一切正常, 返回 0, 继续下面的内容*/
    fclose(fp);
    return (0);
}

```

具体的代码实现读者可以参考源程序中的 `SaveDIBitmap` 函数的具体实现方法。

接下来的工作就是要定义一个纹理载入函数把读入的位图文件传递到 OpenGL 的 `glBindTexture (GLenum target, GLuint texture)` 函数中, 关于 `glBindTexture` 函数的具体用法将在后面为大家介绍。

3. 将位图文件添加到纹理映射

这里我们定义了 `TextureLoad` 函数将程序读取的位图文件添加到纹理映射中去。

```

/*装载位图文件*/
bits = LoadDIBitmap(filename, &info);
if (bits == (GLubyte *)0)
    return (0);
/*指出加载的是 1D 纹理还是 2D 纹理*/
if (info->bmiHeader.biHeight == -1)
    type = GL_TEXTURE_1D;
else
    type = GL_TEXTURE_2D;
/*生成并绑定纹理对象*/
glGenTextures(1, &texture);
glBindTexture(type, texture);
/*设置纹理变量*/
glTexParameteri(type, GL_TEXTURE_MAG_FILTER, magfilter);
glTexParameteri(type, GL_TEXTURE_MIN_FILTER, minfilter);
glTexParameteri(type, GL_TEXTURE_WRAP_S, wrap);
glTexParameteri(type, GL_TEXTURE_WRAP_T, wrap);

```

具体的实现代码读者可以参考源程序中的 `TextureLoad` 函数。

9.12.2 模型的绘制

1. 显示窗口的初始化

首先我们要先初始化一个窗口, 通过这个窗口来显示我们描绘的模型。

```
glutInitDisplayMode(GLUT_RGB | GLUT_DOUBLE | GLUT_DEPTH);
```

这个函数初始化 GLUT 库 OpenGL 窗口的显示模式, 其函数原型为:

```
void glutInitDisplayMode (unsigned int mode)
```

参数 **mode** 对应窗口特性的蒙版值, 这些蒙版值可以用位或(OR)组合在一起, 比如例子中我们就用了三个蒙版值的组合, 这三个蒙版值代表着指定一个双缓冲窗口, 使得所有绘图代码都在画面外缓冲区进行渲染, 同时指定一个 32 位深度缓冲区。

窗口初始大小为 800×600 像素:

```
glutInitWindowSize(800, 600);
glutCreateWindow("OpenGL 演示程序!");
```

创建一个允许使用 OpenGL 的窗口, 其函数原型为:

```
void glutCreateWindow(char *name);
```

这个函数在 GLUT 中创建一个顶层窗口, 它被视为当前窗口。

```
glutDisplayFunc(Redraw);
```

这个函数是一个用于设置当前窗口的显示回调函数, 其函数原型为:

```
void glutDisplayFunc(void (*func) void);
```

这个函数告诉 GLUT 如果需要绘制当前窗口应该调用哪个函数, 应该注意的是, 调用这个函数后, GLUT 并不会明确地替你调用 `glFlush` 或 `glutSwapBuffers` 函数。

```
glutIdleFunc(Idler);
```

这个函数注册一个空闲程序在后台运行, 其函数原型为:

```
void glutIdleFunc(void (*func) void);
```

这个函数注册一个空闲程序一直在后台运行, 实现动画和游戏中帧的定时刷新。

```
glutReshapeFunc(Resize);
```

该函数为当前窗口设置窗口再整形回调函数, 其函数原型为:

```
void glutReshapeFunc(void (*func) (int width,int height));
```

这个函数建立一个由 GLUT 调用的回调函数, 只要窗口改变大小或形状即调用该函数。回调函数将收到新的宽度和高度。

2. 调用 GLU 库函数库中的函数进行绘制

在本例中通过圆柱体、圆锥体、圆盘、圆环等几何体的组合来构造可乐瓶的模型, 而这些几何体都是二次曲面。`gluNewQuadric` 函数创建了一个描述当前绘图模式、定位、光照模式、纹理模式和回调函数的不透明的状态变量, 其函数原型如下:

```
GLUquadricObj *obj;
obj=gluNewQuadric();
```

应注意的是, 二次曲面的状态变量并不包括所要绘制的几何形状。相反, 它所描述的是如何绘制出这个几何形状。这就允许用户可以重复地使用二次曲面来绘制出很多不同种类的几何形状。

这里通过以下代码来创建可乐模型的二次曲面:

```
GLUQuadricObj *colaObj;
colaObj=gluNewQuadric();
```

二次曲面一旦创建成功,就可以通过改变二次曲面的状态来定制几何形状的绘制过程。实现这个操作的 GLU 函数有 `gluQuadricDrawStyle`、`gluQuadricNormals`、`gluQuadricOrientation` 和 `gluQuadricTexture`。其具体的含义读者可以参阅 OpenGL 相关书籍。这里要用到 `gluQuadricNormals` 和 `gluQuadricTexture` 这两个函数。

`gluQuadricNormals` 函数控制光照标准的运算。其函数原型如下:

```
void gluQuadricNormals(GLUQuadricObj * obj, GLenum normals);
```

其光照模式定义如下:

GLU_NONE: 不生成任何光照标准。

GLU_FLAT: 为每个多边形都生成光照标准,以创建带有多个小平面的外观
GLU_SMOOTH 为每个顶点都生成光照标准,以创建平滑的外观效果。

由于我们创建的可乐瓶表面是光滑的圆柱体和圆锥体,所以在程序中使用:

```
gluQuadricNormals (colaObj, GLU_SMOOTH);
```

另外,对于二次曲面,纹理坐标也可以自动生成。`gluQuadricTexture` 函数可以允许 (GL_TRUE) 或者禁止 (GL_FALSE) 纹理坐标的生成。这里通过 `gluQuadricTexture` 函数来自动生成纹理坐标。

`gluQuadricTexture` 函数原型如下:

```
void gluQuadricTexture(GLUQuadricObj * obj, GLboolean textureCoords);
```

故在程序中使用 `gluQuadricTexture (colaObj, GL_TRUE)`。

另外这里还定义了一个 OpenGL 类型的 32 位无符号整数变量 `colaTexture`, 用来传递位图纹理数据。

```
colaTexture = TextureLoad("cola.bmp", GL_FALSE, GL_LINEAR, GL_LINEAR,
                          GL_REPEAT);

glutMainLoop();
```

该函数用于启动主 GLUT 处理循环,其函数原型为:

```
void glutMainLoop(void);
```

这个函数开始主 GLUT 事件处理循环。事件循环是处理所有键盘、鼠标、定时器、重新绘制和其他窗口消息的地方。这个函数到程序终止时才返回。

在窗口创建完毕后,就需要为模型进行初始化。

```
static GLfloat ambient[4] = { 1.0f, 1.0f, 1.0f, 1.0f }; /*设置环境光*/
glClearColor(0.7, 0.7, 1.0, 1.0);
```

该函数的作用是设置清除颜色缓冲区所用颜色与 alpha 值,其函数原型为:

```
void glClearColor(GLclampf red, GLclampf green, GLclampf blue, GLclampf
alpha);
```

它设置清除红色、绿色、蓝色和 alpha 缓冲区(并称为颜色缓冲区)所用的填充值。填充值的范围制定在[0.0f, 1.0f]区间内。

```
glClearColor(GL_COLOR_BUFFER_BIT | GL_DEPTH_BUFFER_BIT);
```

该函数用于清除颜色缓冲与深度缓冲, 其函数原型为:

```
void glClearColor(GLbitfield mask);
```

缓冲区是图像信息的存储区。缓冲区有颜色缓冲区、深度缓冲区、模版缓冲区、累计缓冲区等。对应的 mask 的值就有 GL_COLOR_BUFFER_BIT、GL_DEPTH_BUFFER_BIT、GL_ACCUM_BUFFER_BIT、GL_STENCIL_BUFFER_BIT 等。同样, 这个函数可以用位或(OR)将这些值组合起来达到不同的效果。

```
glLightModeli(GL_LIGHT_MODEL_TWO_SIDE, GL_TRUE);
```

该函数用于设置光照模型参数, 其函数原形根据参数的不同可以有多种表现形式:

```
void glLightModelf(GLenum pname, GLfloat param);
void glLightModeli(GLenum pname, GLint param);
void glLightModelfv(GLenum pname, const GLfloat *params);
void glLightModeliv(GLenum pname, const GLint *params);
```

pname 制定光照模型参数, 可以取 GL_LIGHT_MODEL_AMBIENT、GL_LIGHT_MODEL_TWO_SIDE 和 GL_LIGHT_MODEL_LOCAL_VIEWER。

具体的函数说明, 读者可以参考关于 OpenGL 的参考书。

```
glLightModelfv(GL_LIGHT_MODEL_AMBIENT, ambient); /*环境光*/
glEnable(GL_LIGHTING); /*允许进行光照*/
glEnable(GL_LIGHT0); /*光源 GL_LIGHT0 生效*/
glEnable(GL_DEPTH_TEST); /*启用深度探测*/
glEnable(GL_TEXTURE_2D); /*启用显示 2D 纹理贴图*/
glMatrixMode(GL_MODELVIEW); /*指定当前矩阵操作将作用于模型视图矩阵堆栈*/
glPushMatrix(); /*将当前矩阵压入矩阵堆栈*/
glTranslatef(0.0, 0.0, -250.0); /*平移*/
glRotatef(colaHeading, 0.0, -1.0, 0.0); /*旋转, 这里我们将按照一定的时间间隔不
断地进行模型的旋转, 可以全方位的看见模型细部特征, 并通过 glutIdleFunc(Idle) 不断*/ /*刷新
画面 */
glRotatef(colaPitch, 1.0, 0.0, 0.0);
glRotatef(colaRoll, 0.0, 0.0, -1.0);
```

进行完初始化以后就可以绘制模型了。这里使用 GLUT 库中的圆柱体、椎体、盘状体等模型来绘制一个可乐瓶。

瓶身用柱体绘制, 瓶颈用柱体模拟锥体, 瓶底、瓶顶以及瓶盖与瓶颈相连的部分用圆环绘制。

这里使用到了 gluCylinder 函数, 其函数原型为:

```
void gluCylinder(GLUquadricObj * obj, GLdouble baseRadius, GLdouble
topRadius, GLdouble height, GLint slices, GLint stacks);
```

其中, `baseRadius` 和 `topRadius` 这两个参数指定了柱体底面和柱体顶面的半径, `height` 参数指定了圆柱体的高度; `slices` 参数控制了所使用柱体细分的数目; `stacks` 参数控制着沿柱体所生成的细分的数目。一般将 `slices` 值设置为 20, 这样可以使柱体有一个平滑的外观。如果使用点光源照射或者很多特定的强光源照射时, 就必须将 `stacks` 参数值设得高一点, 经常是和 `height` 参数的值相同。别的情况下, 将 `stacks` 设为 2 就可以表明柱体的顶面和底面。

这里将 `colaObj` 设成一个柱体, 底面半径为 5.0 个像素单位, 顶面半径也是 5.0 个单位, 柱体高度为 10.0 个像素单位, 将 `slices` 设为 24, 取得一个平滑的外观, 由于程序中没有使用点光源, 也没有强光源, 所以将 `stacks` 设为 2 即可。

```
/*瓶盖 1*/
gluQuadricNormals(colaObj, GLU_SMOOTH);
/*为每个顶点都生成光照, 以创建平滑的外观效果*/
glPushMatrix();
glTranslatef(0.0, 0.0, 75.0);
gluCylinder(colaObj, 5.0, 5.0, 10.0, 24, 2);
glPopMatrix();
```

其他部分模型的建立也与瓶盖 1 模型类似, 只是在瓶颈和瓶底等部分使用到了圆锥体和盘状体这两种模型。对于圆锥体, OpenGL 工具库中并没有提供现成的绘制函数, 但是通过调整 `topRadius` 或 `baseRadius` 的值, 就可以得到我们想要的任何圆锥体模型。比如在瓶颈 2 中, 将底部半径设为 12.5, 将顶部半径设为 4.0, 这样就得到了我们想要得到的圆锥状模型。

```
/*瓶颈 2*/
glPushMatrix();
glTranslatef(0.0, 0.0, 40.0);
gluCylinder(colaObj, 12.5, 4.0, 25, 24, 12.5);
glPopMatrix();
```

而对于瓶底以及瓶盖与瓶颈结合部, 就需要使用盘状体模型来绘制, 其函数原型为:

```
void gluDisk(GLUquadricObj*obj, GLdouble innerRadius, GLdouble outerRadius,
GLint slices, GLint loops);
```

这里 `innerRadius` 为内径, `outerRadius` 为外径, 若内径为 0, 则为圆盘, 若内径大于 0, 则为圆环。`slices` 参数用来设置盘状体侧面的数目, 通常为 20。`loops` 参数用来控制盘状体所绘制的同心圆数目, 一般情况下, 如果是圆盘, 则将其设为 1; 如果是圆环则设为 2。这里, 瓶底就是一个圆盘, 而瓶颈与瓶盖结合部则是一个圆环。在瓶底中, 将内径设为 0, 外径设为 12.5, 这样就成了一个圆盘, 而 `loops` 也对应地设为 1。而对于瓶颈与瓶盖结合部则将其内径设为 4.0(为了与瓶颈处相吻合), 外径设为 5.0(与瓶盖相吻合), `loops` 对应设为 2。

```
/*瓶盖 3*/
glPushMatrix();
glTranslatef(0.0, 0.0, 75.0);
gluDisk(colaObj, 4.0, 5.0, 24, 2);
glPopMatrix();
/*瓶底*/
```



```
glPushMatrix();
glTranslatef(0.0,0.0,-30);
gluDisk(colaObj,0, 12.5, 24, 1);
glPopMatrix();
```

具体模型的建立读者可以参看 cola.c 中的 redraw() 函数。

模型建立好以后只要调用 glBindTexture 函数就可以将位图纹理映射到模型的表面上了。

```
glBindTexture(GL_TEXTURE_2D,colaTexture);
```

其函数原型为:

```
void glBindTexture(GLenum target,GLuint texture);
```

第一个参数表示这里使用 2D 纹理, colaTexture 变量在前面已经定义过, 这里使用 glBindTexture 选择纹理对象 colaTexture。

至此, 程序的基本原理与框架已经介绍完毕, 具体内容读者可以参考本例的源程序。若读者对程序中使用到的一些 OpenGL 函数还存在一些疑问的话可以参考一些相关的 OpenGL 参考书。

9.12.3 编程步骤

1. 工程的建立

打开 VC++ 6.0, 单击 File 菜单中 New 的选项, 在弹出的对话框中单击 Projects 标签, 选择其中的 Win32 Console Application, 将新建的工程命名为 PEPSI COLA, 并选择保存地址, 如图 9.15 所示。

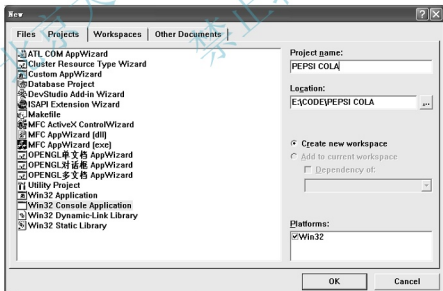


图 9.15 新建工程

2. 添加 bitmap.h 文件

选择 File 菜单中的 New 选项, 在弹出的对话框中单击 Files 标签, 将 bitmap.h 文件添加到工程中去, 如图 9.16 所示。bitmap.h 定义了 bmp 文件读取的所需的 BITMAPFILEHEADER

(位图文件头)、BITMAPINFOHEADER(位图信息头)等必要的数据结构,具体代码参见源程序。

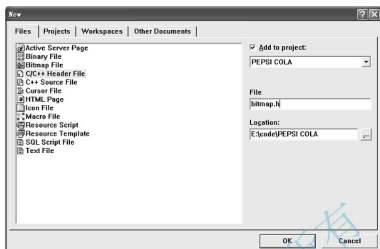


图 9.16 添加 bitmap.h 到工程中

3. 定义纹理载入函数

用同样的方法新建 texture.h, 定义纹理载入函数 TextureLoad, 该函数的具体实现在 texture.c 中。

4. 实现纹理图像的读取、保存与装载

在定义好基本的数据结构后,按照前面的方法添加 bitmap.c 和 texture.c, 如图 9.17 所示,实现纹理图像的读取、保存以及纹理的装载。

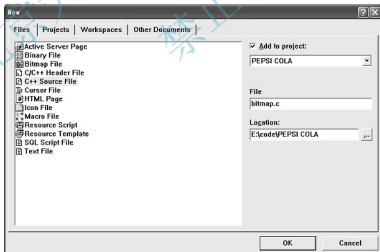


图 9.17 添加 bitmap.c 到工程中

5. 实现模型的绘制、贴图和渲染

新建 cola.c, 在此外实现模型的绘制、贴图和渲染。

6. 文件的编译与运行

文件和代码全部输入完毕以后,需要在 VC++ 6.0 的 Project 菜单下选择 Setting 选项,

在弹出的对话框中单击 Link 标签, 在 Object/ library modules 中将 opengl32.lib glut32.lib glu32.lib 等静态链接库文件添加到工程中去。添加的方法如图 9.18 所示。

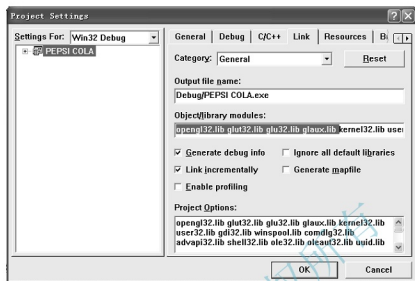


图 9.18 添加静态链接库

工程创建完毕, 经过编译, 运行结果如图 9.19 所示。



图 9.19 程序运行结果

本章小结

交互式图形程序库是图形用户接口(GUI)中应用最普遍的一种。ISO 发布的各种图形标准中其用户界面都是以程序库的形式给出的。本章主要介绍了 OpenGL 图形程序库的基础知识、OpenGL 应用程序的工作过程、OpenGL 的功能、OpenGL 的基本语法规则、OpenGL 基本图元绘制、OpenGL 图形的几何变换、OpenGL 的交互操作、OpenGL 观察流程和函数、OpenGL 中自由曲线和曲面的绘制、OpenGL 中多变形的消除与消隐、OpenGL 的真实感图

形绘制和 OpenGL 图形演示系统的设计。具体内容如下:

- (1) OpenGL 的概念。
- (2) OpenGL 应用程序的工作过程主要包括实现图元操作、图形控制、OpenGL 指令解释模型和 OpenGL 的基本操作。
- (3) OpenGL 的具体功能主要有模型绘制、模型观察、颜色模式的指定、光照应用、图像效果增强、位图和图像处理、纹理映射、实时动画和交互技术。
- (4) OpenGL 的基本语法规则主要有 OpenGL 的数据类型和 OpenGL 的函数约定。
- (5) OpenGL 的基本图元绘制包括点、线、多边形的绘制, 多边形的图案填充和字符生成。
- (6) OpenGL 图形的几何变换的主要操作函数有矩阵操作函数, 其变换主要包括几何变换和 OpenGL 视区变换。
- (7) OpenGL 的交互操作包括物体的选择和反馈。
- (8) OpenGL 观察流程和函数包括常用的变换函数、模视变换、投影变换、视区变换和附加裁剪面。
- (9) OpenGL 中自由曲线和曲面的绘制包括 Bezier 曲线的绘制、Bezier 曲面的绘制、NURBS 曲线的绘制和 NURBS 曲面的绘制。
- (10) OpenGL 中多边形的消除和消隐主要介绍了用于多边形消除和消隐的函数。
- (11) OpenGL 的真实感图形绘制包括 OpenGL 颜色、OpenGL 光照、OpenGL 明暗处理和 OpenGL 纹理映射。
- (12) OpenGL 图形演示系统的设计包括位图数据的处理、模型的绘制和编程的步骤。



阅读材料

OpenGL 简介

OpenGL (Open Graphics Library, 开放的图形程序接口) 是一个定义了跨编程语言、跨平台的编程接口的专业的图形程序接口。OpenGL 是一个功能强大, 调用方便的三维图像(二维的也可)底层图形库。

OpenGL 是行业领域中最广泛接纳的 2D/3D 图形 API, 其自诞生至今已催生了各种计算机平台及设备上的数千个优秀应用程序。OpenGL 是独立于视窗操作系统或其他操作系统的, 也是网络透明的。在包含 CAD、内容创作、能源、娱乐、游戏开发、制造业、制药业及虚拟现实等行业领域中, OpenGL 帮助程序员实现了在 PC、工作站、超级计算机等硬件设备上的高性能、极具冲击力的高视觉表现力图形处理软件的开发。OpenGL 的前身是 SGI 公司为其图形工作站开发的 IRIS GL。IRIS GL 是一个工业标准的 3D 图形软件接口, 功能虽然强大但是移植性不好, 因此 SGI 公司在 IRIS GL 的基础上开发了 OpenGL。虽然 DirectX 在家用市场上全面领先, 但在专业高端绘图领域中, OpenGL 是不能被取代的。

OpenGL 是一个开放的三维图形软件包, 它独立于窗口系统和操作系统, 以此为基础开发的应用程序可以十分方便的在各种平台间移植; OpenGL 可以与 Visual C++ 紧密接口, 便于实现机械手的有关计算和图形算法, 可保证算法的正确性和可靠性; OpenGL 使用简便, 效率高。

习 题

一、填空题

1. 物体由一系列的描述物体几何性质的_____或描述图像的_____组成。
OpenGL 执行一系列的操作后把这些数据最终转化成像素数据,并在帧缓存中形成最后的结果。

2. OpenGL 提供诸如_____, _____, _____, _____等来控制二维和三维图形的绘制。

3. 纹理图像是_____, 纹理坐标通常可定义成_____或_____四维形式,称为_____,以区别于物体坐标(x,y,z,w)和其他坐标。

4. BMP 文件分为 4 个部分,其文件结构包括_____, _____, _____。

5. OpenGL 观察流程和函数包括_____, _____, _____和_____。

二、选择题

1. 能实现模型缩放的函数是()。

A. `glTranslate*()` B. `glScale*()` C. `glRotate*()` D. `glPushMatrix*()`

2. ()自一个方向,它垂直照射于物体时比倾斜时更明亮。

A. 镜面光 B. 辐射光 C. 环境光 D. 漫射光

3. 应用程序在输出位图之前,通常需要调用函数()获取位图的尺寸。该函数的作用是获取指定对象的信息并将其复制到指定的缓冲区中。

A. `SetObject` B. `GetObject` C. `LoadBitmap` D. `GetBitmap`

三、判断题

1. OpenGL 是一种模型构建软件。 ()

2. 在 Windows 应用程序中图标也是位图。 ()

3. 在使用位图资源之前,需调用函数 `SelectObject` 将位图选入内存设备环境中。 ()

四、简答题

1. OpenGL 能实现哪些具体的功能?

2. 绘制 NURBS 曲面的步骤方法是什么?

五、上机操作题

按本章的实例程序上机练习图标和位图资源的应用。

第 10 章 VRML 环境下图形系统的设计

学习目标

- 了解虚拟现实技术;
- 掌握 VRML 的基本语法及相关的建模方法;
- 掌握在 VRML 中进行物体建模及复杂的场景的搭建。

知识结构

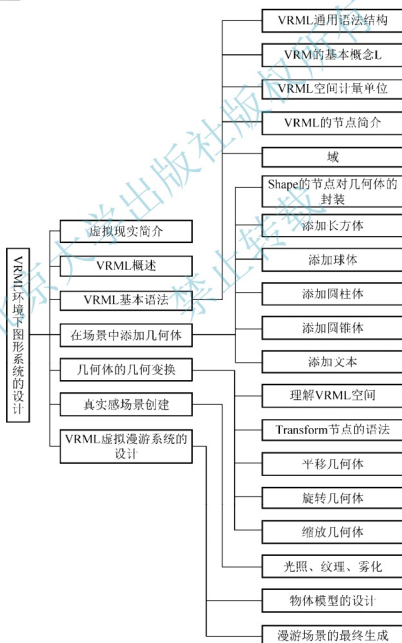


图 10.1 VRML 环境下图形系统的设计知识结构图



导入案例

虚拟现实是一种可视化界面技术,可以有效地建立虚拟环境,这主要集中在两个方面,一是虚拟环境能够精确表示物体的状态模型,二是环境的可视化及渲染。虚拟现实不仅是计算机系统设置的一个近似客观存在的环境,而且是一项综合集成技术,它涉及计算机图形学、人一机交互技术、传感技术、人工智能等领域,它用计算机生成逼真的三维视觉、听觉、嗅觉等感觉,使人作为参与者通过适当装置,自然地对待虚拟世界进行体验和交互作用,为用户提供逼真的三维视觉、听感、触感和嗅感。

虚拟现实的关键是传感技术;虚拟现实离不开视觉和听觉的新型可感知动态数据库技术。可感知动态数据库技术与文字识别、图像理解、语音识别和匹配技术关系密切,并需结合高速的动态数据库检索技术;虚拟现实不仅是计算机图形学或计算机成像生成的一幅画面,更重要的是人们可以通过计算机和各种人一机界面与计算机交互,并在精神感觉上进入环境。它需要结合人工智能、模糊逻辑和神经元技术。

一个完整的虚拟现实系统由虚拟环境,以高性能计算机为核心的虚拟环境处理器,以头盔显示器为核心的视觉系统,以语音识别、声音合成与声音定位为核心的听觉系统,以方位跟踪器、数据手套和数据衣为主体的身体方位姿态跟踪设备,以及味觉、嗅觉、触觉与力觉反馈系统等功能单元构成。

概括地说,虚拟现实是人们通过计算机对复杂数据进行可视化操作与交互的一种全新方式。与传统的人一机界面以及流行的视窗操作相比,虚拟现实在技术思想上有了质的飞跃。虚拟现实中的“现实”是泛指在物理意义上或功能意义上存在于世界上的任何事物或环境,它可以是实际上可实现的,也可以是实际上难以实现的或根本无法实现的。而“虚拟”是指用计算机生成的意思。因此,虚拟现实是指用计算机生成的一种特殊环境,人可以通过使用各种特殊装置将自己“投射”到这个环境中,并操作、控制环境,实现特殊的目的,即人是这种环境的主宰。

虚拟现实采用以下3种基本技术进行了概括:(1)三维计算机图形学技术;(2)采用多种功能传感器的交互式接口技术;(3)高清晰度显示技术。下面我们以一个虚拟的办公室场景为例子介绍虚拟环境实现的过程。

如图10.2所示建立一个办公室的虚拟场景,首先必须通过VRML建立场景内每个物体的模型,比如椅子、桌子、窗户、房间等模型;然后需要按照现实场景中的位置,对模型进行排列顺序、透视效果等,对物体模型进行平移、旋转和缩放等转换,并对物体进行真实感的处理;最后将模型文件包含到场景中,实现虚拟现实的漫游。

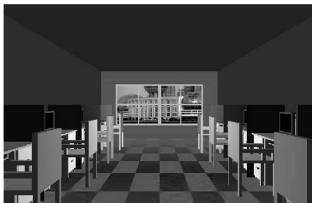


图10.2 虚拟场景漫游

本章主要介绍利用VRML(虚拟显示建模语言)进行三维图形的建模和虚拟环境的实现。

10.1 虚拟现实简介

虚拟现实技术(Virtual Reality),是20世纪末发展起来的一门涉及众多学科的高新技术。它通过计算机创建一种虚拟环境(Virtual Environment),通过视觉、听觉、触觉、味觉、嗅觉等作用,使用户产生和现实中一样的感觉,从而达到身临其境的感觉,并可实现用户与该环境直接进行交互。

虚拟现实技术有3个基本特征:沉浸感,交互感,构想。其中沉浸感是指VR系统不再像传统的计算机接口技术一样,用户与计算机的交互方式已经是自然的,就像现实中人与自然交互一样,完全沉浸在通过计算机所创建的虚拟环境中;交互性是指VR系统区别于传统三维动画的特征,用户不再是的被动地接受计算机所给予的信息的旁观者,而是能够使用交互输入设备来操纵虚拟物体,以改变虚拟世界;构想是指用户利用VR系统可以从定性和定量综合集成的环境中得到感性和理性的认识,从而深化概念和萌发新意。

从本质上说,虚拟现实技术实际上就是一种先进的计算机用户接口技术,它通过给用户视觉、听觉、触觉、嗅觉、味觉等各种直观而又自然的实时感知交互手段,最大限度地方便用户的操作,而不再需要进行烦琐的敲打键盘输入,以提高整个系统的工作效率。虚拟现实技术为人机交互界面的发展开创了新的领域,为智能工程的应用提供了新的界面工具,为各类工程的大规模的数据可视化提供了新的描述方法。现在已在商业、设计、教学、军事、医学和娱乐等领域得到了广泛应用,并带来了巨大的经济效益。

虚拟现实系统分为四类:桌面式VR系统(Desktop VR)、沉浸式系统(Immersive VR)、叠加式VR系统、分布式VR系统(Distributed VR, DVR)。

桌面式VR系统仅使用个人计算机和低级工作站来产生三维空间的交互场景。它把计算机的屏幕作为用户观察虚拟环境的一个窗口,参与者通过用手拿输入设备或位置跟踪器来驾驭该虚拟环境。

沉浸式VR系统利用头盔显示器和数据手套等各种交互设备把用户的视觉、听觉和其他感觉封闭起来,而使用户真正成为VR系统内部的一个参与者,并能利用这些交互设备操作和驾驭虚拟环境,产生一种身临其境的感觉。

叠加式VR系统允许用户对现实世界进行观察的同时,通过穿透型头戴显示器将计算机虚拟图像叠加在现实世界之上,为操作员提供与其所看到的现实环境有关的、存储在计算机中的信息,从而增强操作员对真实环境的感受,因此又称为补充现实系统。

分布式VR系统是指基于网络的虚拟环境。它基于VR系统之上,将位于不同物理位置的多个用户或多个虚拟环境通过网络相连接,并共享信息,从而使用户的协同工作达到一个更高的境界。

本章主要以VRML为开发环境,介绍桌面式VR系统的设计与实现。

10.2 VRML 概述

VRML(Virtual Reality Modeling Language)即虚拟现实建模语言。顾名思义,该语言就是通过创建一个虚拟场景以达到现实中的效果。VRML被广泛应用于Internet中创建虚拟

三维空间,利用 VRML 可以随意创建任何虚拟的物体,像建筑物、城市、山脉、星体等对象。当然也可以在虚拟空间中添加声音、动画,使之更加生动,更接近现实。

VRML 同 HTML 语言一样,是一种 ASCII 的描述性语言,可以用文本编辑器编辑如 Windows 下的 NotePad(记事本),DOS 下的 Edit 等。除此之外,VRML 自身还有很多功能强大的编辑器,如 Internet 3D Space Builder, Cosmo World, VmlPad 1.2 等。这些均可在网络上下载。

VRML 浏览器软件种类也很多,如 Netscape 公司的 Live3D, Paper Software 公司的 WebFX, SGI 和 Template Graphics Software 公司的 Web Space, InterVista 软件公司的 World View 以及 Microsoft 公司的 Virtual Explorer 等。当使用的 Web 浏览器是 Netscape 4.0 以下版本时,可从网络上下载 Cosmo Player;若用的是 Netscape 4.0 或更高的版本,则浏览器已内置了 CosmoPlayer 2.0,只是安装 Netscape 时需注意是否选中了相应选项;若用的是 IE9.0,则有可能已经内置了 VRML 浏览器。判断是否内置的方法很简单,看它是否能打开 VRML 文件(*.wrl, *.wrz)即可,如果无法打开,则需要下载插件一些辅助插件。当然在开始之前应基本熟悉 VRML 浏览器的操作方法。VRML 浏览器的主要功能是读入 VRML 代码文件,并把它解释成图形映像。VRML 浏览器基本上实现了物体的变换效果,如灯光、视角变换、模糊、裁剪、阴影、投影、碰撞等。

下面将介绍如何用 cortvrml 插件在 Microsoft 的 IE 9.0 浏览器中浏览 VRML 网页。

从图 10.3 中可看出,IE 9.0 浏览窗口的控制栏可以分为两部分:窗口上侧是浏览器菜单栏;菜单栏下一层是弹出菜单控制栏。在浏览器中右击可以实现各种操作。

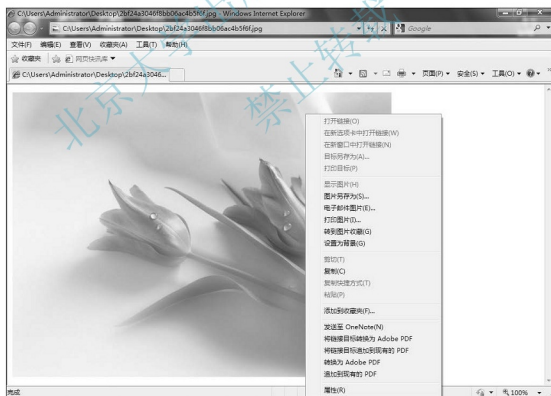





图 10.3 IE 9.0 浏览文件的窗口


cortvrml 的浏览方式控制分为移动模式、飞行模式和观察模式,而且处在不同的浏览方式下鼠标的显示方式也各不相同。


 Walk 的浏览方式为模拟人在虚拟三维世界中的走动和转向等，其实现方法为：在控制栏中选择“Walk”项使之高亮，然后在浏览器窗口中按住鼠标左键并拖动鼠标，或通过键盘上的方向键进行控制。


 Fly 的浏览方式为模拟人在虚拟三维世界中的飞行和转向等。


 Study 的浏览方式为在浏览者的面前以不同的方向和不同的角度来旋转一个或多个漂浮在空间中的对象，对浏览者感兴趣造型的某些细节进行进一步的仔细的观察。


 Plan 的浏览方式为模拟在虚拟三维世界中的一个平面内的平移。


 Pan 的浏览方式为模拟在三维世界中的垂直的上下或者左右的平移。

 Turn 的浏览方式为改变浏览者的视角，相当于现实世界中人们的仰视、俯视、左转和右转。但是由于可以实现任意角度的旋转，会形成一些在现实世界中不太可能出现的奇怪的视角，很容易使浏览者分不清方向。

 Roll 的浏览方式为在虚拟三维世界中的一个垂直平面上实现顺时针或者逆时针方向的视角变化。

 Goto 的浏览方式为走近所要观察的对象，其实现方法为：在控制栏中选择 Goto 项使之高亮，然后在浏览器窗口中用鼠标左键单击所要观察的对象就可以靠近观察。

 View 视点控制。如果在 VRML 文件中设置了多个视点，那么单击 View 两侧的箭头就可以切换视点为当前视点的前一个视点或者后一个视点，如果单击 View 则返回当前视点。另外如果右击 View 视点将弹出一个所有视点的列表，选择其中之一即可实现视点之间的快速切换。切换到下一个视点的快捷键是 PageDown，切换到上一个视点的快捷键是 PageUp。

 Restore 视点控制。Restore 控制能使浏览者的视点切换到 VRML 文件默认的视点上，即浏览者进入虚拟世界的第一个视点。但是它与浏览器的刷新不同，Restore 并没有重载文件，它仅仅是切换了视点而已。

在浏览器窗口中的任意位置单击鼠标右键便会弹出如图 10.4 所示的菜单，菜单中各个选项详细说明如下。

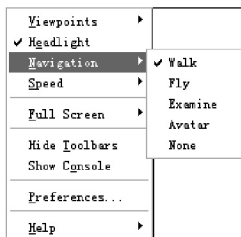


图 10.4 cortvrml 的弹出菜单

(1) Viewpoints: 给出所有可用视点的列表，可以用来实现视点的快速切换。

- (2) Headlight: 控制头顶灯是否打开。
- (3) Navigation: 浏览方式控制, 可以选择浏览者所希望的浏览方式。
- (4) Speed: 更改虚拟人的浏览速度。
- (5) Full Screen: 全屏显示。
- (6) Hide Toolbars: 隐藏工具栏。
- (7) Show Console: 显示控制台。
- (8) Preferences: 参数选择, 可以设置插件的参数。
- (9) Help: 帮助菜单。

10.3 VRML 基本语法

本节将介绍 VRML 的约定及其基本概念, 包括节、域、事件、路由、原型、交互以及脚本等。

10.3.1 VRML 的通用语法结构

VRML 文件是要创建的空间的文本性描述, VRML 的通用语法由 VRML 文件来约定。下面通过一个 VRML 文件例 10.1 对 VRML 的语法进行具体地说明。

例 10.1

```
#VRML V2.0 utf8
Shape {
    appearance Appearance {
        material Material {
        }
    }
    geometry Box{
    }
}
```

从 10.1 中, 可以看出 VRML 文件对语法有以下几条约定:

- ① 每个 VRML 文件都必须以 #VRML V2.0 utf8 作为文件头。
- ② 文件中的任何节点的第一个字母都要大写。
- ③ 节点的域都必须位于括号里面。

10.3.2 VRML 的基本概念

1. 节点

节点用来描述造型和造型的属性, 是 VRML 文件的最基本构成部件。例如, 球体节点:

```
Sphere {
    radius 1.0
}
```

从上面的例子中可以看出节点包括节点原型以及描述其属性的域和域值(注意: 域和域

值必须括在括号里面)。

2. 域和域值

域用来定义节点的属性, 域值是对属性的具体描述。

3. 事件

事件是按照指定的路由从一个节点发往另一个节点的消息, 它是一个值, 一般类似于节点的域值, 可以是坐标值、颜色值或浮点值。

4. 路由

路由是消息从一个节点发往另一个节点依据的路线, 多个节点通过路由连接起来形成复杂的路线, 可以传播声音、动画等, 使所创建的 VRML 空间充满变化和动感。

5. 交互和脚本

VRML 场景中的对象能对用户动作做出反应, 称为交互功能。在 VRML 中, 检测器 (Sensor) 节点是交互能力的基础。检测器节点共 9 种。在场景图中, 检测器节点一般是以其其他节点的子节点的身份而存在的, 它的父节点称为可触发节点, 触发条件和时机由检测器节点类型确定。下面是几种最常用的检测器:

- (1) 接触检测器 (TouchSensor)。
- (2) 邻近检测器 (ProximitySensor)。
- (3) 时间检测器 (TimeSensor)。
- (4) 朝向插补器 (OrientationInterpolator)。

脚本是一套程序, 通常作为一个事件级的一部分而执行。脚本函数也可以异步地执行。与脚本相联系的是脚本节点和脚本语言。一个 Script 节点包含一个叫做 Script 的程序。这个程序是以 Javascript 或 Java 语言编写的。脚本可以接受时间, 处理事件中的信息, 还可以产生基于处理结果的输出事件。当一个 Script 节点接受一个输入事件时, 它将事件的值和时间戳传给与输入事件同名的函数或方法。函数可以通过赋值给与事件同名的变量发送事件。一个输入时间与调用发出输出时间函数的输入事件有相同的时间戳。当一个脚本给另一个节点发出多个具有相同时间戳的时间时, 另一个节点的类型将决定处理事件的顺序。总而言之, 这个处理过程最接近用户期望的顺序。例如, 如果用户的脚本向某个 ViewPoint 节点发出由相同时间戳得到的 set_position 和 set_bind 事件, 浏览器在激活该视点之前会重新设置视点的位置。大多数情况下, 用户最好忽略时间戳。

10.3.3 VRML 空间计量单位

VRML 构造的是一个三维的虚拟世界, 它的造型和位置都是由三维坐标系来确定的。它也有它的空间计量单位, 以用来控制场景中造型的大小和尺寸。这里只简单介绍 VRML 的计量单位。

VRML 的计量单位通常有长度单位和角度单位两种, 具体介绍如下。

1. 长度单位

长度单位也叫 VRML 单位, 简称单位, 用来计量造型的尺寸和位置。例如:

```
Sphere {
    radius 1.0
}
```

2. 角度单位

角度单位是用来计量坐标旋转角度的大小的。在 VRML 中, 角度单位通常使用的是弧度制。例如:

```
Transform{
    rotation 0.0 1.0 0.0 1.571
}
```

其中 1.571 表示旋转的角度。

10.3.4 VRML 的节点简介

VRML 的节点包括外形节点 Shape、几何节点 Geometry、外观节点 Appearance、组节点 Group 等。

1. 外形节点 Shape

回顾一下 10.3.1 小节中所用到的例子, 这里重新列出见例 10.2。

例 10.2

```
#VRML V2.0 utf8
Shape {
    appearance Appearance {
        material Material {
        }
    }
    geometry Box {
    }
}
```

在该实例中, 用 Shape 节点创建了一个正方体造型, 而在 Shape 节点中, 有两个域: appearance 和 geometry 域。appearance 域定义了这个正方体造型的外观, geometry 域指定了这个造型是一个正方体造型。

在创建一个造型时, 必须使用 Shape 节点, 它有两个域, 分别为 appearance 域和 geometry 域。它们的域值类型都是 SFNode 类型, 各域的语法规则如下:

appearance 域值是一个定义造型外观的 appearance 节点。appearance 节点将定义造型外观的颜色和纹理。appearance 域中包含有称为 set_appearance 的入事件和 appearance_changed 的出事件, 可以通过将正确的事件传送到前者来改变 appearance 域的域值, 新的域值将通过后者传出去。Appearance 域的默认域值为 NULL, 表示为一个白色且发光的造型外观。

geometry 域值是一个定义空间造型几何尺寸大小的造型节点, 它包括 Box、Cylinder、Cone、Sphere 等基本的几何节点, 还可以是文本(Text)节点。geometry 域中包含有称为 set_geometry 的入事件和 geometry_changed 的出事件, 可以通过将正确的事件传送到前者

来改变 geometry 域的域值, 新的域值将通过后者传输出去。geometry 节点的默认值也是 NULL, 表示没有造型存在。

2. 组节点 Group

在同一个场景中创建多个造型时, 要用上组节点 Group, 将场景中的各个造型进行编组, 而获得具有多个造型的较复杂的场景。这类编组节点还有 Transform、Anchor 等。这里只简单介绍一下 Group 节点的语法。

Group 节点有 5 个域, 分别是 children 域、bboxCenter 域、bboxSize 域、addChildren 域和 removeChildren 域。

children 域用于指定该组节点的一个列表, 各节点在自己的最后用逗号与其他的组元分开。children 域的域值通常包含造型节点 Shape 和其他的 Group 节点。children 域的默认域值为一个空的组元列表, 即一个空组。而 bboxCenter 和 bboxSize 域是用来指定约束长方体的中心位置和大小。bboxCenter 域的默认域值是(0.0 0.0 0.0), 而 bboxSize 域的默认域值为(-1.0 -1.0 -1.0)。addChildren 域和 removeChildren 域分别是输入接口和输出接口。

Group 节点是将基本造型节点组织在一起, 编成一组中的多个节点将相互交迭, 从而创建复杂的空间造型, 编组后的节点可以作为一个单独的对象来进行各种操作, 包括和其他的对象一起编成一个新的组。一个组中可以包含任意数目的组元, 一个 VRML 文件中可以包含任意数目的组。

10.3.5 域

所有节点的各种属性都是域定义的, 如, radius 域的域值设定该球体的半径为 1.0VRML 单位, 在其他的节点中还可以定义长度、宽度、颜色、亮度等。每个域都有默认值, 当域值没有被指定时, 浏览器将使用默认值, 比如 radius 的默认值表示半径为 1.0。域有两种类型: 单值类型和多值类型。单值类型的命名以“SF”开头, 只包含单一的值, 像一个数字、一种颜色、一个向量等。多值类型的命名以“MF”开头, 包含多个值, 像一组数字的列表、一组颜色的列表。多值类型在使用时要注意的是用括号把所有的值括起来。域值在定义各种属性时有各种不同的域类型, 如 Sfloat, Sfcolor。下面是对各种域类型的简单介绍。

1) SFBool 和 MFBool

SFBool 输出事件的初始值是 FALSE, 未初始化的 MFBool 域的初始值为空列表。

2) SFCOLOR 和 MFCOLOR

SFCOLOR 域是只有一个颜色值的单值域。SFCOLOR 值和 RGB 值一样, 由一组三个浮点数组成。每个数都是 0.0~1.0, 极值包括在内, 分别表示构成颜色的红绿蓝三个分量。MFCOLOR 域是一个多值域, 包含任意数量的 RGB 颜色值, SFCOLOR 域的输出事件的初始值是(0, 0, 0)。而 MFCOLOR 域的输出事件的初始值是[]。

3) SFFloat 和 MFFloat

一个 SFFloat 域含有一个 ANSI 格式的单精度浮点数。

一个 MFFloat 域含有零个或多个 ANSI 格式的单精度浮点数, 即允许空白, 不赋任何值。SFFloat 域输出事件的初始值为 0.0。MFFloat 域输出事件的初始值为[]。

4) SFImage

一个 SFImage 域含有非压缩的二维彩色图像或灰度图像。

一个 SFImage 域, 首先列出三个整数值, 前两个表示图片的宽度和高度, 第三个整数表示构成图像格式的元素个数(1~4)。随后, 按“宽度×高度”的格式列出一组十六进制数, 数与数之间以空格分隔, 每一个十六进制数表示图像中一个单独的像素, 像素的排列规定从左到右、从底到顶的顺序。第一个十六进制数表示图像中最左下角的像素, 最后一个则描述右上角的像素。SFImage 域的输出事件的初始值为(0, 0, 0)。

5) SFInt32 和 MFInt32

一个 SFInt32 域含有一个 32 为整数。一个 SFInt32 值是由一个十进制或十六进制格式的整数构成。

一个 MFInt32 域是多值域, 由任意数量的以逗号或空格分隔的整数组成, 如[8, -0XA9C, -2563890]。

SFInt32 域的输出事件的初始值为 0, MFInt32 域的输出事件的初始值为[]。

6) SFNode 和 MFNode

一个 SFNode 域含有一个单节点, 必须按标准节点句法完成。

一个 MFNode 域包含任意数量的节点, 一个 SFNode 允许包含一个关键字 NULL, 此时, 表示它不包含任何节点。SFNode 域的输出事件的初始值为 NULL, MFNode 域的输出事件的初始值为[]。

7) SFRotation 和 MFRotation

SFRotation 域规定一个绕任意轴的任意角度的旋转。SFRotation 值含有四个浮点数, 各数之间以空格分隔。前三个数表示旋转轴(从原点到给定点的向量); 第四个数表示围绕上述轴旋转多少弧度。MFRotation 域可包含任意数量的这类旋转值。SFRotation 域的输出事件的初始值为(0, 0, 1, 0), MFRotation 域的输出事件的初始值为[]。

8) SFString 和 MFString

SFString 域包含一串字符, 各字符遵守 UTF-8 字符编码标准(ASCII 是 UTF-8 的子集, 可以用于 SFString)。SFString 值含有双引号括起来的 UTF-8 octets 字符串。任何字符(包括“#”和换行符)都可以在双引号中出现。为了在字符串中使用双引号, 在它之前加一个反斜杠“\”。为了在字符串中使用反斜杠, 连续输入两个反斜杠“\\”。MFString 域含有零个或多个单值, 每个单值都和 SFString 值的格式一样。

SFString 域的输出事件的初始值为“”, MFString 域的输出事件的初始值为[]。

9) SFTime 和 MFTime

SFTime 域含有一个单独的时间值。每个时间值是一个 ANSIC 格式的双精度浮点数, 表示的是从 1970 年 1 月 1 日(GMT, 格林尼治平均时)子夜开始计时, 延续当前时间的秒数。MFTime 域包含任意数量的时间值。

SFTime 域的输出事件的初始值为-1, MFTime 域的输出事件的初始值为[]。

10) SFVec2f 和 MFVec2f

SFVec2f 域定义了一个二维向量。SFVec2f 的值是两个由空格分隔的浮点数。

MFVec2f 域是多值域, 包含任意数量的二维向量值。SFVec2f 域的输出事件的初始值为(0 0), MFVec2f 域的输出事件的初始值为[]。

11) SFVec3f 和 MFVec3f

SFVec3f 域定义了一个三维空间的向量。一个 SFVec3f 值包含三个浮点数，数与数之间以空格分隔。该值表示从原点到所给顶点的向量。

MFVec3f 域包含任意数量的三维向量值。SFVec3f 域的输出事件的初始值为(0, 0, 0)，MFVec3f 域的输出事件的初始值为[]。

10.4 在场景中添加几何体

在上一节中，我们学习了 VRML 的一些基本概念，对于节点、场景等概念已经有了一些基本的认识。本节将介绍如何创建简单的几何体，如何在同一场景中设置多个造型等。

10.4.1 Shape 节点对几何体的封装

本小节主要介绍一下 Shape 节点如何对几何体进行封装。先看前面使用过的一个例子(例 10.3)。

例 10.3

```
#VRML V2.0 utf8
Shape {
  appearance Appearance {
    material Material {
    }
  }
  geometry Box {
  }
}
```

在 VRML 浏览器中运行该程序，将在 VRML 空间中显示一个白色的长方体。Shape 节点对几何体的封装是通过 geometry 域来实现的。在上面的实例中，创建一个长方体是这样实现的：

```
geometry Box { }
```

而创建圆柱体则是这样实现的：

```
geometry Cylinder { }
```

由此可见，Shape 节点对几何体的封装是用 geometry 域实现的，即 geometry+几何体造型节点。

不仅如此，Shape 节点还可以实现对文本造型的封装，具体实现方法后面将介绍。

10.4.2 添加长方体

在三维空间中添加长方体很简单，先看一个例子(例 10.4)。

例 10.4

```
#VRML V2.0 utf8
Shape {
```



```

appearance Appearance {
  material Material {
  }
}
geometry Box {
}
}

```

在 VRML 浏览器中运行, 将得到如图 10.5 所示的结果。其为一个白色的立方体。

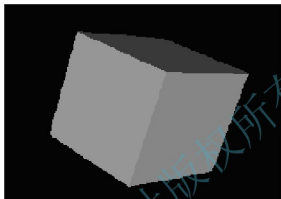


图 10.5 在场景中添加的立方体造型

由例 10.4 可以看出, 在场景中添加一个立方体造型要用到 Box 节点, 现在看一看 Box 节点的语法。

Box 节点是创建一个以坐标原点为中心的长方体的节点, 有一个域, 即 size 域。size 域的域值类型为 SFVec3f 类型, size 域值为长方体的长、宽、高的大小, 通过改变其长、宽、高的大小可以创建不同的长方体, 如果长、宽、高的大小相同, 则该长方体是立方体。上面创建的是一个以坐标原点为中心的立方体。Box 节点的 size 域的默认值大小都是 2.0 个单位, 即 Box 节点的默认节点是一个边长为 2.0 个单位的立方体。

10.4.3 添加球体

先看一个在三维空间场景中添加球体的实例(例 10.5)。

例 10.5

```

#VRML V2.0 utf8
Shape {
  appearance Appearance {
    material Material {
    }
  }
  geometry Sphere {
  }
}

```

其运行结果如图 10.6 所示, 为一个白色的球体造型。

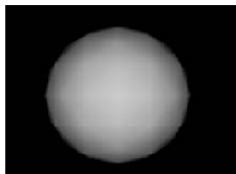


图 10.6 在场景中添加的球体造型

由例 10.5 可以看出, 在场景中添加球体造型要用到 Sphere 节点, 该节点的语法如下:

```
Sphere{
  #field SFFloat radius 1.0
}
```

Sphere 节点创建的是一个以坐标原点为中心的球体, 有一个域, 即 radius 域。域值类型为 SFFloat 类型, 球体的半径由 radius 域的域值确定, radius 的默认域值为 1.0 个单位。上面的例子中就是用的 radius 的默认值。

10.4.4 添加圆柱体

先看一个在三维空间场景中添加圆柱体的实例(例 10.6)。

例 10.6

```
#VRML V2.0 utf8
Shape {
  appearance Appearance {
    material Material {
    }
  }
  geometry Cylinder {
  }
}
```

其运行结果如图 10.7 所示, 为一个白色的圆柱体造型。



图 10.7 在场景中添加的圆柱体造型

由例 10.6 可以看出,在场景中添加圆柱体造型要用到 Cylinder 节点,该节点语法如下:

```
Cylinder{
  #field SFFloat radius 1.0
  #field SFFloat height 2.0
  #field SFBool bottom TRUE
  #field SFBool side TRUE
  #field SFBool top TRUE
}
```

Cylinder 节点创建的是一个以坐标原点为中心,由底面(bottom),顶面(top)和侧面(side)三个部分组成的圆柱体。该节点有 5 个域,即 radius 域、height 域、bottom 域、top 域和 side 域。radius 域和 height 域的域值类型都是 SFFloat 类型, bottom 域、top 域和 side 域的域值类型都是 SFBool 类型。圆柱体的端面半径由 radius 域的域值确定,高由 height 域的域值确定, bottom 域用于指定创建的圆柱体是否有底面, top 域用于指定创建的圆柱体是否有顶面, side 域用于指定创建的圆柱体是否有侧面。radius 和 height 域的默认域值分别为 1.0 和 2.0 个单位, side、top 和 bottom 域的默认域值都是 TRUE,即创建的圆柱体造型顶面、侧面和底面都有。上面的例子使用的就是该节点的默认域值。

10.4.5 添加圆锥体

先看一个在三维空间场景中添加圆锥体的实例(例 10.7)。

例 10.7

```
#VRML V2.0 utf8
Shape {
  appearance Appearance {
    material Material {
    }
  }
  geometry Cone {
  }
}
```

其运行结果如图 10.8 所示,为一个白色的圆锥体造型。

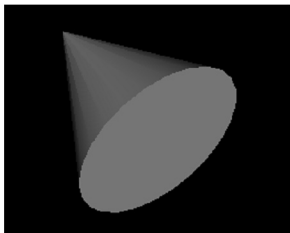


图 10.8 在场景中添加的圆锥体造型

从例 10.7 可以看出,在场景中添加圆锥体造型要用到 Cone 节点,该节点的语法如下:

```
Cone{
  #field SFFloat bottomradius 1.0
  #field SFFloat height 2.0
  #field SFBool side TRUE
  #field SFBool bottom TRUE
}
```

Cone 节点创建的是一个以空间坐标系 y 轴为对称轴,原点为中心的圆锥体。该圆锥体由两部分组成:底面(bottom)和锥面(side)。该节点有 4 个域,即 bottomRadius 域、height 域、side 域和 bottom 域,其中 bottomRadius 域和 height 域的域值类型都是 SFFloat 类型,side 域和 bottom 域的域值类型都是 SFBool 类型。bottomRadius 域用于指定创建的圆锥体的底面半径长度,height 域用于指定创建的圆锥体的高,side 域用于指定创建的圆锥体是否有锥面,bottom 域用于指定创建的圆锥体是否有底面。bottomRadius 域和 height 域的默认域值分别是 1.0 和 2.0 个单位;side 域和 bottom 域的默认域值都是 TRUE,即创建的圆锥体造型有锥面和底面。

10.4.6 添加文本

在场景中添加文本是通过使用 Shape 节点实现的,将 Text 节点作为 geometry 域的域值,下面看一个在场景中添加文本造型的例子(例 10.8)。

例 10.8

```
#VRML V2.0 utf8
Shape {
  appearance Appearance {
    material Material {
    }
  }
  geometry Text {
    string "Add Text!"
    fontStyle FontStyle {
      size 1.0
      style "BOLD"
    }
  }
}
```

其运行结果如图 10.9 所示。



图 10.9 在场景中添加文本

在例 10.8 中, 用 Text 节点创建了一个文本为字符串“Add Text!”的文本造型, string 域值指定文本字符串为“Add Text!”, FontStyle 节点作为 Text 节点中的 fontStyle 域的域值, 用来指定字符串的外观特征, 其中 size 域值指定该文本造型的行高, style 域值指定该文本造型的风格为“BOLD”——粗体。下面介绍 FontStyle 节点。

FontStyle 节点有 9 个域, 即 family 域、horizontal 域、justify 域、language 域、leftToRight 域、topToBottom 域、size 域、spacing 域和 style 域。其中 family 域、justify 域、language 域和 style 域均为 SFString 类型, horizontal 域、leftToRight 域和 topToBottom 域均为 SFBBool 类型, size 域和 spacing 域为 SFFloat 类型。

family 域是指定所创建的文本所使用的 VRML 字符集, 默认的字符集为“SERIF”字符集, 即在浏览器中能显示 Time Roman 或 New York 字体。另外, “SANS”字符集能显示 Helvetica 字体, “TYPEWRITER”字符集能显示 Courier 字体。

horizontal 域是指定文本是水平读(值为 TRUE)还是垂直读(值为 FALSE), 默认值为 TRUE, 即水平读。

justify 域中第一个字符串是指定该文本的对齐方式, BEGIN 表示首对齐, MIDDLE 表示中间对齐, END 表示尾对齐。第二个字符串是指定如何微调文本块, 默认值为 BEGIN、FIRST。

language 域是指定所要使用的语言, 默认域值为空。

leftToRight 域是指定文本是否为从左往右读, 默认域值为 TRUE。

topToBottom 域是指定文本是否为从上往下读, 默认域值为 TRUE。

size 域是指定每一水平文本本行的高度, 或者是垂直文本本行的宽度, 默认域值为 1.0。

spacing 域是指定文本本行的行间距, 默认域值为 1.0。

style 域是指定文本的字体风格, 默认域值为 PLAIN 风格。VRML 中可以使用的字体风格列出如下:

PLAIN: 常用的文本风格。

BOLD: 加粗字体。

ITALIC: 倾斜字体。

BOLDITALIC: 加粗倾斜字体。

10.5 几何体的几何变换

在前面学习的 Shape 节点所创造的造型都是以坐标轴的原点为中心, 而在使用 VRML 时往往需要创建一些复杂甚至很复杂的场景图, 单一坐标系的创建在很大程度上限制了用户的空间构想。本章将要介绍的 Transform 编组节点可以在场景中自由平移、旋转和缩放所创建的造型。

10.5.1 理解 VRML 空间

前面只简单地介绍了 VRML 的空间计量单位, 这里将更深入地理解 VRML 的空间概念。VRML 的造型都是由坐标系来定位的, 而且是由坐标系上的 VRML 单位来设定其尺寸的。可以说坐标系是 VRML 场景创建的一个很重要的依据, 这里的坐标系由 x、y、z 三个

坐标方向构成,其方向可以用右手规则来确定,将大拇指和食指分开成 90° ,中指垂直于拇指和食指构成的平面,大拇指所指的方向是 x 轴的方向,食指指的是 y 轴的方向,中指指的是 z 轴方向。通过对 Transform 编组节点的使用可以创建更多的坐标系,因此坐标系分为父坐标系和子坐标系。子坐标系是相对于父坐标系的原点而创建的,而父坐标系又可以相互嵌套而被创建。有了父坐标系的嵌套,就可以在任何地方创建自己想要的造型,这些造型通过坐标系的嵌套,组合在一起构成各种很复杂的 VRML 场景,从而形成多姿多彩的三维世界。

1. 平移坐标系的理解

平移坐标系是通过对 Transform 节点的 translation 域的使用创建的一个新的子坐标系,每次平移通过 Transform 节点的 translation 域指定平移距离,平移距离是指新的子坐标系原点和父坐标系原点的分别在 x 、 y 、 z 三个坐标轴的距离(这里的距离是以 VRML 单位度量的)。新的子坐标系确定后,要在新坐标系创建的造型的位置也就被确定了。新坐标系中的造型都是以新坐标系的原点为中心创建的。

2. 旋转坐标系的理解

旋转坐标系是通过对 Transform 节点的 rotation 和 center 域的使用创建的一个新的子坐标系,每次旋转由它们的域值指定旋转角度和旋转方向,同样地,旋转后新的子坐标系将确定其中的造型的位置。对于旋转坐标系要注意以下几个方面的问题。

(1) 确定旋转坐标系的两个因素。一是旋转轴。旋转轴是坐标系围绕旋转的一根线。在 VRML 中,旋转轴就是由 rotation 域的前面三个值确定的新坐标系原点与父坐标系原点的连线。在同一直线上的点确定的旋转轴是相同的,与坐标值是无关的,比如在 x 轴上的所有点确定的是同一旋转轴。

二是旋转角度。旋转角度以弧度计算,其值由 rotation 域的第四个值确定。

(2) 坐标系的旋转方向。由于在旋转中有一个旋转方向的问题,初学者很容易在旋转方向上出现错误,在这里介绍一下旋转右手规则:

在旋转轴确定后,可以用右手握住旋转轴,拇指指向轴的正方向。如果旋转角度为正,则旋转方向为其余四个指头所指的方向;如果旋转角度为负,则旋转方向为四个指头所指方向的反方向。

3. 缩放坐标系的理解

缩放坐标系是通过对 Transform 节点的 scale 和 scaleOrientation 域的使用而创建的新的子坐标系。缩放因子由它们的域值来确定。与平移坐标系、旋转坐标系不一样的是,缩放后的坐标系将确定其中造型的尺寸。在该坐标系中创建的造型将以缩放坐标系的尺度被创建,所以可根据需要放大或者缩小造型。

10.5.2 Transform 节点的语法

通过 Transform 节点可以创建多个坐标系,其语法规则如下:

```
Transform {
    #exposedField      MFNode      Children
```

```

#exposedField      SFVec3f      translation
#exposedField      SFRotation    rotation
#exposedField      SFVec3f      scale
#exposedField      SFRotation    scaleOrientation
#field             SFVec3f      bboxCenter
#field             SFVec3f      bboxSize
#exposedField      SFVec3f      center
#eventIn           MFNode       addChildren
#eventIn           MFNode       removeChildren
}

```

children 域包含了该组的所有子节点, 浏览器将逐个创建各个造型, 其默认值为不包含任何子节点。

translation 域指明子坐标系原点相对父坐标系原点的坐标位置, 其域值有三个, 分别表示沿 x 、 y 、 z 三个方向的平移单位, 其默认值为 0, 0, 0, 表示两坐标系完全重合。

rotation 域设定了子坐标系的旋转轴和旋转角度。它的域值有四个, 前面三个设定了新坐标系的原点, 第四个值是旋转角度, 两原点的连线是旋转的轴, 其默认值表示没有发生旋转。

scale 域设定了造型在子坐标系三个坐标方向的缩放因数, 三个值分别表示在 x 、 y 、 z 方向的缩放, 要注意该域值始终大于 0.0, 当小于 1.0 时是缩小, 大于 1.0 时是放大。其默认值是 1.0 1.0 1.0, 表示不发生缩放。

scaleOrientation 域和 **rotation** 域一样, 指定一条旋转轴和旋转角度。子坐标使用该域值旋转, 缩放后又旋转回来。其默认值表示在缩放时没有旋转。

center 域指明发生旋转时围绕的点的新坐标系中的坐标中心。其默认值是新坐标系的原点。其他的域会在后面讲解。

10.5.3 平移几何体

几何体的平移实际上是坐标系的平移, 前面已经了解了父、子坐标系, 而将几何体平移实际上就是通过使用节点 **Transform** 的 **translation** 域, 相对原坐标系形成新的子坐标系, 然后在子坐标系中创建所要平移的几何体就达到了我们平移几何体的目的。上面已经对该节点的平移语法做了很详细的介绍, 下面介绍平移几何体的实例(例 10.9)。

例 10.9

```

#VRML V2.0 utf8
DEF sphere Shape {
    appearance Appearance {
        material Material {
            diffuseColor 0.5 0.5 0.5
        }
    }
    geometry Sphere {
        radius 0.5
    }
}

```

```

}Transform {
  translation 1.0 0 0.0
  children USE sphere
}Transform {
  translation -1.0 0 0.0
  children USE sphere
}Transform {
  translation 0.0 1.0 0.0
  children USE sphere
}Transform {
  translation 0.0 -1.0 0.0
  children USE sphere
}

```

例 10.9 通过将原点处的球体进行四次平移得到如图 10.10 所示的模型。

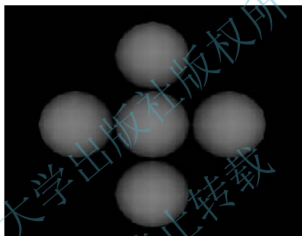


图 10.10 向四个方向平移原点处的球体的结果

10.5.4 旋转几何体

几何体的平移解决了造型创建的位置问题，想要创建一个平放的圆柱体或者倒置的圆锥体，这是平移不能达到的，但通过 Transform 节点的 rotation 和 center 域的使用就可以创建出这样的造型。

旋转几何体是通过使用节点 Transform 的 rotation 和 center 域，指定旋转轴或者旋转点、旋转角度，形成新的旋转坐标系，然后在子坐标系中创建需要的造型。

1. 绕轴的旋转

Transform 节点的 rotation 域设定父子坐标系原点的连线作为旋转轴，同时还设定了旋转的角度，其应用见例 10.10。

例 10.10

```

#VRML V2.0 utf8
DEF text Shape {
  appearance Appearance {
    material Material {

```



```

        diffuseColor 0.5 0.5 0.5
    }
}
geometry Text {
    string "Rotation!"
}
}Transform {
    rotation 0 0 1 1.57
    children USE text
}Transform {
    rotation 0 0 1 3.14
    children USE text
}Transform {
    rotation 0 0 1 4.71
    children USE text
}
}

```

例 10.10 通过绕轴旋转字符串, 得到如图 10.11 所示的结果。



图 10.11 将字符串绕轴旋转的结果

2. 围绕中心的旋转

有时候单一地围绕某个轴旋转来创建造型并不很方便, 通过使用 Transform 节点的 center 域, 就可以使几何体围绕某个中心点旋转, 这种旋转有时会比围绕轴旋转更自然灵活。例 10.11 说明了这一点。

例 10.11

```

#VRML V2.0 utf8
DEF text Shape {
    appearance Appearance {
        material Material {
            diffuseColor 0.5 0.5 0.5
        }
    }
}

```

```

    }
    geometry Text {
        string "Rotation!"
    }
}Transform {
    rotation 0 0 1 1.57
    center 0 1 1
    children USE text
}Transform {
    rotation 0 0 1 3.14
    center 0 1 1
    children USE text
}Transform {
    rotation 0 0 1 4.71
    center 0 1 1
    children USE text
}

```

此例和例 10.10 的不同之处仅仅在于多了 `center` 域值的设定, 其结果如图 10.12 所示, 从图中可以看出两者的不同。



图 10.12 围绕设定中心的旋转的结果

10.5.5 缩放几何体

因为现实世界的多姿多彩, VRML 中创建的造型的大小尺寸也是不定的, 根据需要有时要创建一个很大的造型, 比如地球; 有时需要创建很小的造型, 比如构成物质的原子或者离子等。总之, 会根据需要去改变造型的尺寸, 通过对 `Transform` 节点的 `scale` 和 `scaleOrientation` 域的使用, 可以根据需要任意放大或缩小造型的尺寸。

同样, 造型的缩放、平移、旋转一样离不开坐标系的变换, 缩放是通过 `Transform` 节点的 `scale` 和 `scaleOrientation` 域确定缩放因数和缩放坐标系, 形成新的坐标系, 再在新坐标系中创建需要的造型而完成造型的缩放。

1. 在不同方向上的缩放

通过对 Transform 节点的 scale 和 scaleOrientation 域的使用, 可以沿任何方向缩放需要的造型, 下面用例子来说明(例 10.12)。

例 10.12

```
#VRML V2.0 utf8
Transform {
  scale 2 1 1
  children [
    Shape {
      appearance Appearance {
        material Material {
          diffuseColor 0.5 0.5 0.5
        }
      }
      geometry Box {
        size 1.0 1.0 1.0
      }
    }
  ]
}
```

在该例中, 构造的是一个边长为 1.0 的立方体, 但在 scale 域值中, x 轴的长度为原来的 2 倍, 所以结果为一个长方体, 如图 10.13 所示。

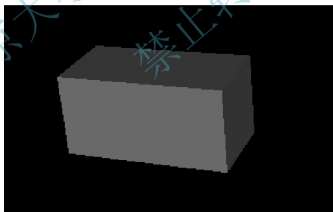


图 10.13 立方体被拉伸为长方体

2. 围绕中心点的缩放

使用 Transform 的 center 域可以指定一个缩放中心, 使要创建的造型根据需要相对该点来进行缩放, 像旋转中心一样, 围绕点的缩放有时会对造型的创建提供比在不同方向上的缩放更大的方便, 如例 10.13 所示。

例 10.13

```
#VRML V2.0 utf8
DEF box Shape {
```

```

        appearance Appearance {
            material Material {
                diffuseColor 0.5 0.5 0.5
            }
        }
        geometry Box {
            size 1.0 1.0 1.0
        }
    }Transform {
        scale 2 1 1
        center -2 0 0
        children    USE box
    }Transform {
        scale 2 1 1
        center 2 0 0
        children    USE box
    }
}

```

在例 10.13 中，分别在两个中心点处对立方体进行缩放，结果如图 10.14 所示。



图 10.14 在不同的中心点处对原始的立方体进行缩放

10.6 真实感场景创建

10.6.1 光照

现实生活中缺少不了光，到处都有光的照射，如阳光、灯光等。在 VRML 中也可通过添加不同的光照来丰富 VRML 场景的创建。在 VRML 中添加并控制光照是通过 PointLight 节点、DirectionalLight 节点和 SpotLight 节点来实现的。

VRML 对现实世界中光源的模拟实质上是一种对光源的计算。现实世界的光源是指各种能发光的物体，但是在 VRML 世界中，看不到这样的光源。VRML 是通过物体表面的明暗分布的计算，使物体同环境产生明暗对比，这样，物体看起来就像是在发光。

光源的另一点区别在于阴影。在 VRML 中的光源系统中不会自动产生阴影，如果要对静态物体制作阴影渲染，必须先人工计算出阴影的范围，模拟阴影。

光源颜色由一个 RGB 颜色控制，与材料设置的颜色相似。光源发出的光线的颜色跟光源的颜色相同。比如，一个红色的光源发出的光线是红色的。在现实中，一个白色的光源照射到一个有色的物体表面，将发生两种现象，而人所能看到的只是其中的反射现象，另

一种现象就是吸收光线，它导致光强的衰减。反射光的颜色与物体表面的颜色有关，一束白色的光线照射到一个红色的物体的表面，看到的反射光是红色的。这是因为白色的光线由多种颜色的光组成，物体吸收了其中除红色外的所有光线，红色则被反射。但是如果物体表面是黑色的，它将不反射任何光线。

在 VRML 中，可以用 Material、Color 和纹理节点设置造型的颜色。来自电灯的白色光线照射到有色造型上时，每个造型将反射光中的某些颜色，这一点跟现实生活中一样。电灯是一个白色的光源，不能设置颜色。一个有色光源照射到一个有色的造型上时，情况比较复杂。例如，一个蓝色物体只能反射蓝色的光线，而一束红色的光线中又不会有蓝色的成分，当一束红色的光线照射到一个蓝色的造型上时，由于没有蓝色光线可以反射，它将显示黑色。

现实中物体表面的亮度由直接照射它的光源的强度和环境中各种物体所反射光线的多少决定，处于真空中的某个物体由于没有漫反射发生，它的亮度只由直接照射它的光线的强度决定；但是在一间没有直接光源照射的房间里，有时也可能看到其中的物体，这是因为各种物体的反射光线在物体之间发生了多次复杂的反射和吸收，产生了环境光线，它的颜色是白色的。同样，在 VRML 中可以模拟直接光线和环境光线所产生的效果。为了控制环境光线的多少，对 VRML 提供的光源节点，可以设置一个环境亮度值，如果该值高，则表示 VRML 世界中产生的环境光线较多。

讨论了光源的相关概念后，我们来看几个光源节点。

1. PointLight 节点

PointLight 节点生成一个点光源，即生成的光线是向四周分散的。PointLight 既可作为独立节点，也可作为其他组节点的子节点。

其节点语法如下：

```
PointLight{
  #exposedField      SFBool      on
  #exposedField      SFVec3f     location
  #exposedField      SFFloat     radius
  #exposedField      SFFloat     intensity
  #exposedField      SFFloat     ambientIntensity
  #exposedField      SFCOLOR     color
  #exposedField      SFVec3f     attenuation
}
```

on 域的值表示该点的光源为打开状态还是关闭状态。TRUE 表示打开，FALSE 表示关闭。默认值为 TRUE。

location 域的值指定了当前坐标系中光源所在位置的三维坐标。该域值的默认值为 0.0 0.0 0.0。

radius 域的值指定了一个半径值，这个半径值为光源所能照亮的范围，以该光源为中心的照明球体的半径。该球体以外的范围不能被该光源照到，而在该球体以内的则能被该光源照亮。

intensity 域的值指定了光源的明亮程度。该域值从 0.0 到 1.0 不同，0.0 表示光源最弱，

1.0 表示光源的明亮程度达到最大。该域值的默认值为 1.0。

ambientIntensity 域的值指定了光源在该光源照明球体中造型的环境光线的影响。0.0 表示该光源对环境光线没有影响, 1.0 表示该光源对环境光线的影响很大。该域值的默认值为 0.0。

color 域的值指定了光源的 RGB 颜色。该域值的默认值为 1.0 1.0 1.0, 表示生成一个白色的光源。

attenuation 域的值指定了在光照范围内光线的衰减方式。其域值为三个控制参数组成的集合。第一个值控制该光源在照明球体中是否亮度一致; 第二个值控制随着距离的增加光线亮度如何减弱; 第三个值控制着亮度强弱和距离之间的关系。该域值的默认值为 1.0 0.0 0.0, 表示照明球体中亮度保持一致。

例 10.14

```
PointLight {
  location 2.0 2.0 0.0
  color 1.0 1.0 0.0
}
Shape {
  appearance Appearance {
    material Material {
    }
  }
  geometry Box {
    size 1.0 1.0 1.0
  }
}
```

在例 10.14 中, 在(2.0 2.0 0.0)点处设置了黄色的点光源, 所以立方体的部分面被照成黄色, 而其他的面是白色, 如图 10.15 所示。

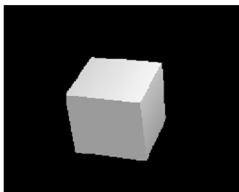


图 10.15 场景中设置了点光源

2. DirectionalLight 节点

DirectionalLight 节点生成一个平行光源, 即生成的光线是平行向前发射的。**DirectionalLight** 既可作为独立节点, 也可作为其他节点的子节点。

其节点语法如下:

```

DirectionalLight{
    #exposedField      SFFloat      ambientIntensity
    #exposedField      SFColor      color
    #exposedField      SFVec3f      direction
    #exposedField      SFFloat      intensity
    #exposedField      SFBool      on
}

```

ambientIntensity 域、color 域、intensity 域和 on 域均在 PointLight 节点中详细介绍了，这里就不再介绍。

Direction 域的值指定了一个三维向量，用来表示光源的照射方向。该域值的三个向量分别表示 x、y、z 的坐标值，所创建的光线是与该点和原点连线平行的。该域值的默认值为 0, 0, -1，即光源的照射方向是沿 z 轴负方向的。

例 10.15

```

#VRML V2.0 utf8
DirectionalLight {
    direction 1.0 1.0 1.0
    color 1.0 1.0 0.0
}
Shape {
    appearance Appearance {
        material Material {
        }
    }
    geometry Box {
        size 1.0 1.0 1.0
    }
}

```

例 10.15 为点(0 0 0)与点(1.0 1.0 1.0)的连线平行的光源，结果如图 10.16 所示。为了更好地观察效果，读者可以把代码运行一下，仔细观察与前者区别。

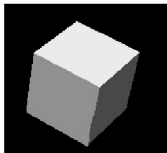


图 10.16 场景中设置了平行光源

3. SpotLight 节点

SpotLight 节点创建了一个锥光源，即从一个光点位置呈锥状向一个特定的方向照射。

SpotLight 节点可作为独立的节点，也可作为其他组节点的子节点。

其节点语法如下：

```
SpotLight{
    #exposedField      SFFloat      ambientIntensity
    #exposedField      SFVec3f      attenuation
    #exposedField      SFFloat      beamWidth
    #exposedField      SFColor      color
    #exposedField      SFFloat      cutOffAngle
    #exposedField      SFVec3f      direction
    #exposedField      SFFloat      intensity
    #exposedField      SFVec3f      location
    #exposedField      SFBool      on
    #exposedField      SFFloat      radius
}
```

cutOffAngle 域的值用来表示顶点在聚光光源位置，轴与照射方向平行的一个光源锥体的扩散角，以弧度为计量单位。它描述的是从锥体的轴到锥体表面一边之间所形成的角。在该照明锥体中的造型将被聚光光源照亮。增大该域值可以扩大照明锥体；而减小该域值则缩小该锥体。该域值在 0.0~1.57 变化，其默认值为 0.785。

beamWidth 域的值指定了由 **cutOffAngle** 域值所指定的照明锥体中的一个小锥体的夹角。在内部锥体中光照没什么变化。而从内部锥体到外部锥体，光照将从内部锥体的表面开始逐渐减弱。该域值在 0.0~1.57 变化，其默认值为 1.57。

例 10.16

```
#VRML V2.0 utf8
SpotLight {
    location 0 0 3
    cutOffAngle 0.35
    color 0.0 1.0 1.0
    radius 10
}
DEF box Shape {
    appearance Appearance {
        material Material {
        }
    }
    geometry Box {
        size 1.0 1.0 1.0
    }
}
Transform {
    translation 1 0 0
    children USE box
}
Transform {
    translation -1 0 0
    children USE box
```



```

}Transform {
  translation 0 1 0
  children USE box
}Transform {
  translation 0 -1 0
  children USE box
}Transform {
  translation 1 1 0
  children USE box
}Transform {
  translation 1 -1 0
  children USE box
}Transform {
  translation -1 1 0
  children USE box
}
Transform {
  translation -1 -1 0
  children USE box
}

```

例 10.16 在场景中添加了锥体光源，其运行结果如图 10.17 所示。

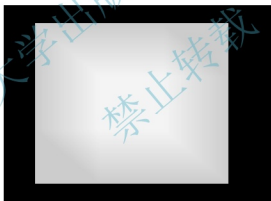


图 10.17 在场景中设置了锥体光源

10.6.2 纹理

纹理，在严格意义上说，应该称之为纹理映射，就是指定到材质上的图形。纹理贴图是一幅二维的图像，可以把它贴到材质的表面上，与贴壁纸到墙壁上一样。如果要想使所做的物体与现实世界中的类似，就必须进行纹理贴图。

如果将适当的纹理贴图贴到材质表面，能给材质增色不少。但是要将纹理的尺寸、外形等与所要贴的材质的表面一致，就不是容易的事情了。由于在通常情况下，所有的纹理贴图都是长方形的，而材质的表面一般都不是很规则，并且经常是曲面的。

大多数的 VRML 浏览器所支持的表面材质的几种图像格式为 JPEG、MPEG、GIF 和 PNG，被称为 VRML 材质贴图文件的标准格式。在 VRML 文件中，可以应用纹理贴图来定义一张纹理，并将其贴到材质的表面上去。在 VRML 中，用于指定材质表面贴图的节点

主要有 ImageTexture(图片纹理节点)、MovieTexture(影像纹理节点)、PtexTexture(像素纹理节点)。下面分别介绍这三种节点。

1. ImageTexture 节点

ImageTexture 是图像纹理节点, 指定了纹理映射属性, 通常作为 Appearance 节点的 texture 域的值。其节点语法如下:

```
ImageTexture{
    #exposedField      MFString      url
    #field              SFBool        repeatS
    #field              SFBool        repeatT
}
```

url 域指定了由高优先级到低优先级排列的 URL 列表。url 域值所指定的必须是 JPEG、GIF 或 PNG 文件格式的文件。VRML 浏览器从地址列表中第一个 URL 指定位置试起, 如果图像文件没有被找到或不能被打开, 浏览器就尝试打开第二个 URL 指定的文件, 依此类推, 当找到一个可以打开的图像文件时, 该图像文件被读入, 作为纹理映射造型; 如果找不到任何一个可以打开的图像文件, 将不进行纹理映射。

repeatS 域和 repeatT 域指定纹理坐标是回绕还是锁定。S 代表水平方向, T 代表垂直方向。如果域值为 TRUE, 则纹理坐标在纹理系统中回绕并重复; 如果域值为 FALSE, 则纹理坐标不重复并锁定。其默认值为 TRUE。

例 10.17

```
#VRML V2.0 utf8
Shape {
    appearance Appearance {
        texture ImageTexture {
            url "picture.jpg"
        }
    }
    geometry Box {
        size 1.0 1.0 1.0
    }
}
```

例 10.17 中, 我们为正方体贴上了黄山松的图片, 如图 10.18 所示。



图 10.18 表面贴上纹理图的正方体

2. MovieTexture 节点

MovieTexture 节点是电影纹理节点,用来指定纹理映射属性。通常作为 Appearance 节点的 texture 域的值。其语法定义如下:

```
MovieTexture{
    #exposedField      SFBool      loop
    #exposedField      SFFloat     speed
    #exposedField      SFTime      startTime
    #exposedField      SFTime      stopTime
    #exposedField      MFString    url
    #field              SFBool      repeatS
    #field              SFBool      repeatT
    #eventOut           SFTime      duration_changed
    #eventOut           SFBool      isActive
```

这里的域在前面都介绍过,因此不再详细讲解。

3. Pixe Texture 节点

Pixe Texture 节点是像素纹理节点,用来指定纹理映射属性。通常作为 Appearance 节点的 texture 域的值。其语法定义如下:

```
Pixe Texture{
    #exposedField  SFImage    image
    #field         SFBool     repeatS
    #field         SFBool     repeatT
}
```

image 域的值指定了用来对造型进行纹理映射的纹理映像的大小和像素值。该域值的前三个值必须为整数,其中第一个数值表示以像素为单位的映像的宽度,第二个数值表示以像素为单位的映像的高度,第三个数值表示每一个像素的字节数。而第三个值可在 0, 1, 2, 3, 4 这几个数中取值,其中 0 表示静止造型纹理;1 表示灰度;2 表示 alpha 灰度;3 表示 RGB 颜色;4 表示 alpha RGB, alpha 表示像素的透明程度。

整型的像素值是通过十六进制表示的。字节数为时,则只提供一个 1 字节整数,表示从 0x00~0xff 的灰度程度。

下面通过例 10.18 来说明 Pixe Textare 节点的特点。

例 10.18

```
#VRML V2.0 utf8
Shape {
    appearance Appearance {
        texture PixelTexture {
            image 2 2 1
            0x00 0x40
            0x80 0xff
        }
    }
}
```

```

geometry Box {
    size 2.0 2.0 2.0
}

```

从图 10.19 中可以看出不同像素部分颜色的灰度程度的差别。这就是通过 `image` 域值来设定的。



图 10.19 不同灰度纹理

10.6.3 雾化

VRML 允许在空间添加大气效果，通过设定大气的状态增加场景的朦胧效果。如果场景中按远近有一系列的物体，空间距离只能影响它们在浏览器中的大小而不能体现现实中因远近引起的清晰度的差异。如果在场景中添加雾化效果，这一差异就能得到体现，从而使造型显得更加逼真。

对有多物体造型的 VRML 空间，使用雾化不仅能使场景更加逼近现实，而且由于远处的物体只显示轮廓，浏览器在绘制它们时能加快速度。VRML 中生成雾化效果的节点是 `Fog` 节点。`Fog` 节点定义可见度递加的区域来模拟烟或雾。浏览器将雾的颜色与被绘制的物体的颜色相混合。物体的距离越远，雾的浓度越大，物体的能见度越低。

```

Fog{
    #exposedField      SFColor      color
    #exposedField      SFString     fogType
    #exposedField      SFFloat      visibilityRange
    #eventIn           SFBool       set_bind
    #eventOut           SFBool       isBound
}

```

`color` 域指定雾化的颜色。其实，雾化效果有点像笼罩在物体四周的光环。而这个色彩参数就是定义光环的颜色。`fogType` 域用于指定雾化类型，有“`EXPONENTIAL`”和“`LINEAR`”两种取值。前者是指数方式变化，后者是线型变换。如果使用线型雾化方式的话，会大大减小计算量，但是其效果不如指数方式自然。`visibilityRange` 域用于指定对象雾化显示的最大距离。当对象离观察者的距离大于这个数值时，将不会有雾化效果显示出来。下面给出雾化的一个例子(见例 10.19)。

例 10.19

```
#VRML V2.0 utf8
Fog {
  color 1.0 1.0 1.0
  fogType "LINEAR"
  visibilityRange 50
}
DEF cylinder Shape {
  appearance Appearance {
    material Material {
      diffuseColor 1.0 1.0 0.0
    }
  }
  geometry Cylinder {
    radius 0.4
    height 2.0
  }
}
}Transform {
  translation 0 0 -2.0
  children USE cylinder
}Transform {
  translation 0 0 -4.0
  children USE cylinder
}Transform {
  translation 0 0 -6.0
  children USE cylinder
}Transform {
  translation 0 0 -8.0
  children USE cylinder
}Transform {
  translation 0 0 -10.0
  children USE cylinder
}Transform {
  translation 0 0 -12.0
  children USE cylinder
}Transform {
  translation 0 0 -14.0
  children USE cylinder
}Transform {
  translation 0 0 -16.0
  children USE cylinder
}
```

例 10.19 的结果如图 10.20 所示。

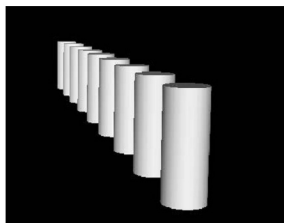


图 10.20 加入雾化效果的场景图

10.7 一个 VRML 虚拟漫游系统的设计

在本节，我们将结合前面的知识介绍一个简单的桌面虚拟漫游系统的设计。通过这个例子，希望可以帮助读者更好地了解 VRML 的开发过程。在这个例子中，将设计一个虚拟工作室，该工作室包含办公桌椅和计算机等，虚拟人可以在房间中漫游。

一个虚拟场景包含很多东西，如果只是通过一个文件来设计整个场景，效率就比较低下，很容易出错，修改也很麻烦，而且代码过于冗长，阅读也不方便。所以在设计一个系统时，第一步就是分离出场景中的各个独立的物体造型，并各自为它们编写代码来实现。等设计好各个模型之后，再根据需要 will 各个模型组装成所需要的场景。下面就具体介绍整个设计过程。

10.7.1 物体模型的设计

我们设计的办公环境可以分离为四个独立的物体模型，分别是：桌子、椅子、电脑显示器和计算机的主机。在虚拟场景中漫游时，如果不加以控制，虚拟人将可以穿过物体，这与现实情况不符。所以在设计物体模型时，需要给物体模型加上碰撞检测功能，这样，当虚拟人碰到物体时就无法继续向前走动，与现实情况吻合。

1. Collision 节点

Collision 组节点观测观察者和组中的造型发生碰撞。语法如下：

```
Collision{
    #exposedField      MFNode      children
    #exposedField      SFVec3f     bboxCenter
    #exposedField      SFVec3f     bboxSize
    #exposedField      SFBool      collide
    #exposedField      SFNode      proxy
    #eventOut           SFTime      collideTime
    #eventIn            MFNode      addChildren
```

```

#eventOut      MFNode      removeChildren
}

```

children 域值指定了一个包含在组中的子节点列表。

bboxSize 域的值指定了一个约束长方体的尺寸。

bboxCenter 域的值指定了约束长方体的中心。

Collide 域值指定一个 TRUE 或一个 FALSE 值, 它使得对于组中子节点的碰撞检测变为有效或无效。接下来, 就使用 **Collision** 节点来帮助创建相关的物体模型。

2. 椅子

椅子的模型如图 10.21 所示。



图 10.21 椅子的模型

设计如下:

先设计座位部分, 为一个 **Box** 节点。代码如下:

```

Shape {
    appearance DEF chair_appearance Appearance {
        material Material {
            diffuseColor 0.97 0.69 0.49
        }
    }
    geometry Box {
        size 2.0 0.16 2.0
    }
}

```

设计椅子的腿和靠背都是长方体, 代码和座位部分类似, 在此不再详细列出。

设计椅子的两个扶手, 扶手是由三个长方体组合成的, 所采用的节点为 **Box**。下面给出其中一个扶手的代码。

```

Transform {
    translation -0.9 2.5 0.1
    children [

```

```

    Shape {
        appearance USE chair_appearance
        geometry DEF handle Box {
            size 0.2 0.2 1.8
        }
    }
}
]
}
Transform {
    translation 0.9 2.5 0.1
    children [
        Shape {
            appearance USE chair_appearance
            geometry USE handle
        }
    ]
}
Transform {
    translation -0.9 2.2 0.8
    children [
        Shape {
            appearance USE chair_appearance
            geometry Box {
                size 0.17 0.4 0.17
            }
        }
    ]
}
]
}

```

有了以上的设计，就可以构造出一个椅子的模型。

3. 桌子

桌子的模型如图 10.22 所示。

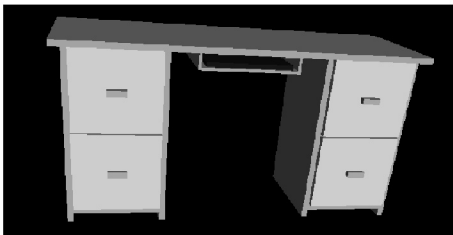


图 10.22 桌子的模型

桌面为一长方体,采用 Box 节点,代码如下:

```
Shape {
    appearance DEF desk_appearance Appearance {
        material Material {
            diffuseColor 0.97 0.69 0.49
        }
    }
    geometry Box {
        size 6 0.1 2.25
    }
}
```

由图 10.22 可看出桌腿包括上下两个柜子。由于对称性,我们只看左边的桌腿构造。

首先是外侧的挡板,为一长方体,代码如下,其中 **desk_appearance** 为上面已定义的节点。内侧挡板只要将坐标平移即可。

```
Shape {
    appearance USE desk_appearance
    geometry Box {
        size 0.1 3 1.9
    }
}
```

柜子的挡板和手柄都是简单的长方体,代码和外侧挡板类似,这里就不给出详细代码。设计好之后就可以通过坐标的变换把右腿也构造出来,从而构造出桌子。

4. 显示器

显示器的模型如图 10.23 所示。



图 10.23 显示器的模型

显示器的设计比较简单,底座为一长方体加一锥体。代码如下:

```
Shape { #长方体
    appearance Appearance {
        material Material {
            diffuseColor 0.2 0.3 0.3
        }
    }
}
```

```

        geometry Box {
            size 1.2 0.1 1.0
        }
    }
    Transform {
        translation 0 0.25 0
        children [
            Shape { #圆锥体
                appearance Appearance {
                    material Material {
                        diffuseColor 0.2 0.3 0.3
                    }
                }
                geometry Cone {
                    bottomRadius 0.4
                    height 0.4
                }
            }
        ]
    }
}

```

显示屏很简单，是由几个长方体组合而成的，在此就不给出代码了。

5. 计算机主机

计算机主机的模型如图10.24所示。



图 10.24 计算机主机的模型

计算机主机的设计主要是一个长方体，为了看起来真实，我们为主机的前面贴上纹理图片，此图片在项目文件 picture 目录下。贴图代码如下：

```

    Shape {
        appearance Appearance {
            texture ImageTexture {
                url "../picture/host.gif"
            }
        }
    }

```

```

geometry Box {
    size 0.3 1.4 0
}

```

10.7.2 漫游场景的最终生成

要将物体模型组合起来,需要将模型的文件都包含到场景文件中,这就需要用到 `Inline` 节点。语法如下:

```

Inline{
    #exposedField      MFString      url
    #exposedField      SFVec3f       bboxCenter
    #exposedField      SFVec3f       bboxSize
}

```

`url` 域的值用来指定一个 VRML 文件的 URL 地址列表。

`bboxCenter` 域值用来指定这个 `Inline` 节点内联框架的空间位置,即指定了引入的 VRML 文件所创建的空间造型的空间位置。

漫游场景的示意图如图 10.25 所示。

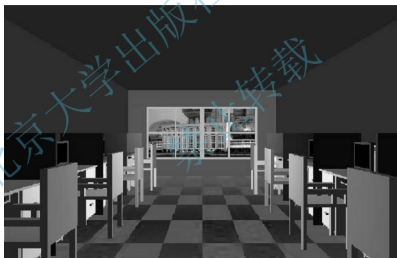


图 10.25 漫游场景全景图

首先要设计浏览者的视角,使得虚拟人出现在房间内的位置。代码如下:

```

Viewpoint {
    position 0 0 17.5
}

```

为了能将整个场景都照亮,需要在房间中设置光源,这里采用点光源,代码如下:

```

PointLight {
    ambientIntensity 1.0
    attenuation 1 0 0
    location 0 0 0
}

```

```

        radius 100
    on TRUE
}

```

房子的地板为一个长方体，并给它贴上图片纹理。代码如下：

```

Shape {
    appearance Appearance{
        texture ImageTexture {
            url "picture\floor.jpg"
        }
    }
    geometry floor Box {
        size 16 0.1 36
    }
}
}

```

天花板也为矩形，墙壁也为简单的矩形，不使用贴图，这里不给出代码。

窗户主要由一些长方体组成框架，然后在墙壁的外面放上一张图片模拟窗外的景色，从而不需要制造玻璃模型。长方体的框架之间主要是先计算好坐标，然后构成所需要的窗户模型，这里只给出窗外的风景画的代码。

```

Shape {
    appearance Appearance {
        texture ImageTexture {
            url "picture\out.jpg"
        }
    }
    geometry Box {
        size 14 8 0.01
    }
}

```

门主要由两个长方体组成，这里不详细介绍。要注意的是两个长方体之间要留有一些空隙，从而产生门的观感。

设计完房间的构架，下面就是往房间中加入前面构造的桌子、计算机等模型，这要使用 **Inline** 节点，这里主要是计算好坐标，把物体放在适当的位置，给出一个示例，代码如下：

```

Transform {
    translation 5 -5 -2.5
    rotation 0 1 0 1.571
    children Inline {url "model\chair.wrl"}
}

```

添加完所有的模型，则整个虚拟场景即构造完毕。

本章小结

本章主要介绍 VRML 的基本语法及相关的建模方法。具体内容如下:

- (1) 虚拟现实简介。
- (2) VRML 概述。主要介绍了 VRML 的浏览器软件以及 VRML 浏览器的主要功能。
- (3) VRML 基本语法。介绍了 VRML 的通用语法结构、VRML 的基本概念、VRML 空间计量单位、VRML 的节点和域。
- (4) 在场景中添加几何体。介绍了 Shape 节点对几何体的封装、添加长方体、添加球体、添加圆柱体、添加圆锥体和添加文本的方法和实例。
- (5) 几何体的几何变换。介绍了 VRML 的空间概念、Transform 节点的语法、平移几何体、旋转几何体和缩放几何体。
- (6) 真实感场景创建。主要介绍了真实感场景创建中的光照、纹理和雾化。
- (7) VRML 虚拟漫游系统的设计。主要介绍了物体模型的设计和漫游场景的生成。



阅读材料

虚拟现实技术具有超越现实的虚拟性。虚拟现实系统的核心设备仍然是计算机。它的一个主要功能是生成虚拟境界的图形,故此又称为图形工作站。通过计算机的虚拟现实建模语言 VRML 建立虚拟的场景,通过图像显示设备产生立体视觉效果的场景和图像。

图像显示设备是用于产生立体视觉效果的关键外设,目前常见的产品包括光阀眼镜、三维投影仪和头盔显示器等。其中高档的头盔显示器在屏蔽现实世界的同时,提供高分辨率、大视场角的虚拟场景,并带有立体声耳机,可以使人产生强烈的沉浸感。其他外设主要用于实现与虚拟现实的交互功能,包括数据手套、三维鼠标、运动跟踪器、力反馈装置、语音识别与合成系统等等。

虚拟现实技术的应用前景十分广阔。它始于军事和航空航天领域的需求,但近年来,虚拟现实技术的应用已走进工业、建筑设计、教育培训、文化娱乐等方面。它正在改变着我们的生活。

习 题

一、填空题

1. 虚拟现实技术有三个基本特征: _____、_____、_____; 虚拟现实系统分为四类: _____、_____、_____、_____。

2. 关键字 Viewpoints 的功能是_____，改变虚拟人的浏览方式使用的关键字是_____。
3. VRML 场景中的对象能对用户动作做出反应，称之为_____，一个 Script 节点包含一个叫做_____的程序。这个程序是以 Javascript 或 Java 语言编写的。
4. 几何体的平移实际上是_____的平移，将几何体平移实际上就是通过使用节点 Transform 的_____域。相对原坐标系形成新的子坐标系，再在_____坐标系中创建所要平移的几何体就达到了我们平移几何体的目的。

二、选择题

1. SpotLight 节点创建的是()。
- A. 锥光源 B. 平行光源 C. 点光源 D. 头顶灯
2. 建立组节点的关键字是()。
- A. Shape B. Transform C. Inline D. Group
3. 使用节点()可以加载图像纹理，使用节点()可以加载视频纹理。
- A. ImageTexture B. PixeTexture C. MovieTexture D. Fog
4. 当我们建立一个虚拟场景时，如果不加控制，则虚拟人可以穿透任何的物体，为了虚拟场景能更真实的反映现实，可以使用()节点来进行碰撞检测。
- A. Collision B. Route C. children D. geometry

三、判断题

1. VRML2.0 标准中，每个 VRML 文件都必须以#VRML V2.0 utf8 作为文件头。 ()
2. 在同一个场景中创建多个造型时，必须要用上编组节点 Group 节点，将场景中的各个造型进行编组。 ()
3. 角度单位是用来计量坐标旋转角度的大小的。在 VRML 中角度单位通常使用的是弧度制。 ()
4. 大多数的 VRML 浏览器所支持的表面材质的几种图像格式为 JPEG、MPEG、GIF 和 BMP 四种。 ()

四、简答题

在 VRML 中，用于指定材质表面贴图的节点有哪些？各自是如何定义的？

五、上机操作题

1. 对本章所构建的工作室设计一些盆景和壁画，美化场景。
2. 根据所处的学习或工作环境，设计制作一个简单办公楼或教学楼虚拟漫游系统。

第 11 章 计算机动画

学习目标

- 掌握 OpenGL 动画的基本程序;
- 掌握关键帧动画和变体技术;
- 掌握二维和三维图片的自由变体。

知识结构

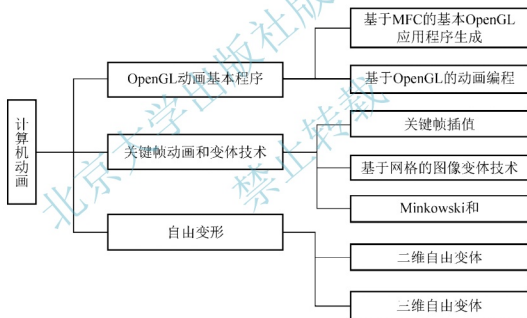


图 11.1 计算机动画知识结构图



导入案例

我们知道动画就是使图像“活”起来的过程。使用动画可以清楚地表现出一个事件的过程，或是展现一个活灵活现的画面。动画与运动是分不开的，可以说运动是动画的本质，动画是运动的艺术。从传统意义上说，动画是一门通过在连续多格的胶片上拍摄一系列单个画面，从而产生动态视觉的技术和艺术，这种视觉是通过将胶片以一定的速率放映的形式体现出来的。

随着计算机的快速发展，计算机技术逐渐地运用于动画艺术中。计算机动画是指采用图形与图像的处理技术，借助于编程或动画制作软件生成一系列的景物画面。也就是说计算机动画就是采用连续播放静止

图像的方法产生景物运动的效果,也即使用计算机产生图形、图像运动的技术。计算机动画的原理与传统动画基本相同,只是在传统动画的基础上把计算机技术用于动画的处理和应用,并可以达到传统动画所达不到的效果。由于采用数字处理方式,动画的运动效果、画面色调、纹理、光影效果等可以不断改变,输出方式也多种多样。

计算机动画所生成的是一个虚拟的世界,画面中的物体并不需要真正去建造,物体、虚拟摄像机的运动也不会受到什么限制,动画师可以随心所欲地创造其虚幻世界。目前,计算机动画已形成一个巨大的产业,随着计算机硬件性能价格比的快速提高,它综合利用计算机科学、艺术、数学、物理学和其他相关学科的知识在计算机上生成绚丽多彩的连续的虚拟真实画面,给人们提供了一个充分展示个人想象力和艺术才能的新天地。与传统媒体中的动态图形载体电影和电视相比,目前众多动画制作软件能使多媒体动画为更多的制作者所掌握,制作者能真正使自己的想法变成看得见的动画。

动画技术就是要求相关联成组的图形按照一定的规则移动或活动起来,是借助计算机生成一系列可供动态实时直播的连续图像的计算机图形技术。利用动画就能显示出计算机图形的第四维空间即时间。这一技术将计算机图形学的领域扩展到更深的程度,成为计算机图形学这一学科中最吸引人的领域之一,具有广阔的应用前景,同时它也将产生重大的经济和社会效益。本章仅介绍计算机动画技术的一些概念和一般的实现方法。动画的编程采用 OpenGL 进行图形绘制。

11.1 OpenGL 动画基本程序

11.1.1 基于 MFC 的基本 OpenGL 应用程序生成

OpenGL(Open Graphics Library, 开放图形库)是一种图形显示软件工具包,它为图形硬件(例如显卡、扫描仪等图像输入/输出设备)提供软件接口。OpenGL 为计算机动画提供由图形生成图像帧的工具。OpenGL 不是一种建模的工具。本章将介绍 OpenGL 的基本原理和基本编程方法,包括基本 OpenGL 程序、投影变换、视口变换、模型变换、基本图形变换、基本图形元素、二次曲面、基本实体模型、真实感绘制和计算机动画程序。

本节基于 Microsoft Visual C++ 2008 开发平台进行动画程序的编译。Microsoft Visual C++ 2008 开发平台通常包含 OpenGL, 不需要额外安装或复制其他程序就可以直接进行 OpenGL 编程。Microsoft Visual C++ 2008 开发平台提供的 OpenGL 函数库主要可以分为三类。

(1) OpenGL 核心库,对应的链接库文件是“OpenGL32.Lib”,对应的头文件是“GL.h”,对应的动态链接库文件是“OpenGL32.dll”,主要包括 OpenGL 核心的图形处理函数以及 OpenGL 组件的一些基本定义。在 OpenGL 核心库的函数名称通常以“gl”开头。

(2) OpenGL 工具库(Utility Library):对应的链接库文件是“GIU32.Lib”,对应的头文件是“GLU.h”,对应的动态链接库文件是“glu32.dll”,主要进行投影设置和纹理映射等与图形显示相关的较高层次的函数,并且定义了一些较高层次的图形组件。在 OpenGL 工具库中的函数名称通常以“glu”开头。

(3) OpenGL 辅助库(Auxillary Library):对应的链接库文件是“GIAux.Lib”,对应的头文件是“GLAux.h”,主要包括进行窗口管理和一些更高层次的图形实体绘制等的函数及其相关常量和宏定义。OpenGL 辅助库没有对应的动态链接库文件。在 OpenGL 的辅助库

中的函数名称通常以“aux”开头。OpenGL 辅助库的功能与 GLUT(OpenGL Utility Toolkit, OpenGL 实用工具包)提供的功能非常相似。GLUT 是由 SGI(Silicon Graphics, Inc.)公司利用 OpenGL 核心库和工具库开发的实用工具包。通常比 OpenGL 辅助库稳定,并且能够提供更多种类的函数,可以用来替代 OpenGL 辅助库。但是,如果需要使用 GLUT,则需要额外进行下载和安装。在 OpenGL 实用工具包 GLUT 中的函数名称通常以“glut”开头。本章不详细介绍 OpenGL 实用工具包 GLUT。

Microsoft Visual C++ 2008 开发平台在 Windows 的图形设备接口(Graphics Device Interface, GDI)中提供一些以“wgl”开头的函数,这些函数在 Windows 的基本图形设备接口和 OpenGL 之间起到桥梁的作用,从而使得 Windows 能够更好地支持 OpenGL 编程。下面将介绍基于 MFC 应用程序的生成的步骤。

首先,建立 Microsoft Visual C++ 的应用程序。在 Microsoft Visual C++ 2008 开发平台用鼠标左键依次单击菜单“文件>新建>项目”,弹出如图 11.2 所示的对话框。按照对话框的菜单目录依次选取项目的类型(MFC 类型)和项目模板类型(MFC 应用程序类型)。然后输入项目存放的路径或者单击“浏览”按钮选择存放的路径。在方案名称编辑框中对方案的名进行设定和修改。最后用鼠标单击“确定”按钮,就完成了新建项目类型的操作,如图 11.3 所示。

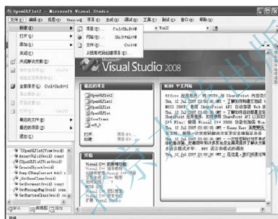


图 11.2 新建项目菜单

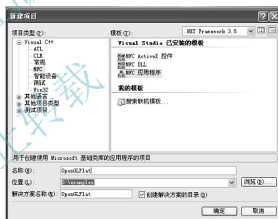


图 11.3 选择项目类型—MFC 应用程序

这时弹出如图 11.4 所示的对话框。随后弹出如图 11.5 所示的 MFC 应用程序向导对话框,如果需要调整程序的各项基本设置,则可以用鼠标左键单击“下一步”按钮,然后逐项进行设置。如果是建立单文件应用程序则选择“单文档”,这里采用默认的设置,因此用鼠标左键直接单击“确定”按钮,完成程序的设置。

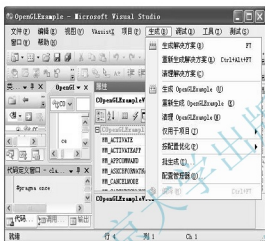
如图 11.6 所示,这时 Visual C++ 系统会自动创建一个名称为 OpenGLplat 的 MFC 项目,并生成基本的 MFC 应用程序代码。这个 MFC 应用程序基于文档(Document)和视图(View)架构。在 MFC 中,文档通常指文档类(CDocument 类或者其子类)的实例对象,通常用来存放各种模型类型数据。在新建的项目中,新生成的文档类中不包含任何数据类型。如果需要增加模型,则需要自行添加代码。在 MFC 中,视图总是与特定的文档相关联,通常为在该文档中的各种模型数据提供直观的可视化手段。一个文档可以拥有多个视图。这些视图可以从不同角度采用不同的方式展示文档数据。图 11.7 给出了一个文档的多个视图实例。



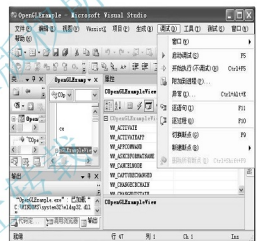
图 11.4 选择项目类型的“下一步”对话框



图 11.5 完成项目类型的设定—MFC 应用程序



(a) 编译和链接



(b) 运行

图 11.6 OpenGLplat 的 MFC 项目

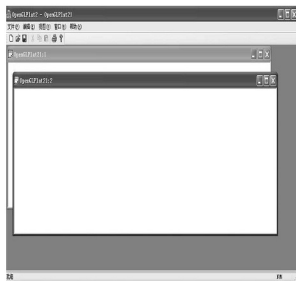


图 11.7 MFC 应用程序—OpenGLplat

1. 建立基于 MFC 的基本 OpenGL 应用程序

基本思路是在应用程序中添加 OpenGL 库, 并建立 OpenGL 的基本环境。具体步骤包括以下九个:

- (1) 新建或打开基本的 MFC 应用程序。
- (2) 配置应用程序, 添加 OpenGL 链接库文件。
- (3) 在实现视图类的文件中添加包含 OpenGL 头文件的语句。
- (4) 添加记录 OpenGL 渲染句柄的变量。
- (5) 添加视图类的成员函数 OnCreate。
- (6) 添加视图类的成员函数 OnDestroy。
- (7) 添加视图类的成员函数 OnSize。
- (8) 添加视图类的成员函数 OnEraseBkgnd。
- (9) 修改视图类的成员函数 OnDraw 的代码。

下面通过实例介绍这九个步骤的实现。

1) 新建或打开建好的基本的 MFC 应用程序。

在上节已经介绍如何在已建立一个基本的 MFC 应用程序的基础上生成基于 OpenGL 的应用程序。根据上节的步骤我们可以打开建好的 MFC 应用程序, 如图 11.8 所示。

这时弹出如图 11.9 所示的项目对话框。按照图 11.9 示选取 OpenGLPlat 项目所在的路径。然后在该路径下的 OpenGLPlat 方案选中文件名 OpenGLPlat.sln, 双击鼠标左键打开文件 OpenGLPlat.sln 或单击对话框右下角的“打开”按钮。这样 MFC 应用程序 OpenGLPlat 就被打开了。

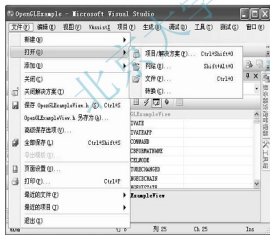


图 11.8 打开已有的项目/方案

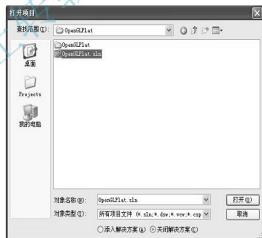


图 11.9 选择需要打开的项目目录/方案

2) 配置应用程序, 添加 OpenGL 链接库文件。

新建或打开的 MFC 应用程序 OpenGLPlat 在 Microsoft Visual C++ 2008 开发平台上的开发主界面通常如图 11.10 所示。工作区的左侧是方案资源管理器、类视图、属性管理器和资源视图等四个选项卡。可以用鼠标左键单击选项卡的名称从而选中该选项卡, 即可以激活该选项卡。这里选中的选项卡是“方案资源管理”。如果在开发主界面中找不到“方案资源管理器”选项卡, 则参照图 11.11。用鼠标左键依次单击菜单“视图->解决方案管理器->浏览”, 就可以打开方案资源管理器选项卡, 下拉式菜单如图 11.12 所示。工作区的右

The screenshot shows the Visual Studio IDE with the 'Example' project open. The 'Program.cs' file is selected in the file explorer, showing the following code:

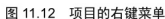
```

using System;

namespace Example
{
    class Program
    {
        static void Main()
        {
            Console.WriteLine("Hello World!");
        }
    }
}

```

The file explorer on the left shows the project structure, including the 'bin' and 'obj' folders. The 'Program.cs' file is highlighted in the file explorer.



打开 `OpenGLPlatformView.cpp`。该文件是实现视图类 `COpenGLPlatformView` 的文件。通常将图绘制和用户交互代码放在这个文件中。因为这里采用 `OpenGL` 进行绘制，所以需要在 `COpenGLPlatformView` 中添加包含 `OpenGL` 头文件的语句。修改后的文件 `OpenGLPlatformView.cpp` 第 16 行代码如下：

```
//OpenGLPlatView.cpp:implementation of the COpenGLPlatView class
//
#include "stdafx.h"
#include "OpenGLplat.h"
#include "OpenGLPlatDoc.h"
#include "OpenGLPlatView.h"
////////////////////////////////////
```

```
// 添加新的代码开始
#include <gl/GL.h>
#include <gl/GLU.h>
#include <gl/GLAUX.h>
// 添加新的代码结束
// //////////////////////////////////////
```

4) 添加记录 OpenGL 渲染句柄的变量。

首先用鼠标左键单击视图类视图选项卡, 激活类视图选项卡。如果 Microsoft Visual C++ 2008 开发平台主界面上找不到类视图选项卡, 则用鼠标左键依次单击菜单“视图->类视图”激活类视图选项卡。在类视图选项卡中。用鼠标左键展开 OpenGLplat 应用程序的类, 并用鼠标右键单击视图类 COpenGLPlatView, 这时弹出如图 11.13 所示的菜单, 用鼠标左键依次单击菜单“Add->Add Variable”, 弹出如图 11.14 所示的添加成员变量对话框。

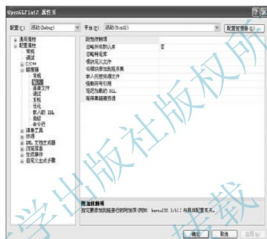


图 11.13 OpenGLplat 项目属性页对话框

在如图 11.14 和图 11.15 所示的添加成员变量对话框中, 首先选中该成员变量的封装模式, 这里设置为保护模式(Protect); 然后填写变量类型, 这里为 HGLRC; 最后输入成员变量名称, 这里为 m_hRC。变量类型 HGLRC 是 OpenGL 渲染句柄(handle to an OpenGL rendering context)类型。该类型的变量可以指向 OpenGL 渲染上下文(OpenGL rendering context)。

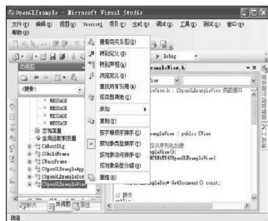


图 11.14 给视图类 COpenGLPlatView 添加成员变量



图 11.15 添加成员变量对话框

5) 添加视图类的成员函数 OnCreate。

参照步骤 4，返回类视图选项卡，如图所示在类视图选项卡中，用鼠标右键单击视图类 COpenGLPlatView，弹出如图 11.14 所示的右键菜单，用鼠标左键单击该右键菜单的属性菜单项(R)，弹出如图 11.16 所示的属性选项卡。在该属性选项卡中，用鼠标左键单击在该属性选项卡工具条上的“消息”按钮，这时属性选项卡如图 11.16 所示。在属性选项卡工具条的下方的工作区分为左右两列，其中左边是消息 ID 的列表。通过鼠标移动属性选项卡的滚动条可以查看不同的消息 ID，从中查找 WM_CREATE 消息。用鼠标左键单击 WM_CREATE 消息右侧的单元格。这时在该单元格中出现下拉式列表框。如图 11.16 所示，用鼠标左键单击该下拉式列表框的选项“添加 OnCreate”，这时系统自动为视图类 COpenGLPlatView 添加成员函数 OnCreate。

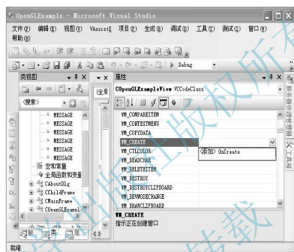


图 11.16 视图类 COpenGLPlatView 的属性选项卡

这里实际上应用了面向对象的覆盖(override)特性。视图类 COpenGLPlatView 继承其父类 CView，类 CView 继承自其父类 CWnd，而类 CWnd 已经定义了相同声明的成员函数 OnCreate。因此，视图类 COpenGLPlatView 的成员函数 OnCreate 是对其父类 CWnd 的相同声明成员函数的覆盖。

在创建应用程序的窗口时，系统会自动调用视图类的成员函数 OnCreate。因此，成员函数 OnCreate 的返回值一定是 0；否则不会成功创建窗口。在系统自动化为视图类 COpenGLPlatView 添加成员函数 OnCreate 之后，系统会自动在 Microsoft Visual C++ 2008 的开发平台主界面上打开实现视图类 COpenGLPlatView 的文件 OpenGLPlatView.cpp，同时自动处于编辑视图类 COpenGLPlatView 的成员函数 OnCreate 的状态。这时需要在该成员函数中添加一些代码。添加完代码之后的成员函数 OnCreate 定义如下：

```
// 文件名: OpenGLplatView.cpp; 开发者:
int COpenGLPlatView::OnCreate(LPCREATESTRUCT lpCreateStruct)
{
    if (CView::OnCreate(lpCreateStruct) == -1)
        return -1;

    // TODO: Add your specialized creation code here
```

```

// ////////////////////////////////////////
// 添加新的代码开始
CClientDC dc(this);
PIXELFORMATDESCRIPTOR pfd;
memset(&pfd,0,sizeof(PIXELFORMATDESCRIPTOR));
pfd.nSize=sizeof(PIXELFORMATDESCRIPTOR);
pfd.nVersion=1;
pfd.dwFlags=PFD_DRAW_TO_WINDOW|          //表明绘制在窗口上
             PFD_SUPPORT_OPENGL|         //表明支持 OpenGL
             PFD_DOUBLEBUFFER;           //表明支持采用双缓存机制
pfd.iPixelFormat=PFD_TYPE_RGBA;          //表明颜色格式为(R,G,B,alpha)
pfd.cColorBits=24;                       //表明颜色表示的位数, 不计表示 alpha 的位数
pfd.cDepthBits=32;                       //表明深度缓存区(z-buffer)的深度位数
int pixelFormat=ChoosePixelFormat(dc.m_hDC,&pfd);
SetPixelFormat(dc.m_hDC,pixelFormat,&pfd);
m_hRC=wglCreateContext(dc.m_hDC);
// 添加新的代码结束
// ////////////////////////////////////////
return 0;
}

```

上面代码只是文件 `OpenGLPlatView.cpp` 的程序片段。为了让窗口能够支持 OpenGL, 需要调用函数 `SetPixelFormat` 来设置窗口的像素格式。上面程序中能够支持 OpenGL 的像素格式记录在 `PIXELFORMATDESCRIPTOR` 类型的变量 `pfd` 中。函数调用 `memset(&pfd,0,sizeof(PIXELFORMATDESCRIPTOR))` 将变量 `pfd` 的各个成员分量均设置为 0。为了能够支持 OpenGL, 变量 `pfd` 的各个成员分量的值几乎都是固定的。分量 `pfd.Size` 的值必须为 `sizeof(PIXELFORMATDESCRIPTOR)`, 表明 `PIXELFORMATDESCRIPTOR` 数据结构的字节数。分量 `pfd.nVersion` 的值必须为 1, 表明当前 `PIXELFORMATDESCRIPTOR` 数据结构的版本号。上面程序设置 `pfd.dwFlags=PFD_DRAW_TO_WINDOW|PFD_SUPPORT_OPENGL|PFD_DOUBLEBUFFER`。

其中 `PFD_DRAW_TO_WINDOW` 表明图形绘制在窗口上, 而不是位图上; `PFD_SUPPORT_OPENGL` 表明需要支持 OpenGL 进行图形绘制; `PFD_DOUBLEBUFFER` 表明将采用双缓存机制进行图形绘制, 然后将后台缓存中绘制好的图像显示在屏幕上。这样可以隐藏图形的绘制过程, 从而提高动画绘制的视觉效果。分量 `pfd.iPixelFormat=PFD_TYPE_RGBA` 表明颜色采用 RGBA 模式表示, 即每个颜色值包含 R(红色)、G(绿色)、B(蓝色)和 alpha(混合因子, 即颜色的透明度)四个分量。因为不计表示 alpha 的位数, 即 R(红色)、G(绿色)、B(蓝色)每个分量占用 8 位, 所以每个颜色值占用 24 位, 即 `pfd.cColorBits=24`。分量 `pfd.cDepthBits=32` 表明深度缓冲区(z-buffer)的深度位数是 32。函数 `ChoosePixelFormat`, `SetPixelFormat` 和 `wglCreateContext` 的说明如下: `ChoosePixelFormat` 函数指定设备上下文能够支持的并与给定像素格式最匹配的像素格式索引值; `SetPixelFormat` 函数则设定了像素的格式; `wglCreateContext` 函数创建并返回与给定设备上下文相容的 OpenGL 渲染句柄。

6) 添加视图类的成员函数 OnDestroy。

参照步骤(5)，在视图类 COpenGLPlatView 属性选项卡的消息 ID 的列表中查找 WM_DESTROY 消息。这里消息 ID 的列表如图 11.16 所示。用鼠标左键单击 WM_DESTROY 消息右侧的单元格，并用鼠标左键单击在新出现的下拉式列表框中的选项“<Add>OnDestroy”。这时系统自动为视图类 COpenGLPlatView 添加成员函数 OnDestroy，并在 Microsoft Visual C++ 2008 开发平台主界面上自动打开文件 OpenGLPlatView.cpp，同时自动处于编辑视图类 COpenGLPlatView 的成员函数 OnDestroy 的状态。这时需要在该成员函数中添加一些代码。添加完代码之后的成员函数 OnDestroy 定义如下。

```
//文件名: OpenGLplatView.cpp; 开发者:
void COpenGLPView::OnDestroy()
{
    CView::OnDestroy();

    // TODO:Add your message handler code here
    // ////////////////////////////////////////
    // 添加新的代码开始
    wglMakeCurrent(NULL, NULL);
    wglDeleteContext(m_hRC);
    m_hRC=NULL;
    // 添加新的代码结果
    // ////////////////////////////////////////
}
```

在销毁应用程序的窗口时，系统会自动调用视图类的成员函数 OnDestroy。因此通常在函数 OnDestroy 中完成一些清理的工作。上面的代码调用函数 wglMakeCurrent 释放当前设备上下文与 OpenGL 渲染句柄关联所需要的资源，调用函数 wglDeleteContext 删除指定的 OpenGL 渲染句柄。函数 wglMakeCurrent 和 wglDeleteContext 的具体说明如下：wglMakeCurrent 函数将指定设备上下文的 OpenGL 渲染句柄设置为 hglrc。如果 hglrc 的值为 NULL，则不起作用。这时系统将当前设备上下文的 OpenGL 渲染句柄设置为 NULL，同时释放当前设备上下文与 OpenGL 渲染句柄关联所需要的资源。此时当前的设备上下文不一定是 HDC 指定的设备上下文。如果设置成功，则返回 TRUE；否则返回 FALSE；wgDeleteContext 函数则删除指定的 OpenGL 渲染句柄 hglrc。该函数与前面创建 OpenGL 渲染句柄的函数 wglCreateContext 相配套。

7) 添加视图类的成员函数 OnSize。

参照步骤(5)，在视图类 COpenGLPlatView 属性选项卡的消息 ID 的列表中查找 WM_DESTROY 消息。用鼠标左键单击 WM_SIZE 消息右侧的单元格，并用鼠标单击在新出现的下拉式列表框中的选项“<Add>OnSize”。此时系统自动为视图类 COpenGLPlatView 添加成员函数 OnSize，并在 Microsoft Visual C++ 2008 开发平台主界面上自动打开文件 OpenGLPlatView.cpp，同时自动处于编辑视图类 COpenGLPlatView 的成员函数 OnSize 的状态。这时需要在该成员函数中添加一些代码。添加完代码之后的成员函数 OnSize 定义如下。


```

//文件名: OpenGLplatView.cpp
void COpenGLPlatView::OnSize(UINT nType,int cx,int cy)
{
    CView::OnSize(nType,cx,cy);

    // TODO:Add your message handler code here
    // ////////////////////////////////////////
    // 添加新的代码开始
    CClientDC dc(this);
    wglMakeCurrent(dc.m_hDC,m_hRC);
    glMatrixMode(GL_PROJECTION);
    glLoadIdentity();
    double d=10;
    double n=100;

    glOrtho(-cx/n,-cx/n,-cy/n,-cy/n,-d,-d);

    glMatrixMode(GL_MODELVIEW);
    glViewport(0,0,cx,cy);
    wglMakeCurrent(NULL,NULL);          //释放相关资源
                                        // 添加新的代码结束
    // ////////////////////////////////////////
}

```

在 OpenGL 系统内部保存三类矩阵: 投影矩阵、模型视图矩阵和纹理矩阵, 其中模型视图矩阵又可以分为模型矩阵和视口矩阵。代码中调用了 `glMatrixMode` 函数和 `glLoadIdentity` 函数。`glMatrixMode` 函数可以指定当前的 OpenGL 矩阵类型; 如果设置成功, 则返回 TRUE, 否则, 返回 FALSE。`glLoadIdentity` 函数的功能是将当前的 OpenGL 矩阵设置为单位阵。

8) Eease Bkgnd 添加视图类的成员函数 OnEraseBkgnd。

参照步骤(5), 在视图类 `COpenGLPlatView` 属性选项卡的消息 ID 的列表中查找 `WM_ERASEBKGD` 消息。用鼠标单击 `WM_SIZE` 消息右侧的单元格, 并用鼠标单击在新出现的拉式列表框的选项 “<Add>On Eease Bkgnd”。此时系统自动为视图类 `COpenGLPlatView` 添加成员函数 `On Eease Bkgnd`, 并在 Microsoft Visual C++ 2008 开发平台主界面上自动打开文件 `OpenGLPlatView.cpp`, 同时自动处于编辑视图类 `COpenGLPlatView` 的成员函数 `On Eease Bkgnd` 的状态。这时需要在该成员函数中添加一些代码。在添加完代码之后的成员函数 `On Eease Bkgnd` 定义如下。

```

//文件名: OpenGLplatView.cpp; 开发者: c
BOOL COpenGLPlatView::OnEraseBkgnd(CDC*pDC)
{
    //TODO:Add your message handler code here and/or call default

    // return CView::OnEraseBkgnd(pDC);
    return TRUE; //阻止多余的操作(用背景颜色刷新整个窗口)
}

```

代码只是文件 `OpenGLPlatView.cpp` 的程序片段。所修改的代码只是将原来的函数返回语句注释起来，并增加直接返回 `TRUE` 的语句。这里视图类 `COpenGLPlatView` 的成员函数 `OnEraseBknd` 的覆盖。类 `CWnd` 的成员函数 `OnEraseBknd` 的功能是在需要绘制窗口时采用背景颜色刷新整个窗口。因为这里采用 `OpenGL` 对窗口进行绘制，一般让 `OpenGL` 对整个窗口进行绘制，所以用背景颜色刷新窗口在这里不仅是多余的，甚至是有害的。如果不将此功能去掉，则在进行动画绘制时会频繁出现全背景颜色的帧，从而容易在视觉上产生闪烁的现象。这里视图类 `COpenGLPlatView` 的成员函数 `OnEraseBknd` 直接返回 `TRUE`。它的作用一方面是不再用背景颜色刷新窗口，另一方面是通知 `Windows` 系统用背景颜色刷新窗口的任务已经不必再做了。这里需要注意的是函数 `OnEraseBknd` 的返回值不能改为 `FALSE`，如果返回值已为 `FALSE`，则意味着用背景颜色刷新窗口的任务没有完成，还需要继续用背景颜色刷新窗口。

9) 修改视图类的成员函数 `OnDraw` 的代码。

打开 `OpenGLPlateView.CPP`。在该文件中查找视图类 `COpenGLPlatView` 的成员函数 `OnDraw`。通常将图形绘制语句放在该成员函数中。在修改代码之后的成员函数 `OnDraw`。通常将图形绘制语句放在这个成员函数中。在修改完代码之后的成员函数 `OnDraw` 定义如下。

```
void COpenPlatView::OnDraw(CDC* pDC)
{
    COpenPlatDoc* pDoc = GetDocument();
    ASSERT_VALID(pDoc);
    if (!pDoc)
        return;

    // TODO: add draw code for native data here
    // ////////////////////////////////////////
    // 添加新的代码开始
    wglMakeCurrent(pDC->m_hDC, m_hRC);

    glClearColor(1.0f, 1.0f, 1.0f, 1.0f);
    glClear(GL_COLOR_BUFFER_BIT);

    glMatrixMode(GL_MODELVIEW);
    glLoadIdentity();

    glColor3f(1.0f, 0.0f, 0.0f);

    auxWireTeapot(2.0);

    SwapBuffers(pDC->m_hDC);
    wglMakeCurrent(NULL, NULL);
    // 添加新的代码结束
    // ////////////////////////////////////////
}
```

上述代码中调用了 `glClearColor` 函数、`glClear` 函数和 `glColor3f` 函数。`glClearColor` 函数可以用当前的清除值指定的一种或多种 OpenGL 后台缓冲区, `glClear` 函数可以设定缓冲区的类型, `glColor3f` 函数则将当前的颜色设置为指定的 RGBA 模式颜色值(red, green, blue 1.0f)。

在上面的视图类 `COpenGLPlatView` 的成员函数 `OnDraw` 中还调用了函数 `auxWireTeapot` 和 `SwapBuffers`。前一个函数指定需要绘制的线框模式参数, 后一个函数将在后台缓存中绘制完好的图像显示在屏幕上。上面代码最后通过调用函数 `wglMakeCurrent` 将当前 OpenGL 渲染句柄设置为 NULL, 同时释放相关资源。

到此为止, 完成基于 MFC 的基本 OpenGL 应用程序的编写工作。参照上一小节的过程, 可以对程序进行编译、链接和运行。

11.1.2 基于 OpenGL 的动画编程

本节介绍的动画程序在图形显示部分采用 OpenGL, 并采用计时器(计时器在有些文献中又称为定时器)控制动画帧转换的速率。每秒钟的帧数是衡量计算机动画质量的指标之一, 帧与帧之间的时间间隔应当尽量相同。这种要求非常适合计时器的特点。计时器可以按照相等的时间间隔均匀的触发事件。动画程序的框架结构直接采用 MFC 提供的文档类(Document)和视图类(Class View)架构。在这种框架下, 通常将动画所需要的图形等数据存放在文档类中, 并由视图类负责动画显示以及应用计时器控制动画的速率。下面介绍一下关于动画制作的函数。

(1) 函数: `CWnd::SetTimer`

功能: 函数 `SetTimer` 用来设置并启动一个计时器。计时器的 ID 为 `nIDEvent`。如果成功启动计时器, 系统按照等时间间隔激发计时器, 具体的时间间隔为 `nElapsed` 毫秒。参数 `lpfnTimer` 指定处理计时器时间的函数。如果成功启动计时器, 则函数 `SetTimer` 的返回值是计时器的 ID, 否则, 则返回值为 0。

声明: `UINT_PTR SetTimer(UINT_PTR nIDEvent, UINT nElapsed, VOID) CALLBACK, lpfnTimer)(HWND, UINT, UINT_PTR, DWORD);`

参数: `nIDEvent`: 一个不为零的整数, 表示该计数器的 ID(此 ID 是 identification 的缩写, 具体指的是用来标识该定时事件的整数)
Width: 直线条的显示宽度, 以像素为单位。

nElapsed: 激发计时器的时间间隔, 单位为毫秒(millisecond, 10^{-3} 秒)。
lpfnTimer: 计时器的回调函数。通常函数参数 `lpfnTimer` 为 NULL 或 0(此外 NULL 或 0 表示空指针), 这样可以使系统将 Windows 的消息 `WM_TIMER` 按照指定的等时间间隔发送给当前应用程序的消息队列统一进行处理。如果函数参数 `lpfnTimer` 不为 NULL 或 0, 则 `lpfnTimer` 应当采用自定义的回调函数。这时系统将 Windows 的消息 `WM_TIMER` 按照指定的等时间间隔发送给该回调函数, 由该回调函数处理该消息。

如果函数 `SetTimer` 的参数 `lpfnTimer` 需要采用自定义的回调函数, 则用来处理计时器事件的回调函数声明格式如下:

```
Void CALLBACK EXPORT TimerProc
(
    HWND hWnd, //Windows 的消息, 这里实际就是 WM-TIMER
```

```

UINT hMsg ,           //计时器的 ID
UINT_PTR nIDEvent ,   //计时器的 ID
DWORD dwTime          //系统时间
);

```

其中函数名 `TimerProc` 可以用其他标识来替代(如果回调函数采用其他标识符,则本段后面的 `TimerProc` 均应当用该标识符替代)。这时函数 `SetTimer` 的参数 `lpfnTimer` 所对应的实际调用函数应当为 `(&TimeProc)`。

通常在程序即将结束的时终止计时器。此外在文件“`OpenGLPlatView.cpp`”中,在类 `COpenGLPlatVIEW` 的成员函数 `OnDestroy` 的末尾添加如下代码终止计时器。

`KillTimer(1);` //新添加的代码: 终止计时器

函数 `KillTime` 的具体说明如下所示,其中“`CWnd::`”表示函数 `KillTime` 是类 `CWnd` 的成员函数。同样根据 C++ 面向对象的继承性,函数 `KillTime` 同时也是视图类 `COpenGLPlatView` 的成员函数。

(2) 函数: `CWnd:: KillTimer`

功能: 用来终止由参数 `nIDEvent` 指定的计时器,如果成功就终止计时器,函数 `KillTime` 的返回值不为 0; 否则,返回值为 0

声明: `BOOL KillTime(UINT_PTR nIDEvent);`

参数: `nIDEvent`: 一个不为零的整数,表示该计时器的 ID(此 ID 是 identification 的缩写,其具体用来标识该定时事件的整数)。

要编写视图类的成员函数 `OnTime`,首先要为视图类添加成员函数 `OnTime`。参照之前的章节的步骤,在类视图选项卡中,用鼠标右键单击视图类 `COpenGLPlatView`,弹出右键菜单。用鼠标左键单击该右键菜单的属性菜单项(`Properties`),弹出属性对话框。在该属性选项中,用鼠标左键单击在该属性选项卡工具条上的“消息(Message)”按钮。移动属性选项卡右侧的滚动条,并在属性选项卡的工作区域左侧查找 `WM_TIMER` 消息。用鼠标左键单击 `WM_TIMERX` 消息右侧的单元格。

(3) 函数: `glLineWidth`

功能: 设置直线段显示在屏幕上所占用的宽度,以像素为单位,默认值为 1.0f。

声明: `void glLineWidth(GL float width);`

参数: `width`: 直线段的显示宽度,以像素为单位。

(4) 函数: `CWnd::Invalidate`

功能: 将当前窗口设置为需要重新绘制的窗口,同时系统会发送重新绘制当前窗口的 `WM_PAINT` 消息,从而这个消息进入系统的消息队列,并由系统进行调度处理。当对该消息进行处理时,通常会引起调用绘制当前窗口的函数,例如调用 `OnDraw` 函数。

声明: `void Invalidate(BOOL bErase=TRUE);`

参数: `bErase`: 如果参数 `bErase` 为 `TRUE`,则表示在绘制窗口时同时需要绘制窗口的背景;如果参数为 `FALSE`,则表示在绘制窗口时不改变窗口的背景。在默认情况下,即在调用不含 `bErase` 参数的情况下,与在参数 `bErase` 为 `TRUE` 的情况下具有相同的处理方式。

下面我们通过制作一个旋转立方体的动画实例说明一下利用 `OpenGL` 编制动画的过程。

```

// opengl 动画例程如下
//视图头文件

```

```

class CCubeView : public CView
{
protected: //生成序列化代码
    CCubeView();
    DECLARE_DYNCREATE(CCubeView)
// 属性
public:
    CCubeDoc* GetDocument();
    CPalette    m_cPalette;
    CPalette    *m_pOldPalette;
    CRect        m_oldRect;
    float        m_fRadius;
    CClientDC    *m_pDC;
// 操作
public:
    void Init();
    void CreateRGBPalette(void);
    BOOL bSetupPixelFormat(void);
    unsigned char ComponentFromIndex(int i, UINT nbits, UINT shift);
    void DrawScene(void);
// 重写
    // ClassWizard 形成虚拟函数重写
    public:
        virtual void OnDraw(CDC* pDC);
// 实现代码
public:
    void zueqiu();
    void drawSurface(double *V1,double *V2,double *V3,double *V4);
    void normalize(double v[3],BOOL b3D);
    void subDivide(double *bottomV1,double *bottomV2,double *topV2,double
*topV1,int depth);
    virtual ~CCubeView();
    virtual BOOL PreCreateWindow(CREATESTRUCT& cs);
#ifdef _DEBUG
        virtual void AssertValid() const;
        virtual void Dump(CDumpContext& dc) const;
#endif
protected:
    BOOL    m_play;

//生成消息映射函数
protected:
    afx_msg void OnFilePlay();
    afx_msg void OnUpdateFilePlay(CCmdUI* pCmdUI);

```

```

afx_msg int OnCreate(LPCREATESTRUCT lpCreateStruct);
afx_msg void OnDestroy();
afx_msg void OnSize(UINT nType, int cx, int cy);
afx_msg void OnTimer(UINT nIDEvent);
afx_msg BOOL OnEraseBkgnd(CDC* pDC);
afx_msg void OnDrawQiu();
afx_msg void OnFileClose();
DECLARE_MESSAGE_MAP()
};
//视图源文件
#include "stdafx.h"
#include "cube.h"

#include "cubedoc.h"
#include "cubeview.h"
#include "gl\gl.h"
#include "gl\glu.h"
#ifdef _DEBUG
#undef THIS_FILE
static char BASED_CODE THIS_FILE[] = __FILE__;
#endif
//定义调色板的值 down
unsigned char threeto8[8] =
{
    0, 0111>>1, 0222>>1, 0333>>1, 0444>>1, 0555>>1, 0666>>1, 0377
};

unsigned char twoto8[4] =
{
    0, 0x55, 0xaa, 0xff
};

unsigned char oneto8[2] =
{
    0, 255
};

static int defaultOverride[13] =
{
    0, 3, 24, 27, 64, 67, 88, 173, 181, 236, 247, 164, 91
};

static PALETTEENTRY defaultPalEntry[20] =
{

```

```

{ 0, 0, 0, 0 },
{ 0x80,0, 0, 0 },
{ 0, 0x80,0, 0 },
{ 0x80,0x80,0, 0 },
{ 0, 0, 0x80, 0 },
{ 0x80,0, 0x80, 0 },
{ 0, 0x80,0x80, 0 },
{ 0xC0,0xC0,0xC0, 0 },

{ 192, 220, 192, 0 },
{ 166, 202, 240, 0 },
{ 255, 251, 240, 0 },
{ 160, 160, 164, 0 },

{ 0x80,0x80,0x80, 0 },
{ 0xFF,0, 0, 0 },
{ 0, 0xFF,0, 0 },
{ 0xFF,0xFF,0, 0 },
{ 0, 0, 0xFF, 0 },
{ 0xFF,0, 0xFF, 0 },
{ 0, 0xFF,0xFF, 0 },
{ 0xFF,0xFF,0xFF, 0 }
};

//定义调色板的值 up
////////////////////////////////////////////////////////////////////////////////////////////////////////////////////////////////
IMPLEMENT_DYNCREATE(CCubeView, CView)
BEGIN_MESSAGE_MAP(CCubeView, CView)
    ON_COMMAND(ID_FILE_PLAY, OnFilePlay)
    ON_UPDATE_COMMAND_UI(ID_FILE_PLAY, OnUpdateFilePlay)
    ON_WM_CREATE()
    ON_WM_DESTROY()
    ON_WM_SIZE()
    ON_WM_TIMER()
    ON_WM_ERASEBKGD()
END_MESSAGE_MAP()

////////////////////////////////////////////////////////////////////////////////////////////////////////////////////////////////
// CCubeView 的构造或者清除
CCubeView::CCubeView()
{
    m_pDC = NULL;
    m_pOldPalette = NULL;
    m_play = FALSE;
}

```

```

CCubeView::~CCubeView()
{
}

// CCubeView 绘画
void CCubeView::OnDraw(CDC* pDC)
{
    CCubeDoc* pDoc = GetDocument();
    ASSERT_VALID(pDoc);
    DrawScene();
}

// CCubeView 错误诊断
#ifdef _DEBUG
void CCubeView::AssertValid() const
{
    CView::AssertValid();
}

void CCubeView::Dump(CDumpContext& dc) const
{
    CView::Dump(dc);
}

CCubeDoc* CCubeView::GetDocument() // non-debug version is inline
{
    return STATIC_DOWNCAST(CCubeDoc, m_pDocument);
}
#endif //调试

// 信息句柄

void CCubeView::OnFilePlay()
{
    //m_play: 是否播放动画
    m_play = m_play ? FALSE : TRUE;
    if (m_play)
        //设置动画的时间步
        SetTimer(1, 15, NULL);
    else
        KillTimer(1);
}

void CCubeView::OnUpdateFilePlay(CCmdUI* pCmdUI)
{
    //对播放菜单和按钮的控制

```



```

    pCmdUI->SetCheck(m_play);
}

BOOL CCubeView::PreCreateWindow(CREATESTRUCT& cs)
{
    cs.style |= WS_CLIPSIBLINGS | WS_CLIPCHILDREN;
    return CView::PreCreateWindow(cs);
}

int CCubeView::OnCreate(LPCREATESTRUCT lpCreateStruct)
{
    if (CView::OnCreate(lpCreateStruct) == -1)
        return -1;
    Init(); //初始化 OpenGL
    return 0;
}

void CCubeView::OnDestroy()
{
    HGLRC hrc;
    //撤销时间步
    KillTimer(1);
    hrc = ::wglGetCurrentContext();
    ::wglMakeCurrent(NULL, NULL);
    if (hrc)
        ::wglDeleteContext(hrc);
    if (m_pOldPalette)
        m_pDC->SelectPalette(m_pOldPalette, FALSE);
    if (m_pDC)
        delete m_pDC;
    CView::OnDestroy();
}

void CCubeView::OnSize(UINT nType, int cx, int cy)
{
    CView::OnSize(nType, cx, cy);
    if(cy > 0)
    {
        glViewport(0, 0, cx, cy);
        if((m_oldRect.right > cx) || (m_oldRect.bottom > cy))
            RedrawWindow();
        m_oldRect.right = cx;
        m_oldRect.bottom = cy;
        glMatrixMode(GL_PROJECTION);
        glLoadIdentity();
        //定义投影方式为透视图
        gluPerspective(45.0f, (GLdouble)cx/cy, 3.0f, 7.0f);
    }
}

```

```

        glMatrixMode(GL_MODELVIEW);
    }
}
void CCubeView::OnTimer(UINT nIDEvent)
{
    //对时间的操作
    DrawScene();
    CView::OnTimer(nIDEvent);
    MSG msg;
    while(::PeekMessage(&msg, m_hWnd, WM_TIMER, WM_TIMER, PM_REMOVE));}
//////////////////////////////////////
// GL 帮助函数
void CCubeView::Init()
{
    PIXELFORMATDESCRIPTOR pfd;
    int n;
    HGLRC hrc;
    GLfloat fMaxObjSize, fAspect;
    GLfloat fNearPlane, fFarPlane;
    m_pDC = new CClientDC(this);
    ASSERT(m_pDC != NULL);
    if (!bSetupPixelFormat())
        return;
    n = ::GetPixelFormat(m_pDC->GetSafeHdc());
    ::DescribePixelFormat(m_pDC->GetSafeHdc(), n, sizeof(pfd), &pfd);
    CreateRGBPalette();
    hrc = wglCreateContext(m_pDC->GetSafeHdc());
    wglMakeCurrent(m_pDC->GetSafeHdc(), hrc);
    GetClientRect(&m_oldRect);
    glClearDepth(1.0f);
    glEnable(GL_DEPTH_TEST);
    //定义初始化时的投影方式
    if (m_oldRect.bottom)
        fAspect = (GLfloat)m_oldRect.right/m_oldRect.bottom;
    else
        fAspect = 1.0f;
    fNearPlane = 3.0f;
    fFarPlane = 7.0f;
    fMaxObjSize = 3.0f;
    m_fRadius = fNearPlane + fMaxObjSize / 2.0f;
    glMatrixMode(GL_PROJECTION);
    glLoadIdentity();
    gluPerspective(45.0f, fAspect, fNearPlane, fFarPlane);
    glMatrixMode(GL_MODELVIEW);
}

```

```

}
BOOL CCubeView::bSetupPixelFormat()
{
    static PIXELFORMATDESCRIPTOR pfd =
    {
        sizeof(PIXELFORMATDESCRIPTOR),
        1,
        PFD_DRAW_TO_WINDOW |
            PFD_SUPPORT_OPENGL |
            PFD_DOUBLEBUFFER,
        PFD_TYPE_RGBA,
        24,
        0, 0, 0, 0, 0, 0,
        0,
        0,
        0, 0, 0, 0,
        32,
        0,
        0,
        PFD_MAIN_PLANE,
        0,
        0, 0, 0
    };
    int pixelformat;
    if ( (pixelformat = ChoosePixelFormat(m_pDC->GetSafeHdc(), &pfd)) == 0 )
    {
        MessageBox("ChoosePixelFormat failed");
        return FALSE;
    }
    if (SetPixelFormat(m_pDC->GetSafeHdc(), pixelformat, &pfd) == FALSE)
    {
        MessageBox("SetPixelFormat failed");
        return FALSE;
    }
    return TRUE;
}

unsigned char CCubeView::ComponentFromIndex(int i, UINT nbits, UINT shift)
{
    unsigned char val;
    val = (unsigned char) (i >> shift);
    switch (nbits)
    {
        case 1:

```

```

        val &= 0x1;
        return oneto8[val];
    case 2:
        val &= 0x3;
        return twoto8[val];
    case 3:
        val &= 0x7;
        return threeto8[val];
    default:
        return 0;
    }
}

//创建调色板
void CCubeView::CreateRGBPalette()
{
    PIXELFORMATDESCRIPTOR pfd;
    LOGPALETTE *pPal;
    int n, i;
    n = ::GetPixelFormat(m_pDC->GetSafeHdc());
    ::DescribePixelFormat(m_pDC->GetSafeHdc(), n, sizeof(pfd), &pfd);
    if (pfd.dwFlags & PFD_NEED_PALETTE)
    {
        n = 1 << pfd.cColorBits;
        pPal = (LOGPALETTE) new char[sizeof(LOGPALETTE) + n * sizeof
(PALETTEENTRY)];
        ASSERT(pPal != NULL);
        pPal->palVersion = 0x300;
        pPal->palNumEntries = n;
        for (i=0; i<n; i++)
        {
            pPal->palPalEntry[i].peRed =
                ComponentFromIndex(i, pfd.cRedBits, pfd.cRedShift);
            pPal->palPalEntry[i].peGreen =
                ComponentFromIndex(i, pfd.cGreenBits, pfd.cGreenShift);
            pPal->palPalEntry[i].peBlue =
                ComponentFromIndex(i, pfd.cBlueBits, pfd.cBlueShift);
            pPal->palPalEntry[i].peFlags = 0;
        }
        /*设定包括 GDI 调色板的设置*/
        if ((pfd.cColorBits == 8)
            && (pfd.cRedBits == 3) && (pfd.cRedShift == 0) &&
            (pfd.cGreenBits == 3) && (pfd.cGreenShift == 3) &&
            (pfd.cBlueBits == 2) && (pfd.cBlueShift == 6)
        )
    }
}

```

```

    {
        for (i = 1 ; i <= 12 ; i++)
            pPal->pPalEntry[defaultOverride[i]] = defaultPalEntry[i];
    }
    m_cPalette.CreatePalette(pPal);
    delete pPal;
    m_pOldPalette = m_pDC->SelectPalette(&m_cPalette, FALSE);
    m_pDC->RealizePalette();
}

void CCubeView::DrawScene(void)
{
    static BOOL    bBusy = FALSE;
    static GLfloat wAngleY = 10.0f;
    static GLfloat wAngleX = 1.0f;
    static GLfloat wAngleZ = 5.0f;
    if(bBusy)
        return;
    bBusy = TRUE;
    glClearColor(0.0f, 0.0f, 0.0f, 1.0f);
    glClear(GL_COLOR_BUFFER_BIT | GL_DEPTH_BUFFER_BIT);
    glPushMatrix();
    glTranslatef(0.0f, 0.0f, -m_fRadius);
    glRotatef(wAngleX, 1.0f, 0.0f, 0.0f);
    glRotatef(wAngleY, 0.0f, 1.0f, 0.0f);
    glRotatef(wAngleZ, 0.0f, 0.0f, 1.0f);
    wAngleX += 1.0f;
    wAngleY += 10.0f;
    wAngleZ += 5.0f;
    //绘制立方体 down
    glBegin(GL_QUAD_STRIP);
        glColor3f(1.0f, 0.0f, 1.0f);
        glVertex3f(-0.5f, 0.5f, 0.5f);
        glColor3f(1.0f, 0.0f, 0.0f);
        glVertex3f(-0.5f, -0.5f, 0.5f);
        glColor3f(1.0f, 1.0f, 1.0f);
        glVertex3f(0.5f, 0.5f, 0.5f);
        glColor3f(1.0f, 1.0f, 0.0f);
        glVertex3f(0.5f, -0.5f, 0.5f);
        glColor3f(0.0f, 1.0f, 1.0f);
        glVertex3f(0.5f, 0.5f, -0.5f);
        glColor3f(0.0f, 1.0f, 0.0f);
        glVertex3f(0.5f, -0.5f, -0.5f);
        glColor3f(0.0f, 0.0f, 1.0f);
        glVertex3f(-0.5f, 0.5f, -0.5f);

```

```

        glColor3f(0.0f, 0.0f, 0.0f);
        glVertex3f(-0.5f, -0.5f, -0.5f);
        glColor3f(1.0f, 0.0f, 1.0f);
        glVertex3f(-0.5f, 0.5f, 0.5f);
        glColor3f(1.0f, 0.0f, 0.0f);
        glVertex3f(-0.5f, -0.5f, 0.5f);
    glEnd();
    glBegin(GL_QUADS);
        glColor3f(1.0f, 0.0f, 1.0f);
        glVertex3f(-0.5f, 0.5f, 0.5f);
        glColor3f(1.0f, 1.0f, 1.0f);
        glVertex3f(0.5f, 0.5f, 0.5f);

        glColor3f(0.0f, 1.0f, 1.0f);
        glVertex3f(0.5f, 0.5f, -0.5f);
        glColor3f(0.0f, 0.0f, 1.0f);
        glVertex3f(-0.5f, 0.5f, -0.5f);
    glEnd();
    glBegin(GL_QUADS);
        glColor3f(1.0f, 0.0f, 0.0f);
        glVertex3f(-0.5f, -0.5f, 0.5f);
        glColor3f(1.0f, 1.0f, 0.0f);
        glVertex3f(0.5f, -0.5f, 0.5f);
        glColor3f(0.0f, 1.0f, 0.0f);
        glVertex3f(0.5f, -0.5f, -0.5f);
        glColor3f(0.0f, 0.0f, 0.0f);
        glVertex3f(-0.5f, -0.5f, -0.5f);
    glEnd();
    //绘制立方体 up
    glPopMatrix();
    glFinish();
    //利用双缓存的机制,实现动画
    SwapBuffers(wglGetCurrentDC());
    bBusy = FALSE;
}
BOOL CCubeView::OnEraseBkgnd(CDC* pDC)
{
    return TRUE;
}

```

下面是程序的思路:

(1) 建立一个静态的正方体, 为了实现动态图形, 要在程序里添加一个计时器。编写计时器程序通常是调用类的成员函数 **SetTimer** 设置并启动计时器。

(2) 编写视图类的成员函数 **OnTimer**, 最后通过调用视图类的成员函数 **KillTimer** 终止计时器。在这个程序中, 在视图类中创建一个工具栏, 利用选择语句设置并启动计时器和结束时的终止计时器。代码如下:

```

void CCubeView::OnFilePlay()
{
    //m_play: 是否播放动画
    m_play = m_play ? FALSE : TRUE;
    if (m_play)
        //设置动画的时间步
        SetTimer(1, 15, NULL);
    else
        KillTimer(1);
}

```

编写类的成员函数 **OnTimer**，首先需要给视图类添加成员函数 **OnTimer**，然后在该函数中添加一些代码，最终类成员函数 **OnTimer** 的代码如下：

```

void CCubeView::OnTimer(UINT nIDEvent)
{
    //对时间的操作
    DrawScene();

    CView::OnTimer(nIDEvent);

    //定时器消息设定
    MSG msg;
    while(::PeekMessage(&msg, m_hWnd, WM_TIMER, WM_TIMER, PM_REMOVE));
}

```

(3) 程序的结果如图 11.17 所示，不停地旋转。

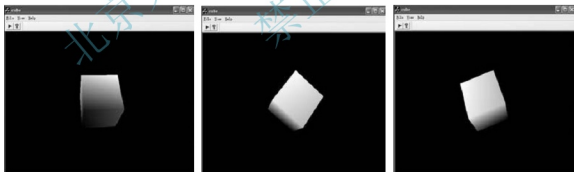


图 11.17 立方体旋转动画效果图

11.2 关键帧动画和变体技术

关键帧技术是计算机动画中运用最广泛的基本方法，也是传统动画制作的常用技术。在动画的制作过程中，通常首先由动画设计师绘制出动画的一些关键画面，这些画面通常称为原画或关键帧。只有关键帧的动画一般都是不完整的动画。关键帧中间需要补充插入一些画面，使得关键帧能够更合理的连贯起来，这个过程通常称为中间插画制作。两副相

邻关键帧之间的过渡画面称为插补帧。这些插补帧数量很多,绘制插补帧的过程既繁重又冗长。关键帧的制作需要经验丰富的动画设计师制作,成本很高。中间插画的制作一般由助理动画师或者其他美工人员或者计算机完成,经济成本远低于关键帧的制作成本。采用计算机辅助制作动画代替手工插补工作可以大大降低动画制作的成本。关键帧动画技术的主要研究内容就是研究如何填充位于关键帧之间的中间帧画面,使得动画更加自然流畅。另外一种动画设置方法是样条驱动动画。在这种方法中,用户采用交互方式指定物体运动的轨迹样条。几乎所有的动画软件如 Alias、Softimage、Wavefront、TDI、3DS 等都提供这两种基本的动画设置方法,然后由一般的动画师设计中间帧,使得整个的动画更加流畅。本书主要介绍关键帧动画。

11.2.1 关键帧插值

关键帧插值是中间插画制作常用的手段。对于给定的两幅关键帧或组成关键帧的两组源数字图像或几何对象,运用关键帧插值技术可以对其颜色值、位置、旋转角度等进行各种插值,从而产生中间的画面图像或中间帧图形,最终光滑连续地变换到目标数字图像或几何对象。中间帧既有源对象的特征,又有目标对象的特征。通常需要指定源和目标之间特征的对应关系。

从原理上讲,关键帧插值问题可归结为参数插值问题,传统的插值方法都可应用到关键帧方法中。所有影响画面图像的参数都可成为关键帧的参数,如位置、旋转角、纹理的参数等。但关键帧插值又与纯数学的插值不同,它有其特殊性。一个好的关键帧插值方法必须能够产生逼真的运动效果并能给用户提供方有效的控制手段,实现对动画的运动控制,产生逼真的运动效果。

按照插值函数的类型分,插值可以分为线性插值和非线性插值。线性插值是最常用的插值方式,计算简单且计算结果直观。非线性插值尽管比较复杂但可以让动画效果更加自然流畅。下面介绍一下关键帧插值技术中基于颜色、位置和旋转的线性插值方法。

基于颜色的线性插值是关键帧插值方法中的重要方法。不妨设颜色值采用 RGB 模式表示。设已知初始的颜色值为 (R_0, G_0, B_0) ,最终的颜色值为 (R_1, G_1, B_1) ,则计算中间颜色值的线性插值的颜色计算公式为:

$$\begin{cases} R(t) = (1-t)R_0 + tR_1 \\ G(t) = (1-t)G_0 + tG_1 \\ B(t) = (1-t)B_0 + tB_1 \end{cases} \quad (11.1)$$

其中 $t \in [0,1]$ 。如果需要 $n(n=1,2,3,\dots)$ 个中间插值结果,则可令 $t = \frac{1}{n+1}, \frac{2}{n+1}, \frac{3}{n+1}, \dots, \frac{n}{n+1}$ 并分别代入公式,从而得到相应的中间结果颜色。图 11.18 给出一个颜色线性插值实例。初始图像和目标图像具有相同的高度和宽度,分别令 $t=0, t=0.1, t=0.2, t=0.3, t=0.4, t=0.5$,利用上面的基于颜色的线性插值算法,可以得到图 11.18 中所示的 5 个不同的中间帧插值图像。从图中可以看出在各幅中间帧图像中均可以看到初始图像和目标图像的影子,只是清晰度不同。

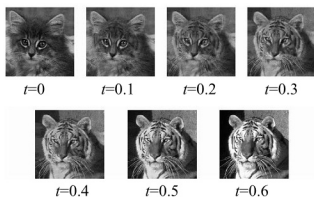


图 11.18 颜色线性插值示例—猫变老虎

这里介绍基于坐标位置的线性插值方法。关键帧插值方法会碰到这样的问题：给定物体运动的轨迹，求物体在某一帧画面中的位置。参照基于颜色的线性插值方法，图 11.19 介绍基于位置的线性插值实例。

设物体在第 n 个关键帧中的位置为 P_n ，在第 $n+1$ 个关键帧中的位置为 P_{n+1} ，则物体在中间帧中的位置的线性插值计算公式为：

$$P(t) = (1-t)P_n + tP_{n+1} \quad (11.2)$$

其中 $t \in [n, n+1]$ ，设在两个关键帧之间的中间帧帧数为 j ，则 $t = \frac{i}{j+1}$ ($i=1, 2, \dots, j$)，将其带入上式可得出 j 张中间帧的图像中物体的位置 $P(\frac{i}{j+1})$ 。图 11.19 给出坐标位置线性插值的小汽车实例。



图 11.19 坐标位置的线性插值示意图

基于坐标位置的线性插值方法还可以利用基于旋转角度的线性插值方法来对动画的关键帧进行插值，产生旋转的效果，例如鸟儿的盘旋、地球的自转等效果。这里不再赘述。

除了线性插值方法外，非线性插值是关键帧插值的重要手段之一。非线性插值主要利用曲线进行关键帧插值。用作插值的曲线主要有二次 Bezier 曲线、圆弧、B 样条和 NURBS 等。如果采用 B 样条曲线和 NURBS 曲线进行关键帧插值，则具有更大的灵活性。对象的运动和颜色等的变化可以更加真实流畅。如果不仅给定对象在起始位置和目标位置的坐标和速度方向，而且要求满足一定的速度大小，可以考虑采用基于 Hermite 插值技术。

本节提供的例子中的各个图只是提供很少的中间帧。在实际的动画中，需要提供大量的中间帧，从而使得物体的运动可以从一个关键帧平滑的过渡到另外一个关键帧。通过控制中间帧的帧数可以控制物体运动的快慢和形态面貌等。动画中的较慢的物体运动往往是增加了中间帧的帧数，造成了缓慢运动的视觉效果，也可以表现忧郁、寂寞等氛围效果。

比较快的物体移动则是明显减少了中间帧的帧数，造成了快速运动的视觉效果。

11.2.2 基于网格的图像变体技术

基于网格的图像变体技术是图像变体技术中最早的方法。1988年，美国的 Lucasfilms 特技组的 Industrial Light Magic 公司首先在电影《Indiana Jones and the Last Crusade》中将该技术应用于一个坏人的提前死亡。

变体(Morphing)也称为形状渐变或形状过渡，是关键帧技术的重要手段。变体是已知源对象和目标对象的前提条件下构造一系列中间对象，从而使得从源对象通过这些中间的对象可以光滑地变化到目标对象。变体根据源对象和目标对象的不同可以分为图像变体和图形变体。图像变体的源对象和目标对象是两幅二维的图像，变体只在两幅图像间进行。图形变体的源对象和目标对象是由图形组成，变体发生在图形中。下面是基于网格的图像变体技术的思路：

首先要为源图像和目标图像分别建立在拓扑上一一对应的四边形网格。在源图像和目标图像上交互的选取能表现图像特征的特征点，并在两幅图像的特征点上建立一一对应的关系。将源图像和目标图像的特征点连接成四边形网格，并保证可以完全覆盖整个图像，并且要求两幅图像间的四边形网格也建立一一对应关系。如果无法建立起四边形网格或四边形网格的一一对应关系，可以适当的调整特征点的个数，使得满足一一对应的要求。

然后建立中间帧图像的四边形网格。中间帧的拓扑结构必须要与源图像和目标图像的拓扑结构完全一致。这样中间帧图像的四边形网格与源图像和目标图像的四边形网格之间存在一一对应的关系。

基于网格的图像变体的质量主要取决于最初建立的源图像和目标图像的四边形网格的质量。四边形网格越精细，网格变形越小，则变体结果的图像质量一般越高。四边形网格应当包含图像的尖点和拐点等关键点。图 11.20 是一个基于网格的图像变体的实例。

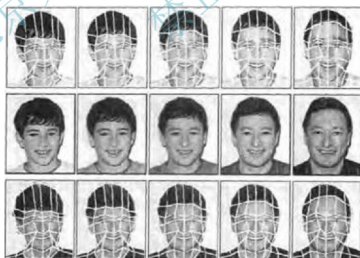


图 11.20 基于网格的图像变体示意图

11.2.3 Minkowski 和

在计算机动画中，Minkowski 和是实现变体的重要手段，通常用符号“ \oplus ”表示。采用 Minkowski 和实现变体通常具有比较自然的效果。设进行变体的源图像和目标图像分别

为 A 和 B , 这两个图像都可以看做是一些点的集合, Minkowski 和可以看做是这些点集的一个和运算。Minkowski 和的定义公式如下式所示:

$$A \oplus B = \{p + q \mid p \in A, \text{且} q \in B\} \quad (11.3)$$

图 11.21 给出一些 Minkowski 和的实例, Minkowski 和运算的结果仍然是点集, 结果点集中既包括对象 A 的特点又包括对象 B 的特点。如图 11.21 中所示, 点 A 与点 B 的 Minkowski 和仍然是个单点集, 平行的线段 A 和 B 的 Minkowski 和的结果仍然是一条直线, 只是长度变为两线段的长度之和。两条不平行的线段 A 和 B 的 Minkowski 和则是一个含边界和内部的平行四边形, 平行四边形的一对边与线段 A 大小长度相等, 另一对边则和线段 B 大小长度相等。四边形与圆形的 Minkowski 和则是具有圆角的四面封闭图形, 兼具了四边形和圆形的特点。

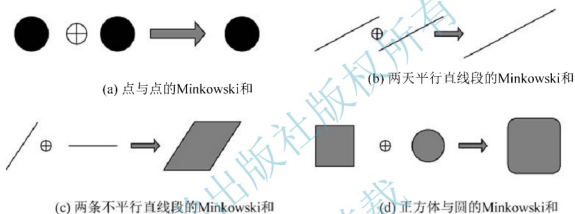


图 11.21 Minkowski 和运算示例

在动画制作中, 利用 Minkowski 和进行变体的常用公式是:

$$P(t) = (1-t)A \oplus tB \quad (11.4)$$

公式中 A 和 B 是给定的对象, 利用 Minkowski 和可以方便地实现从对象 A 到对象 B 的平滑过渡。根据需要设定变体过程中中间帧的个数为 $n(n=1,2,3,\dots)$, 将 $t = \frac{i}{n+1}$ 代入公式, 可以得到第 i 个中间帧的图像。如图 11.22 所示, 利用上式我们可以通过 Minkowski 和实现三角形到正方形的变体。

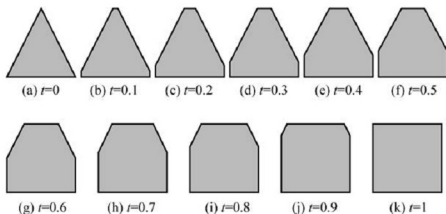


图 11.22 利用 Minkowski 和进行变体示例

11.3 自由变形

1986年,美国 Brigham Young 大学的 Sederberg 教授等提出了一种非常合适于柔性物体动画的方法——自由变形(Free-form Deformation, **FFD**)。该方法基本思想是模仿泥巴或塑料等柔性体的变形,将需要变形的物体或物体的某部分嵌入到类似于泥巴或柔性体中,把变形定义为从原始物体空间到目标物体的二维或者三维空间映射。

自由变形技术具有与物体的表示方法无关、交互控制直观、变形过程光滑等优点,但该方法难以实现局部变形。此外由于控制顶点较多,人们要获得所需的变形效果,通常要进行多次烦琐的控制顶点编辑工作。自由变形技术的基本思想成为后来众多扩展技术的基础。虽然在操作方式或变形空间的定义上有很多不同,但其基本工作原理相同,首先将物体上的每个点嵌入用户定义的中间变形空间,然后用户编辑这个变形空间,物体跟随变形空间的变化而变形,从而达到物体变形的目的。下面将分别介绍二维自由变形和三维自由变形。

动画变形技术主要包括二维多边形形状渐变、二维图像 Morphing 技术、三维 Morphing 技术、整体和局部变形方法、自由变形方法 FFD 和其他变形方法。

11.3.1 二维自由变形

FFD 的基本思路是将物体全部或部分嵌入到网格中,然后通过对网格的变形(改变网格顶点的位置)控制物体的变形。在自由变形中二维网格所对应的英文单词是 **grid**,三维网格所对应的英文单词是 **lattice**。目前,FFD 是物体变形的一个重要工具。

在二维自由变形中,嵌入物体的网格的外围轮廓一般是平行四边形。如图 11.23 所示,将平行四边形沿着与边平行的方向均匀划分成 $m \times n$ 个平行四边形格子就形成了二维自由变形的网格,也称为控制网格。各个格子的顶点称为网格的控制顶点。在实际应用中,外围轮廓通常直接就是矩形或正方形。当移动这些控制顶点时,网格发生变形,从而带动嵌入物体的物体的变形。图 11.24 给出了一个变形示例,图中粗线(粗线表示为图形线)表示嵌入物体,细线(细线为网格线)则表示网格内部在变形前后的对应关系。

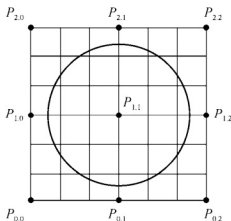


图 11.23 变形前图形

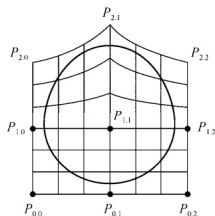


图 11.24 变形后图形

如图 11.25 所示, 网格外围轮廓平行四边形的四个顶点分别为 $P_{m,0}$, $P_{m,n}$, $P_{0,0}$, $P_{0,n}$, 且 $P_{m,0} - P_{0,0} = m\mathbf{S} = m \begin{pmatrix} S_x \\ S_y \end{pmatrix}$, $P_{0,n} - P_{0,0} = n\mathbf{T} = n \begin{pmatrix} T_x \\ T_y \end{pmatrix}$ 。 $P_{i,j}$ 为变形后的新位置坐标, $P_{i,j} = P_{0,0} + i\mathbf{S} + j\mathbf{T}$, 其中 $i=0,1,2,3,4,5,\dots, j=0,1,2,3,4,\dots$ 。令 $\hat{\mathbf{S}} = \begin{pmatrix} -S_y \\ S_x \end{pmatrix}$, $\hat{\mathbf{T}} = \begin{pmatrix} -T_y \\ T_x \end{pmatrix}$, 则 \mathbf{S} 与 $\hat{\mathbf{S}}$ 相互垂直, \mathbf{T} 与 $\hat{\mathbf{T}}$ 相互垂直。则在每个平行四边形内部及其边界上的每个点 Q 分别分配一个固定的网格参数坐标 $\begin{pmatrix} u \\ v \end{pmatrix}$, 其中 u 和 v 的坐标值可以由以下公式求出。

$$u = \frac{(Q - P_{0,0})\hat{\mathbf{T}}}{m\hat{\mathbf{S}}\mathbf{T}}, \quad v = \frac{(Q - P_{0,0})\hat{\mathbf{S}}}{m\mathbf{T}\hat{\mathbf{S}}} \quad (11.5)$$

如果外围轮廓的平行四边形是矩形, 则 u 和 v 的坐标值可以简化为:

$$u = \frac{(Q - P_{0,0})}{mS^2}, \quad v = \frac{(Q - P_{0,0})}{mT^2} \quad (11.6)$$

图形发生自由变形后, 随着控制点 P_j 的移动, 点 Q 的坐标也会改变, 点 Q 新的坐标的计算公式为:

$$F(u,v) = \sum_{i=0}^m \sum_{j=0}^n B_{i,m}(u) B_{j,n}(v) P_{i,j} \quad (11.7)$$

式中 $B_{i,m}(u) = \frac{m!}{i!(m-i)!} u^i (1-u)^{m-i}$ 和 $B_{j,n}(v) = \frac{n!}{j!(n-j)!} v^j (1-v)^{n-j}$ 均为 Bernstein 基函数。 $P_{i,j}$ 为变形后的新位置坐标。

在图 11.24 示例中的全局变形中, 将需要变形的物体完全被嵌入到控制网格, 移动网格的任何一个控制顶点通常都会引起整个物体的变形。如果仅仅需要使物体的局部发生变形, 那可以将物体部分嵌入到控制网格中对物体进行局部变形。物体没有嵌入网格的部分指的是物体在变形之前相对于初始控制网格的嵌入状态。对于全局变形和局部变形(见图 11.25), 网格参数坐标以及在变形之后的新坐标位置计算公式是完全一样的, 也是利用上述公式(11.7)进行计算。

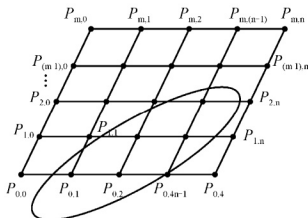


图 11.25 二维局部自由变形示意图

为了保证物体在变形后嵌入部分和没有嵌入部分之间的连续性,需要适当限制网格控制顶点的移动。这里将物体相对于控制网格的嵌入部分和没有嵌入部分的交界线称为变形交界线。根据物体在局部自由变形条件下,变形交界线产生的裂缝情况和交界线处的切向量和曲率的连续性,可以将变形交界线的连续情况分为三类。一类是零阶连续性交界线。物体变形后交界线没有产生裂缝,如图 11.26(b)所示。第二类是一阶连续性交界线。物体变形后的变形交界线不仅没有产生裂缝且保持在变形交界线处的切向量连续性,如图 11.26(c)所示。第三类是二阶连续性交界线,物体在变形后不仅没有产生裂缝,还保持了变形交界线处的切向量和曲率的连续性,如图 11.26(d)所示。

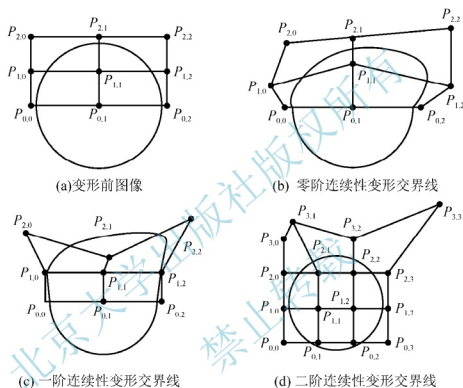


图 11.26 局部自由变形实例

11.3.2 三维自由变形

虽然二维自由变形技术在影视特技、广告等行业中有广泛的应用,但是仍然有其局限性。二维变形技术不能反映三维几何信息,因此它不能像三维几何物体那样进行几何变换,使摄像机的动画受到了限制,不能生成更加逼真和生动的特技效果,因此三维自由变形技术便引起了许多研究者的兴趣,得到了快速的发展。相比二维图形的自由变形技术,三维自由变形得到的中间帧是物体的模型而不是图像,三维自由变形的结果与视点 and 光照参数等无关,并且可以生成精细的光照、阴影等真实感效果。

三维自由变形可以看做是二维自由变形的一种扩展。三维自由变形的核心思想是首先将整个物体或者物体需要发生变形的部分嵌入到一个平行六面体中,其次给平行六面体内部及其边界上的每个点分配一个固定的网格参数坐标,然后通过移动控制顶点引起物体的变形。在进行物体的变形时只需要限制控制顶点的运动并进行一定的控制就可以实现预期

的物体的三维自由变形。本节将给出具体的步骤细节。

首先可以任意给定嵌入物体或物体某部分的平行六面体,使六面体包围物体需要变形的物体或者局部。如图 11.27 示,用与平行六面体的面平行的平面将平行六面体均匀划分成 $l \times m \times n$ 个平行六面体格子。这样就构成了三维自由变形的控制网格(lattice)。各个小立方体格子的顶点称为网格的控制顶点。

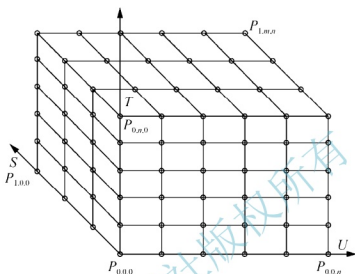


图 11.27 三维自由变形的平行六面体和控制网格

如图 11.28(a)所示,标记控制顶点为 $P_{i,j,k}$, 其中 $i=0,1,\dots,l$, $j=0,1,2,\dots,m$ 并且 $k=0,1,2,\dots,n$ 。控制顶点时均匀分布在平行六面体内部及其表面上,且控制顶点的位置计算公式如下:

$$P_{i,j,k} = P_{0,0,0} + \frac{i}{l}S + \frac{j}{m}T + \frac{k}{n}U \quad (11.8)$$

其中 $S = P_{l,0,0} - P_{0,0,0}$, $T = P_{0,m,0} - P_{0,0,0}$, $U = P_{0,0,n} - P_{0,0,0}$ 。

平行六面体内部及其边界上的点包含了物体需要变形部分的每个点。使得平行六面体内部及边界上的每个点分配一个固定的网格参数坐标。这样使得物体的变形部分的每个点固定的网格参数坐标便可以求出来。设平行六面体内部及其边界上的任一点 Q 的网格参数

坐标为 $\begin{pmatrix} s \\ t \\ u \end{pmatrix}$, 则计算公式如下:

$$s = \frac{(T \times U) \cdot (Q - P_{0,0,0})}{(T \times U) \cdot S}, \quad t = \frac{(S \times U) \cdot (Q - P_{0,0,0})}{(S \times U) \cdot T}, \quad u = \frac{(S \times T) \cdot (Q - P_{0,0,0})}{(S \times T) \cdot U} \quad (11.9)$$

网格参数坐标在变形过程中一直保持不变。在三维自由变形中,通过移动控制顶点带

动物体发生变形。网格参数坐标为 $\begin{pmatrix} s \\ t \\ u \end{pmatrix}$ 的点在变形之后的新坐标位置为:

$$Q(s,t,u) = \sum_{i=0}^l \sum_{j=0}^m \sum_{k=0}^n B_{i,j,k}(s) B_{j,m}(t) B_{k,n}(u) P_{i,j,k} \quad (11.10)$$

其中, $B_{i,j}(s) = \frac{l!}{i!(l-i)!} s^i (1-s)^{l-i}$, $B_{j,m}(t) = \frac{m!}{j!(m-j)!} t^j (1-t)^{m-j}$, $B_{k,n}(u) = \frac{n!}{k!(n-k)!} u^k (1-u)^{n-k}$ 均为 Bernstein 基函数。由此可以计算出物体每个点在变形之后的新位置坐标, 变形后如图 11.28(b)所示。

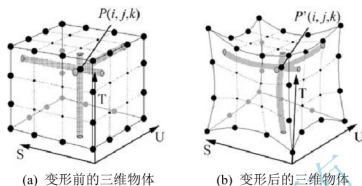


图 11.28 三维物体变形前后

与二维自由变形类似, 必须限制网格控制点的移动来保证物体在变形后嵌入部分和没有嵌入部分的连续性。为了保证在嵌入部分和没有嵌入部分的交界面处的 $h(h=0,1,2,3,\dots)$ 阶连续性, 通常要求不能移动位于交界面上的控制点。图 11.29 是三维自由变形的效果示意图。

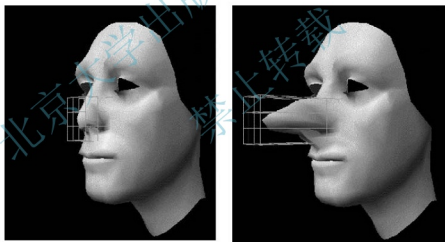


图 11.29 变形前与变形后的图形

11.3.3 自由变形的前景

如何更好地对物体进行变形是自由变形的发展方向。下面介绍几个重要的发展方向。

第一个方向是直接操作自由变形, 即直接操作物体指定物体的目标位置, 然后计算控制网格的新位置, 进而带动物体的变形。FFD 算法虽然是一种非常有效的几何造型工具, 但用该方法实现较为复杂的变形非常困难, 不容易准确的控制物体的形状, 同时很难准确控制物体上点的位移, 如果用户不能掌握曲面造型则难以理解控制顶点的作用以及移动控制顶点的结果。

基于直接操纵的自由变形技术(Direct Manipulation of Free-Form Deformation, DFFD)

方法是一种比较好的方法。该方法继承性地发展了 FFD 方法的优点,克服了 FFD 方法的不足。用户仍然采用控制框架来作为变形的工具,操作的是物体上的点而不是控制顶点。DFFD 方法的核心思想是通过选择变形物体上的一点,将该点移至所要求的位置,反求出控制顶点的位置变化,从而计算物体上其他的点。DFFD 方法易于实现变形物体上点的精确移动,但是没有提供控制变形区域的工具。

第二个发展方向是用不同的基函数代替 Bernstein 基函数。在自由变形中,初始控制网格界定的空间通常粗略的成为变形空间。对于 FFD 方法而言,改变任何一个控制顶点的位置通常会引起整个变形空间的变化,即每个内部网格参数坐标所对应的空间位置通常会发生变化。如果用 B 样条或 NURBS 基函数代替 Bernstein 基函数,则控制顶点的变化可以控制在变形空间的某个局部范围内。可以用来代替 Bernstein 基函数的函数有 B 样条基函数、NURBS 基函数、有理 Bernstein 基函数。

基于 B 样条基函数的 FFD 是用均匀的 B 样条函数(Uniform Rational B-Spline)作为基函数的方法,利用 B 样条进行自由变形空间控制物体变形。B 样条的局部性特点使得局部变形变得更容易实现。该方法应用于边界表示的物体变形时,通过对三角形的剖分逼近物体的真实变形。

基于 NURBS 基函数则是基于非均匀有理 B 样条(Non-Uniform Rational B-Spline)的 FFD 方法,简称 NFFD。NFFD 集中了 B 样条 FFD 方法与 DFFD 方法的共同特点。该方法既可以进行局部变形控制,也可以通过权值对变形进行微调。用户还可以根据物体的局部特征和具体形状,定义非均匀分布的控制网格。世界坐标系中的物体到局部变形空间的变换需要通过数值方法求解,计算量较大。尽管在 NFFD 方法中可以定义非均匀分布的控制网格,但它的控制手段仍然是规则的平行六面体网格。这种外形的控制网格难以准确地近似物体形状,因此其变形控制不够直观,尤其是难以进行细微精确的外形编辑,而且其控制顶点较多,达到预期变形效果往往需要经过多次控制顶点编辑,使用不方便。

基于有理 Bernstein 基函数(Rational Free-Form Deformation)的 FFD 方法是采用有理 Bernstein 基函数的 FFD 方法,简称 RFFD。与传统 FFD 方法相比,RFFD 方法增加了一个权值作为额外的变形控制手段,权值越大,对应控制顶点对物体变形的影响就越大。但是权值对物体变形结果的影响无法直观地表示,方法使用起来并不方便。通常该方法用于面部表情的动画生成。

第三个发展方向是将初始的二维平行四边形或三维平行六面体网格替换成为其他的拓扑形状的网格,从而提高自由变形的灵活性。虽然 FFD 是一个非常直观的变形工具,但是它只适用于平行六面体的网格形状。针对上述 FFD 方法中控制手段均为规则平行六面体,难以准确反映物体形状的局限性发展了扩展 FFD 方法(Extended Free-Form Deformation, EFFD),其实质和 FFD 方法是一样的,唯一不同的是初始控制网格的形状,它弥补了 FFD 的反映物体局限性的缺陷。EFFD 的核心思想是通过组合多个简单的棱柱形控制网格构成复杂的复合网格,用复合网格作为变形控制手段,从而达到易于交互和直观的变形效果。用户可以移动、合并平行六面体控制网格中的控制顶点得到棱柱形控制网格,再通过融合多个棱柱形控制网格得到最终的复合 EFFD 控制网格。在融合的过程中必须保持相邻棱柱形控制网格之间的连续性。“冻结”控制网格实际上是求解物体上点在 EFFD 控制网格内部局部坐标的过程。与 FFD 方法不同,由于 EFFD 方法中的控制网格由多个棱柱形控制网格

融合构成,因此求局部坐标的方法有所不同。EFFD 方法允许用户定义更加复杂的变形空间,从而使初始变形空间有可能与物体外形相符合,增加了变形控制的直观性。然而,其控制网格仍不能具有任意拓扑,所以在控制某些复杂物体的变形时,难以很好地近似物体形状,控制直观性受到限制。而且由于 EFFD 控制网格构造复杂,需要用数值方法求解物体在变形空间中的局部坐标,导致运算复杂度增加,最后由于必须在变形过程中保证相邻棱柱形控制网格之间的连续性,变形操作必然受到一定限制。

除了以上介绍的三种方法外还有基于任意拓扑结构的 FFD 和基于约束变形的 FFD 等方法,均是对 FFD 方法的扩展,目的是使得变形的方法更加直观、简单,方便控制,达到我们预期的变形效果。

本章小结

本章介绍了计算机动画的入门知识。主要讲述了以下内容:

(1) OpenGL 动画的基本程序。介绍了基于 MFC 的基本 OpenGL 应用程序生成的步骤方法。介绍了其生成的九个步骤和每个步骤视图类中成员函数的添加和代码,并介绍了一个简单动画的实例。

(2) 关键帧动画和变体技术。介绍了关键帧插值技术、基于网格的图像变体技术和 Minkowski 技术。

(3) 自由变体。介绍了二维和三维自由变体技术,并给出了二维自由变形和三维自由变形的实例。



导入案例

动画的发展经过了一个漫长的历程,从最初的动画雏形到现在的大型豪华动画片,其本质没有太大的变化,而动画制作手段却有着日新月异地变化。下面介绍一下动画的发展历史和概况,使读者进一步了解计算机动画。

早在 1831 年,法国人约瑟夫·安东尼·普拉特奥(Joseph Antoine Plateau)在一个可以转动的圆盘上按照顺序画了一些图片。当圆盘在机器的带动下旋转时,圆盘上的图片似乎动了起来,可称得上是最原始的动画。1906 年,美国人卢斯泰华德(J.StCWard)制作了一部名为《滑稽面孔的幽默形象(Houmoious Phases of a Funny Face)》的短片,这部短片非常接近现代动画概念。1908 年,法国人 Endle Cohl 首次用负片制作动画影片。所谓“负片”,是指影像色彩与实际色彩恰好相反的胶片,如同现在的普通胶卷底片。采用负片制作动画,从概念上解决了影片载体的问题,为今后动画片的发展奠定了基础。1909 年,美国人 Winsor McCay 用一万张图片表现了一段动画故事,这是迄今为止世界上公认的第一部真正的动画短片。

1915 年,美国人 Earl Hurd 创造了新的动画制作工艺。他先在赛璐璐片上画图片,然后再把赛璐璐片上的图片拍摄成动画影片,这种动画片的制作工艺一直沿用至今。1926 年,中国动画片的鼻祖万氏兄弟(万籁鸣、万古蟾、万超尘、万涤寰),在极其艰难的条件下摄

制了中国第一部动画片《大闹画室》，揭开了中国动画史的序幕。1928 年开始，世人皆知的华特·迪斯尼 (Walt Disne) 逐渐把传统动画影片的制作推向巅峰。他在完善了动画体系和制作工艺的同时，把动画片的制作与商业价值联系起来，被人们誉为“商业动画影片之父”。华特·迪斯尼带领他的一班人马为人创造有与伦比的大量动画精品。例如，《米老鼠和唐老鸭》、《木偶奇遇记》和《白雪公主》等。

20 世纪 90 年代，计算机图形学和数字技术的发展推动了三维计算机动画(3D Computer Animation)的快速发展。《玩具总动员》是全世界第一部全 3D 的计算机动画长片，由迪斯尼和彼克撒制片厂合作拍制而成，其角色动画水准之高，能与迪士尼传统动画相提并论，也预示了新型态动画工业的到来。《玩具总动员》全片在计算机里处理、计算完成，具有历史性的意义。

3D 计算机动画已经成为未来的发展趋势，它对人体和动画场景的仿真越来越真实，将来会更加成熟完善。著名导演詹姆斯·卡梅隆执导的以 3D 技术作为支撑的科幻电影《阿凡达(Avatar)》在 2010 年上映。影片的预算超过 5 亿美元，成为电影史上预算金额最高的电影。影片中运用的 3D 动画技术得到了观众的青睐，使得票房大卖，称为年度最具票房号召力的影片。

习 题

一、填空题

1. OpenGL 函数库主要可以分为_____、_____、_____三类。
2. OpenGL 的基本图形元素包括_____、_____、_____等，其基本变换包括_____、_____。
3. Minkowski 和运算的结果仍然是_____。

二、简答题

1. 基于 MFC 的 OpenGL 应用程序的建立分哪几个步骤？
2. 简述一下基于网格的图像变体技术的思路。

三、上机操作题

利用 OpenGL 制作一个暴风雪的实例。

参考文献

- [1] 李东等. 计算机图形学实用教程[M]. 北京: 人民邮电出版社, 2004.
- [2] 孙立铸. 计算机图形学[M]. 哈尔滨: 哈尔滨工业大学出版社, 2006.
- [3] 倪明田, 吴良芝. 计算机图形学[M]. 北京: 北京大学出版社, 1999.
- [4] 李云飞, 姜晓峰. 计算机图形图像技术与应用教程[M]. 北京: 北京希望电子出版社, 2002.
- [5] 孙家广. 计算机图形学[M]. 3 版. 北京: 清华大学出版社, 1998.
- [6] 唐泽圣, 周嘉玉, 李新友. 计算机图形学基础[M]. 北京: 清华大学出版社, 1995.
- [7] [美]Edward Angel. OpenGL 程序设计指南[M]. 李贵琼, 张文祥译. 北京: 清华大学出版社, 2005.
- [8] 伏玉琛, 周润汝. 计算机图形学——原理、方法与应用[M]. 武汉: 华中科技大学出版社, 2003.
- [9] 魏海涛. 计算机图形学[M]. 北京: 电子工业出版社, 2004.
- [10] 赛博科技工作室. VRML 与 JAVA 编程技术[M]. 北京: 人民邮电出版社, 2002.
- [11] 邹北骝, 黄心渊. 图形图像原理与三维动画实践[M]. 北京: 高等教育出版社, 2000.
- [12] 张茂军. 虚拟现实系统[M]. 北京: 科学出版社, 2001.
- [13] 毛伟东, 唐明理. 三维游戏设计师宝典——学 OpenGL 编 3D 游戏[M]. 成都: 四川出版集团, 2005.
- [14] 陈元琰. 计算机图形学[M]. 北京: 科学出版社, 2000.
- [15] 滕柏青, 许社教. 计算机图形学. 西安: 西安电子科技大学出版社, 2003.
- [16] [美]Donald Hearn, M.Pauline Baker. 计算机图形学[M]. 2 版. 蔡士杰等译. 北京: 电子工业出版社, 2002.
- [17] 张义宽, 张晓滨. 计算机图形学[M]. 西安: 西安电子科技大学出版社, 2004.
- [18] 徐长青等. 计算机图形学[M]. 北京: 机械工业出版社, 2004.
- [19] 贾志刚. 精通 OpenGL[M]. 北京: 电子工业出版社, 1998.
- [20] 雍俊海. 计算机动画——算法与编程基础[M]. 北京: 清华大学出版社, 2008.
- [21] 李东, 孙长嵩, 苏小红. 计算机图形学实用教程[M]. 北京: 人民邮电出版社, 2004.
- [22] <http://baike.baidu.com/view/25199.htm>.
- [23] <http://baike.baidu.com/view/13769.htm>.
- [24] 孟宪海. 计算机动画技术[M]. 北京: 北京航空航天大学出版社, 2011.
- [25] 徐文鹏, 侯守明, 刘永和. 计算机图形学[M]. 北京: 机械工业出版社, 2009.
- [26] 张彩明, 杨兴强, 李学庆. 计算机图形学[M]. 北京: 科学出版社, 2005.
- [27] 项志刚. 计算机图形学[M]. 北京: 清华大学出版社, 2008.
- [28] 潘文鹤, 董金祥. 计算机图形学——原理、方法及应用[M]. 北京: 高等教育出版社, 2003.
- [29] <http://baike.baidu.com/view/9222.htm>.
- [30] <http://baike.baidu.com/view/95269.htm>.
- [31] 鲍虎军, 金小刚, 彭群生. 计算机动画的算法基础[M]. 杭州: 浙江大学出版社, 2001.
- [32] 王启宇, 袁建平, 朱站霞. 卫星星座及其覆盖问题建模与可视化仿真[J]. 系统仿真学报, 2007, (19): 15.

北京出版社本科计算机系列实用规划教材

序号	标准书号	书 名	主 编	定价	序号	标准书号	书 名	主 编	定价
1	7-301-10511-5	离散数学	段禅伦	28	38	7-301-13684-3	单片机原理及应用	王新颖	25
2	7-301-10457-X	线性代数	陈付贵	20	39	7-301-14505-0	Visual C++程序设计案例教程	张荣梅	30
3	7-301-10510-X	概率论与数理统计	陈荣江	26	40	7-301-14259-2	多媒体技术应用案例教程	李 建	30
4	7-301-10503-0	Visual Basic 程序设计	阎联营	22	41	7-301-14503-6	ASP .NET 动态网页设计案例教程(Visual Basic .NET 版)	江 红	35
5	7-301-10456-9	多媒体技术及其应用	张正兰	30	42	7-301-14504-3	C++面向对象与 Visual C++程序设计案例教程	黄贤英	35
6	7-301-10466-8	C++程序设计	刘天印	33	43	7-301-14506-7	Photoshop CS3 案例教程	李建芳	34
7	7-301-10467-5	C++程序设计实验指导与习题解答	李 兰	20	44	7-301-14510-4	C++程序设计基础案例教程	于永彦	33
8	7-301-10505-4	Visual C++程序设计教程与上机指导	高志伟	25	45	7-301-14942-3	ASP .NET 网络应用案例教程(C#.NET 版)	张登辉	33
9	7-301-10462-0	XML 实用教程	丁跃潮	26	46	7-301-12377-5	计算机硬件技术基础	石 磊	26
10	7-301-10463-7	计算机网络系统集成	斯桃枝	22	47	7-301-15208-9	计算机组成原理	娄国娘	24
11	7-301-10465-1	单片机原理及应用教程	范立南	30	48	7-301-15463-2	网页设计与制作案例教程	房爱莲	36
12	7-5038-4421-3	ASP.NET 网络编程实用教程(C#版)	崔良海	31	49	7-301-04852-8	线性代数	姚喜妍	22
13	7-5038-4427-2	C 语言程序设计	赵建锋	25	50	7-301-15461-8	计算机网络技术	陈代武	33
14	7-5038-4420-5	Delphi 程序设计基础教程	张世明	37	51	7-301-15697-1	计算机辅助设计二次开发案例教程	谢安俊	26
15	7-5038-4417-5	SQL Server 数据库设计与应用	姜 力	31	52	7-301-15740-4	Visual C# 程序开发案例教程	韩朝阳	30
16	7-5038-4424-9	大学计算机基础	贾丽娟	34	53	7-301-16597-3	Visual C++程序设计实用案例教程	于永彦	32
17	7-5038-4430-0	计算机科学与技术导论	王昆仑	30	54	7-301-16850-9	Java 程序设计案例教程	胡巧多	32
18	7-5038-4418-3	计算机网络应用案例教程	魏 峰	25	55	7-301-16842-4	数据库原理与应用(SQL Server 版)	毛一梅	36
19	7-5038-4415-9	面向对象程序设计	冷英男	28	56	7-301-16910-0	计算机网络技术基础与应用	马秀峰	33
20	7-5038-4429-4	软件工程	赵春刚	22	57	7-301-15063-4	计算机网络基础与应用	刘远生	32
21	7-5038-4431-0	数据结构(C++版)	秦 峰	28	58	7-301-15250-8	汇编语言程序设计	张光长	28
22	7-5038-4423-2	微机应用基础	吕晓燕	33	59	7-301-15064-1	网络安全技术	骆耀祖	30
23	7-5038-4426-4	微型计算机原理与接口技术	刘彦文	26	60	7-301-15584-4	数据结构与算法	佟伟光	32
24	7-5038-4425-6	办公自动化教程	钱 俊	30	61	7-301-17087-8	操作系统实用教程	范立南	36
25	7-5038-4419-1	Java 语言程序设计实用教程	董迎红	33	62	7-301-16631-4	Visual Basic 2008 程序设计案例教程	隋晓红	34
26	7-5038-4428-0	计算机图形技术	龚声蓉	28	63	7-301-17537-8	C 语言基础案例教程	汪新民	31
27	7-301-11501-5	计算机软件技术基础	高 巍	25	64	7-301-17397-8	C++程序设计基础教程	郝亚辉	30
28	7-301-11500-8	计算机组装与维护实用教程	崔明远	33	65	7-301-17578-1	图论算法理论、实现及应用	王桂平	54
29	7-301-12174-0	Visual FoxPro 实用教程	马秀峰	29	66	7-301-17964-2	PHP 动态网页设计与制作案例教程	房爱莲	42
30	7-301-11500-8	管理信息系统实用教程	杨月江	27	67	7-301-18514-8	多媒体开发与编程	于永彦	35
31	7-301-11445-2	Photoshop CS 实用教程	张 瑞	28	68	7-301-18538-4	实用计算方法	徐亚平	24
32	7-301-12378-2	ASP .NET 课程设计指导	潘志红	35	69	7-301-18539-1	Visual FoxPro 数据库设计案例教程	潘红杨	35
33	7-301-12394-2	C#.NET 课程设计指导	龚自霞	32	70	7-301-19313-6	Java 程序设计案例教程与实训	董迎红	45
34	7-301-13259-3	Visual Basic .NET 课程设计指导	潘志红	30	71	7-301-19389-1	Visual FoxPro 实用教程与上机指导(第2版)	马秀峰	40
35	7-301-12371-3	网络工程实用教程	汪新民	34	72	7-301-19435-5	计算方法	尹景本	28
36	7-301-14132-8	2E 课程设计指导	王立丰	32	73	7-301-19388-4	Java 程序设计教程	张剑飞	35
37	7-301-13585-3	计算机专业英语	张 勇	30	74	7-301-19386-0	计算机图形技术(第2版)	许承东	44

北京大学出版社电气信息类教材书目(已出版)

欢迎选订

序号	标准书号	书 名	主 编	定价	序号	标准书号	书 名	主 编	定价
1	7-301-10759-1	DSP 技术及应用	吴冬梅	26	38	7-5038-4400-3	工厂供电	王玉华	34
2	7-301-10760-7	单片机原理与应用技术	魏立峰	25	39	7-5038-4410-2	控制系统仿真	郑恩让	26
3	7-301-10765-2	电工学	蒋 中	29	40	7-5038-4398-3	数字电子技术	李 元	27
4	7-301-19183-5	电工与电子技术(上册)(第2版)	吴舒蔚	30	41	7-5038-4412-6	现代控制理论	刘永信	22
5	7-301-19229-0	电工与电子技术(下册)(第2版)	徐卓农	32	42	7-5038-4401-0	自动化仪表	齐志才	27
6	7-301-10699-0	电子工艺实习	周春阳	19	43	7-5038-4408-9	自动化专业英语	李国厚	32
7	7-301-10744-7	电子工艺学教程	张立毅	32	44	7-5038-4406-5	集散控制系统	刘翠玲	25
8	7-301-10915-6	电子线路 CAD	吕建平	34	45	7-301-19174-3	传感器基础(第2版)	赵玉刚	30
9	7-301-10764-1	数据通信技术教程	吴延海	29	46	7-5038-4396-9	自动控制原理	潘 丰	32
10	7-301-18784-5	数字信号处理(第2版)	阎 毅	32	47	7-301-10512-2	现代控制理论基础(国家级十五规划教材)	侯媛彬	20
11	7-301-18889-7	现代交换技术(第2版)	姚 军	36	48	7-301-11151-2	电路基础学习指导与典型题解	公茂法	32
12	7-301-10761-4	信号与系统	华 蓉	33	49	7-301-12326-3	过程控制与自动化仪表	张井岗	36
13	7-301-10762-5	信息与通信工程专业英语	韩定定	24	50	7-301-12327-0	计算机控制系统	李文尚	28
14	7-301-10757-7	自动控制原理	袁德成	29	51	7-5038-4414-0	微机原理及接口技术	赵志诚	38
15	7-301-16520-1	高频电子线路(第2版)	宋树祥	35	52	7-301-10465-1	单片机原理及应用教程	范立南	30
16	7-301-11507-7	微机原理与接口技术	陈光军	34	53	7-5038-4426-4	微型计算机原理与接口技术	刘彦文	26
17	7-301-11442-1	MATLAB 基础及其应用教程	周开利	24	54	7-301-12562-5	嵌入式基础实践教程	杨 刚	30
18	7-301-11508-4	计算机网络	郭银景	31	55	7-301-12530-4	嵌入式 ARM 系统原理与实例开发	杨宗德	25
19	7-301-12178-8	通信原理	隋晓红	32	56	7-301-13676-8	单片机原理及应用及 C51 程序设计	唐 颖	30
20	7-301-12175-7	电子系统综合设计	郭 勇	25	57	7-301-13577-8	电力电子技术及应用	张润和	38
21	7-301-11503-9	EDA 技术基础	赵明富	22	58	7-301-12393-5	电磁场与电磁波	王善进	25
22	7-301-12176-4	数字图像处理	曹茂永	23	59	7-301-12179-5	电路分析	王艳红	38
23	7-301-12177-1	现代通信系统	李白萍	27	60	7-301-12380-5	电子测量与传感技术	杨 雷	35
24	7-301-12340-9	模拟电子技术	陆秀令	28	61	7-301-14461-9	高电压技术	马永翔	28
25	7-301-13121-3	模拟电子技术实验教程	谭海曙	24	62	7-301-14472-5	生物医学数据分析及其 MATLAB 实现	高志刚	25
26	7-301-11502-2	移动通信	郭俊强	22	63	7-301-14460-2	电力系统分析	曹 娜	35
27	7-301-11504-6	数字电子技术	梅开乡	30	64	7-301-14459-6	DSP 技术与应用基础	俞一彪	34
28	7-301-18860-6	运筹学(第2版)	吴亚丽	28	65	7-301-14994-2	综合布线系统基础教程	吴达金	24
29	7-5038-4407-2	传感器与检测技术	祝诗平	30	66	7-301-15168-6	信号处理 MATLAB 实验教程	李 杰	20
30	7-5038-4413-3	单片机原理及应用	刘 刚	24	67	7-301-15440-3	电子学实验教程	魏 伟	26
31	7-5038-4409-6	电机与拖动	杨天明	27	68	7-301-15445-8	检测与控制实验教程	魏 伟	24
32	7-5038-4411-9	电力电子技术	樊立萍	25	69	7-301-04595-4	电路与模拟电子技术	张绪光	35
33	7-5038-4399-0	电力市场原理与实践	邹 斌	24	70	7-301-15458-8	信号、系统与控制理论(上、下册)	邱德润	70
34	7-5038-4405-8	电力系统继电保护	马永翔	27	71	7-301-15786-2	通信网的信令系统	张云麟	24
35	7-5038-4397-6	电力系统自动化	孟祥忠	25	72	7-301-16493-8	发电厂变电所电气部分	马永翔	35
36	7-5038-4404-1	电气控制技术	韩顺杰	22	73	7-301-16076-3	数字信号处理	王震宇	32
37	7-5038-4403-4	电器与 PLC 控制技术	陈志新	38	74	7-301-16931-5	微机原理及接口技术	肖洪兵	32

序号	标准书号	书 名	主 编	定价	序号	标准书号	书 名	主 编	定价
75	7-301-16932-2	数字电子技术	刘金华	30	87	7-301-18131-7	集散控制系统	周荣富	36
76	7-301-16933-9	自动控制原理	丁 红	32	88	7-301-18285-7	电子线路 CAD	周荣富	41
77	7-301-17540-8	单片机原理及应用教程	周广兴	40	89	7-301-16739-7	MATLAB 基础及应用	李国朝	39
78	7-301-17614-6	微机原理及接口技术实验指导书	李干林	22	90	7-301-18352-6	信息论与编码	隋晓红	24
79	7-301-12379-9	光纤通信	卢志茂	28	91	7-301-18260-4	控制电机与特种电机及其控制系统	孙冠群	42
80	7-301-17382-4	离散信息论基础	范九伦	25	92	7-301-18493-6	电工技术	张 莉	26
81	7-301-17677-1	新能源与分布式发电技术	朱永强	32	93	7-301-18496-7	现代电子系统设计教程	宋晓梅	36
82	7-301-17683-2	光纤通信	李丽君	26	94	7-301-18672-5	太阳能电池原理与应用	靳瑞敏	25
83	7-301-17700-6	模拟电子技术	张绪光	36	95	7-301-18314-4	通信电子线路及仿真设计	王鲜芳	29
84	7-301-17318-3	ARM 嵌入式系统基础与开发教程	丁文龙	36	96	7-301-19175-0	单片机原理与接口技术	李 升	46
85	7-301-17797-6	PLC 原理及应用	缪志农	26	97	7-301-19320-4	移动通信	刘维超	39
86	7-301-17986-4	数字信号处理	王玉德	32					

请登录 www.pup6.cn 免费下载本系列教材的电子书(PDF 版)、电子课件和相关教学资源。

欢迎免费索取样书, 并欢迎到北京大学出版社来出版您的著作, 可在 www.pup6.cn 在线申请样书和进行选题登记, 也可下载相关表格填写后发到我们的邮箱, 我们将及时与您取得联系并做好全方位的服务。

联系方式: 010-62750667, pup6_czq@163.com, szheng_pup6@163.com, linzhangbo@126.com, 欢迎来电来信咨询。